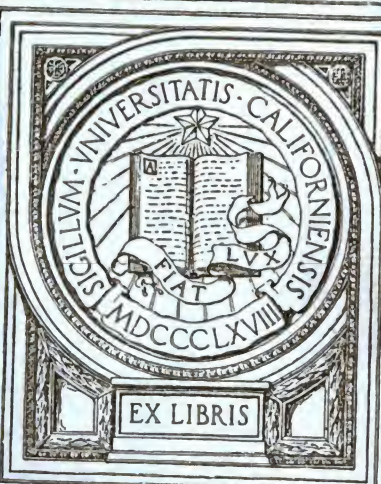


UC-NRLF



\$B 557 328

GIFT OF
HORACE W. CARPENTIER





THE UNIVERSITY OF CHICAGO

LIBRARY OF THE UNIVERSITY OF CHICAGO

1894

1894

Reise um die Erde

durch

Nord-Asien und die beiden Oceane

in den Jahren 1828, 1829 und 1830

ausgeführt

von

Adolph Erman.

In einer historischen und einer physikalischen Abtheilung dargestellt und mit einem Atlas begleitet.

Berlin,
verlegt bei G. Reimer.

1841.

Reise um die Erde

durch

Nord-Asien und die beiden Oceane

in den Jahren 1828, 1829 und 1830

ausgeführt

von

Adolph Erman.

Zweite Abtheilung:

Physikalische Beobachtungen,

Zweiter Band.

Inclinationen und Intensitäten. — Declinationsbeobachtungen auf der See. — Periodische Declinationsveränderungen.

Berlin,

verlegt bei G. Reimer.

1841.

G490

E7

v.2:2

THE VIMU
REPOSITORY

Carpenter

V o r w o r t.

Indem ich, mit dem vorliegenden Bande, die Herausgabe einer, sich um die ganze Erde ziehenden, Reihe magnetischer Beobachtungen beende, sind von der Nutzbarkeit derselben für die Wissenschaft bereits höchst erfreuliche Beweise vorhanden. Von den Inclinationen und Intensitäten welche, durch vorläufige und nur angenäherte Reductionen, aus diesen Beobachtungen folgten, habe ich im September 1837 eine Abschrift an Herrn Major Sabine mitgetheilt, und bald darauf eine andere an Herrn Hofrath Gauß. Nach diesen Zahlen-Angaben sind aber dann, für Nord-Asien und für die Nord- und Süd-Hälfte des Großen- und des Atlantischen Oceans, die magnetischen Karten gezeichnet worden, durch welche der unsterbliche Erfinder der Theorie des Erdmagnetismus die Wirklichkeit der einzigen Hy-

pothese welche dieselbe involvirte erwiesen, und die 24 Constanten bestimmt hat, welche die abstrakte Theorie zu einer naturgemäfs spezialisirten gemacht haben.

Auch sind später, bei einer vorläufigen Vergleichung von 273 nach den Gauß'schen Formeln berechneten Werthen mit beobachteten, von jenen angenäherten Angaben meiner Recultate bereits mehrere gedruckt worden. *) —

Die genaue Ermittlung des magnetischen Zustandes der Erde wird von jetzt an, eben so wie die Ausbildung der astronomischen Theorien seit Newton, durch immer häufigere Vergleichen beobachteter Zahlen mit theoretisch berechneten, und durch entsprechende Verbesserung der angenäherten Werthe für die magnetischen Constanten, gelingen. Es ist aber zu vermuthen dafs eine Reihe nahe gleichzeitiger Resultate, von welcher eine nur oberflächliche graphische Darstellung zur ersten Bestimmung jener Constanten beigetragen hat, auch noch bei deren Verbesserung zu berücksichtigen sein wird. — Ich

*) E. Sabine. Seventh Report of the British Association for the Advancement of Science. London 1838. pag. 26. und 43. bis 62.

C. F. Gauß und W. Weber. Resultate aus den Beob. des magnet. Vereins, im Jahre 1838. Leipzig 1839. pag. 36. u. f.

Report etc. relative to the observations to be made in the Antarctic Expedition. London 1840. pag. 98 u. f.

habe in dieser Voraussetzung, so wie früher für meine Declinationsbestimmungen auf dem Lande (diesen Berichtes Abth. II. Bd. 1.), auch für die in dem vorliegenden Bande enthaltenen Declinationsbeobachtungen auf der See, und Inclinations- und Intensitäts-Messungen während der ganzen Reise um die Erde, Alles beizubringen gesucht was ein Urtheil über deren Sicherheit gewährt und über den Stimmwerth der ihnen neben den, etwa auf dieselben Gegenden bezüglichen, Resultaten anderer Beobachter gebühren dürfte. —

Was in dieser Beziehung von der Handhabung und Beschaffenheit der gebrauchten Instrumente und von den, auf diesen Umständen begründeten, Reductionen der abgelesenen Zahlen abhängt, ist auf den folgenden Seiten vollständig mitgetheilt, und es bleibt demnach hier nur über etwanige Einflüsse unwesentlicher Anziehungen, Einiges zu erwähnen.

Von meinen Beobachtungen auf dem Lande ist nur eine, die Inclinationsbestimmung zu Kursan 1829. Februar 4., in der Mitte eines hölzernen Hauses angestellt worden, in welchem jedoch kaum irgend eine Eisenmasse von merklichem Einflusse gewesen sein dürfte. Alle übrigen habe ich im Freien und so entfernt von jedwedem Gebäude ausgeführt, daß durchaus keine Anziehung von solchen zu be-

fürchten blieb. Ich muß bemerken daß, trotz dieses Verfahrens, die Temperatur der Schwingungsnadeln und der Thermometerkugel an der ich diese ablas, bei einigen der Beobachtungen im Winter, nur deshalb beträchtlich größer geblieben ist als die der umgebenden Atmosphäre, weil ich dieselben schon in den geheizten Zimmern mit dem Glaskasten in dem sie beobachtet werden sollten, umgeben hatte. In diesem haben sie sich dann so langsam abgekühlt wie es die Thermometer-Ablesungen zeigen. — Von Anziehungen des Erdbodens, welche nachweisbar nur auf die nächste Umgebung des Beobachtungspunktes beschränkt, und nur deshalb für unwesentlich zu halten sind, habe ich zuerst die des Berges Blagodat zu erwähnen (diesen Berichtes Abth. II. Bd. 1. Seite 109), dessen Masse zu größtem Theile aus Krystallen von Magneteisen besteht. Natürlich wurde dort ein völlig anomales Resultat erwartet, und die Declination an einer ausgezeichneten Stelle dieses Berges nur gemessen, um von der Vertheilung des Magnetismus in demselben einige Anschauung zu erhalten.

Ein Serpentinfels bei Newjansk am Ural, auf dem ich die Inclination und Intensität beobachtet habe (diesen Bandes Seite 117), übt eben so offenbar rein lokale Störungen aus: jedoch ganz unvermutheter

Weise. Ich hatte diesen vielmehr grade als den unverdächtigsten Punkt der Umgegend zu den Beobachtungen gewählt, und bemerkte erst nach Erlangung ganz anomaler Resultate, daß jedes Bruchstück desselben magnetisch wirkte, ohne doch irgend welche mit bloßen Augen sichtbare Erzspuren zu enthalten. In der Ebene am Fusse dieser Felswand war man sowohl den mächtigen Newjansker Eisensteingängen als auch den vor den Hütten aufgehäuften Erzen und fertigen Eisenmassen bei weitem näher, und dennoch ließen dort Herrn Professor Hansteens Beobachtungen entweder gar keine oder doch nur unvergleichlich schwächere Störungen erkennen. — Wollte man, trotz dieser Erfahrungen, der sichtbaren Beschaffenheit des, nicht unmittelbar an den Beobachtungspunkt angränzenden, Terrains, in magnetischer Beziehung, einige Bedeutung beimessen, so wäre zu bemerken, daß sich Gänge von Magneteisen auch nicht fern von Kuschwa befinden (Bd. 1. Seite 107. Bd. 2. Seite 121), und eben so auch in der Umgegend von Kirgischansk (Bd. 1. Seite 104. Bd. 2. Seite. 114). — Ich glaube nicht, daß die augitischen Gesteine von Kamtschatka an den Punkten wo ich magnetische Beobachtungen angestellt habe, lokale Anziehungen ausüben, denn mit Ausnahme der zwei letzten, Natschika und Petro-Paulshafen, welche auf meta-

morphischem Felsboden liegen, sieht man bei den übrigen dieser Punkte an der Oberfläche neuste Anschwemmungen oder jüngere Flötzschichten von beträchtlicher Dicke und ist von den mächtigeren Lavaströmen und Felswänden kaum weniger als meilenweit entfernt. Es ist dagegen ein seltener Eisenreichthum der basaltischen Laven in dem Distrikte in welchem ich auf Otaeiti beobachtete zu erwähnen, vermöge dessen in dem Matawai-Fluss welcher diese Laven durchschneidet, Oktaeder von Magneteisen von mehr als 3 Linien Seite vorkommen. — Noch mehr im Allgemeinen kann bemerkt werden, daß außer den genannten Gegenden (am Ural, auf Kamtschatka und auf Otaeiti) nur noch die Orte südlich vom Baikal (Band 1. Seite 153 bis 167, Band 2. Seite 156 bis 161), die am Aldansker-Gebirge, von Garnastach bis Ochozk (Band 1. Seite 191 bis 194, Band 3. Seite 182 bis 185), so wie endlich Neu-Archangelsk auf Sitcha und Ila das Cobras bei Rio-Janeiro, in der Nähe von theils krystallinischen theils auch nur metamorphischen Gebirgsmassen liegen, — alle übrigen aber auf Niederschlags-Formationen.

Die Angabe des geognostischen Alters dieser Formationen habe ich der Zusammenstellung meiner Resultate (dieses Bandes Seite 529 u. f.) nur deshalb

nicht beigefügt, weil ich nicht wüßte, daß irgend eine derselben vorzugsweise lokaler Anziehungen zu verdächtigen wäre. Sollte dennoch dereinst eine solche Angabe auch in magnetischer Beziehung von Interesse erscheinen, so wird man sie mit geringster Mühe aus den geognostischen Karten vom Europäischen Russland und von Sibirien entnehmen können, welche ich theils schon bekannt gemacht habe *), theils sehr bald herauszugeben hoffe.

Die magnetischen Beobachtungen auf der See sind, mit nur einer unten genannten Ausnahme (Seite 205), auf dem Schiffsverdeck angestellt, und zwar die auf der Corvette Krotkoi, von 1829 Oktober 20 bis 1830 September 28, in stets gleicher Entfernung von den eisernen Gegenständen die sich am Bord befanden.

Eine Reihe von Versuchen welche ich in Petropaulshafen, nach der Barlow'schen Methode, über die Anziehung dieses Eisens auf die Horizontalnadel an dem Beobachtungspunkte, gemacht habe, ergab, daß die Declinationen durch dieselbe nur um Größen geändert wurden, über welche diese Methode keine Sicherheit mehr gewährte. Ich habe aber dann ferner an allen Ankerplätzen wo es die Umstände erlaubten,

*) Archiv für wissenschaftl. Kunde v. Russland. Berlin 1841. p. 59.

die Inclination und Intensität vergleichungsweise am Bord des vor Anker liegenden Schiffes und an dem nächst gelegenen Punkte des Strandes beobachtet. Auch bei diesen scheint nirgends ein unmittelbar in die Augen fallender Unterschied vorzukommen (dieses Bandes Seite 187. und 188; 206 und 207, 358, 359 und 360; so wie auch, mit Berücksichtigung der Entfernung zwischen Kronstadt und Petersburg, Seite 432, 433 und 434).

Dennoch dürfte wohl ein weit wahrscheinlicheres Resultat über diesen Punkt sich erst da wo man es wirklich gebraucht, nämlich bei der theoretischen Anwendung dieser Beobachtungen, ergeben. Bei dieser wird sich, weit sicherer als durch nur einzelne Vergleichen, herausstellen, ob, im Mittel aus mehreren auf der See gemachten Beobachtungen, die Differenz zwischen Theorie und Erfahrung anders ausfällt als an der nächst gelegenen Küste.

Die Beobachtungen am Strande von San Francisco empfehlen sich in dieser Beziehung als ganz sicher frei von Störungen durch geologische Verhältnisse, demnächst aber auch die auf Sitcha und bei Rio-Janeiro, wo alle in der Nähe anstehenden Felsen wenigstens keine Spuren magnetischer Erze enthalten.

Ich habe schliesslich um geneigte Anbringung der hiernächst genannten Verbesserungen an einige Zahlen in diesem Bande zu bitten, welche trotz wiederholter Durchsicht des Manuscriptes und Druckes nöthig geworden sind. Es ist denselben auch ein Verzeichniß der Verbesserungen zum 1sten Bande dieser physikalischen Abtheilung hinzugefügt, von denen einige bisher nur in der historischen Abtheilung meines Reiseberichtes Bd. 2, schon abgedruckt waren.

Geographische und magnetische Orts- Bestimmungen.

Beschreibung des Inclinatoriums.

Das Inclinatorium welches ich auf dem Lande zu allen meinen Neigungsbeobachtungen, und zur See sowohl zu Inclinations- als auch zu Intensitäts-Bestimmungen gebraucht habe, ist im Jahre 1825 von Gambey in Paris gearbeitet. Der Horizontalkreis desselben hat einen Durchmesser von 7", und der Vertikalkreis von 9" Pariser Maafs. Der erstere befindet sich auf einem mit Fußschrauben versehenen starken Ringe, der Vertikalkreis auf einem anderen, der, zwischen zweien aufrechten Säulen befestigt, mit seinem unteren Rande eine rechteckige Metall-Platte berührt, welche jene Säulen trägt. An diese Platte ist, rechtwinklich auf ihre Länge und innerhalb ihrer Ebne, ein Streifen angesetzt der als Alhidade für den Horizontalkreis dient, auch befindet sich auf derselben die mit den nöthigen Correktionsschrauben versehene Wasserrwage des Instrumentes. — Der Vertikalring, die Säulen welche ihn tragen und die eben beschriebene Platte bilden also ein Ganzes, mit dem noch einige andere wesentliche Theile fest zusammenhangen. Namentlich über die Lager für die Neigungsnadel, ein Apparat zur Auflegung derselben auf die Mitte dieser Lager, und ein mit Glasschei-

ben und mit einer Thüre versehener Kasten, der alle oberhalb der erwähnten Platte gelegnen Theile des Instrumentes einschließt, und gegen Luftströmungen schützt. — Die Verbindung dieses oberen oder vertikalen Stückes des Inclinatoriums mit dem unteren geschieht mittelst einer konischen Axe, die von unten an die Platte jenes erstern, und normal auf dieselbe geschraubt ist. Sie ist 27" lang und hat oben 5" und unten 4" im Durchmesser. Die zur Aufnahme dieser Axe bestimmte Röhre ist dagegen mit dem Horizontalringe und mit dessen Füßen aus einem Stücke gegossen. Nach Einsetzung der aufrechten Axe in diese Röhre hatte der Künstler, an das Unter-Ende der erstern, eine runde Schlußplatte geschraubt, welche über den Querschnitt der Röhrenwände ragte, und dadurch das obere Stück des Inclinatoriums mit dem unteren für immer verbinden sollte. Er hatte daher das ganze Instrument, zur Aufbewahrung während der Reise, in einen 19" hohen Kasten mit quadratischer Basis von 14" Seite gesetzt. Der Transport eines so großen Behälters mußte nothwendig um so bedeutendere Verlegenheiten verursachen, als man sich seltener von demselben zu trennen wünschte, und es schien mir außerdem ganz unmöglich die beschriebene Axe des oberen Stückes und dessen übrige Theile vor Biegungen und anderen Beschädigungen zu bewahren, wenn man sie in jenem Zustande, ohne genügende Unterstützungen, den Wirkungen ihres eigenen Gewichtes und den Erschütterungen durch sehr verschiedenartige Transport-Mittel ausgesetzt hätte. Ich habe daher die erwähnte Schlußplatte für die aufrechte Axe durch eine andere, mit einer leichter zu lösenden Schraube versehene, ersetzt und dann, während der Reise, ein jedes der beiden Stücke des Instrumentes in einem besondern Kasten verwahrt. Der für das obere schloß ganz dicht an die Wände des Glaskasten, so wie an die Axe und Alhidade dieses Stückes, und er hatte daher bei nur 2",5 Höhe eine quadratische Basis von 12" Seite nebst zweien schmalen Ansätzen zur Bedeckung jener hervorragenden Theile. Der Kasten für das untere Stück war 3",5 hoch, über einer quadratischen Basis von 8" Seite. — Ich erwähne hier dieser einfachen Abänderung des Apparates und seiner Verpackung, in der Ueberzeugung dafs es mir nur durch diese gelungen ist ein so empfindliches Instrument ohne irgend eine bemerk-

bare Beschädigung um die Erde zu führen, und zwar großen Theils auf sehr unebnen und ungebahnten Wegen. —

Es ist hinlänglich bekannt, daß, bei Gambey'schen Inclinatorien, die Nadel auf den cylindrisch geschliffenen Querschnitten zweier dünnen Achatplatten ruht, daß die stählernen Zapfen mit denen sie diese Lager berührt, äußerst dünn sind, und daß die nöthige Gleichförmigkeit beim Auflegen derselben durch zwei parallele Hebel bewirkt wird, deren jeder in seiner Mitte einen dreieckigen Einschnitt und seinen Drehungspunkt an einer der zwei früher erwähnten Säulen hat. Es ist daher hier nur anzuführen, daß, bei dem von mir gebrauchten Instrumente, die Entfernung jener Achatflächen 16", und die der Aushebungsdreiecke 10" beträgt. An dem Azimutalkreise dieses Inclinatoriums werden mittelst des Nonius einzelne Minuten abgelesen und der Höhenkreis ist unmittelbar in Intervalle von 10 Minuten getheilt. Ein jedes derselben ist zwar nur nahe an 0",15 breit, es scheint aber als wenn man dennoch deren Fünftel äußerst sicher schätzte, denn wenn die Nadel ganz ruhig liegt so hält man eine bis zu 2 Minuten steigende Unsicherheit über ihre Stellung kaum für möglich. Diese Ablesung geschieht wohl vorzüglich dadurch, daß man schätzt in der Verlängerung von welchem der ausgezogenen oder der mit diesen parallel gedachten Theilstriche sich eine der beiden, auf der Limbus-ebene senkrecht, End-Kanten der Nadel befindet und es ist daher vortheilhaft, daß, bei dem in Rede stehenden Instrumente, diese Kanten nur um wenig über 0",1 von den Enden der Theilstriche abstehen. — Eine jede der zwei Nadeln welche zu diesem Inclinatorium gehören besteht aus einem stählernen und einem messingnen Theile. Der erste ist ein grades Prisma, dessen Höhe parallel mit der Drehungsaxe der Nadel und daher, beim Gebrauche, senkrecht gegen den Neigungskreis liegt. Diese Höhe beträgt 0",45. Die mit dem Neigungskreise parallel liegenden Grundflächen dieses Prismas sind Achtecke, welche, durch die längste ihrer Diagonalen und durch eine auf deren Mitte senkrechte, in vier congruente Stücke zerfallen. Mißt man von der Mitte jener längsten Diagonale, in deren Richtung und senkrecht auf dieselbe, Coordinaten x und y , so gehören zu einander folgende auf die Eckpunkte des Polygons bezügliche Werthe:

während der Inclinationsbeobachtungen, die Drehungsaxe der Nadel, mit einer auf der aufrechten Axe des Instrumentes senkrechten Ebene einschließt. Auch wurde bei dieser Messung der Werth der Theilungen an der Wasserwage des Instrumentes bestimmt. — Ich fand jenen Winkel, den ich in der Folge mit h bezeichnen will, zu groß um ihn direkt an den mir zu Gebote stehenden Niveaus abzulesen. Es wurde daher, nachdem die Drehungsaxe des Neigungskreises nahe senkrecht gestellt worden, eine Wasserwage, deren Theilungswerthe bekannt und deren Unterfläche so gut als vollkommen eben *), so wie auch nahe parallel mit ihrer Axe gemacht war, auf die Achatschärfen, welche die zu untersuchenden Zapfenlager ausmachen, aufgesetzt, und zwar möglichst nahe an denselben Stellen welche von der Nadel berührt werden. Ich brachte dann, durch Drehung des Neigungskreises und der an ihm festen Zapfenlager, die Axe dieser Wasserwage nahe an die Vertikalebene durch eine der drei Fußschrauben des Instrumentes, und machte mit dieser Schraube die Axe der Wasserwage nahe horizontal. Der Neigungskreis wurde darauf, während alles übrige ungeändert blieb, von neuem gedreht, der Betrag dieser Drehung am Azimutalkreise beobachtet und, nach jedesmaliger Zunahme um 10° , sowohl die Angabe der Wasserwage auf den Lagern als auch der für immer an der Axe des Neigungskreises befestigten abgelesen, und endlich eine völlig ähnliche Reihe von Beobachtungen gemacht, nachdem die Wasserwage auf den Lagern um möglichst nahe an 180° im Azimut gewendet, alles übrige aber ungeändert gelassen war.

Setzt man nun:

die Neigung der aufrechten Drehungsaxe des Instrumentes gegen
 die Horizontalebene $\quad \quad \quad = 90^\circ - d$
 - - der Nadelaxe gegen jene Drehungsaxe $\quad \quad \quad = 90^\circ - h$

*) Ich hatte deshalb die Wasserwage auf einem Glasspiegel befestigt dessen etwaniger Krümmungshalbmesser durch optische Mittel größer als 7314 Pariser Fuß gefunden war. (vergl. II, 1 Ste. 243). Da nun bei den zwei Auflegungen der Wasserwage die Unterstützungspunkte dieser Glasfläche um höchstens $2'''$ verändert werden konnten, so wurde aus diesem Grunde der beobachtete Werth von h im äußersten Falle um 0,2 Sekunden von dem wahren verschieden.

6 Geographische und magnetische Ortsbestimmungen.

den Winkel zwischen der Unter-Seite und der Axe der Wasser-
wage auf den Zapfenlagern $= n$

eine Ablesung an dieser Wasserwage $= p$

wo jede der vier genannten Gröſsen in Theilungseinheiten der eben
genannten Wasserwage ausgedrückt sei;

ferner eine, mit der von p gleichzeitige, Ablesung am Azimu-
talkreise $= a$

diejenige Ablesung an diesem Kreise, bei welcher die Axe der ge-
nannten Wasserwage und die aufrechte Drehungsaxe des Instru-
mentes in einerlei Vertikalebne lagen $= A$

und bedeuten noch: p' eine Ablesung an dieser Wasserwage nach
deren Umlegung, wodurch A zu A' geworden sei, p'' eine Able-
sung des am Inclinatorium festen Niveaus, von welchem die Thei-
lungseinheiten w mal gröſser seien als die der Wasserwage auf
den Lagern, und für welches $90^\circ - n'$ den Winkel zwischen sei-
ner Axe und der aufrechten Axe des Inclinatoriums, so wie A''
das Entsprechende von A bedeute, so erhält man:

$$\begin{aligned} p &= h + n - d \cos (a - A) \\ p' &= h - n - d \cos (a - A') \\ p'' &= \frac{n' - d \cos (a - A'')}{w} \end{aligned}$$

respektive für die erste und zweite Beobachtungsreihe, und für
die Stände der am Inclinatorium festen Wasserwage. — Zur Be-
stimmung der Werthe von h und w habe ich nun folgende 33 Ab-
lesungen gemacht:

I.		II.		III.	
p	a	p'	a	p''	a
— 2,125	180°	+ 3,55	180°	— 1,10	180°
— 1,25	190	+ 2,50	190	— 3,30	190
0,00	200	+ 1,25	200	— 5,725	200
+ 1,375	210	— 1,00	210	— 7,75	210
+ 6,60	220	— 4,00	220	— 5,975	330
+ 3,85	140	— 3,95	130	— 3,80	340
+ 1,25	150	— 1,50	140	— 1,40	350

I.		II.		III.	
p	a	p'	a	p''	a
— 1,00	160°	+ 0,75	150°	+ 1,10	0°
— 2,00	170	+ 2,25	160	+ 3,975	10
		+ 3,25	170	+ 6,00	20
				+ 8,50	140
				+ 6,075	150
				+ 4,05	160
				+ 1,85	170

Es folgt aus ihnen:

$$\begin{array}{ll}
 d = + 26,38 & w = 1,68307 \\
 h = + 23,733 & A = 175^\circ 56' \\
 n = + 0,92 & A' = 356 \quad 11 \\
 n' = + 0,38 & A'' = 266 \quad 21
 \end{array}$$

wonach die Umkehrung des Niveaus auf den Lagern bis auf 15' richtig ausgeführt wurde. Dieses geschah aber nur dadurch daß man, bei jeder der zwei Auflegungen desselben, seine Axe in die Vertikalebene durch die Nadel-Axe zu bringen suchte, und es ist demnach nicht zu bezweifeln daß diese Absicht genugsam erreicht, und somit auch der gefundene Werth von h für diejenige Stelle der Achatschärfen gültig ist, für welche es gesucht wird. Die vier zuerst genannten Größen sind noch in Theilungs-Einheiten der Wasserwage auf den Lagern ausgedrückt, deren jede früher, durch sehr sichere Beobachtungen, zu 21'',38 gefunden wurde. Es folgen daher:

$$\begin{array}{l}
 h \text{ oder die Neigung der Nadel-Axe gegen eine auf der Dre-} \\
 \text{hungs-Axe des Instrumentes senkrechten Ebne} \\
 = 8' 27'',4
 \end{array}$$

$$\begin{array}{l}
 \text{und: } w \times 21'',38 \text{ oder ein Intervall der Wasserwage des Inclinato-} \\
 \text{riums} \\
 = 35'',98
 \end{array}$$

Es bleiben aber als Fehler der vorstehenden Beobachtungen:

I.	II.	III.
+ 0,46	— 0,63	— 0,05
+ 0,38	+ 0,21	— 0,18
+ 0,58	+ 0,08	+ 1,08
— 0,30	+ 0,13	— 0,70
— 0,86	+ 0,23	— 0,76
— 0,58	— 0,58	+ 0,16
— 0,34	— 0,00	— 0,08
+ 0,27	+ 0,12	+ 0,26
+ 0,40	+ 0,28	+ 0,53
	+ 0,15	+ 0,49
		— 1,07
		— 0,40
		+ 0,58
		+ 0,12

Die größten unter diesen Fehlern gehören zu Ablesungen bei denen das eine Ende der Blase in den Wasservagen schon ausserhalb der Theilungen war, so daß die Lage ihres Mittelpunktes nur geschätzt werden konnte.

Theorie der Beobachtungen mit dem Inclinatorium.

Die Theorie der Beobachtungen mit einem Inclinatorium von der beschriebnen Art ergibt sich nun leicht aus den allgemeinen Bedingungen für das Gleichgewicht und für die Bewegung eines Körpers mit fester Axe. Nimmt man aber in einem solchen zwei, sowohl auf die Drehungsaxe als auch unter sich, senkrechte Linien als Axen der mit x und y bezeichneten Coordinaten, und wirkt dann auf einen Punkt desselben, dessen Coordinaten x und y sind, eine Kraft deren Wirkung auf die bei jenem Punkte gelegne Raumeinheit $= f$ und deren Richtung mit der X - und Y -axe die Winkel α und β einschließt, so wird die Bedingung des Gleichgewichtes bekanntlich:

$$\int^3 [f \cdot dx \cdot dy \cdot dz (x \cos \beta - y \cos \alpha)] = 0 \quad \text{I.}$$

wo die dreifache Integration, nach x , y und z , über den ganzen Körper zu erstrecken ist, und das Zeichen $[\]$ die Bildung analoger Ausdrücke für sämtliche in dem Körper vorkommenden Kräfte bedeutet.

Ebenso gilt für die Bewegung eines solchen Körpers, wenn man ihn aus seiner Gleichgewichtsstellung abgelenkt hat:

$$\begin{aligned} dt \cdot \int^3 [f \cdot dx \cdot dy \cdot dz (x \cos \beta - y \cos \alpha)] \\ = d\omega \cdot \int^3 dx \cdot dy \cdot dz \cdot \delta \cdot (x^2 + y^2) \quad \text{II.} \end{aligned}$$

wo ω die Winkelgeschwindigkeit des Körpers für einen durch die Zeit t bezeichneten Augenblick, δ seine Dichtigkeit bei dem durch x , y und z gegebenen Punkte bedeuten.

Soll aber dann aus den Gleichungen I oder II geschlossen werden wie man, durch Beobachtungen über Gleichgewicht oder Bewegung eines Körpers mit fester Axe, die Richtung und Intensität von einigen oder von allen auf ihn wirkenden Kräften bestimmen könne, so hat man nur die Winkel α und β und die Coordinaten x , y und z durch solche Größen zu ersetzen welche entweder direkt gemessen werden können, oder durch die ausgeführten Messungen bestimmt werden sollen. — An einem Inclinatorium liest man nun zunächst nichts anderes ab als den Winkel zwischen einer willkürlich gewählten Linie auf der Nadel, die ich Collimationslinie nennen und durch beide Spitzen der Nadel gelegt annehmen will, und zwischen einem der zwei mit 0 bezeichneten Radien seines Vertikal- oder Neigungskreises. Ich werde denselben mit I bezeichnen und ihn von demjenigen Nullpunkte des Neigungskreises an zählen, der, für ein in dessen Mittelpunkte befindliches Auge, zur Linken von einem bezeichneten Ende der Drehungsaxe der Nadel liegt.

Man kann sodann noch, an dem Horizontalkreise des Instrumentes, die Veränderungen messen welche das Azimut jenes eben erwähnten Endes der Drehungsaxe der Nadel, zwischen je zwei Beobachtungen erfährt, so wie endlich die Zeit welche die Nadel, bei irgend welcher Lage ihrer Drehungsaxe, zu einer vollständigen Schwingung gebraucht.

Bedeutet nun A die Ablesung am Horizontalkreise während das bezeichnete Ende der Drehungsaxe in dem Vertikale des magneti-

tischen Nordens liegt und a das Analoge von A während Ablesung des Neigungswinkels I , so ist, für den zuletzt genannten Augenblick, das vom magnetischen Norden an rechts herum gezählte Azimut jenes Endes der Drehungsaxe $= a - A$. Den vom Mittelpunkt der Nadel geschnen Höhenwinkel desselben setze ich $= h$. Nimmt man nun die Collimationslinie der Nadel als X -axe und eine auf ihr und auf der Drehungsaxe senkrechte als Y -axe, bezeichnet mit D , C und Y die drei Punkte der Himmelskugel in welche die positive Hälfte der Drehungsaxe, der Collimationslinie und der Y -axe treffen und mit K den Punkt der Himmelskugel gegen welchen irgend eine der auf die Punkte der Nadel wirkenden Kräfte gerichtet ist, so hat man

$$\alpha = KC \quad \beta = KY.$$

Es wirken aber auf jeden Punkt der Nadel: nördlicher Magnetismus, südlicher Magnetismus und Schwere und für eine jede dieser Kräfte sind nicht die Bogen KC und KY direkt gegeben oder durch Beobachtungen zu ermitteln, sondern vielmehr die Bogen KZ , KN , KO wenn Z , N und O auf derselben Himmelskugel das Zenit, den magnetischen Nordpunkt und den magnetischen Ostpunkt bezeichnen.

Die allgemeinen Beziehungen:

$$\cos \alpha = \cos KC = \cos KZ \cdot \cos CZ + \cos KN \cdot \cos CN + \cos KO \cdot \cos CO$$

$$\cos \beta = \cos KY = \cos KZ \cdot \cos YZ + \cos KN \cdot \cos YN + \cos KO \cdot \cos YO$$

werden für jede der drei genannten Kräfte zu:

$$\cos \alpha = \sin n \cdot \cos CZ + \cos n \cdot \cos CN$$

$$\cos \beta = \sin n \cdot \cos YZ + \cos n \cdot \cos YN$$

in sofern man nur unter n den besonderen Werth von KN für eine jede derselben versteht, denn für jede derselben ist

$$KZ = 90^\circ - KN, \text{ und } \cos KO = 0. -$$

Um aber auch CZ , CN , YZ und YN durch Größen zu ersetzen welche bei den Inclinationsbeobachtungen vorkommen, lege man durch D und Z , d. h. durch das Ende der Drehungsaxe an der Himmelskugel und durch das Zenit, einen größten Kreis und bezeichne mit P den Punkt in welchem derselbe, oberhalb des Horizontes, von dem Kreise YC d. h. von der Ebene des Neigungskreises ge-

schnitten wird. Derselbe soll von dem früher erwähnten Nullpunkte um $90^\circ + c$ absteheu. Die vier gesuchten Bogen folgen dann aus den sphärischen Dreiecken zwischen den 5 Punkten Z, P, C, Y und N, denn nach der beschriebnen Lage derselben sind:

$$ZP = h \quad CP = -(90^\circ + I + c)$$

$$ZN = 90^\circ \quad CY = 90^\circ$$

$$ZPC = 90^\circ \quad NZP = 180^\circ + (a - A)$$

und somit:

$$\cos CZ = -\cos h \cdot \sin(I + c)$$

$$\cos CN = \sin(I + c) \sin h \cdot \cos(a - A) + \cos(I + c) \sin(a - A)$$

$$\cos YZ = -\cos h \cdot \cos(I + c)$$

$$\cos YN = \cos(I + c) \sin h \cos(a - A) - \sin(I + c) \sin(a - A)$$

so wie auch:

$$\begin{aligned} (y \cos \alpha - x \cos \beta) &= \sin n \cdot \cos h \left\{ x \cos(I + c) - y \sin(I + c) \right\} \\ &- \cos n \left\{ x [\sin h \cdot \cos(a - A) \cos(I + c) - \sin(a - A) \sin(I + c)] \right. \\ &\left. - y [\sin h \cos(a - A) \sin(I + c) + \sin(a - A) \cos(I + c)] \right\} \end{aligned}$$

Es ist nun hierin zu setzen, wenn i den gesuchten Werth der Inclination am Beobachtungsorte bezeichnet:

$$\text{für den nördlichen Magnetismus } n = i$$

$$\text{für den südlichen } - \quad n = 180^\circ + i$$

$$\text{für die Schwere } \quad \quad \quad n = -90^\circ$$

und wenn deren Intensitäten respective f , f' und s sind, sowie δ die Dichtigkeit der Nadel bei dem Punkte x , y , z so wird nach I die Bedingung für das Gleichgewicht einer Inclinationsnadel:

$$\begin{aligned} \int \delta x \, dy \, dz \left\{ (f - f') \sin i \cdot \cos h [x \cos(I + c) - y \sin(I + c)] \right. \\ - (f - f') \cos i [x (\sin h \cos(a - A) \cos(I + c) - \sin(a - A) \sin(I + c)) \\ - y (\sin h \cos(a - A) \sin(I + c) + \sin(a - A) \cos(I + c))] \\ \left. - s \cdot \delta \cdot \cos h [x \cos(I + c) - y \sin(I + c)] \right\} = 0. \end{aligned}$$

Wegen des Parallelismus der magnetischen Kräfte, ist aber i für alle Punkte der Nadel constant. Setzt man demnach:

$$\int \delta x \, dy \, dz (f - f') x = \mu (X - X')$$

$$\int \delta x \, dy \, dz (f - f') y = \mu (Y - Y')$$

$$\int \delta x \, dy \, dz \delta x = s M X,$$

$$\int \delta x \, dy \, dz \delta y = s M Y,$$

So sind, nach dem in der Physik gewöhnlichen Sprachgebrauche:

$$\left. \begin{array}{l} X \text{ und } Y \text{ die Coordinaten des Nordpoles} \\ X' - Y' - \quad - \quad - \text{ Südpoles} \\ X, - Y, - \quad - \quad - \text{ Schwerpunkts} \end{array} \right\} \text{ der Nadel,}$$

μ das für beide Pole gleiche Produkt der Erdkraft am Beobachtungsorte mit dem in jedem dieser Pole vereinigt gedachten Magnetismus, und M das Gewicht der ganzen Nadel. Bezeichnet man aber noch mit x den Abstand beider Pole, mit K den Winkel zwischen ihrer Verbindungslinie und der Collimationslinie der Nadel, so wie mit p und P den Abstand ihres Schwerpunktes von der Drehungsaxe und den Winkel dieses Perpendikels mit der Collimationslinie, so daß

$$\begin{array}{ll} X - X' = x \cos K & X, = p \cos P \\ Y - Y' = x \sin K & Y, = p \sin P \end{array}$$

wird, so wie endlich: $\frac{s \cdot Mp}{\mu x} = k,$

so erhält man für das Gleichgewicht einer Inclinationsnadel die Bedingung:

$$\cos(I + c + K) (\sin i \cdot \cos h - \cos i \cdot \sin h \cos(a - A)) + \sin(I + c + K) \cos i \cdot \sin(a - A) - k \cos h \cdot \cos(I + c + P) = 0. \quad [A]$$

Durch dieselben Substitutionen wird dann ferner die Bedingung für die Schwingungsbewegung derselben Nadel:

$$\begin{aligned} dt \{ \mu x [\cos(\vartheta + c + K) (\sin i \cdot \cos h - \cos i \cdot \sin h \cdot \cos(a - A)) \\ + \sin(\vartheta + c + K) \cos i \sin(a - A)] - s \cdot Mp \cos h \cos(\vartheta + c + P) \} \\ = d\omega^2 dx dy dz \cdot \delta(x^2 + y^2) \end{aligned} \quad [B]$$

wo ϑ den Werth von I für denjenigen Augenblick bezeichnet in welchem die Winkelgeschwindigkeit ω stattfindet.

Entwickelt man aber die erste Hälfte von [A] zu: $S \cos I + T \sin I$ und setzt: $S = \frac{R}{\mu x} \cdot \sin s$ $T = \frac{R}{\mu x} \cos s$, so wird die erste Hälfte von (B) zu: $dt \cdot R \sin(\vartheta + s) = dt R \sin(\vartheta - I).$ —

Schreibt man noch für deren zweite Hälfte: $d\omega \cdot \frac{M l^2}{\pi^2 A}$ so daß $\frac{M l^2}{\pi^2 A}$ das Trägheitsmoment der Nadel in Bezug auf ihre Dre-

hungsaxe bezeichnet, so wird die Veränderung der Winkelgeschwindigkeit durch sämtliche auf die Nadel wirkende Kräfte bei einer sehr kleinen Ablenkung aus der Gleichgewichtslage proportional mit: $\frac{R}{Ml^2}$. Eine Vergleichung der Werthe dieses Ausdruckes in verschiedenen Fällen giebt daher, bei gleichbleibenden Hemmungen durch Reibung, ein Urtheil über die Sicherheit mit welcher sich die Nadel einstellte.

Anwendung statischer Beobachtungen zur Bestimmung von i. oder der Inclination der magnetischen Kraft der Erde.

Wenn man, so wie ich es immer auf der Reise gethan habe, nach einander beobachtet bei einer Angabe des Horizontalkreises

$$\begin{array}{ll}
 = a & I = 90^\circ \\
 \text{bei } a = a' & I = 90^\circ \\
 - a = \frac{a + a'}{2} & I = I \\
 - a = \frac{a + a'}{2} + 180^\circ & I = I,
 \end{array}$$

so erhält man durch Substitution dieser zusammengehörigen Werthe in (A), die Gleichungen:

$$\begin{aligned}
 & -\sin(c + K) [\sin i \cdot \cos h - \cos i \cdot \sin h \cos(a - A)] \\
 & + \cos(c + K) \cos i \cdot \sin(a - A) + k \cos h \cdot \sin(c + P) = 0
 \end{aligned}$$

$$\begin{aligned}
 & -\sin(c + K) [\sin i \cdot \cos h - \cos i \cdot \sin h \cos(a' - A)] \\
 & + \cos(c + K) \cos i \cdot \sin(a' - A) + k \cos h \cdot \sin(c + P) = 0
 \end{aligned}$$

[1]

$$\begin{aligned}
 & \cos(I + c + K) [\sin i \cdot \cos h - \cos i \cdot \sin h \cos(\frac{a+a'}{2} - A)] \\
 & + \sin(I + c + K) \cos i \cdot \sin(\frac{a+a'}{2} - A) - k \cos h \cdot \cos(I + c + P) = 0
 \end{aligned}$$

$$\begin{aligned}
 & \cos(I + c + K) [\sin i \cdot \cos h + \cos i \cdot \sin h \cos(\frac{a+a'}{2} - A)] \\
 & - \sin(I + c + K) \cos i \cdot \sin(\frac{a+a'}{2} - A) - k \cos h \cdot \cos(I + c + P) = 0
 \end{aligned}$$

Um nun zunächst die unbekannte A aus diesen Ausdrücken zu eliminiren ergibt sich aus den zwei ersten:

$$\sin \left(\frac{a+a'}{2} - A \right) = \left\{ \frac{\mp 1}{1 + \operatorname{tg}(c+K)^2 \cdot \sin h^2} \right\}^{\frac{1}{2}}$$

$$\sin \left(\frac{a+a'}{2} - A \right) = \left\{ \frac{\mp \operatorname{tg}(c+K) \sin h}{1 + \operatorname{tg}(c+K)^2 \sin h^2} \right\}^{\frac{1}{2}}$$

wo die obern Zeichen gelten, wenn bei der Beobachtung zur dritten Gleichung d. h. bei der Ablesung I das bezeichnete Ende der Drehungsaxe in dem westlichen Viertel des Horizontes lag, welche Annahme ich im Folgenden immer machen werde.

Bei der Substitution der eben erhaltenen Werthe von \sin und $\cos \left(\frac{a+a'}{2} - A \right)$ in die dritte und vierte der vorstehenden

Gleichungen kann aber nun, ohne Begehung eines jemals merklichen Fehlers, der erstere mit: -1 verwechselt werden, in dem er sich von dieser Gröfse nur durch ein Glied von vierter Ordnung in Bezug auf die, ihrer Natur nach, stets kleinen Winkel $(c+K)$ und h unterscheidet, auch können aus demselben Grunde alle Glieder welche durch Substitution des Werthes von $\left(\frac{a+a'}{2} - A \right)$

entstehen, als völlig unmerklich ausgelassen werden. Diese werden namentlich von der dritten Ordnung in Beziehung auf $(c+K)$ und h d. h. auf die Collimationsfehler der Nadel und des Limbus und auf die Neigung der Drehungsaxe der Nadel gegen den Horizont, und ihr Einfluss bleibt daher in allen praktisch möglichen Fällen vollkommen unmerklich. *)

Setzt man nun noch $\cos h = 1 - 2 \sin^2 \frac{h}{2}$ und erwägt dafs auch k eine kleine Gröfse und dafs daher auch $k \cos h$ nur um ein

*) Selbst wenn jeder dieser Winkel 50' betrüge so wäre der Einfluss eines Gliedes dritter Ordnung nur gleich einem Fehler von 0,01 bei der Ablesung der Neigungswinkel I. Aus der obigen Bestimmung von h (Seite 7) und aus einer später zu erwähnenden von K . für das von mir gebrauchte Instrument folgt aber dafs, bei der Reduktion meiner Beobachtungen mit demselben, jene auszulassenden Glieder kaum dem 90sten Theile solches Fehlers, oder 0,0001 im Neigungswinkel gleichkommen konnte.

kleines Glied dritter Ordnung von k selbst verschieden ist, so folgt

$$\sin(i - I - c - K) - 2 \cdot \sin \frac{h^2}{2} \cos(I + c + K) \sin i - k \cos(I + c + P) = 0$$

$$\sin(i + I + c + K) - 2 \cdot \sin \frac{h^2}{2} \cos(I + c + K) \sin i - k \cos(I + c + P) = 0$$

Da aber nach den oben (Seite 7) angeführten Versuchen für das hier in Rede stehende Instrument $h = 8' 27''$ beträgt, so konnte bei Reduktion von Beobachtungen mit demselben das zweite Glied in jeder dieser Gleichungen im äussersten Fall nur denselben Einfluß ausüben, wie ein Fehler von 0,005 bei Ablesung der Winkel I , denn dieses ist höchst nahe der Betrag jenes Gliedes bei $i = 45^\circ$ wo es sein absolutes Maximum erreicht. Bei einem Instrumente welches unmittelbar nur in Intervalle von 10 Minuten getheilt ist, wäre demnach auch die Berücksichtigung jenes Gliedes vollkommen überflüssig und man kann deshalb zur Reduktion aller mit einem solchen gemachten Beobachtungen mit völlig hinreichender Genauigkeit setzen:

$$\sin(i - I - c - K) - k \cos(I + c + P) = 0$$

$$\sin(i + I + c + K) - k \cos(I + c + P) = 0.$$

Bei meinen Inclinationsbestimmungen habe ich stets, anstatt der einzelnen Messungen von I und I_1 , deren je zwei unter sich nur dadurch verschiedene angestellt, daß bei der ersten $c = +c$ bei der andern aber $c = -c$ gemacht wurde, und zwar ergab sich diese Verschiedenheit indem man zuerst unter denjenigen Umständen ablas welche bis jetzt für die Erhaltung von I und I_1 vorausgesetzt wurden, sodann aber noch nach Drehung des Vertikalringes um 180° im Azimut und gleichzeitiger Umlegung der Nadel auf ihren Lagern. Ich werde im Folgenden unter I und I_1 stets das Mittel aus zwei solchen zusammengehörigen Ablesungen verstehen und demgemäß setzen:

$$\sin(i - I - K) - k \cos(I + P) = 0$$

$$\sin(i + I + K) - k \cos(I + P) = 0$$

denn diese folgen aus den beiden letzten der obigen Gleichungen [1] wenn man in ihnen nach einander $c = +c$ und $c = -c$ setzt, und in der halben Summe der Resultate sowohl $\frac{a + a'}{2} = A$

= 270°, als auch die übrigen bisher gerechtfertigten Abkürzungen einführt. Invertirt man dann die Lage der Pole der Nadel, durch eine dazu passende Streichung mit Magnetstäben, und bestimmt mit derselben I'' und I''' , respektive unter denselben Umständen unter denen I und I' erhalten würden, so ist, um jene neuen Werthe mit dem gesuchten i in Beziehung zu bringen, in die zwei letzten Gleichungen nur:

$$180^\circ + K \text{ anstatt } K \\ \text{und } k' \text{ anstatt } k$$

zu setzen: Lezteres deswegen weil der Werth $k = \frac{s M p}{\mu x}$ sich verändern wird wenn etwa, bei der Umstreichung, die Intensität der Pole μ in eine andre μ' übergeht. Man erhält demnach noch:

$$\sin(i - I'' - K) + k' \cos(I'' + P) = 0 \\ \sin(i + I'' + K) + k' \cos(I'' + P) = 0.$$

An dem in Rede stehenden Inclinatorium war aber die Theilung so angeordnet daß man, anstatt der Größen I , und I' , respektive $180^\circ - I$, und $180^\circ - I'$, ablas, und es ist demnach vortheilhafter die vier zuletzt genannten Gleichungen noch so umzuschreiben, daß man darin in allen vier Fällen die unmittelbar abgelesnen Zahlen substituiren könne. Dieses geschieht indem man die zweite Ablesung vor und nach dem Umstreichen mit

I' und mit I'''

bezeichnet und demnach, in den obigen Ausdrücken

$$I, \text{ durch } 180^\circ - I' \\ \text{und } I'', \text{ — } 180^\circ - I'''$$

ersetzt. Es wird dann endlich:

$$\begin{aligned} \sin(i - I - K) - k \cos(I + P) &= 0 \\ \sin(i - I' + K) - k \cos(I' - P) &= 0 \\ \sin(i - I'' - K) + k' \cos(I'' + P) &= 0 \\ \sin(i - I''' + K) + k' \cos(I''' + P) &= 0. \end{aligned}$$

[2]

Die gesuchte GröÙe i bleibt also auch jetzt noch mit vier andern Unbekannten K , k , k' und P verbunden und man kann daher aus den, zu vier Resultaten verbundenen 8 Ablesungen im magnetischen Meridiane, auf welche sich die Gleichungen [2] beziehen, nur in sofern die Neigung der erd-magnetischen Kraft berechnen, als

man sich dabei die Vernachlässigung von einer jener anderen Unbekannten oder von irgend einer Combination derselben erlauben darf. — Eine vollständige Benutzung jener Ausdrücke ergäbe sich dagegen unter der Voraussetzung daß die Größen i , P und K nach mehrmaligen Umstreichungen an einerlei Orte der Erde ebenso unverändert bleiben, als wir es bisher nach einmaliger Umstreichung annahmen. Beobachtet man nämlich dann nach jeder neuen Streichung der Nadel auf dieselbe Weise wie bei deren erstem Zustande, und bildet mit den erhaltenen Werthen von I und mit einem neuen Zeichen anstatt k , das betreffende Paar der vier Gleichungen [2], so erhält man respektive 6 Gleichungen zwischen 6, 8 Gleichungen zwischen 7, oder allgemein $2n + 2$ Gleichungen zwischen $n + 4$ Unbekannten, je nachdem man die Nadel 2, 3 oder allgemein n Male umgestrichen hat. Auch ließe sich unter der erwähnten Voraussetzung zwischen der Anzahl der Bedingungen und der der Unbekannten ein noch günstigeres Verhältniß herbeiführen, wenn man, sowohl bei dem ursprünglichen Zustande der Nadel, als auch nach jeder Umstreichung derselben, außer den statischen, noch zweierlei Schwingungsbeobachtungen anstellte. Aus dem Ausdrucke [B], Seite 12, folgt nämlich, daß die Dauer einer Schwingung der Nadel bei irgend einem ihrer Intensitätszustände und bei einer von denjenigen Lagen ihrer Drehungsaxe welche für die statischen Beobachtungen vorausgesetzt sind, von denselben vier beständigen Größen abhängt wie die, unter gleichen Umständen abgelesnen, Neigungswinkel I , und außerdem nur noch von dem, für einerlei Nadel stets gleichbleibenden, Trägheitsmomente derselben. Man wird daher durch die eben genannte Anordnung einer Beobachtungsreihe, 8 Gleichungen zwischen 6, 12 Gleichungen zwischen 7 oder allgemein $4n + 4$ Gleichungen zwischen $n + 5$ Unbekannten erhalten, je nachdem man die Nadel 1, 2 oder allgemein n Male umgestrichen hat und somit für i einen den Beobachtungen streng entsprechenden und von dem Einflusse ihrer zufälligen Fehler möglichst freien Werth suchen können. Es wird indessen der hieraus entspringende Vortheil, daß man die Inclination ohne Vernachlässigung einer Größe von kleinem aber doch nachweisbaren Einflusse bestimme, nur dann mehr als ein scheinbarer und trügerischer sein, wenn die dabei angenommene Beständigkeit von i , P und K wirklich stattfindet. —

Ich werde später eine Reihe solcher Beobachtungen anführen, welche ich in Berlin mit dem während der Reise gebrauchten Instrumente gemacht habe, und erwähne jetzt nur als Resultate derselben

- 1) daß sich die GröÙe K bei den angewandten Gambey'schen Nadeln kleiner als $3'$ ergab, und daß
- 2) bei verschiedenen Streichungen die GröÙen k und k' um nicht mehr als $0,04$ ihres mittleren Werthes von einander abwichen.

Mit diesen Erfahrungen will ich aber nun wieder nur diejenige Anordnung betrachten welche bei allen meinen Beobachtungen auf der Reise stattfand, bei denen an jedem Orte durch die zwei zu $I = 90^\circ$ gehörigen Ablesungen am Horizontalkreise, und durch 8 Ablesungen von Neigungswinkeln im magnetischen Meridiane, nicht mehr erhalten wurde, als die zu einmaliger Bildung der Gleichungen [2] erfordernden Winkel $I \ I' \ I'' \ I'''$. —

In Bezug auf die Vernachlässigung eines kleinen Einflusses den man sich bei der Benutzung solcher Beobachtungen erlauben muß, scheinen zwei Wege vorzugsweise nahe zu liegen. Nämlich entweder die Annahme daß die magnetische Axe der Nadel mit deren Axe der Figur zusammenfiel, das heißt daß $K = 0$ gewesen ist, oder die Voraussetzung daß die Intensitäten der Nadel vor und nach der Umstreichung einander gleich und somit $k - k' = 0$ war. Ich will deshalb nun die aus jeder dieser beiden Annahmen entspringenden Rechnungsvorschriften entwickeln, und zugleich den Einfluß ausdrücken welchen auf das Resultat von jeder derselben sowohl durch ein nicht vollständiges Stattfinden der dabei gemachten Voraussetzung, als auch durch die zufälligen Beobachtungsfehler ausgeübt wird.

Nimmt man an daß eine jede der vier Ablesungen $I \dots I'''$ zu klein sei um einen zufälligen Fehler $f \dots f'''$, so ist, in den Gleichungen [2], I zu ersetzen durch $I + f$ u. s. w. Setzt man aber

$$\begin{aligned} \alpha &= K + f & \gamma &= K + f'' \\ \beta &= -K + f' & \delta &= -K + f''' \end{aligned}$$

substituirt diese Werthe in [2], und löst dann das erste und zweite Paar dieser Gleichungen nach $\operatorname{tg} (P - k)$ auf, so folgt:

$$\operatorname{tg}(P - K) = \frac{\operatorname{ctg}(I + \alpha) - \operatorname{ctg}(I' + \beta)}{\operatorname{ctg}(I + \alpha) + \operatorname{ctg}(I' + \beta) - 2 \operatorname{ctg} i} = \frac{B'}{A' - 2 \operatorname{ctg} i}$$

$$\operatorname{tg}(P - K) = \frac{\operatorname{ctg}(I'' + \gamma) - \operatorname{ctg}(I''' + \delta)}{\operatorname{ctg}(I'' + \gamma) + \operatorname{ctg}(I''' + \delta) - 2 \operatorname{ctg} i} = \frac{\mathfrak{B}'}{\mathfrak{A}' - 2 \operatorname{ctg} i}.$$

wo die Summen und Differenzen von zwei Cotangenten mit einzelnen Buchstaben bezeichnet sind. Es wird aber dann:

$$\operatorname{tg} i = 2 \cdot \frac{B' - \mathfrak{B}'}{B' \mathfrak{A}' - \mathfrak{B}' A'}.$$

Ist i größer als 45° und sind die Werthe von $I \dots I'''$ um nicht mehr als 4° von dem arithmetischen Mittel aus denselben verschieden, so kann man sich mit Vortheil der folgenden Abkürzung dieses Ausdruckes bedienen:

$$\text{Mit } i' = \frac{I + I' + I'' + I'''}{4}$$

$$\begin{aligned} I &= i' + a & I' &= i' + b & I'' &= i' + c & I''' &= i' + d \\ a + \alpha &= a' & b + \beta &= b' & c + \gamma &= c' & d + \delta &= d' \end{aligned}$$

folgt:

$$i = i' + \Delta i' = i' + u \{ 1 + v \operatorname{ctg} i' \sin I' + 2u \operatorname{cosec} 2i' \sin I' \}$$

$$\text{wenn } u = \frac{a' d' - b' c'}{(a' - b') - (c' - d')} \quad v = \frac{(a'^2 - b'^2) - (c'^2 - d'^2)}{(a' - b') - (c' - d')}$$

gesetzt werden. — Man wird sich aber in den bezeichneten Fällen stets mit $\Delta i' = u$ vollständig begnügen können.

Trennt man daher, in den beiden für i erhaltenen Ausdrücken, die bekannten Theile der Größen $a' \dots d'$ von deren unbekannt vorausgesetzten Correktionen $\alpha \dots \delta$ oder deren Aequivalenten $K, f \dots f'''$, so ergibt sich folgendes Resultat:

Wenn man die Inclination der magnetischen Kraft berechnet entweder nach dem Ausdrucke:

$$[3] \operatorname{tg} i = 2 \frac{B - \mathfrak{B}}{B \mathfrak{A} - \mathfrak{B} A}, \text{ wo } \begin{aligned} A &= \operatorname{ctg} I + \operatorname{ctg} I' & \mathfrak{A} &= \operatorname{ctg} I'' + \operatorname{ctg} I''' \\ B &= \operatorname{ctg} I - \operatorname{ctg} I' & \mathfrak{B} &= \operatorname{ctg} I'' - \operatorname{ctg} I''' \end{aligned}$$

oder nach dem bei $i > 45^\circ$ für Nadeln mit mäßigem Schwerpunktsfehler gleichbedeutenden:

$$[4] i = i' + \frac{ad - bc}{(a - b) - (c - d)} \text{ wo } i' = \frac{I + I' + I'' + I'''}{4} \quad \begin{aligned} a &= I - i' & c &= I'' - i' \\ b &= I' - i' & d &= I''' - i' \end{aligned}$$

so ist jedesmal zu dem berechneten i noch folgende, von Unbe-

kannten abhängige, Correktion hinzuzufügen um auf den wahren Werth der Neigung zu kommen:

$$[3] \quad \left\{ K + \frac{f - f' + f'' - f'''}{4} \right\} \operatorname{ctg} i \cdot \operatorname{ctg} P + \frac{f + f' + f'' + f'''}{4}$$

In Folge dieses Ausdruckes für den Fehler der berechneten Inclination habe ich nun alle Beobachtungen die ich in Europa und in Nord-Asien mit der einen meiner zwei Nadeln gemacht habe nach der unter [3] und [4] gegebenen Rechnungsvorschrift reduziert. Bei dieser Nadel, die ich in der Folge die Nadel A nennen werde, betrug nämlich P stets nahe an 220° , und die Werthe von i oder die Inclinationen die mit derselben zu bestimmen waren lagen sämmtlich zwischen 65° und 78° . Der Faktor $\operatorname{ctg} i \cdot \operatorname{ctg} P$ variierte daher zwischen den Werthen 0,56 und 0,25 wodurch denn K immer nur mit einem geringen Theil seiner eignen Grösse, die Ablesungsfehler aber selbst im ungünstigsten Falle nur mit wenig mehr als ihre Grösse auf das Endresultat einwirkten. Der geringe Betrag dieses Einflusses läßt sich dadurch noch etwas näher schätzen, daß sich bei den früher erwähnten Versuchen sowohl K als die Ablesungsfehler stets kleiner als 3' ergaben.

Ganz anders verhält es sich aber für die Beobachtungen mit der andren meiner zwei Nadeln, welche ich die Nadel B nennen werde. Bei dieser hat sich zwar der Winkel P im Laufe der Reise mehrmals geändert, vorzüglich durch Wechsel in der Ausdehnung eines kleinen Rostfleckes an dem einen Ende derselben. Sowohl zu Anfang der Reise, als auch während meines zweimaligen Aufenthaltes in der Nähe des magnetischen Aequators, betrug er aber nahe an 165° , und da die Nadel B nicht nur mit der andren bei den erwähnten Beobachtungen auf dem alten Continente gebraucht wurde, sondern auch später während der Seefahrt zur Messung von Inclinationen zwischen 77° und 0° und zwischen 0° und -67° , so erlangte $\operatorname{ctg} i \cdot \operatorname{ctg} P$ für dieselbe sehr große Werthe. Die Rechnung nach den Ausdrücken [3] oder [4] wurde daher, allgemein zu reden, ganz unanwendbar auf die Beobachtungen mit Nadel B indem sie die Resultate derselben ausser dem mittleren Ablesungsfehler auch noch folgenden Fehlern aussetzte:

bei $i = 70^\circ$ einem Fehler von 1,36 ($K + \psi$)

$i = 50$ — — — 3,13 ($K + \psi$)

$i = 30$ — — — 6,46 ($K + \psi$)

$i = 10$ — — — 21,17 ($K + \psi$)

$i = 1^\circ$ — — — 213,81 ($K + \psi$)

wenn ψ für $\frac{f - f' + f'' - f'''}{4}$ geschrieben wird.

Es blieb daher zur Reduktion dieser Beobachtungen nichts anderes übrig, als die zweite der oben erwähnten Annahmen, nämlich die Voraussetzung von $k = k'$, oder einer bei beiden Lagen ihrer Pole gleich gebliebenen Intensität der Nadel.

Die für diese gültige Rechnungsvorschrift ergibt sich aber wie folgt.

Nachdem $k = k'$ gesetzt worden, kann man den vier Gleichungen [2] folgende Form geben

$$0 = \sin K \cdot \cos(I - i) + \cos K \cdot \sin(I - i) + k \cos P \cdot \cos I - k \sin P \cdot \sin I$$

$$0 = \sin K \cdot \cos(I' - i) - \cos K \cdot \sin(I' - i) - k \cos P \cdot \cos I' - k \sin P \cdot \sin I'$$

$$0 = \sin K \cdot \cos(I'' - i) + \cos K \cdot \sin(I'' - i) - k \cos P \cdot \cos I'' + k \sin P \cdot \sin I''$$

$$0 = \sin K \cdot \cos(I''' - i) - \cos K \cdot \sin(I''' - i) + k \cos P \cdot \cos I''' + k \sin P \cdot \sin I'''$$

Multipliziert man diese respektive mit den vier Faktoren:

$$\sin(I''' + I'') \cdot \sin(I' - i) + \sin(I''' - I') \cdot \sin(I'' - i) + \sin(I'' + I') \cdot \sin(I''' - i)$$

$$\sin(I''' + I'') \cdot \sin(I - i) + \sin(I''' + I) \cdot \sin(I'' - i) + \sin(I'' - I) \cdot \sin(I''' - i)$$

$$- \sin(I''' - I'') \cdot \sin(I - i) + \sin(I''' + I) \cdot \sin(I' - i) + \sin(I' + I) \cdot \sin(I''' - i)$$

$$\sin(I'' + I') \cdot \sin(I - i) - \sin(I'' - I) \cdot \sin(I' - i) + \sin(I' + I) \cdot \sin(I'' - i)$$

und addirt die Resultate, so werden in der entstehenden Gleichung die Summen der mit $\cos K$, mit $k \cos P$ und mit $k \sin P$ multiplizierten Glieder, eine jede einzeln, gleich Null; Dasselbe gilt daher auch für die Summe der mit $\sin K$ multiplizierten und man erhält demnach:

$$\begin{aligned} [6] \quad 0 = & \sin(I''' + I'') \sin(I' + I - 2i) + \sin(I' + I) \sin(I''' + I'' - 2i) \\ & + \sin(I'' - I') \sin(I''' + I - 2i) + \sin(I''' + I) \sin(I'' + I' - 2i) \\ & + 2 \cdot \sin(I''' - I') \sin(I'' - I) \end{aligned}$$

oder zur Bestimmung von i folgende Rechnungsvorschrift:

$$\text{Mit } \frac{I+I'+I''+I'''}{4} = i' \quad \frac{I''-I}{2} = m \quad \frac{I'''-I'}{2} = n$$

$$\text{tg } m \cdot \text{tg } n = \text{tg } p \quad \frac{\text{tg } n}{\text{tg } m} = \text{tg } q$$

[7]

$$\begin{aligned} \sin 2i' \cdot \sin 2q &= h \cos H & \frac{\sin 2p \cdot \sin 2q}{h} &= \sin F. \\ \cos 2i' \cdot \sin 2p &= h \sin H \end{aligned}$$

$$\text{ist: } i = i' - \frac{H}{2} + \frac{F}{2}$$

Der Fehler der in einer nach dem Ausdrucke [7] berechneten Inclination zurückbleibt, setzt sich aus dem Einflusse der etwanigen Veränderung der Intensität der Nadel durch das Umstreichen und aus den Ablesungsfehlern zusammen. Ist aber nach dem Umstreichen k zu k' geworden und setzt man $m+n=2s$

$$m-n=2d$$

so wird die nöthige Correktion eines berechneten Werthes von i höchst nahe zu:

$$[8] \quad \frac{k-k'}{k+k'} s + \Delta i + \Delta s \cdot \sin s \cdot \text{tg } i' - \Delta d \cdot \sin d \cdot \text{ctg } i'$$

Zu näherer Schätzung dieses zurückbleibenden Fehlers für meine Beobachtungen mit Nadel B, lasse ich die Werthe von s , d und i' folgen so wie sie sich im Mittel aus je 20 dieser Beobachtungen ohne Rücksicht auf ihre Zeichen ergeben:

Beobachtungen mit Nadel B				s	d	i'
No.	1 bis	21		0° 10'	0° 2'	69° 24'
—	21	— 41		0 6	0 2	71 20
—	41	— 61		0 12	0 7	70 29
—	61	— 81		0 15	0 8	62 47
—	81	— 101		0 31	0 5	25 33
—	101	— 121		1 7	0 5	2 51
—	121	— 141		1 14	0 2	0 23
—	141	— 161		1 9	0 3	13 6
—	161	— 181		0 39	0 6	41 45
—	181	— 201		0 47	0 8	58 33
—	201	— 221		2 49	0 6	19 43
—	221	— 241		5 30	0 3	17 27
—	241	— 261		2 29	0 9	58 52
—	261	— 281		1° 41'	0° 5'	69° 54'

Nimmt man nun noch, nach den früher erwähnten Erfahrungen:

$\frac{k - k'}{k + k'}$ nicht größer als $\frac{1}{50}$, so folgt, daß der Einfluß der etwanigen Intensitätsveränderung nur bei einigen der Beobachtungen von No. 211 bis 251 erheblicher und namentlich bis gegen 5' anwachsen, bei allen übrigen aber die gefundene Inclination kaum um 1' fehlerhaft machen konnte. Der Einfluß der Ablesungsfehler reduzirte sich aber mit Ausnahme einiger Beobachtungen in der Nähe des magnetischen Aequators stets auf $\Delta i'$ d. h. auf das arithmetische Mittel dieser Fehler, denn da die etwas stärkeren Werthe von s nur bei kleinen Neigungen vorkamen so blieb der Coefficient von Δs oder von $\frac{i'' + i''' - i - i'}{4}$ in allen Fällen ein äußerst kleiner Bruch. Dasselbe galt auch für den Coefficienten von Δd , oder von $\frac{i'' - i''' + i' - i}{4}$, mit einziger Ausnahme der Beobachtungen bei denen $i' < d$, und auf deren Resultat daher ein Fehler in d , einen, seine eigne GröÙe übertreffenden, Einfluß ausüben konnte. Während des ersten Aufenthaltes in der Nähe des magnetischen Aequators konnte, für einige der Beobachtungen mit Nadel B von No. 120 bis 144, dieser Fall eintreten. Der alsdann schädliche Einfluß einer kleinen Unsicherheit über den wahren Werth von d wurde aber bei diesen dadurch möglichst vermieden, daß ich den ihnen ins Gesamt am besten entsprechenden Werth $d = 0$, für jede einzelne angenommen, und daher, nach der obigen Bezeichnung, für jede dieser Beobachtungen von No. 120 bis 144:

$$m = n$$

$$\text{und } i = i' + p \cdot \text{tg } i'$$

gesetzt habe. Bei meinem zweiten Uebergange über den magnetischen Aequator (Nadel B No. 225 bis 229) blieb jedes i' noch beträchtlich größer als das entsprechende d , so daß der vollständigen Rechnung nach [7] nichts im Wege war. —

Es ist bei einigen meiner Beobachtungen vorgekommen, daß während einzelner Ablesungen zu den Winkeln $I \dots I''$, das Azimut der Umdrehungsaxe der Nadel um eine bekannte Anzahl Minuten α , von $\frac{a + a'}{2} - A$ oder, wie wir oben gesehen haben von 270°

24 Geographische und magnetische Ortsbestimmungen.

abwich. Die Bestimmung des wahren Werthes von i aus solchen Beobachtungen ergibt sich aus der Gleichung [A] Seite 12, denn durch Substitution von $a - A = 270^\circ + \alpha$ folgt aus derselben, mit Auslassung der höheren Potenzen von h und K :

$$\operatorname{tg} I = \frac{\sin(i - c - K) - k \cos(c + P)}{\cos(i - c - K) - k \sin(c + P) - \frac{\alpha^2}{2} \cdot \cos i \cdot \sin 1'}$$

und hieraus, für denjenigen Neigungswinkel der Nadel den man bei $\alpha = 0$ beobachtet hätte:

$$I - \sin I \cdot \cos i \cdot \frac{\alpha^2}{2} \sin 1' [1 + k \sin(i + P - K) - \frac{k^2}{2} (1 - 3 \sin(i + P - K)^2 + \dots)]$$

wofür man, mit Rücksicht auf die zwischen 0 und 0,04 enthaltenen Werthe von k bei meinen Beobachtungen, stets:

$$I - \sin 2i \cdot \frac{\alpha^2}{4} \sin 1'$$

setzen konnte. Da aber dieser Ausdruck unabhängig ist, sowohl von dem Vorzeichen von α als auch von der Intensität des Magnetismus der Nadel und der Lage ihres Schwerpunktes gegen ihre Pole, so wird eine jede der 8 einzelnen Ablesungen zur Bestimmung von $I \dots I'''$ sich um gleich viel von der ihr entsprechenden bei richtiger Einstellung unterscheiden. Ich habe daher die Correction:

$$[9] \quad - \sin 2i \cdot \frac{\alpha^2}{4} \sin 1'.$$

sowohl an einzelne Ablesungen angebracht, wenn die Drehungsaxe nur bei diesen um α Minuten von dem ersten magnetischen Vertikale abwich, als auch an den Werth von i , bei der Rechnung nach [4] oder nach [7], wenn ein gleicher Fehler in der Lage der Axe bei allen 8 Ablesungen stattgefunden hatte. —

In dem unten folgenden Verzeichnisse meiner Inclinationsbeobachtungen werde ich für eine jede derselben nur die vier Winkel I, I', I'', I''' , und den daraus geschlossenen Werth von i d. h. die wahrscheinlichste Inclination der magnetischen Kraft für den Ort

und die Zeit der Beobachtung aufnehmen. Es sind daher hier noch, durch einige vollständige Angaben, die Einzelheiten der Ablesungen und Rechnung darzustellen, und zwar für eine jede der drei Arten von Inclinationsbeobachtungen:

- 1) auf dem Lande mit Nadel A
- 2) auf dem Lande mit Nadel B
- 3) zur See mit Nadel B

durch einige, den übrigen derselben Art durchaus ähnliche, Beispiele.

1. Inclinations-Beobachtungen auf dem Lande mit Nadel A.

A. 42. JAKUZK. 1829. APRIL 13.

Durch $I = 90^\circ$ wurde gefunden $\frac{a = 314^\circ 13' \quad a + a' = 230^\circ 44',5}{a' = 147^\circ 16' \quad 2}$

Azimutalkreis.	Kreuz auf der Axe.	Erste Lage der Pole. Vertikalkreis.	Zweite Lage der Pole. Vertikalkreis.	Nadelspitze.
230° 44',5	vorne	75° 35'	72° 42'	obere
		75 43	72 50	untere
50 44,5	hinten	74° 55'	72° 30'	obere
		74 62	72 38	untere
230° 44',5	hinten	73° 3'	76° 44'	obere
		73 12	76 53	untere
50 44,5	vorne	72° 46'	75° 55'	obere
		72 53	75 63	untere

Es folgt $I'' = 75^\circ 18',75$ $I' = 72^\circ 40',00$
 $I'' = 72 58,50$ $I = 76 23,75$

und hieraus nach [4] Seite 19 mit $i' = 74^\circ 20'$

$$a - b = + 223',75 \quad ab = 7270,30$$

$$c - d = - 140,25 \quad cd = 8150,00$$

$$i = i' + \frac{ad - bc}{(a - b) - (c - d)} = 74^\circ 17',58$$

2. Inclinations-Beobachtungen auf dem Lande mit Nadel B.

B. 44. JAKUZK. 1829. APRIL 13.

Durch $I = 90^\circ$ wurde gefunden: $\frac{a = 320^\circ 30' \quad a + a'}{a' = 140^\circ 40' \quad 2} = 230^\circ 35',0$

Azmutalkreis.	Kreuz auf der Axe.	Erste Zweite Lage der Pole. Vertikalkreis.		Nadelspitze.
230° 35',0	vorne	74° 12'	74° 21'	obere
		74 20	74 21	untere
50° 35',0	hinten	74° 20'	74° 12'	obere
		74 26	74 19	untere
230° 35',0	hinten	74° 16'	74° 12'	obere
		74 22	74 12	untere
50° 35',0	vorne	74° 14'	74° 22'	obere
		74 22	74 24	untere

Es folgt: $I''' = 74^\circ 19',50$ $I' = 74^\circ 18',25$
 $I'' = 74 \quad 18',50$ $I = 74 \quad 17',50$

und hieraus nach [7] Seite 22 $i' = 74^\circ 18',43$

$n = -0^\circ 0',62$ $p = 0^\circ 0',00$ $H = -0^\circ 0',00$
 $m = -0^\circ 0',50$ $q = 51^\circ 7'$ $F = +0 \quad 0,00$

$$i = i' - \frac{H}{2} + \frac{F}{2} = 74^\circ 18',43$$

Einen etwas merklicheren Unterschied zwischen i und i' , und den größten der bei den Anwendungen von Nadel B auf dem Lande vorkam, zeigt die folgende Beobachtung:

B. 61. PETROPAULSHAFEN. 1829. SEPTEMBER 30.

Durch $I = 90^\circ$ wurde gefunden: $\frac{a = 66^\circ 0' \quad a + a' = 162^\circ 8',0}{a' = 258^\circ 16' \quad 2}$

Azimutalkreis.	Kreuz auf der Axe.	Erste Lage Vertikalkreis.	Zweite Lage der Pole.	Nadelspitze.
162° 8',0	vorne	65° 55'	62° 46'	obere
		65 60	62 52	untere
342° 8',0	hinten	65° 52'	63° 2'	obere
		65 60	63 10	untere
162° 8',0	hinten	61° 39'	64° 35'	obere
		61 41	64 44,5	untere
342° 8',0	vorne	61° 32'	64° 58'	obere
		61 40	64 63	untere.

$$I = 65^\circ 56,75 \quad I' = 62^\circ 57,50$$

$$I' = 61 \quad 38,00 \quad I'' = 64 \quad 50,12$$

$$i' = 63^\circ 50,59$$

und hiermit nach [7]:

$$m = -1^\circ 29,62 \quad p = -0^\circ 2',50 \quad H = -0^\circ 3',87$$

$$n = +1 \quad 36,06 \quad q = -47^\circ 3' \quad F = -0^\circ 6',32$$

$$i = i' - \frac{H}{2} + \frac{F}{2} = 63^\circ 49,37$$

3. Inclinations-Beobachtungen zur See mit Nadel B.

Sowohl während der Ueberfahrt nach Kamtschatka, als auch später auf dem Großen und auf dem Atlantischen Ocean, gelang es mir nur dadurch die angefangene Reihe von Inclinations-Beobachtungen fortzusetzen, daß ich das beschriebene Instrument auf einem zu diesem Zwecke, in der Compaswerkstatt des Ochotzker Hafens, angefertigten Stative aufstellte. An die kreisförmige hölzerne Platte dieses Statives, auf welche das Inclinatorium gesetzt wurde, waren zwei messingne Zapfen, als Verlängerung eines ihrer Durchmesser befestigt. Diese Zapfen wurden ein jeder durch ein Loch in einem, die Platte concentrisch umgebenden und etwa 2 Zoll weiteren, messingnen Ringe gesteckt, an welchem sich endlich zwei andere den genannten gleiche Zapfen, als Verlängerungen des auf die Verbindungslinie jener Löcher senkrechten Durchmessers des Ringes befanden. Diese zuletzt genannten Zapfen wurden dann in zwei Pfannen in dem auf dem Verdecke des Schiffes feststehenden Theile des Statives gelegt — der aus dreien durch Queerhölzer fest verbundenen hölzernen Beinen, und einem von demselben getragenen und mit jenen Pfannen versehenen Ramen bestand — und endlich eine Bleimasse von 100 Pfunden, mittelst dreier gleichlangen Schnüre, an die nun sicher unterstützte Platte so befestigt, daß sich deren Schwerpunkt stets um nahe 2 Fuß unterhalb des Schwerpunktes der Platte befand. Wenn man dann das beschriebene Inclinatorium auf dieser Platte aufstellte und seine aufrechte Axe, grade so wie auf dem Lande, vermittelst der Fußschrauben senkrecht machte, so blieb sie während aller folgenden Schwankungen des Schiffes so nahe an dieser Lage, daß sich die Blase in der mit ihr verbundenen Wasserwage selbst bei sehr unruhiger See nur um drei Theilungen bewegte. Nach dem oben erwähnten Werthe dieser Theilungen (Seite 7) entfernte sich also dann der senkrecht angenommene Durchmesser des Inclinatoriums um etwa $\pm 1',80$ von dieser Stellung. — Der feste Theil des Statives wurde stets so auf dem Verdecke aufgestellt, daß die Zapfen des messingnen Ringes dem Schiffskiele möglichst nahe parallel lagen und man übersieht leicht, daß, wenn dieser Parallelismus erfüllt ist, die Schwankungen auch auf das Azimut des Neigungskreises

durchaus ohne Einfluß bleiben. Läge hingegen für einen vom Spiegel nach den Vordertheil des Schiffes Sehenden, das Vorder-Ende der Verbindungslinie der Zapfen um den Winkel a rechts von dem Kiele, der sich gleichzeitig um t Minuten über den Horizont erheben haben möge, während auch die Linie von dem rechten zum linken Bord um r Minuten über dem Horizonte treffe, so wird das in Minuten ausgedrückte und nach rechts gezählte Azimut des Neigungskreises, wenn es bei horizontaler Stellung des Verdeckes $= 0$ war, höchst nahe:

$$\sin 2a \cdot \frac{t^2 - r^2}{13751} - \sin a^2 \cdot \frac{tr}{3438}$$

betragen. *) Selbst bei $a = 5^\circ$, welches wohl der grösst mögliche Fehler bei Aufstellung des Statives ist, und bei einem Reiten und Rollen des Schiffes durch welches die Werthe von t und r respective von $+4^\circ$ bis -4° und von $+8^\circ$ bis -8° wechselten, konnte sich daher das Azimut des Neigungskreises am Inclinatorium nur von $+0,7$ bis $-2,9$ verändern, wodurch dann nach dem Ausdrucke [9] auf Seite 24, die beobachtete Neigung im äussersten Falle nur um $\sin 2i \cdot 0,037$ d. h. um ein durchaus Unmerkliches gröfser als die wahre geworden wäre. — Ich habe demnach meine Beobachtungen auf Schiffen ebenso wie auf dem Lande, zur Aufindung der 8 verschiedenen Angaben der Nadel bei welchen deren Umdrehungsaxe senkrecht auf dem magnetischen Meridiane lag, angeordnet, mit dem einzigen Unterschiede dafs ich dabei noch den Einfluß der erwähnten kleinen Schwankungen des senkrechten Durchmessers zu vermindern suchte, indem ich die Nadel in Schwingungen versetzte und dann deren Gleichgewichtlage durch mehrmalige Ablesung der Endpunkte der Bogen erhielt, welche sie zu beiden Seiten derselben beschrieb. Eine jede meiner Inclinationsbeobachtungen auf dem Meere wurde daher einer der folgenden durchaus ähnlich:

*) Man erhält nämlich, wenn $a' = a$ den aus t und r hervorgehenden Zuwachs des Winkels a und den ihm gleichen für das Azimut des Neigungskreises bezeichnet: $\operatorname{tg} a' = \frac{\sin a \cos r}{\cos a \cdot \cos t + \sin a \cdot \sin t \sin r}$ und hieraus den oben angegebenen Näherungswerth für: $a' = a$.

B. 76. NÖRDLICHE GROSSE OCEAN.

1830 JANUAR 1. 15^h 0' Kessels.

Durch $I = 90^\circ$ wurde gefunden $\frac{a + a'}{2} = 267^\circ 30'$
 $a = 179^\circ 30'$
 $a' = 355^\circ 30'$

Azimutal- Kreis.	Kreuz auf der Axe.	Vertikalkreis. Erste Lage der Pole.							Neigung.
267° 30'	vorne	51,75	51,0	52,0	52,0	52,5	57,5	58,0	53° 59',79
		55,00	58,0	56,0	55,0	56,7	50,5	50,0	
87° 30'	hinten	52,0	54,0	54,0	53,0	52,0	52,5	51,5	54 50,36
		56,25	55,5	55,5	57,5	58,0	58,5	57,5	
267° 30'	hinten	42,0	41,0	45,5	49,0	48,5	46,5	50,0	53 26,79
		65,75	64,0	59,5	60,0	59,5	59,0	58,0	
87° 30'	vorne	48,0	46,0	47,75	51,75	48,0	49,0	48,75	52° 56',78
		59,0	58,0	59,0	57,0	55,5	56,0	57,5	

Zweite Lage der Pole.

267° 30'	vorne	48,0	50,0	49,0	50,0	50,0	49,75	49,25	52° 43',93
		55,5	57,5	54,0	56,5	56,5	56,0	56,25	
87° 30'	hinten	49,5	49,0	49,0	49,5	51,0	50,5	51,0	52 48,22
		58,0	56,5	56,0	55,0	55,0	54,5	54,75	
267° 30'	hinten	50,0	52,0	53,0	51,0	50,5	52,0	51,0	53 34,29
		57,5	55,0	54,0	55,25	57,0	56,0	55,75	
87° 30'	vorne	53,0	51,5	51,0	51,25	49,0	41,5	49,5	53° 32',14
		54,5	55,0	56,75	56,0	56,0	58,5	56,5	

Es folgt $I = 54^\circ 25',07$ $I' = 52^\circ 46',07$
 $I' = 53 11,78$ $I'' = 53 33,21$

$$i' = 53^\circ 29',03$$

und hieraus nach [7]

$$m = -0^\circ 49',50 \quad p = -0^\circ 0',15 \quad H = -0',22$$

$$n = +0 10,71 \quad q = -12^\circ 11',9 \quad F = -0',31$$

$$i = i' - \frac{H}{2} + \frac{F}{2} = 53^\circ 28',98$$

Nach diesem und nach einigen der vorstehenden Resultate, scheint die früher mit c bezeichnete Collimation des Neigungskreises d. h. der jedesmalige Unterschied zweier zu $1...1''$ verbundenen Ablesungen, in der ersten Hälfte der Beobachtung anders gewesen zu sein als in der zweiten. Es rührt dies davon her, daß die Wasserwaage nur erst bei der zweiten Hälfte der Beobachtung zur Horizontirung des mit Null bezeichneten Durchmessers am Neigungskreise angewendet, bei der ersten Hälfte aber nur zur Herbeiführung einer constanten aber willkürlichen Neigung desselben gebraucht wurde.

Bei der folgenden Beobachtung wurde die Reduktion auf den Meridian nach [9] Seite 24 angewendet:

B. 185. SÜDLICHE GROSSE OCEAN. 1830 MÄRZ 24 21^h 50' K.

Durch $I=90^\circ$ wurde gefunden: $\frac{a + a'}{2} = 95^\circ 47,5$
 $a = 190^\circ 5'$
 $a' = 1^\circ 30'$

Azimutal- Kreis.	Kreuz auf der Axe.	Vertikalkreis. Erste Lage der Pole.						Neigung der Nadel.
90° 45'	vorne	—58,9	—57,7	—55,7	—55,5	—55,0	—55,6	—60° 54',50
		—64,2	—66,0	—64,8	—66,0	—65,0	—66,5	
270 45	hinten	—68,2	—64,8	—67,8	—65,8	—65,5	—68,3	—60 49,00
		—57,0	—54,0	—56,2	—54,8	—54,2	—53,2	
90 45	hinten	—66,2	—67,2	—66,0	—67,0	—68,6	—66,8	—61 53,50
		—56,7	—55,8	—56,2	—59,0	—56,8	—56,3	
270 45	vorne	—59,8	—58,7	—58,0	—59,8	—60,6	—62,2	—62 13,50
		—65,6	—66,6	—65,2	—64,0	—63,0	—63,2	
Zweite Lage der Pole.								
95° 47',5	vorne	—68,0	—71,2	—71,2	—69,5	—70,0	—68,0	—63 1,50
		—56,0	—55,6	—55,6	—56,8	—55,7	—58,7	
275 47,5	hinten	—65,0	—65,2	—65,3	—67,0	—63,2	—64,2	—62 35,50
		—62,0	—60,0	—60,0	—59,2	—60,2	—59,8	
95 47,5	hinten	—65,0	—64,8	—64,2	—65,0	—63,0	—64,8	—61 22,00
		—58,0	—57,8	—57,8	—59,0	—59,0	—58,0	
275 47,5	vorne	—65,0	—63,8	—64,2	—63,0	—62,8	—63,2	—61 16,00
		—57,5	—60,2	—60,2	—57,8	—58,5	—59,0	

Die erste Hälfte der Ablesungen wurde hier, wie die Angaben des Azimutalkreises zeigen, in einem um $302,5 = \alpha$ vom magne-

tischen Meridiane entfernten Vertikale angestellt und es ist deshalb zu den zwei Resultaten derselben:

$$-\frac{\alpha^2}{4} \cdot \sin 2i \cdot \sin 1' = + 5',55$$

hinzuzufügen. Es folgt demnach:

$$I = - 60^\circ 46',20 \quad I'' = - 62^\circ 48',50$$

$$I' = - 61 \quad 57',95 \quad I''' = - 61 \quad 19,00$$

$$i' = - 61^\circ 42',91$$

$$m = - 1^\circ 1',15 \quad p = - 0^\circ 0',35 \quad H = + 0',79$$

$$n = + 0^\circ 19',47 \quad q = - 17^\circ 39',5 \quad F = + 0',83$$

$$i = i' - \frac{H}{2} + \frac{F}{2} = - 61^\circ 42',89.$$

Einstellung des Inclinatoriums bei kleinen Inclinationen.

Die bisher erwähnte Einstellung des Inclinatoriums, durch Bestimmung der zwei Azimute in denen die Nadel senkrecht war, erschien unanwendbar und mußte durch ein anderes Mittel ersetzt werden an den Orten wo die zu findende Inclination sehr klein war. Namentlich zeigte sich dieses als wir uns zum erstenmale dem magnetischen Aequator näherten bei etwa $3^\circ 30'$ Inclination, indem die Nadel B daselbst in keinem der nahe am ersten magnetischen Vertikale gelegenen Azimute entschieden senkrecht sondern vielmehr in einem derselben fast astatisch oder gleichgültig gegen jede Veränderung ihrer Neigung wurde. Man erhält durch das oben Seite 13 angegebene Mittel eine genügende Erklärung dieser Erscheinung, denn vergleicht man nach demselben die richtende Kraft für die Nadel in der senkrechten Gleichgewichtsstellung, mit der an demselben Orte in dem magnetischen Meridiane stattfindenden, so zeigt sich die erstere klein genug um annehmen zu dürfen, daß sie sehr schwache Reibungen an der Axe der Nadel nicht mehr überwinden konnte.

Nach der obigen Bezeichnung folgt aus [A] Seite 12 mit Auslassung der bei unserem Inclinatorium völlig unmerklichen Glieder in h:

$$[10] \quad R = \mu \times \{ \sin^2 i - \cos^2 i \cdot \sin^2 (a - A) - 2k [\sin i \cos (P - K) - \cos i \cdot \sin (a - A) \sin (P - K)] + k^2 \}^{\frac{1}{2}}$$

Schreibt man daher R' und R'' für die zwei zu vergleichenden Werthe von R im magnetischen Meridiane und bei senkrechter Stellung der Nadel so folgt:

R' aus R durch Substitution von $\sin(a - A) = \pm 1$

$$R'' - R = \sin(a - A) = \operatorname{tg} i \cdot \operatorname{tg}(c + K) - k \cdot \sin(c + P) \sec(c + K) \sec i$$

und: $\frac{R''}{R'} =$

$$\left\{ \frac{\sin^2 i - 2k \sin i \cos(P - K) + k^2 [\cos^2(c + K) - 2\cos(c + K) \sin(c + P) \sin(P - K) + \sin^2(c + P)]}{\cos(c + K)^2 [1 - 2k \sin(i \pm P \mp K) + k^2]} \right\}^{\frac{1}{2}}$$

setzt man hierin die bei Nadel B häufig vorgekommenen Zahlwerthe $k = 0,012$ $P = 165^\circ$ $K = +0^\circ 2'$ $c = 0$ und nimmt R' für die Beobachtung bei $a - A = 270^\circ$ so wird bei:

i .	$\frac{R''}{R'}$
15°	0,2620
10	0,1769
5	0,0905
4	0,0730
3	0,0556
2	0,0380
1	0,0206
0	0,0032

Ogleich also die Nadel B selbst unter dem magnetischen Aequator noch durch eine richtende Kraft von etwa $\frac{1}{412}$ der daselbst stattfindenden Gesamtkraft senkrecht werden sollte, so wurde doch dadurch diese Stellung bei weitem nicht mit der zur Azimutbestimmung nöthigen Entschiedenheit herbeigeführt, und die Erfahrung lehrte vielmehr, daß zu einer solchen Bestimmung, eine Inclination von mindestens $3^\circ 30'$ und somit eine richtende Kraft für das senkrechte Gleichgewicht von fast $\frac{1}{4}$ der daselbst stattfindenden Gesamtkraft nöthig war. Wenigstens verhielt es sich so als der Faktor μ , oder das Produkt der eignen Kraft der Nadel mit der magnetischen Erdkraft, mit welchem die absoluten Werthe von R proportional sind, diejenigen Größen besaß welche im großen Ocean in der Nähe des magnetischen Aequators vorkom-

34 Geographische und magnetische Ortsbestimmungen.

men. An der erwähnten Stelle dieses Meeres bei $3^{\circ} 30'$ Inclination betrug aber die Erdkraft namentlich 0,98 der dafür üblichen Einheit. Sie war im Atlantischen Meere nur 0,78 derselben Einheit bei 5° Inclination, d. h. wiederum an demjenigen Punkte wo mir die Einstellung des Inclinatoriums durch die Senkrechtigkeit nicht mehr genugsam entschiedne Resultate zu geben schien, — Es folgt aus diesen Erfahrungen eine in beiden Fällen nahe gleich gebliebne Beschaffenheit der Umdrehungsaxe der Nadel und ihrer Unterlagen, indem die durch diese verursachte Reibung aufhörte genügend überwunden zu werden, wenn das Produkt aus $\frac{R''}{R'}$ und der Erdkraft d. h. dem veränderlichen Faktor von μ :

im ersten Falle $< 0,063$

im zweiten Falle $< 0,070$

wurde. —

Ich habe nun unter diesen Umständen die Einstellung des Inclinatoriums mittelst einer in halbe Grade getheilten Horizontal-Boussole ausgeführt, welche auf dem oben erwähnten Glas-Kasten desselben so aufgesetzt wurde, daß sich ihre Absehlenslinie möglichst nahe in der Ebne des Neigungskreises befand; und ich überzeugte mich, als die Inclinationen, bei weiterem Fortschritte des Schiffes, wieder gröfser wurden, durch häufige Vergleichen, daß diese Einstellungsart mit der gewöhnlichen, durch Beobachtungen der Senkrechtigkeit der Nadel, sehr genügend übereinstimmte. Man kann namentlich, durch die folgende Zusammenstellung von Ablesungen, den Grad der Sicherheit schätzen mit welchem das Azimut des magnetischen Meridianes auf unseerm Schiffe, durch die eine oder andere dieser zwei Einstellungsarten gefunden wurde. Das beschriebene Stativ für das Inclinatorium war während derselben auf dem Verdecke festgebunden, und die Fußschrauben des Instrumentes erhielten auf dessen Platte eine stets gleiche Stellung, wonach denn, bei völliger Richtigkeit aller in Betracht kommenden magnetischen Ablesungen, der Unterschied je zweier Angaben für den magnetischen Meridian am Horizontalkreise des Inclinatoriums, dem Unterschiede der gleichzeitigen Angaben am Steuerkompass gleich werden sollte. — Bestimmt man aber umgekehrt, aus jeder dieser Beobachtungen, denjenigen Durchmes-

ser des Azimutalkreises welcher der mit dem Kiele fest verbundenen Null-Linie des Steuerkompass parallel zu liegen schien, so wären, immer unter der Voraussetzung unveränderter Aufstellung, die Abweichungen dieser Resultate von einem mittleren unter ihnen für identisch mit den gesuchten Unsicherheiten der Meridianbestimmungen zu halten.

Beobachtungen mit Nadel B Nummer.	Ablesung für die Richtung des magnet. Meridians am Inclinatorium.	der Null- Linie des Steuerkom- pass.	Die Nulllinie des Stenerkompass scheint parallel mit dem Durch- messer durch:	Abweichung des Resultates vom Mittel.	Die Einstel- lungsgeschah durch:
111 bis 112	51° 48'	W SW	164° 18'	— 0° 13'	die Horizon- tal-Bouss.
113 — 115	26 38	SW	161 38	— 2 52	—
116 — 119	26 40	SW	161 40	— 2 50	—
120 — 122	25 50	SW	160 50	— 3 40	—
123 — 127	73 5	W	163 5	— 1 25	—
127 — 130	75 45	W	165 45	+ 1 15	—
131	116 0	N W	161 0	— 3 30	—
132	75 45	W	165 45	+ 1 15	—
133 bis 135	74 45	W	164 45	+ 0 15	—
136 — 138	32 1	SW	167 1	+ 2 40	—
139 — 141°)	119 10	N W	164 10	— 0 20	—
143	11 0	SSW	168 30	+ 3 59	—
144 — 146	10 10	SSW	167 40	+ 3 9	—
147 — 153	9 10	SSW	166 40	+ 2 10	—
154 — 156	346 40	S	166 40	+ 2 10	—
157 — 158	343 25	S	163 25	— 1 5	die Inclina- tions - Nadel
159 — 160°)	344 30	S	164 30	— 0 1	—
162	73 35	W	163° 35'	— 0° 56'	—

Ich bezweifle nicht dafs ein beträchtlicher Theil der hier aufgeführten Abweichungen vom Mittel, von Verrückungen des Statives gegen den Schiffskiell, mit dem es nur durch ausdehnsame

*) Bei den Beob. unter Nummer 142 und 161 ist angemerkt dafs die Fusschrauben des Inclinatoriums nicht auf die dazu bezeichneten Stellen der Stativ-Platte gesetzt wurden. Die bei diesen Beobachtungen gemachten Ablesungen für den magnetischen Meridian am Inclinatorium können deshalb nicht mit zu den obigen Vergleichen gezogen werden.

Schnüre verbunden war, herrührte, wonach denn die Unsicherheit der angewandten Meridianbestimmung — welche sowohl aus den augenblicklichen Abweichungen des Schiffskiels von der gesteuerten Richtung, als auch aus zufälligen Reibungs- und Ablesungs-Fehlern der zum Steuern und zum Einstellen dienenden Nadeln entsprang — selbst in den äußersten Fällen, für kleiner als die hier gefundene Maximum-Gränze von 4° zu halten wäre. Bei den kleinen Inclinationen, zwischen 0° und 5° , bei denen die Einstellung mittelst der Horizontal-Boussole gebraucht wurde, könnten übrigens selbst durch jene äußerste Abweichung des Neigungskreises um 4° vom magnetischen Meridiane, die abgelesenen Neigungswinkel nur um höchstens $0,73$ vergrößert worden sein. — Ein richtigeres Urtheil über die Unsicherheit welche in der Einstellung des Inclinatoriums durch die Senkrechtheit der Nadel zurückbleibt, läßt sich auf folgende Versuche begründen, welche ich nach der Reise, in Berlin gemacht habe. Der Horizontalkreis des Instrumentes blieb während derselben vollkommen unverrückt, und die Nadel wurde nach je zwei Ablesungen so umgestrichen, daß man ihr absichtlich sehr verschiedene magnetische Intensitäten beizulegen und eben dadurch verschiedene Werthe der oben mit k bezeichneten GröÙe zu veranlassen suchte. Es wurde aber demnach gefunden bei $I = 90^\circ$:

$K = K$		$K = 180^\circ + K$	
a	a'	a	a'
209° 55',0	51° 55',0	207° 32',5	54° 27',5
209 40,0	51 40,0	202 37,5	57 30,0
206 0,0	53 44,0	203 19,0	58 37,5
208 57,5	51 42,5	208 18,5	51 22,5

Die Einstellung am Horizontalkreise bei welcher die Drehungsaxe nach den magnetischen West-punkt gerichtet worden, wäre daher respective gewesen:

130° 55',0	131° 0',0
130 40,0	130 3,75
129 52,0	130 58,25
130 20,0	129 50,50

und der mittlere Fehler eines einzelnen Resultates: 28', wodurch im Maximo, bei $i = 45^\circ$, eine Vergrößerung der Neigung um 0',056 zu befürchten ist.

Ueber die Dauer einer Schwingung von Inclinations-Nadeln und Horizontal-Nadeln, und deren Anwendungen.

Der unter II Seite 9 genannte allgemeine Ausdruck für jede Bewegung eines Körpers um eine feste Axe hat für Inclinationsnadeln die Form:

$$\frac{\pi^2 \cdot R A}{M l^2} \cdot \sin (\vartheta - 1) = \frac{d\omega}{dt}$$

oder wenn man $\vartheta - 1 = e$ setzt, so daß e die zur Zeit t in der Schwingungs-Ebene gemessene Abweichung der Collimationslinie von ihrer Gleichgewichtslage bedeutet, die damit identische:

$$\frac{\pi^2 \cdot R A}{M l^2} \sin e = - \frac{d^2 e}{(dt)^2}$$

angenommen. (Seite 12). —

Er erhält aber dieselbe Form auch in allen übrigen Fällen wo der betrachtete Körper nur von Parallel-Kräften d. h. von solchen angeregt wird von denen je eine auf jeden seiner Punkte nach einerlei Richtung wirkt, und somit für alle Bewegungen von Magnetnadeln welche nur durch die gleichzeitige Wirkung der zwei magnetischen Kräfte der Erde und der Schwere erfolgen.

Zu den verschiedenen Anwendungen dieses Resultates sind daher in dasselbe nur noch für R und für $M l^2$ die von den jedesmaligen Umständen abhängigen Werthe zu setzen. Für eine Inclinationsnadel deren Drehungsaxe den Winkel h mit dem Horizonte und den Winkel $(a - A)$ mit dem magnetischen Meridiane einschließt, haben wir oben diese Werthe bereits vollständig entwickelt, nämlich den von R unter [10] Seite 32, und von $M l^2$ für unsre Nadeln auf Seite 4.

Für Horizontal-Nadeln oder solche die an einem völlig biegsamen und torsions-losen Faden so aufgehängt sind, daß ihre magnetische Axe horizontal ist, erhält man ferner aus I und II (Seite 9) mit Beibehaltung der früheren Bezeichnungen:

$$R = \mu x \cos i.$$

und es ist für dieselben das allgemein mit $\frac{Ml^2}{\pi^2 A}$ bezeichnete Trägheitsmoment in Beziehung auf die Drehungsaxe gegeben durch:

$$l^2 = \{L^2 + L_z^2\}$$

wenn $\frac{ML^2}{\pi^2 A}$ das Trägheitsmoment für eine senkrechte Axe durch ihren Schwerpunkt und:

$$L_z = -\frac{\mu x}{Ms} \cdot \sin i.$$

den horizontalen Abstand ihres Aufhängungsfaden von ihrem Schwerpunkte, bezeichnet. —

Die zuletzt angeführte Differentialgleichung giebt nun bekanntlich für die Dauer T einer ganzen Schwingung der betrachteten Nadel, wenn E deren halben Schwingungsbogen oder die größte Abweichung der Collimationslinie derselben von ihrer Gleichgewichtslage bedeutet:

$$T = \sqrt{\frac{Ml^2}{RA}} \left\{ 1 + \frac{1}{4} \left(\frac{\sin v.E}{2} \right) + \frac{1}{32} \left(\frac{\sin v.E}{2} \right)^2 + \dots + \left(\frac{1.3.5 \dots 2n-1}{2.4.6 \dots 2n} \right)^2 \cdot \left(\frac{\sin v.E}{2} \right)^{2n} \right\}$$

oder auch durch Einführung des halben Schwingungsbogen selbst anstatt seines Sinusversus:

$$T = \sqrt{\frac{Ml^2}{RA}} \left\{ 1 + \frac{1}{16} \cdot X^2 + \frac{11}{1024} \cdot X^4 + \frac{1171}{737280} \cdot X^6 + \dots \right\}$$

wo $X = \frac{\pi}{180} \cdot E$ wenn E in Graden ausgedrückt war.

Ehe ich zur Anwendung dieses Ausdruches auf die Vergleichung der Intensität des Erdmagnetismus an verschiedenen Punkten durch Schwingungsbeobachtungen an denselben übergehe, habe ich noch die oben erwähnte Bestimmung des Collimationsfehler (K) und der bei Umstreichungen vorkommenden Veränderlichkeit des magnetischen Momentes $\left(\frac{k - k'}{k + k'} \right)$ für eine der auf der Reise gebrauchten Inclinationsnadeln, durch nahe gleichzeitige Beobachtung von Schwingungsdauern und Neigungen derselben in Berlin, etwas näher zu erwähnen.

Beobachtet man nach einander die Schwingungsdauern einer Inclinations.Nadel: T T₁ T₂ T₃, während ihre Drehungsaxe in ei-

ner auf dem magnetischen Meridiane senkrechten Vertikalebne liegt, und zwar im Uebrigen unter denselben vier Combinationen von Umständen welche bei den vier statischen Beobachtungen vorausgesetzt wurden, so sind in dem allgemeinen Ausdruck für T und in den zu dessen vollständiger Entwicklung nöthigen für R (Seite 32), nach einander zu setzen:

$$\begin{aligned} T &= T, \quad a - A = 270^\circ \quad \left. \begin{array}{l} \frac{pM}{\mu x} = k \\ K = K \end{array} \right\} \\ T &= T_1, \quad a - A = 90^\circ \\ T &= T_2, \quad a - A = 270^\circ \quad \left. \begin{array}{l} \frac{pM}{\mu' x} = k' \\ K = 180^\circ + K \end{array} \right\} \\ T &= T_3, \quad a - A = 90^\circ \end{aligned}$$

und man erhält dann:

$$T^4 = \frac{M^2 \cdot l^4 \cdot S^4}{A^2 \cdot \mu x^2 \{1 - 2k \sin(i + P - K) + k^2\}}$$

wenn S den Betrag der von E abhängigen Reihe bedeutet der in Folge der Anordnung der hier zu betrachtenden Beobachtungen für jede derselben gleich gesetzt werden soll. — Schreibt man in diesem Ausdrucke, und in den ihm ähnlichen für die drei anderen

$$\text{Schwingungs Dauern} \quad \frac{l^4 \cdot S^4}{p^2 \cdot A^2} = A^2$$

so folgt:

$$T^4 = \frac{A^2 \cdot k^2}{1 - 2k \cdot \sin(i + P - K) + k^2}$$

$$T_1^4 = \frac{A^2 k^2}{1 - 2k \cdot \sin(i - P + K) + k^2}$$

$$T_2^4 = \frac{A^2 k'^2}{1 + 2k' \cdot \sin(i + P - K) + k'^2}$$

$$T_3^4 = \frac{A^2 k'^2}{1 + 2k' \cdot \sin(i - P + K) + k'^2}$$

welche, in Verbindung mit den oben unter [2] angeführten Gleichungen (Seite 16), zur vollständigen Bestimmung von i P K k k', aus gemessenen Werthen von: T T₁ T₂ T₃, I P I' I'' hinreichen.

Ich habe nun in Berlin im September 1838 bei sechs verschiedenen Intensitätszuständen der Nadel und während eines Zeitraumes von 3 Stunden folgende Werthe dieser Größen beobachtet:

	I	72° 38',50	70° 52',50	70° 47',00
K = K	I'	64 20,00	65 38,00	65 37,50
	T	3'',679	2'',951	2'',926
	T ₁	3 , 637	2 , 899	2 , 832
	I''	65° 2',00	65° 5',00	64° 55',75
K = 180° + K	I'''	70 46,75	70 39,75	70 44,25
	T ₂	3'',010	2'',951	2'',941
	T ₃	3 , 111	3 , 044	2 , 994

von denen die vier ersten I I' T T₁ nach vorhergegangener absichtlicher Schwächung der Intensität der Nadel durch Streichung ihrer Hälften mit den ihnen gleichnamigen zweier anderen Magnete erhalten wurden. Die fünf Umstreichungen zwischen den übrigen Beobachtungen habe ich hingegen mit denselben Magnetstäben und ganz auf dieselbe Weise ausgeführt, welche ich während der Reise 330 Mal anwendete. — Unter der Annahme dafs A P K i während dieser Beobachtungen constant geblieben sind, waren 10 Unbekannte durch 24 Gleichungen zu bestimmen, nämlich durch 12 von der oben unter [2] angeführten Form Seite 16, und durch 12 andere von der eben angeführten für die Werthe von T. — Ich bin zu diesem Ende von Näherungswerthen für die 10 gesuchten Größen ausgegangen und habe deren wahrscheinlichste Verbesserungen nach der Methode der kleinsten Quadrate bestimmt. Es war dabei eine Entscheidung über das relative Gewicht der, in Bogenminuten auszudrückenden, Fehler in den statischen Beobachtungen und der, in Zeitsekunden auszudrückenden, für die beobachteten Werthe von T erforderlich, und diese wurde dadurch getroffen, dafs ich jede unmittelbar gefundene Gleichung für den Fehler einer beobachteten Schwingungsdauer mit 60 multiplizierte, die Ausdrücke für die Fehler der Neigungswinkel aber unmittelbar in Rechnung brachte. Es wurde sonach angenommen dafs man bei der Bestimmung der Schwingungsdauer eben so oft um $\frac{1}{16}$ Zeitsekunde irrte, als bei Bestimmung des Neigungswinkels um 6 Bogenminuten und obgleich, allgemein zu reden, ein solches Urtheil wohl noch bei weitem zu ungünstig für die Sicherheit der Schwingungsbeobachtungen sein möchte, so schien es doch in dem hier zu betrachtenden Falle nicht unpassend, weil ich in demselben jedesmal nur die Dauer einer geringen Anzahl von Schwingungen

beobachtet und auch, wie schon bemerkt anstatt der Reduktion derselben wegen des Schwingungsbogens, eine nicht in aller Strenge ausführbare Gleichmachung des anfänglichen Werthes von E angewendet habe. —

Unter diesen Voraussetzungen ergaben die vorstehenden Zahlen die Inclination in Berlin im Septbr. 1838: $i = 68^\circ 1', 52''$) den Collimationsfehler der Nadel $K = + 2', 59$ und ferner

$$P = 100^\circ 19' \quad A^2 = 27854$$

so wie die Werthe von k und k' in der Ordnung in der sie zu obigen Beobachtungen gehören:

$$\begin{array}{lll} k = 0,08090 & 0,05134 & 0,05023 \\ k' = 0,05350 & 0,05242 & 0,05393. \end{array}$$

Mit Ausschluss des ersten Werthes welcher nach absichtlicher Schwächung der Nadel statt fand, folgt also für den Werth von

$\frac{k - k'}{k + k'}$ auf den ich mich oben bezogen habe etwa $\frac{1}{40}$ und

$\frac{k - k'}{k + k'} \cdot K = 0', 052$. — Es bleiben aber in den vorstehenden

Beobachtungen folgende Fehler

I	— 3',15	+ 1',02	+ 2',71
I'	+ 1,37	— 0,87	— 4,51
T	+ 0'',020	— 0'',011	— 0'',018
T ₁	— 0,043	— 0,012	+ 0,024
I''	— 0',94	— 0',43	+ 3',93
I'''	+ 2,59	— 0,89	— 0,85
T ₂	— 0'',039	— 0'',011	+ 0'',043
T ₃	— 0,077	— 0,044	+ 0,051

oder im Mittel eine Unsicherheit von 2',34 bei einmaliger oder von 1',17 bei viermaliger Ablesung eines Neigungswinkels.

Die hier gefundenen absoluten Werthe von k und P sind übrigens mit denen während der Reise vorgekommenen nicht vergleichbar, weil seit derselben einige Veränderungen an dem messingnen Ramen welcher die Drehungsaxe der Nadel trägt, gemacht wurden. —

*) An einem unter $52^\circ 31' 36''$ Breite und $11^\circ 4' 49''$ Ost. von Paris gelegnen Punkte.

Vergleichende Beobachtungen über die Intensität der magnetischen Erdkraft.

Zur Vergleichung der Intensitäten des Erd-Magnetismus an verschiedenen Punkten meines Weges, habe ich auf dem Lande die Schwingungsdauern zweier Horizontal-Nadeln gemessen, die ich im Folgenden die cylindrische und die prismatische nennen werde, auf der See aber die Schwingungsdauern der früher erwähnten Neigungsnadel A, welche zwischen diesen Beobachtungen nicht mehr zu Inclinationsbestimmungen gebraucht wurde.

Es sind nun hier die Voraussetzungen anzuführen unter denen ich, aus jeder dieser Messungen auf dem Lande, einen Werth für die Intensität der Horizontalcomponente der magnetischen Kraft, und aus jeder auf der See gemachten, eine Bestimmung der gesammten Intensität dieser Kraft, erhalten habe, so wie auch diejenigen Einzelheiten über die Beobachtungen selbst, von denen die Sicherheit ihrer Resultate abhängt. —

Für die Dauer T einer Schwingung von Horizontal-Nadeln haben wir, dem Obigen nach, wenn S die vom Schwingungsbogen abhängige Reihe bezeichnet:

$$\left(\frac{T}{S}\right)^2 = \frac{M \cdot l^2}{A \cdot \mu x \cdot \cos i}$$

Es ist hierin: $\mu x \cos i$. das Produkt der gesuchten: Horizontalcomponente der Kraft der Erde f, mit dem eignen Magnetismus der Nadel. Dieser letztere ändert sich aber allgemein zu reden: proportional mit der Anzahl von Tagen d, welche seit der Abreise verflossen sind und ausserdem proportionel mit der jedesmaligen Temperatur der Nadel: v.

Wir haben demnach zu setzen:

$$\mu x \cos i = f a (1 - \beta d - \alpha v)$$

$$\text{und: } l^2 = L^2 \left\{ 1 + \left(\frac{\mu x \sin i}{M L \cdot s} \right)^2 \right\} = L^2 \left\{ 1 + \frac{a^2}{(M L)^2} \cdot f^2 \cdot \lg^2 i + \gamma \cdot v \right\}$$

in sofern man die von der Temperatur und von der Zeit abhängigen Veränderungen von a^2 ($2\alpha\alpha v$ und $2\alpha\beta d$) in dem stets äusserst kleinen Gliede dessen Nenner das Trägheitsmoment

und das Gewicht der Nadel enthält, als völlig unmerklich ausläßt, so wie auch den Faktor desselben Gliedes: $\frac{1}{s^2} = 1 - 0,010368 \cdot \sin^2 \varphi$, wenn φ die Breite des Beobachtungsortes bezeichnet. Dagegen drückt $ML^2\gamma$ die etwas merklichere Vermehrung aus, welche das Trägheitsmoment der Nadel durch Erhöhung der Temperatur um 1 Grad erfährt.

Setzt man nun:

$$-m \left(\frac{\alpha + \gamma}{2} \right) = \sigma \quad \frac{ML^2}{A \cdot A} = A \quad \frac{mL^2}{A^2 \cdot A^2} = b \quad m\beta = c$$

wo m den Modul der Briggschen Logarithmen bedeutet, so ergibt sich folgende Vorschrift zur Berechnung von f aus der beobachteten Schwingungsdauer einer Horizontal-Nadel:

$$[11] \quad \log \frac{T}{S} + \sigma v = \log T_0$$

$$\log f = \log A + b \cdot (ftg i)^2 + c \cdot d - 2 \log T_0$$

Der früher angeführte Ausdruck für die Schwingungsdauer einer Inclinationsnadel, für welche das bezeichnete Ende der Drehungsaxe in den Vertikal des magnetischen Westpunktes gebracht worden ist, geht zunächst über in:

$$\left(\frac{T}{S} \right)^2 = \frac{ML^2}{A \cdot a} \cdot \frac{\{1 + \gamma \cdot v\}}{\left\{ F^2 - \frac{2Mp}{a} \cdot F \cdot \sin(i + P - K) + \frac{M^2 p^2}{a^2} \right\}^{\frac{1}{2}}}$$

$$\text{worin: } a = a \{1 - \beta d - \alpha v\}$$

wenn man mit F die gesuchte gesammte Intensität der magnetischen Kraft am Beobachtungsorte, und mit $a \{1 - \beta d - \alpha v\}$ den eignen Magnetismus der Nadel bezeichnet, und demgemäß das k in den früheren Ausdrücken durch: $\frac{Mp}{a \cdot F}$ ersetzt. —

Schreibt man nun wieder zur Abkürzung:

$$-m \left(\frac{\alpha + \gamma}{2} \right) = \sigma, \quad \frac{a}{Mp} \{1 - \beta d\} = \phi, \quad \frac{l^2}{Ap} = \lambda, \quad i + P - K = 180^\circ + \pi$$

so ergibt sich F durch folgende Rechnung:

$$\log \frac{T}{S} + \sigma v = \log T_0$$

$$[12] \quad \sin u = \frac{T_0^2 \cdot \cos \pi}{\lambda}$$

$$T = \frac{\cos(\pi + u)}{\phi \cdot \sin u}$$

Bei meinen unten anzuführenden Beobachtungen ist einigemal die Schwingungszeit T_0 bestimmt worden, während sich das bezeichnete Ende der Drehungsaxe der Nadel in einem bekannten magnetischen Azimute: $270^\circ + \alpha$ befand. Ich habe dann, in Folge des allgemeinen Ausdruckes [10] Seite 32 für das Moment welches die Nadel richtet, die Intensität des Erdmagnetismus F nach folgender Rechnungsvorschrift erhalten:

$$\begin{aligned} \text{Man setze:} \quad r \cos \varrho &= \cos (\pi - i) \\ r \sin \varrho &= \sin (\pi - i) \cos \alpha \\ \operatorname{ctg} \mu &= \operatorname{ctg} i \cos \alpha \end{aligned}$$

$$\begin{aligned} n &= r \cdot \sin (i + \varrho) \quad m = \frac{\sin i}{\sin \mu} \quad \cos \psi = \frac{T_0^2}{\lambda} \\ [13] \quad \operatorname{tg} \chi &= \frac{m}{n} \cdot \operatorname{tg} \psi \end{aligned}$$

$$\text{so ist:} \quad F = \frac{2}{\Phi} \cdot \frac{n}{m^2} \cdot \frac{\sin^2 \frac{\chi}{2}}{\cos \chi}$$

wo π , Φ , λ und i die frühere Bedeutung haben.

Ich werde die Mittel deren ich mich zur Auffindung von T_0 aus den Beobachtungen über T , E und v d. h. zur Reduktion der direkt wahrgenommenen Schwingungsdauer wegen Schwingungsbogen und Temperatur bedient habe, erst später erwähnen, weil sie für jede der drei gebrauchten Nadeln dieselben waren, zuerst aber die beständigen Größen: A , b und c in dem Ausdrucke [11] für eine jede der zwei Horizontalnadeln, sowie $P - K$, λ und Φ in [12] und [13] für die Inclinations-Nadel A , aus den darüber vorhandenen Beobachtungen ableiten.

Bestimmung der Constanten für die zwei Horizontal-Nadeln.

Die cylindrische Nadel besteht aus einem Stahlstabe von 34",82 Länge und 1",00 Durchmesser seines kreisförmigen Querschnittes und aus einem, ihn theilweis umschließenden, messingnen Hohlcyylinder von: 7",0 Länge, 1",0 innerem und 1",3 äußerem Durchmesser. — Der Aufhängungsfaden war mittelst einer feinen Oese an diese messingne Hülse befestigt und wurde, so oft eine Verän-

derung nöthig erschien, durch äußerst kleine Verschiebungen derselben in die zur Horizontirung der magnetischen Axe nöthige Lage gebracht. *) Setzt man das spezifische Gewicht des Messings = 1,0866 von dem des Stahles, und nimmt wiederum die Pariser Linie als Maasseinheit so folgt:

$$L^2 = 88,42$$

und mit $A = 439,31$

$$b = \frac{m L^2}{A^2 A^2} = \frac{0,0001989}{A^2}$$

oder mit dem hiernächst abzuleitenden Werthe von A:

$$b = 0,00000865$$

Die prismatische Nadel hat als senkrecht auf ihre Drehungsaxe gelegne Basis ein Rechteck von 66,"00 und 4,"75 Seite. ihre Dicke beträgt nahe an 0,"33. — Der Faden wird an dieselbe mittelst einer eng anschließenden Hülse aus sehr dünnem und gegen 2 Linien breitem seidnen Bande befestigt, welche auf die hier zu machende Anwendung des Trägheitsmomentes keinen bemerkbaren Einfluß ausübt. Es wird demnach:

$$L^2 = 363,85$$

und $b = \frac{0,0008186}{A^2} = 0,00000714$

Die nun noch übrigen Constanten $\log A$ und c sind aus Schwingungsdauern zu bestimmen, die man zu verschiedenen Zeiten an Punkten beobachtet hat, an denen die Intensität des Erdmagnetismus bereits anderweitig bekannt d. h. durch diejenige Einheit ausgedrückt angenommen werden soll, welche seit Herrn Hansteens Arbeiten über diesen Gegenstand allgemein üblich geworden ist.

Ich habe dazu folgende Resultate angewendet. Vier mit A, B, C und D zu bezeichnende Punkte in der Nähe von Petersburg haben gegeneinander eine solche Lage, daß von A an, die gegen Norden und gegen Osten positiv gezählten Abstände:

*) Zur Untersuchung der Horizontalität der magnetischen Axe habe ich die Nadel über dem Spiegel eines sogenannten künstlichen Horizontes aufgehängt, wodurch sich leicht beurtheilen ließ ob sich, nach Ablenkung aus der Gleichgewichtslage, ein beliebiger Punkt derselben in einerlei Horizontal-Ebene bewegte. Vergl. dieses Berichtes Abthl. II. Bd. 1. S. 28.

X	Y
auf dem Meridiane.	auf dem Perpendikel.
für B — 1738 <i>Sajenen</i>	— 800 <i>Sajenen</i>
— C — 1863 —	— 1490 —
— D + 753 —	+ 1400 —

betragen. Zählt man nun die oben mit d bezeichnete Zeit in Tagen von 1828 April 15 an, so habe ich folgende Werthe von $\log T_0$ bestimmt:

für die cylindrische Nadel.

$\log T_0$	X	Y	d	
0,511119	0	0	48	bei A
0,509467	— 1738	— 800	48	— B
0,509290	— 1738	— 800	48	— B
0,509612	— 1863	— 1490	78	— C
0,518385	— 1738	— 800	905	— B
0,522010	+ 753	+ 1400	906	— D

für die prismatische Nadel.

$\log T_0$	X	Y	d	
0,682263	— 1863	— 1490	78	bei C
0,676730	— 1738	— 800	905	— B
0,680248	+ 753	+ 1400	906	— D

Am Punkte A setze ich für Juni und Juli 1828 nach Uebertragung der bekannten Intensität von Christiania:

\log der Intensit. der Horizontalcomponente $= 9,658997 = \log f$.
und in Folge von Professor Hænsteens Bemerkungen über die damalige jährliche Abnahme der Horizontalkraft im nördlichen Europa *) und Herrn Riefs Bestimmung der monatlichen Veränderungen derselben **)

an demselben Punkte für October 1830:

$$9,657527 = \log f.$$

Ferner mit $i = 71^\circ 6'$

für die cylindrische Nadel $bf^2 \cdot \operatorname{tg}^2 i = 0,000016$

— prismatische Nadel $bf^2 \cdot \operatorname{tg}^2 i = 0,000013$

*) Annalen der Physik. Bd. 97. S. 430.

**) P. Riefs de telluris magnetismi mutationibus etc. Berolini. 1831. pag. 13.

Bedeutend nun m und n die Zuwächse, welche man an dem Logarithmus der Horizontalcomponente beobachtet, wenn man von Punkt A um 1 Saene gegen Norden und gegen Osten fortschreitet, so erhält man nach [11] Seite 43 folgende Gleichungen.

$$0 \doteq -0,681222 + \log. A + 48.c$$

$$0 = -0,677918 + \log. A + 48.c + 1738.m + 800.n$$

$$0 = -0,677564 + \log. A + 48.c + 1738.m + 800.n$$

$$0 = -0,678208 + \log. A + 78.c + 1863.m + 1490.n$$

$$0 = -0,694282 + \log. A + 905.c + 1738.m + 800.n$$

$$0 = -0,701532 + \log. A + 906.c - 753.m - 1400.n$$

$$0 = -1,023511 + \log. A' + 78.c' + 1863.m + 1490.n$$

$$0 = -1,010975 + \log. A' + 905.c' + 1738.m + 800.n$$

$$0 = -1,018011 + \log. A' + 906.c' - 753.m - 1400.n$$

wo sich A und c auf die cylindrische, A' und c' auf die prismatische Nadel beziehen. — Nach der Methode der kleinsten Quadrate ergeben sich sodann als diesen Ausdrücken am nächsten entsprechende Resultate:

$$m = -1,8027 \cdot 10^{-6} \quad n = -1,0107 \cdot 10^{-6}$$

$$\text{und} \quad \log A = 0,680857 \quad c' = +19,528 \cdot 10^{-6}$$

$$\log A' = 1,028730 \quad c' = -16,055 \cdot 10^{-6}$$

durch welche die ersten Hälften der vorstehenden Gleichungen respektive folgende in Einheiten der 6ten Stelle Brigg. Logarithmen ausgedrückte Werthe annehmen:

$$\begin{array}{r} + 572 \\ - 66 \\ + 288 \\ - 790 \\ + 307 \\ - 211 \\ \hline - 74 \\ + 502 \\ - 132 \end{array}$$

Ich habe in Folge dieser Bestimmungen folgende Werthe für den Logarithmus der Horizontalcomponente des Erdmagnetismus ($\log f$) angenommen, wenn sich am d ten Tage

nach 1828 April 15. die reduzirte Schwingungszeit: T_0 ergeben hatte:

1) mit der cylindrischen Nadel:

$$\log f = 0,680857 + 10^{-6} \cdot 19,528 \cdot d + 10^{-6} \cdot 8,65 \cdot f^2 \cdot \lg^2 i - 2 \log T_0$$

2) mit der prismatischen Nadel:

$$\log f = 1,028730 - 10^{-6} \cdot 16,055 \cdot d + 10^{-6} \cdot 7,14 \cdot f^2 \cdot \lg^2 i - 2 \log T_0$$

Bestimmung der Constanten für die Inclinationsnadel A.

Nach den letzten Inclinationsbeobachtungen welche mit dieser Nadel, vor ihrer Anwendung zu den Intensitätsvergleichen, gemacht wurden, habe ich: $(P - K) = 215^\circ$ und daher $\pi = i + 35^\circ$ und $\log kF = 8,767363$ angenommen und demnach zur Bestimmung von λ nach dem Ausdrucke:

$$\lambda = \frac{T_0^2 \cdot \cos \pi}{\sin u} = T_0^2 \cdot \left\{ \left(\frac{1}{k} \right)^2 + \frac{2}{k} \sin \pi + 1 \right\}^{\frac{1}{2}}$$

folgende Zahlwerthe angewendet:

$\log T_0$	π	$\log F$	
0,497197	$105^\circ 41', 13$	0,205658	Ochozk am Ufer. 1829. Juli 18.
0,496705	$105 \quad 36, 24$	0,202228	Ochozk am Bord. 1829. Juli 22.

Die Angaben für $\log F$ sind aus Schwingungen beider Horizontalnadeln geschlossen.

Es folgt aus denselben: $\log \lambda = 2,445042$. —

Zur Bestimmung des Werthes der Größe Φ ist daher nun, aus Beobachtungen an Orten für welche die Intensität durch die Horizontalnadeln gegeben war:

$$\sin u = \frac{T_0^2 \cdot \cos \pi}{\lambda}$$

und demnächst

$$\Phi = \frac{\cos(\pi + u)}{F \cdot \sin u}$$

zu rechnen. Ich habe aber mit der in Rede stehenden Nadel A eine erste Reihe von Intensitätsbeobachtungen: auf dem Ochozker Meere, bei der Ueberfahrt von Ochozk nach Kamtschatka, gemacht, für welche die dabei anzuwendenden Werthe von $\log \Phi$ durch Vergleichung ihrer Schwingungsdauern mit den Resultaten

der Horizontalnadel in Ochozk, und an der Mündung des Tigilflusses auf Kamtschatka zu bestimmen sind. Nach Vollendung dieser Reihe wurde die Nadel A auf Kamtschatka selbst, noch einige Male zu Inclinationsbestimmungen angewendet und demnach mit Magnetstäben umgestrichen. — Sie blieb erst bei den ferneren Ueberfahrten zwischen Petro-Pauls-Hafen, Sitcha, San Francisco, Otaciti, Rio Yaneiro und Portsmouth ausschließlich zu Intensitätsmessungen bestimmt. Ich werde daher die für diesen zweiten Theil der Seereise anzuwendenden Werthe von $\log \Phi$ aus den beobachteten Schwingungsdauern der Nadel A und der Horizontal-Nadeln, an den einzelnen der eben genannten Küstenpunkte und an zweien Punkten auf dem Meere ableiten, indem ich sie während der dazwischen liegenden Ueberfahrten, der Zeit proportional veränderlich setze.

	$\log T_o$	π	$\log F.$	$u.$	$\log \Phi.$	$\log \Phi.$
1829 Juli 18. Bei Ochozk	0,497197	+ 105° 41',13	0,205658	— 0° 32',93	1,229896	
— Juli 22. Bei Ochozk	0,496705	+ 105° 36',24	0,202228	— 0° 32',67	1,234319	1,232108 1829 Juli 20.
— Aug. 13. Am Tigil	0,503811	+ 103° 27',45	0,193375	— 0° 29',49	1,224173	1,224173 — August 13.
— Octbr. 13. Petro-Paul	0,500101	+ 98° 49',37	0,168439	— 0° 18',93	1,260709	1,260709 — Octbr. 13.
— Novbr. 12. Auf Sitcha	0,474536	+ 110° 50',59	0,235251	— 0° 39',04	1,247539	
— Novbr. 12. Auf Sitcha	0,474485	+ 110° 50',59	0,235251	— 0° 39',03	1,247641	1,247590 — Novbr. 12.
— Decbr. 12. San Francisco	0,494054	+ 97° 37',88	0,193344	— 0° 16',02	1,246411	1,246411 — Decbr. 12.
1830 Januar 13. In See	0,564563	+ 60° 45',46	0,039490	+ 1° 21',14	1,257597	
— Januar 13. In See	0,562223	+ 60° 45',46	0,039490	+ 1° 20',27	1,262483	
— Januar 13. In See	0,563808	+ 60° 45',46	0,039490	+ 1° 20',86	1,259174	1,259751 1830 Januar 13.
— Febr. 18. Point Venus	0,553421	+ 4° 34',95	0,059309	+ 2° 37',28	1,276840	
— Febr. 18. Point Venus	0,553324	+ 4° 34',95	0,059309	+ 2° 37',15	1,277237	
— Febr. 20. Point Venus	0,550487	+ 4° 33',23	0,061056	+ 2° 35',18	1,281004	1,278360 — Febr. 19.
— April 29. In See	0,588896	— 2° 52',65	9,978723	+ 3° 5',56	1,289072	1,289072 — April 29.
— Mai 26. Bei Rio Yaneiro	0,618562	+ 21° 30',10	9,940893	+ 3° 18',17	1,256316	1,256316 — Mai 26.
— Aug. 30. Bei Portsmouth	0,515849	+ 103° 32',65	0,123914	— 0° 31',08	2,272799	1,272799 — August 30.

Ueber die Bestimmung von T_0 durch Beobachtung der Schwingungsdauern und durch Reduktion derselben auf unendlich-kleine Schwingungsbogen auf 0° Temperatur und Mittlere Zeit.

Zur Beobachtung der Schwingungsdauern habe ich die beschriebenen Horizontalnadeln in einem mit Glasscheiben versehenen hölzernen Kasten aufgehängt, welcher eben so angeordnet war wie der von Herrn Professor Hansteen zu diesem Zwecke vorgeschlagene und angewendete; die Nadel A aber, grade so wie zur Inclinationsbestimmung, auf die Lager des Neigungskreises gelegt. Die Temperatur der Nadeln wurde an einem Thermometer abgelesen, welches sich neben ihnen in dem jedesmal angewandten Gehäuse befand, auch wurden darin beide (die Nadel und das Thermometer) schon einige Zeit vor der Beobachtung den erklärenden oder erwärmenden Umständen auf möglichst gleiche Weise ausgesetzt. Die Nadel wurde dann in Schwingung versetzt, und nach einander die Momente des 0ten. 10ten. 20sten.... 100ten Durchgangs derselben durch die zuvor bemerkte Gleichgewichtslage auf dem getheilten Kreise des Gehäuses, an einem Chronometer (Kessels 1253) beobachtet, welches jedes vierte Zehnthel einer Sekunde unmittelbar angibt. Ich habe kaum nöthig zu erinnern, daß sowohl diese Beobachtungen selbst, als auch deren Registrierung ohne fremde Hülfe gelangen, indem man einige Sekunden vor dem zu beobachtenden Durchgange der Nadel, den Stand der Uhr ablas, und dann die bis zu demselben noch vorkommenden Uhrschläge durch das Gehör bestimmte. Bei dem 0ten und bei dem 100ten Durchgange wurde ausserdem noch der Schwingungsbogen gemessen und aufgeschrieben. —

Ich werde nun die Mittel angeben durch welche ich, aus einer solchen Reihe beobachteter Durchgänge, den wahrscheinlichsten Werth für die Dauer einer einzelnen Schwingung in unendlich kleinem Bogen und bei 0° Temperatur berechnet habe.

Dem Obigen nach ist:

$$T = \tau \left\{ 1 + \frac{1}{16} X^2 + \frac{11}{1672} X^4 + \frac{173}{717216} X^6 \dots \right\}$$

4°

wenn $X = \frac{\pi}{180} \cdot E$, und E den halben Schwingungsbogen in Graden während einer einzelnen Schwingung bedeutet deren wirkliche Dauer T, in unendlich kleinem Bogen bei derselben Temperatur zu τ wird. — War nun:

bei der 0ten Schwingung $X = a$

bei der 10mten — $X = b$

und setzt man voraus, dafs: unter sonst gleichen Umständen, die augenblickliche Abnahme des Schwingungsbogens der eben stattfindenden Gröfse desselben proportional oder dafs, wenn u die Anzahl der bereits vollendeten Schwingungen, A eine Constante bedeutet, $dx = -Ax$. du sei, so ergibt sich der zur uten Schwingung gehörige Werth:

$$X = a \left(\frac{b}{a} \right)^{\frac{u}{10m}}$$

und für die Dauer t der uten Schwingung:

$$t = \tau \left\{ 1 + \frac{1}{16} \cdot a^2 \cdot \left(\frac{b}{a} \right)^{\frac{2u}{10m}} + \frac{11}{3072} \cdot a^4 \cdot \left(\frac{b}{a} \right)^{\frac{4u}{10m}} + \frac{173}{737280} \cdot a^6 \cdot \left(\frac{b}{a} \right)^{\frac{6u}{10m}} \dots \right\}$$

Die Dauer der u ersten Schwingungen ist aber ausgedrückt durch: $\int_0^u t du$. und man erhält durch Ausführung dieser Integration, wenn $n \ n' \ n'' \dots n^{(m)}$ die beobachteten Momente des 0ten 10ten 20sten ... 10mten Durchgangs der Nadel durch ihre Gleichgewichtslage bedeuten, folgende Gleichungen zwischen den beobachteten Gröfsen und der gesuchten τ :

$$n = \epsilon$$

$$n' = \epsilon + 10 \cdot \tau + \frac{20 \tau}{\log. \text{nat}(z)} \left\{ \frac{1}{16} \cdot \frac{a^2}{2} (z-1) + \frac{11}{3072} \cdot \frac{a^4}{4} (z^3 - 1) + \frac{173}{737280} \cdot \frac{a^6}{6} (z^5 - 1) \dots \right\}$$

$$n'' = \epsilon + 20 \cdot \tau + \frac{20 \tau}{\log. \text{nat}(z)} \left\{ \frac{1}{16} \cdot \frac{a^2}{2} (z^3 - 1) + \frac{11}{3072} \cdot \frac{a^4}{4} (z^5 - 1) + \frac{173}{737280} \cdot \frac{a^6}{6} (z^7 - 1) \dots \right\}$$

⋮

$$n^{(m)} = \epsilon + 10m \cdot \tau + \frac{20 \tau}{\log. \text{nat}(z)} \left\{ \frac{1}{16} \cdot \frac{a^2}{2} (z^{m} - 1) + \frac{11}{3072} \cdot \frac{a^4}{4} (z^{2m} - 1) + \frac{173}{737280} \cdot \frac{a^6}{6} (z^{3m} - 1) \dots \right\}$$

wo z für $(\frac{b}{a})^{\frac{2}{m}}$ geschrieben ist. — Bezeichnet man aber zur Abkürzung das dritte Glied der 2ten 3ten ... $m+1$ sten Gleichung respektive mit y' y'' ... $y^{(m)}$ so ergibt sich, durch Anwendung der Methode der kleinsten Quadrate, der wahrscheinlichste Werth von 10τ :

$$10 \tau = \frac{6}{m \cdot m + 1 \cdot m + 2} \{ m(n-n) + \dots + (m-2u)(n-n^u) + \dots \} \\ + \frac{6}{m \cdot m + 1 \cdot m + 2} \{ m(y' + \dots + y^u + \dots + y^m) - 2(y' + \dots + uy + \dots + my^m) \}$$

Durch Ausführung der angedeuteten Summationen in Bezug auf die y erhält man demnach folgende Rechnungsvorschrift.

Setzt man:

$$\frac{6}{m \cdot m + 1 \cdot m + 2} \{ m(n-n) + (m-2)(n-n') \dots + (m-2u)(n-n^u) + \dots \} \\ = 10 \tau'$$

$z = (\frac{b}{a})^{\frac{2}{m}} = (\frac{e}{E})^{\frac{2}{m}}$ wenn e und E den halben Schwingungsbogen in Graden am Anfang und am Ende der Beobachtungsreihe bezeichnen, so ist:

$$\tau = \tau' + \frac{\tau'}{23,02585 \cdot \log z} \left\{ \frac{15 E^2 \pi^2}{4 \cdot 180^2} \left(\frac{1}{m+2} \frac{1-z}{m+1(1-z)^2} - \frac{1}{m+1 \cdot m} z \frac{1-z^m}{(1-z)^2} \right) \right. \\ + \frac{55 E^4 \pi^4}{512 \cdot 180^4} \left(\frac{1}{m+2 \cdot m+1} \frac{1-z^{2m+4}}{(1-z^2)^2} - \frac{1}{m+1 \cdot m} z^2 \frac{1-z^{2m}}{(1-z^2)^2} \right) \\ \left. + \frac{173 \cdot E^6 \pi^6}{36864 \cdot 180^6} \left(\frac{1}{m+2 \cdot m+1} \frac{1-z^{3m+6}}{(1-z^2)^2} - \frac{1}{m+1 \cdot m} z^3 \frac{1-z^{3m}}{(1-z^2)^2} \right) \right\}$$

Der von E^6 abhängige Theil dieses Ausdruckes erlangte bei meinen Beobachtungen nur in einigen seltenen Fällen einen bemerkbaren Einfluß auf die Hunderttausendtel der Sekunden in dem Werthe von τ . Die von noch höheren Potenzen des Schwingungsbogens herrührenden Einflüsse konnten daher in allen Fällen unberücksichtigt bleiben.

Um aber den jedesmaligen Werth dieser an τ' anzubringenden Correktion mit Leichtigkeit zu ermitteln, habe ich dieselbe gleich:

$$- \tau' \cdot \{ E^2 \cdot F(z) + E^4 F'(z) + E^6 F''(z) \}$$

gesetzt und dann für jede Combination der Werthe von z und m zwischen

$$z = 0,20 \ 0,21 \ 0,22 \dots \text{bis } 1,00$$

$$\text{und } m = 5 \ 6 \ 7 \dots \text{bis } 12,$$

die Logarithmen der drei Größen $F(z)$ $F'(z)$ $F''(z)$ berechnet und in eine Tafel gebracht. Mit den zwei Argumenten m u. $z = \left(\frac{c}{E}\right)^{\frac{2}{m}}$ ergaben sich dann aus derselben die zur Berechnung von:

$$\tau = \tau' \{ 1 - E^2 \cdot F(z) - E^4 \cdot F'(z) - E^6 \cdot F''(z) \}$$

nöthigen drei Zahlen entweder durch unmittelbare Ansicht oder durch eine nur nach einem der Argumente auszuführende und daher hinreichend einfache Interpolation. —

Der auf diese Weise gefundene Werth von τ drückt die Dauer einer Schwingung der Nadel in Sekunden der angewandten Uhr, bei unendlich kleinem Bogen und bei derjenigen Temperatur (v) aus, welche die Nadel während der Beobachtung besaß. Ich habe nun, vor meiner Reise, in Berlin die Schwingungsdauer der cylindrischen Nadel und die einiger anderen, deren Längen sich denen der prismatischen und der Inclinationsnadel näherten, bei Temperaturen zwischen 0° und $+75^\circ$ R. beobachtet *) und gefunden, daß sich dieselben genügend darstellen lassen durch:

$$\log \tau_0 = \log \tau - 96,2498 \cdot v.$$

wenn $\log \tau$ und $\log \tau_0$ respektive sechsstellige Briggische Logarithmen der bei v° Réaumur beobachteten und der auf 0° reduzierten Schwingungsdauer bezeichnen, und ich habe deshalb diesen Ausdruck angewendet um eine jede auf der Reise beobachtete Schwingungsdauer auf die Temperatur des schmelzenden Eises zu reduciren. — Es blieb dann endlich noch übrig, um alle Resultate der Beobachtungen in einerlei Zeitmaße und namentlich in Sekunden mittlerer Zeit auszudrücken, daß anstatt $\log \tau_0$ der verbesserte Werth

$$\log T_0 = \log \tau_0 - 5,026 \ g$$

angewendet wurde, wobei g die tägliche Voreilung der bei der Beobachtung gebrauchten Uhr gegen mittlere Zeit und $5,025 = \frac{\text{Mod.}}{86400}$

*) P. Erman. Die magnetischen Verhältnisse von Berlin in: Denkschriften der Berl. Akademie. 1828.

den Quotienten des Modulus der Briggischen Logarithmen durch die Dauer eines Tages in Sekunden, in Einheiten der sechsten Stelle Brigg. Logar. ausdrückt.

Die hierbei gebrauchten Werthe des Uhranges welche sich aus den im 1sten Bande der II. Abth. dieses Berichtes mitgetheilten Beobachtungen ergeben sind:

	für	g:
1828 April 15 bis Juli 5.	+ 1,74	
— Juli 5 — Sptbr. 24.	+ 1,10	
— Sptbr. 24 — Decbr. 28.	+ 1,23	
— Decbr. 28 — Febr. 1.	+ 2,66	
1829 Febr. 1 — April 1.	+ 3,19	
— April 1 — April 20.	+ 4,62	
— April 20 — Octbr. 30.	+ 6,04	
— Octbr. 30 — Nvbr. 14.	+ 5,91	
— Nvbr. 14 — Decbr. 6.	+ 8,33	
— Decbr. 17 — Febr. 23.	+ 3,08	
1830 Febr. 23 — Mai 23.	+ 3,82	
— Juni 16 — Sptbr. 30.	+ 2,87	

Zusammenstellung der bei der Intensitätsberechnung gebrauchten Zahlwerthe.

Aus dem bisher Angeführten entstanden demnach zur Berechnung der Intensitäten die folgenden numerischen Hülfsmittel, welche ich hier vollständig mittheile, damit man meine Resultate mit geringstem Zeitaufwande prüfen könne. Bezeichnet man mit $U'U''$... die Unterschiede zwischen den Zeiten des letzten und des ersten, des vorletzten und des zweiten, des drittletzten und des dritten, u. s. w. der beobachteten Durchgänge der Nadel durch ihre Gleichgewichtslage, so wurde respektive gefunden, je nachdem die Nadel in Allem 50, 60, 70 ... 120 Schwingungen gemacht hatte oder aber bei:

$$m = 5 \quad r' = \frac{1}{350} \{ 5U + 3U' + U'' \}$$

$$m = 6 \quad r' = \frac{1}{280} \{ 3U + 2U' + U'' \}$$

$$m = 7 \quad r' = \frac{1}{840} \{ 7U + 5U' + 3U'' + U''' \}$$

$$m = 8 \quad r' = \frac{1}{600} \{ 4U + 3U' + 2U'' + U''' \}$$

$$m = 9 \quad r' = \frac{1}{1650} \{ 9U + 7U' + \dots + U'' \}$$

$$m = 10 \quad r' = \frac{1}{1100} \{ 5U + 4U' + \dots + U'' \}$$

$$m = 11 \quad r' = \frac{1}{2860} \{ 11U + 9U' + \dots + U' \}$$

$$m = 12 \quad r' = \frac{1}{1820} \{ 6U + 5U' + \dots + U' \}$$

Zu leichter Uebersicht habe ich in dem unten folgenden Verzeichnisse meiner Beobachtungen, je zwei Zeitangaben, welche einen Werth von U , U' ... bestimmen in einerlei Zeile neben einander geschrieben.

Die folgende Tafel diene dann um den erhaltenen Werth von r' , von dem Einflusse der Schwingungsbogen zu befreien. Sie enthält, wie früher erwähnt, mit den Argumenten m und $z = \left(\frac{e}{E}\right)^{\frac{2}{m}}$ die Logarithmen der Funktionswerthe $F(z)$ $F'(z)$ $F''(z)$, und giebt daher leicht die gesammte Correction $-r'(E^2 F(z) + E^4 F'(z) + E^6 F''(z))$. Ich habe hier, um Raum zu ersparen, nur die Hälfte der bei der Rechnung angewandten, Tafel nämlich diejenigen Werthe der $F(z)$ u. s. w. aufgenommen, welche Zuwächsen von je 0,02 in dem Werthe von z entsprechen.

Tafel zur Reduktion beobachteter Schwingungsdauern auf unendlich kleine Bogen.

z	m = 5.			m = 6.			m = 7.			m = 8.		
	$\log F(z)$	$\log F'(z)$	$\log F''(z)$	$\log F(z)$	$\log F'(z)$	$\log F''(z)$	$\log F(z)$	$\log F'(z)$	$\log F''(z)$	$\log F(z)$	$\log F'(z)$	$\log F''(z)$
0,10	4,0983	9,017	4,14	3,9768	8,891	4,01	3,8702	8,782	3,90	3,7762	8,686	3,81
12	4,1371	9,051	4,17	4,0163	8,926	4,05	3,9103	8,817	3,94	3,8159	8,720	3,84
14	4,1743	9,085	4,20	4,0545	8,960	4,08	3,9491	8,851	3,97	3,8532	8,754	3,87
16	4,2106	9,117	4,24	4,0917	8,992	4,11	3,9866	8,885	4,00	3,8930	8,788	3,91
18	4,2450	9,149	4,27	4,1275	9,024	4,14	4,0231	8,916	4,03	3,9299	8,819	3,94
0,20	4,2791	9,179	4,30	4,1621	9,055	4,17	4,0585	8,947	4,06	3,9657	8,851	3,97
22	4,3106	9,208	4,32	4,1946	9,085	4,20	4,0919	8,977	4,09	3,9997	8,881	3,99
24	4,3412	9,236	4,35	4,2264	9,114	4,22	4,1246	9,006	4,12	4,0330	8,910	4,02
26	4,3709	9,264	4,37	4,2574	9,142	4,25	4,1564	9,034	4,14	4,0657	8,938	4,05
28	4,3997	9,291	4,40	4,2877	9,169	4,28	4,1876	9,062	4,17	4,0974	8,967	4,07
0,30	4,4277	9,317	4,43	4,3170	9,197	4,30	4,2180	9,090	4,19	4,1289	8,994	4,10
32	4,4557	9,345	4,45	4,3464	9,224	4,33	4,2485	9,118	4,22	4,1602	9,022	4,13
34	4,4833	9,372	4,48	4,3757	9,252	4,36	4,2790	9,146	4,24	4,1915	9,051	4,15
36	4,5104	9,400	4,50	4,4045	9,280	4,38	4,3092	9,174	4,27	4,2224	9,079	4,18
38	4,5373	9,427	4,53	4,4332	9,308	4,41	4,3392	9,202	4,30	4,2535	9,108	4,20
0,40	4,5637	9,455	4,55	4,4616	9,336	4,43	4,3690	9,231	4,32	4,2844	9,137	4,23
42	4,5899	9,483	4,58	4,4899	9,364	4,46	4,3988	9,260	4,35	4,3154	9,166	4,26
44	4,6159	9,511	4,61	4,5182	9,393	4,49	4,4287	9,290	4,38	4,3464	9,196	4,28
46	4,6417	9,540	4,64	4,5463	9,422	4,51	4,4586	9,320	4,41	4,3778	9,227	4,31
48	4,6672	9,569	4,66	4,5744	9,452	4,54	4,4884	9,350	4,44	4,4091	9,258	4,34
0,50	4,6926	9,598	4,69	4,6022	9,483	4,57	4,5182	9,381	4,47	4,4405	9,290	4,37
52	4,7179	9,628	4,72	4,6300	9,514	4,60	4,5481	9,414	4,50	4,4719	9,323	4,40
54	4,7430	9,659	4,75	4,6577	9,546	4,63	4,5781	9,447	4,53	4,5039	9,357	4,43
56	4,7679	9,690	4,78	4,6854	9,579	4,66	4,6081	9,481	4,56	4,5360	9,391	4,47
58	4,7926	9,721	4,81	4,7130	9,612	4,70	4,6382	9,515	4,59	4,5681	9,427	4,50
0,60	4,8173	9,753	4,85	4,7406	9,646	4,73	4,6684	9,551	4,63	4,6004	9,464	4,54
62	4,8418	9,786	4,88	4,7682	9,681	4,77	4,6986	9,588	4,66	4,6330	9,502	4,57
64	4,8661	9,819	4,92	4,7958	9,717	4,80	4,7289	9,626	4,70	4,6657	9,541	4,61
66	4,8901	9,853	4,95	4,8233	9,754	4,84	4,7594	9,665	4,74	4,6985	9,582	4,65
68	4,9141	9,887	4,99	4,8508	9,792	4,88	4,7899	9,705	4,78	4,7316	9,624	4,70
0,70	4,9380	9,922	5,03	4,8781	9,831	4,92	4,8204	9,746	4,83	4,7649	9,667	4,74
72	4,9617	9,958	5,07	4,9054	9,870	4,97	4,8509	9,788	4,87	4,7984	9,712	4,79
74	4,9854	9,994	5,11	4,9326	9,911	5,01	4,8814	9,832	4,92	4,8320	9,758	4,84
76	5,0088	0,031	5,16	4,9598	9,953	5,06	4,9120	9,878	4,97	4,8658	9,806	4,89
78	5,0321	0,068	5,20	4,9869	9,995	5,11	4,9427	9,924	5,02	4,8998	9,856	4,94
0,80	5,0552	0,107	5,25	5,0139	0,039	5,16	4,9733	9,971	5,08	4,9340	9,907	5,00
82	5,0784	0,146	5,30	5,0408	0,083	5,21	5,0041	0,020	5,14	4,9684	9,959	5,06
84	5,1010	0,185	5,35	5,0679	0,128	5,27	5,0349	0,071	5,20	5,0028	0,014	5,13
86	5,1236	0,225	5,40	5,0947	0,175	5,33	5,0658	0,122	5,26	5,0373	0,071	5,20
88	5,1460	0,266	5,46	5,1214	0,222	5,39	5,0967	0,176	5,33	5,0719	0,129	5,27
0,90	5,1683	0,307	5,51	5,1480	0,270	5,45	5,1274	0,230	5,40	5,1066	0,190	5,33
92	5,1907	0,349	5,57	5,1746	0,319	5,52	5,1580	0,286	5,48	5,1412	0,252	5,43
94	5,2131	0,391	5,63	5,2011	0,368	5,59	5,1885	0,343	5,56	5,1757	0,316	5,52
96	5,2353	0,434	5,69	5,2273	0,418	5,67	5,2190	0,401	5,64	5,2104	0,383	5,62
98	5,2575	0,478	5,76	5,2534	0,470	5,74	5,2493	0,461	5,73	5,2449	0,451	5,72
1,00	5,2796	0,522	5,82	5,2796	0,522	5,82	5,2796	0,522	5,82	5,2796	0,522	5,82

Tafel zur Reduktion beobachteter Schwingungsdauern auf unendlich kleine Bogen.

z	m = 9.			m = 10.			m = 11.			m = 12.		
	$\log F(z)$	$\log F'(z)$	$\log F''(z)$	$\log F(z)$	$\log F'(z)$	$\log F''(z)$	$\log F(z)$	$\log F'(z)$	$\log F''(z)$	$\log F(z)$	$\log F'(z)$	$\log F''(z)$
0,10	3,6890	8,599	3,72	3,6110	8,520	3,64	3,5394	8,447	3,57	3,4730	8,380	3,50
12	3,7296	8,634	3,75	3,6560	8,555	3,67	3,5806	8,482	3,60	3,5146	8,416	3,53
14	3,7693	8,668	3,79	3,6951	8,588	3,71	3,6208	8,516	3,64	3,5531	8,449	3,57
16	3,8080	8,701	3,82	3,7329	8,622	3,74	3,6598	8,550	3,67	3,5944	8,482	3,60
18	3,8455	8,733	3,85	3,7697	8,654	3,77	3,6979	8,582	3,70	3,6328	8,515	3,63
0,20	3,8818	8,764	3,88	3,8054	8,685	3,80	3,7348	8,613	3,73	3,6700	8,546	3,66
22	3,9164	8,794	3,90	3,8396	8,715	3,82	3,7697	8,643	3,75	3,7052	8,576	3,68
24	3,9498	8,823	3,93	3,8731	8,745	3,85	3,8040	8,672	3,78	3,7398	8,606	3,71
26	3,9829	8,852	3,95	3,9060	8,773	3,88	3,8379	8,701	3,80	3,7737	8,634	3,73
28	4,0154	8,880	3,98	3,9383	8,801	3,90	3,8709	8,729	3,83	3,8070	8,662	3,76
0,30	4,0472	8,908	4,01	3,9724	8,829	3,93	3,9035	8,756	3,86	3,8399	8,690	3,79
32	4,0793	8,936	4,03	4,0049	8,858	3,95	3,9365	8,785	3,88	3,8731	8,719	3,81
34	4,1112	8,965	4,06	4,0374	8,887	3,98	3,9694	8,815	3,91	3,9063	8,749	3,84
36	4,1430	8,994	4,09	4,0699	8,916	4,01	4,0024	8,844	3,93	3,9396	8,778	3,87
38	4,1747	9,023	4,11	4,1024	8,945	4,04	4,0353	8,874	3,96	3,9730	8,808	3,90
0,40	4,2067	9,052	4,14	4,1348	8,975	4,06	4,0684	8,904	3,99	4,0064	8,839	3,92
42	4,2387	9,082	4,17	4,1675	9,004	4,09	4,1020	8,934	4,02	4,0402	8,869	3,95
44	4,2708	9,112	4,20	4,2005	9,033	4,12	4,1354	8,964	4,05	4,0746	8,899	3,98
46	4,3031	9,143	4,23	4,2337	9,067	4,15	4,1694	8,997	4,08	4,1088	8,932	4,01
48	4,3355	9,175	4,26	4,2672	9,099	4,18	4,2036	9,028	4,11	4,1437	8,965	4,04
0,50	4,3683	9,207	4,29	4,3008	9,132	4,21	4,3382	9,061	4,14	4,1789	8,998	4,07
52	4,4012	9,241	4,32	4,3349	9,166	4,24	4,2731	9,096	4,17	4,2146	9,033	4,10
54	4,4345	9,275	4,35	4,3693	9,200	4,27	4,3082	9,131	4,20	4,2508	9,068	4,14
56	4,4679	9,310	4,38	4,4042	9,237	4,31	4,3444	9,167	4,23	4,2877	9,105	4,17
58	4,5018	9,347	4,42	4,4393	9,274	4,34	4,3808	9,205	4,27	4,3252	9,142	4,20
0,60	4,5359	9,385	4,45	4,4750	9,312	4,38	4,4177	9,244	4,30	4,3632	9,181	4,24
62	4,5705	9,424	4,49	4,5113	9,351	4,41	4,4554	9,284	4,34	4,4026	9,221	4,28
64	4,6055	9,464	4,53	4,5480	9,393	4,45	4,4937	9,326	4,38	4,4418	9,264	4,32
66	4,6407	9,506	4,57	4,5851	9,436	4,50	4,5326	9,370	4,42	4,4822	9,308	4,36
68	4,6762	9,550	4,61	4,6228	9,480	4,54	4,5722	9,416	4,47	4,5234	9,354	4,41
0,70	4,7121	9,595	4,66	4,6609	9,527	4,58	4,6121	9,463	4,51	4,5651	9,403	4,45
72	4,7483	9,642	4,71	4,6994	9,576	4,63	4,6527	9,512	4,56	4,6087	9,454	4,50
74	4,7848	9,690	4,76	4,7384	9,626	4,69	4,6939	9,564	4,62	4,6509	9,507	4,56
76	4,8215	9,741	4,81	4,7776	9,678	4,74	4,7356	9,619	4,68	4,6950	9,563	4,62
78	4,8585	9,793	4,87	4,8176	9,733	4,80	4,7779	9,676	4,73	4,7399	9,622	4,67
0,80	4,8959	9,848	4,93	4,8579	9,791	4,86	4,8208	9,735	4,80	4,7855	9,684	4,74
82	4,9335	9,904	5,00	4,8986	9,850	4,93	4,8645	9,798	4,87	4,8320	9,749	4,82
84	4,9713	9,963	5,07	4,9398	9,913	5,01	4,9087	9,863	4,95	4,8792	9,818	4,90
86	5,0093	0,024	5,14	4,9812	9,978	5,09	4,9534	9,932	5,03	4,9271	9,890	4,99
88	5,0475	0,088	5,21	5,0231	0,046	5,17	4,9987	0,005	5,12	4,9738	9,967	5,07
0,90	5,0859	0,153	5,30	5,0653	0,117	5,26	5,0445	0,080	5,22	5,0250	0,047	5,18
92	5,1243	0,222	5,40	5,1076	0,192	5,36	5,0906	0,161	5,33	5,0747	0,133	5,29
94	5,1629	0,293	5,49	5,1502	0,269	5,46	5,1372	0,245	5,44	5,1250	0,224	5,41
96	5,2017	0,367	5,60	5,1931	0,350	5,58	5,1842	0,334	5,56	5,1759	0,319	5,54
98	5,2405	0,443	5,71	5,2362	0,435	5,70	5,2317	0,426	5,69	5,2275	0,418	5,68
1,00	5,2796	0,522	5,82	5,2796	0,522	5,82	5,2796	0,522	5,82	5,2796	0,522	5,82

An den Logarithmus der bis hierher gefundenen Schwingungsdauer ($\log \tau$) wurden die Correctionen wegen der Temperatur der Nadel und wegen des Uhganges nach folgenden zwei Tafeln angebracht, von denen die erste die Temperatur der Nadel in Réaumur'schen Graden (v), die zweite das Datum des Beobachtungstages als Argument hat.

Correkctionen der Logarithmen der Schwingungsdauern

wegen Temperatur.

v	σv	v	σv
± 0	$\mp 0,000000$	± 18	$\mp 0,001732$
1	96	19	1829
2	192	20	1925
3	289	21	2021
4	385	22	2117
5	481	23	2213
6	577	24	2309
7	673	25	2406
8	770	26	2502
9	866	27	2598
10	962	28	2694
11	1058	29	2790
12	1155	30	2887
13	1252	31	2983
14	1348	32	3079
15	1444	33	3175
16	1540	34	3271
17	1636	35	3367
± 18	$\mp 0,001732$	± 36	$\mp 0,003464$

wegen U h r g a n g.

1828 April 15.	bis 1828 Juli 5.	—	0,000009
— Juli 5.	— — Sptbr. 24.	—	6
— Sptbr. 24.	— — Decbr. 28.	—	6
— Decbr. 28.	— 1829 Febr. 1.	—	13
1829 Febr. 1.	— — April 1.	—	16
— April 1.	— — April 20.	—	23
— April 20.	— — Octbr. 30.	—	30
— Octbr. 30.	— — Novbr. 14.	—	30
— Novbr. 14.	— — Decbr. 6.	—	42
1829 Decbr 17.	— 1830 Mai 23.	—	19
1830 Juni 16.	— — Sptbr. 30.	—	14

Zur Berechnung der Intensität nach Auffindung der wahren

Für die cylin

 $\log A + \text{cd.}$

		1828 u. 1829	1829 u. 1830	1830 u. 1831
April	15.	0,68 0857	0,68 7985	0,69 5113
—	25.	1052	8180	5308
Mai	5.	1247	8375	5503
—	15.	1442	8570	5698
—	25.	1638	8766	5894
Juni	4.	1833	8961	6089
—	14.	2028	9156	6284
—	24.	2223	9351	6479
Juli	4.	2419	9547	6674
—	14.	2614	9742	6870
—	24.	0,68 2810	0,68 9938	0,69 7066
August	3.	3005	9 0133	7261
—	13.	3200	0328	7456
—	23.	3396	0524	7652
Septbr.	2.	3591	0719	7847
—	12.	3786	0914	8042
—	22.	3981	1109	8237
Octbr.	2.	4176	1304	8432
—	12.	4372	1500	8628
—	22.	4567	1695	8823
Novbr.	1.	0,68 4763	0,69 1891	0,69 9019
—	11.	4958	2086	9214
—	21.	5153	2281	9409
Decbr.	1.	5349	2477	9603
—	11.	5544	2672	9800
—	21.	5739	2867	9995
—	31.	5934	3062	0190
Januar	10.	6129	3257	0385
—	20.	6324	3453	0581
—	30.	6520	3648	0776
Februar	9.	0,68 6715	0,69 3844	0,70 0972
—	19.	6910	4039	1166
März	1.	7105	4234	1362
—	11.	7300	4429	1557
—	21.	7496	4624	1752
—	31.	7691	4819	1947
April	10.	7886	5014	2142
—	20.	0,68 8081	0,69 5209	0,70 2338

Schwingungsdauer (T_0) dienten dann ferner:

drische Nadel.

	$b \cdot (f \cdot \lg i)^2$									
$f =$ i	0,1	0,2	0,3	0,4	0,5	0,6	0,7	0,8	0,9	1,0
0°	0	0	0	0	0	0	0	0	0	0
10°	0	0	0	0	0	0	0	0	0	0
20°	0	0	0	0	0	0	0	1	1	1
25°	0	0	0	0	0	1	1	1	2	2
30°	0	0	0	0	1	1	1	2	2	3
35°	0	0	0	1	1	2	2	3	3	4
40°	0	0	1	1	2	2	3	4	5	6
45°	0	0	1	1	2	3	4	6	7	9
50°	0	0	1	2	3	4	6	8	10	12
55°	0	1	2	3	4	6	9	11	14	18
60°	0	1	2	4	6	9	13	17	21	26
65°	0	2	4	6	10	14	20	26	32	40
70°	1	3	6	10	16	23	32	42	53	65
75°	1	4	11	19	29	43	60	77	97	121
80°	3	11	25	45	66	100	137	178	226	278

d	cd
1	19
2	39
3	59
4	78
5	98
6	117
7	137
8	156
9	176

Für die pris

 $\log A' + c'd.$

		1828 u. 1829	1829 u. 1830	1830 u. 1831
April	15.	1,02 8730	1,02 2871	1,01 7012
—	25.	8570	2711	6852
Mai	5.	8409	2550	6691
—	15.	8248	2389	6531
—	25.	8088	2229	6370
Juni	4.	7927	2068	6210
—	14.	7767	1908	6049
—	24.	7606	1747	5889
Juli	4.	7446	1587	5728
—	14.	7285	1426	5568
—	24.	1,02 7125	1,02 1266	1,01 5407
August	3.	6964	1106	5247
—	13.	6804	0945	5086
—	23.	6643	0784	4925
Septbr.	2.	6482	0623	4765
—	12.	6322	0463	4604
—	22.	6161	0302	4444
Octbr.	2.	6001	0142	4283
—	12.	5840	1 9981	4122
—	22.	5680	9821	3962
Novbr.	1.	1,02 5519	1,01 9660	1,01 3801
—	11.	5359	9500	3641
—	21.	5198	9339	3480
Decbr.	1.	5038	9179	3320
—	11.	4877	9018	3159
—	21.	4717	8858	2999
—	31.	4556	8697	2838
Januar	10.	4396	8537	2678
—	20.	4235	8376	2517
—	30.	4074	8216	2357
Februar	9.	1,02 3914	1,01 8055	1,01 2196
—	19.	3753	7895	2036
März	1.	3593	7734	1875
—	11.	3432	7574	1715
—	21.	3272	7413	1554
—	31.	3111	7252	1393
April	10.	2951	7092	1233
—	20.	1,02 2790	1,01 6931	1,01 1072

matische Nadel.

 $b' (f \operatorname{tg} i)^2$

$f =$ i	0,1	0,2	0,3	0,4	0,5	0,6	0,7	0,8	0,9	1,0
0°	0	0	0	0	0	0	0	0	0	0
10°	0	0	0	0	0	0	0	0	0	0
20°	0	0	0	0	0	0	0	1	1	1
25°	0	0	0	0	0	1	1	1	2	2
30°	0	0	0	0	1	1	1	2	2	2
35°	0	0	0	1	1	2	2	3	3	3
40°	0	0	1	1	2	2	3	3	4	5
45°	0	0	1	1	2	3	3	5	6	8
50°	0	0	1	2	3	3	5	7	8	10
55°	0	1	2	3	3	5	8	9	12	15
60°	0	1	2	3	5	8	11	15	18	21
65°	0	2	3	5	8	12	17	21	26	33
70°	1	3	5	8	14	19	26	35	44	53
75°	1	3	9	16	24	36	50	63	81	100
80°	3	9	20	37	55	83	113	147	187	230

$d.$	$c' d$
1	16
2	32
3	48
4	64
5	80
6	96
7	112
8	128
9	144

Für die Inclina

1829 u. 1830		cp. log ϕ	Ändrg. für 10 Tage.
Juli	18.	8,767231	
—	28.	8,770537	+ 3306
August	7.	8,773843	
—	17.	8,777149	+ 3306
October	13.	8,739291	
—	23.	8,743664	+ 4373
November	2.	8,748037	
—	12.	8,752410	+ 4373
—	22.	8,752803	+ 393
December	2.	8,753196	
—	12.	8,753589	+ 393
—	22.	8,749420	— 4169
Januar	1.	8,744252	
—	11.	8,741083	
—	13.	8,740249	— 4169
—	23.	8,735220	— 5029
Februar	2.	8,730190	
—	12.	8,725160	
—	19.	8,721640	— 5030
März	1.	8,720088	— 1552
—	11.	8,718535	
—	21.	8,716983	
—	31.	8,715430	
April	10.	8,713877	
—	20.	8,712325	— 1552
—	29.	8,710928	+ 12132
Mai	9.	8,723060	
—	19.	8,735192	
—	26.	8,743684	+ 12132
Juni	5.	8,742019	— 1665
—	15.	8,740354	
—	25.	8,738688	
Juli	4.	8,737022	
—	14.	8,735356	
—	24.	8,733691	
August	3.	8,732026	
—	13.	8,730361	
—	23.	8,728696	— 1665
September	2.	8,727031	

tionsnadel A.

		<u>d.ΔΦ</u>						
10.ΔΦ=3306		4373	393	4169	5030	1552	12132	1665
<u>d</u>								
1	331	437	39	417	503	155	1213	166
2	661	875	79	834	1006	310	2426	333
3	992	1312	118	1251	1509	466	3640	500
4	1322	1749	157	1668	2012	621	4853	666
5	1653	2187	196	2084	2515	776	6066	833
6	1984	2624	236	2502	3018	931	7279	999
7	2314	3061	275	2919	3521	1086	8493	1166
8	2645	3498	314	3335	4024	1242	9706	1333
9	2975	3936	354	3752	4527	1397	10919	1499

$$\pi = i + 35^\circ.$$

$$\text{cp. log } \lambda = 7,554958.$$

Bestimmung der geographischen Lage für die Orte an denen die Inclination und Intensität beobachtet wurden.

Während des ersten Theiles meiner Land-Reise habe ich, wie schon früher erwähnt, vorzugsweise nächtliche Beobachtungen mit dem Passageinstrumente zur geographischen Ortsbestimmung angewendet, und erst während der Fortsetzung derselben noch außerdem zu demselben Zwecke eine etwa gleiche Anzahl von Sonnenhöhen mit dem Spiegelsextanten und mit einem Katerschen Kreise gemessen. Ich konnte aber nicht immer auf den Stationen an denen ich gegen Mittag magnetische Beobachtungen ausführte, den nächsten Abend erwarten. Es sind daher von den 115 Punkten einer Linie von Berlin bis Petropaulshafen auf welche sich die zuerst anzuführenden Messungen der Inclination und Intensität beziehen, nur 59, deren geographische Coordinaten unmittelbar aus meinen astronomischen Beobachtungen (vergl. diesen Bericht Abth. II. Bd. 1. Ste. 77 u. f., 330 u. f., 405 u. f.) hervorgehen. Da sich indessen aus diesen letzteren in Allem die Positionen von 90 auf der genannten Linie durch das Russische Reich gelegnen Orten ergeben haben, so befindet sich auch von den übrigen (56) Stationen für die Inclinations- und Intensitätsmessungen, eine jede zwischen zweien ihr nahe gelegenen astronomisch bestimmten Punkten. Zur Festlegung dieser zweiten Klasse von Stationen bedurfte es demnach nur einer hinreichend sichern Ermittlung der Unterschiede zwischen ihren Längen und Breiten und zwischen denen der nächsten direkt bestimmten Punkte. Ich habe zu diesem Zwecke folgende Russische Karten angewendet:

1) Die Generalkarte des ganzen Russischen Reiches. von A. Maximowitsch. Petersburg 1816, 24 Blätter, im Maafsstabe von $\frac{1}{1700000}$.

Als Grundlagen der hier benutzten Theile derselben werden auf dem 24ten Blatte genannt: für das Europäische Russland die von der Behörde des Kaiserlichen Karten-Depot herausgegebenen Spezialkarten und für das Tobolsker, Tomscher und Irkuzker Gouvernement, die topographischen Zeichnungen welche dort an-

sässige Feldmesser und Ingenieure des Wegbaus in jenes Depot geliefert hatten.

2) Die Karten der einzelnen Russischen Gouvernements, mit Angabe sämtlicher Strafsen, so wie der Stationen und deren Entfernungen in Wersten, von Oberst Pjadischew. Petersburg 1822 — 1825. Der Maafsstab der einzelnen Blätter ist verschieden und varirt für die von mir gebrauchten zwischen $\frac{1}{111000}$ und $\frac{1}{1110000}$.

3) Die Postkarte des Russischen Reiches mit Angabe der Haupt- und Nebenwege (und den von der Postbehörde angenommenen Entfernungen der Stationen) Petersburg 1825 (ohne Namen des Verfassers). Der Maafsstab beträgt etwa $\frac{1}{1000000}$.

4) Die Generalkarte des Asiatischen Russlands nach der neusten Eintheilung in Gouvernements, Provinzen und Küstenverwaltungen, mit Angabe der Wege Russischer Seefahrer. Gezeichnet von dem Lieutenant im Topographischen Corps Posnjakow und herausgegeben von der militairisch-topographischen Behörde. Petersburg 1825. Der Maafsstab ist nahe an $\frac{1}{1100000}$. — *)

Diese Hilfsmittel zur Uebertragung der beobachteten Positionen auf nahe gelegne Orte sind aber nur in Gegenden gebraucht worden, für welche sich, durch die astronomischen Beobachtungen, die Fehler der Karten sowohl an sich nur mäßig, als auch auf größeren Strecken nahe constant ergeben hatten und zwar namentlich längs der sogenannten Gouvernementsstraße über Moskau, Ka-

*) Die Originaltitel dieser Karten sind: Generalnaja Karta wsei Rossjiskoi Imperji, sotschinena A. Maksimowitschem. 1816go goda. St. Peterburg. — Generalnaja Kartakoi Gubernji, s'pokasaniem potschtowich dorog i. pr. Polkownikom Pjadischewom W' St. Peterburgje 1825go goda. — Potschtowaja Karta Rossjiskoi Imperji s'pokasaniem bolschich imaluich potschtowich dorog W' St. Peterburgje 1825go goda. — Generalnaja Karta Asiatskoi Rossii po noweischemu rosdjeleniju i. pr. sotschinena Korpusa Topographow Porutschikom Posnjakowuim i isdanna wojenno Topographitscheskim Depo 1825go goda.

san, Jekatarinburg, Tobolsk und Tomsk nach Irkuzk. Auf meinem Wege durch das Lena-Thal nach Jakuzk, von dort über das Aldanische Gebirge nach Ochozk, so wie auf dem durch Kamtschatka von Tigilsk bis Petropaulshafen, habe ich dagegen den Messungen der Inclination und Intensität fast ohne Ausnahme eine unmittelbare Ortsbestimmung hinzugefügt. Ich erwarte demnach dafs unter den folgenden Angaben für die Positionen meiner Beobachtungsorte, die durch Uebertragung erhaltenen nahe eben so sicher sind wie die direkt bestimmten, werde aber dennoch jene stets dadurch unterscheiden, dafs ich sie nur in Graden und ganzen Minuten ausdrücke, den aus meinen früher mitgetheilten astronomischen Beobachtungen (Abth. II. Bd. 1) oder aus denen einiger anderen Reisenden hervorgegangenen Breiten und Längen hingegen auch die Sekunden hinzufüge, welche die Rechnung ergeben hat.

Die geographische Lage der 220 Punkte an denen ich Inclinationen und Intensitäten auf dem Meere beobachtet habe, ist, durch regelmässige Anwendung derjenigen Mittel erhalten worden, deren man sich, auf gut geführten Schiffen zur Bestimmung ihres Weges zu bedienen pflegt. Namentlich aber habe ich während der 12tägigen Ueberfahrt auf dem Russischen Transportschiffe Jekatarina von Ochozk zur Mündung des Tigil Flusses an der Westküste von Kamtschatka, 9 mal mit dem Spiegelsextanten Circummeridianhöhen der Sonne, zur Bestimmung der Breite, und eben so oft Reihen theils correspondirender theils einzelner Sonnenhöhen zur Bestimmung der Stände des Chronometer Kessels 1253 gemessen. Aus diesen Ständen habe ich die Längen der Beobachtungsorte durch Annahme derjenigen Gleichung für den Stand der genannten Uhr gegen Pariser Zeit gefolgert, welche aus den Beobachtungen mit dem Passageinstrumente in Jakuzk, Ochozk und Petropaulshafen und aus den früher abgeleiteten Längen dieser Orte hervorgegangen ist. (II, 1. St. 341 u. f.); alsdann aber die Positionen der Punkte an denen ich Inclinationen und Intensitäten bestimmt hatte, aus den direkt gefundenen Längen und Breiten, mittelst der Fahrt- und Kurs-Messungen abgeleitet, welche auf dem genannten Schiffe nach je 30 Minuten und ausserdem bei

allen dazwischen vorkommenden Veränderungen der Segelstellung ausgeführt worden sind. *)

Durch ganz gleiche Mittel habe ich die Positionen der, von Herrn Kapitain v. Hagemeister geführten, Russischen Corvette Krotkoi, während meiner magnetischen Beobachtungen auf derselben im Großen Ocean und im Atlantischen Meere, erhalten, und zwar zur Längenbestimmung, nur von den drei besten der an Bord befindlichen Chronometer diejenigen Gleichungen gegen Pariser Zeit angewendet, welche sich am Schlusse der Ueberfahrten aus den Längen der Ankerplätze ergeben haben. Ich werde nur diese Grundlagen meiner Längenbestimmungen auf dem Meere hier anführen.

Angenommene Längen Oestlich von Paris.

Jakuzk	127°	24'	35".
Petropaulshafen	156	19	48
Neu Archangelsk			
auf Sitcha	222	14	20
San Francisco	235	15	0
Cap Venus			
auf Otaciti	208	9	30
Auf Ila das Cobras			
bei Rio Janeiro	314	34	39
Ankerplatz auf			
Motherbank			
bei Portsmouth	356	32	30

Diese Annahmen beruhen für Otaciti auf der Connoiss. des tems (1830), für Portsmouth auf den neuesten Englischen Seekarten, und für die übrigen Orte auf den Beobachtungen die ich in diesem Berichte II, 1. Ste. 306 bis 346 zusammengestellt habe. — Mit Hülfe der Zeitbestimmungen an den genannten Punkten folgt aus ihnen:

*) Die Einzelheiten dieser Beobachtungen so wie die Resultate welche sie über die Strömungen im Ochozker Meere ergeben, habe ich in Berghaus Annalen der Erdkunde III. Reihe; Band 3. Ste. 358 u. f. bekannt gemacht.

Par. M. Zt.	{ Pariser M. Zt. — Uhrzeit }				Tägliche Gänge.		
	Kessels 1253.	Barraud 644.	Arnold 2110.	K	B.	A.	
1829 October 6,00	— 10 ^h 8' 31",63	— 0 ^h 12' 19",00	+ 0 ^h 20' 36",80	— 5",9121	— 9",7400	— 3",5403	
— November 14,00	— 10 12 22,20	— 0 18 38,86	+ 0 18 38,86				
— November 14,00	— 9 49 17,80	— 0 18 38,86	+ 0 18 38,86	— 8",3195	— 10",8636	— 6",0400	
— December 6,00	— 9 52 20,97	— 0 22 37,86	+ 0 16 5,85	(— 3",8367)	(— 8",3790)	(— 4",2873)	
— December 17,00	— 9 53 3,19	— 0 24 10,03	+ 0 15 18,69	— 3",0785	— 6",9835	— 5",2147	
1830 Februar 23,00	— 9 56 32,53	— 0 32 4,91	+ 0 9 24,09				
— Februar 23,00	— 14 35 51,41	— 0 32 4,91	+ 0 9 24,09	— 3",8192	— 8",1893	— 6",5966	
— Mai 23,00	— 14 41 31,32	— 0 44 13,76	— 0 0 23,01	—	(— 8",0233)	(— 6",3438)	
— Juni 16,00	+ 5 23 39,85	— 0 47 26,32	— 0 2 55,26	— 2",8728	— 5",0417	— 4",7934	
— September 3,00	+ 5 19 52,90	— 0 54 4,61	— 0 9 14,10				

Die durch () bezeichneten Gänge der Uhren, welche sich vor Anker ergaben, habe ich zur Längenbestimmung auf der See nicht mit benutzt. Sie zeigen aber etwas näher in wiefern die hier zu Grunde gelegten Längen der Küsten-Orte mit denjenigen Werthen übereinstimmen, welche die genannten Chronometer selbst als wahrscheinlich dargestellt haben. *)

Inclinationen und Intensitäten.

In dem nun folgenden Abdrucke meiner Beobachtungen und deren Resultate habe ich für einen jeden Ort, die Zahlen die sich auf die dort gefundene Inclination der erd-magnetischen Kraft beziehen mit denjenigen unmittelbar vereinigt, welche zur Bestimmung der Intensität dieser Kraft geführt haben. Bei den ersteren hat man sich zu erinnern dafs ich, wie oben erwähnt, alle Neigungsbeobachtungen mit Nadel A, nach den unter [3] und [4] Seite 19, genannten Ausdrücken für die Inclination, die mit Nadel B hingegen nach der unter [7] Seite 22 enthaltenen Vorschrift berechnet habe. Ein jeder der Buchstaben I... I'', i', Δi', F und H behält demnach auch in der Folge die bisher, und namentlich an den eben angeführten Stellen, erklärte Bedeutung. —

*) Wollte man namentlich das Mittel aus dem Gange der drei Uhren während der ganzen Reise constant annehmen, so erhielte man als kleinste Correktionen der obigen direkt bestimmten Längen respective für:

Petropaulshafen	+ 12' 20"
Neu Archangelk	+ 5 12
San Francisco	— 9 54
Point Venus	+ 8 36
Rio Janeiro	{ — 11 41 1ste Beob.
	{ — 16 56 2te —
Portsmouth	+ 13 46

Da indessen die Hypothese eines durchaus gleichmäßigen Ganges bei dreimonatlichen Ueberfahrten und bei so starken Temperaturveränderungen wie sie von Sitcha bis zu dem Aufenthalte zwischen den Tropen und von dort bis nach Cap Hoorn vorkamen, keineswegs wahrscheinlich ist, so dürfte man auch wohl kaum geneigt sein diesen Resultaten der Zeitübertragung vor den von mir angewendeten unmittelbaren Längenbestimmungen den Vorzug zu geben.

Die Zahlen zu einer jeden der Intensitätsbestimmungen sind in vier senkrechten Spalten zusammengestellt, von denen die zwei ersten die unmittelbaren Beobachtungen und zwar namentlich die Uhrangaben bei den je zehnten Durchgängen der Nadel durch ihre Gleichgewichtslage, in der früher (Seite 56) erwähnten Ordnung, den Schwingungsbogen am Anfang und am Ende der Beobachtungsreihe und die Temperatur der Nadel, während derselben in Réaumur'schen Graden enthalten. — Die dritte Spalte enthält zuerst: die Dauer einer einzelnen Schwingung so wie sie sich aus den Uhrablesungen ohne Rücksicht auf die Bogen und deren Abnahme, nach der Methode der kleinsten Quadrate ergeben würde, und sodann die von der 2ten, 4ten und 6ten Potenz des anfänglichen Bogens abhängige Reduktion dieser Dauer, sämmtlich in Sekunden der gebrauchten Uhr ausgedrückt. In der vierten Spalte ist der Logarithmus der auf diese Weise gefundenen Dauer einer Schwingung, bereits corrigirt wegen der Temperatur und des Uhrganges, angegeben und nächst dem bei den Horizontalnadeln, die zwei Zahlen von deren Summe der doppelte Logarithmus dieser reduzirten Dauer abzuziehen ist, um den in derselben Spalte zuletzt angeführten Logarithmus der Horizontalkomponente des Erdmagnetismus zu erhalten. Bei den Intensitätsbestimmungen durch die Inclinationsnadel A sind, anstatt der zuletzt genannten drei Zahlen, deren fünf angeführt, und zwar: der Winkel π , die drei Zahlen deren Summe dem jedesmaligen Logarithmus der ganzen Intensität des Erdmagnetismus gleich ist und dieser Logarithmus selbst. Auch bei dieser Darstellung der Intensitätsbeobachtungen haben übrigens alle dabei gebrauchten Buchstaben, dieselben Bedeutungen wie in den oben abgeleiteten Rechnungsvorschriften [11] und [12] Seite 43 und es verhält sich eben so mit den weit seltner vorkommenden Anwendungen der Rechnung nach [13] Seite 44.

Unter der Ueberschrift Resultat findet man dann endlich die Mittlere Zeit des Ortes, so wie die Breite und Oestliche Länge bei welchen beobachtet wurde, letztere so wie bei allen meinen Angaben von Paris an gezählt, ferner die Inclination und entweder die Horizontalkomponente oder die gesammte Intensität des Erdmagnetismus, je nachdem zu der Be-

stimmung eine Horizontal-Nadel oder die Inclinations-Nadel A gedient hat. —

Die Buchstaben A, B, C oder P, von denen sich einer neben einem jeden magnetischen Resultate befindet, bezeichnen die Nadel mit welcher dasselbe erhalten wurde, und zwar sind unter A und B so wie bisher die zwei Inclinationsnadeln, unter C und P aber beziehungsweise die cylindrische und die prismatische Horizontal-Nadel verstanden. —



Beobachtungen

der

Inclination und Intensität.

1828. APRIL 8.

Bei POTSDAM, Teltower Vorstadt.

Inclination.

Nadel A. 1.

$$I = 69^{\circ} 12',73 \quad I' = 67^{\circ} 30',03 \quad I'' = 67^{\circ} 31',73 \quad I''' = 69^{\circ} 53',73$$

$$\begin{aligned} i' &= 68^{\circ} 32',07 \\ \Delta i' &= -1,71 \end{aligned}$$

Nadel B. 1.

$$I = 68^{\circ} 49',23 \quad I' = 68^{\circ} 49',50 \quad I'' = 68^{\circ} 12',13 \quad I''' = 68^{\circ} 19',00$$

$$\begin{aligned} i' &= 68^{\circ} 32',47 \\ -\frac{H}{2} &= +0,09 \\ +\frac{F}{2} &= +0,12 \end{aligned}$$

Resultat.

für 1828. April 8. 2^h 15'

$$\begin{aligned} \text{Breite} &= 52^{\circ} 23' 14'' \\ \text{Länge} &= 10^{\circ} 45' 0'' \\ \text{Inclination} &= 68^{\circ} 30',36 \text{ A.} \\ &68 \quad 32',68 \text{ B.} \end{aligned}$$

1828. APRIL 24.

Bei BERLIN, Wollankscher Weinberg.

Intensität.

Cylindrische Nadel.

22 ^h 9' 34',8	14' 46'',8	r'	3'',12036	$\log T_0$	= 0,490292
10 6,0	14 16,0	$r'E^2.F(z)$	— 2024	$\log A' + cd$	= 0,681033
10 37,6	13 44,4	$r'E^4.F'(z)$	— 15	$b'f^2.tg^2 i$	= 15
11 8,8	13 13,6	$r'E^6.F''(z)$	— 0	$\log f$	= 9,700464
11 40,0	12 42,4				
22 ^h	12' 11'',2				
$E = 29^\circ,25 \quad c = 10^\circ,25 \quad v = + 11^\circ,0$					

Prismatische Nadel.

21 ^h 49' 49'',6	57' 33'',2	r'	4'',63363	$\log T_0$	= 0,663137
50 36,4	56 46,8	$r'E^2.F(z)$	— 1824	$\log A' + cd$	= 1,028586
51 22,8	56 0,8	$r'E^4.F'(z)$	— 5	$b'f^2.tg^2 i$	= 13
52 9,2	55 14,4	$r'E^6.F''(z)$	— 0	$\log f$	= 9,702325
52 55,2	54 28,2				
21 ^h	53' 42'',0				
$E = 18^\circ,5 \quad c = 10^\circ,0 \quad v = + 11^\circ,0$					

Resultat.

für 1828. April 24. 22^h 0'

Breite	= 52° 32' 5"
Länge	= 11° 4' 4"
Horiz. Intens.	= 0,50172 C.
	0,50388 P.

1828. Juni 2.

PETERSBURG, Wasiljewskji Ostrow.

Inclination.

Nadel A. 2.

$$\begin{aligned}
 I &= 71^{\circ} 49',14 & I' &= 70^{\circ} 9',77 & I'' &= 70^{\circ} 3',11 & I''' &= 72^{\circ} 19',64 \\
 i &= 71^{\circ} 5',41 \\
 -\Delta i &= -0',93
 \end{aligned}$$

Intensität.

Cylindrische Nadel.

$$\begin{array}{l|l}
 \begin{array}{l}
 21^h \ 53' \ 16'',4 \ 58' \ 43'',8 \\
 53 \ 49,2 \ 58 \ 11,2 \\
 54 \ 22,8 \ 57 \ 38,4 \\
 54 \ 55,2 \ 57 \ 6,0 \\
 55 \ 28,0 \ 56 \ 33,2 \\
 21^h \ 56' \ 0'',8
 \end{array} &
 \begin{array}{l}
 r' \quad 3'',27145 \quad \log T_o = 0,509467 \\
 r'E^2.F(z) - 2768 \quad \log A + cd = 0,681814 \\
 r'E^4.F'(z) - 26 \quad b f^2.tg^2 i = 16 \\
 r'E^4.F''(z) - 0 \quad \log f = 9,662896
 \end{array}
 \end{array}$$

$$E = 34^{\circ},5 \quad e = 10^{\circ},5 \quad v = +16^{\circ},0$$

Cylindrische Nadel.

$$\begin{array}{l|l}
 \begin{array}{l}
 22^h \ 1' \ 15'',6 \ 6' \ 43'',0 \\
 1 \ 48,4 \ 6 \ 10,3 \\
 2 \ 21,4 \ 5 \ 37,6 \\
 2 \ 54,3 \ 5 \ 4,9 \\
 3 \ 27,0 \ 4 \ 32,4 \\
 22^h \ 3' \ 59'',6
 \end{array} &
 \begin{array}{l}
 r' \quad 3'',27255 \quad \log T_o = 0,509290 \\
 r'E^2.F(z) - 3141 \quad \log A + cd = 0,681814 \\
 r'E^4.F'(z) - 37 \quad b f^2.tg^2 i = 16 \\
 r'E^4.F''(z) - 1 \quad \log f = 9,663250
 \end{array}
 \end{array}$$

$$E = 39^{\circ},0 \quad e = 10^{\circ},25 \quad v = +14^{\circ},0$$

Resultate.

für 1828. Juni 2. 23^h 5'

$$\begin{aligned}
 \text{Breite} &= 59^{\circ} \ 56' \ 29'' \\
 \text{Länge} &= 27 \ 57 \ 28. \\
 \text{Inclination} &= 71^{\circ} \ 4',48 \ \text{A.} \\
 \text{Horiz. Intens.} &= 0,46015 \ \text{C.} \\
 &0,46052 \ \text{C.}
 \end{aligned}$$

1828. Juni 3.

Bei PETERSBURG, Botanischer Garten.

Inclination.

Nadel A. 3.

$$I = 71^{\circ} 32',12 \quad I' = 70^{\circ} 24,20 \quad I'' = 70^{\circ} 4',67 \quad I''' = 72^{\circ} 11',58$$

$$i' = 71^{\circ} 8',14$$

$$\Delta i' = + 0,01$$

Intensität.

Cylindrische Nadel.

3 ^h 44' 22",8	49' 50",8	r'	3",27782	$\log T_0$	= 0,511119
44 55,9	49 18,2	$r'E^2.F(z)$	— 2104	$\log A + cd$	= 0,681814
45 28,8	48 45,2	$r'E^4.F'(z)$	— 19	$b f^2.tg i$	= 16
46 1,8	48 12,8	$r'E^6.F''(z)$	— 0	$\log f$	= 9,659592
46 34,8	47 40,0				
3 ^h 47' 6",8					

$$E = 34^{\circ},5 \quad c = 7^{\circ},25 \quad v = + 17^{\circ},0$$

Resultate.

für 1828. Juni 3. 4^h 52'

$$\text{Breite} = 59^{\circ} 58' 31''$$

$$\text{Länge} = 28^{\circ} 0' 58''$$

$$\text{Inclination} = 71^{\circ} 8',15 \quad \text{A.}$$

$$\text{Horiz. Intens.} = 0,45666 \quad \text{C.}$$

1828. JULI 2.

Bei PETERSBURG, Smolensker Feld.

Intensität.

Cylindrische Nadel.

6 ^h 50' 31",2	55' 57",2	r'	3",25582	$\log T_o$	= 0,509612
51 4,6	55 24,7	$r'E^2.F(z)$	— 976	$\log A + cd$	= 0,682380
51 36,8	54 52,2	$r'E^4.F'(z)$	— 4	$b' f^2.tg^2 i$	= 16
52 9,6	54 19,6	$r'E^4.F''(z)$	— 0	$\log f$	= 9,663172
52 42,4	53 47,2				
6 ^h 53'	14",8				
$E = 22^{\circ},0 \quad e = 5^{\circ},5 \quad v = + 18^{\circ},0$					

Prismatische Nadel.

6 ^h 29' 50",8	37' 55",6	r'	4",84527	$\log T_o$	= 0,682263
30 39,6	37 7,0	$r'E^2.F(z)$	— 1460	$\log A' + c'd$	= 1,027478
31 28,0	36 18,8	$r'E^4.F'(z)$	— 5	$b' f^2.tg^2 i$	= 13
32 16,8	35 30,4	$r'E^4.F''(z)$	— 0	$\log f$	= 9,662965
33 5,2	34 41,8				
6 ^h 33'	53",8				
$E = 20^{\circ},5 \quad e = 6^{\circ},3 \quad v = + 18^{\circ},0$					

Resultat

für 1828. Juli 2. 7^h 48'

Breite	= 59° 56' 23"
Länge	= 27° 57' 33"
Horiz. Intens.	= 0,46044 C.
	0,46022 P.

1828. JULI 11.

TOSNA.

Intensität.

Cylindrische Nadel.

3 ^b 25' 6",8	30' 35",6	τ'	3",28900	$\log T_o$	= 0,510831
25 39,6	30 3,0	$\tau' E^2. F(z)$	— 3707	$\log A + Cd$	= 0,682555
26 12,8	29 30,1	$\tau' E^4. F'(z)$	— 38	$b f^2. \lg^2 i$	= 16
26 45,6	28 57,2	$\tau' E^6. F''(z)$	— 1	$\log f$	= 9,660909
27 19,2	28 24,4				
3 ^b 27' 51",6					
E = 32°,5 e = 10°,5 v = + 13°,0.					

Cylindrische Nadel.

3 ^b 33' 41",6	39' 8",8	τ'	3",27273	$\log T_o$	= 0,512107
34 14,0	38 36,0	$\tau' E^2. F(z)$	— 1158	$\log A + Cd$	= 0,682555
34 47,2	38 3,3	$\tau' E^4. F'(z)$	— 4	$b f^2. \lg^2 i$	= 16
35 19,8	37 30,8	$\tau' E^6. F''(z)$	— 0	$\log f$	= 9,658357
35 52,4	36 58,1				
3 ^b 36' 25",3					
E = 21°,0 e = 7°,5 v = + 13°,0.					

Resultat

für 1828. Juli 11. 4^h 38'

Breite	= 59° 31'
Länge	= 28° 23'
Horiz. Intens.	= 0,45805 C.
	0,45537 C.

1828. JULI 11.

POMORANIA.

Inclination.

Nadel B. 2.

$$I = 71^{\circ} 17',00 \quad I' = 71^{\circ} 13',62 \quad I'' = 70^{\circ} 43',75 \quad I''' = 70^{\circ} 47',37$$

$$i' = 71^{\circ} 0',43$$

$$- \frac{H}{2} = + 0',05$$

$$+ \frac{F}{2} = + 0',10.$$

Intensität.

Cylindrische Nadel.

Es sind von dieser Beobachtung nur die Temperatur, die Schwingungsbogen und der Werth von τ aufgeschrieben, ohne Angabe der einzelnen Momente.

$$E = 22^{\circ} \quad e = 7^{\circ} \quad v = + 12^{\circ},0$$

und: τ	$3'',24023$	$\log T_0$	$= 0,507761$
$\tau E^2.F(z)$	$- 1154$	$\log A + cd$	$= 0,682555$
$\tau E^4.F'(z)$	$- 5$	$b f^2 . \lg^2 i$	$= 16$
$\tau E^6.F''(z)$	$- 0$	$\log f$	$= 9,667049.$

Resultate

für 1828. Juli 11. $20^h \quad 0'$

Breite	$= 59^{\circ} \quad 20'$
Länge	$= 28^{\circ} \quad 56'$
Inclination	$= 71^{\circ} \quad 0',58 \text{ B.}$
Horiz. Intens.	$= 0,46457 \text{ C.}$

1828. JULI 12.

NOWGOROD.

Inclination.

Nadel B. 3.

$$I = 70^{\circ} 39',50 \quad I' = 70^{\circ} 27',00 \quad I'' = 70^{\circ} 17',25 \quad I''' = 70^{\circ} 20',50$$

$$i' = 70^{\circ} 26',06$$

$$- \frac{H}{2} = + 0,02$$

$$+ \frac{F}{2} = + 0,02$$

Intensität.

Cylindrische Nadel.

Die Temperatur, die Schwingungsbogen und der Werth von r sind ohne Angabe der einzelnen Momente aufgeschrieben.

$$E = 20^{\circ},0 \quad e = 6^{\circ},0 \quad v = + 12^{\circ},0$$

$$r' \quad 3'',21157 \quad \log T_0 = 0,504232$$

$$r' E^2.F(z) \quad - \quad 903 \quad \log A + cd = 0,682595$$

$$r' E^4.F'(z) \quad - \quad 3 \quad b f^2.tg^2 i = 16$$

$$r' E^6.F''(z) \quad - \quad 0 \quad \log f = 9,674147$$

Resultate

für 1828. Juli 12. 20^h 30'

$$\text{Breite} = 58^{\circ} 31' 4''$$

$$\text{Länge} = 28^{\circ} 58' 38''$$

$$\text{Inclination} = 70^{\circ} 26',10 \text{ B.}$$

$$\text{Horiz. Intens.} = 0,47222 \text{ C.}$$

1828. JULI 13.

SAIZOWA.

Intensität.

Cylindrische Nadel.

15 ^h 47'	8",4	52' 33",6	r'	3",25146	log . T ₀	= 0,509142
47	41,2	52	1,2	r'E ² .F (z)	— 1177	log A + cd = 0,682614
48	13,6	51	28,8	r'E ² .F'(z)	— 4	b f ² .tg ² i = 16
48	46,0	50	56,0	r'E ² .F''(z)	— 0	log f = 9,664346
49	18,8	50	23,8			
15 ^h 49'	51",6					

$$E = 22^{\circ},0 \quad e = 7^{\circ},0 \quad v = + 14^{\circ},0$$

Resultat

für 1828. Juli 13. 17^h 1'

Breite = 58° 21'
 Länge = 29° 45'
 Horiz. Intens. = 0,46168 C.

1828. JULI 14.

WALDAI.

Inclination.

Nadel A. 4.

$$\begin{aligned}
 I &= 70^\circ 20',50 & I' &= 69^\circ 21',25 & I'' &= 69^\circ 27',25 & I''' &= 70^\circ 50',25 \\
 & & \dot{I}' &= 69^\circ 59',81 \\
 \Delta I' &= & - & 1,49.
 \end{aligned}$$

Intensität.

Cylindrische Nadel.

16 ^h 40' 16'',2	45' 33'',6	τ'	3'',17636	$\log T_0$	= 0,497950
40 48,0	45 2,2	$\tau' E^2.F(z)$	— 2013	$\log A + cd$	= 0,682633
41 20,0	44 30,6	$\tau' E^4.F'(z)$	— 14	$b f^2.tg^2 i$	= 16
41 51,8	43 59,2	$\tau' E^6.F''(z)$	— 0	$\log f$	= 9,686749
42 23,6	43 27,2				
16 ^h 42' 55'',6					

$$E = 30^\circ,0 \quad e = 9^\circ,0 \quad v = + 12^\circ,4.$$

Resultate

für 1828. Juli 14. 17^h 59'

Breite	= 57° 56'
Länge	= 30° 55'
Inclination	= 69° 58',32 A.
Horiz. Intens.	= 0,48612 C.

1828. JULI 15.

WUISCHNJI WOLOTSCHOK.

Inclination.

Nadel A. 5.

$$\begin{aligned}
 I &= 70^{\circ} 20',25 & I' &= 69^{\circ} 9',25 & I'' &= 69^{\circ} 21',30 & I''' &= 70^{\circ} 35',50 \\
 & & i &= 69^{\circ} 51',62 \\
 \Delta i' &= + 0,00
 \end{aligned}$$

Intensität.

Cylindrische Nadel.

16 ^b 25' 26'',8	30' 43'',6	r'	3'',17000	$\log T_o$	= 0,496176
25 58,2	30 11,8	$r'E^2.F(z)$	— 2391	$\log A+cd$	= 0,682632
26 30,0	29 40,2	$r'E^4.F'(z)$	— 20	$b f^2.tg^2 i$	= 17
27 1,4	29 8,8	$r'E^6.F''(z)$	— 0	$\log f$	= 9,690317
27 34,0	28 37,2				
16 ^b 28'	5'',6				

$$E = 31^{\circ},5 \quad e = 10^{\circ},5 \quad v = + 16^{\circ},2.$$

Cylindrische Nadel.

16 ^b 34' 44'',4	40' 1'',4	r'	3'',16819	$\log T_o$	= 0,496396
35 16,4	39 29,8	$r'E^2.F(z)$	— 1913	$\log A+cd$	= 0,682632
35 48,4	38 58,2	$r'E^4.F'(z)$	— 12	$b f^2.tg^2 i$	= 17
36 20,0	38 26,8	$r'E^6.F''(z)$	— 0	$\log f$	= 9,689477
36 51,6	37 53,0				
16 ^b 37'	23'',3				

$$E = 28^{\circ},0 \quad e = 9,5 \quad v = + 16^{\circ},2.$$

Resultate

für 1828. Juli 15. 17^b 54'

Breite	= 57° 37'
Länge	= 32° 20'
Inclination	= 69° 51',62 A.
Horiz. Intens.	= 0,49014 C.
	0,48919 C.

1828. JULI 16.

TORJOK.

Intensität.

Cylindrische Nadel.

19 ^h 10' 56",0	16' 6",4	r'	3",10282	$\log T_0 = 0,490048$
11 27,0	15 33,5	$r' E^2 \cdot F(z)$	— 452	$\log A + cd = 0,682673$
11 58,0	15 4,0	$r' E^4 \cdot F''(z)$	— 1	$b f^2 \cdot \lg^2 i = 17$
12 29,5	14 33,2	$r' E^6 \cdot F''(z)$	— 0	$\log f = 9,702594$
13 0,3	14 2,0			
19 ^h 13' 31",2				

$$E = 15^{\circ},0 \quad e = 4^{\circ},0 \quad v = + 11^{\circ},1.$$

Resultat

1828. Juli 16. 20^h 36'

Breite	= 57° 2' 9"
Länge	= 32° 42' 15"
Horiz. Intens.	= 0,50419 C

1828. JULI 17.

TWER.

Inclination.

Nadel B. 4.

$$\begin{aligned}
 I &= 68^\circ 43',25 & I' &= 68^\circ 32',00 & I'' &= 68^\circ 14',50 & I''' &= 68^\circ 36',00 \\
 & & i' &= 68^\circ 31',43 \\
 + \frac{F}{2} &= & - 0,01 \\
 - \frac{H}{2} &= & + 0,03
 \end{aligned}$$

Intensität.

Cylindrische Nadel.

17 ^h 48' 12",4	53' 21",2	τ	3",08655	$\log T_o = 0,485947$
48 43,6	52 50,4	$\tau E^2.F(z)$	— 1263	$\log A + cd = 0,682690$
49 14,4	52 19,6	$\tau E^4.F'(z)$	— 6	$b f^2.tg^2 i = 16$
49 45,4	51 48,8	$\tau E^6.F''(z)$	— 0	$\log f = 9,710812$
50 16,0	51 17,6			
17 ^h 50'	47",2			

$$E = 26^\circ,0 \quad e = 6^\circ,5 \quad v = + 18^\circ,0.$$

Resultate

für 1828. Juli 17. 19^h 17'

Breite	=	56° 51' 44"
Länge	=	33° 36' 21"
Inclination	=	68° 31',45 B.
Horiz. Intens.	=	0,51382 C.

1828. JULI 23.

SAKOLNIKOWA-POLE, bei Moskau.

Inclination.

Nadel A. 6.

$$\begin{aligned}
 I &= 69^\circ 8',00 & I' &= 68^\circ 18',25 & I'' &= 68^\circ 29',00 & I''' &= 70^\circ 17',75 \\
 i' &= 69^\circ 3',25 \\
 \Delta i' &= - 7',42
 \end{aligned}$$

Nadel B. 5.

$$\begin{aligned}
 I &= 69^\circ 16',00 & I' &= 69^\circ 11',00 & I'' &= 68^\circ 43',75 & I''' &= 68^\circ 51',50 \\
 i' &= 69^\circ 0',57 \\
 + \frac{F}{2} &= + 0,07 \\
 - \frac{H}{2} &= + 0,06
 \end{aligned}$$

Intensität.

Cylindrische Nadel.

0 ^h 12' 12",8	17' 24",0	τ'	3",10982	$\log T_0 = 0,489429$
12 44,0	16 52,8	$\tau' E^2. F(z)$	— 883	$\log A + cd = 0,682791$
13 15,4	16 21,6	$\tau' E^4. F'(z)$	— 3	$b f^2. \lg^2 i = 16$
13 46,4	15 50,8	$\tau' E^4. F''(z)$	— 0	$\log f = 9,703949$
14 17,6	15 19,6			
0 ^h 14'	48",4			

$$E = 21^\circ,0 \quad e = 5^\circ,5 \quad v = + 21^\circ,4.$$

Resultate

für 1828. Juli 23. 1^h 48'

Breite	= 55° 45' 13"
Länge	= 35° 17' 54"
Inclination	= 68° 55',83 A.
	68° 60,70 B.
Horiz. Intens.	= 0,50576 C.

1828. JULI 29.

NOWAJA DEREWNJA.

Intensität.

Cylindrische Nadel.

4 ^h 2' 10'',8	7' 20'',8	r'	3'',10082	$\log T_o = 0,487825$
2 42,0	6 50,2	$r'E^2.F(z)$	— 1323	$\log A+cd = 0,682908$
3 13,2	6 19,3	$r'E^4.F'(z)$	— 6	$b f^2.tg^2 = 15$
3 44,4	5 48,2	$r'E^6.F''(z)$	— 0	$\log f = 9,707273$
4 15,4	5 17,6			
4 ^h 4'	46'',6			

E = 23°,5 e = 8°,0 v = + 18°,5.

Resultat

für 1828. Juli 29. 5^h 39'

Breite = 55° 46'
 Länge = 35° 36'
 Horiz. Intens. = 0,50965 C.

1828. JULI 30.

PLATOWA.

Inclination.

Nadel A. 7.

$$\begin{aligned}
 I &= 68^\circ 41',87 & I' &= 67^\circ 55',50 & I'' &= 67^\circ 35',25 & I''' &= 69^\circ 55',75 \\
 i' &= 68^\circ 32',09 \\
 \Delta i' &= - 6,75
 \end{aligned}$$

Intensität.

Cylindrische Nadel.

1 ^h 16' 12'',8	21' 22'',3	r'	3'',09355	$\log T_0 = 0,486617$
16 44,0	20 51,4	$r'E^2.F(z)$	— 1149	$\log A + cd = 0,682927$
17 15,2	20 20,8	$r'E^2.F'(z)$	— 4	$b f^2.tg^2 i = 16$
17 46,2	19 49,8	$r'E^2.F''(z)$	— 0	$\log f = 9,709709$
18 17,0	19 18,8			
1 ^h 18'	47'',9			

$$E = 24^\circ,0 \quad e = 8^\circ,0 \quad v = +23^\circ,0.$$

Resultate

für 1828. Juli 30. 2^h 56'

$$\begin{aligned}
 \text{Breite} &= 55^\circ 47' \\
 \text{Länge} &= 36^\circ 23' \\
 \text{Inclination} &= 68^\circ 25',34 \text{ A.} \\
 \text{Horiz. Intens.} &= 0,51252 \text{ C.}
 \end{aligned}$$

1828. JULI 31.

DMITREWSK.

Inclination.

Nadel B. 6.

$$I = 68^{\circ} 21',75 \quad I' = 68^{\circ} 17',75 \quad I'' = 67^{\circ} 55',37 \quad I''' = 68^{\circ} 0',62$$

$$I' = 68^{\circ} 8',87$$

$$+ \frac{F}{2} = + 0,05$$

$$- \frac{H}{2} = + 0,04$$

Intensität.

Cylindrische Nadel.

16 ^h 14' 33'',6	19' 32'',8	τ	2'',99127	$\log T_0 = 0,473019$
15 3,6	19 3,0	$\tau E^2.F(z)$	— 981	$\log A + cd = 0,682966$
15 33,6	18 33,2	$\tau E^4.F'(z)$	— 5	$b f^2. \lg^2 i = 17$
16 4,0	18 3,2	$\tau E^4.F''(z)$	— 0	$\log f = 9,736945$
16 33,8	17 33,4			
16 ^h 17' 3'',6				

Resultate

für 1828. Juli 31. 18^h 0'

Breite	= 56° 0'
Länge	= 37° 45'
Inclination	= 68° 8',96 B.
Horiz. Intens.	= 0,54569 C.

1828. AUGUST 4.

ALESCHNOWO.

Intensität.

Cylindrische Nadel.

5 ^h 13' 30",4	18' 35",2	r'	3",04873	$\log T_0 = 0,481296$
14 1,4	18 4,8	$r'E^2.F(z)$	— 859	$\log A + cd = 0,683024$
14 31,2	17 34,4	$r'E^4.F'(z)$	— 3	$b f^2.tg^2 i = 17$
15 2,0	17 4,2	$r'E^6.F''(z)$	— 0	$\log f = 9,720449$
15 32,4	16 33,6			
5 ^h 16'	3",2			

$$E = 20^\circ,0 \quad e = 6^\circ,0 \quad v = +16^\circ,5.$$

Resultat

für 1828. August 4. 7^h 11'

Breite	= 56° 4'
Länge	= 40° 50'
Horiz. Intens.	= 0,52535 C.

1828. AUGUST 4.

DOSKINO.

Inclination.

Nadel A. 8.

$$\begin{aligned}
 I &= 69^{\circ} 31',75 & I' &= 68^{\circ} 21',12 & I'' &= 68^{\circ} 6',00 & I''' &= 69^{\circ} 55',75 \\
 & & i' &= 68^{\circ} 58',66 & & & & \\
 \Delta i' &= + 0,07
 \end{aligned}$$

Intensität.

Cylindrische Nadel.

19 ^b 57' 9'',6	62' 17'',6	r'	3'',08000	$\log T_0 = 0,484507$
57 40,4	61 46,8	$r'E^2.F(z)$	— 1488	$\log A+cd = 0,683033$
58 11,2	61 16,1	$r'E^*.F'(z)$	— 7	$b f^2.tg^2 i = 17$
58 42,0	60 45,2	$r'E^*.F''(z)$	— 0	$\log f = 9,714036$
59 13,1	60 14'',4			
19 ^b 59'	44'',0			

$$E = 25^{\circ},0 \quad e = 8^{\circ},5 \quad v = + 20^{\circ},0.$$

Resultate

für 1828. August 4. 21^b 57'

Breite	= 56° 9' 15"
Länge	= 41° 14' 12"
Inclination	= 68° 58',73 A.
Horiz. Intens.	= 0,51763 C.

1828. AUGUST 8.

NILNEI NOWGOROD.

Inclination.

Nadel A. 9.

$$\begin{aligned}
 I &= 69^{\circ} 5',50 & I' &= 68^{\circ} 8',00 & I'' &= 67^{\circ} 46',75 & I''' &= 69^{\circ} 54',50 \\
 i' &= 68^{\circ} 43',69 \\
 \Delta I' &= - 2,61
 \end{aligned}$$

Intensität.

Cylindrische Nadel.

23 ^h 19' 29",2	24' 35",6	r'	3",06382	$\log T_0$	$= 0,481911$
20 0,0	24 5,2	$rE^2.F(z)$	— 1721	$\log A+cd$	$= 0,683122$
20 30,8	23 34,4	$rE^4.F'(z)$	— 10	$b f^2. \lg^2 i$	$= 16$
21 1,4	23 4,0	$rE^6.F''(z)$	— 0	$\log f$	$= 9,719316$
21 32,0	22 33,4				
23 ^h 22'	2",8				

$$E = 25^{\circ},5 \quad e = 10,5 \quad v = + 19^{\circ},6.$$

Resultate

für 1828. August 8. 1^h 20'

Breite.	$= 56^{\circ} 19' 20''$
Länge	$= 41^{\circ} 36' 40''$
Inclination	$= 68^{\circ} 41',08 A.$
Horiz. Intens.	$= 0,52398 \quad C.$

1828. AUGUST 9.

POLJANA.

Intensität

Cylindrische Nadel.

19 ^h 24' 5",4	29' 14",8	r'	3'',09527	log T ₀	= 0,486286
24 36,4	28 44,0	r'E ² .F (z)	— 1913	log A+cd	= 0,683140
25 7,6	28 13,4	r'E ⁴ .F' (z)	— 13	b f ² .tg ² i	= 16
25 38,4	27 42,4	r'E ⁶ .F''(z)	— 0	log f	= 9,710584
26 9,6	27 11,6				
19 ^h 26' 40",4					

$$E = 28^{\circ},5 \quad e = 9^{\circ},5 \quad v = + 17^{\circ},6.$$

Cylindrische Nadel.

19 ^h 31' 50",0	36' 39",8	r'	3'',09909	log T ₀	= 0,486768
32 21,2	36 29,0	r'E ² .F (z)	— 1914	log A+cd	= 0,683140
32 52,4	35 58,0	r'E ⁴ .F' (z)	— 13	b f ² .tg i	= 16
33 23,4	35 27,2	r'E ⁶ .F''(z)	— 0	log f	= 9,709620
33 54,4	34 56,4				
19 ^h 34' 25",2					

$$E = 28^{\circ},5 \quad e = 9^{\circ},5 \quad v = + 18^{\circ},2.$$

Resultat

 für 1828. August 9. 21^h 31'

Breite	= 56° 2'
Länge	= 42° 23'
Horiz. Intens.	= 0,51355 C.
	0,51241 C.

1828. AUGUST 10.

TSCHUGUNUI.

Inclination.

Nadel B. 8.

I und I' wurden nicht beobachtet. I'' = 68° 26',25 I''' = 68° 33',50

Nach den nächsten Beob. mit Nadel B:

$$i' = \frac{I'' + I'''}{2} + 8',97 = 68^\circ 38',83$$

$$\frac{F - H}{2} = + 0,03$$

Intensität.

16 ^h 59' 59'',2	5' 4'',0	i'	3'',04727	log T ₀	= 0,479667
17 0 30,0	4 33,6	i'E ² .F (z)	— 1471	log A + cd	= 0,683155
1 0,4	4 3,2	i'E ⁴ .F' (z)	— 6	b f ² .tg ² i	= 17
1 30,8	3 32,8	i'E ⁶ .F''(z)	— 0	log f	= 9,723838
2 1,4	3 2,6				
17 ^h 2'	32'',0				

Resultate

für 1828. August 10. 19^h 7'

Breite	= 56° 6' 24"
Länge	= 43° 19' 48"
Inclination	= 68° 38',90 B.
Horiz. Intens.	= 0,52947 C.

1828. AUGUST 11.

EMUINGASCH.

Intensität.

Cylindrische Nadel.

2 ^h 14' 23",2	19' 30",0	r'	3",06837	$\log T_0$	= 0,482802
14 54,1	18 59,6	$r'E^2.F(z)$	— 1930	$\log A + cd$	= 0,683141
15 24,8	18 28,8	$r'E^4.F'(z)$	— 14	$b f^2.ig^2 i$	= 16
15 55,6	17 58,4	$r'E^6.F''(z)$	— 0	$\log f$	= 9,717353
16 26,4	17 28,0				
2 ^h 16'	57",2				

 $E = 29^\circ,0$ $e = 10^\circ,0$ $v = + 13^\circ,9$.

Resultat

für 1828. August 11. 4^h 25'

Breite = $56^\circ 11'$
 Länge = $44^\circ 6'$
 Horiz. Intens. = 0,52186 C.

1828. AUGUST 11.

TSCHEBOKSAR.

Intensität.

Cylindrische Nadel.

21 ^b	8'	29'',6	13'	36'',8	r	3'',07164	$\log T_0 = 0,483130$
9	0,4	13	6,0		$r' E^2 \cdot F(z) - 1853$		$\log A + cd = 0,683181$
9	31,2	12	35,6		$r' E^4 \cdot F''(z) - 13$	$b f^2 \cdot \lg^2 i = 16$	
10	2,0	12	4,8		$r' E^6 \cdot F'''(z) - 0$	$\log f = 9,716937$	
10	32,8	11	34,4				
21 ^b	11'	3'',6					

$$E = 28^\circ,0 \quad e = 10^\circ,0 \quad v = + 16^\circ,5.$$

Resultat

für 1828. August 11. 23^b 22'

Breite = $56^\circ 10'$
 Länge = $44^\circ 58'$
 Horiz. Intens. = $0,52112 \text{ C.}$

1828. AUGUST 12.

ANGIKOWA.

Inclination.

Nadel B. 9.

$$I = 68^{\circ} 49',25 \quad I' = 68^{\circ} 37',75 \quad I'' = 68^{\circ} 24',00 \quad I''' = 68^{\circ} 29',87$$

$$i' = 68^{\circ} 35',17$$

$$+ \frac{F}{2} = + 0,01$$

$$- \frac{H}{2} = + 0,02$$

Intensität.

Cylindrische Nadel

18 ^h 15' 48'',0	20' 52'',8	r'	3'',04636	$\log T_0 = 0,479427$
16 18,8	20 22,4	$r' E^2 \cdot F(z)$	— 1731	$\log A + cd = 0,683200$
16 49,4	19 52,2	$r' E^4 \cdot F'(z)$	— 11	$b f^2 \cdot \lg^2 i = 17$
17 20,0	19 21,6	$r' E^6 \cdot F''(z)$	— 0	$\log f = 9,724363$
17 50,4	18' 51'',4			
18 ^h 18'	20'',8			

$$E = 27^{\circ},5 \quad e = 9^{\circ},5 \quad v = + 19^{\circ},3.$$

Resultat

für 1828. August 12. 20^h 33'

Breite	= 55° 44'
Länge	= 45° 49'
Inclination	= 68° 35',20 B.
Horiz. Intens.	= 0,53011 C.

1828. AUGUST 15.

KASAN.

Inclination.

Nadel A. 10.

$$I = 68^{\circ} 45',00 \quad I' = 67^{\circ} 51',12 \quad I'' = 67^{\circ} 23',00 \quad I''' = 69^{\circ} 36',25$$

$$i' = 68^{\circ} 23',84$$

$$\Delta i' = - 2',45$$

Intensität.

Cylindrische Nadel.

19 ^h 49'	7'',6	54' 11'',6	r'	3'',03873	$\log T_0 = 0,478897$
49	38,4	53 41,4	$r'E^2.F(z)$	— 1474	$\log A + cd = 0,683259$
50	8,8	53 11,2	$r'E^2.F'(z)$	— 9	$b f^2. \lg^2 i = 17$
50	39,4	52 40,8	$r'E^2.F''(z)$	— 0	$\log f = 9,725482$
51	9,8	52 10,4			
19 ^h	51'	40'',0			

$$E = 25^{\circ},5 \quad e = 8^{\circ},75 \quad v = + 17^{\circ},3.$$

Resultate

für 1828. August 15. 22^h 8'

Breite	=	55° 47' 50"
Länge	=	46° 7' 9"
Inclination	=	68° 21',39 A.
Horiz. Intens.	=	0,53147 C.

1828. AUGUST 20.

MITJESCHKA.

Inclination.

Nadel B. 10.

$$I = 69^{\circ} 4',50 \quad I' = 68^{\circ} 58',73 \quad I'' = 68^{\circ} 26',75 \quad I''' = 68^{\circ} 31',50$$

$$i' = 68^{\circ} 45',37$$

$$+ \frac{F}{2} = + 0,11$$

$$- \frac{H}{2} = + 0,09$$

Intensität.

Cylindrische Nadel.

18 ^h 18' 41",2	23' 44",6	r'	3",03382	$\log T_0 = 0,479613$
19 11,6	23 14,4	$r' E^2 \cdot F(z)$	— 871	$\log A + cd = 0,683357$
19 42,0	22 44,0	$r' E^4 \cdot F'(z)$	— 3	$b f^2 \cdot \lg^2 i = 17$
20 12,4	22 13,6	$r' E^4 \cdot F''(z)$	— 0	$\log f = 9,724148$
20 42,8	21 43,4			
18 ^h 21' 13",2				

$$E = 21^{\circ},0 \quad e = 6^{\circ},0 \quad v = + 11^{\circ},6.$$

Resultate

für 1828. August 20. 20^h 43'

Breite	= 56° 13' 0"
Länge	= 47° 33' 40"
Inclination	= 68° 45',37 B.
Horiz. Intens.	= 0,52984 C.

1828. AUGUST 21.

MILET.

Inclination.

Nadel A. 11.

$$\begin{aligned}
 I &= 69^\circ 19',62 & I' &= 67^\circ 56',25 & I'' &= 67^\circ 46',00 & I''' &= 69^\circ 46',62 \\
 & & i' &= 68^\circ 42',12 & & & & \\
 \Delta i' &= & & - 0,51 & & & &
 \end{aligned}$$

Intensität.

Cylindrische Nadel.

17 ^h 37' 29'',8	42' 33'',2	r'	3'',03527	$\log T_o$	= 0,477882
38 0,0	42 2,8	$r'E^2.F(z)$	— 1442	$\log A+cd$	= 0,683377
38 30,4	41 32,6	$r'E^4.F'(z)$	— 8	$b f^2.tg^2 i$	= 18
39 0,8	41 2,4	$r'E^6.F''(z)$	— 0	$\log f$	= 9,727631
39 31,2	40 32,0				
17 ^h 40'	1'',6				

$$E = 25^\circ,5 \quad e = 8^\circ,5 \quad v = + 23^\circ,2.$$

Resultate

für 1828. August 21. 20^h 5'

Breite	=	56° 40'
Länge	=	48° 18'
Inclination	=	68° 41',61 A.
Horiz. Intens.	=	0,53411 C.

1828. AUGUST 22.

KOJIL.

Inclination.

Nadel B. 11.

$$I = 69^{\circ} 42',37 \quad I' = 69^{\circ} 34',25 \quad I'' = 68^{\circ} 55',50 \quad I''' = 68^{\circ} 59',37$$

$$i' = 69^{\circ} 17',87$$

$$+ \frac{F}{2} = + 0,18$$

$$- \frac{H}{2} = + 0,14$$

Intensität.

Cylindrische Nadel.

17 ^h	3' 27",2	8' 32",2	i'	3",05018	$\log T_0 = 0,480930$
3	57,6	8 1,8	$i' E^2 \cdot F(z)$	— 1390	$\log A + cd = 0,683396$
4	28,4	7 31,2	$i' E^4 \cdot F'(z)$	— 7	$b f^2 \cdot \lg^2 i = 17$
4	58,8	7 0,8	$i' E^6 \cdot F''(z)$	— 0	$\log f = 0,721553$
5	29,4	6 30,4			
17 ^h	6'	0",0			

$$E = 23^{\circ},0 \quad e = 9^{\circ},5 \quad v = + 14^{\circ},5.$$

Resultate

für 1828. August 22. 19^h 34'

Breite	= 57° 12'
Länge	= 49° 5'
Inclination	= 68° 18',19 B.
Horiz. Intens.	= 0,52669 C.

1828. AUGUST 23.

SURI.

Inclination.

Nadel A. 12.

$$\begin{aligned}
 I &= 70^\circ 46',50 & I' &= 69^\circ 41',00 & I'' &= 69^\circ 44',37 & I''' &= 70^\circ 14',62 \\
 i' &= 70^\circ 22',37 \\
 \Delta i' &= & & - 2,00
 \end{aligned}$$

Intensität.

Cylindrische Nadel.

17 ^b 32' 46",0	38' 0",4	r'	3",14291	$\log T_o$	= 0,493638
33 17,6	37 28,9	$r'E^2.F(z)$	— 1738	$\log A+cd$	= 0,683415
33 49,2	36 57,6	$r'E^2.F'(z)$	— 11	$b f^2.tg i$	= 18
34 20,4	36 26,4	$r'E^2.F''(z)$	— 0	$\log f$	= 9,696157
34 52,0	35 54,8				
17 ^b 35'	23",4				

$$E = 27^\circ,0 \quad e = 9^\circ,5 \quad v = + 13^\circ,3.$$

Resultate

für 1828. August 23. 20^b 10'

$$\begin{aligned}
 \text{Breite} &= 57^\circ 33' \\
 \text{Länge} &= 50^\circ 44' \\
 \text{Inclination} &= 70^\circ 20',37 \text{ A.} \\
 \text{Horiz. Intens.} &= 0,49677 \text{ C.}
 \end{aligned}$$

1828. AUGUST 24.

DUBROWA.

Inclination.

Nadel B. 12.

$$\begin{aligned}
 I &= 70^\circ 6',25 & I' &= 70^\circ 4',75 & I'' &= 69^\circ 36',00 & I''' &= 69^\circ 42',12 \\
 & & i' &= 69^\circ 52',28 \\
 & + \frac{F}{2} &= & + 0,08 \\
 & - \frac{H}{2} &= & + 0,06.
 \end{aligned}$$

Intensität.

Cylindrische Nadel.

17 ^h 28' 45",8	33' 56",0	r'	3",10109	$\log T_0 = 0,487128$
29 16,8	33 24,8	$r' E^2 \cdot F(z)$	— 2147	$\log A + cd = 0,683430$
29 48,0	32 54,0	$r' E^4 \cdot F'(z)$	— 17	$b f^2 \cdot \lg^2 i = 18$
30 19,0	32 23,2	$r' E^6 \cdot F''(z)$	— 0	$\log f = 9,709192$
30 50,2	31 52,0			
17 ^h 31' 21",2				

$$E = 30^\circ,0 \quad e = 10^\circ,5 \quad v = + 13^\circ,9.$$

Resultate

für 1828. August 23. 20^h 11'

Breite	= 57° 42'
Länge	= 52° 10'
Inclination	= 69° 52',42 B.
Horiz. Intens.	= 0,51191 C.

1828. AUGUST 27.

PERM.

Inclination.

Nadel B. 13.

$$I = 69^{\circ} 52',12 \quad I' = 69^{\circ} 47',75 \quad I'' = 70^{\circ} 13', 50 \quad I''' = 70^{\circ} 13',75$$

$$\begin{aligned} i' &= 70^{\circ} \quad 1',77 \\ + \frac{F}{2} &= + 0,06 \\ - \frac{H}{2} &= + 0,03. \end{aligned}$$

Intensität.

Cylindrische Nadel.

3 ^h 50' 21",6	55' 32',0	r'	3",10746	$\log T_0 = 0,488418$
50 52,8	55 1,8	$r'E^2.F(z)$	— 1834	$\log A + cd = 0,683474$
51 24,0	54 30,6	$r'E^4.F'(z)$	— 12	$b.f^2 \lg^2 i = 17$
51 55,2	53 59,4	$r'E^6.F''(z)$	— 0	$\log f = 9,706655$
52 26,4	53 28,4			
3 ^h 52'	57',6			

$$E = 27^{\circ},3 \quad e = 10^{\circ},0 \quad v = + 15^{\circ},5.$$

Resultat.

für 1828. August 27. 6^h 40'

Breite	= 58^{\circ} 1' 14''
Länge	= 53^{\circ} 53' 32''
Inclination	= 70^{\circ} 1',88 B.
Horiz. Intens.	= 0,50893 C.

1828. AUGUST 28.

KRUILASOWO.

Inclination.

Nadel A. 13.

$$I = 70^{\circ} 18',75 \quad I' = 69^{\circ} 24',00 \quad I'' = 69^{\circ} 21',75 \quad I''' = 71^{\circ} 18',87$$

$$i' = 70^{\circ} 5',84$$

$$\Delta i' = - 5',25.$$

Intensität.

Cylindrische Nadel.

16 ^h 53' 27",2	58' 33",6	i'	3",07018	$\log T_0 =$	0,482846
53 57,4	58 3,2	$i' E^2 \cdot F(z)$	— 1938	$\log A + cd =$	0,683528
54 27,6	57 32,0	$i' E^2 \cdot F'(z)$	— 15	$b f^2 \cdot \lg^2 i =$	18
54 58,0	57 1,4	$i' E^2 \cdot F''(z)$	— 0	$\log f =$	9,717854
55 28,8	56 30,8				
16 ^h 55'	59",8				

$$E = 30^{\circ},0 \quad e = 9^{\circ},5 \quad v = + 16^{\circ},0.$$

Resultate

für 1828. August 28. 19^h 44'

$$\text{Breite} = 57^{\circ} 33' 45''$$

$$\text{Länge} = 54^{\circ} 17' 14''$$

$$\text{Inclination} = 70^{\circ} 0',59 \text{ A.}$$

$$\text{Horiz. Intens.} = 0,52222 \text{ C.}$$

1828. AUGUST 29.

SLATOUSTOWO.

Intensität.

Cylindrische Nadel.

4 ^h 3' 57",6	9' 2",4	r'	3",04927	$\log T_0 = 0,480359$
4 28,2	8 32,2	$r'E^2.F(z)$	— 1848	$\log A + cd = 9,683522$
4 58,8	8 1,8	$r'E^4.F'(z)$	— 13	$b f^2.tg i = 18$
5 29,4	7 31,4	$r'E^4.F''(z)$	— 0	$\log f = 9,722822$
6 0,0	7 1,2			
4 ^h 6'	30'',4			

$$E = 29^{\circ},0 \quad e = 9^{\circ},5 \quad v = + 12^{\circ},2.$$

Resultat

für 1828. August 29. 6^h 58'

Breite = $57^{\circ} 1'$

Länge = $54^{\circ} 57'$

Horiz. Intens. = 0,52824 C.

1828. AUGUST 29.

BUIKOWA.

Inclination.

Nadel B. 14.

$$I = 69^{\circ} 52',25 \quad I' = 69^{\circ} 44',00 \quad I'' = 69^{\circ} 50',50 \quad I''' = 69^{\circ} 54',00$$

$$i' = 69^{\circ} 50',18$$

$$+ \frac{F}{2} = - 0,00$$

$$- \frac{H}{2} = + 0,00$$

Intensität.

Cylindrische Nadel.

16 ^h 33' 6'',8	38' 13'',4	r'	3'',06727	$\log T_0 = 0,482720$
33 37,2	37 42,8	$r'E^2.F(z)$	— 2080	$\log A + cd = 0,683533$
34 8,4	37 12,4	$r'E^2.F'(z)$	— 16	$b f^2.tg^2 i = 19$
34 39,2	36 41,8	$r'E^2.F''(z)$	— 0	$\log f = 9,718112$
35 9,6	36 11,0			
16 ^h 33' 40'',4				

$$E = 29^{\circ},0 \quad e = 11^{\circ},0 \quad v = + 10^{\circ},7.$$

Resultate

für 1828. August 29. 19^h 27'

$$\text{Breite} = 56^{\circ} 53'$$

$$\text{Länge} = 55^{\circ} 6'$$

$$\text{Inclination} = 69^{\circ} 50',18 \text{ B.}$$

$$\text{Horiz. Intens.} = 0,52253 \text{ C.}$$

1828. AUGUST 30.

KIRGISCHANSK.

Inclination.

Nadel A. 14.

$$\begin{aligned}
 I &= 70^{\circ} 29',75 & I' &= 68^{\circ} 52',25 & I'' &= 69^{\circ} 6',00 & I''' &= 70^{\circ} 31',75 \\
 i' &= 69^{\circ} 44',94 \\
 \Delta i' &= + 2,58
 \end{aligned}$$

Intensität.

Cylindrische Nadel.

16 ^b	1'	41'',6	6'	46'',3	τ'	3'',04853	$\log T_0 = 0,480040$
2	12,0	6	16,0	$\tau' E^2.F(z)$	—	2005	$\log A^{+cd} = 0,683546$
2	42,4	5	43,4	$\tau' E^4.F'(z)$	—	19	$b f^2. \lg^2 i = 19$
3	13,2	5	15,2	$\tau' E^6.F''(z)$	—	0	$\log f = 9,723485$
3	43,6	4	44,5				
16 ^b	4'	14'',1					

$$E = 30^{\circ},0 \quad e = 10^{\circ},0 \quad v = + 12^{\circ},0.$$

Resultate

für 1828. August 30. 19^b 2'

$$\begin{aligned}
 \text{Breite} &= 56^{\circ} 50' 30'' \\
 \text{Länge} &= 56^{\circ} 45' 50'' \\
 \text{Inclination} &= 69^{\circ} 47',52 \text{ A.} \\
 \text{Horiz. Intens.} &= 0,52904 \text{ C.}
 \end{aligned}$$

1828. SEPTEMBER 3.

JEKATERINBURG.

Inclination.

Nadel B. 15.

$$I = 69^{\circ} 21',00 \quad I' = 69^{\circ} 16',25 \quad I'' = 69^{\circ} 26',50 \quad I''' = 69^{\circ} 37',32$$

$$i' = 69^{\circ} 25',34$$

$$+ \frac{F}{2} = + 0,01$$

$$- \frac{H}{2} = + 0,02$$

Intensität.

Cylindrische Nadel.

3 ^b 49' 12",2	54' 16",0	r'	3",03873	$\log To = 0,479153$
49 42,6	53 45,8	$r' E^2.F(z)$	— 1736	$\log A + cd = 0,682611$
50 13,2	53 15,6	$r' E^4.F'(z)$	— 11	$b f^2.tg^2 i = 18$
50 43,6	52 45,0	$r' E^6.F''(z)$	— 0	$\log f = 9,725323$
51 14,0	52 14,8			
3 ^b 51'	44",4			

$$F = 26^{\circ},0 \quad e = 10^{\circ},5 \quad v = + 10^{\circ},6.$$

Resultate

für 1828. September 3. 6^b 57'

Breite	=	56° 50' 38"
Länge	=	58° 13' 49"
Inclination	=	69° 25',37 B.
Horiz. Intens.	=	0,53128 C.

1828. SEPTEMBER 25.

JEKATERINBURG.

Inclination.

Nadel B. 18.

$$I = 69^{\circ} 14',25 \quad I' = 69^{\circ} 14',00 \quad I'' = 69^{\circ} 26',50 \quad I''' = 69^{\circ} 35',62$$

$$\begin{aligned} I' &= 69^{\circ} 22',59 \\ + \frac{F}{2} &= + 0,03 \\ - \frac{H}{2} &= + 0,03. \end{aligned}$$

Intensität

2 ^h 38' 54",8	43' 56",4	τ'	3",01655	$\log T_0 = 0,475751$
39 25,0	43 26,4	$\tau' E^2.F(z)$	— 1984	$\log A + cd = 0,684040$
39 53,4	42 56,4	$\tau' E^4.F'(z)$	— 15	$b f^2. \lg^2 i = 18$
40 25,6	42 26,2	$\tau' E^4.F''(z)$	— 0	$\log f = 9,732556$
40 55,8	41 56,2			
2 ^h 41'	26",0			

$$E = 30^{\circ},0 \quad e = 10^{\circ},0 \quad v = + 9^{\circ},0.$$

Resultate

für 1828. September 25. 5^h 45'

Breite	=	56° 50' 38"
Länge	=	58° 13' 49"
Inclination	=	69° 22',65 B.
Horiz. Intens.	=	0,54020 C.

1828. SEPTEMBER 5.

Bei NEWJANSK, auf einem Serpentinfels. *)

Inclination.

Nadel B. 16.

$$\begin{aligned}
 I &= 66^{\circ} 32',37 & I' &= 66^{\circ} 11',87 & I'' &= 66^{\circ} 46',50 & I''' &= 67^{\circ} 0',00 \\
 & & i' &= 66^{\circ} 37',43 \\
 & + \frac{F}{2} & & = & + 0,07 \\
 & - \frac{H}{2} & & = & + 0,09
 \end{aligned}$$

Intensität.

Cylindrische Nadel.

18 ^h 27' 39'',2	32' 22'',8	i'	2',83746	$\log T_0$	= 0,449185
28 7,6	31 54,6	$i' E^2.F(z)$	— 1516	$\log A + cd$	= 0,683669
28 36,0	31 26,4	$i' E^4.F'(z)$	— 10	$b f^2.tg^2 i$	= 18
29 4,4	30 58,0	$i' E^6.F''(z)$	— 0	$\log f$	= 9,785317
29 32,8	30 29,6				
18 ^h 30'	1'',2				

$$E = 27^{\circ},0 \quad e = 9^{\circ},0 \quad v = + 14^{\circ},5.$$

Resultate

für 1828. September 5. 21^h 32'

Breite	= 57^{\circ} 24'
Länge	= 57^{\circ} 50'
Inclination	= 66^{\circ} 37',59 B.
Horiz. Intens.	= 0,60998 C.

*) Vergleiche I. 1. Seite 316 u. f.

1828. SEPTEMBER 12.

WERCHOTURA.

Inclination.

Nadel A. 15.

$$\begin{aligned}
 I &= 71^{\circ} 15',75 & I' &= 70^{\circ} 33',50 & I'' &= 70^{\circ} 2',50 & I''' &= 72^{\circ} 11',75 \\
 i' &= 71^{\circ} 0',87 \\
 \Delta i' &= - 3,16
 \end{aligned}$$

Intensität.

Cylindrische Nadel.

1 ^b	51' 31",2	56' 44",0	r'	3",12873	$\log T_0 = 0,491590$
52	2,4	56 12,8	$r'E^2.F(z)$	— 1526	$\log A+cd = 0,683786$
52	34,0	55 41,6	$r'E^4.F'(z)$	— 9	$b f^2.tg^2 i = 19$
53	5,2	55 10,4	$r'E^6.F''(z)$	— 0	$\log f = 9,700625$
55	36,4	54 39,2			
1 ^b	54'	8",4			

$$E = 27^{\circ},0 \quad e = 8^{\circ},0 \quad v = + 17^{\circ},0.$$

Resultate

für 1828. September 12. 4^h 59'

Breite	= 58° 52' 19"
Länge	= 58° 25' 41"
Inclination	= 70° 57',71 A.
Horiz. Intens.	= 0,50191 C.

1828. SEPTEMBER 15.

BOGOSLOWSK.

Inclination.

Nadel A. 16.

$$\begin{aligned}
 I &= 72^\circ 10',00 & I' &= 70^\circ 25',25 & I'' &= 70^\circ 53',75 & I''' &= 72^\circ 4',50 \\
 i' &= 71^\circ 23',37 \\
 \Delta i' &= + 1,12.
 \end{aligned}$$

Intensität.

Cylindrische Nadel.

2 ^h 47' 40'',8	52' 58'',4	r'	3'',17691	$\log T_0$	$= 0,498400$
48 12,6	52 26,8	$r' E^2.F(z)$	— 1771	$\log A + cd$	$= 0,683844$
48 44,4	51 55,2	$r' E^4.F'(z)$	— 12	$b f^2.tg^2$	$= 19$
49 16,4	51 23,4	$r' E^6.F''(z)$	— 0	$\log f$	$= 9,687063$
49 48,2	50 51,6				
2 ^h 50'	20'',0				

$$E = 28^\circ,0 \quad c = 9^\circ,0 \quad v = + 12^\circ,0.$$

Resultate

für 1828. September 15. 6^h 1'

Breite	$= 59^\circ 44' 36''$
Länge	$= 57^\circ 39'$
Inclination	$= 71^\circ 24',49 \text{ A.}$
Horiz. Intens.	$= 0,48648 \text{ C.}$

1828. SEPTEMBER 16.

Bei der LATINSKER Gold- und Platin-wäsche.

Intensität.

Cylindrische Nadel.

23 ^h	4'	12'',4	9'	25'',4	r'	3'',12909	$\log T_0 = 0,491460$
4	43,8	8	54,2		$r'E^2.F(z)$	— 1413	$\log A + cd = 0,683884$
5	15,2	8	23,0		$r'E^4.F'(z)$	— 8	$b f^2. \lg^2 i = 20$
5	46,4	7	51,2		$r'E^4.F''(z)$	— 0	$\log f = 9,700984$
6	17,7	7	20,1				
23 ^h	6'	49'',0					

$$E = 27^\circ,5 \quad e = 7^\circ,5 \quad v = + 20^\circ,5.$$

Resultat

für 1828. September 17. 2^h 10'

Breite = 59° 20'
 Länge = 57° 49'
 Horiz. Intens. = 0,50232 C.

1828. SEPTEMBER 19.

KUSCHWA.

Inclination.

Nadel B. 17.

$$\begin{aligned}
 I &= 70^\circ 33',75 & I' &= 70^\circ 56',50 & I'' &= 70^\circ 46',00 & I''' &= 71^\circ 7',25 \\
 & & i' &= 70^\circ 50',87 \\
 & + \frac{F}{2} & = & + 0,02 \\
 & - \frac{H}{2} & = & + 0,01
 \end{aligned}$$

Intensität.

Cylindrische Nadel.

18 ^b 10' 12'',8	13' 27'',6	τ'	3'',14873	$\log T_0 = 0,495497$
10 44,4	14 56,4	$\tau'E^2.F(z)$	— 1615	$\log A+cd = 0,683942$
11 16,0	14 24,8	$\tau'E^4.F'(z)$	— 10	$b f^2.tg^2 i = 20$
11 47,4	13 53,4	$\tau'E^6.F''(z)$	— 0	$\log f = 9,692968$
12 18,8	13 22,0			
18 ^b 12'	50'',4			

$$E = 28^\circ,0 \quad e = 8^\circ,0 \quad v = + 4^\circ,0.$$

Resultate

für 1828. September 19. 21^h 13'

Breite	=	58° 17' 5''
Länge	=	57° 22' 28''
Inclination	=	70° 50',90 B.
Horiz. Intens.	=	0,49314 C.

1828. OCTOBER 1.

BJELAİKA.

Inclination.

Nadel A. 17.

$$\begin{aligned}
 I &= 69^{\circ} 47',50 & I' &= 68^{\circ} 45',50 & I'' &= 69^{\circ} 10',00 & I''' &= 70^{\circ} 6',25 \\
 i' &= 69^{\circ} 27',31 \\
 \Delta i' &= + 2,07
 \end{aligned}$$

Intensität.

Cylindrische Nadel.

17 ^h 31' 45'',6	36' 51'',2	r'	3'',05164	$\log T_0$	= 0,480793
32 16,4	36 20,4	$r'E^2.F(z)$	— 1994	$\log A + cd$	= 0,684176
32 47,2	35 50,0	$r'E^4.F'(z)$	— 15	$b f^2, tg^2 i$	= 18
33 17,8	35 19,6	$r'E^6.F''(z)$	— 0	$\log f$	= 0,722608
33 48,4	34 49,2				
17 ^h 34'	18'',8				

$$E = 29^{\circ},0 \quad e = 10^{\circ},5 \quad v = + 9^{\circ},0$$

Resultate

für 1828. October 1. 20^h 43'

Breite	= 56° 49'
Länge	= 59° 33'
Inclination	= 69° 29',38 A.
Horiz. Intens.	= 0,52797 C.

1828. OCTOBER 2.

KAMUISCHLOW.

Intensität.

Cylindrische Nadel.

22 ^h 24' 24",0	29' 29",6	r'	3",05291	$\log T_o = 0,480937$
24 54,8	28 58,8	$r' E^2.F(z)$	— 1921	$\log A + cd = 0,684176$
25 25,4	28 28,4	$r' E^4.F'(z)$	— 14	$b f^2.tg^2 i = 18$
25 56,0	27 58,1	$r' E^6.F''(z)$	— 0	$\log f = 9,722320$
26 26,6	27 27,6			
22 ^h 26'	57",0			

 $E = 29^{\circ},0$ $e = 10^{\circ},0$ $v = + 10^{\circ},5$.

Resultate

für 1828. October 2. 1^h 39'Breite = $56^{\circ} 50'$ Länge = $60^{\circ} 17'$ Horiz. Intens. = $0,52762$ C.

1828. OCTOBER 2.

SUGAZK.

Inclination.

Nadel B. 19.

$$I = 69^{\circ} 39',75 \quad I' = 69^{\circ} 26',75 \quad I'' = 69^{\circ} 23',00 \quad I''' = 69^{\circ} 51',75$$

$$i' = 69^{\circ} 35',31$$

$$+ \frac{F}{2} = - 0,06$$

$$- \frac{H}{2} = + 0,05$$

Intensität.

Cylindrische Nadel.

16 ^h 30' 45'',2	55' 51'',4	r'	3'',06145	$\log T_o = 0,482686$
51 16,0	55 20,9	$r' E^2.F(z)$	— 1521	$\log A + cd = 0,684195$
51 46,8	54 50,4	$r' E^4.F'(z)$	— 10	$b f^2.tg^2 i = 18$
52 17,4	54 20,0	$r' E^6.F''(z)$	— 0	$\log f = 9,718841$
52 48,2	53 49,2			
16 ^h 53'	18'',8			

$$E = 28^{\circ},0 \quad e = 7^{\circ},5 \quad v = + 11^{\circ},0.$$

Resultate

für 1828. October 2. 20^h 10'

Breite	= 56° 59' 48''
Länge	= 61° 23' 47''
Inclination	= 69° 35',30 B.
Horiz. Intens.	= 0,52341 C.

1828. OCTOBER 3.

TJUMEN.

Inclination.

Nadel A. 18.

$$\begin{aligned}
 I &= 70^{\circ} 21',25 & I' &= 69^{\circ} 51',12 & I'' &= 69^{\circ} 17',63 & I''' &= 70^{\circ} 14',37 \\
 i' &= 69^{\circ} 44',61 \\
 \Delta i' &= + 0,18
 \end{aligned}$$

Intensität.

Cylindrische Nadel.

18 ^b 2' 13'',2	7' 21'',0	r'	3'',07582	$\log T_o$	= 0,484241
2 44,4	6 50,4	$r'E^2.F(z) - 1894$		$\log A + cd$	= 0,684214
3 15,2	6 19,6	$r'E^4.F'(z) - 13$		$b f^2.tg^2 i$	= 18
3 46,0	5 48,8	$r'E^4.F''(z) - 0$		$\log f$	= 9,715750
4 16,8	5 18,4				
18 ^b 4' 47'',6					

$$E = 28^{\circ},5 \quad c = 10^{\circ},0 \quad v = + 10^{\circ},5$$

Resultate

für 1828. October 3. 21^h 28'

$$\begin{aligned}
 \text{Breite} &= 57^{\circ} 9' 35'' \\
 \text{Länge} &= 63^{\circ} 6' 50'' \\
 \text{Inclination} &= 69^{\circ} 44',79 \text{ A.} \\
 \text{Horiz. Intens.} &= 0,51970 \text{ C.}
 \end{aligned}$$

1828. OCTOBER 5.

SOSNOWSK.

Intensität.

Cylindrische Nadel.

22 ^h	3'	7'',2	8'	14'',2	τ'	3'',06982	$\log T_0$	= 0,483111
3	38,0	7	43,6		$\tau' E^2.F(z)$	— 2081	$\log A + cd$	= 0,684235
4	9,0	7	13,2		$\tau' E^4.F'(z)$	— 16	$b f^2.tg^2 i$	= 19
4	39,8	6	42,4		$\tau' E^6.F''(z)$	— 0	$\log f$	= 9,718032
5	10,4	6	12,0					
22 ^h	5'	41'',2						

 $E = 29^{\circ},0$ $e = 11^{\circ},0$ $v = +10^{\circ},6$

Resultat

für 1828. October 5. 1^h 31Breite = $57^{\circ} 13'$ Länge = $63^{\circ} 41'$

Horiz. Intens. = 0,52243 C.

1828. OCTOBER 5.

JUJAKOWO.

Inclination.

Nadel B. 20.

$$I = 70^{\circ} 33',50 \quad I' = 70^{\circ} 22',75 \quad I'' = 70^{\circ} 16',50 \quad I''' = 70^{\circ} 43',50$$

$$\bar{I} = 70^{\circ} 29',06$$

$$+ \frac{F}{2} = - 0,04$$

$$- \frac{H}{2} = + 0,14$$

Intensität.

Cylindrische Nadel.

16 ^h 33'	0'',4	38'	6'',8	r'	3'',06728	$\log T_0$	= 0,483357
33	30,8	37	36,4	$r'E^2.F(z)$	— 1971	$\log A + cd$	= 0,684254
34	1,6	37	5,8	$r'E^4.F'(z)$	— 10	$b f^2.tg^2 i$	= 20
34	32,4	36	35,2	$r'E^6.F''(z)$	— 0	$\log f$	= 9,717560
35	3,2	36	4,6				
16 ^h	33'	34'',0					
E = 28°,0	e = 8°,0	v = + 6°,0					

Resultate

für 1828. October 5. 20^h 5'

$$\text{Breite} = 57^{\circ} 31' 50''$$

$$\text{Länge} = 64^{\circ} 45' 59''$$

$$\text{Inclination} = 70^{\circ} 29',16 \text{ B.}$$

$$\text{Horiz. Intens.} = 0,52187 \text{ C.}$$

1828. OCTOBER 7.

CHUTARBITKA.

Inclination.

Nadel A. 19.

$$\begin{aligned} I &= 70^\circ 27',50 & I' &= 69^\circ 46',75 & I'' &= 69^\circ 49',50 & I''' &= 71^\circ 10',25 \\ i' &= 70^\circ 18',50 \\ \Delta i' &= -3,74 \end{aligned}$$

Intensität.

Cylindrische Nadel.

20 ^h 36' 28",8	41' 40",0	τ'	3",08118	$\log T_o$	= 0,484866
37 0,0	41 8,8	$\tau' E^2.F(z)$	- 2090	$\log A + cd$	= 0,684274
37 31,2	40 38,0	$\tau' E^4.F'(z)$	- 16	$b f^2.tg^2 i$	= 19
38 2,4	40 6,8	$\tau' E^6.F''(z)$	- 0	$\log f$	= 9,714523
38 33,6	39 35,6				
20 ^h 39' 4",6					

$$E = 26^\circ,0 \quad e = 10^\circ,0 \quad v = +4^\circ,0$$

Resultate

für 1828. October 7. 0^h 12'

$$\begin{aligned} \text{Breite} &= 57^\circ 58' \\ \text{Länge} &= 63^\circ 38' \\ \text{Inclination} &= 70^\circ 14',76 \text{ A.} \\ \text{Horiz. Intens.} &= 0,51823 \text{ C.} \end{aligned}$$

1828. OCTOBER 8.

TOBOLSK.

Inclination.

Nadel B. 21.

$$\begin{aligned}
 I &= 70^{\circ} 59',62 & I' &= 70^{\circ} 51',00 & I'' &= 71^{\circ} 7',50 & I''' &= 71^{\circ} 27',12 \\
 & & i' &= 71^{\circ} 6',31 \\
 & & + \frac{F}{2} &= & + 0,15 \\
 & & - \frac{H}{2} &= & + 0,18.
 \end{aligned}$$

Intensität.

Cylindrische Nadel.

20 ^h 36' 28'',8	41' 40'',0	r'	3'',11127	$\log T_0$	= 0,490133
37 0,0	41 8,8	$r'E^2 \cdot F(z)$	— 1713	$\log A + cd$	= 0,684294
37 31,2	40 38,0	$r'E^4 \cdot F'(z)$	— 11	$b f^2 \cdot \lg^2 i$	= 20
38 2,4	40 6,8	$r'E^6 \cdot F''(z)$	— 0	$\log f$	= 9,704048
38 33,6	39 35,6				
20 ^h 39'	4'',6				

$$E = 26^{\circ},0 \quad e = 10^{\circ},0 \quad v = + 4^{\circ},0.$$

Resultate

für 1828. October 8. 0^h 14'

$$\begin{aligned}
 \text{Breite} &= 58^{\circ} 11' 24'' \\
 \text{Länge} &= 65^{\circ} 53' 41'' \\
 \text{Inclination} &= 71^{\circ} 6',64 \text{ B.} \\
 \text{Horiz. Intens.} &= 0,50588 \text{ C.}
 \end{aligned}$$

1828. NOVEMBER 22.

UWAZK.

Inclination.

Nadel A. 20.

$$I = 71^{\circ} 38',75 \quad I' = 70^{\circ} 45',00 \quad I'' = 70^{\circ} 17',25 \quad I''' = 72^{\circ} 10',25$$

$$i = 71^{\circ} 12',81$$

$$\Delta i = - 0',33$$

Intensität.

Cylindrische Nadel.

18 ^b 19' 28",8	24' 39",8	r'	3'',10982	$\log T_0 = 0,491336$
20 0,0	24 8,8	$r'E^2.F(z)$	— 994	$\log A+cd = 0,685191$
20 31,2	23 37,8	$r'E^*.F'(z)$	— 4	$b f^2.tg^2 i = 20$
21 2,4	23 6,8	$r'E^*.F''(z)$	— 0	$\log f = 9,702539$
21 33,6	22 35,6			
18 ^b 22'	4'',7			

$$E = 20^{\circ},0 \quad e = 7^{\circ},5 \quad v = 0^{\circ},0.$$

Resultate

für 1828. November 22. 21^a 57'

Breite	= 39° 3'
Länge	= 66° 25'
Inclination	= 71° 12',48 A.
Horiz. Intens.	= 0,50413 C.

1828. NOVEMBER 23.

TUGALOWSK.

Inclination.

Nadel B. 22.

$$I = 72^{\circ} 36',87 \quad I' = 72^{\circ} 27',12 \quad I'' = 72^{\circ} 9',37 \quad I''' = 72^{\circ} 31',50$$

$$i = 72^{\circ} 26',21$$

$$+ \frac{F}{2} = - 0,02$$

$$- \frac{H}{2} = + 0,04.$$

Intensität.

Cylindrische Nadel.

17 ^h 44' 9'',6	49' 30'',4	r'	3'',20782	$\log T_0$	= 0,504696
44 41,8	48 58,4	$r'E^2.F(z)$	— 896	$\log A + cd$	= 0,685212
43 14,0	48 26,4	$r'E^4.F'(z)$	— 3	$b f^2.tg^2 i$	= 21
45 46,0	47 54,4	$r'E^6.F''(z)$	— 0	$\log f$	= 9,675841
46 18,0	47 22,2				
17 ^h 46' 30'',0					

$$E = 20^{\circ},0 \quad e = 5^{\circ},5 \quad v = + 3^{\circ},0.$$

Resultate

für 1828. November 23. 21^h 26'

Breite	= 59° 45'
Länge	= 67° 35'
Inclination	= 72° 26',23 B.
Horiz. Intens.	= 0,47407 C.

1828. NOVEMBER 24.

SAWODINSK.

Inclination.

Nadel Ä. 21.

$$\begin{aligned}
 I &= 73^{\circ} 18',25 & I' &= 72^{\circ} 18',00 & I'' &= 71^{\circ} 44',00 & I''' &= 73^{\circ} 35',50 \\
 i' &= 72^{\circ} 43',94 \\
 \Delta i' &= + 1,24.
 \end{aligned}$$

Intensität.

Cylindrische Nadel.

17 ^h 36' 2'',4	41' 26'',0	r'	3'',23727	$\log T_0 = 0,508491$
36 34,8	40 53,8	$r'E^2.F(z)$	— 853	$\log A+cd = 0,685212$
37 7,2	40 21,6	$r'E^4.F'(z)$	— 3	$b f^2.tg^2 i = 22$
37 39,6	39 49,2	$r'E^6.F''(z)$	— 0	$\log f = 9,668252$
38 12,2	39 16,8			
17 ^h 38' 44'',4				

$$E = 20^{\circ},0 \quad e = 5^{\circ},8 \quad v = + 5^{\circ},5.$$

Resultate

für 1828. November 24. 21^h 17

Breite	= 60° 13'
Länge	= 67° 14'
Inclination	= 72° 43',18 A.
Horiz. Intens.	= 0,46385 C.

1828. NOVEMBER 25.

SAMAROWO.

Inclination.

Nadel B. 23.

$$\begin{aligned}
 I &= 73^\circ 4',62 & I' &= 73^\circ 1',62 & I'' &= 73^\circ 4',75 & I''' &= 73^\circ 16',12 \\
 & & i' &= 73^\circ 6',77 \\
 & + \frac{F}{2} & = & + 0,00 \\
 & - \frac{H}{2} & = & + 0,01
 \end{aligned}$$

Intensität.

Cylindrische Nadel.

17 ^h 45' 52",0	51' 18",3	i'	3",26209	$\log T_0$	= 0,511774
46 24,8	50 45,7	$i'E^2.F(z)$	— 819	$\log A + cd$	= 0,685251
46 57,6	50 13,2	$i'E^4.F'(z)$	— 3	$b f^2.tg^2 i$	= 22
47 30,0	49 40,6	$i'E^6.F''(z)$	— 0	$\log f$	= 9,661725
48 2,8	49 8,0				
17 ^h 48'	35",4				

$$E = 20^\circ,0 \quad e = 5^\circ,4 \quad v = + 6^\circ,4.$$

Resultate

für 1828. November 25. 21^h 24'

$$\begin{aligned}
 \text{Breite} &= 60^\circ 45' \\
 \text{Länge} &= 66^\circ 22' \\
 \text{Inclination} &= 73^\circ 6',78 \text{ B.} \\
 \text{Horiz. Intens.} &= 0,45891 \text{ C.}
 \end{aligned}$$

1828. NOVEMBER 26.

KEWASCHINSK.

Inclination.

Nadel A. 22.

$$\begin{aligned}
 I &= 73^{\circ} 56',37 & I' &= 72^{\circ} 51',25 & I'' &= 72^{\circ} 37',12 & I''' &= 74^{\circ} 23',12 \\
 i' &= 73^{\circ} 26',97 \\
 \Delta I' &= - 0,76.
 \end{aligned}$$

Intensität.

Cylindrische Nadel.

18 ^b 40' 10',4	45' 39'',8	r'	3'',29091	$\log T_o = 0,515814$
40 43,6	45 6,8	$r' E^2.F.(z)$	— 910	$\log A + cd = 0,685270$
41 16,4	44 33,6	$r' E^4.F'(z)$	— 3	$b f^2.tg^2 i = 22$
41 49,6	44 0,9	$r' E^6.F''(z)$	— 0	$\log f = 9,633664$
42 22,4	43 28,4			
18 ^b 42'	55'',4			

$$E = 20^{\circ},0 \quad e = 6^{\circ},2 \quad v = + 3^{\circ},0.$$

Resultate

für 1828. November 25. 22^b 14'

Breite	= 61° 37'
Länge	= 65° 25'
Inclination	= 73° 26',21 A.
Horiz. Intens.	= 0,45047 C.

1828. NOVEMBER 27.

KONDINSK.

Inclination.

Nadel B. 24.

$$I = 73^{\circ} 46',50 \quad I' = 73^{\circ} 28',25 \quad I'' = 73^{\circ} 42',25 \quad I''' = 73^{\circ} 50',25$$

$$i' = 73^{\circ} 41',81$$

$$+ \frac{F}{2} = - 0,00$$

$$- \frac{H}{2} = + 0,03.$$

Intensität.

Cylindrische Nadel.

19 ^h 39' 31'',2	43'	1'',6	τ'	3'',30373	$\log T_0 = 0,517712$
40 4,0	44	28,6	$\tau'E^2.F(z)$	— 737	$\log A+cd = 0,684704$
40 37,3	43	55,6	$\tau'E^4.F'(z)$	— 2	$b f^2.tg^2 = 22$
41 10,4	43	22,8	$\tau'E^6.F''(z)$	— 0	$\log f = 9,649302$
41 43,6	42	49,8			
19 ^h 42'	16'',7				

$$E = 19^{\circ},0 \quad e = 5^{\circ},0 \quad v = + 6^{\circ},0.$$

Resultate

für 1828. November 27. 23^h 9'

Breite	= 62° 24'
Länge	= 64° 8'
Inclination	= 73° 41',86 B.
Horiz. Intens.	= 0,44597 C.

1828. NOVEMBER 28.

KUNDUWANSK.

Inclination.

Nadel A. 23.

$$I = 74^{\circ} 22',00 \quad I' = 73^{\circ} 30',75 \quad I'' = 73^{\circ} 46',00 \quad I''' = 74^{\circ} 33',50$$

$$i' = 74^{\circ} 3',06$$

$$\Delta i' = + 0,25.$$

Intensität.

Cylindrische Nadel.

19 ^b 47' 47'',2	53' 22'',2	r'	3'',34982	$\log T_0 = 0,523823$
48 20,6	52 48,6	$r' E^2.F(z)$	— 849	$\log A + cd = 0,685309$
48 54,4	52 15,2	$r' E^4.F'(z)$	— 3	$b f^2.tg^2 i = 21$
49 27,8	51 42,0	$r' E^6.F''(z)$	— 0	$\log f = 9,637684$
50 1,2	51 8,2			
19 ^b 50'	34'',8			

$$E = 20^{\circ},0 \quad c = 5^{\circ},5 \quad v = + 0^{\circ},8.$$

Resultate

für 1828. November 29. 23^b 11'

Breite	= 63° 17'
Länge	= 62° 46'
Inclination	= 74° 3',31 A.
Horiz. Intens.	= 0,43419 C.

1828. DECEMBER 1.

BERESOW, während eines Nordlichtes.

Inclination.

Nadel B. 25.

$$I = 74^{\circ} 58',50 \quad I' = 74^{\circ} 48',75 \quad I'' = 74^{\circ} 57',75 \quad I''' = 75^{\circ} 18',50$$

$$i' = 75^{\circ} \quad 0',87$$

$$+ \frac{F}{2} = - 0,00$$

$$- \frac{H}{2} = + 0,05.$$

Intensität.

Cylindrische Nadel.

6 ^h 34' 31'',6	40' 17'',6	i'	3'',46018	$\log T_0$	= 0,538214
35 6,4	39 43,2	$i' E^2 \cdot F(z)$	— 969	$\log A + cd$	= 0,685368
35 40,8	39 8,6	$i' E^4 \cdot F'(z)$	— 3	$b f^2 \cdot \lg^2 i$	= 20
36 15,6	38 34,0	$i' E^6 \cdot F''(z)$	— 0	$\log f$	= 9,608960
36 50,4	37 59,2				
6 ^h 37'	24'',8				

$$E = 20^{\circ},0 \quad e = 6^{\circ},5 \quad v = - 3^{\circ},5$$

18 ^h 46' 15'',2	52' 1'',0	i'	3'',45873	$\log T_0$	= 0,537543
46 49,6	51 26,4	$i' E^2 \cdot F(z)$	— 970	$\log A + cd$	= 0,685377
47 24,4	50 52,0	$i' E^4 \cdot F'(z)$	— 3	$b f^2 \cdot \lg^2 i$	= 20
47 59,0	50 17,2	$i' E^6 \cdot F''(z)$	— 0	$\log f$	= 9,610311
48 33,6	49 42,8				
18 ^h 49'	8'',2				

$$E = 20^{\circ},0 \quad e = 6^{\circ},4 \quad v = + 1^{\circ},5.$$

Resultate

für 1828. December 1.

Breite	= 63° 55' 59''
Länge	= 62° 43' 36''
Horiz. Intens.	= 0,40641 C um 9 ^h 58'
Inclination	= 0,40770 C } - 22 ^h 10'
	= 75° 0',82 B }

1828. DECEMBER 2.

BERESOW.

Inclination.

Nadel A. 24.

$$\begin{aligned}
 I &= 75^{\circ} 27',50 & I' &= 74^{\circ} 29',75 & I'' &= 73^{\circ} 58',12 & I''' &= 75^{\circ} 34',00 \\
 i' &= 74^{\circ} 52',34 \\
 \Delta i' &= + 1,56.
 \end{aligned}$$

Intensität.

Cylindrische Nadel.

18 ^h 29' 55'',2	33' 39'',2	r'	3'',44127	$\log T_0 = 0,535607$
30 29,2	35 4,8	$r'E^2.F(z)$	— 872	$\log A + cd = 0,685387$
31 4,0	34 30,4	$r'E^4.F(z)$	— 3	$b f^2.tg^2 i = 20$
31 38,4	33 56,0	$r'E^4.F''(z)$	— 0	$\log f = 9,614193$
32 13,0	33 21,6			
18 ^h 32'	47'',3			

$$E = 20^{\circ},0 \quad e = 5^{\circ},5 \quad v = 0^{\circ},0.$$

Resultate

für 1828. December 2. 21^h 53'

$$\begin{aligned}
 \text{Breite} &= 63^{\circ} 55' 59'' \\
 \text{Länge} &= 62^{\circ} 43' 36'' \\
 \text{Inclination} &= 74^{\circ} 53',90 \text{ A.} \\
 \text{Horiz. Intens.} &= 0,41133 \text{ C.}
 \end{aligned}$$

1828. DECEMBER 4.

KATSCHEGATSK..

Inclination.

Nadel B. 26.

$$I = 75^{\circ} 11',25 \quad I' = 75^{\circ} 9',25 \quad I'' = 75^{\circ} 15',50 \quad I''' = 75^{\circ} 25',25$$

$$i' = 75^{\circ} 15',31$$

$$+ \frac{F}{2} = - 0,01$$

$$- \frac{H}{2} = + 0,02.$$

Intensität.

Cylindrische Nadel.

21 ^h 37' 19'',2	43' 8'',8	r'	3'',49664	$\log T_0 = 0,542683$
37 54,0	42 33,9	$r' E^2 \cdot F(z)$	— 886	$\log A + cd = 0,685425$
38 29,2	41 59,0	$r' E^4 \cdot F'(z)$	— 3	$b f^2 \cdot \lg^2 i = 19$
39 4,3	41 24,0	$r' E^6 \cdot F''(z)$	— 0	$\log f = 9,600078$
39 39,3	40 49,2			
21 ^h 40' 14'',2				

$$E = 20^{\circ},0 \quad e = 5^{\circ},5 \quad v = - 1^{\circ},5.$$

Resultate

für 1828. December 4. 1^h 0'

Breite	= 65° 3'
Länge	= 62° 29'
Inclination	= 75° 15',32 B.
Horiz. Intens.	= 0,39818 C.

1828. DECEMBER 6.

SCHURUSCHKARSK.

Intensität.

Cylindrische Nadel.

16 ^h	7 43",6	13' 39",6	r'	3",53855	$\log. T_o$	= 0,530594
8	19,2	13 4,0	$r'E^2.F(z)$	— 902	$\log A + cd$	= 0,685456
8	53,2	12 28,4	$r'E^2.F'(z)$	— 3	$b f^2. \lg^2 i$	= 21
9	30,8	11 53,0	$r'E^2.F''(z)$	— 0	$\log f$	= 9,584289
10	6,4	11 17,6				
16 ^h	10'	42",0				

$$E = 20^{\circ},0 \quad e = 5^{\circ},5 \quad v = -4^{\circ},5.$$

Resultat

für 1828. December 6. 19^h 32'

Breite	= 66° 13'
Länge	= 62° 32'
Horiz. Intens.	= 0,38396 C.

1828. DECEMBER 7.

WANDIASK.

Inclination.

Nadel A. 25.

$$\begin{aligned}
 I &= 76^{\circ} 58',00 & I' &= 74^{\circ} 54',00 & I'' &= 75^{\circ} 0',75 & I''' &= 77^{\circ} 2',50 \\
 i' &= 75^{\circ} 58',81 \\
 \Delta i' &= \quad 0,21.
 \end{aligned}$$

Intensität.

Cylindrische Nadel.

21 ^h 49' 37'',6	53' 31'',2	r'	3'',53655	$\log T_0^{\text{a}} = 0,548573$
50 12,8	54 56,0	$r' E^2 \cdot F(z)$	— 781	$\log A + cd = 0,685460$
50 48,4	54 20,4	$r' E^4 \cdot F'(z)$	— 2	$b f^2 \cdot \lg^2 i = 21$
51 23,6	53 44,9	$r' E^6 \cdot F''(z)$	— 0	$\log f = 9,588335$
51 59,2	53 10,0			
21 ^h 52'	34'',4			

$$E = 20^{\circ},0 \quad e = 4^{\circ},5 \quad v = -10^{\circ},0.$$

Resultate

für 1828. December 7. 1^h 15'

Breite	= 66° 30'
Länge	= 63° 19'
Inclination	= 75° 58',60
Horiz. Intens.	= 0,38756 C.

1828. DECEMBER 9.

OBDORSK.

Inclination.

Nadel B. 27.

$$\begin{aligned}
 I &= 76^{\circ} 12',00 & I' &= 75^{\circ} 54',87 & I'' &= 76^{\circ} 6',00 & I''' &= 76^{\circ} 14',50 \\
 & & i &= 76^{\circ} 6',84 \\
 & & + \frac{F}{2} &= - 0,02 \\
 & & - \frac{H}{2} &= + 0,03.
 \end{aligned}$$

Intensität.

Cylindrische Nadel.

20 ^h 16'	5'',2	22'	3'',7	τ	3'',38518	$\log T_0$	= 0,553734
16	41,0	21	28,0	$\tau E^2.F(z)$	— 915	$\log A+cd$	= 0,685521
17	16,8	20	52,0	$\tau E^4.F'(z)$	— 3	$b f^2.tg^2 i$	= 22
17	53,2	20	16,2	$\tau E^6.F''(z)$	— 0	$\log f$	= 9,578075
18	28,8	19	40,4				
20 ^h 19'	4'',4						

$$E = 20^{\circ},0 \quad e = 5^{\circ},5 \quad v = - 3^{\circ},3.$$

Resultate

für 1828. December 10. 23^h 46'

$$\begin{aligned}
 \text{Breite} &= 66^{\circ} 31' 7'' \\
 \text{Länge} &= 64^{\circ} 21' 31'' \\
 \text{Inclination} &= 76^{\circ} 6',85 \text{ B.} \\
 \text{Horiz. Intens.} &= 0,37851 \text{ C.}
 \end{aligned}$$

1829. JANUAR 5.

KOTOTSCHIKOWO.

Inclination.

Nadel A. 26.

$$\begin{aligned}
 I &= 70^\circ 53',50 & I' &= 69^\circ 50',62 & I'' &= 69^\circ 1',75 & I''' &= 71^\circ 35',75 \\
 i' &= 70^\circ 20',40 \\
 \Delta i' &= + 0,70
 \end{aligned}$$

Intensität.

Cylindrische Nadel.

19 ^h 35' 35'',8	40' 41'',2	τ'	3'',04909	$\log T_0$	= 0,483518
36 7,2	40 10,6	$\tau E^2.F(z)$	— 514	$\log A + cd$	= 0,686044
36 38,0	39 40,4	$\tau E^4.F'(z)$	— 2	$b f^2.tg^2 i$	= 19
37 8,8	39 10,4	$\tau E^6.F''(z)$	— 0	$\log f$	= 9,719027
37 39,2	38 40,2				
19 ^h 38'	9'',6				

$$E = 20^\circ,0 \quad e = 2^\circ,9 \quad v = -1^\circ,0.$$

Resultate

für 1829. Januar 5. 23^h 22'

$$\begin{aligned}
 \text{Breite} &= 56^\circ 39' \\
 \text{Länge} &= 68^\circ 25' \\
 \text{Inclination} &= 70^\circ 21',10 \text{ A.} \\
 \text{Horiz. Intens.} &= 0,52363 \text{ C.}
 \end{aligned}$$

1829. JANUAR 13.

TARA.

Inclination.

Nadel B. 28.

$$\begin{aligned}
 I &= 70^\circ 28',50 & I' &= 70^\circ 18',87 & I'' &= 70^\circ 24',87 & I''' &= 70^\circ 39',12 \\
 & & i' &= 70^\circ 27',84 \\
 + \frac{F}{2} &= & - & 0,01 \\
 - \frac{H}{2} &= & + & 0,02.
 \end{aligned}$$

Intensität.

Cylindrische Nadel.

0 ^h 25' 28",4	30' 33",2	τ'	3",04636	$\log T_0$	= 0,483060
25 59,2	30 2,8	$\tau E^2.F(z)$	— 797	$\log A + cd$	= 0,686188
26 29,8	29 32,4	$\tau E^4.F'(z)$	— 3	$b f^2. \operatorname{tg}^2 i$	= 20
27 0,2	29 2,0	$\tau E^6.F''(z)$	— 0	$\log f$	= 9,720088
27 30,4	28 31,6				
0 ^h 28'	1'',2				

$$E = 20^\circ,0 \quad e = 5^\circ,75 \quad v = -4^\circ,5.$$

Resultate

für 1829. Januar 13. 5^h 58'

Breite	= 56° 54' 0"
Länge	= 71° 44'
Inclination	= 70° 27',85 B.
Horiz. Intens.	= 0,52491 C.

1829. JANUAR 15.

POKROWSK.

Inclination.

Nadel A. 27.

$$I = 70^{\circ} 2',50 \quad I' = 69^{\circ} 0',50 \quad I'' = 68^{\circ} 54',00 \quad I''' = 70^{\circ} 53',25$$

$$i' = 69^{\circ} 42',56$$

$$\Delta i' = - 3,77.$$

Intensität.

Cylindrische Nadel.

18 ^h 4' 32",5	9' 26",8	τ'	2',94646	$\log T_0 = 0,469623$
5 2,0	8 57,6	$\tau' E^2.F(z)$	— 846	$\log A + cd = 0,686241$
5 32,0	8 29,2	$\tau' E^4.F'(z)$	— 3	$b f^2. \lg^2 i = 20$
6 2,0	8 0,4	$\tau' E^6.F''(z)$	— 0	$\log f = 9,746995$
6 32,0	7 30,8			
18 ^h 7'	1'',4			

$$E = 20^{\circ},0 \quad e = 6^{\circ},5 \quad v = - 16^{\circ},0.$$

Resultate

für 1829. Januar 16. 0^h 0'

Breite	= 55° 42'
Länge	= 75° 8'
Inclination	= 69° 38',79 A.
Horiz. Intens.	= 0,55847 C.

1829. JANUAR 17.

TSCHULUIM.

Inclination.

Nadel B. 29.

$$I = 69^{\circ} 41',00 \quad I' = 69^{\circ} 16',00 \quad I'' = 69^{\circ} 30',00 \quad I''' = 69^{\circ} 43',50$$

$$i' = 69^{\circ} 32',62$$

$$+ \frac{F}{2} = + 0,03$$

$$- \frac{H}{2} = + 0,04.$$

Intensität.

Cylindrische Nadel.

14 ^b 38'	4",4	3'	1",2	r'	2",97764	$\log T_0 = 0,474321$
38	34,0	2	32,0	$r'E^2.F(z)$	— 997	$\log A + cd = 0,686275$
59	4,0	2	2,8	$r'E^4.F'(z)$	— 4	$b f^2. \lg^2 i = 18$
59	33,0	1	33,6	$r'E^4.F''(z)$	— 0	$\log f = 9,737651$
60	2,2	1	4,4			
15 ^b	0'	33",2				

$$E = 20^{\circ},0 \quad e = 8^{\circ},0 \quad v = -20^{\circ},0.$$

Resultate

für 1829. Januar 17. 21^b 24'

$$\text{Breite} = 53^{\circ} 5' 41''$$

$$\text{Länge} = 78^{\circ} 54'$$

$$\text{Inclination} = 69^{\circ} 32',63 \text{ B.}$$

$$\text{Horiz. Intens.} = 0,54658 \text{ C.}$$

1829. JANUAR 18.

KOLUIWAN.

Inclination.

Nadel A. 28.

$$\begin{aligned}
 I &= 70^\circ 51',75 & I' &= 69^\circ 7',75 & I'' &= 69^\circ 13',75 & I''' &= 71^\circ 14',12 \\
 i' &= 70^\circ 6',84 \\
 \Delta i' &= - 0,52.
 \end{aligned}$$

Intensität.

Cylindrische Nadel.

14 ^h 9' 21",0	14' 18",8	τ'	2",97891	$\log T_0$	= 0,473134
9 50,8	13 49,2	$\tau E^2.F(z)$	— 980	$\log A+cd$	= 0,686304
10 20,4	13 19,2	$\tau E^4.F'(z)$	— 3	$b f^2. \lg^2 i$	= 19
10 50,4	12 49,6	$\tau E^6.F''(z)$	— 0	$\log f$	= 9,740053
11 20,4	12 19,8				
14 ^h 11' 50",0					

$$E = 20^\circ,0 \quad e = 7^\circ,75 \quad v = - 5^\circ,5.$$

Resultate

für 1829. Januar 18. 21^h 4'

$$\begin{aligned}
 \text{Breite} &= 33^\circ 20' \\
 \text{Länge} &= 80^\circ 43' \\
 \text{Inclination} &= 70^\circ 6',32 \text{ B.} \\
 \text{Horiz. Intens.} &= 0,54961 \text{ C.}
 \end{aligned}$$

1829. JANUAR 20.

TOMSK.

Inclination.

Nadel B. 30.

$$I = 70^{\circ} 57',25 \quad I' = 70^{\circ} 49',62 \quad I'' = 70^{\circ} 59',50 \quad I''' = 71^{\circ} 8',75$$

$$i' = 70^{\circ} 58',77$$

$$+ \frac{F}{2} = + 0,01$$

$$- \frac{H}{2} = + 0,02.$$

Intensität.

Cylindrische Nadel.

22 ^b 40' 15'',2	45' 18'',7	r'	3'',03509	$\log T_0 = 0,482703$
40 45,6	44 48,4	$r' E^2, F(z)$	— 1093	$\log A + cd = 0,686340$
41 16,0	44 18,1	$r' E^4, F'(z)$	— 4	$b.f^2 \lg^2 i = 20$
41 46,4	43 47,8	$r' E^6, F''(z)$	— 0	$\log f = 9,720954$
42 16,8	43 17,6			
22 ^b 42'	47'',2			

$$E = 20^{\circ},0 \quad e = 8^{\circ},75 \quad v = - 22^{\circ},0.$$

Resultate

für 1829. Januar 20. 22^b 37'

Breite	= 56° 29' 39"
Länge	= 82° 48' 36"
Inclination	= 70° 58',80 B.
Horiz. Intens.	= 0,52596 C.

1829. JANUAR 23.

PODJELNIK.

Inclination.

Nadel A. 29.

$$I = 71^{\circ} 43',75 \quad I' = 69^{\circ} 51',25 \quad I'' = 70^{\circ} 41',12 \quad I''' = 72^{\circ} 32',87$$

$$i' = 71^{\circ} 12',25$$

$$\Delta i' = + 0,08.$$

Intensität.

Cylindrische Nadel.

20 ^h 44' 24'',2	49' 30'',1	r'	3'',05873	$\log T_0 = 0,483303$
44 55,0	48 59,6	$r' E^2. F(z)$	— 1134	$\log A + cd = 0,686399$
45 25,6	48 29,2	$r' E^2. F'(z)$	— 4	$b f^2. \lg^2 i = 21$
45 56,1	47 58,5	$r' E^2. F''(z)$	— 0	$\log f = 9,719814$
46 26,8	47 27,9			
20 ^h 46' 57'',4				

$$E = 20^{\circ},0 \quad e = 9^{\circ},0 \quad v = +.6^{\circ},3.$$

Resultate

für 1829. Januar 23. 23^h 30'

Breite	= 56° 23'
Länge	= 85° 42'
Inclination	= 71° 12',33 A.
Horiz. Intens.	= 0,52458 C.

1829. JANUAR 27.

KRASNOJARSK.

Inclination.

Nadel B. 31.

$$I = 70^{\circ} 50',00 \quad I' = 70^{\circ} 48',50 \quad I'' = 70^{\circ} 55',62 \quad I''' = 70^{\circ} 58',25$$

$$i' = 70^{\circ} 53',09$$

$$+ \frac{F}{2} = + 0,01$$

$$- \frac{H}{2} = + 0,01.$$

Intensität.

Cylindrische Nadel

8 ^b 7' 11'',2	12' 12'',2	r'	3'',00955	$\log T_0 = 0,477689$
7 41,4	11 42,2	$r'E^2.F(z)$	— 1115	$\log A+cd = 0,686467$
8 11,6	11 12,1	$r'E^4.F'(z)$	— 4	$b f^2.tg^2 i = 21$
8 41,8	10 42,1	$r'E^4.F''(z)$	— 0	$\log f = 9,731110$
9 11,8	10 12,0			
8 ^b 9'	42'',0			

$$E = 20^{\circ},0 \quad e = 8^{\circ},75 \quad v = - 8^{\circ},5.$$

Resultate

für 1829. Januar 27. 5^b 40'

Breite	= 56°. 1' 0"
Länge	= 90° 36' 55"
Inclination	= 70° 53',11 B.
Horiz. Intens.	= 0,53841 C.

1829. FEBRUAR 1.

KANSKJI OSTROG.

Inclination.

Nadel A. 30.

$$I = 71^{\circ} 57',75 \quad I' = 70^{\circ} 46',25 \quad I'' = 70^{\circ} 49',00 \quad I''' = 72^{\circ} 32',30$$

$$\dot{I}' = 71^{\circ} 31',37$$

$$\Delta \dot{I}' = -1,71.$$

Intensität.

Cylindrische Nadel.

3 ^b 47' 8",4	52' 13",6	r'	3",05036	$\log T_0 = 0,483353$
47 39,2	51 43,2	$r'E^2.F(z)$	— 853	$\log A + cd = 0,686561$
48 10,0	51 12,8	$r'E^4.F'(z)$	— 3	$b f^2.tg i = 22$
48 40,4	50 42,4	$r'E^6.F''(z)$	— 0	$\log f = 9,719873$
49 11,0	50 12,0			
3 ^b 49' 41",4				

$$E = 20^{\circ},0 \quad e = 6^{\circ},5 \quad v = -2^{\circ},5.$$

Resultate

für 1829. Februar 1. 1^b 4'

Breite	= 55° 48'
Länge	= 93° 46'
Inclination	= 71° 29',66 A.
Horiz. Intens.	= 0,52465 C.

1829. FEBRUAR 4.

KURSAN.

Inclination.

Nadel A. 31.

$I = 70^\circ 42',50$ $I' = 69^\circ 27',50$ I'' und I''' wurden nicht beobachtet.

Nach den nächstgelegenen Beobachtungen:

$$i' = \frac{I + I'}{2} + 5',87 = 70^\circ 10',87$$

$$\Delta i' = - 1,32.$$

Intensität.

Cylindrische Nadel.

2 ^b 43' 36'',8	48' 33'',6	r'	2'',96545	$\log T_0 = 0,469989$
44 6,8	48 4,0	$r'E^2.F(z)$	— 993	$\log A + rd = 0,686600$
44 36,8	47 34,4	$r'E^4.F'(z)$	— 3	$b f^2 \cdot \lg^2 i = 21$
45 6,2	47 4,8	$r'E^6.F''(z)$	— 0	$\log f = 9,746643$
45 36,0	46 35,2			
2 ^b 46'	5'',4			

$$E = 20^\circ,0 \quad e = 8^\circ,0 \quad v = + 5^\circ,0.$$

Resultate

für 1829. Februar 4. 0^b 0'

Breite	= 54° 31'
Länge	= 97° 43'
Inclination	= 70° 9',55 A.
Horiz. Intens.	= 0,55801 C.

1829. FEBRUAR 4.

SALARJA.

Inclination.

Nadel A. 32.

$$\begin{aligned}
 I &= 69^{\circ} 41',00 & I' &= 68^{\circ} 45',50 & I'' &= 68^{\circ} 13',75 & I''' &= 70^{\circ} 22',25 \\
 i' &= 69^{\circ} 15',62 \\
 \Delta i' &= - 0,94.
 \end{aligned}$$

Intensität.

Cylindrische Nadel.

1 ^h	8'	57'',6	13'	46'',8	z'	2'',89127	$\log T_0 = 0,460307$
9	26,8	13	18,0	$r'E^2.F(z)$	—	826	$\log A + cd = 0,686618$
9	55,6	12	49,2	$r'E^4.F'(z)$	—	3	$b f^2. \lg^2 i = 21$
10	24,8	12	20,4	$r'E^4.F''(z)$	—	0	$\log f = 9,766025$
10	53,6	11	51,2				
	1 ^h	11'	22'',8				

$$E = 20^{\circ},0 \quad e = 6^{\circ},75 \quad v = - 5^{\circ},0.$$

Resultate

für 1829. Februar 4. 22^h 14'

$$\begin{aligned}
 \text{Breite} &= 53^{\circ} 31' \\
 \text{Länge} &= 99^{\circ} 43' \\
 \text{Inclination} &= 69^{\circ} 14',68 \text{ A.} \\
 \text{Horiz. Intens.} &= 0,58348 \text{ C.}
 \end{aligned}$$

1829. FEBRUAR 11.

IRKUZK.

Inclination.

Nadel B. 32.

$$I = 67^{\circ} 59',12 \quad I' = 67^{\circ} 50',87 \quad I'' = 68^{\circ} 11',00 \quad I''' = 68^{\circ} 25',00$$

$$i' = 68^{\circ} 6',50$$

$$+ \frac{F}{2} = + 0,04$$

$$- \frac{H}{2} = + 0,03.$$

Resultate

für 1829. Februar 11. 22^b 30'

$$\text{Breite} = 52^{\circ} 16' 20''$$

$$\text{Länge} = 101^{\circ} 59' 30''$$

$$\text{Inclination} = 68^{\circ} 6',59 \text{ B.}$$

1829. FEBRUAR 28.

IRKUZK.

Intensität.

Cylindrische Nadel.

2 ^h 19' 13",2	23' 57",4	r'	2",83982	$\log T_0 = 0,452362$
19 41,6	23 28,8	$r' E^2 \cdot F(z)$	— 907	$\log A + cd = 0,687086$
20 10,2	23 0,4	$r' E^4 \cdot F'(z)$	— 3	$b f^2 \cdot \lg^2 i = 20$
20 38,8	22 32,2	$r' E^6 \cdot F''(z)$	— 0	$\log f = 9,782382$
21 7,2	22 3,8			
2 ^h 21' 35",6				

$$E = 20^\circ,0 \quad e = 7^\circ,5 \quad v = -5^\circ,0.$$

Resultat

für 1829. Februar 28. 23^h 50'

Breite	= 52° 16' 20"
Länge	= 101° 59' 30"
Horiz. Intens.	= 0,60388 C.

1829. FEBRUAR 13.

WERCHNEI UDINSK.

Inclination.

Nadel A. 33.

$$\begin{aligned}
 I &= 68^{\circ} 10',12 & I' &= 67^{\circ} 30',25 & I'' &= 66^{\circ} 53',62 & I''' &= 69^{\circ} 20',25 \\
 & & i' &= 67^{\circ} 58',56 \\
 \Delta i' &= & - & 4,79.
 \end{aligned}$$

Intensität.

Cylindrische Nadel.

22 ^h 37' 0'',0	41' 42'',0	τ'	2'',82100	$\log T_0$	= 0,451344
37 28,4	41 14,8	$\tau'E^2.F(z)$	— 1091	$\log A+cd$	= 0,686812
37 56,6	40 45,8	$\tau'E^4.F'(z)$	— 4	$b f^2. \lg^2 i$	= 20
38 24,4	40 17,8	$\tau'E^6.F''(z)$	— 0	$\log f$	= 9,784144
38 53,2	39 49,5				
22 ^h 39' 21'',2					

$$E = 20^{\circ},0 \quad e = 9^{\circ},5 \quad v = -27^{\circ},5.$$

Resultate

für 1829. Februar 13. 20^h 22'

Breite	=	51° 49' 15''
Länge	=	105° 23' 46''
Inclination	=	67° 53',77 A.
Horiz. Intens.	=	0,60834 C.

1829. FEBRUAR 16.

TROIZKOSAWSK.

Inclination.

Nadel B. 33.

$$I = 66^{\circ} 11',75 \quad I' = 65^{\circ} 56',50 \quad I'' = 66^{\circ} 19',75 \quad I''' = 66^{\circ} 27',87$$

$$i' = 66^{\circ} 13',96$$

$$+ \frac{F}{2} = + 0,03$$

$$- \frac{H}{2} = + 0,03.$$

Intensität.

Cylindrische Nadel.

1 ^h 50' 36'',0	55' 29'',7	τ'	2'',73427	$\log T_0 = 0,436544$
51 23,3	55 1,9	$\tau' E^2 \cdot F(z)$	— 960	$\log A + cd = 0,686854$
51 50,7	54 34,7	$\tau' E^4 \cdot F'(z)$	— 4	$b f^2 \cdot \lg^2 i = 20$
52 18,0	54 7,1	$\tau' E^6 \cdot F''(z)$	— 0	$\log f = 9,813786$
52 45,4	53 40,0			
1 ^h 53' 12'',8				

$$E = 20^{\circ},0 \quad e = 8^{\circ},5 \quad v = -13^{\circ},0.$$

Resultate

für 1829. Februar 16. 23^h 30'

Breite	=	50° 21' 5"
Länge	=	104° 8' 0"
Inclination	=	66° 14',02 B.
Horiz. Intens.	=	0,65131 C.

1829. FEBRUAR 22.

MONACHONOWO.

Inclination.

Nadel A. 34.

$$I = 67^{\circ} 33',37 \quad I' = 65^{\circ} 54',12 \quad I'' = 66^{\circ} 13',62 \quad I''' = 68^{\circ} 12',50$$

$$i' = 66^{\circ} 58',40$$

$$\Delta i' = - 1,45.$$

Intensität.

Cylindrische Nadel.

22 ^h 6' 28",8	11' 5",0	τ'	2",76309	$\log T_o = 0,441043$
6 56,8	10 37,6	$\tau' E^2.F(z)$	— 883	$\log A + cd = 9,686986$
7 24,0	10 10,2	$\tau' E^4.F'(z)$	— 3	$b f^2.tg i = 20$
7 52,2	9 42,7	$\tau' E^4.F''(z)$	— 0	$\log f = 9,804920$
8 19,6	9 15,2			
22 ^h 8'	47'',2			

$$E = 20^{\circ},0 \quad e = 7^{\circ},5 \quad v = - 11^{\circ},0.$$

Resultate

für 1829. Februar 22. 19^h 46'

Breite	=	50° 58' 6"
Länge	=	104° 8' 35"
Inclination	=	66° 56',95 A.
Horiz. Intens.	=	0,63815 C.

1829. FEBRUAR 24.

ARSENTCHEWA.

Inclination.

Nadel B. 34.

$$\begin{aligned}
 I &= 67^\circ 9',25 & I' &= 67^\circ 5',50 & I'' &= 67^\circ 23',37 & I''' &= 67^\circ 24',38 \\
 & & i' &= 67^\circ 15',62 \\
 & & \frac{F}{2} &= & + 0,03 \\
 & & - \frac{H}{2} &= & + 0,02.
 \end{aligned}$$

Intensität.

Cylindrische Nadel.

23 ^b 7' 35",6	12' 14",4	r'	2",78927	$\log T_0$	= 0,444486
8 3,4	11 46,4	$r'E^2.F(z)$	— 754	$\log A+cd$	= 0,687026
8 31,2	11 18,8	$r'E^4.F'(z)$	— 3	$b f^2. \lg^2 i$	= 20
8 59,2	10 51,0	$r'E^4.F''(z)$	— 0	$\log f$	= 9,798074
9 27,2	10 23,0				
23 ^b 9' 55",2					

$$E = 20^\circ,0 \quad e = 6^\circ,0 \quad v = -2^\circ,0.$$

Resultate

für 1829. Februar 24. 20^b 48'

Breite	=	51° 16' 42"
Länge	=	104° 35' 25"
Inclination	=	67° 15',67 B.
Horiz. Intens.	=	0,62817 C.

1829. FEBRUAR 25.

TARAKANOWO.

Inclination.

Nadel B. 35.

 $I = 68^{\circ} 18',75$ $I' = 68^{\circ} 12',50$ I'' und I''' wurden nicht beobachtet.

Nach den umgebenden Beobachtungen:

$$i' = \frac{I + I'}{2} + 6',72 = 68^{\circ} 22',34$$

$$+ \frac{F - H}{2} = \quad \quad \quad + 0,03.$$

Intensität.

Cylindrische Nadel.

22 ^h 7' 53",2	12' 35",2	r'	2",82109	$\log T_0 = 0,451435$
8 21,4	12 7,2	$r'E^2.F(z)$	— 762	$\log A + cd = 0,687045$
8 49,6	11 39,0	$r'E^4.F'(z)$	— 3	$b f^2. \lg^2 i = 21$
9 18,0	11 10,8	$r'E^6.F''(z)$	— 0	$\log f = 9,784196$
9 46,2	10 42,4			
22 ^h 10'	14",9			

 $E = 20^{\circ},0$ $c = 6^{\circ},0$ $v = -23^{\circ},0.$

Resultate

für 1829. Februar 25. 19^h 49'

Breite = $52^{\circ} 3'$
 Länge = $104^{\circ} 33'$
 Inclination = $68^{\circ} 22',37$ B.
 Horiz. Intens. = 0,60841 C.

1829. FEBRUAR 26.

KADILNAJA.

Inclination.

Nadel B. 36.

$$I = 67^{\circ} 36',37 \quad I' = 67^{\circ} 21',12 \quad I'' = 67^{\circ} 28',75 \quad I''' = 67^{\circ} 49',50$$

$$i' = 67^{\circ} 33',93$$

$$+ \frac{F}{2} = 0,02$$

$$- \frac{H}{2} = + 0,03.$$

Intensität

Cylindrische Nadel.

22 ^h 19'	2'',8	23' 42'',8	τ'	2'',80073	$\log T_0 = 0,447400$
19	30,8	23 15,0	$\tau'E^2.F(z)$	— 895	$\log A+cd = 0,687064$
19	59,0	22 47,0	$\tau'E^4.F'(z)$	— 3	$b f^2. \lg^2 i = 20$
20	27,0	22 19,0	$\tau'E^4.F''(z)$	— 0	$\log f = 9,792284$
20	55,2	21 51,2			
22 ^h	21'	23'',2			

$$E = 20^{\circ},0 \quad e = 7^{\circ},5 \quad v = -16^{\circ},0.$$

Resultate

für 1829. Februar 26. 19^h 52'

Breite	=	51° 59'
Länge	=	102° 39'
Inclination	=	67° 33',94 B.
Horiz. Intens.	=	0,61985 C.

1829. MAERZ 19.

OLSONSK.

Inclination.

Nadel B. 37.

$$\begin{aligned}
 I &= 68^{\circ} 42',00 & I' &= 68^{\circ} 26',25 & I'' &= 68^{\circ} 48',75 & I''' &= 68^{\circ} 58',75 \\
 & & i' &= 68^{\circ} 43',93 \\
 & + \frac{F}{2} &= & + 0,02 \\
 & - \frac{H}{2} &= & + 0,04.
 \end{aligned}$$

Intensität.

Cylindrische Nadel.

23 ^h 42' 48'',4	47' 33'',8	r'	2'',85055	$\log T_0$	= 0,453874
43 17,6	47 5,2	$r'E^2.F(z)$	— 771	$\log A + cd$	= 0,687477
43 45,6	46 36,8	$r'E^4.F'(z)$	— 4	$b f^2.tg^2 i$	= 21
44 14,4	46 8,2	$r'E^6.F''(z)$	— 0	$\log f$	= 9,779750
44 42,8	45 39,8				
23 ^h 45'	11'',2				

$$E = 20^{\circ},0 \quad e = 6^{\circ},0 \quad v = -1^{\circ},5.$$

Resultate

für 1829. März 19. 21^h 16'

$$\begin{aligned}
 \text{Breite} &= 53^{\circ} 2' \\
 \text{Länge} &= 102^{\circ} 39' \\
 \text{Inclination} &= 68^{\circ} 43',99 \text{ B.} \\
 \text{Horiz. Intens.} &= 0,60221 \text{ C.}
 \end{aligned}$$

1829. MAERZ 21.

TJUMENOWSK.

Inclination.

Nadel A. 35.

$$\begin{aligned}
 I &= 71^{\circ} 4',00 & I' &= 69^{\circ} 30',25 & I'' &= 68^{\circ} 48',50 & I''' &= 71^{\circ} 19',00 \\
 i' &= 70^{\circ} 10',44 \\
 \Delta i' &= + 1,55.
 \end{aligned}$$

Intensität.

Cylindrische Nadel.

1 ^h 51' 46",4	56' 42",4	τ'	2",95873	$\log T_0$	= 0,469480
52 16,2	56 12,8	$\tau' E^2 \cdot F(z)$	— 830	$\log A + cd$	= 0,687498
52 45,8	55 43,2	$\tau' E^4 \cdot F'(z)$	— 3	$b f^2 \cdot \lg^2 i$	= 21
53 15,2	55 13,6	$\tau' E^6 \cdot F''(z)$	— 0	$\log f$	= 9,748359
53 44,8	54 44,0				
1 ^h 54' 14",4					

$$E = 20^{\circ},0 \quad e = 6^{\circ},5 \quad v = + 4^{\circ},0.$$

Resultate.

für 1829. März 21. 23^h 26'

Breite	=	54° 15'
Länge	=	102° 59'
Inclination	=	70° 11',99 A.
Horiz. Intens.	=	0,56048 C.

1829. MAERZ 21.

BOTOWSK.

Inclination.

Nadel A. 36.

$$\begin{aligned}
 I &= 73^\circ 23',37 & I' &= 68^\circ 47',50 & I'' &= 69^\circ 43',12 & I''' &= 72^\circ 58',12 \\
 i' &= 71^\circ 13',03 \\
 \Delta i' &= + 1,30.
 \end{aligned}$$

Intensität.

Cylindrische Nadel.

1 ^b 13' 12'',0	18' 10'',0	τ'	2'',98045	$\log T_0$	= 0,473245
13 42,0	17 40,6	$\tau' E^2.F(z)$	— 828	$\log A + cd$	= 0,687515
14 11,8	17 10,7	$\tau' E^4.F'(z)$	— 3	$b f^2.tg^2 i$	= 23
14 41,8	16 40,8	$\tau' E^6.F''(z)$	— 0	$\log f$	= 9,741048
15 11,6	16 11,0				
1 ^b 15' 41'',4					

$$E = 20^\circ,0 \quad c = 6^\circ,25 \quad v = -2^\circ,0.$$

Resultate

für 1829. März 21. 23^b 8'

$$\begin{aligned}
 \text{Breite} &= 55^\circ 9' 58'' \\
 \text{Länge} &= 103^\circ 2' \\
 \text{Inclination} &= 71^\circ 14',33 \text{ A.} \\
 \text{Horiz. Intens.} &= 0,53087 \text{ C.}
 \end{aligned}$$

1829. MAERZ 22.

BOJARSK.

Inclination.

Nadel B. 38.

$$I = 71^{\circ} 39',25 \quad I' = 71^{\circ} 35',75 \quad I'' = 71^{\circ} 22',25 \quad I''' = 71^{\circ} 36',25$$

$$i' = 71^{\circ} 33',37$$

$$+ \frac{F}{2} = - 0,00$$

$$- \frac{H}{2} = + 0,01.$$

Intensität

Cylindrische Nadel.

23 ^b 43' 7",6	48' 11",2	i'	3",03673	$\log T_0 = 0,481514$
43 38,0	47 40,8	$i' E^2.F(z)$	— 844	$\log A + cd = 0,687534$
44 8,4	47 10,8	$i' E^4.F'(z)$	— 3	$b f^2.tg^2 i = 23$
44 38,8	46 40,4	$i' E^4.F''(z)$	— 0	$\log f = 9,724529$
45 9,2	46 10,0			
23 ^b 45' 39",6				

$$E = 20^{\circ},0 \quad e = 6^{\circ},25 \quad v = - 3^{\circ},5.$$

Resultate

für 1829. März 22. 21^b 40'

Breite	=	56° 16'
Länge	=	103° 37'
Inclination	=	71° 33',38 B.
Horiz. Intens.	=	0,53031 C.

1829. MAERZ. 24

POTAPOWSK.

Inclination.

Nadel A. 37.

$$I = 75^{\circ} 54',00 \quad I' = 70^{\circ} 3',87 \quad I'' = 71^{\circ} 2',75 \quad I''' = 73^{\circ} 9',25$$

$$i' = 72^{\circ} 32',47$$

$$\Delta i' = - 12,41.$$

Intensität.

Cylindrische Nadel.

23 ^h 46' 11'',8	51' 21'',3	τ'	3'',09455	$\log T_0 = 0,489593$
46 42,8	50 50,4	$\tau' E^2.F(z)$	— 837	$\log A + cd = 0,687574$
47 14,0	50 19,6	$\tau' E^4.F'(z)$	— 3	$b f^2.tg^2 i = .23$
47 44,9	49 48,6	$\tau' E^6.F''(z)$	— 0	$\log f = 9,708411$
48 15,8	49 17,7			
23 ^h 48'	46'',8			

$$E = 20^{\circ},0 \quad e = 6^{\circ},0 \quad v = - 2^{\circ},0.$$

Resultate

für 1829. März 24. 21^h 54'

Breite	=	57° 23'
Länge	=	105° 18'
Inclination	=	72° 20',06 A.
Horiz. Intens.	=	0,51099 C.

1829. MAERZ 25.

KIRENSK.

Inclination.

Nadel B. 39.

$$I = 73^\circ 12',50 \quad I' = 73^\circ 13',00 \quad I'' = 72^\circ 45',50 \quad I''' = 73^\circ 1',50$$

$$i' = 73^\circ 3',12$$

$$+ \frac{F}{2} = + 0,03$$

$$- \frac{H}{2} = + 0,02.$$

Intensität.

Cylindrische Nadel.

0 ^h 6' 58",8	12' 15",6	τ'	3",16745	$\log T_0 = 0,499679$
7 30,6	11 44,0	$\tau' E^2.F(z)$	— 856	$\log A + cd = 0,687594$
8 2,4	11 12,4	$\tau' E^4.F(z)$	— 3	$b f^2.tg^2 i = 23$
8 34,2	10 40,8	$\tau' E^6.F''(z)$	— 0	$\log f = 9,688259$
9 5,8	10 9,2			
0 ^h 9' 37",6				

$$E = 20^\circ,0 \quad e = 6^\circ,0 \quad v = + 1^\circ,70.$$

Resultate

für 1829. März 25. 22^h 21'

Breite	=	37° 47' 18"
Länge	=	105° 44'
Inclination	=	73° 3',17 B.
Horiz. Intens.	=	0,48782 C.

1829. MAERZ 27.

ITSCHORA.

Inclination.

Nadel A. 38.

$$I = 73^{\circ} 59',50 \quad I' = 72^{\circ} 35',50 \quad I'' = 72^{\circ} 34',00 \quad I''' = 73^{\circ} 58',50$$

$$i' = 73^{\circ} 16',88$$

$$\Delta i' = + 0,01.$$

Intensität.

Cylindrische Nadel.

2 ^h 53' 53'',2	59' 10'',1	τ'	3'',16600	$\log T_0 = 0,499211$
54 25,2	58 38,4	$\tau'E^2.F(z)$	— 856	$\log A+cd = 0,687615$
54 57,1	58 6,8	$\tau'E^4.F'(z)$	— 3	$b f^2.tg^2 i = 23$
55 28,8	57 35,2	$\tau'E^6.F''(z)$	— 0	$\log f = 9,689216$
56 0,4	57 3,8			
1 ^h 56' 32'',4				

$$E = 20^{\circ},0 \quad e = 6^{\circ},0 \quad v = + 1^{\circ},2.$$

3 ^h 1' 8'',0	6' 24'',0	τ'	3'',15973	$\log T_0 = 0,498587$
1 39,6	5 52,4	$\tau'E^2.F(z)$	— 827	$\log A+cd = 0,687615$
2 11,2	5 20,9	$\tau'E^4.F'(z)$	— 3	$b f^2.tg i = 23$
2 43,2	4 49,2	$\tau'E^6.F''(z)$	— 0	$\log f = 9,690464$
3 14,6	4 18,0			
3 ^h 3' 46'',2				

$$E = 20^{\circ},0 \quad e = 5^{\circ},75 \quad v = - 1^{\circ},0.$$

Resultate

für 1829. März 27. 1^b 21'

Breite	=	58° 30'
Länge	=	107° 15'
Inclination	=	73° 16',89 A.
Horiz. Intens.	=	0,48890 C.
	=	0,49030 C.

1829. MAERZ 28.

PARSCHINSK.

Inclination.

Nadel B. 40.

$$I = 74^{\circ} 0',75 \quad I' = 73^{\circ} 59',75 \quad I'' = 73^{\circ} 33',50 \quad I''' = 74^{\circ} 1',25$$

$$i' = 73^{\circ} 53',81$$

$$+ \frac{F}{2} = - 0,01$$

$$- \frac{H}{2} = + 0,04.$$

Intensität.

Cylindrische Nadel.

6 ^b 52' 31'',2	57' 50'',9	τ'	3'',19519	$\log T_0$	$= 0,503591$
53 3,4	57 18,9	$\tau'E^2.F(z)$	— 863	$\log A + cd$	$= 0,687638$
53 35,2	56 46,8	$\tau'E^4.F'(z)$	— 3	$b f^2. \lg^2 i$	$= 23$
54 7,3	56 15,0	$\tau'E^6.F''(z)$	— 0	$\log f$	$= 9,680479$
54 39,2	55 43,2				
6 ^b 53' 11'',2					

$$E = 20^{\circ},0 \quad e = 6^{\circ},0 \quad v = - 3^{\circ},0.$$

Resultate

für 1829. März 28. 5^h 57'

$$\text{Breite} = 59^{\circ} 7' 15''$$

$$\text{Länge} = 109^{\circ} 11'$$

$$\text{Inclination} = 73^{\circ} 53',84 \text{ B.}$$

$$\text{Horiz. Intens.} = 0,47916 \text{ C.}$$

1829. MAERZ 29.

KANTINSK.

Inclination.

Nadel A. 39.

$$\begin{aligned}
 I &= 75^{\circ} 29',50 & I' &= 73^{\circ} 38',75 & I'' &= 73^{\circ} 47',37 & I''' &= 75^{\circ} 12',50 \\
 i' &= 74^{\circ} 32',03 \\
 \Delta i' &= - 0,27.
 \end{aligned}$$

Intensität.

Cylindrische Nadel.

18 ^h 37' 17'',2	42' 44'',6	r'	3'',27382	log T ₀	= 0,513489
37 50,0	42 12,0	r'E ² .F (z)	— 911	log A + cd	= 0,687648
38 22,8	41 39,2	r'E ⁴ .F'(z)	— 3	b f ² .tg ² i	= 24
38 55,6	41 6,4	r'E ⁶ .F''(z)	— 0	log f	= 9,660694
39 28,4	40 33,8				
18 ^h 40' 1'',2					

$$E = 20^{\circ},0 \quad e = 6^{\circ},25 \quad v = + 3^{\circ},5.$$

Resultate

für 1829. März 29. 22^h 30'

$$\begin{aligned}
 \text{Breite} &= 39^{\circ} 54' \\
 \text{Länge} &= 111^{\circ} 45' \\
 \text{Inclination} &= 74^{\circ} 31',76 \text{ A.} \\
 \text{Horiz. Intens.} &= 0,45782 \text{ C.}
 \end{aligned}$$

1829. MAERZ 30.

JERBINSK.

Inclination.

Nadel B. 41.

$$I = 74^{\circ} 30',50 \quad I' = 74^{\circ} 16',00 \quad I'' = 74^{\circ} 5',50 \quad I''' = 74^{\circ} 15',25$$

$$i' = 74^{\circ} 16',81$$

$$+ \frac{F}{2} = + 0,00$$

$$- \frac{H}{2} = + 0,04.$$

Intensität.

Cylindrische Nadel.

18 ^h 4' 56'',8	10' 24'',3	r'	3'',27536	$\log T_0 = 0,513800$
5 29,4	9 51,6	$r'E^2.F(z)$	— 830	$\log A + cd = 0,687686$
6 2,4	9 18,8	$r'E^4.F'(z)$	— 3	$b f^2.tg^2 i = 24$
6 35,2	8 46,0	$r'E^6.F''(z)$	— 0	$\log f = 9,660110$
7 7,8	8 13,6			
18 ^h 7'	40'',8			

$$E = 20^{\circ},0 \quad e = 5^{\circ},5 \quad v = + 3^{\circ},5.$$

Resultate

für 1829. März 30. 22^h 14'

Breite	=	60° 28'
Länge	=	113° 55'
Inclination	=	74° 16',85 B.
Horiz. Intens.	=	0,45720 C.

1829. MAERZ 31.

BERESOWSKJI OSTROW.

Inclination.

Nadel A. 40.

$$I = 75^{\circ} 31',13 \quad I' = 71^{\circ} 45',63 \quad I'' = 73^{\circ} 25',75 \quad I''' = 74^{\circ} 56',50$$

$$i' = 73^{\circ} 59',75$$

$$\Delta i' = + 5,23.$$

Intensität.

Cylindrische Nadel.

17 ^h 12' 19'',6	17' 39'',4	r'	3'',19836	$\log T_0 = 0,504213$
12 51,6	17 7,6	$r' E^2.F(z)$	— 864	$\log A + cd = 0,687705$
13 23,6	16 35,4	$r' E^4.F'(z)$	— 3	$b f^2.tg^2 = 25$
13 55,6	16 3,5	$r' E^6.F''(z)$	— 0	$\log f = 9,679304$
14 27,6	15 31,6			
17 ^h 14'	59'',6			

$$E = 20^{\circ},0 \quad c = 6^{\circ},0 \quad v = - 5^{\circ},0.$$

Resultate

für 1829. März 31. 21^h 29'

Breite	=	59° 44'
Länge	=	115° 31'
Inclination	=	74° 4',98 A.
Horiz. Intens.	=	0,47786 C.

1829. APRIL 2.

OLEKMA.

Inclination.

Nadel B. 42.

$$I = 74^{\circ} 14',25 \quad I' = 74^{\circ} 13',50 \quad I'' = 73^{\circ} 52',75 \quad I''' = 74^{\circ} 14',12$$

$$i' = 74^{\circ} 8',65$$

$$+ \frac{F}{2} = - 0,00$$

$$- \frac{H}{2} = + 0,03.$$

Intensität.

Cylindrische Nadel.

16 ^b 49' 33",0	54' 58",0	τ'	3'',25018	$\log T_0$	= 0,511307
50 5,6	54 25,6	$\tau' E^2.F(z)$	— 824	$\log A + cd$	= 0,687741
50 38,2	53 53,2	$\tau' E^4.F'(z)$	— 3	$b f^2. \lg^2 i$	= 24
51 10,8	53 20,8	$\tau' E^4.F''(z)$	— 0	$\log f$	= 9,665151
51 43,2	52 48,4				
16 ^b 52' 15",6					

$$E = 20^{\circ},0 \quad e = 5^{\circ},5 \quad v = - 5^{\circ},5.$$

Resultate

für 1829. April 2. 21^b 6'

$$\text{Breite} = 60^{\circ} 22' 24''$$

$$\text{Länge} = 117^{\circ} 13'$$

$$\text{Inclination} = 74^{\circ} 8',68 \text{ B.}$$

$$\text{Horiz. Intens.} = 0,46254 \text{ C.}$$

1829. APRIL 4.

SANAJACHTATSK.

Inclination.

Nadel A. 41.

$$\begin{aligned}
 I &= 75^{\circ} 23',50 & I' &= 72^{\circ} 10',50 & I'' &= 72^{\circ} 46',50 & I''' &= 74^{\circ} 26',50 \\
 i' &= 73^{\circ} 41',75 \\
 \Delta i' &= - 1,18.
 \end{aligned}$$

Intensität.

Cylindrische Nadel.

13 ^b 32' 27'',6	37' 47'',6	r'	3'',19636	$\log T_0$	$= 0,504320$
33 0,0	37 15,6	$r' E^3 \cdot F(z)$	$- 864$	$\log A + cd$	$= 0,687778$
33 32,0	36 43,6	$r' E^4 \cdot F'(z)$	$- 3$	$b f^2 \cdot \lg^2 i$	$= 24$
34 4,0	36 11,6	$r' E^4 \cdot F''(z)$	$- 0$	$\log f$	$= 9,679162$
34 36,0	35 39,6				
13 ^b 35' 7'',8					

$$E = 20^{\circ},0 \quad e = 6^{\circ},0 \quad v = - 9^{\circ},0.$$

Resultate

für 1829. April 4. 21^h 40'

Breite	$= 60^{\circ} 53'$
Länge	$= 121^{\circ} 24'$
Inclination	$= 73^{\circ} 40',57 \text{ A.}$
Horiz. Intens.	$= 0,47771 \text{ C.}$

1829. APRIL 6.

TOJON - ARUIN.

Inclination.

Nadel B. 43.

$$I = 73^{\circ} 59',37 \quad I' = 73^{\circ} 58',50 \quad I'' = 73^{\circ} 38',75 \quad I''' = 73^{\circ} 59',87$$

$$i' = 73^{\circ} 54',12$$

$$+ \frac{F}{2} = + 0,00$$

$$- \frac{H}{2} = + 0,02.$$

Intensität.

Cylindrische Nadel.

13 ^b 14' 23'',6	19' 49'',0	r'	3'',25200	$\cdot \log T_0$	= 0,510677
14 56,4	19 16,4	$r'E^2.F(z) -$	880	$\log A + cd$	= 0,687818
15 29,0	18 44,0	$r'E^4.F'(z) -$	3	$bf^2 \cdot \lg^2 i$	= 23
16 1,6	18 11,6	$r'E^6.F''(z) -$	0	$\log f$	= 9,666487
16 34,0	17 39,2				
13 ^b 17'	6'',8				
$E = 20^{\circ},0$	$e = 6^{\circ},0$	$v = + 2^{\circ},8.$			

Resultate

für 1829. April 6. 21^h 40'

Breite	=	61° 40'
Länge	=	125° 26'
Inclination	=	73° 54',14 B.
Horiz. Intens.	=	0,46397 C.

1829. APRIL 13.

JAKUZK.

Inclination.

Nadel B. 44.

$$I = 74^{\circ} 19',50 \quad I' = 74^{\circ} 18',50 \quad I'' = 74^{\circ} 17',50 \quad I''' = 74^{\circ} 18',25$$

$$\begin{aligned} i' &= 74^{\circ} 18',43 \\ + \frac{F}{2} &= + 0,00 \\ - \frac{H}{2} &= + 0,00. \end{aligned}$$

Nadel A. 42.

$$I = 76^{\circ} 23',75 \quad I' = 72^{\circ} 40',00 \quad I'' = 72^{\circ} 58',50 \quad I''' = 73^{\circ} 18',75$$

$$\begin{aligned} i' &= 74^{\circ} 20',25 \\ \Delta i' &= - 2,67. \end{aligned}$$

Intensität.

Cylindrische Nadel.

21 ^b 43' 43'',6	49' 10'',4	r'	3'',26453	$\log T_0$	= 0,513046
44 16,8	48 37,7	$r'E^2.F(z)$	— 852	$\log A + cd$	= 0,687961
44 49,2	48 5,0	$r'E^4.F'(z)$	— 3	$b'f^2.tg^2 i$	= 23
45 22,0	47 32,4	$r'E^6.F''(z)$	— 0	$\log f$	= 9,661892
45 54,8	47 0,0				
21 ^b 46'	27'',6				

$$E = 20^{\circ},0 \quad e = 5^{\circ},75 \quad v = -4^{\circ},0.$$

Prismatische Nadel.

22 ^b 22' 17'',6	30' 18'',8	r'	4'',81309	$\log T_0$	= 0,681419
23 6,0	29 31,2	$r'E^2.F(z)$	— 1612	$\log A' + c'd$	= 1,022888
23 54,4	28 43,2	$r'E^4.F'(z)$	— 6	$b'f^2.tg^2 i$	= 19
24 42,8	27 55,2	$r'E^6.F''(z)$	— 0	$\log f$	= 9,660069
25 30,8	27 7,2				
22 ^b 26'	19'',2				

$$E = 20^{\circ},0 \quad e = 8^{\circ},0 \quad v = -5^{\circ},0.$$

Resultate

für 1829. April 13. 6^b 36'

Breite	=	62^{\circ}	1'	29''
Länge	=	127^{\circ}	24'	35''
Inclination	=	74^{\circ}	18',43	B.
	=	74^{\circ}	17',58	A.
Horiz. Intens.	=	0,45908	C.	
	=	0,45716	P.	

1829. APRIL 24.

POROTOWSK.

Inclination.

Nadel B. 45.

$$I = 74^{\circ} 8',00 \quad I' = 73^{\circ} 56',25 \quad I'' = 73^{\circ} 49',50 \quad I''' = 74^{\circ} 4',75$$

$$\bar{I} = 73^{\circ} 59',62$$

$$+ \frac{F}{2} = - 0,02$$

$$- \frac{H}{2} = + 0,02.$$

Intensität.

Cylindrische Nadel.

18 ^h 38'	3'',6	43' 26'',8	τ'	3'',23127	$\log T_0 = 0,508233$
38	36,0	42 54,4	$\tau'E^2.F(z)$	— 819	$\log A+cd = 0,688135$
39	8,4	42 22,4	$\tau'E^4.F'(z)$	— 3	$b [^2.tg^2 i = 24$
39	40,8	41 50,0	$\tau'E^4.F''(z)$	— 0	$\log f = 9,671713$
40	13,2	41 17,6			
18 ^h 40'	45'',6				

$$E = 20^{\circ},0 \quad e = 5^{\circ},5 \quad v = 0^{\circ},0.$$

Resultate

für 1829. April 24. 3^h 19'

$$\text{Breite} = 62^{\circ} 1' 10''$$

$$\text{Länge} = 129^{\circ} 29' 28''$$

$$\text{Inclination} = 73^{\circ} 59',62 \text{ B.}$$

$$\text{Horiz. Intens.} = 0,46958 \text{ C.}$$

1829. APRIL 25.

LEBEGINE.

Inclination.

Nadel B. 46.

$$I = 74^{\circ} 7',75 \quad I' = 73^{\circ} 59',00 \quad I'' = 73^{\circ} 38',50 \quad I''' = 73^{\circ} 59',25$$

$$i' = 73^{\circ} 56',12$$

$$+ \frac{F}{2} = - 0,00$$

$$- \frac{H}{2} = + 0,05.$$

Intensität.

Cylindrische Nadel.

17 ^h 40' 35'',6	46' 1'',0	τ'	3'',25236	$\log T_0 = 0,510630$
41 8,4 43 28,4		$\tau' E^3. F(z)$	— 824	$\log A + cd = 0,688175$
41 40,8 44 56,0		$\tau' E^4. F'(z)$	— 3	$b f^2. \lg^2 i = 24$
42 13,6 44 23,6		$\tau' E^5. F''(z)$	— 0	$\log f = 9,666939$
42 46,0 43 51,0				
17 ^h 43' 18'',4				

$$E = 20^{\circ},0 \quad e = 5^{\circ},5 \quad v = + 4^{\circ},5.$$

Resultate

für 1829. April 25. 2^h 30'

Breite	=	62° 11' 18"
Länge	=	131° 21' 41"
Inclination	=	73° 56',17 B.
Horiz. Intens.	=	0,46444 C.

1829. APRIL 26.

NOCHINSK.

Inclination.

Nadel A. 43.

$$\begin{aligned}
 I &= 73^{\circ} 33',75 & I' &= 72^{\circ} 2',50 & I'' &= 72^{\circ} 21',50 & I''' &= 74^{\circ} 38',50 \\
 i' &= 73^{\circ} 39',06 \\
 \Delta i' &= - 2,22.
 \end{aligned}$$

Intensität.

Cylindrische Nadel.

12 ^h 25' 33",2	30' 54",8	r'	3",21445	$\log T_0$	= 0,505151
26 3,6	30 22,6	$r'E^2 \cdot F(z)$	— 923	$\log A + cd$	= 0,688208
26 37,6	29 50,5	$r'E^4 \cdot F(z)$	— 3	$b f^2 \cdot \lg^2 i$	= 23
27 10,0	29 18,4	$r'E^6 \cdot F''(z)$	— 0	$\log f$	= 9,677929
27 42,0	28 46,4				
12 ^h 28'	14",4				

$$E = 20^{\circ},0 \quad e = 6^{\circ},5 \quad v = + 7^{\circ},0.$$

Resultate

für 1829. April 26. 21^h 18'

Breite	=	61° 56' 45"
Länge	=	132° 36' 29"
Inclination	=	73° 36',84 A.
Horiz. Intens.	=	0,47635 C.

1829. APRIL 28.

3 Werst oberhalb BJELSKJI PEREWOS.

Inclination.

Nadel B. 47.

$$I = 73^{\circ} 31',73 \quad I' = 73^{\circ} 27',50 \quad I'' = 73^{\circ} 3',00 \quad I''' = 73^{\circ} 20',37$$

$$i' = 73^{\circ} 20',65$$

$$+ \frac{F}{2} = + 0,03$$

$$- \frac{H}{2} = + 0,05.$$

Intensität.

Cylindrische Nadel.

10 ^h 59' 5'',2	4' 26'',4	r'	3'',21182	$\log T_0 = 0,505347$
59 37,6	3 54,4	$r'E^2.F(z)$	— 763	$\log A + cd = 0,688247$
0 9,6	3 22,4	$r'E^4.F'(z)$	— 3	$b f^2, \lg^2 = 23$
0 41,6	2 50,2	$r'E^6.F''(z)$	— 0	$\log f = 9,677576$
1 14,0	2 18,2			
11 ^h 1' 46'',2				

$$E = 20^{\circ},0 \quad c = 5^{\circ},0 \quad v = + 3^{\circ},5.$$

Resultate

für 1829. April 28. 19^h 55'

Breite	=	61° 53' 22''
Länge	=	133° 13' 43''
Inclination	=	73° 20',73 B.
Horiz. Intens.	=	0,47597 C.

1829. APRIL 29.

TSCHERNOLJES.

Inclination.

Nadel B. 48.

$$I = 73^{\circ} 16',00 \quad I' = 73^{\circ} 2',75 \quad I'' = 73^{\circ} 2',00 \quad I''' = 73^{\circ} 11',25$$

$$i = 73^{\circ} 8',00$$

$$+ \frac{F}{2} = - 0,01$$

$$- \frac{H}{2} = + 0,01.$$

Intensität.

Cylindrische Nadel.

12 ^h 47' 33",2	52' 51",2	r'	3",18091	$\log T_0$	= 0,501040
48 5,2	52 19,6	$r'E^2.F(z)$	— 806	$\log A' + cd$	= 0,688268
48 37,0	51 48,0	$r'E^4.F'(z)$	— 3	$b'f^2.tg^2 i$	= 22
49 8,8	51 16,0	$r'E^6.F''(z)$	— 0	$\log f$	= 9,686210
49 40,4	50 44,4				
12 ^h 50' 12",6					

$$E = 20^{\circ},0 \quad e = 5^{\circ},5 \quad v = + 4^{\circ},0.$$

Prismatische Nadel.

12 ^h 57' 40",4	5' 23",4	r'	4",62782	$\log T_0$	= 0,663807
58 27,2	4 37,2	$r'E^2.F(z)$	— 1174	$\log A' + c'd$	= 1,022639
59 13,6	3 51,2	$r'E^4.F'(z)$	— 4	$b'f^2.tg^2 i$	= 18
0 0,4	3 5,4	$r'E^6.F''(z)$	— 0	$\log f$	= 9,695043
0 46,4	2 19,2				
13 ^h 1' 32",8					

$$E = 20^{\circ},0 \quad e = 5^{\circ},5 \quad v = + 4^{\circ},5.$$

Resultate

für 1829. April 29. 21^h 52'

Breite	=	61° 31' 13"
Länge	=	134° 2' 32"
Inclination	=	73° 8',00 B.
Horiz. Intens.	=	0,48532 C.
	=	0,49550 P.

1829. MAI 1.

GARNASTACH.

Inclination.

Nadel A. 44.

$$\begin{aligned}
 I &= 75^{\circ} 17',25 & I' &= 71^{\circ} 43',50 & I'' &= 71^{\circ} 19',50 & I''' &= 74^{\circ} 31',00 \\
 i' &= 73^{\circ} 12',81 \\
 \Delta i' &= - 0,96.
 \end{aligned}$$

Intensität.

Cylindrische Nadel.

15 ^h 12' 23'',6	17' 42'',8	r'	3'',19291	$\log T_0$	$= 0,502257$
12 55,6	17 11,1	$r'E^2.F(z)$	— 916	$\log A + cd$	$= 0,688290$
13 27,6	16 39,2	$r'E^4.F'(z)$	— 3	$b' l^2 . l g^2 i$	$= 22$
13 59,8	16 7,5	$r'E^6.F''(z)$	— 0	$\log f$	$= 9,683798$
14 31,6	15 35,6				
15 ^h 15'	3'',6				
$E = 20^{\circ},0$		$e = 6^{\circ},5$	$v = + 6^{\circ},75.$		

Prismatische Nadel.

15 ^h 22' 38'',8	30' 22'',6	r'	4'',63909	$\log T_0$	$= 0,664561$
23 25,6	29 36,8	$r'E^2.F(z)$	— 1344	$\log A' + c'd$	$= 1,022620$
24 12,4	28 50,8	$r'E^4.F'(z)$	— 5	$b' l^2 . l g^2 i$	$= 18$
24 59,2	28 4,8	$r'E^6.F''(z)$	— 0	$\log f$	$= 9,693516$
25 45,6	27 18,4				
15 ^h 26'	32'',0				
$E = 20^{\circ},0$		$e = 6^{\circ},6$	$v = + 6^{\circ},0.$		

Resultate

für 1829. Mai 1. 0^h 20'

Breite	$= 61^{\circ} 29' 36''$
Länge	$= 134^{\circ} 39' 48''$
Inclination	$= 73^{\circ} 11',85 \text{ A.}$
Horiz. Intens.	$= 0,48283 \text{ C.}$
	$= 0,49376 \text{ P.}$

1829. MAI 6.

ALLACHJUNA.

Inclination.

Nadel B. 49.

$$I = 74^{\circ} 12',00 \quad I' = 72^{\circ} 1',90 \quad I'' = 72^{\circ} 24',50 \quad I''' = 72^{\circ} 34',50$$

Mit Hinzuziehung der nächsten Beobachtungen:

$$i' = 72^{\circ} 34',80$$

$$+ \frac{F-H}{2} = + 0,20.$$

Zwischen der ersten und zweiten Hälfte dieser Beobachtung wurde der Schwerpunktsfehler der Nadel durch einen Stoß geändert. Durch Vergleichung mit der folgenden und vorhergehenden

$$\text{erhält man respective } i' = \frac{I + I'}{2} - 28',22$$

$$\text{und } i' = \frac{I'' + I'''}{2} + 1',38.$$

Intensität.

Cylindrische Nadel.

19 ^b 29' 8'',8	34' 24'',8	z'	3'',15873	log T ₀	= 0,498182
29 40,4	33 53,2	r'E ² .F (z)	— 907	log A'+cd	= 0,688370
30 12,2	33 21,6	r'E ⁴ .F' (z)	— 3	b f ² .tg i	= 21
30 44,0	32 50,0	s'E ⁶ .F''(z)	— 0	log f	= 9,692027
31 15,4	32 18,6				
19 ^b 31'	47'',0				

$$E = 20^{\circ},0 \quad e = 6^{\circ},5 \quad v = + 0^{\circ},5.$$

Prismatische Nadel.

19 ^b 45' 45'',2	53' 28'',2	z'	4'',62618	log T ₀	= 0,664411
46 32,0	52 42,0	r'E ² .F (z)	— 1250	log A'+c'd	= 1,022554
47 18,8	51 56,0	r'E ⁴ .F' (z)	— 4	b' f ² .tg ² i	= 17
48 5,2	51 10,0	r'E ⁶ .F''(z)	— 0	log f	= 9,694349
48 51,4	50 24,0				
19 ^b 49'	37'',8				

$$E = 20^{\circ},0 \quad e = 6^{\circ},0 \quad v = - 1^{\circ},0.$$

Resultate

für 1829. Mai 6.	4 ^b	44'
Breite	= 61°	9'
Länge	= 135°	50'
Inclination	= 72°	35',00 B.
Horiz. Intens.	= 0,49207	C.
	= 0,49471	P.

1829. MAI 11.

JUDOMSKAJA STANZIA.

Inclination.

Nadel B. 50.

$$I = 73^{\circ} 34',37 \quad I' = 71^{\circ} 40',37 \quad I'' = 70^{\circ} 53',37 \quad I''' = 72^{\circ} 28',50$$

$$i' = 72^{\circ} 9',15$$

$$+ \frac{F}{2} = - 0,97$$

$$- \frac{H}{2} = + 1,37.$$

Intensität.

Cylindrische Nadel.

11 ^h 4' 12'',0	9' 22'',4	r'	3'',10127	$\log T_0$	= 0,490140
4 43,2	8 51,2	$r'E^2.F(z)$	— 737	$\log A + cd$	= 0,688501
5 14,4	8 20,4	$r'E^4.F'(z)$	— 2	$b' f^2.tg^2 i$	= 23
5 45,6	7 49,4	$r'E^6.F''(z)$	— 0	$\log f$	= 9,708244
6 16,6	7 18,4				
11 ^h 6'	47',6				

$$E = 20^{\circ},0 \quad e = 5^{\circ},0 \quad v = + 3^{\circ},5.$$

Prismatische Nadel.

11 ^h 29' 37'',6	37' 12'',4	r'	4'',54791	$\log T_0$	= 0,656243
30 23,6	36 27,6	$r'E^2.F(z)$	— 1153	$\log A' + c'd$	= 1,022446
31 9,6	35 42,4	$r'E^4.F'(z)$	— 4	$b' f^2.tg^2 i$	= 19
31 55,6	34 57,6	$r'E^6.F''(z)$	— 0	$\log f$	= 9,709979
32 41,6	34 12,8				
11 ^h 33'	27'',2				

$$E = 20^{\circ},0 \quad e = 5^{\circ},5 \quad v = + 4^{\circ},5.$$

Resultate

für 1829. Mai 11. 20^h 34'

Breite	=	60° 54' 11''
Länge	=	138° 15'
Inclination	=	72° 9',55 B.
Horiz. Intens.	=	0,51079 C.
	=	0,51283 P.

1829. MAI 15.

ARKI.

Inclination.

Nadel A. 45.

$$\begin{aligned}
 I &= 72^\circ 31',75 & I' &= 70^\circ 16',50 & I'' &= 70^\circ 20',00 & I''' &= 72^\circ 7',50 \\
 i' &= 71^\circ 18',94 \\
 \Delta i' &= - 0,60.
 \end{aligned}$$

Intensität.

Cylindrische Nadel.

13 ^b 12' 18'',4	17' 26'',8	r'	3'',08345	$\log T_0 = 0,487273$
12 49,2	16 56,0	$r'E^2.F(z)$	— 885	$\log A' + c'd = 0,688579$
13 20,2	16 25,2	$r'E^4.F'(z)$	— 3	$b'f^2.tg^2 i = 21$
13 51,4	15 54,4	$r'E^6.F''(z)$	— 0	$\log f = 9,714054$
14 22,0	15 23,6			
13 ^b 14'	52'',8			

$$E = 20^\circ,0 \quad e = 6^\circ,5 \quad v = + 5^\circ,0.$$

Prismatische Nadel.

13 ^b 25' 33'',2	33' 1'',2	r'	4'',49691	$\log T_0 = 0,651129$
26 18,0	32 16,8	$r'E^2.F(z)$	— 1362	$\log A' + c'd = 1,022381$
27 3,0	31 32,0	$r'E^4.F'(z)$	— 5	$b'f^2.tg^2 i = 17$
27 48,0	30 47,4	$r'E^6.F''(z)$	— 0	$\log f = 9,720140$
28 33,2	30 2,8			
13 ^b 29'	18'',0			

$$E = 20^\circ,0 \quad e = 7^\circ,0 \quad v = + 4^\circ,5.$$

Resultate

für 1829. Mai 15. 22^b 44'

Breite	= 60° 6'
Länge	= 140° 0'
Inclination	= 71° 18',34 A.
Horiz. Intens.	= 0,51767 C.
	= 0,52498 P.

1828. JUNI 16.

OCHOZK.

Inclination.

Nadel B. 51.

$$\begin{aligned}
 I &= 71^{\circ} 54',00 & I' &= 70^{\circ} 26',00 & I'' &= 69^{\circ} 27',25 & I''' &= 70^{\circ} 56',00 \\
 & & i' &= 70^{\circ} 40',81 \\
 & + \frac{F}{2} &= & - 0,44 \\
 & - \frac{II}{2} &= & + 0,76.
 \end{aligned}$$

Intensität.

Cylindrische Nadel.

$$\begin{array}{llll}
 4^h 36' 19'',2 & 41' 25'',4 & r' & 3'',06345 & \log T_o & = 0,483801 \\
 36 & 49,6 & 40 & 54,8 & r'E^2.F(z) & - 928 & \log A + cd & = 0,689198 \\
 37 & 20,4 & 40 & 24,4 & r'E^4.F'(z) & - 3 & b' f^2.tg^2 i & = 20 \\
 37 & 51,2 & 39 & 53,6 & r'E^4.F''(z) & - 0 & \log f & = 9,721616 \\
 38 & 21,6 & 39 & 22,8 & & & & \\
 4^h & 38' & 52'',4 & & & & &
 \end{array}$$

$$E = 20^{\circ},0 \quad e = 7^{\circ},0 \quad v = + 11^{\circ},0.$$

Prismatische Nadel.

$$\begin{array}{llll}
 4^h 50' 41'',6 & 58' 8'',2 & r' & 4'',46345 & \log T_o & = 0,646778 \\
 51 & 26,6 & 57 & 23,8 & r'E^2.F(z) & - 1352 & \log A' + c'd & = 1,021874 \\
 52 & 11,6 & 56 & 39,2 & r'E^4.F'(z) & - 5 & b' f^2.tg^2 i & = 17 \\
 52 & 56,4 & 55 & 54,6 & r'E^4.F''(z) & - 0 & \log f & = 9,728335 \\
 53 & 41,2 & 55 & 10,0 & & & & \\
 4^h & 54' & 25'',6 & & & & &
 \end{array}$$

$$E = 20^{\circ},0 \quad e = 7^{\circ},0 \quad v = + 16^{\circ},0.$$

Resultate

für 1828. Juni 16. 4^h 9'

$$\begin{aligned}
 \text{Breite} &= 59^{\circ} 21' 29'' \\
 \text{Länge} &= 140^{\circ} 51' 10'' \\
 \text{Inclination} &= 70^{\circ} 41',13 \text{ B.} \\
 \text{Horiz. Intens.} &= 0,52676 \text{ C.} \\
 &= 0,53498 \text{ P.}
 \end{aligned}$$

1829. JULI 18.

Bei OCHOZK am rechten Ufer des Kuchtui.

Intensität.

Cylindrische Nadel.

0 ^h 14' 13",6	19' 19",4	r'	3",05691	$\log T_0$	= 0,482942
14 44,4	18 48,8	$r'E^2.F(z)$	— 877	$\log A + cd$	= 0,689820
15 15,2	18 18,6	$r'E^2.F'(z)$	— 3	$b' f^2. \lg^3 i$	= 20
15 45,6	17 48,0	$r'E^2.F''(z)$	— 0	$\log f$	= 9,723956
16 16,2	17 17,2				
0 ^h 16'	46",8				

$$E = 20^\circ,0 \quad e = 6^\circ,5 \quad v = + 11^\circ,0.$$

Prismatische Nadel.

0 ^h 26' 38",0	34' 4",4	r'	4",46527	$\log T_0$	= 0,647506
27 22,8	33 20,0	$r'E^2.F(z)$	— 1282	$\log A' + c'd$	= 1,021362
28 7,6	32 35,6	$r'E^4.F'(z)$	— 5	$b' f^2. \lg^3 i$	= 16
28 52,4	31 51,2	$r'E^6.F''(z)$	— 0	$\log f$	= 9,726366
29 37,2	31 6,6				
0 ^h 30'	22",0				

$$E = 20^\circ,0 \quad e = 6^\circ,5 \quad v = + 11^\circ,0.$$

Inclinations-Nadel A. *)

0 ^h 54' 44",6	60' 0",6	r'	3",15891	$\log T_0$	= 0,497197
55 16,4	59 29,2	$r'E^2.F(z)$	— 907	π	= 105° 41',13
55 48,2	58 53,6	$r'E^4.F'(z)$	— 3	$\log \cos(\pi + u)$	= 9,416846 n
56 20,0	58 26,4	$r'E^6.F''(z)$	— 0	$\text{cp.} \log \sin u$	= 2,018711 n
56 51,8	57 54,4			$\text{cp.} \log \Phi$	= 8,767231
0 ^h 57'	22",8			$\log F$	= 0,202788

$$E = 20^\circ,0 \quad e = 6^\circ,5 \quad v = + 11^\circ,0.$$

Resultate

für 1829. Juli 18. 23^h 51'

Breite	= 59° 22'
Länge	= 140° 52' 50"
Horiz. Intens.	= 0,52961 C.
	= 0,53256 P.
Ganz Intens.	= 1,60567 C und P.
	= 1,59510 A.

*) Die Schwingungen dieser Nadel geschahen immer in der Ebene des magnetischen Meridiaues, wenn sie ohne besondere Angabe des Azimutes angeführt werden.

1829. JULI 22.

OCHOZK, neben der vorgenannten Stelle
am Bord des Transportschiffes Jekatarina.

Inclination.

Nadel B. 52.

$$\begin{aligned}
 I &= 71^{\circ} 50',00 & I' &= 70^{\circ} 12',50 & I'' &= 69^{\circ} 16',25 & I''' &= 70^{\circ} 54',75 \\
 & & & & I' &= 70^{\circ} 35',87 \\
 + \frac{F}{2} &= & - & 0,74 \\
 - \frac{H}{2} &= & + & 1,11.
 \end{aligned}$$

Intensität.

Cylindrische Nadel.

$$\begin{array}{llll}
 3^h & 44' 36'',8 & 49' 42'',4 & \tau' \quad \quad 3'',06454 \quad \log T_0 = 0,483816 \\
 45 & 6,8 & 49 & 11,4 & \tau'E^2.F(z) - 957 \quad \log A + cd = 0,689902 \\
 45 & 35,6 & 48 & 40,8 & \tau'E^4.F'(z) - 4 \quad b \, l^2 \cdot \lg^2 i = 20 \\
 46 & 6,8 & 48 & 10,0 & \tau'E^4.F''(z) - 0 \quad \log f = 9,722290 \\
 46 & 37,6 & 47 & 39,2 \\
 & 3^h & 47' & 8'',4
 \end{array}$$

$$E = 20^{\circ},0 \quad e = 7^{\circ},25 \quad v = + 12^{\circ},0.$$

Inclinations - Nadel A.

$$\begin{array}{llll}
 0^h & 5' 3'',2 & 10' 18'',4 & \tau' \quad \quad 3'',15055 \quad \log T_0 = 0,496705 \\
 5 & 34,8 & 9 & 46,8 & \tau'E^2.F(z) - 429 \pi = 105^{\circ} 36',24 \\
 6 & 6,4 & 9 & 15,2 & \tau'E^4.F'(z) - 1 \quad \log \cos(\pi+u) = 9,414656 n \\
 6 & 37,8 & 8 & 43,8 & \tau'E^4.F''(z) - 0 \quad \text{cp.} \log \sin u = 2,021911 n \\
 7 & 9,2 & 8 & 12,4 & \text{cp.} \log \Phi = 8,768553 \\
 0^h & 7' & 41'',0 & & \log F = 0,205120
 \end{array}$$

$$E = 20^{\circ},0 \quad e = 2^{\circ},0 \quad v = + 11^{\circ},25.$$

Resultate

für 1829. Juli 22. 1^h 18'

$$\begin{aligned}
 \text{Breite} &= 59^{\circ} 22' \\
 \text{Länge} &= 140^{\circ} 52' 50'' \\
 \text{Inclination} &= 70^{\circ} 36',24 \text{ B.} \\
 \text{Horiz. Intens.} &= 0,52758 \text{ C.} \\
 \text{Ganze Intens.} &= 1,58864 \text{ C.} \\
 &= 1,60369 \text{ A.}
 \end{aligned}$$

1829. JULI 29.

OCHOZKER Meer.

Inclination.

Nadel B. 53.

$$I = 70^{\circ} 30',00 \quad I' = 69^{\circ} 7',50 \quad I'' = 68^{\circ} 0',00 \quad I''' = 69^{\circ} 52',50$$

$$i' = 69^{\circ} 22',50$$

$$+ \frac{F}{2} = - 0,75$$

$$- \frac{H}{2} = + 1,02.$$

Intensität.

Inclinations-Nadel A.

22 ^h 12' 51'',6	18' 2'',8	r'	3'',10855	$\log T_0$	= 0,490976
13 22,8	17 31,6	$r'E^2.F(z) - 423$	π		= 104° 23'
13 54,0	17 0,0	$r'E^4.F'(z) - 1$	$\cos(\pi + u)$	= 9,380420	n
14 25,2	16 29,2	$r'E^6.F''(z) - 0$	$\text{cp.} \sin u$	= 2,067924	n
14 56,2	15 58,4		$\text{cp.} \log \Phi$	= 8,771168	
22 ^h 15' 27'',2			$\log F$	= 0,219512	

$$E = 20^{\circ},0 \quad e = 2^{\circ},0 \quad v = + 10^{\circ},0$$

Inclinations-Nadel A. senkrecht auf dem Meridian.

Mit $a = 90^{\circ}$, nach (13), Seite 44.

22 ^h 18' 57'',6	24' 20'',0	r'	3'',21855	$\log T_0$	= 0,506086
19 30,2	23 47,6	$r'E^2.F(z) - 438$	$\lg \chi$		= 1,519229
20 2,8	23 15,6	$r'E^4.F'(z) - 1$	$\log(2 \sin \frac{\chi}{2} \sec \chi)$	= 1,506190	
20 35,2	22 43,2	$r'E^6.F''(z) - 0$	$\log \frac{n}{m^2}$	= 9,942109	
21 7,2	22 11,6		$\text{cp.} \log \Phi$	= 8,771168	
22 ^h 21' 39'',2			$\log F$	= 0,219467	

$$E = 20^{\circ},0 \quad e = 2^{\circ},0 \quad v = + 10^{\circ},0.$$

Resultate

für 1828. Juli 29. 21^h 50'

Breite	= 58° 45' 0''
Länge	= 143° 45' 17''
Inclination	= 69° 22',77 B.
Ganze Intens.	= 1,65772 A.
	= 1,65755 A.

1829 JULI 31.

OCHOZKER Meer.

Inclination.

Nadel B. 54.

$$I = 70^{\circ} 0',00 \quad I' = 69^{\circ} 22',50 \quad I'' = 67^{\circ} 52',50 \quad I''' = 69^{\circ} 15',00$$

$$i' = 69^{\circ} 7',50$$

$$+ \frac{F}{2} = + 0,11$$

$$- \frac{H}{2} = + 0,67.$$

Resultate

für 1829. Juli 31. 23^h 45'

$$\text{Breite} = 58^{\circ} 14' 45''$$

$$\text{Länge} = 148^{\circ} 14' 13''$$

$$\text{Inclination} = 69^{\circ} 8',28 \text{ B.}$$

1829. AUGUST 1.

OCHOZKER Meer.

Inclination.

Nadel B. 55.

$$I = 76^{\circ} 30',50 \quad I' = 68^{\circ} 7',50 \quad I'' = 67^{\circ} 52',50 \quad I''' = 69^{\circ} 43',00$$

$$\begin{aligned} i' &= 69^{\circ} 3',87 \\ + \frac{F}{2} &= - 1,68 \\ - \frac{H}{2} &= + 1,40. \end{aligned}$$

Intensität.

Cylindrische Nadel.

20 ^h 29'	1'' 2	34' 19'',8	τ'	3'',18482	$\log T_0$	= 0,500995
29	33,6	33 48,4	$\tau' E^2 \cdot F(z) - 660$	π		= 104° 4'
30	5,6	33 16,8	$\tau' E^4 \cdot F'(z) -$	3	$\log \cos(\pi + u)$	= 9,370222 n
30	37,6	32 44,6	$\tau' E^4 \cdot F''(z) -$	0	$\text{cp.} \log \sin u$	= 2,057335 n
31	9,3	32 12,8			$\text{cp.} \log \phi$	= 8,772183
20 ^h 31'	41'',0				$\log F$	= 0,199762

$$E = 23^{\circ},0 \quad e = 3^{\circ},0 \quad \tau = + 12^{\circ},0.$$

Resultate

für 1829, August 1. 20^h 28'

Breite	=	58° 16' 17''
Länge	=	149° 28' 41''
Inclination	=	69° 3',59 B.
Horiz. Intens.	=	1,58403 A.

1829. AUGUST 7.

OCHOZKER Meer.

Inclination.

Nadel B. 56.

$$I = 69^{\circ} 7',50 \quad I' = 67^{\circ} 15',00 \quad I'' = 67^{\circ} 27',50 \quad I''' = 69^{\circ} 0',00$$

$$I' = 68^{\circ} 12',50$$

$$+ \frac{F}{2} = - 1,11$$

$$- \frac{H}{2} = + 0,80.$$

Intensität.

Inclinations-Nadel A.

4 ^h 37'	5'',6	42' 25'',6	τ'	3'',19109	$\log T_0$	$= 0,502271$
37	38,0	41 53,2	$\tau'E^2.F(z)$	— 600	π	$= 103^{\circ} 12'$
38	10,4	41 20,8	$\tau'E^4.F'(z)$	— 2	$\log \cos(\pi+u)$	$= 9,342975 n$
38	42,4	40 49,6	$\tau'E^6.F''(z)$	— 0	$\text{cp.} \log \sin u$	$= 2,081897 n$
39	13,8	40 17,6			$\text{cp.} \log \Phi$	$= 8,773898$
4 ^h 39'	46'',0				$\log F$	$= 0,198770$

$$E = 20^{\circ},0 \quad e = 3^{\circ},5 \quad v = + 8^{\circ},5.$$

Resultate

für 1829. August 7. 4^h 57'

Breite	$= 58^{\circ} 15' 54''$
Länge	$= 154^{\circ} 51' 35''$
Inclination	$= 68^{\circ} 12',19 \text{ B.}$
Ganze Intens.	$= 1,58042 \text{ A.}$

1829. AUGUST 13.

MAGASEINSKJI PADJ, an der Mündung des TIGIL-Flusses

Inclination.

Nadel B. 57. um 1^h 10' K.

$$I = 69^{\circ} 21',50 \quad I' = 67^{\circ} 22',50 \quad I'' = 68^{\circ} 19',50 \quad I''' = 68^{\circ} 46',75$$

$$\dot{I} = 68^{\circ} 27',56$$

$$+ \frac{F}{2} = - 0,56$$

$$- \frac{H}{2} = + 0,44.$$

Nadel A. 46. um 2^h 0' K.

$$I = 70^{\circ} 18',75 \quad I' = 68^{\circ} 6',25 \quad I'' = 66^{\circ} 58',00 \quad I''' = 68^{\circ} 47',50$$

$$\dot{I} = 68^{\circ} 32',62$$

$$\Delta \dot{I} = - 3,79.$$

Intensität.

Cylindrische Nadel.

1 ^h 26' 24'',4	31' 20'',0	r'	2'',95582	$\log T_0 = 0,468350$
26 54,0	30 50,4	$r'E^2.F(z)$	— 774	$\log A + c'd = 0,690329$
27 23,8	30 21,0	$r'E^4.F'(z)$	— 3	$b f^2 . \lg^2 i = 19$
27 53,2	29 51,6	$r'E^6.F''(z)$	— 0	$\log f = 9,753648$
28 22,6	29 22,0			
1 ^h 28' 52'',4				

$$E = 20^{\circ},0 \quad e = 5^{\circ},75 \quad v = + 12^{\circ},0.$$

Prismatische Nadel.

1 ^h 41' 20'',0	48' 28'',0	r'	4'',28036	$\log T_0 = 0,629036$
42 3,2	47 45,6	$r'E^2.F(z)$	— 1235	$\log A' + c'd = 1,020944$
42 46,4	47 3,6	$r'E^4.F'(z)$	— 4	$b f^2 . \lg^2 i = 16$
43 29,6	46 20,4	$r'E^6.F''(z)$	— 0	$\log f = 9,762888$
44 12,4	45 38,0			
1 ^h 44' 55'',6				

$$E = 21^{\circ},0 \quad e = 6^{\circ},0 \quad v = + 12^{\circ},0.$$

1829. AUGUST 13.

MAGASEINSKJI PADJ, an der Mündung des TIGIL-Flusses.

Inclinations-Nadel A.

1 ^h 34' 16'',4	39' 38'',8	r'	3'',21528	$\log T_0$	= 0,505811
34 48,4	39 5,6	$r'E^2.F(z)$	— 236	π	= 103° 27'
35 20,4	38 32,8	$r'E^4.F'(z)$	— 1	$\log \cos(\pi+u)$	= 9,350733 n
35 52,4	38 0,0	$r'E^4.F''(z)$	— 0	$\text{cp.} \log \sin u$	= 2,066816 n
36 24,4	37 28,0			$\text{cp.} \log \Phi$	= 8,775826
1 ^h 36' 56'',4				$\log F$	= 0,193375
$E = 20^\circ,0 \quad e = 0^\circ,5 \quad v = + 11^\circ,0.$					

Resultate

für 1829. August 12. 1^h 55'

Breite	= 58°	1' 25''
Länge	= 155°	54' 19''
Inclination	= 68°	27',44 B.
	= 68°	28',83 A.
Horiz. Intens.	= 0,56706	C.
	= 0,57930	P.
Ganze Intens.	= 1,56090	C und P.
	= 1,56090	A.

1829. AUGUST 28.

JELOWKA.

Inclination.

Nadel A. 47.

$$I = 70^{\circ} 5',00 \quad I' = 67^{\circ} 26',50 \quad I'' = 66^{\circ} 42',00 \quad I''' = 68^{\circ} 10',37$$

$$i' = 68^{\circ} 5',97$$

$$\Delta i' = - 12,86.$$

Nadel B. 58.

$$I = 68^{\circ} 55',37 \quad I' = 66^{\circ} 52',75 \quad I'' = 66^{\circ} 47',75 \quad I''' = 68^{\circ} 43',50$$

$$i' = 67^{\circ} 49',84$$

$$+ \frac{F}{2} = - 1,47$$

$$- \frac{H}{2} = + 1,06.$$

Intensität.

Cylindrische Nadel.

22 ^h 2' 14'',0	7' 8'',1	τ'	2'',93736	$\log T_0 = 0,465095$
2 43,6	6 38,2	$\tau' E^2. F(z)$	— 966	$\log A + cd = 0,690639$
3 13,2	6 9,2	$\tau' E^4. F'(z)$	— 4	$b f^2. \lg^2 i = 18$
3 42,4	5 40,1	$\tau' E^6. F''(z)$	— 0	$\log f = 9,760467$
4 11,6	5 10,4			
22 ^h 4' 41'',2				

$$E = 20^{\circ},0 \quad e = 7^{\circ},75 \quad v = + 14^{\circ},5.$$

Prismatische Nadel.

22 ^h 17' 28'',4	24' 38'',2	τ'	4'',29672	$\log T_0 = 0,630041$
18 11,6	23 55,2	$\tau' E^2. F'(z)$	— 1596	$\log A + cd = 1,020689$
18 54,8	23 12,4	$\tau' E^4. F'(z)$	— 6	$b f^2. \lg i = 15$
19 37,6	22 29,6	$\tau' E^6. F''(z)$	— 0	$\log f = 9,760622$
20 20,4	21 46,6			
22 ^h 21' 4'',0				

$$E = 20^{\circ},0 \quad e = 9^{\circ},0 \quad v = + 15^{\circ},0.$$

Resultate

für 1829. August 28. 22^h 44'

$$\text{Breite} = 56^{\circ} 53' 53''$$

$$[\text{Länge} = 158^{\circ} 34' 20''$$

$$\text{Inclination} = 67^{\circ} 53',11 \text{ A.}$$

$$= 67^{\circ} 49',43 \text{ B.}$$

$$\text{Horiz. Intenz.} = 0,57606 \text{ C.}$$

$$= 0,57627 \text{ P.}$$

1829. SEPTEMBER 7.

CHARTSCHINSK.

Inclination.

Nadel A. 48.

$$I = 70^{\circ} 43',75 \quad I' = 67^{\circ} 33',50 \quad I'' = 66^{\circ} 41',25 \quad I''' = 68^{\circ} 34',75$$

$$i' = 68^{\circ} 23',31$$

$$\Delta i' = \quad - 12,17.$$

Intensität.

Cylindrische Nadel.

5 ^b 55' 38",4	60' 32",6	r'	2'',94109	$\log T_0 = 0,466616$
56 7,8	60 3,2	$r'E^2.F(z)$	— 866	$\log A + cd = 0,690822$
56 37,4	59 33,6	$r'E^2.F'(z)$	— 3	$b'f^2.tg^2 i = 18$
57 6,8	59 4,4	$r'E^2.F''(z)$	— 0	$\log f = 9,757608$
57 36,2	58 35,0			
5 ^b 58' 5",6				

$$E = 20^{\circ},0 \quad e = 6^{\circ},75 \quad v = + 6^{\circ},0.$$

Prismatische Nadel.

6 ^b 40' 45",2	47' 58",8	r'	4'',33654	$\log T_0 = 0,635102$
41 28,7	47 15,6	$r'E^2.F(z)$	— 1425	$\log A' + c'd = 1,020539$
42 12,2	46 32,4	$r'E^2.F'(z)$	— 5	$b'f^2.tg^2 i = 15$
42 55,6	45 49,2	$r'E^2.F''(z)$	— 0	$\log f = 9,750350$
43 38,8	45 5,6			
6 ^b 44' 22",4				

$$E = 20^{\circ},0 \quad e = 7^{\circ},75 \quad v = + 6^{\circ},0.$$

Resultate

für 1829. September 7. 6^b 52'

Breite	=	56° 31' 6"
Länge	=	158° 23' 1"
Inclination	=	68° 11',14 A.
Horiz. Intens.	=	0,57228 C.
	=	0,56279 P.

1829. SEPTEMBER 15.

KOSUIREWSK.

Inclination.

Nadel B. 59.

$$I = 68^{\circ} 7',00 \quad I' = 66^{\circ} 9',75 \quad I'' = 65^{\circ} 48',75 \quad I''' = 67^{\circ} 25',50$$

$$i' = 66^{\circ} 52',75$$

$$+ \frac{F}{2} = - 0,59$$

$$- \frac{H}{2} = + 0,41.$$

Intensität.

Cylindrische Nadel.

22 ^h 35' 48'',8	40' 37'',2	r'	2'',88345	$\log T_0 = 0,457777$
36 17,8	40 8,4	$r'E^2.F(z) -$	755	$\log A + cd = 0,690991$
36 46,7	39 39,6	$r'E^4.F'(z) -$	3	$\log f^2 \cdot \lg^2 i = 18$
37 15,6	39 11,0	$r'E^6.F''(z) -$	0	$\log f = 9,775455$
37 44,5	38 42,4			
22 ^h 38'	13'',2			

$$E = 20^{\circ},0 \quad e = 5^{\circ},75 \quad v = + 10^{\circ},0.$$

Resultate

für 1829. September 15. 23^h 5'

$$\text{Breite} = 55^{\circ} 52' 5''$$

$$\text{Länge} = 137^{\circ} 13' 48''$$

$$\text{Inclination} = 66^{\circ} 52',57 \text{ B.}$$

$$\text{Horiz. Intens.} = 0,59628 \text{ C.}$$

1829. SEPTEMBER 19.

MASCHURA.

Inclination.

Nadel A. 49.

$$\begin{aligned}
 I &= 69^\circ 0',62 & I' &= 65^\circ 28',75 & I'' &= 64^\circ 39',75 & I''' &= 66^\circ 30',62 \\
 i' &= 66^\circ 24',93 \\
 \Delta i' &= -13,56.
 \end{aligned}$$

Intensität.

Cylindrische Nadel.

$$\begin{array}{rcl}
 3^h 0' 8'',0 & 4' 52'',8 & i' \quad 2'',84691 \quad \log T_0 = 0,451566 \\
 0 \quad 36,4 & 4 \quad 24,0 & i' E^2.F(z) - 745 \quad \log A + c'd = 0,691054 \\
 1 \quad 5,2 & 3 \quad 56,0 & i' E^4.F'(z) - 2 \quad b' f^2.tg^2 i = 17 \\
 1 \quad 33,6 & 3 \quad 27,6 & i' E^6.F''(z) - 0 \quad \log f = 9,787939 \\
 2 \quad 2,4 & 2 \quad 59,2 & \\
 - 3^h 2' 30'',8 & &
 \end{array}$$

$$E = 20^\circ,0 \quad e = 5^\circ,75 \quad v = +17^\circ,0.$$

Prismatische Nadel.

$$\begin{array}{rcl}
 3^h 14' 17'',6 & 21' 14'',0 & i' \quad 4'',16218 \quad \log T_0 = 0,616549 \\
 14 \quad 59,6 & 20 \quad 32,6 & i' E^2.F(z) - 1053 \quad \log A' + c'd = 1,020349 \\
 15 \quad 41,6 & 19 \quad 51,2 & i' E^4.F'(z) - 3 \quad b' f^2.tg^2 i = 14 \\
 16 \quad 23,4 & 19 \quad 9,6 & i' E^6.F''(z) - 0 \quad \log f = 9,787265 \\
 17 \quad 5,0 & 18 \quad 28,2 & \\
 3^h 17' 46'',4 & &
 \end{array}$$

$$E = 20^\circ,0 \quad e = 5^\circ,50 \quad v = +17^\circ,0.$$

Resultate

für 1829. September 19. 3^h 31'

$$\begin{aligned}
 \text{Breite} &= 55^\circ 4' 21'' \\
 \text{Länge} &= 156^\circ 34' 58'' \\
 \text{Inclination} &= 66^\circ 9',37 \text{ A.} \\
 \text{Horiz. Intens.} &= 0,61368 \text{ C.} \\
 &= 0,61272 \text{ P.}
 \end{aligned}$$

1829. SEPTEMBER 27.

NATSCHIKA.

Inclination.

Nadel B. 60.

$$I = 65^{\circ} 34',37 \quad I' = 63^{\circ} 24',87 \quad I'' = 61^{\circ} 50',75 \quad I''' = 65^{\circ} 32',00$$

$$I' = 64^{\circ} 5',49$$

$$+ \frac{F}{2} = - 0,26$$

$$- \frac{H}{2} = + 0,19.$$

Intensität.

Cylindrische Nadel.

19 ^b 12' 25'',6	17' 1'',6	r'	2'',76255	log T ₀	= 0,439573
12 53,2	16 34,2	r' E ² .F (z)	— 837	log A + c'd	= 0,691221
13 20,8	16 6,8	r' E ² .F' (z)	— 3	b' f ² .tg ² i	= 16
13 48,6	15 39,2	r' E ² .F'' (z)	— 0	log f	= 9,812691
14 16,0	15 11,6				
19 ^b 14'	44'',0				

$$E = 20^{\circ},0 \quad e = 7^{\circ},0 \quad v = + 4^{\circ},0.$$

Prismatische Nadel.

19 ^b 22' 38'',0	29' 23'',6	r'	4'',05363	log T ₀	= 0,606052
23 18,2	28 42,8	r' E ² .F (z)	— 1458	log A' + c'd	= 1,020210
23 59,2	28 2,4	r' E ² .F' (z)	— 4	b' f ² .tg ² i	= 13
24 40,0	27 21,0	r' E ² .F'' (z)	— 0	log f	= 9,808119
25 20,4	26 41,6				
19 ^b 26'	1'',2				

$$E = 20^{\circ},0 \quad e = 8^{\circ},75 \quad v = + 2^{\circ},0.$$

Resultate

für 1829. September 27. 19^b 41'

Breite	= 53° 6' 30''
Länge	= 155° 55' 14''
Inclination	= 69° 5',42 B.
Horiz. Intens.	= 0,64877 C.
	= 0,64298 P.

1829. OCTOBER 13.

PETROPAULSHAFEN.

Inclination.

Nadel B. 61.

$$\begin{aligned}
 I &= 64^{\circ} 50',12 & I' &= 62^{\circ} 57',50 & I'' &= 61^{\circ} 38',00 & I''' &= 65^{\circ} 56',75 \\
 & & i' &= 63^{\circ} 50',59 \\
 & & \frac{F}{2} &= & - 3,16 \\
 & & - \frac{H}{2} &= & + 1,94.
 \end{aligned}$$

Intensität.

Cylindrische Nadel.

0 ^h 23' 53",6	28' 31",8	τ'	2",77191	$\log T_0 = 0,440516$
24 21,6	28 4,0	$\tau' E^2 \cdot F(z)$	— 928	$\log A + c'd = 0,691519$
24 49,6	27 36,4	$\tau' E^4 \cdot F'(z)$	— 4	$b \cdot f^2 \cdot \lg^2 i = 16$
25 17,4	27 8,8	$\tau' E^6 \cdot F''(z)$	— 0	$\log f = 9,810503$
25 45,2	26 40,6			
0 ^h 26' 12",9				

$$E = 20^{\circ},0 \quad e = 8^{\circ},0 \quad v = + 8^{\circ},0.$$

Prismatische Nadel.

0 ^h 42' 36",4	49' 18",8	τ'	4",02218	$\log T_0 = 0,602266$
43 17,2	48 38,8	$\tau' E^2 \cdot F(z)$	— 1285	$\log A' + c'd = 1,019965$
43 57,8	47 59,0	$\tau' E^4 \cdot F'(z)$	— 5	$b \cdot f^2 \cdot \lg^2 i = 13$
44 38,4	47 19,2	$\tau' E^6 \cdot F''(z)$	— 0	$\log f = 9,815446$
45 18,4	46 39,2			
0 ^h 45' 59",2				

$$E = 20^{\circ},0 \quad e = 7^{\circ},5 \quad v = + 8^{\circ},0.$$

1829. OCTOBER 13.

PETROPAULSHAFEN.

Inclinations-Nadel A.

23 ^b 53' 51".2	59' 8".8	τ'	3",17309	$\log T_o$	$= 0,500101$
54 23,4	58 37,2	$\tau'E^2.F(z) - 353 \pi$			$= 98^\circ 50'$
54 55,8	58 5,6	$\tau'E^4.F'(z) - 1$		$\log \cos(\pi+u)$	$= 9,170581 n$
55 27,2	57 34,4	$\tau'E^6.F''(z) - 0$		$\text{cp.} \log \sin u$	$= 2,258560 n$
55 59,6	57 3,0			$\text{cp.} \log \Phi$	$= 8,739268$
23 ^b 56'	31".3			$\log F$	$= 0,168409$

$E = 20^\circ,0$ $e = 1^\circ,0$ $v = + 9^\circ,0$.

Resultate

für 1829. October 13. 0^h 44'

Breite	$= 53^\circ 0' 27''$	
Länge	$= 156^\circ 19' 48''$	
Inclination	$= 63^\circ 49',37$	B.
Horiz. Intens.	$= 0,64640$	C.
	$= 0,65380$	P.
Ganze Intens.	$= 1,47370$	C und P.
	$= 1,47370$	A.

1829. OCTOBER 29. 18^h 57' K.

NOERDLICHE GROSSE OCEAN.

Inclination.

Nadel B. 62.

$$I = 68^{\circ} 0',00 \quad I' = 66^{\circ} 30',00 \quad I'' = 66^{\circ} 22',50 \quad I''' = 68^{\circ} 15',00$$

$$i' = 67^{\circ} 16',87$$

$$+ \frac{F}{2} = - 1,04$$

$$- \frac{H}{2} = + 0,74.$$

Intensität.

Inclinations-Nadel A.

19 ^h 6'	29'',0	11' 44'',0	i'	3'',14627	$\log T_0$	= 0,495031
7	0,6	11 12,3	$i'E^2.F(z)$	— 1594	π	= 102° 17'
7	32,7	10 41,2	$i'E^2.F'(z)$	— 14	$\log \cos(\pi+u)$	= 9,312640n
8	4,1	10 9,7	$i'E^2.F''(z)$	— 0	$\text{cp. log. sin } u$	= 2,127116
8	35,4	9 37,8			$\text{cp. log. } \phi$	= 8,746438
19 ^h 9'	7'',3				$\log F$	= 0,186194

$$E = 33^{\circ},0 \quad e = 5^{\circ},0 \quad v = + 5^{\circ},3.$$

Die Durchgänge der Nadel wurden an einer andern Uhr beobachtet, und dann für den Stand und Gang der Kessel'schen reducirt.

Resultate

für 1829. October 29. 22^h 12'

Breite	=	51° 2' 47''
Länge	=	201° 3' 36''
Inclination	=	67° 16',57 B.
Ganze Intens.	=	1,53530 A.

1829. NOVEMBER 1. 17^h 40' K.

NOERDLICHE GROSSE OCEAN.

Inclination.

Nadel B. 63.

$$I = 71^{\circ} 45',00 \quad I' = 70^{\circ} 37',50 \quad I'' = 70^{\circ} 30',00 \quad I''' = 71^{\circ} 30',00$$

$$i' = 71^{\circ} 5',62$$

$$+ \frac{F}{2} = - 0,46$$

$$- \frac{H}{2} = + 0,50.$$

Intensität.

Inclinations-Nadel A.

17 ^h 52' 55'',0	58' 4'',5	r'	3'',08227	$\log T_0$	= 0,486617
53 26,6	57 33,9	$rE^2.F(z) -$	1339	π	= 106° 6'
53 57,2	57 2,3	$rE^4.F'(z) -$	9	$\log \cos(\pi+u)$	= 9,428640 n
54 28,3	56 31,7	$rE^6.F''(z) -$	0	$\text{cp.} \log \sin u$	= 2,028833 n
54 58,9	56 0,6			$\text{cp.} \log \phi$	= 8,747748
17 ^h 55' 29'',5				$\log F$	= 0,205221

$$E = 30^{\circ},0 \quad e = 5^{\circ},5 \quad v = + 3^{\circ},33.$$

Die Durchgänge der Nadel wurden an einer andern Uhr beobachtet, und auf die Kesselsche reducirt.

Resultate

für 1829. November 1. 21^h 34'

$$\text{Breite} = 53^{\circ} 34' 37''$$

$$\text{Länge} = 211^{\circ} 4' 59''$$

$$\text{Inclination} = 71^{\circ} 5',66 \text{ B.}$$

$$\text{Horiz. Intens.} = 1,60408 \text{ A.}$$

1829. NOVEMBER 3. 16^h 19' K.

NOERDLICHE GROSSE OCEAN.

Inclination.

Nadel B. 64.

$$I = 75^{\circ} 52',50 \quad I' = 74^{\circ} 53',50 \quad I'' = 74^{\circ} 57',50 \quad I''' = 76^{\circ} 29',00$$

$$i' = 75^{\circ} 33',12$$

$$+ \frac{F}{2} = - 0,79$$

$$- \frac{H}{2} = + 1,04.$$

Intensität.

Inclinations-Nadel A.

16 ^h 30' 59",0	36' 5",5	r'	3",06364	$\log T_0$	$= 0,482120$
31 30,1	35 34,9	$r'E^2.F(z)$	$- 2190$	π	$= 110^{\circ} 33'$
32 0,7	35 4,8	$r'E^4.F'(z)$	$- 21$	$\log \cos(\pi + u)$	$= 9,531653 n$
32 31,8	34 33,7	$r'E^6.F''(z)$	$- 0$	$\text{cp.} \log \sin u$	$= 1,935462 n$
33 1,4	34 3,6			$\text{cp.} \log \Phi$	$= 8,748559$
16 ^h 33' 32",5				$\log F$	$= 0,215674$

$$E = 35^{\circ},0 \quad e = 8^{\circ},0 \quad v = + 9^{\circ},8.$$

Die Durchgänge der Nadel wurden an einer anderen Uhr beobachtet, und auf die Kessel'sche reducirt.

Resultate

für 1829. November 3. 20^h 43'

Breite	$= 55^{\circ} 33' 15''$
Länge	$= 218^{\circ} 24' 57''$
Inclination	$= 75^{\circ} 33',37 \text{ B.}$
Ganze Intens.	$= 1,64314 \text{ A.}$

1829. NOVEMBER 4. 18^h 0' K.

NOERDLICHE GROSSE OCEAN.

Inclination.

Nadel B. 65.

$$I = 77^{\circ} 45',00 \quad I' = 76^{\circ} 11',25 \quad I'' = 75^{\circ} 58',12 \quad I''' = 78^{\circ} 1',87$$

$$I' = 76^{\circ} 59',06$$

$$+ \frac{F}{2} = - 2,11$$

$$- \frac{H}{2} = + 1,93.$$

Intensität.

Inclinations-Nadel A.

18 ^h 8' 0'',0	13' 6'',5	r'	3'',06043	$\log T_0$	$= 0.483272$
8 31,1	12 35,9	$r'E^2.F(z) - 1097$	π		$= 111^{\circ} 59'$
9 1,7	12 5,3	$r'E^2.F'(z) -$	7	$\log \cos(\pi + u)$	$= 9,559637 n$
9 32,8	11 34,2	$r'E^2.F''(z) -$	0	$\text{cp.} \log \sin u$	$= 1,905233 n$
10 2,9	11 4,1			$\text{cp.} \log \Phi$	$= 8.749057$
18 ^h 10' 33'',5				$\log F$	$= 0,213927$

$$E = 30^{\circ},0 \quad e = 4^{\circ},0 \quad v = + 9^{\circ},5.$$

Die Durchgänge der Nadel sind an einer andern Uhr beobachtet, und auf die Kessel'sche reduziert.

Resultate

für 1829. November 4. 22^h 5'

$$\text{Breite} = 56^{\circ} 54' 10''$$

$$\text{Länge} = 221^{\circ} 14' 47''$$

$$\text{Inclination} = 76^{\circ} 58',88 \text{ B.}$$

$$\text{Horiz. Intens.} = 1,63654 \text{ A.}$$

Diese magnetischen Resultate sind zweifelhaft, weil die Beobachtungen zu denselben unter dem Verdecke angestellt wurden.

1829. NOVEMBER 9.

Bei SITCHA vor Anker.

Inclination.

Nadel B. 66.

$$I = 76^{\circ} 52',50 \quad I' = 75^{\circ} 11',00 \quad I'' = 74^{\circ} 45',00 \quad I''' = 76^{\circ} 36',00$$

$$i' = 75^{\circ} 51',12$$

$$+ \frac{F}{2} = - 2,09$$

$$- \frac{H}{2} = + 1,99.$$

Intensität.

Inclinations-Nadel A.

13 ^h 58' 4'',5	3' 7'',5	r'	3'',02591	$\log T_0$	= 0,479067
58 35,1	2 36,4	$r'E^2.F(z) - 1084 \pi$			= 110° 51'
59 5,7	2 7,3	$r'E^4.F'(z) -$	6	$\log \cos(\pi + u)$	= 9,537894 n
59 35,8	1 37,2	$r'E^6.F''(z) -$	0	cp. $\log \sin u$	= 1,935552 n
60 6,4	1 7,1			cp. $\log \phi$	= 8,751185
14 ^h 0'	36'',5			$\log F$	= 0,224631

$$E = 30^{\circ},0 \quad e = 4^{\circ},0 \quad v = + 2^{\circ},0.$$

Resultate

für 1829. November 9. 18^h 39'

$$\text{Breite} = 57^{\circ} 2' 0''$$

$$\text{Länge} = 222^{\circ} 13' 10''$$

$$\text{Inclination} = 75^{\circ} 51',02 \text{ B.}$$

$$\text{Ganze Intens.} = 1,67737 \text{ A.}$$

1829. NOVEMBER 12.

NEU ARCHANGELSK auf SITCHA. Hinter der Kirche.

Inclination.

Nadel B. 67.

$$I = 77^\circ 6',00 \quad I' = 74^\circ 56',12 \quad I'' = 74^\circ 41',00 \quad I''' = 76^\circ 39',88$$

$$i' = 75^\circ 50',75$$

$$+ \frac{F}{2} = - 2,33$$

$$- \frac{H}{2} = + 2,17.$$

Intensität.

Cylindrische Nadel.

16 ^b 28' 51'',6	34' 34'',4	r'	3'',42782	$\log T_0 = 0,533736$
29 26,0	34 0,2	$r'E^2.F(z)$	— 984	$\log A + cd = 0,692117$
30 0,4	33 26,0	$r'E^4.F'(z)$	— 3	$b' f^2 . \lg^2 i = 25$
30 34,6	32 51,7	$r'E^6.F''(z)$	— 0	$\log f = 9,624670$
31 8,8	32 17,6			
16 ^b 31' 43'',4				

$$E = 20^\circ,0 \quad e = 6^\circ,5 \quad v = 0^\circ,0.$$

Prismatische Nadel.

16 ^b 45' 51'',2	54' 12'',4	r'	5'',01055	$\log T_0 = 0,698412$
46 41,6	53 22,4	$r'E^2.F(z)$	— 1601	$\log A' + c'd = 1,019473$
47 31,8	52 32,2	$r'E^4.F'(z)$	— 6	$b' f^2 . \lg^2 i = 21$
48 22,0	51 42,4	$r'E^6.F''(z)$	— 0	$\log f = 9,622670$
49 12,0	50 52,4			
16 ^b 50' 2'',2				

$$E = 20^\circ,0 \quad e = 7^\circ,5 \quad v = + 0^\circ,5.$$

1829. NOVEMBER 12.

NEU ARCHANGELSK auf SITCHA. Hinter der Kirche.

Inclinations-Nadel A.

16 ^h 56' 34",0	61' 33",2	r'	2",99073	$\log T_0$	$= 0,474535$
57 4,0	61 3,7	$r'E^2.F(z)$	— 829	π	$= 110^\circ 51'$
57 35,2	60 33,8	$r'E^4.F'(z)$	— 5	$\log \cos(\pi+u)$	$= 9,538177 n$
58 4,0	60 3,6	$r'E^6.F''(z)$	— 0	$\text{cp.} \log \sin u$	$= 1,944614 n$
58 33,6	59 33,6			$\text{cp.} \log \Phi$	$= 8,752450$
16 ^h 59' 3",6				$\log F$	$= 0,235241$

$$E = 28^\circ,0 \quad e = 3,0 \quad v = 0,0.$$

Resultate

für 1829. November 12. 21^h 29'

Breite	$= 57^\circ 2' 44''$
Länge	$= 222^\circ 14' 20''$
Inclination	$= 75^\circ 50',59 \text{ B.}$
Horiz. Intens.	$= 0,42137 \text{ C.}$
	$= 0,41944 \text{ P.}$
Ganze Intens.	$= 1,71882 \text{ C und P.}$
	$= 1,71882 \text{ A.}$

1829. NOVEMBER 12.

NEU ARCHANGELSK auf SITCHA. Hinter der Kirche.
Während eines Nordlichtes.

Intensität.

Inclinations-Nadel A.

5 ^h 49' 26'',4	52' 26'',2	r'	2'',99357	$\log T_0$	= 0,474485
49 56,4	51 56,0	$r'E^2.F(z) - 1113 \pi$			= 110° 51'
50 26,4	51 26,0	$r'E^4.F'(z) -$	7	$\log \cos(\pi + u)$	= 9,538180 _n
5 ^h 50'	56'',2	$r'E^6.F''(z) -$	0	$\text{cp.} \log \sin u$	= 1,944716 _n
				$\text{cp.} \log \Phi$	= 8,752459
				$\log F_0$	= 0,235355

$$E = 30^\circ,0 \quad e = 4^\circ,07 \quad v = + 0^\circ,5.$$

Cylindrische Nadel.

6 ^h 5' 7'',8	10' 50'',6	r'	3'',42982	$\log T_0$	= 0,533575
5 42,0	10 16,4	$r'E^2.F(z) - 1271$		$\log A + cd$	= 0,692125
6 16,4	9 42,4	$r'E^4.F'(z) -$	5	$b f^2. t g^2 i$	= 25
6 51,0	9 8,2	$r'E^6.F''(z) -$	0	$\log f$	= 9,625000
7 25,0	8 33,8				
6 ^h 7'	59'',2				

$$E = 20^\circ,0 \quad e = 9^\circ,0 \quad v = + 0^\circ,5.$$

Resultate

für 1829. November 12. 10^h 40' beim Nordlicht.

Breite	= 57° 2' 44''
Länge	= 222° 14' 20''
Horiz. Intens.	= 0,42170 C um 10 ^h 47'
Ganze Intens.	= 1,71932 A um 10 ^h 30'

1829. NOVEMBER 20. 21^h 38' W. Zt.

NOERDLICHE GROSSE OCEAN.

Inclination.

Nadel B. 68.

$$I = 74^{\circ} 41',15 \quad I' = 73^{\circ} 5',62 \quad I'' = 72^{\circ} 55',50 \quad I''' = 73^{\circ} 42',00$$

$$i' = 73^{\circ} 36',07$$

$$+ \frac{F}{2} = - 0,52$$

$$- \frac{H}{2} = + 0,71.$$

Intensität.

Inclinations-Nadel A.

17 ^h 2' 38'',0	6' 42'',0	r	3'',04667	$\log T_0$	$= 0,481635$
3 9,0	6 11,5	$rE^2.F(z)$	— 1227	π	$= 108^{\circ} 36'$
3 40,0	5 42,0	$rE^4.F'(z)$	— 8	$\log \cos(\pi+u)$	$= 9,489920 n$
4 10,5	5 11,0	$rE^6.F''(z)$	— 0	$\text{cp.} \log \sin u$	$= 1,978037 n$
17 ^h 4' 41'',5				$\text{cp.} \log \Phi$	$= 8,752734$
				$\log F$	$= 0,220691$

$$E = 30^{\circ},0 \quad e = 4^{\circ},75 \quad v = + 4^{\circ},0.$$

Resultate

für 1829. November 20. 21^h 24'

Breite	$= 54^{\circ} 26' 41''$
Länge	$= 218^{\circ} 40' 54''$
Inclination	$= 73^{\circ} 36',26 \text{ B.}$
Ganze Intens.	$= 1,66223 \text{ A.}$

1829. NOVEMBER 29. 19^h 55' K.

NOERDLICHE GROSSE OCEAN.

Inclination.

Nadel B. 69.

 $I = 67^{\circ} 39',00$ $I' = 66^{\circ} 0',00$ I'' und I''' wurden nicht beobachtet.

Nach den nächsten Beobachtungen:

$$i' = \frac{I + I'}{2} - 9',40 = 66^{\circ} 40',10$$

$$+ \frac{F - II}{2} = - 0,15.$$

Intensität.

Inclinations-Nadel A.

20 ^h	2'	5'',0	6'	15'',9	r'	3'',13685	$\log T_0$	$= 0,493732$
2	36,0	5	45,4	$r'E^2.F(z)$	— 1301	π	$= 101^{\circ} 40'$	
3	7,5	5	12,0	$r'E^4.F''(z)$	— 8	$\log \cos(\pi+u)$	$= 9,290718_n$	
3	40,0	4	41,3	$r'E^6.F''(z)$	— 0	$\text{cp. log. sin } u$	$= 2,151759_n$	
20 ^h	4'	10'',6				$\text{cp. log. } \Phi$	$= 8,753054$	
						$\log F$	$= 0,195531$	

 $E = 30^{\circ},0$ $e = 5^{\circ},5$ $v = + 8^{\circ},66.$

Resultate

für 1829. November 29. 1^h 16'

Breite	$= 43^{\circ} 18' 29''$
Länge	$= 227^{\circ} 44' 42''$
Inclination	$= 66^{\circ} 39',95$ B.
Ganze Intens.	$= 1,56876$ A.

1829. NOVEMBER 30. 17^h 55' K.

NOERDLICHE GROSSE OCEAN.

Inclination.

Nadel B. 70.

$$\begin{aligned}
 I &= 65^{\circ} 10',00 & I' &= 62^{\circ} 48',13 & I'' &= 63^{\circ} 9',62 & I''' &= 64^{\circ} 42',50 \\
 & & i' &= 63^{\circ} 57',56 \\
 & + \frac{F}{2} &= & - 1,27 \\
 & - \frac{H}{2} &= & + 0,78.
 \end{aligned}$$

Intensität.

Inclinations-Nadel A.

$$\begin{array}{rcll}
 17^h 59' 22'',5 & 2' 33'',0 & r' & 3'',17679 \log T_0 & = 0,498187 \\
 59 & 54,5 & 2 & 1,5 & r'E^2.F(z) - 2067 \pi & = 98^{\circ} 57' \\
 60 & 26,5 & 1 & 30,5 & r'E^4.F'(z) - 19 \log \cos(\pi+u) & = 9,176386 n \\
 18^h & 0' & 58'',0 & & r'E^6.F''(z) - 0 \text{ cp. log. sin } u & = 2,256733 n \\
 & & & & \text{cp. log } \Phi & = 8,753129 \\
 & & & & \log F & = 0,186250
 \end{array}$$

$$E = 33^{\circ},0 \quad e = 8^{\circ},1 \quad v = + 9^{\circ},33.$$

$$\begin{array}{rcll}
 18^h 9' 12'',5 & 13' 58'',0 & r' & 3'',17302 \log T_0 & = 0,498718 \\
 9 & 44,0 & 13 & 26,5 & r'E^2.F(z) - 1314 \pi & = 98^{\circ} 57' \\
 10 & 16,0 & 12 & 54,5 & r'E^4.F'(z) - 10 \log \cos(\pi+u) & = 9,176344 n \\
 10 & 47,5 & 12 & 22,5 & r'E^6.F''(z) - 0 \text{ cp. log. sin } u & = 2,255673 n \\
 11 & 19,0 & 11 & 50,0 & \text{cp. log } \Phi & = 8,753129 \\
 & & & & \log F & = 0,185146
 \end{array}$$

$$E = 33^{\circ},0 \quad e = 4^{\circ},0 \quad v = + 9^{\circ},33.$$

Resultate

für 1829. November 30. 23^h 29'

$$\begin{aligned}
 \text{Breite} &= 40^{\circ} 3' 25'' \\
 \text{Länge} &= 231^{\circ} 0' 14'' \\
 \text{Inclination} &= 63^{\circ} 57',07 \text{ B.} \\
 \text{Ganze Intens.} &= 1,53550 \text{ A.} \\
 &= 1,53160 \text{ A.}
 \end{aligned}$$

1829. DECEMBER 1. 16^h 50' K.

NOERDLICHE GROSSE OCEAN.

Inclination.

Nadel B. 71.

$$\begin{aligned}
 I &= 65^{\circ} 41',87 & I' &= 62^{\circ} 48',75 & I'' &= 63^{\circ} 54',12 & I''' &= 62^{\circ} 33',75 \\
 & & i' &= 63^{\circ} 44',62 \\
 & + \frac{F}{2} & = & + 0,58 \\
 & - \frac{H}{2} & = & + 1,50.
 \end{aligned}$$

Intensität.

Inclinations-Nadel A.

$$\begin{array}{llll}
 16^h 55' 54'',0 & 58' 34'',0 & r' & 3'',20143 \log T_0 = 0,502160 \\
 56 & 26,5 & 58 & 2,5 & r'E^2.F(z) - 1639 \pi = 98^{\circ} 47' \\
 56 & 58,0 & 57 & 30,5 & r'E^4.F'(z) - 13 \log \cos(\pi+u) = 9,167983 n \\
 & & & & r'E^4.F''(z) - 0 \text{ cp.} \log \sin u = 2,256888 n \\
 & & & & \text{cp.} \log \Phi = 8,753166 \\
 & & & & \log F = 0,178037
 \end{array}$$

$$E = 31^{\circ},0 \quad e = 12^{\circ},5 \quad v = +9^{\circ},3.$$

$$\begin{array}{llll}
 17^h 0' 33'',0 & 5' 53'',5 & r' & 3'',20545 \log T_0 = 0,501340 \\
 1 & 5,0 & 5 & 22,0 & r'E^2.F(z) - 2623 \pi = 98^{\circ} 47' \\
 1 & 37,0 & 4 & 49,5 & r'E^4.F'(z) - 32 \log \cos(\pi+u) = 9,168050 n \\
 2 & 9,0 & 4 & 16,5 & r'E^4.F''(z) - 1 \text{ cp.} \log \sin u = 2,258528 n \\
 2 & 40,5 & 3 & 43,5 & \text{cp.} \log \Phi = 8,753166 \\
 17^h & 3' & 12'',5 & & \log F = 0,179744
 \end{array}$$

$$E = 40^{\circ},0 \quad e = 8^{\circ},0 \quad v = +9^{\circ},3.$$

Resultate

für 1829. December 1. 22^h 31'

$$\begin{aligned}
 \text{Breite} &= 39^{\circ} 12' 9'' \\
 \text{Länge} &= 232^{\circ} 49' 19'' \\
 \text{Inclination} &= 63^{\circ} 46',70 \\
 \text{Ganze Intens.} &= 1,50673 \quad \text{A.} \\
 &= 1,51266 \quad \text{A.}
 \end{aligned}$$

1829. DECEMBER 2. 11^h 40' K.

NÖRDLICHE GROSSE OCEAN.

Intensität.

Nadel B. 72.

$$I = 64^{\circ} 58',50 \quad I' = 63^{\circ} 23',25 \quad I'' = 61^{\circ} 25',50 \quad I''' = 64^{\circ} 57',72$$

$$I' = 63^{\circ} 41',24$$

$$+ \frac{F}{2} = - 1,84$$

$$- \frac{H}{2} = + 2,29.$$

Intensität.

Inclinations-Nadel A.

11 ^h 25' 30'',5	29' 10'',0	r'	3'',15477	$\log T_0$	$= 0,493517$
26 2,0	28 41,5	$r'E^2.F(z)$	— 3313	π	$= 98^{\circ} 42'$
26 34,5	28 9,0	$r'E^4.F'(z)$	— 39	$\log \cos(\pi+u)$	$= 9,164493 n$
27 5,5	27 38,0	$r'E^6.F''(z)$	— 0	$\text{cp. log. sin } u$	$= 2,278281 n$
				$\text{cp. log } \phi$	$= 8,753200$
				$\log F$	$= 0,193974$

$$E = 35,0^{\circ} \quad e = 14^{\circ},4 \quad v = + 8^{\circ},0.$$

Resultate

für 1829. December 2. 17^h 22'

Breite	=	38° 0' 13"
Länge	=	233° 5' 12"
Inclination	=	63° 41',69 B.
Ganze Intens.	=	1,57027 A.

1829. DECEMBER 11.

Bei SAN-FRANCISCO am Strande.

Inclination.

Nadel B. 73.

$$\begin{aligned}
 I &= 63^\circ 29',62 & I' &= 62^\circ 30',50 & I'' &= 60^\circ 54',12 & I''' &= 63^\circ 38',12 \\
 & & i' &= 62^\circ 38',09 \\
 + \frac{F}{2} &= & - 0,94 \\
 - \frac{H}{2} &= & + 0,73.
 \end{aligned}$$

Intensität.

Cylindrische Nadel.

17 ^h 33' 32",5	37' 55",0	r'	2',62791	$\log T_0 = 0,417524$
33 59,0	37 29,4	$r'E^2.F(z)$	— 710	$\log A + cd = 0,692687$
34 25,0	37 3,2	$r'E^4.F'(z)$	— 2	$b f^2.tg^2 i = 18$
34 52,0	36 36,8	$r'E^6.F''(z)$	— 0	$\log f = 9,857657$
35 18,0	36 10,4			
17 ^h 35' 44",0				

$E = 20^\circ,0 \quad c = 6^\circ,0 \quad v = + 9^\circ,0.$

Prismatische Nadel.

17 ^h 47' 24",0	52' 31",2	0,8 r'	3,07127	$\log T_0 = 0,582102$
47 54,8	52 0,4	0,8 $r'E^2.F(z)$	— 830	$\log A' + c'd = 1,019004$
48 25,6	51 30,0	0,8 $r'E^4.F'(z)$	— 3	$b' f'^2.tg^2 i = 15$
48 56,4	50 59,2	0,8 $r'E^6.F''(z)$	— 0	$\log f = 9,854815$
49 27,2	50 28,4			
17 ^h 49' 58",0				

$E = 20^\circ,0 \quad c = 6^\circ,0 \quad v = + 9^\circ,0.$

Die vorstehenden Durchgangsmomente traten nach je 8 Schwingungen der Nadel ein.

1829. DECEMBER 11.

Bei SAN-FRANCISCO am Strande.

Inclinations-Nadel A.

17 ^h 11' 31",0	16' 44",5	r'	3",13682	$\log T_0$	= 0,494954
12 2,5	16 13,5	$r'E^2.F(z)$	— 450	π	= 97° 38'
12 34,5	15 43,0	$r'E^2.F'(z)$	— 3	$\log \cos(\pi+u)$	= 9,107941 n
13 5,5	15 11,0	$r'E^2.F''(z)$	— 0	$\text{cp.} \log \sin u$	= 2,331828 n
13 37,0	14 39,5			$\text{cp.} \log \phi$	= 8,753583
17 ^h 14' 8",0				$\log F$	= 0,193352

$$E = 30^{\circ},0 \quad e = 0^{\circ},5 \quad v = + 9^{\circ},0.$$

Resultate

für 1829. December 11. 23^h 30'

Breite	=	37° 48' 44"
Länge	=	235° 15' 0"
Inclination	=	62° 37',88 B.
Horiz. Intens.	=	0,72045 C.
	=	0,71584 P.
Ganze Intens.	=	1,56227 C und P.
	=	1,56082 A.

1829. DECEMBER 13.

Bei SAN-FRANCISCO am Strande..

Intensität.

Cylindrische Nadel.

16 ^h 39' 36",0	43' 59",2	r'	2",63927	$\log T_o$	= 0,419086
40 2,0	43 33,6	$r'E^2.F(z)$	— 843	$\log A + c'd$	= 0,692668
40 28,0	43 7,2	$r'E^4.F'(z)$	— 3	$b f^2.tg^2 i$	= 18
40 55,2	42 40,8	$r'E^6.F''(z)$	— 0	$\log f$	= 9,854514
41 22,0	42 14,0				
16 ^h 41' 48",0					

$$E = 20^{\circ},0 \quad e = 7^{\circ},5 \quad v = + 10^{\circ},0.$$

Prismatische Nadel.

16 ^h 50' 45",6	57' 9",2	r'	3",83564	$\log T_o$	= 0,581302
51 24,4	56 31,2	$r'E^2.F(z)$	— 1346	$\log A' + c'd$	= 1,018988
52 3,2	55 53,2	$r'E^4.F'(z)$	— 5	$b f^2.tg i$	= 15
52 41,6	55 15,2	$r'E^6.F''(z)$	— 0	$\log f$	= 9,856399
53 20,0	54 36,8				
16 ^h 53' 58",4					

$$E = 20^{\circ},0 \quad e = 8^{\circ},5 \quad v = + 10^{\circ},0.$$

Resultate

für 1829. December 13. 22^h 40'

Breite	= 37° 48' 44"
Länge	= 235° 15' 0"
Horiz. Intens.	= 0,71534 C.
	= 0,71845 P.
Ganze Intens.	= 1,53926 C und P.

1829. DECEMBER 29. 13^h 30^m K.

NOERDLICHE GROSSE OCEAN.

Inclination.

Nadel B. 74.

$$I = 57^{\circ} 49',21 \quad I' = 55^{\circ} 46',87 \quad I'' = 54^{\circ} 44',53 \quad I''' = 56^{\circ} 41',72$$

$$i' = 56^{\circ} 13',38$$

$$+ \frac{F}{2} = - 0,80$$

$$- \frac{H}{2} = + 0,36.$$

Intensität.

Inclinations-Nadel A.

13 ^h 43' 2'',4	46' 19'',2	r'	3'',27500	$\log T_0$	= 0,512037
43 33,6	45 46,2	$r'E^2.F(z)$	- 1706	π	= 91° 15'
44 8,4	45 13,8	$r'E^4.F'(z)$	- 13	$\log \cos(\pi+u)$	= 8,321936 n
13 ^h 44' 42'',0		$r'E^6.F''(z)$	- 0	cp. $\log \sin u$	= 3,082175 n
				cp. $\log \phi$	= 8,746441
				$\log F$	= 0,130532

$$E = 30^{\circ},0 \quad e = 7^{\circ},0 \quad v = + 8^{\circ},9.$$

13 ^h 48' 12'',8	51' 30'',0	r'	3'',29607	$\log T_0$	= 0,513899
48 45,4	50 58,0	$r'E^2.F(z)$	- 2405	π	= 91° 15'
49 18,7	50 24,8	$r'E^4.F'(z)$	- 31	$\log \cos(\pi+u)$	= 8,321810 n
13 ^h 49' 52'',0		$r'E^6.F''(z)$	- 0	cp. $\log \sin u$	= 3,078491 n
				cp. $\log \phi$	= 8,746441
				$\log F$	= 0,146742

$$E = 35^{\circ},0 \quad e = 8^{\circ},5 \quad v = + 8^{\circ},9.$$

Resultate

für 1829. December 29. 19^h 2'

$$\text{Breite} = 31^{\circ} 50' 34''$$

$$\text{Länge} = 231^{\circ} 54' 32''$$

$$\text{Inclination} = 56^{\circ} 13',34 \text{ B.}$$

$$\text{Ganze Intens.} = 1,41434 \text{ A.}$$

$$= 1,40198 \text{ A.}$$

1829. DECEMBER 30. 16^h 0' K.

NOERDLICHE GROSSE OCEAN.

Inclination.

Nadel B. 75.

$$\begin{aligned}
 I &= 56^{\circ} 3',72 & I' &= 54^{\circ} 16',71 & I'' &= 54^{\circ} 15',40 & I''' &= 55^{\circ} 36',47 \\
 & & i' &= 55^{\circ} 3',07 \\
 + \frac{F}{2} &= & - 0,73 \\
 - \frac{H}{2} &= & + 0,24.
 \end{aligned}$$

Intensität.

Inclinations-Nadel. A.

16 ^h 0' 57",2	5' 23",6	r'	3",32600	$\log T_0$	$= 0,518839$
1 31,2	4 50,8	$r'E^2.F(z) - 1410 \pi$			$= 90^{\circ} 3'$
2 4,8	4 17,2	$r'E^4.F'(z) - 12 \log \cos(\pi + u)$			$= 6,923311 n$
2 38,0	3 44,4	$r'E^6.F''(z) - 0 \text{ cp. log. sin } u$			$= 4,466317 n$
16 ^h 3' 11",6				$\text{cp. log } \psi$	$= 8,743980$
				$\log F$	$= 0,136008$

$E = 34^{\circ},0 \quad e = 4^{\circ},0 \quad v = + 12^{\circ},5.$

Resultate

für 1829. December 30. 21^h 38'

Breite	=	30° 31' 20"
Länge	=	233° 17' 36"
Inclination	=	55° 2',58 B.
Ganze Intens.	=	1,36775 A.

1829. JANUAR 1. 15^h 0' K.

NOERDLICHE GROSSE OCEAN.

Inclination.

Nadel B. 76.

$$I = 54^{\circ} 25',07 \quad I' = 53^{\circ} 11',78 \quad I'' = 52^{\circ} 46',07 \quad I''' = 53^{\circ} 33',21$$

$$i' = 53^{\circ} 29',03$$

$$+ \frac{F}{2} = - 0,16$$

$$- \frac{H}{2} = + 0,11.$$

Intensität

Inclinations-Nadel A.

15 ^h 10' 54",4	13 35",6	i'	3'',33467	$\log T_0$	= 0,519800
11 29,4	13 23,0	$i'E^2.F(z)$	— 1578	π	= 88° 29'
12 4,8	14 50,4	$i'E^4.F'(z)$	—	14 $\log \cos(\pi+u)$	= 8,405298
12 38,6	14 17,2	$i'E^6.F''(z)$	—	0 $\text{cp.} \log \sin u$	= 2,982725
13 12,0	13 44,4			$\text{cp.} \log \psi$	= 8,744148
				$\log F$	= 0,132171

$$E = 35^{\circ},0 \quad e = 4^{\circ},37 \quad v = + 12^{\circ},0.$$

Resultate

für 1829. Januar 1. 20^h 49'

$$\text{Breite} = 29^{\circ} 3' 53''$$

$$\text{Länge} = 235^{\circ} 58' 39''$$

$$\text{Inclination} = 53^{\circ} 28',98 \text{ B.}$$

$$\text{Ganze Intens.} = 1,35573 \text{ A.}$$

1830. JANUAR 2. 12^h 45' K.

NOERDLICHE GROSSE OCEAN.

Inclination.

Nadel B. 77.

$$\begin{aligned}
 I &= 53^{\circ} 58',75 & I' &= 52^{\circ} 25',54 & I'' &= 52^{\circ} 11',62 & I''' &= 53^{\circ} 20',62 \\
 & & i' &= 52^{\circ} 59',13 \\
 & + \frac{F}{2} &= & - 0,45 \\
 & - \frac{H}{2} &= & + 0,13.
 \end{aligned}$$

Intensität

Inclinations-Nadel A.

$$\begin{array}{rcl}
 13^h 10' 22'',8 & 13' 43'',2 & r' \quad 3'',33429 \log T_0 = 0,517318 \\
 10' 56,4 & 13' 9,6 & r'E^2.F(z) - 3262 \pi = 87^{\circ} 59' \\
 11' 30,4 & 12' 36,4 & r'E^4.F'(z) - 36 \log \cos(\pi+u) = 8,529213 \\
 13^h 12' 3'',6 & & r'E^6.F''(z) - 0 \text{ cp.} \log \sin u = 2,863984 \\
 & & \text{cp.} \log \Phi = 8,743782 \\
 & & \log F = 0,136979
 \end{array}$$

$$E = 35^{\circ},0 \quad c = 13^{\circ},0 \quad v = + 14^{\circ},0.$$

Resultate

für 1830. Januar 2. 18^h 36'

$$\begin{aligned}
 \text{Breite} &= 28^{\circ} 40' 58'' \\
 \text{Länge} &= 236^{\circ} 34' 45'' \\
 \text{Inclination} &= 52^{\circ} 58',83 \text{ B.} \\
 \text{Horiz. Intens.} &= 1,37081 \text{ A.}
 \end{aligned}$$

1830. JANUAR 2. 15^h 5' K.

NOERDLICHE GROSSR OCEAN.

Intensität.

Inclinations-Nadel A.

15 ^h 0' 16",0	4' 43",2	r'	3'',33917	log T ₀	= 0,519003
0 50,0	4 10,4	r'E ² .F (z) — 2463	π		= 87° 55'
1 23,8	3 37,3	r'E ⁴ .F' (z) — 30	log cos(π+u)		= 8,543197
1 57,3	3 3,8	r'E ⁴ .F''(z) — 0	cp.log sin u		= 2,846496
15 ^h 2'	30'',6		cp.log Φ		= 8,743746
			log F		= 0,133439

$$E = 40^{\circ},0 \quad c = 6^{\circ},66 \quad v = + 14^{\circ},0.$$

15 ^h 6' 23'',6	10' 49'',6	r'	3'',33000	log T ₀	= 0,517825
6 57,2	10 17,2	r'E ² .F (z) — 2455	π		= 87° 55'
7 31,0	9 44,4	r'E ⁴ .F' (z) — 29	log cos(π+u)		= 8,543291
8 4,2	9 11,4	r'E ⁴ .F''(z) — 0	cp.log sin u		= 2,848852
15 ^h 8'	38'',0		cp.log Φ		= 8,743746
			log F		= 0,135889

$$E = 40^{\circ},0 \quad c = 6^{\circ},66 \quad v = + 14^{\circ},0.$$

Resultate

für 1830. Januar 2. 21^h 0'

Breite	= 28° 35' 8"
Länge	= 236° 39' 25"
Ganze Intens.	= 1,35969 A.
	= 1,36738 A.

1830. JANUAR 4. 21^h 55' K.

NOERDLICHE GROSSE OCEAN.

Inclination.

Nadel B. 78.

$$I = 53^{\circ} 24',37 \quad I' = 51^{\circ} 48',00 \quad I'' = 51^{\circ} 11',70 \quad I''' = 52^{\circ} 11',62$$

$$i' = 52^{\circ} 8',92$$

$$+ \frac{F}{2} = - 0,23$$

$$- \frac{H}{2} = + 0,06.$$

Intensität.

Inclinations-Nadel A.

22 ^h 1' 46'',0	6' 16'',0	r'	$3'',36167 \log T_0$	$= 0,523181$
2 20,4	5 42,4	$r'E^2.F(z) - 1426 \pi$		$= 87^{\circ} 9'$
2 54,4	5 8,8	$r'E^4.F'(z) - 13 \log \cos(\pi+u)$		$= 8,678611$
3 28,4	4 35,6	$r'E^6.F''(z) - 0 \text{ cp.} \log \sin u$		$= 2,702137$
22 ^h 4'	2'',0		$\text{cp.} \log \Phi$	$= 8,742792$
			$\log F$	$= 0,123540$

$$E = 35^{\circ},0 \quad e = 3^{\circ},5 \quad v = + 15^{\circ},5.$$

Resultate

für 1830. Januar 4. 3^h 56'

Breite	$= 28^{\circ} 4' 9''$
Länge	$= 236^{\circ} 42' 52''$
Inclination	$= 52^{\circ} 8',75 \text{ B.}$
Horiz. Intens.	$= 1,32903 \text{ A.}$

1830. JANUAR 5. 15^h 55' K.

NOERDLICHE GROSSE OCEAN.

Inclination.

Nadel B. 79.

$$I = 51^{\circ} 31',86 \quad I' = 49^{\circ} 42',85 \quad I'' = 49^{\circ} 16',50 \quad I''' = 50^{\circ} 25',14$$

$$i' = 50^{\circ} 14',09$$

$$+ \frac{F}{2} = - 0,42$$

$$- \frac{H}{2} = + 0,13.$$

Intensität.

Inclinations-Nadel A.

16 ^h 3' 48'',0	7' 42'',8	r'	3'',35477	$\log T_0$	= 0,522762
4 22,0	7 9,8	$r'E^2.F(z) - 1135 \pi$			= 85° 14'
4 55,8	6 36,4	$r'E^4.F'(z) - 10 \log \cos(\pi+u)$			= 8,901981
5 29,2	6 2,8	$r'E^6.F''(z) - 0 \text{ cp.} \log \sin u$			= 2,479927
		$\text{cp.} \log \Phi$			= 8,742480
		$\log F$			= 0,124388

$$E = 35^{\circ},0 \quad e = 2^{\circ},0 \quad v = + 14^{\circ},5.$$

16 ^h 10' 8'',6	14' 3'',6	r'	3'',35714	$\log T_0$	= 0,523096
10 42,8	13 30,6	$r'E^2.F(z) - 1137 \pi$			= 85° 14'
11 16,4	12 57,2	$r'E^4.F'(z) - 10 \log \cos(\pi+u)$			= 8,901948
11 50,0	12 23,6	$r'E^6.F''(z) - 0 \text{ cp.} \log \sin u$			= 2,479059
		$\text{cp.} \log \Phi$			= 8,742480
		$\log F$			= 0,123487

$$E = 35^{\circ},0 \quad e = 2^{\circ},0 \quad v = + 14^{\circ},5.$$

Resultate

für 1830. Januar 5. 21^h 47'

Breite	=	26° 36' 25''
Länge	=	236° 42' 12''
Inclination	=	50° 13',80 B.
Ganze Intens.	=	1,33101 A.
	=	1,32826 A.

1830. JANUAR 6. 15^h 10' K.

NOERDLICHE GROSSE OCEAN.

Inclination.

Nadel B. 80.

$$\begin{aligned}
 I &= 50^\circ 2',23 & I' &= 48^\circ 54',36 & I'' &= 48^\circ 44',25 & I''' &= 49^\circ 30',00 \\
 & & i' &= 49^\circ 17',71 \\
 & + \frac{F}{2} &= & - 0,20 \\
 & - \frac{H}{2} &= & + 0,04.
 \end{aligned}$$

Intensität.

Inclinations-Nadel A.

15 ^h 25' 17'',6	29' 17'',4	r'	$3'',42428 \log T_0$	$= 0,531493$
25 52,4	28 43,6	$r'E^2.F(z) - 1404 \pi$	$= 84^\circ 18'$	
26 27,2	28 19,6	$r'E^4.F'(z) - 16 \log \cos(\pi + u)$	$= 8,978730$	
27 1,2	27 35,8	$r'E^6.F''(z) - 0 \text{ cp.} \log \sin u$	$= 2,385020$	
		$\text{cp.} \log \Phi$	$= 8,742078$	
		$\log F$	$= 0,105828$	

$$E = 40^\circ,0 \quad e = 2^\circ,0 \quad v = + 13^\circ,0.$$

Resultate

für 1830. Januar 6. 21^h 1'

$$\begin{aligned}
 \text{Breite} &= 25^\circ 59' 43'' \\
 \text{Länge} &= 236^\circ 28' 12'' \\
 \text{Inclination} &= 49^\circ 17',55 \text{ B.} \\
 \text{Ganze Intens.} &= 1,27593 \text{ A.}
 \end{aligned}$$

1830. JANUAR 7. 15^h 48' K.

NOERDLICHE GROSSE OCEAN.

Inclination.

Nadel B. 81.

$$I = 49^{\circ} 37',86 \quad I' = 47^{\circ} 52',86 \quad I'' = 47^{\circ} 6',00 \quad I''' = 48^{\circ} 50',64$$

$$I' = 48^{\circ} 21',84$$

$$+ \frac{F}{2} = - 0,64$$

$$- \frac{H}{2} = + 0,11.$$

Intensität.

Inclinations-Nadel A.

15 ^h 58' 14",4	62' 11",2	r'	3'',38500	$\log T_0$	$= 0,525726$
58 48,4	61 38,0	$r'E^2.F(z)$	— 1955	π	$= 83^{\circ} 21'$
59 23,0	61 4,4	$r'E^4.F'(z)$	— 18	$\log \cos(\pi+u)$	$= 9,045932$
59 57,2	60 30,8	$r'E^6.F''(z)$	— 0	$\text{cp.} \log \sin u$	$= 2,329866$
				$\text{cp.} \log \Phi$	$= 8,741646$
				$\log F$	$= 0,117444$

$$E = 35^{\circ},0 \quad e = 6^{\circ},0 \quad v = + 13^{\circ},2.$$

16 ^h 10' 19",6	14' 17",0	r'	3'',38786	$\log T_0$	$= 0,526138$
10 54,0	13 43,2	$r'E^2.F(z)$	— 1917	π	$= 83^{\circ} 21'$
11 28,0	13 9,4	$r'E^4.F'(z)$	— 18	$\log \cos(\pi+u)$	$= 9,045890$
12 2,0	12 35,8	$r'E^6.F''(z)$	— 0	$\text{cp.} \log \sin u$	$= 2,329002$
				$\text{cp.} \log \Phi$	$= 8,741646$
				$\log F$	$= 0,116538$

$$E = 35^{\circ},0 \quad e = 6^{\circ},0 \quad v = + 13^{\circ},2.$$

Resultate

für 1830. Januar 7. 21^h 38'

Breite	$= 25^{\circ} 21' 27''$
Länge	$= 236^{\circ} 11' 26''$
Inclination	$= 48^{\circ} 21',31 \text{ B.}$
Ganze Intens.	$= 1,31052 \text{ A.}$
	$= 1,307.9 \text{ A}$

1830. JANUAR 9. 19^h 15' K.

NOERDLICHE GROSSE OCEAN.

Inclination.

Nadel B. 82.

$$\begin{aligned}
 I &= 45^{\circ} 58',11 & I' &= 45^{\circ} 19',65 & I'' &= 44^{\circ} 36',00 & I''' &= 45^{\circ} 24',00 \\
 & & \dot{I}' &= 45^{\circ} 19',44 \\
 & + \frac{F}{2} &= & - 0,02 \\
 & - \frac{H}{2} &= & + 0,00.
 \end{aligned}$$

Intensität.

Inclinations - Nadel A.

$$\begin{array}{llll}
 19^h 22' 17'',8 & 25' 45'',4 & r' & 3,44857 \log T_0 = 0,534642 \\
 22 & 52,8 & 25 & 10,0 & r'E^2.F(z) - 1286 \pi = 80^{\circ} 19' \\
 23 & 27,0 & 24 & 35,4 & r'E^4.F'(z) - 12 \log \cos(\pi+u) = 9,207418 \\
 19^h & 24' & 1,2 & & r'E^4.F''(z) - 0 \text{ cp. log sin } u = 2,149925 \\
 & & & & \text{cp. log } \Phi = 8,741811 \\
 & & & & \log F = 0,099154
 \end{array}$$

$$E = 35^{\circ},0 \quad e = 2^{\circ},5 \quad v = + 14^{\circ},0.$$

$$\begin{array}{llll}
 19^h 27' 27'',6 & 30' 19'',6 & r' & 3,43543 \log T_0 = 0,533428 \\
 28 & 2,4 & 29 & 45,2 & r'E^2.F(z) - 927 \pi = 80^{\circ} 19' \\
 28 & 37,2 & 29 & 11,2 & r'E^4.F'(z) - 9 \log \cos(\pi+u) = 9,207525 \\
 & & & & r'E^4.F''(z) - 0 \text{ cp. log sin } u = 2,152353 \\
 & & & & \text{cp. log } \Phi = 8,741811 \\
 & & & & \log F = 0,101689
 \end{array}$$

$$E = 35^{\circ},0 \quad e = 1^{\circ},0 \quad v = + 14^{\circ},0.$$

Resultate

für 1830. Januar 9. 1^h 3'

$$\begin{aligned}
 \text{Breite} &= 23^{\circ} 12' 26'' \\
 \text{Länge} &= 235^{\circ} 49' 9'' \\
 \text{Inclination} &= 45^{\circ} 19',42 \text{ B.} \\
 \text{Ganze Intens.} &= 1,25647 \text{ A.} \\
 &= 1,26383 \text{ A.}
 \end{aligned}$$

1830. JANUAR 9. 0^h 45' K.

NOERDLICHE GROSSE OCEAN.

Inclination.

Nadel B. 83.

$$I = 44^{\circ} 41',46 \quad I' = 43^{\circ} 33',60 \quad I'' = 43^{\circ} 35',22 \quad I''' = 45^{\circ} 18',00$$

$$i' = 44^{\circ} 17',07$$

$$-\frac{F}{2} = -0,51$$

$$+\frac{H}{2} = -0,01.$$

Intensität.

Inclinations-Nadel A.

Wegen fehlerhaften Steuern: bei $\alpha = 8^{\circ},5$, nach [13.] S. 44.

0 ^h 45' 36'',8	50' 16'',4	r'	3'',49733	$\log T_0$	= 0,539361
46 12,4	49 42,0	$r'E^2.F(z) -$	2424	$\lg \chi$	= 1,373122
46 47,6	49 8,2	$r'E^4.F'(z) -$	29	$\log(2\sin\frac{2\chi}{2}\sec\chi)$	= 1,354731
47 23,2	48 33,2	$r'E^6.F''(z) -$	0	$\log\frac{n}{m^2}$	= 9,995247
0 ^h 47' 58'',2				$\text{cp.} \log \Phi$	= 8,740817
				$\log F$	= 0,090795

$$E = 40^{\circ},0 \quad e = 6^{\circ},0 \quad v = +13^{\circ},5.$$

Inclinations-Nadel A.

0 ^h 50' 36'',4	54' 4'',6	r'	3'',46930	$\log T_0$	= 0,535510
51 11,6	53 30,4	$r'E^2.F(z) -$	2682	π	= 79^{\circ} 17'
51 46,4	52 55,6	$r'E^4.F'(z) -$	33	$\log \cos(\pi+u)$	= 9,250966
0 ^h 52' 21'',2		$r'E^6.F''(z) -$	1	$\text{cp.} \log \cos u$	= 2,104620
				$\text{cp.} \log \Phi$	= 8,740817
				$\log F$	= 0,096403

$$E = 40^{\circ},0 \quad e = 7^{\circ},0 \quad v = +13^{\circ},5.$$

Resultate

für 1830. Januar 9. 6^h 33'

$$\text{Breite} = 22^{\circ} 59' 58''$$

$$\text{Länge} = 235^{\circ} 45' 7''$$

$$\text{Inclination} = 44^{\circ} 16',55 \text{ B.}$$

$$\text{Ganze Intens.} = 1,23252 \text{ A.}$$

$$= 1,24854 \text{ A.}$$

1830. JANUAR 9. 15^h 40' K.

NOERDLICHE GROSSE OCEAN.

Inclination.

Nadel B. 84.

$$I = 42^{\circ} 28',80 \quad I' = 41^{\circ} 31',08 \quad I'' = 41^{\circ} 51',42 \quad I''' = 43^{\circ} 10',92$$

$$i' = 42^{\circ} 15',35$$

$$+ \frac{F}{2} = - 0,27$$

$$- \frac{H}{2} = - 0,04.$$

Intensität.

Inclinations-Nadel A.

15 ^h 44' 49'',2	50' 4'',0	r'	3'',49176	log T.	= 0,540065
45 24,4	49 28,4	$r'E^2.F(z)$	— 1275	π	= 77° 15'
46 0,0	48 54,4	$r'E^4.F'(z)$	— 10	log cos ($\pi+u$)	= 9,325103
46 34,8	48 19,4	$r'E^6.F''(z)$	— 0	cp. log sin u	= 2,021115
47 10,0	47 44,4			cp. log Φ	= 8,741813
				log F	= 0,088031

$$E = 35^{\circ},0 \quad e = 2^{\circ},66 \quad v = + 14^{\circ},2.$$

Resultate

für 1830. Januar 9. 21^h 27'

$$\text{Breite} \quad \approx 21^{\circ} 3' 37''$$

$$\text{Länge} \quad = 235^{\circ} 29' 35''$$

$$\text{Inclination} \quad = 42^{\circ} 15',24 \text{ B.}$$

$$\text{Ganze Intens.} \quad = 1,22470 \text{ A.}$$

1830. JANUAR 10. 5^h 0' K.

NOERDLICHE GROSSE OCEAN.

Inclination.

Nadel B. 85.

$$I = 40^{\circ} 28',50 \quad I' = 39^{\circ} 8',70 \quad I'' = 39^{\circ} 56',40 \quad I''' = 41^{\circ} 27',60$$

$$i' = 40^{\circ} 15',30$$

$$+ \frac{F}{2} = - 0,33$$

$$- \frac{H}{2} = - 0,14.$$

Intensität.

Inclinations-Nadel A.

Wegen fehlerhaften Steuerens: bei $\alpha = 5^{\circ} 38'$; nach [13.] S. 44.

5 ^h 14' 48'',8	18' 21'',2	r'	3'',54857	$\log T_0$	= 0,545589
15 24,4	17 46,8	$r'E^2.F(z) -$	2507	$\lg \chi$	= 1,367725
16 0,0	17 11,6	$r'E^4.F'(z) -$	31	$\log(2\sin^2 \frac{\chi}{2} \sec \chi)$	= 1,349109
5 ^h 16' 35'',8		$r'E^6.F''(z) -$	0	$\log \frac{n}{m^2}$	= 9,986936
				$\text{cp.} \log \Phi$	= 8,741604
				$\log F$	= 0,077649

$$E = 40^{\circ},0 \quad e = 6^{\circ},0 \quad v = + 13^{\circ},8.$$

Inclinations-Nadel A.

5 ^h 20' 20'',4	23' 52'',4	r'	3'',53570	$\log T_0$	= 0,544010
20 55,6	23 17,2	$r'E^2.F(z) -$	2498	π	= 75^{\circ} 15'
21 31,6	22 42,4	$r'E^4.F'(z) -$	31	$\log \cos(\pi + u)$	= 9,386968
5 ^h 22' 6'',0		$r'E^6.F''(z) -$	0	$\text{cp.} \log \sin u$	= 1,951160
				$\text{cp.} \log \Phi$	= 8,741604
				$\log F$	= 0,079732

$$E = 40^{\circ},0 \quad e = 6^{\circ},0 \quad v = + 13^{\circ},8.$$

Resultate

für 1830. Januar 10. 10^h 46' *)

$$\text{Breite} = 19^{\circ} 39' 31''$$

$$\text{Länge} = 235^{\circ} 17' 49''$$

$$\text{Inclination} = 40^{\circ} 14',83 \text{ B.}$$

$$\text{Ganze Intens.} = 1,19577 \text{ A.}$$

$$= 1,20152 \text{ A.}$$

*) Bei dieser und bei den später vorkommenden Nachtbeobachtungen wurde Lampenlicht angewendet.

1830. JANUAR 10. 15^h 5' K.

NOERDLICHE GROSSE OCEAN.

Inclination.

Nadel B. 86.

$$I = 39^{\circ} 22',02 \quad I' = 38^{\circ} 1',20 \quad I'' = 39^{\circ} 1',50 \quad I''' = 39^{\circ} 47',82$$

$$i' = 39^{\circ} 3',14$$

$$+ \frac{F}{2} = - 0,16$$

$$- \frac{H}{2} = - 0,09.$$

Intensität.

Inclinations-Nadel A.

15 ^h 19' 21'',2	22' 21'',2	r'	3'',58458	$\log T_0$	= 0,548047
19 39,2	21 45,6	$r'E^2.F(z)$	— 3839	π	= 74° 3'
20 35,0	21 10,4	$r'E^4.F'(z)$	— 40	$\log \cos(\pi+u)$	= 9,419868
		$r'E^6.F''(z)$	— 1	$\text{cp.} \log \sin u$	= 1,909934
				$\text{cp.} \log \Phi$	= 8,741496
				$\log F$	= 0,071298

$$E = 40^{\circ},0 \quad e = 8^{\circ},0 \quad v = + 17^{\circ},0.$$

15 ^h 23' 57'',2	28' 42'',7	r'	3'',57267	$\log T_0$	= 0,548282
24 32,2	28 7,1	$r'E^2.F(z)$	— 2476	π	= 74° 3'
25 8,8	27 31,5	$r'E^4.F'(z)$	— 29	$\log \cos(\pi+u)$	= 9,419845
25 44,4	26 55,9	$r'E^6.F''(z)$	— 0	$\text{cp.} \log \sin u$	= 1,909464
15 ^h 26' 20'',7				$\text{cp.} \log \Phi$	= 8,741496
				$\log F$	= 0,070805

$$E = 40^{\circ},0 \quad e = 6^{\circ},0 \quad v = + 17^{\circ},0.$$

Resultate

für 1830. Januar 10. 20^h 51'

Breite	=	18° 36' 21''
Länge	=	235° 7' 0''
Inclination	=	39° 2',89 B.
Horiz. Intens.	=	1,17842 A.
	=	1,17708 A.

1830. JANUAR 11. 7^h 0' K.

NOERDLICHE GROSSE OCEAN.

Inclination.

Nadel B. 87.

$$I = 35^{\circ} 49',92 \quad I' = 34^{\circ} 9',00 \quad I'' = 35^{\circ} 25',08 \quad I''' = 36^{\circ} 55',20$$

$$i' = 35^{\circ} 34',80$$

$$+ \frac{F}{2} = - 0,32$$

$$- \frac{H}{2} = - 0,35.$$

Intensität.

Inclinations-Nadel A.

$$7^h \ 6' \ 58'',0 \quad 11' \ 8'',8 \quad \left| \begin{array}{l} r' \quad 3'',59333 \log T_0 = 0,552346 \\ rE^2.F(z) - 1126 \pi = 70^{\circ} 34' \\ rE^4.F'(z) - 7 \log \cos(\pi+u) = 9,502902 \\ rE^6.F''(z) - 0 \text{ cp.} \log \sin u = 1,818322 \end{array} \right.$$

$$7 \ 34,0 \ 10 \ 34,4 \quad \left| \begin{array}{l} rE^2.F(z) - 1126 \pi = 70^{\circ} 34' \\ rE^4.F'(z) - 7 \log \cos(\pi+u) = 9,502902 \\ rE^6.F''(z) - 0 \text{ cp.} \log \sin u = 1,818322 \end{array} \right.$$

$$8 \ 10,4 \ 9 \ 58,8 \quad \left| \begin{array}{l} rE^2.F(z) - 1126 \pi = 70^{\circ} 34' \\ rE^4.F'(z) - 7 \log \cos(\pi+u) = 9,502902 \\ rE^6.F''(z) - 0 \text{ cp.} \log \sin u = 1,818322 \end{array} \right.$$

$$8 \ 46,8 \ 9 \ 22,4 \quad \left| \begin{array}{l} rE^2.F(z) - 1126 \pi = 70^{\circ} 34' \\ rE^4.F'(z) - 7 \log \cos(\pi+u) = 9,502902 \\ rE^6.F''(z) - 0 \text{ cp.} \log \sin u = 1,818322 \end{array} \right.$$

$$E = 30^{\circ},0 \quad e = 3^{\circ},0 \quad v = + 18^{\circ},5. \quad \log F = 0,062354$$

$$7^h \ 13' \ 6'',8 \quad 16' \ 45'',6 \quad \left| \begin{array}{l} r' \quad 3'',65572 \log T_0 = 0,551489 \\ rE^2.F(z) - 7786 \pi = 70^{\circ} 34' \\ rE^4.F'(z) - 272 \log \cos(\pi+u) = 9,502608 \\ rE^6.F''(z) - 4 \text{ cp.} \log \sin u = 1,819998 \end{array} \right.$$

$$13 \ 43,6 \ 16 \ 10,4 \quad \left| \begin{array}{l} rE^2.F(z) - 7786 \pi = 70^{\circ} 34' \\ rE^4.F'(z) - 272 \log \cos(\pi+u) = 9,502608 \\ rE^6.F''(z) - 4 \text{ cp.} \log \sin u = 1,819998 \end{array} \right.$$

$$14 \ 20,4 \ 15 \ 34,0 \quad \left| \begin{array}{l} rE^2.F(z) - 7786 \pi = 70^{\circ} 34' \\ rE^4.F'(z) - 272 \log \cos(\pi+u) = 9,502608 \\ rE^6.F''(z) - 4 \text{ cp.} \log \sin u = 1,819998 \end{array} \right.$$

$$7^h \ 14' \ 57'',2 \quad \left| \begin{array}{l} rE^2.F(z) - 7786 \pi = 70^{\circ} 34' \\ rE^4.F'(z) - 272 \log \cos(\pi+u) = 9,502608 \\ rE^6.F''(z) - 4 \text{ cp.} \log \sin u = 1,819998 \end{array} \right.$$

$$E = 40^{\circ},0 \quad e = 14^{\circ},0 \quad v = + 18^{\circ},5. \quad \log F = 0,063736$$

$$7^h \ 20' \ 55'',2 \quad 26' \ 57'',8 \quad \left| \begin{array}{l} r' \quad 3'',62145 \log T_0 = 0,554063 \\ rE^2.F(z) - 2475 \pi = 70^{\circ} 34' \\ rE^4.F'(z) - 33 \log \cos(\pi+u) = 9,502733 \\ rE^6.F''(z) - 1 \text{ cp.} \log \sin u = 1,814850 \end{array} \right.$$

$$21 \ 31,8 \ 26 \ 21,6 \quad \left| \begin{array}{l} rE^2.F(z) - 2475 \pi = 70^{\circ} 34' \\ rE^4.F'(z) - 33 \log \cos(\pi+u) = 9,502733 \\ rE^6.F''(z) - 1 \text{ cp.} \log \sin u = 1,814850 \end{array} \right.$$

$$22 \ 8,8 \ 25 \ 45,6 \quad \left| \begin{array}{l} rE^2.F(z) - 2475 \pi = 70^{\circ} 34' \\ rE^4.F'(z) - 33 \log \cos(\pi+u) = 9,502733 \\ rE^6.F''(z) - 1 \text{ cp.} \log \sin u = 1,814850 \end{array} \right.$$

$$22 \ 44,8 \ 25 \ 9,2 \quad \left| \begin{array}{l} rE^2.F(z) - 2475 \pi = 70^{\circ} 34' \\ rE^4.F'(z) - 33 \log \cos(\pi+u) = 9,502733 \\ rE^6.F''(z) - 1 \text{ cp.} \log \sin u = 1,814850 \end{array} \right.$$

$$23 \ 20,8 \ 24 \ 33,0 \quad \left| \begin{array}{l} rE^2.F(z) - 2475 \pi = 70^{\circ} 34' \\ rE^4.F'(z) - 33 \log \cos(\pi+u) = 9,502733 \\ rE^6.F''(z) - 1 \text{ cp.} \log \sin u = 1,814850 \end{array} \right.$$

$$7^h \ 23' \ 57'',2 \quad \left| \begin{array}{l} rE^2.F(z) - 2475 \pi = 70^{\circ} 34' \\ rE^4.F'(z) - 33 \log \cos(\pi+u) = 9,502733 \\ rE^6.F''(z) - 1 \text{ cp.} \log \sin u = 1,814850 \end{array} \right.$$

$$E = 40^{\circ},0 \quad e = 6^{\circ},0 \quad v = + 18^{\circ},5.$$

Resultate

für 1830. Januar 11. 12^h 45'

$$\text{Breite} = 16^{\circ} 55' 51''$$

$$\text{Länge} = 234^{\circ} 46' 2''$$

$$\text{Inclination} = 35^{\circ} 34',13 \text{ B.}$$

$$\text{Ganze Intens.} = 1,15438 \text{ A.}$$

$$= 1,13815 \text{ A.}$$

$$= 1,14473 \text{ A}$$

1830. JANUAR 12. 21^h 35' K.

NOERDLICHE GROSSE OCEAN.

Inclination.

Nadel B. 88.

$$I = 32^{\circ} 35',76 \quad I' = 32^{\circ} 20',22 \quad I'' = 31^{\circ} 46',50 \quad I''' = 33^{\circ} 9',00$$

$$i' = 32^{\circ} 27',87$$

$$+ \frac{F}{2} = \quad - 0,19$$

$$- \frac{H}{2} = \quad - 0,09.$$

Intensität.

Inclinations-Nadel A.

2 ^h 33' 15'',2	37' 28'',9	r'	3'',62905	$\log T_0$	= 0,556092
33 51,6	36 53,6	$r'E^2.F(z) -$	1488	π	= 67° 28'
34 28,4	36 17,2	$r'E^4.F'(z) -$	17	$\log \cos(\pi+u)$	= 9,564328
35 4,8	35 41,6	$r'E^6.F''(z) -$	0	cp. $\log \sin u$	= 1,749409
				cp. $\log \Phi$	= 8,740875
				$\log F$	= 0,054612

$$E = 40^{\circ},0 \quad e = 2^{\circ},0 \quad v = + 19^{\circ},5.$$

21 ^h 39' 40'',0	43' 17'',9	r'	3'',62965	$\log T_0$	= 0,554855
40 16,8	42 41,6	$r'E^2.F(z) -$	2560	π	= 67° 28'
40 52,8	42 5,8	$r'E^4.F'(z) -$	32	$\log \cos(\pi+u)$	= 9,564417
21 ^h 41' 29'',0		$r'E^6.F''(z) -$	1	cp. $\log \sin u$	= 1,751883
				cp. $\log \Phi$	= 8,740875
				$\log F$	= 0,057175

$$E = 40^{\circ},0 \quad e = 6^{\circ},0 \quad v = + 19^{\circ},5.$$

12 ^h 50' 8'',4	53' 45'',8	r'	3'',62283	$\log T_0$	= 0,554031
50 44,8	53 9,6	$r'E^2.F(z) -$	2563	π	= 67° 28'
51 21,2	52 33,8	$r'E^4.F'(z) -$	31	$\log \cos(\pi+u)$	= 9,564511
21 ^h 51' 57'',6		$r'E^6.F''(z) -$	0	cp. $\log \sin \pi$	= 1,753531
				cp. $\log \Phi$	= 8,740875
				$\log F$	= 0,058817

$$E = 40^{\circ},0 \quad e = 6^{\circ},0 \quad v = + 19^{\circ},5.$$

Resultate

für 1830. Januar 12. 3^h 18'

Breite	=	15° 15' ~ 9"
Länge	=	234° 27' 34"
Inclination	=	32° 27',59 B.
Ganze Intens.	=	1,13400 A.
	=	1,14071 A.
	=	1,14503 A.

1830. JANUAR 12. 15^h 45' K.

NOERDLICHE GROSSE OCEAN.

Inclination.

Nadel B. 89.

$$I = 30^{\circ} 21', 24 \quad I' = 30^{\circ} 9', 36 \quad I'' = 28^{\circ} 58', 26 \quad I''' = 29^{\circ} 31', 74$$

$$\begin{aligned} i' &= 29^{\circ} 45', 15 \\ + \frac{F}{2} &= + 0,27 \\ - \frac{H}{2} &= - 0,18. \end{aligned}$$

Intensität.

Inclinations-Nadel A.

15 ^h 53' 8'', 8	56' 49'', 6	r'	3'', 67714	$\log T_0$	= 0,560541
53 46,0	56 12,8	$r'E^2.F(z) -$	2128	π	= 64° 45'
54 22,8	55 36,4	$r'E^4.F'(z) -$	20	$\log \cos(\pi + u)$	= 9,610857
15 ^h 54' 59'', 6		$r'E^4.F''(z) -$	0	$\text{cp.} \log \sin u$	= 1,693971
				$\text{cp.} \log \Phi$	= 8,740561
				$\log F$	= 0,045389

$$E = 35^{\circ}, 0 \quad e = 6^{\circ}, 0 \quad v = + 25^{\circ}, 0.$$

15 ^h 58' 17'', 8	1' 58'', 4	r'	3'', 67430	$\log T_0$	= 0,560201
58 54,8	1 21,6	$r'E^2.F(z) -$	2128	π	= 64° 45'
59 31,8	0 45,2	$r'E^4.F'(z) -$	20	$\log \cos(\pi + u)$	= 9,610887
16 ^h 0' 8'', 4		$r'E^4.F''(z) -$	0	$\text{cp.} \log \sin u$	= 1,694651
				$\text{cp.} \log \Phi$	= 8,740561
				$\log F$	= 0,046099

$$E = 35^{\circ}, 0 \quad e = 6^{\circ}, 0 \quad v = + 25^{\circ}, 0.$$

Resultate

für 1830. Januar 12. 21^h 27'

Breite = 13° 37' 28''

Länge = 234° 8' 13''

Inclination = 29° 45', 24 B.

Ganze Intens. = 1,11017 A.

= 1,11198 A.

1830. JANUAR 13. 6^h 40' K.

NOERDLICHE GROSSE OCEAN.

Inclination.

Nadel B. 90.

$$I = 28^{\circ} 8',25 \quad I' = 27^{\circ} 43',77 \quad I'' = 26^{\circ} 19',98 \quad I''' = 26^{\circ} 46',47$$

$$i' = 27^{\circ} 14',62$$

$$+ \frac{F}{2} = + 0,55$$

$$- \frac{H}{2} = - 0,36.$$

Intensität.

Inclinations-Nadel A.

6 ^h 39' 14",4	42' 56",8	r'	3",71430	$\log T_0$	$= 0,563388$
39 51,6	42 20,2	$r'E^2.F(z) -$	2148	π	$= 62^{\circ} 15'$
40 29,2	41 42,8	$r'E^2.F'(z) -$	21	$\log \cos(\pi + u)$	$= 9,648858$
6 ^h 41' 6",0		$r'E^2.F''(z) -$	0	$\text{cp. log. sin } u$	$= 1,646239$
				$\text{cp. log. } \Phi$	$= 8,740353$
				$\log F$	$= 0,035450$

$$E = 35^{\circ},0 \quad e = 6^{\circ},0 \quad v = + 20^{\circ},0.$$

Resultate

für 1830. Januar 13. 12^h 21'

Breite	$= 12^{\circ} 17' 34''$
Länge	$= 233^{\circ} 59' 49''$
Inclination	$= 27^{\circ} 14',81 \text{ B.}$
Ganze Intens.	$= 1,08505 \text{ A.}$

1830. JANUAR 13. 17^h 15' K.

NOERDLICHE GROSSE OCEAN.

Inclination.

Nadel B. 91.

$$\begin{aligned}
 I &= 26^{\circ} 34',44 & I' &= 26^{\circ} 10',02 & I'' &= 24^{\circ} 56',22 & I''' &= 25^{\circ} 20',76 \\
 i' &= 25^{\circ} 45',36 \\
 + \frac{F}{2} &= + 0,45 \\
 - \frac{H}{2} &= - 0,35.
 \end{aligned}$$

Intensität.

Inclinations-Nadel A.

$$\begin{array}{rcl}
 16^h 53' 2'',0 & 57' 21'',4 & r' \quad 3'',70632 \log T_0 \quad = 0,564563 \\
 53 \quad 39,3 & 56 \quad 44,8 & r'E^2.F(z) - 2143 \pi \quad = 60^{\circ} 45' \\
 54 \quad 16,8 & 56 \quad 7,8 & r'E^4.F'(z) - 20 \log \cos(\pi+u) = 9,670143 \\
 54 \quad 54,2 & 55 \quad 31,2 & r'E^6.F''(z) - 0 \text{ cp.} \log \sin u = 4,626944 \\
 & & \text{cp.} \log \Phi \quad = 8,740249 \\
 & & \log F \quad = 0,037336
 \end{array}$$

$$E = 35^{\circ},0 \quad e = 6^{\circ},0 \quad v = + 18^{\circ},5.$$

$$\begin{array}{rcl}
 16^h 59' 22'',4 & 63' 40'',4 & r' \quad 3'',68238 \log T_0 \quad = 0,562223 \\
 60 \quad 0,0 & 63 \quad 4,0 & r'E^2.F(z) - 1760 \pi \quad = 60^{\circ} 45' \\
 60 \quad 37,2 & 62 \quad 27,2 & r'E^4.F'(z) - 14 \log \cos(\pi+u) = 9,670350 \\
 61 \quad 14,0 & 61 \quad 51,2 & r'E^6.F''(z) - 0 \text{ cp.} \log \sin u = 1,631624 \\
 & & \text{cp.} \log \Phi \quad = 8,740249 \\
 & & \log F \quad = 0,042223
 \end{array}$$

$$E = 33^{\circ},0 \quad e = 5^{\circ},0 \quad v = + 18^{\circ},5.$$

$$\begin{array}{rcl}
 16^h 12' 38'',0 & 16' 56'',4 & r' \quad 3'',69286 \log T_0 \quad = 0,563808 \\
 13 \quad 15,2 & 16 \quad 20,0 & r'E^2.F(z) - 1478 \pi \quad = 60^{\circ} 45' \\
 13 \quad 52,4 & 15 \quad 43,2 & r'E^4.F'(z) - 13 \log \cos(\pi+u) = 9,670207 \\
 14 \quad 29,6 & 15 \quad 6,4 & r'E^6.F''(z) - 0 \text{ cp.} \log \sin u = 1,628454 \\
 & & \text{cp.} \log \Phi \quad = 8,740249 \\
 & & \log F \quad = 0,038910
 \end{array}$$

$$E = 35^{\circ},0 \quad e = 3^{\circ},0 \quad v = + 18^{\circ},5.$$

1830. JANUAR 13. 17^h 15' K.

NOERDLICHE GROSSE OCEAN.

Cylindrische Nadel.

18 ^h 16'	6",0	18' 43",2	r'	2",25310	$\log T_0$	= 0,349152
16	28,0	18 21,0	$r'E^2.F(z)$	— 941	$\log A + cd$	= 0,693316
16	50,8	17 58,8	$r'E^2.F'(z)$	— 6	$b f^2. \lg^2 i$	= 2
17	13,2	17 36,4	$r'E^2.F''(z)$	— 0	$\log f$	= 9,995014

$E = 30^{\circ},0$ $e = 5^{\circ},0$ $v = + 18^{\circ},5$.

Resultate

für 1830. Januar 13. 22^h 55'

Breite	=	11° 17' 56"
Länge	=	233° 54' 4"
Inclination	=	25° 45',46 B.
Ganze Intens.	=	1,08977 A.
	=	1,10211 A.
	=	1,09374 A.
	=	1,09764 C.

1830. JANUAR 14. 14^h 10' K.

NOERDLICHE GROSSE OCEAN.

Inclination.

Nadel B. 92.

$$I = 23^{\circ} 56',46 \quad I' = 23^{\circ} 22',74 \quad I'' = 22^{\circ} 21',24 \quad I''' = 22^{\circ} 44',70$$

$$\begin{aligned} i' &= 23^{\circ} 6',28 \\ + \frac{F}{2} &= + 0,35 \\ - \frac{H}{2} &= - 0,35. \end{aligned}$$

Intensität.

Inclinations-Nadel A.

14 ^h 13' 16'',4	17' 38'',6	r'	3'',74333	$\log T_0$	= 0,568323
13 54,4	17 1,2	$r'E^3.F(z) -$	2612	π	= 58° 6'
14 32,4	16 24,8	$r'E^4.F'(z) -$	31	$\log \cos(\pi+u)$	= 9,704330
15 9,4	15 47,2	$r'E^5.F''(z) -$	0	$\text{cp.} \log \sin u$	= 1,585402
				$\text{cp.} \log \phi$	= 8,739649
				$\log F$	= 0,029381

$$E = 40^{\circ},0 \quad e = 6^{\circ},0 \quad v = + 19^{\circ},2$$

Resultate

für 1830 Januar 14. 19^h 49'

Breite	=	9° 42' 38''
Länge	=	233° 29' 5''
Inclination	=	23° 6',28 B.
Ganze Intens.	=	1,06999 A.

1830. JANUAR 15. 7^h 15' K.

NOERDLICHE GROSSE OCEAN.

Inclination.

Nadel B. 93.

$$I = 22^{\circ} 30',69 \quad I' = 21^{\circ} 45',72 \quad I'' = 19^{\circ} 44',52 \quad I''' = 19^{\circ} 49',98$$

$$i' = 20^{\circ} 57',79$$

$$+ \frac{F}{2} = + 1,34$$

$$- \frac{H}{2} = - 1,00.$$

Intensität.

Inclinations-Nadel A.

$$7^h 25' 26'',4 \quad 29' 53'',0 \quad r' \quad 3'',80548 \log T_0 = 0,575388$$

$$26 \quad 4,6 \quad 29 \quad 14,4 \quad r'E^2.F(z) - 2635 \pi = 55^{\circ} 58'$$

$$26 \quad 42,4 \quad 28 \quad 36,8 \quad r'E^4.F'(z) - 31 \log \cos(\pi+u) = 9,729083$$

$$27 \quad 20,4 \quad 27 \quad 58,6 \quad r'E^4.F''(z) - 1 \text{ cp.} \log \sin u = 1,546330$$

$$\text{cp.} \log \Phi = 8,739298$$

$$E = 40^{\circ},0 \quad e = 6^{\circ},0 \quad v = + 20^{\circ},0. \quad \log F = 0,014711$$

$$7^h 32' 49'',2 \quad 35' 20'',8 \quad r' \quad 3'',78600 \log T_0 = 0,574288$$

$$33 \quad 27,6 \quad 34 \quad 43,0 \quad r'E^2.F(z) - 1687 \pi = 55^{\circ} 58'$$

$$7^h \quad 34' \quad 5'',6 \quad r'E^4.F'(z) - 2 \log \cos(\pi+u) = 9,729181$$

$$\text{cp.} \log \sin u = 1,548568$$

$$\text{cp.} \log \Phi = 8,739298$$

$$E = 40^{\circ},0 \quad e = 6^{\circ},0 \quad v = + 20^{\circ},0. \quad \log F = 0,017047$$

$$7^h 36' 54'',8 \quad 40' 4'',8 \quad r' \quad 3'',79714 \log T_0 = 0,573753$$

$$37 \quad 33,0 \quad 39 \quad 26,8 \quad r'E^2.F(z) - 3230 \pi = 55^{\circ} 58'$$

$$38 \quad 10,6 \quad 38 \quad 48,4 \quad r'E^4.F'(z) - 42 \log \cos(\pi+u) = 9,729227$$

$$r'E^4.F''(z) - 1 \text{ cp.} \log \sin u = 1,549660$$

$$\text{cp.} \log \Phi = 8,739298$$

$$E = 40^{\circ},0 \quad e = 8^{\circ},0 \quad v = + 20^{\circ},0. \quad \log F = 0,018125$$

Resultate

für 1830. Januar 15. 12^h 54'

$$\text{Breite} = 8^{\circ} 55' 29''$$

$$\text{Länge} = 233^{\circ} 28' 30''$$

$$\text{Inclination} = 20^{\circ} 58',13 \text{ B.}$$

$$\text{Ganze Intens.} = 1,03422 \text{ A.}$$

$$= 1,04003 \text{ A.}$$

$$= 1,04262 \text{ A.}$$

1830. JANUAR 16. 3^h 30' W. Zt.

NOERDLICHE GROSSE OCEAN.

Inclination.

Nadel B. 94.

$$\begin{aligned}
 I &= 20^{\circ} 25',50 & I' &= 20^{\circ} 17',70 & I'' &= 18^{\circ} 34',32 & I''' &= 18^{\circ} 49',32 \\
 & & i' &= 19^{\circ} 31',71 \\
 & & + \frac{F}{2} &= & + 1,13 \\
 & & - \frac{H}{2} &= & - 0,90.
 \end{aligned}$$

Resultat

für 1830. Januar 16. 3^h 40'

$$\begin{aligned}
 \text{Breite} &= 8^{\circ} 10' 27'' \\
 \text{Länge} &= 233^{\circ} 34' 27'' \\
 \text{Inclination} &= 19^{\circ} 31',94 \text{ B.}
 \end{aligned}$$

1830. JANUAR 18. 23^h 0' K.

NOERDLICHE GROSSE OCEAN.

Inclination.

Nadel B. 95.

$$\begin{aligned}
 I &= 18^{\circ} 33',72 & I' &= 18^{\circ} 5',46 & I'' &= 17^{\circ} 3',92 & I''' &= 17^{\circ} 39',20 \\
 & & \dot{I} &= 17^{\circ} 50',57 \\
 & + \frac{F}{2} & &= + 0,29 \\
 & - \frac{H}{2} & &= - 0,29.
 \end{aligned}$$

Intensität.

Inclinations-Nadel. A.

22 ^h 58' 50",8	64' 34",0	r'	3'',81043	$\log T_0$	= 0,576065
59 30,8	63 56,8	$r'E^2.F(z) -$	2736	π	= 52° 51'
60 9,2	63 20,4	$r'E^4.F'(z) -$	28	$\log \cos(\pi+u)$	= 9,762761
60 48,0	62 42,0	$r'E^6.F''(z) -$	0	$\text{cp.} \log \sin u$	= 1,511944
61 25,6	62 4,0			$\text{cp.} \log \phi$	= 8,737937
				$\log F$	= 0,012642

$$E = 36^{\circ},0 \quad e = 8^{\circ},0 \quad v = + 18^{\circ},0.$$

23 ^h 6' 27",6	10' 56",6	r'	3'',85667	$\log T_0$	= 0,580042
7 4,4	10 18,6	$r'E^2.F(z) -$	3442	π	= 52° 51'
7 43,2	9 40,0	$r'E^4.F'(z) -$	39	$\log \cos(\pi+u)$	= 9,762406
8 21,2	9 0,4	$r'E^6.F''(z) -$	0	$\text{cp.} \log \sin u$	= 1,503990
				$\text{cp.} \log \phi$	= 8,737937
				$\log F$	= 0,004333

$$E = 36^{\circ},0 \quad e = 11^{\circ},0 \quad v = + 23^{\circ},0.$$

Resultate

für 1830. Januar 18. 4^h 41'

Breite	=	7° 15' 28"
Länge	=	233° 56' 39"
Inclination	=	17° 50',57 B.
Ganze Intens.	=	1,02953 A.
	=	1,01003 A.

1830. JANUAR 19. 22^h 0' K.

NOERDLICHE GROSSE OCEAN.

Inclination.

Nadel B. 96.

$$\begin{aligned}
 I &= 18^{\circ} 3',25 & I' &= 17^{\circ} 10',75 & I'' &= 16^{\circ} 1',87 & I''' &= 17^{\circ} 10',30 \\
 & & i' &= 17^{\circ} 6',54 & & & & \\
 & & F & & & & & \\
 + \frac{F}{2} &= & + 0,01 & & & & & \\
 - \frac{H}{2} &= & - 0,80. & & & & &
 \end{aligned}$$

Intensität.

Inclinations-Nadel A.

22 ^h 3' 39",2	6' 12",6	τ'	3'',8300	log T ₀	= 0,380042
4 18,4	5 34,6	$\tau'E^2.F(z) -$	808	π	= 52° 6'
22 ^h 4' 56",8		$\tau'E^4.F'(z) -$	6	log cos ($\pi+u$)	= 9,769983
		$\tau'E^6.F''(z) -$	0	cp. log sin u	= 1,496588
				cp. log Φ	= 8,737483
E = 30°,0	e = 1°,0	v = + 23°,0.		log F	= 0,004056
22 ^h 8' 10",4	11' 59",6	τ'	3'',81572	log T ₀	= 0,378462
8 48,6	11 21,0	$\tau'E^2.F(z) -$	770	π	= 52° 6'
9 26,4	10 42,4	$\tau'E^4.F'(z) -$	5	log cos ($\pi+u$)	= 9,770126
22 ^h 10' 4",6		$\tau'E^6.F''(z) -$	0	cp. log sin u	= 1,499748
				cp. log Φ	= 8,737483
E = 30°,0	e = 1°,0	v = + 23°,0.		log F	= 0,007357
22 ^h 14' 1",4	18' 30",0	τ'	3'',84071	log T ₀	= 0,379102
14 39,2	17 51,6	$\tau'E^2.F(z) -$	2680	π	= 52° 6'
15 17,6	17 12,6	$\tau'E^4.F'(z) -$	32	log cos ($\pi+u$)	= 9,770070
15 55,4	16 34,4	$\tau'E^6.F''(z) -$	0	cp. log sin u	= 1,498468
				cp. log Φ	= 8,737483
E = 40°,0	e = 6°,0	v = + 23°,0.		log F	= 0,006021

Resultate

für 1830. Januar 19. 3^h 42'

Breite = 6° 27' 14"

Länge = 234° 12' 20"

Inclination = 17° 5',75 B.

Ganze Intens. = 1,00939 A.

= 1,01708 A.

= 1,01396 A.

1830. JANUAR 19. 16^h 15' K.

NÖRDLICHE GROSSE OCEAN.

Inclination.

Nadel B. 97.

$$\begin{array}{rclcl}
 I = 16^{\circ} 24',48 & I' = 16^{\circ} 0',24 & I'' = 14^{\circ} 34',50 & I''' = 15^{\circ} 7',74 & \\
 & i' = 15^{\circ} 31',74 & & & \\
 + \frac{F}{2} = & + 0,82 & & & \\
 - \frac{H}{2} = & - 0,90. & & &
 \end{array}$$

Intensität

Inclinations-Nadel A.

16 ^h 22' 37",2	27' 6",0	r'	3",83905	$\log T_0$	= 0,578448
23 16,4	26 27,6	$r'E^3.F(z)$	- 3084	π	= 50° 32'
23 54,8	25 49,6	$r'E^4.F'(z)$	- 36	$\log \cos(\pi+u)$	= 9,785343
24 33,6	25 11,4	$r'E^5.F''(z)$	- 0	$\text{cp.} \log \sin u$	= 1,484942
				$\text{cp.} \log \Phi$	= 8,737106
				$\log F$	= 0,007391

$E = 38^{\circ},0 \quad c = 8^{\circ},5 \quad v = + 23^{\circ},0.$

Resultate

für 1830. Januar 19. 21^h 57'

$$\begin{array}{rcl}
 \text{Breite} & = & 5^{\circ} 49' 1'' \\
 \text{Länge} & = & 234^{\circ} 7' 44'' \\
 \text{Inclination} & = & 15^{\circ} 31',66 \text{ B.} \\
 \text{Ganze Intens.} & = & 1,01719 \text{ A.}
 \end{array}$$

1830. JANUAR 20. 16^h 32' K.

NOERDLICHE GROSSE OCEAN.

Inclination.

Nadel B. 98.

$$I = 13^{\circ} 38',46 \quad I' = 13^{\circ} 30',00 \quad I'' = 12^{\circ} 25',74 \quad I''' = 12^{\circ} 36',48$$

$$\begin{aligned} i' &= 13^{\circ} 2',62 \\ + \frac{F}{2} &= + 0,64 \\ - \frac{H}{2} &= - 0,64. \end{aligned}$$

Inclination.

Inclinations-Nadel A.

16 ^h 35' 31'',2	38' 5'',2	r'	3'',85600	$\log T_0$	= 0,582247
36 10,8	37 28,4	$r'E^2.F(z)$	- 1362	π	= 48° 3'
16 ^h 36' 50'',4		$r'E^4.F'(z)$	- 22	$\log \cos(\pi+u)$	= 9,807547
		$r'E^6.F''(z)$	- 0	$\text{cp.} \log \sin u$	= 1,455438
				$\text{cp.} \log \phi$	= 8,736603
				$\log F$	= 9,999608

$$E = 40^{\circ},0 \quad e = 2^{\circ},1 \quad v = + 24^{\circ},0.$$

16 ^h 40' 6'',8	43' 17'',6	r'	3'',83943	$\log T_0$	= 0,580453
40 46,0	42 42,4	$r'E^2.F(z)$	- 1294	π	= 48° 3'
41 24,2	42 4,8	$r'E^4.F'(z)$	- 17	$\log \cos(\pi+u)$	= 9,807697
		$r'E^6.F''(z)$	- 0	$\text{cp.} \log \sin u$	= 1,459046
				$\text{cp.} \log \phi$	= 8,736603
				$\log F$	= 0,003346

$$E = 40^{\circ},0 \quad e = 1^{\circ},0 \quad v = + 24^{\circ},0.$$

Resultate

für 1830. Januar 20. 22^h 10'

Breite	=	4° 35' 0"
Länge	=	233° 16' 43"
Inclinat.	=	13° 2',66 B.
Ganze Intens.	=	0,99909 A.
	=	1,00772 A.

1830. JANUAR 21. 12^h 30' K.

NOERDLICHE GROSSE OCEAN.

Inclination.

Nadel B. 99.

$$\begin{aligned}
 I &= 9^{\circ} 48',96 & I' &= 9^{\circ} 14',46 & I'' &= 8^{\circ} 57',72 & I''' &= 9^{\circ} 16',20 \\
 & & i' &= 9^{\circ} 19',33 \\
 & + \frac{F}{2} &= & - 0,02 \\
 & - \frac{H}{2} &= & - 0,31.
 \end{aligned}$$

Intensität.

Inclinations-Nadel A.

$$\begin{array}{l|l|l|l|l}
 12^h 35' 42'',8 & 39' 37'',6 & r' & 3'',90642 & \log T_0 = 0,585815 \\
 36 & 23,6 & 38 & 58,8 & r'E^2.F(z) - 3484 \pi = 44^{\circ} 19' \\
 37 & 3,2 & 38 & 22,2 & r'E^4.F'(z) - 66 \log \cos(\pi+u) = 9,837804 \\
 12^h & 37' & 42'',2 & & r'E^6.F''(z) - 1 \text{ cp.log sin } u = 1,418809 \\
 & & & & \text{cp.log } \varphi = 8,736155 \\
 & & & & \log F = 9,992768
 \end{array}$$

$$E = 50^{\circ},0 \quad e = 5^{\circ},0 \quad v = + 19^{\circ},5.$$

$$\begin{array}{l|l|l|l|l}
 12^h 41' 51'',2 & 45' 5'',2 & r' & 3'',87029 & \log T_0 = 0,583501 \\
 42 & 30,2 & 44 & 25,6 & r'E^2.F(z) - 1973 \pi = 44^{\circ} 19' \\
 43 & 9,2 & 43 & 47,6 & r'E^4.F'(z) - 24 \log \cos(\pi+u) = 9,837989 \\
 & & & & r'E^6.F''(z) - 0 \text{ cp.log sin } u = 1,423437 \\
 & & & & \text{cp.log } \varphi = 8,736155 \\
 & & & & \log F = 9,997581
 \end{array}$$

$$E = 40^{\circ},0 \quad e = 3^{\circ},0 \quad v = + 19^{\circ},5.$$

Resultate

für 1830. Januar 21. 18^h 2'

$$\begin{aligned}
 \text{Breite} &= 2^{\circ} 41' 46'' \\
 \text{Länge} &= 231^{\circ} 45' 39'' \\
 \text{Inclination} &= 9^{\circ} 19',00 \text{ B.} \\
 \text{Ganze Intens.} &= 0,98349 \text{ A.} \\
 &= 0,99445 \text{ A.}
 \end{aligned}$$

1830. JANUAR 22. 1^h 30' K.

NOERDLICHE GROSSE OCEAN.

Inclination.

Nadel B. 100.

$$\begin{aligned}
 I &= 8^{\circ} 30',72 & I' &= 7^{\circ} 49',50 & I'' &= 6^{\circ} 26',22 & I''' &= 6^{\circ} 39',48 \\
 & & i' &= 7^{\circ} 21',48 \\
 & + \frac{F}{2} & = & + 2,50 \\
 & - \frac{II}{2} & = & - 2,84.
 \end{aligned}$$

Intensität.

Inclinations-Nadel A.

$$\begin{array}{lcl}
 1^h 40' 27'',6 & 43' 3'',2 & \tau' \quad 3'',88800 \quad \log T_0 \quad = 0,587003 \\
 41 \quad 7,2 & 42 \quad 24,8 & \tau'E^2.F(z) - 820 \quad \pi \quad = 42^{\circ} 22' \\
 1^h 41' 46'',2 & & \tau'E^4.F'(z) - 6 \quad \log \cos(\pi+u) = 9,852186 \\
 & & \tau'E^6.F''(z) - 0 \quad \text{cp. log. sin } u = 1,402481 \\
 & & & \text{cp. log } \phi = 8,735890 \\
 & & & \log F = 9,990567
 \end{array}$$

$$E = 30^{\circ},0 \quad e = 1^{\circ},0 \quad v = + 18^{\circ},5.$$

$$\begin{array}{lcl}
 1^h 44' 47'',2 & 48' 2'',0 & \tau' \quad 3'',90171 \quad \log T_0 \quad = 0,585409 \\
 45 \quad 27,2 & 47 \quad 24,8 & \tau'E^2.F(z) - 3551 \quad \pi \quad = 42^{\circ} 22' \\
 46 \quad 7,2 & 46 \quad 46,0 & \tau'E^4.F'(z) - 69 \quad \log \cos(\pi+u) = 9,852361 \\
 & & \tau'E^6.F''(z) - 2 \quad \text{cp. log. sin } u = 1,405669 \\
 & & & \text{cp. log } \phi = 0,735890 \\
 & & & \log F = 9,993920
 \end{array}$$

$$E = 50^{\circ},0 \quad e = 5^{\circ},0 \quad v = + 18^{\circ},5.$$

Resultate

für 1830. Januar 22. 6^h 59'

$$\begin{aligned}
 \text{Breite} &= 1^{\circ} 33' 6'' \\
 \text{Länge} &= 230^{\circ} 57' 31'' \\
 \text{Inclination} &= 7^{\circ} 21',14 \text{ B.} \\
 \text{Ganze Intens.} &= 0,97852 \text{ A.} \\
 &= 0,98610 \text{ A.}
 \end{aligned}$$

1830. JANUAR 22. 9^h 18' K.

NOERDLICHE GROSSE OCEAN.

Inclination.

Nadel B. 101.

$$\begin{aligned}
 I &= 6^{\circ} 24',48 & I' &= 5^{\circ} 37',98 & I'' &= 4^{\circ} 16',74 & I''' &= 4^{\circ} 38',52 \\
 & & i' &= 5^{\circ} 14',43 \\
 & + \frac{F}{2} & = & + 3,04 \\
 & - \frac{H}{2} & = & - 3,90.
 \end{aligned}$$

Intensität.

Inclinations-Nadel A.

9 ^h 27'59'',2	32'	37'',2	r'	3'',95714	log T ₀	= 0,591720
28 40,2	31	57,2	r'E ² .F (z) —	3463	π	= 40° 14'
29 20,0	31	17,8	r'E ² .F' (z) —	64	log cos (π+u)	= 9,866736
29 59,6	30	39,2	r'E ² .F'' (z) —	0	cp. log sin u	= 1,378811
					cp. log φ	= 8,735723
					log F	= 9,981270

$$E = 50^{\circ},0 \quad e = 5^{\circ},0 \quad v = + 18^{\circ},2.$$

Resultate

für 1830. Januar 22. 14^h 43'

Breite	=	0° 45' 51''
Länge	=	230° 22' 48''
Inclination	=	5° 13',57 B.
Ganze Intens.	=	0,95779 A.

1830. JANUAR 22. 15^h 2' K.

NOERDLICHE GROSSE OCEAN.

Inclination.

Nadel B. 102.

$$\begin{array}{rclcl}
 I = 4^{\circ} 24',72 & I' = 3^{\circ} 57',48 & I'' = 2^{\circ} 25',26 & I''' = 3^{\circ} 12',96 & \\
 & i' = 3^{\circ} 30',10 & & & \\
 + \frac{F}{2} = & + 3,17 & & & \\
 - \frac{H}{2} = & - 4,81. & & &
 \end{array}$$

Intensität.

Inclinations-Nadel A.

15 ^h 16' 58",0	19' 40",4	τ'	4",05200	$\log T_0$	= 0,598549
17 40,4	19 0,8	$\tau'E^2.F(z)$	— 6375	π	= 38° 28'
15 ^h 18' 21",0		$\tau'E^3.F'(z)$	— 250	$\log \cos(\pi+u)$	= 9,877779
		$\tau'E^4.F''(z)$	— 15	$\text{cp. log. sin } u$	= 1,354400
				$\text{cp. log } \Phi$	= 8,735600
				$\log F$	= 9,967779

$$E = 70^{\circ},0 \quad e = 5^{\circ},0 \quad \bar{v} = + 20^{\circ},0.$$

Resultate

für 1830. Januar 22. 20^h 26'

$$\begin{array}{rcl}
 \text{Breite} & = & 0^{\circ} \quad 8' \quad 39'' \\
 \text{Länge} & = & 229^{\circ} \quad 55' \quad 33'' \\
 \text{Inclination} & = & 3^{\circ} \quad 28',46 \text{ B.} \\
 \text{Ganze Intens.} & = & (0,92849 \text{ A.})
 \end{array}$$

Die Schwingungsbeobachtung war bedeutend erschwert, weil das Schiff dicht am Winde und zugleich fast im magnetischen Meridiane anlag.

1830. JANUAR 23. 19^h 15' K.

SUEDLICHE GROSSE OCEAN.

Inclination.

Nadel B. 103.

$$\begin{aligned}
 I &= 4^{\circ} 46',74 & I' &= 4^{\circ} 7',74 & I'' &= 1^{\circ} 50',22 & I''' &= 1^{\circ} 52',74 \\
 & & i' &= 3^{\circ} 9',36 \\
 & + \frac{F}{2} &= & + 15,73 \\
 & - \frac{H}{2} &= & - 16,19.
 \end{aligned}$$

Intensität.

Inclinations-Nadel A.

19 ^h 19' 32'',8	24' 8'',4	τ'	3'',94047	$\log T_o$	= 0,589942
20 12,8	23' 30,4	$\tau'E^2.F(z) -$	3259	π	= 38° 9'
20 53,6	22 51,2	$\tau'E^4.F'(z) -$	49	$\log \cos(\pi+u)$	= 9,880415
21 33,2	22 13,2	$\tau'E^6.F''(z) -$	1	$\text{cp.} \log \sin u$	= 1,369490
				$\text{cp.} \log \phi$	= 8,734890
				$\log F$	= 9,984793

$$E = 45^{\circ},0 \quad e = 6^{\circ},0 \quad v = + 20^{\circ},0.$$

19 ^h 31' 7'',2	37' 41'',6	τ'	3'',92800	$\log T_o$	= 0,589827
31 47,2	37 0,0	$\tau'E^2.F(z) -$	2141	π	= 38° 9'
32 26,4	36 22,4	$\tau'E^4.F'(z) -$	24	$\log \cos(\pi+u)$	= 9,880423
33 6,6	35 42,4	$\tau'E^6.F''(z) -$	0	$\text{cp.} \log \sin u$	= 1,369720
33 46,0	35 2,8			$\text{cp.} \log \phi$	= 8,734890
19 ^h 34' 24'',0				$\log F$	= 9,985033

$$E = 40^{\circ},0 \quad e = 4^{\circ},0 \quad v = + 20^{\circ},0.$$

Resultate

für 1830. Januar 23. 0^h 38'

Breite = - 0° 12' 1''

Länge = 229° 37' 10''

Inclination = 3° 8',90 B.

Ganze Intens. = 0,96360 A.

= 0,96613 A.

Das von hier an vorkommende Minuszeichen vor der Breitenangabe bedeutet südliche Breiten.

1830. JANUAR 23. 22^h 55^l K.

SUEDLICHE GROSSE OCEAN.

Inclination.

Nadel B. 104.

I und I' wurden nicht beobachtet. $I'' = 1^{\circ} 41',76$ $I''' = 2^{\circ} 0',96$

Nach den nächsten Beobachtungen:

$$i' = \frac{I'' + I'''}{2} + 1^{\circ} 11',27 = 3^{\circ} 2',63$$

$$+ \frac{F - H}{2} = -0,37.$$

Intensität.

Inclinations-Nadel A.

23 ^h	12' 51'',2	16' 51'',6	r'	3'',99000	$\log T_0$	= 0,591717
13	33,2	16 11,6	$r'E^2.F(z) -$	6452	π	= 38° 3'
14	12,4	15 31,6	$r'E^4.F'(z) -$	237	$\log \cos(\pi+u)$	= 9,880916
18 ^h	14'	51'',6	$r'E^4.F''(z) -$	15	$\text{cp.} \log \sin u$	= 1,365345
					$\text{cp.} \log \Phi$	= 8,735470
					$\log F$	= 9,981731

 $E = 70^{\circ},0$ $e = 6^{\circ},0$ $v = + 19^{\circ},5.$

Resultate

für 1830. Januar 23. 4^h 16'

Breite	=	— 0° 6' 31''
Länge	=	229° 11' 13''
Inclination	=	3° 2',26" B.
Horiz. Intens.	=	0,95881 A.

 1830. JANUAR 23. 0^h 20' K.

 SUEDLICHE GROSSE OCEAN.

Inclination.

Nadel B. 105.

$$\begin{array}{rclcl}
 I = 4^{\circ} 35',46 & I' = 3^{\circ} 56',46 & I'' = 2^{\circ} 4',50 & I''' = 2^{\circ} 8',76 & \\
 & i' = 3^{\circ} 11',29 & & & \\
 + \frac{F}{2} = & + 10,61 & & & \\
 - \frac{H}{2} = & - 10,90. & & &
 \end{array}$$

Resultate

für 1830. Januar 23. 5^h 41'

$$\begin{array}{rcl}
 \text{Breite} & = & - 0^{\circ} 5' 5'' \\
 \text{Länge} & = & 229^{\circ} 8' 10'' \\
 \text{Inclination} & = & 3^{\circ} 11',00 \text{ B.}
 \end{array}$$

1830. JANUAR 23. 7^h 15' W. Zt.

SUEDLICHE GROSSE OCEAN.

Intensität.

Nadel B. 106.

$$I = 4^{\circ} 42',00$$

$$I = 4^{\circ} 34',74$$

$$I' = 4^{\circ} 34',74$$

$$I = 4^{\circ} 24',00$$

$$I'' = 2^{\circ} 0',96$$

$$I''' = 2^{\circ} 14',28$$

Es wurde zweimal umgestrichen.

$$i' = 3^{\circ} 20',74$$

$$+ \frac{F}{2} = + 13,30$$

$$- \frac{H}{2} = - 13,37.$$

Resultate

für 1830. Januar 23. 7^h 27'

$$\text{Breite} = - 0^{\circ} 2' 56''$$

$$\text{Länge} = 228^{\circ} 58' 19''$$

$$\text{Inclination} = 3^{\circ} 20',67 \text{ B.}$$

1830. JANUAR 23. 10^h 30' W. Zt.

NOERDLICHE GROSSE OCEAN.

Inclination.

Nadel B. 107.

$$\begin{array}{rclcl}
 l = 4^{\circ} 30',96 & l' = 4^{\circ} 24',72 & l'' = 2^{\circ} 9',48 & l''' = 2^{\circ} 23',76 & \\
 & i' = 3^{\circ} 22',23 & & & \\
 & + \frac{F}{2} = + 10,61 & & & \\
 & - \frac{H}{2} = - 10,67. & & &
 \end{array}$$

Resultate

für 1830. Januar 23. 10^h 42'

$$\begin{array}{rcl}
 \text{Breite} & = & 0^{\circ} 1' 17'' \\
 \text{Länge} & = & 228^{\circ} 39' 22'' \\
 \text{Inclination} & = & 3^{\circ} 22',17 \text{ B.}
 \end{array}$$

1830. JANUAR 23. 11^h 15' K.

NOERDLICHE GROSSE OCEAN.

Inclination.

Nadel B. 108.

$$I = 4^{\circ} 57',48; \quad I' = 4^{\circ} 40',74 \quad I'' = 2^{\circ} 40',74 \quad I''' = 2^{\circ} 43',92$$

$$i' = 3^{\circ} 45',72$$

$$+ \frac{F}{2} = + 8,87$$

$$- \frac{H}{2} = - 8,93.$$

Intensität.

Inclinations-Nadel A.

11 ^h 33' 54",0	40' 25",6	r'	3",90419	$\log T_0$	= 0,587079
34	35,2	39	47,4	$r'E^2.F(z) - 2402$	π = 38° 46'
35	15,6	39	8,8	$r'E^4.F'(z) - 27$	$\log \cos(\pi+u) = 9,876716$
35	54,8	38	30,2	$r'E^6.F''(z) - 0$	$\text{cp.} \log \sin u = 1,378928$
36	34,0	37	51,4		$\text{cp.} \log \phi = 8,735245$
11 ^h	37'	13",2		$\log F$	= 9,990889

$$E = 40^{\circ},0 \quad e = 5^{\circ},0 \quad v = + 17^{\circ},8.$$

Resultate

für 1830. Januar 23. 16^h 31'

$$\text{Breite} = 0^{\circ} 6' 52''$$

$$\text{Länge} = 228^{\circ} 8' 32''$$

$$\text{Inclination} = 3^{\circ} 45',66 \text{ B.}$$

$$\text{Ganze Intens.} = 0,97924 \text{ A.}$$

1830. JANUAR 23. 21^h 30' und 22^h 0' W. Zt.

NOERDLICHE GROSSE OCEAN.

Inclination.

Nadel B. 109 und 110.

$$\begin{array}{llll} I = 5^{\circ} 27',48 & I' = 5^{\circ} 1',86 & I'' = 3^{\circ} 13',80 & I''' = 3^{\circ} 18',96 \\ I = 5^{\circ} 31',26 & I' = 4^{\circ} 59',76 & I'' = 2^{\circ} 46',98 & I''' = 2^{\circ} 57',48 \end{array}$$

$$\begin{array}{rcl} i' & = & 4^{\circ} 15',52 \\ + \frac{F}{2} & = & + 8,87 \\ - \frac{H}{2} & = & - 10,05. \end{array}$$

und:

$$\begin{array}{rcl} i' & = & 4^{\circ} 3',87 \\ + \frac{F}{2} & = & + 10,35 \\ - \frac{H}{2} & = & - 10,67. \end{array}$$

Resultate

für 1830. Januar 23. 21^h 42' und 22^h 12'

$$\begin{array}{ll} \text{Breite} & = 0^{\circ} 12' 1'' \\ & = 0^{\circ} 11' 45'' \\ \text{Länge} & = 227^{\circ} 44' 10'' \\ & = 227^{\circ} 41' 37'' \\ \text{Inclination} & = 4^{\circ} 14',34 \\ & = 4^{\circ} 3',87 \end{array}$$

1830. JANUAR 24. 19^h 48' K.

NOERDLICHE GROSSE OCEAN.

Inclination.

Nadel B. 111.

$$I = 4^{\circ} 48',00 \quad I' = 4^{\circ} 31',25 \quad I'' = 2^{\circ} 52',25 \quad I''' = 2^{\circ} 54',00$$

$$i' = 3^{\circ} 46',37$$

$$+ \frac{F}{2} = + 6,24$$

$$- \frac{H}{2} = - 6,28.$$

Intensität.

Inclinations-Nadel A.

19 ^b 51' 54'',4	58' 44'',0	r'	4'',06527	$\log T_0$	<u>= 0,596878</u>
52 38,4	58 3,2	$r'E^2.F(z) -$	9232	π	<u>= 38° 46'</u>
53 21,6	57 22,8	$r'E^4.F'(z) -$	334	$\log \cos(\pi+u)$	= 9,875983
54 4,0	56 44,4	$r'E^6.F''(z) -$	19	$\text{cp.} \log \sin u$	= 1,359357
54 44,8	56 6,0			$\text{cp.} \log \Phi$	= 8,735094
19 ^b 55' 25'',0				$\log F$	= 9,970434

$$E = 70^{\circ},0 \quad e = 12^{\circ},0 \quad v = + 19^{\circ},0.$$

19 ^b 59' 32'',0	63' 31'',8	r'	4'',00143	$\log T_0$	<u>= 0,599734</u>
60 10,8	62 52,2	$r'E^2.F(z) -$	564	π	<u>= 38° 46'</u>
60 50,2	62 8,4	$r'E^4.F'(z) -$	1	$\log \cos(\pi+u)$	= 9,875760
19 ^b 61' 27'',4		$r'E^6.F''(z) -$	0	$\text{cp.} \log \sin u$	= 1,353579
				$\text{cp.} \log \Phi$	= 8,735094
				$\log F$	= 9,964433

$$E = 15^{\circ},0 \quad e = 4^{\circ},0 \quad v = + 19^{\circ},0.$$

Resultate

für 1830. Januar 24. 1^b 4'

Breite	=	0° 10' 10''
Länge	=	227° 44' 1''
Inclination	=	3° 46',33 B.
Ganze Intens.	=	0,93419 A.
	=	0,92137 A.

1830. JANUAR 24. 23^h 35' K.

NOERDLICHE GROSSE OCEAN.

Inclination.

Nadel B. 112.

$$I = 5^{\circ} 35',22 \quad I' = 5^{\circ} 29',46 \quad I'' = 2^{\circ} 51',50 \quad I''' = 3^{\circ} 28',74$$

$$I'' = 2^{\circ} 53',46 \quad I''' = 3^{\circ} 19',74$$

Es wurde zweimal umgestrichen.

$$i' = 4^{\circ} 20',35$$

$$+ \frac{F}{2} = + 9,85$$

$$- \frac{H}{2} = - 10,08.$$

Intensität.

Inclinations-Nadel A.

23 ^h 40' 51'',2	47' 25'',1	r'	$3'',94282 \log T_0$	$= 0,591258$
41 31,2	46 46,3	$r'E^2.F(z) -$	2426π	$= 39^{\circ} 20'$
42 9,4	46 7,5	$r'E^4.F'(z) -$	$28 \log \cos(\pi+u)$	$= 9,872739$
42 50,0	45 27,9	$r'E^6.F''(z) -$	$0 \text{ cp.} \log \sin u$	$= 1,374057$
43 31,8	44 48,9		$\text{cp.} \log \Phi$	$= 8,734960$
23 ^h 44'	11'',6		$\log F$	$= 9,981756$

$$E = 40^{\circ},0 \quad e = 5^{\circ},0 \quad v = + 18^{\circ},8.$$

Resultate

für 1830. Januar 24. 4^h 48'

$$\begin{aligned} \text{Breite} &= 0^{\circ} 8' 10'' \\ \text{Länge} &= 227^{\circ} 11' 56'' \\ \text{Inclination} &= 4^{\circ} 20',12 \text{ B.} \\ \text{Ganze Intens.} &= 0,95886 \text{ A.} \end{aligned}$$

1830. JANUAR 24. 5^h 58' K.

NOERDLICHE GROSSE OCEAN.

Inclination.

Nadel B. 113.

$$\begin{array}{rclcl}
 I = 5^{\circ} 8',22 & I' = 4^{\circ} 59',70 & I'' = 2^{\circ} 39',24 & I''' = 2^{\circ} 43',26 & \\
 & i' = 3^{\circ} 52',60 & & & \\
 + \frac{F}{2} = & + 10,94 & & & \\
 - \frac{H}{2} = & - 10,85 & & &
 \end{array}$$

Intensität.

Inclinations-Nadel A.

$$\begin{array}{rclcl}
 6^h \ 1' 23'',2 & 5' 19'',6 & \tau' & 3'',92643 \log T_0 & = 0,589507 \\
 2 \ 1,2 & 4 \ 37,6 & \tau' E^2. F(z) - 2512 \pi & & = 38^{\circ} 53' \\
 2 \ 41,6 & 3 \ 59,0 & \tau' E^4. F'(z) - 31 \log \cos(\pi+u) & & = 9,875787 \\
 6^h \ 3' 20'',4 & & \tau' E^6. F''(z) - 0 \text{ cp. log sin } u & & = 1,374784 \\
 & & & \text{cp. log } \phi & = 8,734760 \\
 & & & \log F & = 9,985331
 \end{array}$$

$$E = 40^{\circ},0 \quad e = 5^{\circ},0 \quad v = + 17^{\circ},3.$$

$$\begin{array}{rclcl}
 6^h \ 7' 35'',8 & 11' 29'',2 & \tau' & 3'',87358 \log T_0 & = 0,583599 \\
 8 \ 14,8 & 10 \ 48,4 & \tau' E^2. F(z) - 2477 \pi & & = 38^{\circ} 53' \\
 8 \ 52,8 & 10 \ 10,0 & \tau' E^4. F'(z) - 30 \log \cos(\pi+u) & & = 9,876219 \\
 6^h \ 9' 30'',8 & & \tau' E^6. F''(z) - 0 \text{ cp. log sin } u & & = 1,386600 \\
 & & & \text{cp. log } \phi & = 8,734760 \\
 & & & \log F & = 9,997579
 \end{array}$$

$$E = 40^{\circ},0 \quad e = 5^{\circ},0 \quad v = + 17^{\circ},3.$$

Resultate

für 1830. Januar 24. 11^h 9'

$$\begin{array}{rcl}
 \text{Breite} & = & 0^{\circ} \ 0' \ 28'' \\
 \text{Länge} & = & 226^{\circ} \ 49' \ 32'' \\
 \text{Inclination} & = & 3^{\circ} \ 52',69 \text{ B.} \\
 \text{Ganze Intens.} & = & 0,96679 \text{ A.} \\
 & = & 0,99444 \text{ A.}
 \end{array}$$

1830. JANUAR 24. 12^h 20' K.

SUEDLICHE GROSSE OCEAN.

Inclination.

Nadel B. 114.

$$\begin{array}{rclcl}
 I = 4^{\circ} 55',26 & I' = 4^{\circ} 14',76 & I'' = 1^{\circ} 47',32 & I''' = 1^{\circ} 56',00 & \\
 & i' = 3^{\circ} 13',38 & & & \\
 + \frac{F}{2} = & + 16,87 & & & \\
 - \frac{H}{2} = & - 17,53. & & &
 \end{array}$$

Resultat

für 1830. Januar 24. 17^h 29'

$$\begin{array}{rcl}
 \text{Breite} & = & - 0^{\circ} 15' 0'' \\
 \text{Länge} & = & 226^{\circ} 24' 51'' \\
 \text{Inclination} & = & 3^{\circ} 12',72 \text{ B.}
 \end{array}$$

1830. JANUAR 24. 16^h 10' K.

SUEDLICHE GROSSE OCEAN.

Inclination.

Nadel B. 115.

$$\begin{aligned}
 I &= 3^{\circ} 59',76 & I' &= 3^{\circ} 43',26 & I'' &= 1^{\circ} 24',00 & I''' &= 1^{\circ} 28',26 \\
 & & i' &= 2^{\circ} 38',82 \\
 & & + \frac{F}{2} &= & + 16,66 \\
 & & - \frac{H}{2} &= & - 16,76.
 \end{aligned}$$

Intensität.

Inclinations-Nadel A.

16 ^h 19' 46",0	24' 24",0	r'	3",97428	$\log T_0$	$= 0,594201$
20 26,0	23 44,8	$rE^2.F(z)$	— 2915	π	$= 37^{\circ} 39'$
21 5,6	23 5,2	$rE^4.F'(z)$	— 45	$\log \cos(\pi+u)$	$= 9,883217$
21 46,0	22 25,6	$rE^6.F''(z)$	— 1	$\text{cp.} \log \cos u$	$= 1,358021$
				$\text{cp.} \log \varphi$	$= 8,734590$
				$\log F$	$= 9,975828$

$$E = 45^{\circ},0 \quad e = 5^{\circ},0 \quad v = + 18^{\circ},5.$$

Resultate

für 1830. Januar 24. 21^h 19'

$$\begin{aligned}
 \text{Breite} &= - 0^{\circ} 29' 16'' \\
 \text{Länge} &= 236^{\circ} 8' 29'' \\
 \text{Inclination} &= 2^{\circ} 38',72 \text{ B.} \\
 \text{Ganze Intens.} &= 0,94386 \text{ A.}
 \end{aligned}$$

1830. JANUAR 25. 19^h 40' K.

SUEDLICHE GROSSE OCEAN.

Inclination.

Nadel B. 116.

$$I = 3^{\circ} 46',39 \quad I' = 3^{\circ} 12',37 \quad I'' = 0^{\circ} 57',50 \quad I''' = 1^{\circ} 11',00$$

$$i' = 2^{\circ} 16',81$$

$$+ \frac{F}{2} = + 18,77$$

$$- \frac{H}{2} = - 19,74.$$

Intensität.

Inclinations-Nadel A.

19 ^h 50' 2'',8	56' 44'',8	r'	$4'',02191 \log T_0$	$= 0,595070$
50 42,4	56 4,0	$r'E^2.F(z) - 6790 \pi$		$= 37^{\circ} 16'$
51 21,6	53 23,6	$r'E^4.F'(z) - 107 \log \cos(\pi + u)$		$= 9,885510$
52 2,4	54 43,4	$r'E^6.F''(z) - 2 \text{ cp. log sin } u$		$= 1,354084$
52 42,8	54 2,4		$\text{cp. log } \Phi$	$= 8,734510$
18 ^h 53' 22'',0			$\log F$	$= 9,974104$

$$E = 35^{\circ} \quad e = 25^{\circ} \quad v = + 19^{\circ},0.$$

Resultate

für 1830. Januar 25. 0^h 48'

$$\text{Breite} = - 0^{\circ} 40' 31''$$

$$\text{Länge} = 225^{\circ} 57' 18''$$

$$\text{Inclination} = 2^{\circ} 15',84 \text{ B.}$$

$$\text{Ganze Intens.} = 0,94212 \text{ A.}$$

1830. JANUAR 25. 0^h 0' K.

SUEDLICHE GROSSE OCEAN.

Inclination.

Nadel B. 117.

$$\begin{aligned}
 I &= 3^{\circ} 42',12 & I' &= 3^{\circ} 11',22 & I'' &= 0^{\circ} 48',24 & I''' &= 1^{\circ} 6',66 \\
 & & i &= 2^{\circ} 12',06 \\
 & & + \frac{F}{2} &= + 20,45 \\
 & & - \frac{H}{2} &= - 21,55.
 \end{aligned}$$

Intensität.

Inclinations-Nadel A.

0 ^h 17' 46'',4	23' 43'',2	r'	3'',91570	$\log T_0$	$= 0,589798$
18 28,4	21 3,6	$rE^2.F(z) - 1040$	π		$= 37^{\circ} 11'$
19 9,6	20 25,2	$rE^4.F'(z) -$	7	$\log \cos(\pi+u)$	$= 9,886401$
0 ^h 19' 48'',0		$rE^6.F''(z) -$	0	$\text{cp.} \log \sin u$	$= 1,364148$
				$\text{cp.} \log \psi$	$= 8,734430$
				$\log F$	$= 9,984979$

$$E = 30^{\circ},0 \quad e = 2^{\circ},0 \quad v = + 18^{\circ},0.$$

Resultate

für 1830 Januar 25. 5^h 7'

$$\begin{aligned}
 \text{Breite} &= - 0^{\circ} 52' 55'' \\
 \text{Länge} &= 225^{\circ} 43' 32'' \\
 \text{Inclination} &= 2^{\circ} 10',96 \text{ B.} \\
 \text{Ganze Intens.} &= 0,96600 \text{ A.}
 \end{aligned}$$

1830. JANUAR 25. 6^h 15' K.

SUEDLICHE GROSSE OCEAN.

Inclination.

Nadel B. 118.

$$I = 2^{\circ} 30',96 \quad I' = 1^{\circ} 43',50 \quad I'' = 0^{\circ} 56',46 \quad I''' = 1^{\circ} 0',00$$

$$-I' = 1^{\circ} 32',73$$

$$+ \frac{F}{2} = + 5,53$$

$$- \frac{H}{2} = - 7,27.$$

Intensität.

Inclinations-Nadel A.

6 ^h 25' 32'',8	29' 27'',6	r'	3'',90286	$\log T_0$	$= 0,583053$
26 12,8	28 48,4	$r'E^2.F(z) -$	5936	π	$= 36^{\circ} 31'$
26 52,0	28 9,2	$r'E^2.F'(z) -$	12	$\log \cos(\pi+u) =$	9,890875
6 ^h 27' 31'',2		$r'E^6.F''(z) -$	3	$\text{cp.} \log. \sin u =$	1,373847
				$\text{cp.} \log. \Phi =$	8,734303
				$\log F =$	9,999027

$$E = 50^{\circ},0 \quad e = 10^{\circ},0 \quad v = + 17^{\circ},0.$$

Resultate

für 1830. Januar 25. 11^h 21'

Breite	$= - 1^{\circ} 6' 43''$
Länge	$= 225^{\circ} 27' 31''$
Inclination	$= 1^{\circ} 30',99 \text{ B.}$
Ganze Intens.	$= 0,99776 \quad \text{A.}$

 1830. JANUAR 25. 18^h 30' W. Zt.

 SUEDLICHE GROSSE OCEAN.

Inclination.

Nadel B. 119*).

$$I = 2^{\circ} 43',26 \quad I' = 2^{\circ} 13',20 \quad I'' = -0^{\circ} 13',74 \quad I''' = -0^{\circ} 7',98$$

$$i' = 1^{\circ} 8',68$$

$$+ \frac{F}{2} = + 40,23$$

$$- \frac{H}{2} = - 42,55.$$

Resultate

für 1830. Januar 25. 18^h 43'

$$\text{Breite} = -1^{\circ} 30' 18''$$

$$\text{Länge} = 225^{\circ} 3' 4''$$

$$\text{Inclination} = 1^{\circ} 6',36 \text{ B.}$$

*) Das Minuszeichen bedeutet sowohl vor den einzelnen Neigungswinkeln als auch vor den Inclinationen, daß sich das nach Süden gekehrte Ende der Nadel unter dem Horizonte befand.

1830. JANUAR 25. 16^h 55' K.

SUEDLICHE GROSSE OCEAN.

Inclination.

Nadel B. 120.

$$\begin{aligned}
 I &= 1^\circ 7',98 & I' &= 0^\circ 53',46 & I'' &= -1^\circ 30',72 & I''' &= -1^\circ 24',00 \\
 & & i' &= & &= -0^\circ 13',32 \\
 & + \frac{F-H}{2} & &= & &0,00.
 \end{aligned}$$

Intensität.

Inclinations-Nadel A.

17 ^h	1'	5'',2	7'	36'',8	τ'	3'',89600	$\log T_0$	$= 0,585104$
1	45,6	6	57,4		$\tau E^*.F(z) - 3144 \pi$			$= 34^\circ 47'$
2	27,2	6	18,4		$\tau E^*.F'(z) - 46 \log \cos(\pi+u)$			$= 9,900727$
3	3,2	5	38,2		$\tau E^*.F''(z) - 0 \text{ cp.} \log \sin u$			$= 1,360297$
3	42,0	4	58,8				$\text{cp.} \log \phi$	$= 8,734090$
17 ^h	4'	20'',8					$\log F$	$= 9,995114$

$$E = 45^\circ,0 \quad e = 6^\circ,0 \quad v = +20^\circ,0.$$

Resultate

für 1830. Januar 25. 21^h 58'

$$\begin{aligned}
 \text{Breite} &= -1^\circ 47' 31'' \\
 \text{Länge} &= 224^\circ 45' 22'' \\
 \text{Inclination} &= -0^\circ 13',32 \text{ B.} \\
 \text{Ganze Intens.} &= 0,98881 \text{ A.}
 \end{aligned}$$

1830. JANUAR 10. 23^h 15' W. Zt.

SUEDLICHE GROSSE OCEAN.

Inclination.

Nadel B. 121.

$$\begin{aligned}
 I &= 1^{\circ} 18',24 & I' &= 1^{\circ} 10',50 & I'' &= -1^{\circ} 5',76 & I''' &= -1^{\circ} 2',76 \\
 & & i' & & &= 0^{\circ} 5',06 \\
 & & + \frac{F-H}{2} &= & & 0,00.
 \end{aligned}$$

Resultate

für 1830. Januar 25. 23^h 28'

Breite	=	- 1°	51'	14''
Länge	=	224°	41'	42''
Inclination	=	- 0°	5',06	B.

1830. JANUAR 25. 23^h 30' W. Zt.

SUEDLICHE GROSSE OCEAN.

Inclination.

Nadel B. 122.

$$\begin{aligned}
 I &= 1^{\circ} 6',84 & I' &= 1^{\circ} 1',20 & I'' &= -1^{\circ} 25',62 & I''' &= -1^{\circ} 21',84 \\
 & & i' &= -0^{\circ} 10',10 \\
 & + \frac{F - H}{2} & & = & & 0,00.
 \end{aligned}$$

Resultate

für 1830. Januar 25. 23^h 43'

Breite	=	- 1° 52' 18"
Länge	=	224° 40' 34"
Inclination	=	- 0° 10',10

1830. JANUAR 26. 0^h 0' W. Zt.

SUEDLICHE GROSSE OCEAN.

Inclination.

Nadel B. 123.

$$\begin{aligned}
 I &= 1^{\circ} 1',98 & I' &= 0^{\circ} 51',72 & I'' &= -1^{\circ} 34',74 & I''' &= -1^{\circ} 9',48 \\
 & & i' & & &= -0^{\circ} 12',62 \\
 & + \frac{F-H}{2} & &= & & 0,00.
 \end{aligned}$$

Resultate

für 1830. Januar 26. 0^h 13'

Breite	= -1° 54' 25"
Länge	= 224° 38' 27"
Inclination	= -0° 12',62 B.

1830. JANUAR 26. 4^h 15' W. Zt.

SUEDLICHE GROSSE OCEAN.

Inclination.

Nadel B. 124.

$$\begin{aligned}
 I &= 1^{\circ} 22',73 & I' &= 0^{\circ} 45',25 & I'' &= -1^{\circ} 23',75 & I''' &= -1^{\circ} 1',00 \\
 & & i' &= -0^{\circ} 4',18 & & & & \\
 + \frac{F-II}{2} &= & & 0,00. & & & &
 \end{aligned}$$

Resultate

für 1830. Januar 26. 4^h 28'

Breite = -1° 53' 22"
 Länge = 224° 17' 27"
 Inclination = -0° 4',18 B.

1830. JANUAR 26. 2^h 53' K.

SUEDLICHE GROSSE OCEAN.

Inclination.

Nadel B. 125.

$$I = 1^{\circ} 25',39 \quad I' = 1^{\circ} 16',50 \quad I'' = -0^{\circ} 52',25 \quad I''' = -0^{\circ} 39',00$$

$$\begin{aligned} i' &= 0^{\circ} 17',66 \\ + \frac{F-H}{2} &= 0,00. \end{aligned}$$

Intensität.

Inclinations. Nadel A.

2 ^h 58' 48",0	63' 22",4	i'	3'',92047	$\log T_0$	= 0,588712
59 28,0	62 43,6	$i'E^2.F(z)$	- 2472	π	= 35° 18'
60 7,6	62 6,2	$i'E^4.F'(z)$	- 29	$\log \cos(\pi+u)$	= 9,897564
60 47,6	61 26,2	$i'E^6.F''(z)$	- 0	$\text{cp.} \log \sin u$	= 1,355828
				$\text{cp.} \log \Phi$	= 8,733940
				$\log F$	= 9,987332

$$E = 40^{\circ},0 \quad e = 5^{\circ},0 \quad v = + 19^{\circ},0,$$

Resultate

für 1830. Januar 26. 7^h 52'

Breite	=	- 1° 52' 0"
Länge	=	223° 55' 0"
Inclination	=	0° 17',66 B.
Ganze Intens.	=	0,97123 A.

1830. JANUAR 26. 11^h 45' W. Zt.

SÜEDLICHE GROSSE OCEAN.

Inclination.

Nadel B. 126.

$$I = 1^{\circ} 32',00 \quad I' = 1^{\circ} 8',50 \quad I'' = -1^{\circ} 36',75 \quad I''' = -1^{\circ} 9',25$$

$$i' = -0^{\circ} 1',37$$

$$+ \frac{F-H}{2} = 0,00.$$

Resultate

für 1830. Januar 26. 11^h 58'

$$\text{Breite} = -1^{\circ} 54' 40''$$

$$\text{Länge} = 223^{\circ} 35' 43''$$

$$\text{Inclination} = -0^{\circ} 1',37 \text{ B.}$$

1830. JANUAR 26. 12^h 22' K.

SUEDLICHE GROSSE OCEAN.

Inclination.

Nadel B. 127.

$$I = 1^{\circ} 20',50 \quad I' = 0^{\circ} 56',75 \quad I'' = -2^{\circ} 11',50 \quad I''' = -1^{\circ} 31',75$$

$$i' = -0^{\circ} 21',50$$

$$+ \frac{F-H}{2} = 0,00.$$

Intensität.

Inclinations-Nadel A.

12 ^h 28'	1'',6	34' 51'',4	r'	4'',10891	$\log T_0$	= 0,594117
28	43,6	34 12,4	$r'E^2.F(z)$	— 15833	π	= 34° 39'
29	25,2	33 32,4	$r'E^4.F'(z)$	— 568	$\log \cos(\pi+u)$	= 9,900859
30	7,2	32 52,0	$r'E^4.F''(z)$	— 22	$\text{cp.} \log \sin u$	= 1,341571
30	46,2	32 10,6			$\text{cp.} \log \Phi$	= 8,733770
12 ^h 31'	29'',2				$\log F$	= 9,976200

$$E = 45^{\circ} \quad e = 45^{\circ} \quad v = + 19^{\circ},5.$$

Der Schwingungsbogen erhielt sich durch Wechsel von Ab- und Zunehmen in seiner ursprünglichen Gröfse.

Resultate

für 1830. Januar 26. 17^h 18'

Breite	= - 1° 52' 38"
Länge	= 222° 59' 27"
Inclination	= - 0° 21',50 B.
Ganze Intens.	= 0,94667 A.

1830. JANUAR 26. 14^h 10' K.

SUEDLICHE GROSSE OCEAN.

Inclination.

Nadel B. 128.

$$I = 1^{\circ} 35',50 \quad I' = 1^{\circ} 18',75 \quad I'' = -1^{\circ} 27',25 \quad I''' = -1^{\circ} 13',37$$

$$I'' = -1^{\circ} 23',39 \quad I''' = -1^{\circ} 2',71$$

Es wurde zweimal umgestrichen.

$$i' = 0^{\circ} 5',22$$

$$+ \frac{F - H}{2} = 0,00.$$

Resultate

für 1830. Januar 26. 19^h 1'

Breite	=	- 1^{\circ} 52' 24''
Länge	=	221^{\circ} 47' 39''
Inclination	=	0^{\circ} 5',22 B.

1830. JANUAR 26. 17^h 2' K.

SUEDLICHE GROSSE OCEAN.

Inclination.

Nadel B. 129.

$$I = 1^{\circ} 46',25 \quad I' = 1^{\circ} 8',46 \quad I'' = -1^{\circ} 44',73 \quad I''' = -1^{\circ} 6',50$$

$$-i' = 0^{\circ} 0',86$$

$$+ \frac{F - H}{2} = 0,00.$$

Intensität.

Inclinations-Nadel A.

17 ^h 9' 6'',4	15' 44'',8	r'	3'',97982	$\log T_0$	= 0,587737
9 47,2	15 5,6	$r'E^2.F(z) -$	9027	π	= 35° 1'
10 27,6	14 26,4	$r'E^4.F'(z) -$	173	$\log \cos(\pi + u)$	= 9,899239
11 8,0	13 46,4	$r'E^6.F''(z) -$	7	$\text{cp.} \log \sin u$	= 1,346263
11 47,8	13 6,8			$\text{cp.} \log \phi$	= 8,733360
17 ^h 12' 27'',2				$\log F$	= 9,979064

$$E = 50^{\circ},0 \quad e = 22^{\circ},0 \quad v = + 20^{\circ},0.$$

Resultate

für 1830. Januar 26. 21^h 55'

$$\text{Breite} = -1^{\circ} 51' 50''$$

$$\text{Länge} = 222^{\circ} 29' 47''$$

$$\text{Inclination} = 0^{\circ} 0',86 \quad \text{B.}$$

$$\text{Ganze Intens.} = 0,95294 \quad \text{A.}$$

1830. JANUAR 27. 0^h 0' W. Zt.

SUEDLICHE GROSSE OCEAN.

Inclination.

Nadel B. 130.

$$I = 1^{\circ} 45,82 \quad I' = 1^{\circ} 26,00 \quad I'' = -1^{\circ} 2,50 \quad I''' = -0^{\circ} 47,73$$

$$\bar{I} = 0^{\circ} 20,39$$

$$+ \frac{F - H}{2} = 0,00.$$

Resultate

für 1830. Januar 27. 0^h 13'

$$\text{Breite} = -1^{\circ} 51' 14''$$

$$\text{Länge} = 222^{\circ} 18' 26''$$

$$\text{Inclination} = 0^{\circ} 20,39 \text{ B.}$$

1830. JANUAR 27. 4^h 15' W. Zt.

SUEDLICHE GROSSE OCEAN.

Inclination.

Nadel B. 131.

$$\begin{aligned}
 I &= 2^{\circ} 6',45 & I' &= 1^{\circ} 53',40 & I'' &= -0^{\circ} 56',10 & I''' &= -0^{\circ} 48',00 \\
 & & i' &= 0^{\circ} 33',94 \\
 + \frac{F - H}{2} &= 0,00.
 \end{aligned}$$

Resultate

für 1830. Januar 27. 4^h 28'

$$\begin{aligned}
 \text{Breite} &= -1^{\circ} 48' 30'' \\
 \text{Länge} &= 221^{\circ} 41' 7'' \\
 \text{Inclination} &= 0^{\circ} 33',94 \text{ B.}
 \end{aligned}$$

1830. JANUAR 27. 7^h 29' K.

SUEDLICHE GROSSE OCEAN.

Inclination.

Nadel B. 132.

$$I = 1^{\circ} 55',50 \quad I' = 1^{\circ} 32',50 \quad I'' = -0^{\circ} 44',00 \quad I''' = -0^{\circ} 14',75$$

$$i' = 0^{\circ} 37',32$$

$$+ \frac{F-H}{2} = + 0,01.$$

Intensität.

Inclinations-Nadel A.

7 ^h 36' 28'',4	43' 29'',6	r'	$4'',23273 \log T_0$	$= 0,587937$
37 8,4	42 40,2	$r'E^2.F(z) - 33213 \pi$		$= 35^{\circ} 37'$
37 49,6	42 7,6	$r'E^4.F'(z) - 3133$	$\log \cos(\pi+u)$	$= 9,895803$
38 31,2	41 24,8	$r'E^6.F''(z) - 204$	$\text{cp.} \log \sin u$	$= 1,359114$
39 13,6	40 41,2		$\text{cp.} \log \Phi$	$= 8,733220$
7 ^h 39' 56'',4			$\log F$	$= 9,988137$

$$E = 80^{\circ},0 \quad e = 50^{\circ},0 \quad v = + 17^{\circ},5.$$

Resultate

für 1830. Januar 27. 12^h 18'

Breite	$= -1^{\circ} 29' 38''$
Länge	$= 221^{\circ} 12' 39''$
Inclination	$= 0^{\circ} 37',33 \text{ B.}$
Ganze Intens.	$= 0,97305 \text{ A.}$

1830. JANUAR 27. 15^h 5' K.

SUEDLICHE GROSSE OCEAN.

Inclination.

Nadel B. 133.

$$\begin{aligned}
 I &= 2^\circ 22',50 & I' &= 1^\circ 55',12 & I'' &= -0^\circ 9',75 & I''' &= 0^\circ 4',25 \\
 & & I' &= 1^\circ 3',03 \\
 & + \frac{F-H}{2} & & = -0,01.
 \end{aligned}$$

Intensität.

Inclinations-Nadel A.

15 ^h 15' 54",6	20' 37",6	τ	3'',97190	$\log T_0$	$= 0,591869$
16 35,6	19 58,4	$\tau E^2.F(z) -$	4543	π	$= 36^\circ 3'$
17 17,4	19 20,4	$\tau E^4.F'(z) -$	93	$\log \cos(\pi+u)$	$= 9,893361$
17 55,8	18 35,6	$\tau E^6.F''(z) -$	1	$\text{cp.} \log \sin u$	$= 1,363622$
				$\text{cp.} \log \phi$	$= 8,733090$
				$\log F$	$= 9,990073$

$$E = 45^\circ \quad e = 10^\circ \quad v = +20^\circ,8.$$

Resultate

für 1830. Januar 27. 19^h 50'

Breite	$= -1^\circ 27' 51''$
Länge	$= 220^\circ 25' 15''$
Inclination	$= 1^\circ 3',02 \text{ B.}$
Ganze Intens.	$= 0,97740 \text{ A.}$

1830. JANUAR 28. 0^h 15' W. Zt.

- SÜEDLICHE GROSSE OCEAN.

Inclination.

Nadel B. 134 und 135.

$$\begin{array}{rclcl}
 I = 2^{\circ} 18',25 & I' = 2^{\circ} 13',25 & I'' = -0^{\circ} 9',75 & I''' = 0^{\circ} 16',75 \\
 I = 2^{\circ} 34',37 & I' = 2^{\circ} 13',12 & I'' = -0^{\circ} 2',41 & I''' = 0^{\circ} 0',00 \\
 & i' = & 1^{\circ} 10',44 & \\
 + \frac{F - H}{2} = & + 0,03. & &
 \end{array}$$

Resultate

für 1830, Januar 28. 0^h 28'

$$\begin{array}{rcl}
 \text{Breite} & = & -1^{\circ} 26' 29'' \\
 \text{Länge} & = & 220^{\circ} 5' 38'' \\
 \text{Inclination} & = & 1^{\circ} 10',47 \text{ B.}
 \end{array}$$

1830. JANUAR 28. 1^h 12' K.

SUEDLICHE GROSSE OCEAN.

Inclination.

Nadel B. 136.

$$\begin{aligned}
 I &= 2^{\circ} 18',75 & I' &= 2^{\circ} 8',75 & I'' &= -0^{\circ} 27',50 & I''' &= 0^{\circ} 0',62 \\
 & & i' &= & & 1^{\circ} 0',13 & & \\
 & & + \frac{F - H}{2} &= & & + 0,02. & &
 \end{aligned}$$

Intensität.

Inclinations-Nadel A.

1 ^h 21' 42",4	23' 38",1	r'	3",95392	$\log T_0$	$= 0,591711$
22 22,8	24 58,8	$r'E^2.F(z) - 3011 \pi$			$= 36^{\circ} 0'$
23 1,2	24 19,2	$r'E^4.F'(z) - 46$	$\log \cos(\pi + u)$	$= 9,893316$	
1 ^h 23' 40",4		$r'E^4.F''(z) - 1$	$\text{cp.} \log \sin u$	$= 1,353662$	
			$\text{cp.} \log \phi$	$= 8,732880$	
			$\log F$	$= 9,979358$	

$$E = 45^{\circ},0 \quad e = 5^{\circ},0 \quad v = + 20^{\circ},0.$$

Resultate

für 1830. Januar 28. 5^h 54'

$$\begin{aligned}
 \text{Breite} &= -1^{\circ} 37' 10'' \\
 \text{Länge} &= 219^{\circ} 38' 39'' \\
 \text{Inclination} &= 1^{\circ} 0',17 \text{ B.} \\
 \text{Ganze Intens.} &= 0,95468 \text{ A.}
 \end{aligned}$$

1830. JANUAR 28. 8^h 30' W. Zt.

SUEDLICHE GROSSE OCEAN.

Inclination.

Nadel B. 137.

$$\begin{aligned}
 I &= 1^{\circ} 24',00 & I' &= 1^{\circ} 10',25 & I'' &= -0^{\circ} 53',25 & I''' &= -0^{\circ} 44',50 \\
 i' & & &= & 0^{\circ} 14',12 \\
 + \frac{F-H}{2} &= & & & 0,00.
 \end{aligned}$$

Resultate

für 1830. Januar 28. 8^h 43'

Breite	=	1° 40' 37"
Länge	=	219° 31' 35"
Inclination	=	0° 14',12 B.

1830. JANUAR 28. 7^h 7' K.

SUEDLICHE GROSSE OCEAN.

Inclination.

Nadel B. 138.

$$\begin{aligned}
 I &= 1^\circ 24',00 & I' &= 1^\circ 18',75 & I'' &= -1^\circ 29',75 & I''' &= -1^\circ 28',00 \\
 & & i' &= & -0^\circ 3',75 & & & \\
 & & + \frac{F-H}{2} &= & 0,00. & & &
 \end{aligned}$$

Intensität.

Inclinations-Nadel A.

7 ^h 14' 3'',6	17 58'',6	r'	3'',90782	$\log T_0$	= 0,587265
14 43,6	17 19,6	$r'E^2.F(z) -$	2501	π	= 34° 56'
15 24,0	16 41,2	$r'E^4.F'(z) -$	30	$\log \cos(\pi+u)$	= 9,899740
7 ^h 16' 3'',8		$r'E^6.F''(z) -$	0	$\text{cp.} \log \sin \pi$	= 1,356794
				$\text{cp.} \log \Phi$	= 8,732770
				$\log F$	= 9,989304

$$E = 40^\circ,0 \quad e = 5^\circ,0 \quad v = +19^\circ,0.$$

Resultate

für 1830. Januar 28. 11^h 48'

$$\begin{aligned}
 \text{Breite} &= -1^\circ 48' 25'' \\
 \text{Länge} &= 219^\circ 16' 2'' \\
 \text{Inclination} &= -0^\circ 3',75 \text{ B.} \\
 \text{Ganze Intens.} &= 0,97567 \text{ A.}
 \end{aligned}$$

1830. JANUAR 28. 15^h 39' K.

SUEDLICHE GROSSE OCEAN.

Inclination.

Nadel B. 139.

$$\begin{aligned}
 I &= 1^\circ 0',62 & I' &= 0^\circ 53',12 & I'' &= -1^\circ 43',00 & I''' &= -1^\circ 29',73 \\
 & & i' &= & -0^\circ 19',75 \\
 & + \frac{F-H}{2} & & = & 0,00.
 \end{aligned}$$

Intensität.

Inclinations-Nadel A.

15 ^h 46' 42'',4	50' 37'',6	τ'	3'',92000	$\log T_0$	= 0,587630
47 21,6	49 58,2	$\tau'E^2.F(z)$	- 3286	π	= 34° 40'
48 0,8	49 19,6	$\tau'E^4.F'(z)$	- 49	$\log \cos(\pi+u)$	= 9,901210
15 ^h 48' 40'',0		$\tau'E^4.F''(z)$	- 1	$\text{cp.} \log \sin u$	= 1,354659
				$\text{cp.} \log \Phi$	= 8,732580
				$\log F$	= 9,988449

$$E = 45^\circ,0 \quad e = 15^\circ,0 \quad v = +20^\circ,0.$$

Resultate

für 1830. Januar 28. 20^h 18'

$$\begin{aligned}
 \text{Breite} &= -2^\circ 11' 10'' \\
 \text{Länge} &= 218^\circ 39' 5'' \\
 \text{Inclination} &= -0^\circ 19',75 \text{ B.} \\
 \text{Ganze Intens.} &= 0,97375 \text{ A.}
 \end{aligned}$$

1830. JANUAR 28. 22^h 50' W. Zt.

SUEDLICHE GROSSE OCEAN.

Inclination.

Nadel B. 140.

$$\begin{array}{rcll}
 I = 1^{\circ} 20',50 & I' = 1^{\circ} 14',50 & I'' = -1^{\circ} 29',00 & I''' = -1^{\circ} 13',50 \\
 & i' = & = & -0^{\circ} 1',87 \\
 & + \frac{F-H}{2} = & & 0,00.
 \end{array}$$

Resultate

für 1830. Januar 28. 23^h 3'

$$\begin{array}{rcl}
 \text{Breite} & = & -2^{\circ} 0' 54'' \\
 \text{Länge} & = & 218^{\circ} 32' 51'' \\
 \text{Inclination} & = & -0^{\circ} 1',87 \quad \text{B.}
 \end{array}$$

1830. JANUAR 28. 19^h 0' K.

SUEDLICHE GROSSE OCEAN.

Intensität.

Inclinations-Nadel A.

18 ^h 56' 46",4	60' 47",2	r'	3",99858	$\log T_0$	= 0,587653
57 27,6	60 6,4	$r'E^2.F(z) -$	10648	π	= 34° 58'
58 7,2	59 26,8	$r'E^4.F'(z) -$	338	$\log \cos(\pi+u)$	= 9,899527
18 ^h 58' 46",4		$r'E^6.F''(z) -$	15	$\text{cp.} \log \sin u$	= 1,356195
				$\text{cp.} \log \phi$	= 8,732540
				$\log F$	= 9,988262

$$E = 60^\circ \quad e = 20^\circ \quad v = + 22^\circ,0.$$

19 ^h 2' 11",6	6' 7",6	r'	3",93430	$\log T_0$	= 0,589020
2 51,2	5 28,6	$r'E^2.F(z) -$	3299	π	= 34° 58'
3 30,8	4 49,6	$r'E^4.F'(z) -$	49	$\log \cos(\pi+u)$	= 9,899434
19 4' 9",6		$r'E^6.F''(z) -$	1	$\text{cp.} \log \sin u$	= 1,353461
				$\text{cp.} \log \phi$	= 8,732540
				$\log F$	= 9,985435

$$E = 45^\circ \quad e = 6^\circ \quad v = + 22^\circ,0^*$$

Resultate

für 1830. Januar 28. 23^h 38'

Breite	= - 1° 58' 37"
Länge	= 218° 30' 5"
Ganze Intens.	= 0,97333 A.
	= 0,96702 A.

1830. JANUAR 29. 0^h 0' W. Zt.

SUEDLICHE GROSSE OCEAN.

Inclination.

Nadel B. 141.

$$I = 1^{\circ} 18',75 \quad I' = 0^{\circ} 59',86 \quad I'' = -1^{\circ} 22',50 \quad I''' = -0^{\circ} 46',00$$

$$i' = 0^{\circ} 2',52$$

$$+ \frac{F-H}{2} = 0,00.$$

Resultate

für 1830. Januar 29. 0^h 13'

$$\text{Breite} = -1^{\circ} 56' 27''$$

$$\text{Länge} = 218^{\circ} 27' 28''$$

$$\text{Inclination} = 0^{\circ} 2',52 \text{ B.}$$

1830. JANUAR 29. 0^h 52' K.

SUEDLICHE GROSSE OCEAN.

Inclination.

Nadel B. 142.

$$\begin{aligned}
 I &= 1^{\circ} 21',75 & I' &= 1^{\circ} 10',50 & I'' &= -0^{\circ} 44',00 & I''' &= -0^{\circ} 47',50 \\
 & & i' &= 0^{\circ} 15',18 \\
 & + \frac{F-H}{2} & &= & 0,00.
 \end{aligned}$$

Resultate

für 1830. Januar 29. 5^h 28'

$$\begin{aligned}
 \text{Breite} &= -1^{\circ} 53' 16'' \\
 \text{Länge} &= 218^{\circ} 2' 45'' \\
 \text{Inclination} &= 0^{\circ} 15',18 \text{ B.}
 \end{aligned}$$

1830. JANUAR 29. 6^h 52' K.

SUEDLICHE GROSSE OCEAN.

Inclination.

Nadel B. 143.

$$\begin{aligned}
 I &= 0^\circ 48',75 & I' &= 0^\circ 42',00 & I'' &= -1^\circ 51',25 & I''' &= -1^\circ 44',25 \\
 & & i' &= & -0^\circ 31',18 \\
 + \frac{F - H}{2} &= & & & -0,02.
 \end{aligned}$$

Intensität.

Inclinations - Nadel A.

6 ^h 59' 42'',4	63' 40'',2	i'	3'',95930	$\log T_0$	= 0,592781
60 23,8	63 1,2	$i'E^2.F(z)$	— 2597	π	= 34° 29'
61 2,4	62 22,8	$i'E^4.F'(z)$	— 32	$\log \cos(\pi + u)$	= 9,901881
6 ^h 61' 43'',2		$i'E^6.F''(z)$	— 0	$\text{cp.} \log \sin u$	= 1,343399
				$\text{cp.} \log \Phi$	= 8,732268
				$\log F$	= 9,977548

$$E = 40^\circ,0 \quad e = 5^\circ,0 \quad v = + 19^\circ,0.$$

Resultate

für 1830. Januar 29. 11^h 27'

Breite	= -2° 19' 28''
Länge	= 217° 42' 1''
Inclination	= -0° 31',20 B.
Ganze Intens.	= 0,94959 A.

1830. JANUAR 29. 16^h 12' K.

SUEDLICHE GROSSE OCEAN.

Inclination.

Nadel B. 144.

$$\begin{aligned}
 I &= -0^{\circ} 20',50 & I' &= -0^{\circ} 32',00 & I'' &= -3^{\circ} 7',50 & I''' &= -3^{\circ} 0',75 \\
 i' &= & &= -1^{\circ} 45',18 \\
 + \frac{F-H}{2} &= & &= -0,05.
 \end{aligned}$$

Intensität.

Inclinations-Nadel A.

16 ^h 17' 26",8	22' 40",0	r	3",91316	$\log T_0$	$= 0,587119$
18' 6,8	22' 1,3	$rE^2.F(z)$	- 2902	π	$= 33^{\circ} 15'$
18' 46,0	21' 22,4	$rE^4.F'(z)$	- 43	$\log \cos(\pi+u)$	$= 9,908954$
19' 25,2	20' 44,0	$rE^6.F''(z)$	- 1	$\text{cp. log. sin } u$	$= 1,348449$
16 ^h 20' 4',4				$\text{cp. log } \phi$	$= 8,732080$
				$\log F$	$= 9,989483$

$$E = 45^{\circ},0 \quad e = 5^{\circ},0 \quad v = + 22^{\circ},0.$$

Resultate

für 1830. Januar 29. 20^h 43'

$$\begin{aligned}
 \text{Breite} &= -3^{\circ} 12' 13'' \\
 \text{Länge} &= 216^{\circ} 53' 36'' \\
 \text{Inclination} &= -1^{\circ} 45',23 \text{ B.} \\
 \text{Ganze Intens.} &= 0,97607 \text{ A.}
 \end{aligned}$$

1830. JANUAR 30. 20^h 12' K.

SUEDLICHE GROSSE OCEAN.

Inclination.

Nadel B. 145.

$$\begin{aligned}
 I &= -1^{\circ} 46',00 & I' &= -1^{\circ} 57',75 & I'' &= -4^{\circ} 26',00 & I''' &= -4^{\circ} 0',00 \\
 & & i' &= -3^{\circ} 2',43 \\
 + \frac{F}{2} &= & -13,48 \\
 - \frac{H}{2} &= & +13,89.
 \end{aligned}$$

Intensität.

Inclinations-Nadel A.

20 ^h 17' 29",6	20' 6",4	τ'	3'',91100	$\log T_0$	= 0,588261
18 8,8	19 26,3	$\tau' E^2.F(z)$	— 1676	π	= 31° 57'
20 ^h 18'	47",5	$\tau' E^4.F'(z)$	— 23	$\log \cos(\pi + u)$	= 9,915629
		$\tau' E^4.F''(z)$	— 0	$\text{cp.} \log \sin u$	= 1,339863
				$\text{cp.} \log \Phi$	= 8,731950
				$\log F$	= 9,987442

$$E = 40^{\circ},0 \quad e = 2^{\circ},0 \quad v = + 22^{\circ},0.$$

Resultate

für 1830. Januar 30. 0^h 43'

Breite	= - 3° 31' 25"
Länge	= 216° 41' 8"
Inclination	= - 3° 2',02 B.
Ganze Intens.	= 0,97150 A.

1830. JANUAR 30. 5^h 18' K.

SUEDLICHE GROSSE OCEAN.

Inclination.

Nadel B. 146.

$$I = -3^{\circ} 30',50 \quad I' = -3^{\circ} 45',25 \quad I'' = -6^{\circ} 37',25 \quad I''' = -6^{\circ} 20',75$$

$$i' = -5^{\circ} 3',41$$

$$+ \frac{F}{2} = -11,24$$

$$- \frac{H}{2} = +11,40.$$

Intensität

Inclinations-Nadel A.

5 ^h 35' 35'',2	39' 29'',2	r'	3'',89372	$\log T_0$	= 0,585103
36 15,2	38 50,4	$r'E^2.F(z)$	- 2963	π	= 29° 56'
36 55,0	38 13,4	$r'E^4.F'(z)$	- 45	$\log \cos(\pi+u)$	= 9,925689
5 ^h 37'	33'',4	$r'E^6.F''(z)$	- 1	$\text{cp.} \log \sin u$	= 1,337010
				$\text{cp.} \log \varphi$	= 8,731780
				$\log F$	= 9,994479

$$E = 45^{\circ},0 \quad c = 5^{\circ},0 \quad v = +21^{\circ},8.$$

Resultate

für 1830. Januar 30. 9^h 46'

$$\text{Breite} = -4^{\circ} 29' 49''$$

$$\text{Länge} = 216^{\circ} 8' 11''$$

$$\text{Inclination} = -5^{\circ} 3',25 \text{ B.}$$

$$\text{Ganze Intens.} = 0,98737 \text{ A.}$$

1830. JANUAR 30. 16^h 45' K.

SUEDLICHE GROSSE OCEAN.

Inclination.

Nadel B. 147.

$$I = -6^{\circ} 34',32 \quad I' = -6^{\circ} 27',22 \quad I'' = -8^{\circ} 38',50 \quad I''' = -8^{\circ} 18',50$$

$$i' = -7^{\circ} 29',63$$

$$+ \frac{F}{2} = -38,92$$

$$- \frac{H}{2} = +37,82.$$

Intensität.

Inclinations-Nadel. A.

16 ^h 54' 18",4	58' 11",2	r'	3",87358	$\log T_0$	= 0,383777
54 58,0	57 32,4	$r'E^2.F(z)$	- 1934	π	= 27° 30'
55 36,6	56 54,0	$r'E^2.F'(z)$	- 23	$\log \cos(\pi+u)$	= 9,936755
16 ^h 56' 15",6		$r'E^2.F''(z)$	- 0	$\text{cp.} \log \sin u$	= 1,329559
				$\text{cp.} \log \varphi$	= 8,731570
				$\log F$	= 9,997884

$$E = 40^{\circ},0 \quad e = 3^{\circ},0 \quad v = +22^{\circ},0.$$

Resultate

für 1830. Januar 30. 21^h 10'

$$\text{Breite} = -5^{\circ} 33' 31''$$

$$\text{Länge} = 215^{\circ} 29' 51''$$

$$\text{Inclination} = -7^{\circ} 30',73 \text{ B.}$$

$$\text{Ganze Intens.} = 0,99514 \text{ A.}$$

1830. JANUAR 31. 0^h 0' W. Zt.

SUEDLICHE GROSSE OCEAN.

Inclination.

Nadel B. 148.

$$I = -6^{\circ} 29',00 \quad I' = -7^{\circ} 4',50 \quad I'' = -9^{\circ} 31',00 \quad I''' = -9^{\circ} 29',25$$

$$i' = -8^{\circ} 8',43$$

$$+ \frac{F}{2} = -6,84$$

$$- \frac{H}{2} = +6,74.$$

Resultate

für 1830. Januar 31. 0^h 14'

$$\text{Breite} = -5^{\circ} 51' 7''$$

$$\text{Länge} = 215^{\circ} 19' 57''$$

$$\text{Inclination} = -8^{\circ} 8',53 \text{ B.}$$

1830. JANUAR 31. 6^h 55' K.

SUEDLICHE GROSSE OCEAN.

Inclination.

Nadel B. 149.

$$I = -8^{\circ} 42',00 \quad I' = -8^{\circ} 45',62 \quad I'' = -11^{\circ} 46',87 \quad I''' = -11^{\circ} 11',87$$

$$i' = -10^{\circ} 6',64$$

$$+ \frac{F}{2} = -3,84$$

$$- \frac{H}{2} = +3,65.$$

Intensität.

Inclinations-Nadel A.

7 ^h 5' 11'',2	11' 38'',8	τ'	3'',87073	$\log T_0$	= 0,582418
5 50,8	11 1,2	$\tau'E^2.F(z)$	- 3011	π	= 24° 53'
6 30,2	10 22,4	$\tau'E^4.F'(z)$	- 36	$\log \cos(\pi+u)$	= 9,947489
7 9,6	9 42,4	$\tau'E^6.F''(z)$	- 0	$\text{cp. log. sin } u$	= 1,322519
7 48,4	9 4,4			$\text{cp. log } \Phi$	= 8,731487
7 ^h 8' 27'',2				$\log F$	= 0,001495

$$E = 40^{\circ},0 \quad e = 7^{\circ},5 \quad v = +20^{\circ},0.$$

Resultate

für 1830. Januar 31. 11^h 17'

$$\text{Breite} = -7^{\circ} 2' 37''$$

$$\text{Länge} = 214^{\circ} 39' 21''$$

$$\text{Inclination} = -10^{\circ} 6',83 \text{ B.}$$

$$\text{Ganze Intens.} = 1,00345 \text{ A.}$$

1830. JANUAR 31. 15^h 0' K.

SUEDLICHE GROSSE OCEAN.

Inclination.

Nadel B. 150.

$$I = -9^{\circ} 49',50 \quad I' = -10^{\circ} 20',50 \quad I'' = -12^{\circ} 33',75 \quad I''' = -13^{\circ} 2',49$$

$$i' = -11^{\circ} 27',06$$

$$+ \frac{F}{2} = -0,40$$

$$- \frac{H}{2} = +0,40.$$

Intensität.

Inclinations-Nadel A.

15 ^h 24' 19'',2	29' 32'',8	r'	3'',91467	$\log T_0$	= 0,586791
24 58,8	28 53,2	$r'E^2.F(z)$	-2908	π	= 23° 33'
25 38,2	28 14,8	$r'E^2.F'(z)$	-43	$\log \cos(\pi+u)$	= 9,952315
26 17,6	27 35,6	$r'E^2.F''(z)$	-1	$\text{cp.} \log \sin u$	= 1,309227
15 ^h 26' 56'',0				$\text{cp.} \log \Phi$	= 8,731084
				$\log F$	= 9,992626

$$E = 45^{\circ},0 \quad e = 5^{\circ},0 \quad v = +27^{\circ},0.$$

Resultate

für 1830. Januar 31. 19^h 21'

Breite	= -7° 45' 3''
Länge	= 214° 18' 31''
Inclination	= -11° 27',06 B.
Ganze Intens.	= 0,98316 A.

1830. FEBRUAR 1. 20^h 0' K.

SUEDLICHE GROSSE OCEAN.

Inclination.

Nadel B. 151.

$$\begin{aligned}
 I &= -11^{\circ} 48',00 & I' &= -12^{\circ} 5',23 & I'' &= -14^{\circ} 8',50 & I''' &= -13^{\circ} 34',00 \\
 & & i' &= -12^{\circ} 53',93 \\
 & + \frac{F}{2} & & = & -2,07 \\
 & - \frac{H}{2} & & = & +2,31.
 \end{aligned}$$

Inclination.

Inclinations-Nadel A.

20 ^h 15' 41",6	20' 13",2	r'	3',87286	$\log T_0$	= 0,583602
16 20,8	19 34,8	$r'E^2.F(z)$	- 1933	π	= 22° 6'
16 59,4	18 54,0	$r'E^4.F'(z)$	- 22	$\log \cos(\pi+u)$	= 9,957628
17 37,4	18 15,6	$r'E^6.F''(z)$	0	$\text{cp.} \log \sin u$	= 1,310979
				$\text{cp.} \log \Phi$	= 8,730940
				$\log F$	= 9,999547

$$E = 40^{\circ},0 \quad c = 3^{\circ},0 \quad v = +23^{\circ},0.$$

Resultate

für 1830. Februar 1. 0^h 21'

$$\begin{aligned}
 \text{Breite} &= -8^{\circ} 5' 39'' \\
 \text{Länge} &= 214^{\circ} 6' 14'' \\
 \text{Inclination} &= -12^{\circ} 53',69 \text{ B.} \\
 \text{Ganze Intens.} &= 0,99896 \text{ A.}
 \end{aligned}$$

1830. FEBRUAR 1. 8^h 20' K.

SUEDLICHE GROSSE OCEAN.

Inclination.

Nadel B. 152.

$$I = -14^{\circ} 14',75 \quad I' = -14^{\circ} 15',75 \quad I'' = -16^{\circ} 30',50 \quad I''' = -16^{\circ} 13',25$$

$$i' = -15^{\circ} 18',56$$

$$+ \frac{F}{2} = -2,28$$

$$- \frac{H}{2} = +2,27.$$

Intensität.

Inclinations-Nadel A.

8 ^h 30' 46'',4	33' 11'',2	r'	3'',78322	$\log T_0$	= 0,573596
31 23,6	34 34,8	$r'E^2.F(z) -$	1888	π	= 19° 41'
32 4,0	33 57,2	$r'E^4.F'(z) -$	21	$\log \cos(\pi+u)$	= 9,965928
32 41,4	33 20,0	$r'E^6.F''(z) -$	0	$\text{cp.} \log \sin u$	= 1,323998
				$\text{cp.} \log \Phi$	= 8,730750
				$\log F$	= 0,020676

$$E = 40^{\circ},0 \quad e = 3^{\circ},0 \quad v = +21^{\circ},3.$$

8 ^h 38' 45'',2	42' 30'',8	r'	3'',75500	$\log T_0$	= 0,571348
39 24,6	41 54,4	$r'E^2.F(z) -$	1020	π	= 19° 41'
40 2,6	41 17,6	$r'E^4.F'(z) -$	10	$\log \cos(\pi+u)$	= 9,966015
8 ^h 40' 40'',4		$r'E^6.F''(z) -$	0	$\text{cp.} \log \sin u$	= 1,328494
				$\text{cp.} \log \Phi$	= 8,730750
				$\log F$	= 0,025259

$$E = 36^{\circ},0 \quad e = 1^{\circ},0 \quad v = +21^{\circ},3.$$

Resultate

für 1830. Februar 1. 12^h 37'

Breite	=	-9° 21' 56''
Länge	=	213° 23' 8''
Inclination	=	-15° 18',57 B.
Ganze Intens.	=	1,04875 A.
	=	1,05988 A.

1830. FEBRUAR 2. 0^h 0' W. Zt.

SUEDLICHE GROSSE OCEAN.

Inclination.

Nadel B. 153.

$$I = -16^{\circ} 14',75 \quad I' = -16^{\circ} 42',50 \quad I'' = -18^{\circ} 22',00 \quad I''' = -17^{\circ} 47',75$$

$$i' = -17^{\circ} 16',74$$

$$+ \frac{F}{2} = -1,06$$

$$- \frac{H}{2} = +1,08.$$

Intensität.

Inclinations-Nadel A.

20 ^h 24' 4'',0	29' 4'',7	r'	3'',76300	log T ₀ '	= 0,571154
24 42,2	28 28,1	r'E ² .F (z) -	2081	π	= 17° 43'
25 20,0	27 51,1	r'E ⁴ .F' (z) -	24	log cos (π+u)	= 9,971771
25 57,8	27 12,9	r'E ⁶ .F'' (z) -	0	cp. log sin u	= 1,323836
20 ^h 26'	34'',8			cp. log Φ	= 8,730508
				log F	= 0,026115

$$E = 40^{\circ},0 \quad e = 4^{\circ},0 \quad v = +20^{\circ},0.$$

Resultate

für 1830. Februar 2. 0^h 14'

$$\text{Breite} = -10^{\circ} 22' 25''$$

$$\text{Länge} = 212^{\circ} 45' 47''$$

$$\text{Inclination} = -17^{\circ} 16',72 \text{ B.}$$

$$\text{Ganze Intens.} = 1,06198 \text{ A.}$$

1830. FEBRUAR 2. 7^h 25' K.

SUEDLICHE GROSSE OCEAN.

Inclination.

Nadel B. 154.

$$I = -16^{\circ} 59',00 \quad I' = -17^{\circ} 27',50 \quad I'' = -19^{\circ} 45',75 \quad I''' = -18^{\circ} 59',75$$

$$i' = -18^{\circ} 18',00$$

$$+ \frac{F}{2} = -1,88$$

$$- \frac{H}{2} = +1,78.$$

Intensität.

Inclinations-Nadel A.

7 ^h 34' 53",2	39' 16",8	r	3",76405	log T ₀	= 0,572405
35 31,2	38 38,8	rE ² .F(z) — 1000	π		= 16° 42'
36 8,0	38 1,6	rE ² .F'(z) — 6	log cos (π+u)	= 9,974483	
36 46,0	37 23,8	rE ² .F''(z) — 0	cp. log sin u	= 1,318947	
			cp. log ϕ	= 8,730240	
			log F	= 0,023670	

$$E = 30^{\circ},0 \quad e = 2^{\circ},0 \quad v = +21^{\circ},3.$$

Resultate

für 1830. Februar 2. 11^h 38'

Breite	= -11° 13' 4"
Länge	= 212° 23' 49"
Inclination	= -18° 17',90 B.
Ganze Intens.	= 1,05602 A.

1830. FEBRUAR 2. 17^h 0' K.

SUEDLICHE GROSSE OCEAN.

Intensität.

Nadel B. 155.

$$I = -17^{\circ} 51',25 \quad I' = -17^{\circ} 56',25 \quad I'' = -20^{\circ} 44',38 \quad I''' = -20^{\circ} 7',50$$

$$i' = -19^{\circ} 9',85$$

$$+ \frac{F}{2} = -2,66$$

$$- \frac{H}{2} = +2,17.$$

Intensität.

Inclinations-Nadel A.

17 ^h 10' 20",0	14' 45",0	r'	3",78643	$\log T_0$	$= 0,572663$
10 58,4	14 8,0	$r'E^2.F(z) -$	2820	π	$= 15^{\circ} 50'$
11 37,0	13 30,2	$r'E^4.F'(z) -$	27	$\log \cos(\pi + u)$	$= 9,976707$
12 14,8	12 52,8	$r'E^6.F''(z) -$	0	$\text{cp.} \log \sin u$	$= 1,316514$
				$\text{cp.} \log \Phi$	$= 8,730040$
				$\log F$	$= 0,023261$

$$E = 33^{\circ},0 \quad e = 10^{\circ},0 \quad v = +23^{\circ},6.$$

Resultate

für 1830. Februar 2. 21^h 13'

$$\text{Breite} = -11^{\circ} 54' 10''$$

$$\text{Länge} = 212^{\circ} 17' 7''$$

$$\text{Inclination} = -19^{\circ} 10',34 \text{ B.}$$

$$\text{Ganze Intens.} = 1,05510 \text{ A.}$$

1830. FEBRUAR 3. 20^h, 15' K.

SUEDLICHE GROSSE OCEAN.

Inclination.

Nadel B. 156.

$$I = -18^{\circ} 11',00 \quad I' = -18^{\circ} 21',00 \quad I'' = -21^{\circ} 13',25 \quad I''' = -20^{\circ} 34',75$$

$$i' = -19^{\circ} 35',00$$

$$+ \frac{F}{2} = -2,81$$

$$- \frac{H}{2} = +2,27.$$

Intensität.

Inclinations-Nadel A.

20 ^h 28'	6'',8	32' 26'',4	r'	3'',71060	$\log T_0$	= 0,565027
28	43,1	31 49,2	$r'E^2.F(z) - 1522$	π		= 15° 24'
29	21,6	31 12,4	$r'E^4.F'(z) - 13$	$\log \cos(\pi + u)$	= 9,978022	
29	58,8	30 35,6	$r'E^6.F''(z) - 0$	$\text{cp.} \log \sin u$	= 1,330868	
				$\text{cp.} \log \Phi$	= 8,729978	
				$\log F$	= 0,038868	

$$E = 35^{\circ},0 \quad e = 3^{\circ},0 \quad v = +27^{\circ},0.$$

Resultate

für 1830. Februar 3. 0^h 28'

Breite	= -12° 2' 10''
Länge	= 212° 16' 58''
Inclination	= -19° 35',54 B.
Ganze Intens.	= 1,09355 A.

1830. FEBRUAR 3. 15^h 48' K.

SUEDLICHE GROSSE OCEAN.

Inclination.

Nadel B. 157.

$$I = -20^{\circ} 8',50 \quad I' = -20^{\circ} 14',50 \quad I'' = -22^{\circ} 36',73 \quad I''' = -22^{\circ} 16',73$$

$$\begin{aligned} i' &= -21^{\circ} 19',12 \\ + \frac{F}{2} &= -1,95 \\ - \frac{H}{2} &= +1,46. \end{aligned}$$

Intensität.

Inclinations-Nadel A.

5 ^h 58' 35'',6	62' 57'',6	r'	3'',74372	$\log T_0$	= 0,563626
59 13,6	62 21,8	$r'E^2.F(z)$	— 5025	π	= 13° 40'
59 51,2	61 43,6	$r'E^4.F'(z)$	— 82	$\log \cos(\pi+u)$	= 9,982028
60 28,8	61 6,0	$r'E^6.F''(z)$	— 2	$\text{cp.} \log \sin u$	= 1,326264
				$\text{cp.} \log \Phi$	= 8,729561
				$\log F$	= 0,037853

$$E = 42^{\circ},0 \quad e = 15^{\circ},0 \quad v = +20^{\circ},0.$$

Resultate

für 1830. Februar 3. 20^h 0'

Breite	= -12° 56' 24"
Länge	= 212° 1' 53"
Inclination	= -21° 19',61 B.
Ganze Intens.	= 1,09107 A.

1830. FEBRUAR 4. 20^h 30' K.

SUEDLICHE GROSSE OCEAN.

Inclination.

Nadel B. 158.

$$I = -20^{\circ} 9',62 \quad I' = -20^{\circ} 25',63 \quad I'' = -22^{\circ} 19',37 \quad I''' = -22^{\circ} 14',38$$

$$i' = -21^{\circ} 17',25$$

$$+ \frac{F}{2} = -1,50$$

$$- \frac{H}{2} = +1,12.$$

Intensität.

Inclinations-Nadel A.

20 ^h 40' 28",0	45' 24",8	r'	3",70033	$\log T_0$	= 0,563380
41 5,6	44 47,4	$r'E^2.F(z) -$	2045	π	= 13° 42'
41 42,8	44 10,0	$r'E^4.F'(z) -$	24	$\log \cos(\pi + u)$	= 9,982017
42 20,0	43 33,2	$r'E^4.F''(z) -$	0	$\text{cp.} \log \sin u$	= 1,330817
20 ^h 42' 56",8				$\text{cp.} \log \Phi$	= 8,729478
				$\log F$	= 0,042312

$$E = 40^{\circ},0 \quad e = 4^{\circ},0 \quad v = +25^{\circ},0.$$

Resultate

für 1830. Februar 4. 0^h 42'

Breite	= -13° 6' 39"
Länge	= 212° 1' 6"
Inclination	= -21° 17',63 B.
Ganze Intens.	= 1,10234 A.

1830. FEBRUAR 4. 15^h 30' K.

SUEDLICHE GROSSE OCEAN.

Inclination.

Nadel B. 159.

$$I = -21^{\circ} 18',50 \quad I' = -21^{\circ} 27',25 \quad I'' = -23^{\circ} 28',75 \quad I''' = -23^{\circ} 20',00$$

$$i' = -22^{\circ} 23',62$$

$$+ \frac{F}{2} = -1,52$$

$$- \frac{H}{2} = +1,09.$$

Intensität.

Inclinations-Nadel A.

15 ^h 45' 19'',6	51' 36'',0	r'	3'',76018	$\log T_0$	= 0,569340
45 58,8	50 59,8	$r'E^2.F(z)$	- 2436	π	= 12° 36'
46 37,6	50 22,6	$r'E^4.F'(z)$	- 34	$\log \cos(\pi+u)$	= 9,984200
47 15,2	49 45,6	$r'E^6.F''(z)$	- 0	$\text{cp.} \log \sin u$	= 1,316949
47 53,2	49 7,6			$\text{cp.} \log \varphi$	= 8,729059
15 ^h 48' 30'',4				$\log F$	= 0,030208

$$E = 45^{\circ},0 \quad e = 4^{\circ},0 \quad v = +30^{\circ},0.$$

Resultate

für 1830. Februar 4. 19^h 42'

$$\text{Breite} = -13^{\circ} 43' 59''$$

$$\text{Länge} = 212^{\circ} 5' 0''$$

$$\text{Inclination} = -22^{\circ} 24',05 \text{ B.}$$

$$\text{Ganze Intens.} = 1,07203 \text{ A.}$$

1830. FEBRUAR 5. 20^h 30' K.

SUEDLICHE GROSSE OCEAN.

Inclination.

Nadel B. 160.

$$I = -22^{\circ} 29',75 \quad I' = -22^{\circ} 35',50 \quad I'' = -24^{\circ} 48',25 \quad I''' = -24^{\circ} 1',00$$

$$i' = -23^{\circ} 28',62$$

$$+ \frac{F}{2} = -1,18$$

$$- \frac{H}{2} = +0,90.$$

Intensität.

Inclinations-Nadel A.

20 ^h 40' 28",4	44' 52",4	i'	3'',75857	$\log T_0$	= 0,570680
41 6,2	44 15,4	$i'E^2.F(z)$	- 1731	π	= 11° 31'
41 44,8	43 38,0	$i'E^4.F'(z)$	- 16	$\log \cos(\pi-u)$	= 9,986316
42 23,2	43 0,8	$i'E^6.F''(z)$	- 0	$\text{cp.} \log \cos u$	= 1,312489
				$\text{cp.} \log \Phi$	= 8,738972
				$\log F$	= 0,037777

$$E = 35^{\circ},0 \quad e = 4^{\circ},0 \quad v = +24^{\circ},0.$$

Resultate

für 1830. Februar 5. 0^h 41'

Breite	= -14° 1' 14"
Länge	= 211° 54' 23"
Inclination	= -23° 28',90 B.
Ganze Intens.	= 1,09088 A.

1830. FEBRUAR 6. 15^h 35' K.

SUEDLICHE GROSSE OCEAN.

Inclination.

Nadel B. 161.

$$I = -23^{\circ} 21',25 \quad I' = -24^{\circ} 21',25 \quad I'' = -26^{\circ} 23',00 \quad I''' = -25^{\circ} 29',83$$

$$\dot{I}' = -24^{\circ} 54',33$$

$$+ \frac{F}{2} = -1,20$$

$$- \frac{H}{2} = +0,94.$$

Intensität.

Inclinations-Nadel A.

15 ^h 46' 1'',7	52' 12'',8	τ'	3'',71136	$\log T_0$	= 0,564106
46 39,2	51 36,2	$\tau' E^2 \cdot F(z)$	-2285	π	= 10° 6'
47 17,2	50 59,6	$\tau' E^4 \cdot F'(z)$	-26	$\log \cos(\pi+u)$	= 9,989037
47 54,4	50 23,0	$\tau' E^6 \cdot F''(z)$	0	$\text{cp.} \log \sin u$	= 1,323613
48 31,8	49 46,4			$\text{cp.} \log \psi$	= 8,728050
15 ^h 49' 9'',2				$\log F$	= 0,040700

$$E = 40^{\circ},0 \quad e = 5^{\circ},0 \quad v = +28^{\circ},0.$$

Resultate

für 1830. Februar 6. 19^h 44'

$$\text{Breite} = -14^{\circ} 54' 43''$$

$$\text{Länge} = 211^{\circ} 22' 55''$$

$$\text{Inclination} = -24^{\circ} 54',59 \text{ B.}$$

$$\text{Ganze Intens.} = 1,09825 \text{ A.}$$

1830. FEBRUAR 9. 21^h 19' K.

SUEDLICHE GROSSE OCEAN.

Inclination.

Nadel B. 162.

$$I = -22^{\circ} 47,75 \quad I' = -24^{\circ} 1',50 \quad I'' = -25^{\circ} 55,75 \quad I''' = -24^{\circ} 49,25$$

$$i' = -24^{\circ} 23',56$$

$$+ \frac{F}{2} = -0,83$$

$$- \frac{H}{2} = +1,11.$$

Intensität.

Inclinations-Nadel A.

21 ^h 32' 19",2	38' 34",8	τ'	3'',75773	$\log T_0$	= 0,570781
32 57,6	37 58,0	$\tau' E^2 \cdot F(z)$	- 1537	π	= 10° 36'
33 35,6	37 20,4	$\tau' E^4 \cdot F'(z)$	-	14	$\log \cos(\pi + u) = 9,988013$
34 12,8	36 44,4	$\tau' E^6 \cdot F''(z)$	-	0	$\text{cp.} \log \sin u = 1,310955$
34 50,5	36 6,8			$\text{cp.} \log \Phi$	= 8,727430
21 ^h 35' 28",6				$\log F$	= 0,026398

$$E = 45^{\circ},0 \quad e = 4^{\circ},0 \quad v = +21^{\circ},8.$$

Resultat

für 1830. Februar 9. 1^h 22'

Breite	= -14° 42' 51"
Länge	= 209° 48' 29"
Inclination	= -24° 23',28 B.
Ganze Intens.	= 1,06292 A.

1830. FEBRUAR 13. 1^h 10' K.

SUEDLICHE GROSSE OCEAN.

Inclination.

Nadel B. 163.

$$I = -25^{\circ} 49',00 \quad I' = -26^{\circ} 33',50 \quad I'' = -28^{\circ} 15',00 \quad I''' = -27^{\circ} 42',25$$

$$\begin{aligned} I' &= -27^{\circ} 4',93 \\ + \frac{F}{2} &= -0,90 \\ - \frac{H}{2} &= +0,68. \end{aligned}$$

Intensität.

Inclinations-Nadel A.

1 ^h 18' 25'',2	24' 31'',6	r'	$3'',66346 \log T_0$	$= 0,558872$
19 3,2	23 56,0	$r'E^2.F(z) - 2395 \pi$		$= 7^{\circ} 55'$
19 40,4	23 20,4	$r'E^4.F'(z) - 28 \log \cos(\pi+u)$		$= 9,992543$
20 17,8	22 44,4	$r'E^4.F''(z) - 0 \text{ cp.} \log \sin u$		$= 1,331457$
20 54,6	22 8,0		$\text{cp.} \log \Phi$	$= 8,724842$
1 ^h 21' 31'',6			$\log F$	$= 0,048842$

$$E = 40^{\circ},0 \quad e = 6^{\circ},0 \quad v = +22^{\circ},0.$$

Resultate

für 1830. Februar 13. 5^h 6'

Breite	$= -16^{\circ} 27' 25''$
Länge	$= 208^{\circ} 6' 10''$
Inclination	$= -27^{\circ} 5',15 \text{ B.}$
Ganze Intens.	$= 1,11903 \text{ A.}$

1830. FEBRUAR 18.

POINT VENUS auf OTAEITI.

Inclination.

Nadel B. 164.

$$I = -29^{\circ} 1',88 \quad I' = -29^{\circ} 50',75 \quad I'' = -31^{\circ} 46',37 \quad I''' = -31^{\circ} 0',00$$

$$i' = -30^{\circ} 24',75$$

$$+ \frac{F}{2} = -0,95$$

$$- \frac{II}{2} = +0,65.$$

Intensität.

Cylindrische Nadel.

0 ^h 47' 45'',4	51' 30'',6	i'	2'',25173	$\log T_0$	= 0,348570
48 8,0	51 8,0	$i'E^2.F(z)$	— 835	$\log A+cd$	= 0,694019
48 30,6	50 45,7	$i'E^4.F'(z)$	— 3	$b f^2.tg^2 i$	= 2
48 53,2	50 23,4	$i'E^6.F''(z)$	— 0	$\log f$	= 9,996881
49 15,6	50 0,8				
0 ^h 49' 38'',2					

$$E = 20^{\circ},0 \quad e = 9^{\circ},0 \quad v = +24^{\circ},0.$$

0 ^h 56' 41'',2	60' 26'',4	i'	2'',25273	$\log T_0$	= 0,348763
57 3,8	60 4,0	$i'E^2.F(z)$	— 835	$\log A+cd$	= 0,694019
57 26,4	59 41,6	$i'E^4.F'(z)$	— 3	$b f^2.tg^2 i$	= 2
57 48,8	59 19,2	$i'E^6.F''(z)$	— 0	$\log f$	= 9,996495
58 11,6	58 56,4				
0 ^h 58' 34'',0					

$$E = 20^{\circ},0 \quad e = 9^{\circ},0 \quad v = +24^{\circ},0.$$

1 ^h 3' 22'',0	7' 7'',2	i'	2'',25218	$\log T_0$	= 0,348611
3 44,8	6 44,8	$i'E^2.F(z)$	— 907	$\log A+cd$	= 0,694019
4 7,2	6 22,4	$i'E^4.F'(z)$	— 4	$b f^2.tg^2 i$	= 2
4 29,8	6 0,0	$i'E^6.F''(z)$	— 0	$\log f$	= 9,996799
4 52,4	5 37,4				
1 ^h 5' 14'',8					

$$E = 20^{\circ},0 \quad e = 10^{\circ},0 \quad v = +23^{\circ},0.$$

Prismatische Nadel.

1 ^h 17' 52'',0	23' 20'',4	i'	3'',28364	$\log T_0$	= 0,512388
18 24,8	22 47,6	$i'E^2.F(z)$	— 1269	$\log A'+cd$	= 0,017911
18 57,8	22 14,8	$i'E^4.F'(z)$	— 5	$b'.f^2.tg^2 i$	= 2
19 30,8	21 42,0	$i'E^6.F''(z)$	— 0	$\log f$	= 9,993137
20 3,8	21 9,2				
1 ^h 20' 36'',4					

$$E = 20^{\circ},0 \quad e = 9^{\circ},5 \quad v = +23^{\circ},5.$$

1830. FEBRUAR 18.

POINT VENUS auf OTAEITI.

Prismatische Nadel.

1 ^h 24' 29",6	29' 58",0	r'	3'',28200	$\log T_0$	= 0,512267
25 2,8	29 25,2	$r'E^2.F(z)$	— 1268	$\log A' + c'd$	= 1,017911
25 35,6	28 52,4	$r'E^4.F'(z)$	— 5	$b' \Gamma . \lg^2 i$	= 2
26 8,4	28 19,6	$r'E^4.F''(z)$	— 0	$\log f$	= 9,993379
26 41,2	27 47,0				
1 ^h 27' 14",0					

$$E = 20^{\circ},0 \quad e = 9^{\circ},5 \quad v = + 22^{\circ},5.$$

Inclinations-Nadel A.

1 ^h 31' 30",4	37' 30",8	r'	3'',60255	$\log T_0$	= 0,553421
32 6,8	36 55,2	$r'E^2.F(z)$	— 788	π	= $4^{\circ} 35'$
32 43,0	36 19,0	$r'E^4.F'(z)$	— 5	$\log \cos(\pi+u)$	= 9,996557
33 19,2	35 43,0	$r'E^4.F''(z)$	— 0	$\text{cp.} \log \sin u$	= 1,339591
33 55,2	35 6,8			$\text{cp.} \log \Phi$	= 8,722143
1 ^h 34' 31",2				$\log F$	= 0,058291

$$E = 30^{\circ},0 \quad e = 1^{\circ},5 \quad v = + 23^{\circ},0.$$

1 ^h 40' 14",0	46' 14",4	r'	3'',60091	$\log T_0$	= 0,553224
40 50,4	45 38,4	$r'E^2.F(z)$	— 787	π	= $4^{\circ} 35'$
41 26,8	45 2,8	$r'E^4.F'(z)$	— 5	$\log \cos(\pi+u)$	= 9,996560
42 3,2	44 26,8	$r'E^4.F''(z)$	— 0	$\text{cp.} \log \sin u$	= 1,339985
42 39,2	43 51,0			$\text{cp.} \log \Phi$	= 8,722143
1 ^h 43' 15",2				$\log F$	= 0,058688

$$E = 30^{\circ},0 \quad e = 1^{\circ},5 \quad v = + 23^{\circ},0.$$

Resultate

für 1830. Februar 18. 5^h 6'

Breite	=	— 17° 29' 17"
Länge	=	208° 9' 30"
Inclination	=	— 30° 25',05 B.
Horiz. Intens.	=	0,99249 C.
	=	0,98460 P.
Ganze Intens.	=	1,14632 C. u. P.
	=	1,14364 A.
	=	1,14469 A.

1830. FEBRUAR 20.

POINT VENUS auf OTAEITL *)

Inclination.

Nadel B.

$$I = -29^{\circ} 31',25 \quad I' = -30^{\circ} 12',25 \quad I'' = -31^{\circ} 28',62 \quad I''' = -30^{\circ} 25',25$$

$$i' = -30^{\circ} 26',84$$

$$+ \frac{F}{2} = -0,22$$

$$- \frac{H}{2} = +0,29.$$

Intensität.

Cylindrische Nadel.

3 ^b 18' 29",2	22' 13",6	r'	2'',24527	$\log T_0 = 0,347744$
18 51,6	21 51,2	$r'E^2.F(z)$	— 832	$\log A'+cd = 0,694057$
19 14,0	21 28,8	$r'E^4.F'(z)$	— 3	$b' f^2. \operatorname{tg}^2 i = 2$
19 36,4	21 6,4	$r'E^6.F''(z)$	— 0	$\log f = 9,998571$
19 59,0	20 44,0			
3 ^b 20'	21'',6			

$$E = 20^{\circ},0 \quad e = 9^{\circ},0 \quad v = +19^{\circ},6.$$

Prismatische Nadel.

3 ^b 31' 57'',6	37' 24'',8	r'	3'',27455	$\log T_0 = 0,511608$
32 30,2	36 52,4	$r'E^2.F(z)$	— 1213	$\log A'+c'd = 1,017879$
33 2,8	36 19,6	$r'E^4.F'(z)$	— 5	$b' f^2. \operatorname{tg}^2 i = 2$
33 36,0	35 46,8	$r'E^6.F''(z)$	— 0	$\log f = 9,994663$
34 8,8	35 14,0			
3 ^b 34'	41'',8			

$$E = 20^{\circ},0 \quad e = 9^{\circ},0 \quad v = +19^{\circ},6.$$

*) Zwischen dieser Beobachtung und der vorigen war, bei einer Ueberschwemmung des Vorgebirges, das Zelt in welchem sich meine Instrumente befanden, zerstört und die Inclinations-Nadeln etwas nass geworden.

1830. FEBRUAR 20.

POINT VENUS auf OTAEITI.

Inclinations-Nadel A.

3 ^h 40' 30'',2	43' 59'',2	r'	3'',59250	$\log T_0$	= 0,550487
41 36,0	43 23,2	$r'E^2.F(z)$	— 2194	π	= 4° 35'
42 12,4	42 48,2	$r'E^4.F'(z)$	— 17	$\log \cos(\pi+u)$	= 9,996591
		$r'E^6.F''(z)$	— 0	$\text{cp.} \log \sin u$	= 1,345453
				$\text{cp.} \log \Phi$	= 8,719814
				$\log F$	= 0,061858

$$E = 30^{\circ},0 \quad e = 8^{\circ},7 \quad v = +19^{\circ},6.$$

Resultate

für 1830. Februar 20. 2^h 45'

Breite	=	— 17° 29' 17"
Länge	=	208° 9' 30"
Inclination	=	— 30° 26',77 B.
Horiz. Intens.	=	0,99671 C.
	=	0,98779 P.
Ganze Intens.	=	1,15095 C und P.
	=	1,15531 A.

1830. FEBRUAR 23. 1^h 15' W. Zt.

SUEDLICHE GROSSE OCEAN.

Inclination.

Nadel B. 166.

$$I = -27^{\circ} 48',25 \quad I' = -28^{\circ} 30',50 \quad I'' = -31^{\circ} 8',30 \quad I''' = -29^{\circ} 36',25$$

$$i' = -29^{\circ} 15',87$$

$$+ \frac{F}{2} = -1,11$$

$$- \frac{H}{2} = +0,99.$$

Resultate

für 1830. Februar 23. 1^h 29'

$$\text{Breite} = -17^{\circ} 25' 15''$$

$$\text{Länge} = 207^{\circ} 53' 10''$$

$$\text{Inclination} = -29^{\circ} 15',99 \text{ B.}$$

1830. FEBRUAR 24. 1^h 45' K.

SUEDLICHE GROSSE OCEAN.

Inclination.

Nadel B. 167.

$$I = -30^{\circ} 44',50 \quad I' = -31^{\circ} 45',50 \quad I'' = -33^{\circ} 2',50 \quad I''' = -32^{\circ} 23',50$$

$$I' = -31^{\circ} 59',00$$

$$+ \frac{F}{2} = -0,53$$

$$- \frac{H}{2} = +0,38.$$

Intensität.

Inclinations-Nadel A.

1 ^h 58' 54'',4	62' 25'',2	τ'	3'',50785	$\log T_0$	$= 0,538158$
59 30,8	61 50,8	$\tau E^2.F(z)$	— 3618	π	$= 3^{\circ} 1'$
60 6,4	61 16,2	$\tau E^2.F'(z)$	— 79	$\log \cos(\pi+u)$	$= 9,998022$
1 ^h 60' 41'',6		$\tau E^2.F''(z)$	— 3	$\text{cp.} \log \sin u$	$= 1,369328$
				$\text{cp.} \log \Phi$	$= 8,720943$
				$\log F$	$= 0,088295$

$$E = 53^{\circ},0 \quad e = 5^{\circ},0 \quad v = +23^{\circ},5.$$

Resultate

für 1830. Februar 24. 0^h 58'

$$\text{Breite} = -19^{\circ} 6' 18''$$

$$\text{Länge} = 207^{\circ} 32' 31''$$

$$\text{Inclination} = -31^{\circ} 59',15 \text{ B.}$$

$$\text{Ganze Intens.} = 1,22545 \text{ A.}$$

1830. FEBRUAR 25. 19^h 15' K.

SUEDLICHE GROSSE OCEAN.

Inclination.

Nadel B. 168.

$I = -35^{\circ} 14',75$ $I' = -36^{\circ} 13',25$ I'' u. I''' wurden nicht beobachtet.
 $I = -35^{\circ} 31',25$ $I' = -36^{\circ} 19',75$

Nach den nächsten Beobachtungen:

$$i' = \frac{I + I'}{2} - 43',47 = -36^{\circ} 33',22$$

$$+ \frac{F - H}{2} = -0,13.$$

Durch ein Versehen beim Streichen ist die Stellung der Pole
 ungeändert geblieben.

Intensität.

Inclinations-Nadel A.

19 ^h 29' 20'',4	31' 43'',4	i'	3'',57800	$\log T_0$	= 0,549216
29 57,2	31 9,0	$i'E^2.F(z) - 1928 \pi$			= -1° 33'
19 ^h 30' 33'',2		$i'E^4.F'(z) - 31 \log \cos(\pi + u)$			= 9,999929
		$i'E^4.F''(z) - 0$	cp. log sin u		= 1,346769
			cp. log Φ		= 8,720679
			log F		= 0,067377

$E = 45^{\circ},0$ $e = 2^{\circ},0$ $v = + 21^{\circ},0$.

Resultate

für 1830. Februar 25. 18^h 27'

Breite = -22° 17' 9"
 Länge = 207° 12' 53"
 Inclination = -36° 33',35 B.
 Ganze Intens. = 1,16782 A.

1830. FEBRUAR 26. 0^h 40' K.

SUEDLICHE GROSSE OCEAN.

Inclination.

Nadel B. 169.

$$I = -39^{\circ} 8',75 \quad I' = -40^{\circ} 4',25 \quad I'' = -41^{\circ} 37',75 \quad I''' = -40^{\circ} 27',00$$

$$i' = -40^{\circ} 19',44$$

$$+ \frac{F}{2} = -0,25$$

$$- \frac{H}{2} = +0,14.$$

Intensität.

Inclinations-Nadel A.

0 ^h 43' 2",4	49' 24",0	r'	3",48245	$\log T_0$	= 0,536450
43 37,2	48 50,2	$r'E^2.F(z)$	— 2523	π	= — 5° 19'
44 11,6	48 16,4	$r'E^4.F'(z)$	— 35	$\log \cos(\pi+u)$	= 9,999446
44 46,4	47 43,2	$r'E^6.F''(z)$	— 0	$\text{cp.} \log \sin u$	= 1,374014
45 24,4	47 8,8			$\text{cp.} \log \Phi$	= 8,720640
46 0,8	46 35,2			$\log F$	= 0,094100

$$E = 45^{\circ},0 \quad e = 5^{\circ},0 \quad v = + 23^{\circ},0.$$

Resultate

für 1830. Februar 26. 23^h 54'

Breite	= — 24° 50' 52"
Länge	= 207° 43' 53"
Inclination	= — 40° 19',55 B.
Ganze Intens.	= 1,24194 A.

1830. FEBRUAR 28. 0^h 10' K.

SUEDLICHE GROSSE OCEAN.

Inclination.

Nadel B. 170.

$$I = -41^{\circ} 41',00 \quad I' = -43^{\circ} 9',50 \quad I'' = -44^{\circ} 24',00 \quad I''' = -43^{\circ} 7',30$$

$$\begin{aligned} i' &= -43^{\circ} 5',50 \\ + \frac{F}{2} &= + 0,03 \\ - \frac{H}{2} &= - 0,06. \end{aligned}$$

Intensität.

Inclinations-Nadel A.

0 ^h 2' 3'',2	6' 32'',8	τ'	3'',37667	$\log T_0$	= 0,524931
2 37,6	6 0,4	$\tau E^2.F(z) - 1051 \pi$			= - 8° 5'
3 11,6	5 27,2	$\tau E^4.F'(z) - 7 \log \cos(\pi+u)$			= 9,997772
3 45,6	4 53,6	$\tau E^6.F''(z) - 0 \text{ cp.} \log \sin u$			= 1,399516
0 ^h 4' 19'',6		$\text{cp.} \log \Phi$			= 8,720180
		$\log F$			= 0,117468

$$E = 30^{\circ},0 \quad e = 3^{\circ},0 \quad v = + 22^{\circ},6.$$

0 ^h 7' 48'',0	13' 24'',0	τ'	3'',35091	$\log T_0$	= 0,521138
8 22,8	12 51,0	$\tau E^2.F(z) - 1398 \pi$			= - 8° 5'
8 57,2	12 17,2	$\tau E^4.F'(z) - 19 \log \cos(\pi+u)$			= 9,997750
9 30,8	11 43,6	$\tau E^6.F''(z) - 0 \text{ cp.} \log \sin u$			= 1,407102
10 5,2	11 12,8	$\text{cp.} \log \Phi$			= 8,720180
0 ^h 10' 39'',2		$\log F$			= 0,125032

$$E = 45^{\circ},0 \quad e = 1^{\circ},5 \quad v = + 22^{\circ},6.$$

Resultate

für 1830. Februar 82. 23^h 24'

Breite	= - 26° 56' 4''
Länge	= 207° 40' 1''
Inclination	= - 43° 5',53 B.
Ganze Intens.	= 1,31056 A.
	= 1,33362 A.

1830. MAERZ 2. 6^h 25' K.

SUEDLICHE GROSSE OCEAN.

Inclination.

Nadel B. 171.

$$I = -42^{\circ} 23',25 \quad I' = -44^{\circ} 6',00 \quad I'' = -45^{\circ} 26',50 \quad I''' = -44^{\circ} 17',50$$

$$i' = -44^{\circ} 3',31$$

$$+ \frac{F}{2} = -0,19$$

$$- \frac{H}{2} = +0,04.$$

Intensität.

Inclinations-Nadel A.

6 ^h 27' 18'',8	31' 17'',6	i'	3'',39976	$\log T_0$	= 0,527070
27 54,0	30 43,4	$i'E^2.F(z)$	— 1673	π	= — 9° 3'
28 28,0	30 9,2	$i'E^4.F'(z)$	— 26	$\log \cos(\pi+u)$	= 9,996979
29 2,0	29 35,6	$i'E^6.F''(z)$	— 0	$\text{cp.} \log \sin u$	= 1,396342
				$\text{cp.} \log \Phi$	= 8,719988
				$\log F$	= 0,113309

$$E = 45^{\circ},0 \quad e = 2^{\circ},0 \quad v = + 22^{\circ},7.$$

Resultate

für 1830. März 2. 5^h 39'

Breite	= — 27° 42' 30''
Länge	= 207° 43' 31''
Inclination	= — 44° 3',46 B.
Ganze Intens.	= 1,29812 A.

1830. MAERZ 4. 6^h 15' K.

SUEDLICHE GROSSE OCEAN.

Inclination.

Nadel B. 172.

$$I = -44^{\circ} 33',50 \quad I' = -45^{\circ} 2',50 \quad I'' = -46^{\circ} 23',00 \quad I''' = -45^{\circ} 29',00$$

$$i' = -45^{\circ} 23',00$$

$$+ \frac{F}{2} = -0,26$$

$$- \frac{H}{2} = +0,00.$$

Intensität.

Inclinations-Nadel A.

6 ^h 22'	56'',8	23'	51'',2	r'	3'',47886	$\log T_0$	$= 0,536928$
23	32,8	23	16,4	$r'E^2.F(z) - 1815 \pi$			$= -10^{\circ} 23'$
24	8,0	24	42,8	$r'E^4.F'(z) - 28 \log \cos(\pi+u)$			$= 9,995768$
				$r'E^4.F''(z) - 0 \text{ cp. log sin } u$			$= 1,378357$
				$\text{cp. log } \Phi$			$= 8,719833$
				$\log F$			$= 0,093958$

$$E = 45^{\circ},0 \quad e = 2^{\circ},0 \quad v = +22^{\circ},7.$$

6 ^h 26'	56'',8	29'	51'',2	r'	3'',49256	$\log T_0$	$= 0,538635$
27	32,8	29	18,0	$r'E^2.F(z) - 1822 \pi$			$= -10^{\circ} 23'$
28	8,4	28	43,2	$r'E^4.F'(z) - 28 \log \cos(\pi+u)$			$= 9,995768$
				$r'E^4.F''(z) - 0 \text{ cp. log sin } u$			$= 1,374943$
				$\text{cp. log } \Phi$			$= 0,719833$
				$\log F$			$= 0,090564$

$$E = 45^{\circ},0 \quad e = 2^{\circ},0 \quad v = +22^{\circ},7.$$

Resultate

für 1830. März 4. 5^h 42'

Breite	$= -28^{\circ} 47' 48''$
Länge	$= 210^{\circ} 53' 24''$
Inclination	$= -45^{\circ} 23',26 \text{ B.}$
Ganze Intens.	$= 1,24153 \text{ A.}$
	$= 1,23187 \text{ A.}$

1830. MAERZ 4. 18^h 0' K.

SUEDLICHE GROSSE OCEAN.

Inclination.

Nadel B. 173.

$$I = -44^{\circ} 19', 50 \quad I' = -45^{\circ} 10', 25 \quad I'' = -46^{\circ} 21', 75 \quad I''' = -45^{\circ} 51', 75$$

$$i' = -45^{\circ} 25', 81$$

$$+ \frac{F}{2} = -0,37$$

$$- \frac{H}{2} = +0,01.$$

Intensität.

Inclinations-Nadel A.

18 ^h 10' 22",0	12' 36",8	r'	3'',37800	$\log T_0$	= 0,525874
10 56,2	12 4,4	$r'E^2.F(z)$	— 571	π	= -10° 26'
18 ^h 11' 29",6		$r'E^4.F'(z)$	— 118	$\log \cos(\pi+u)$	= 9,995588
		$r'E^6.F''(z)$	— 0	$\text{cp.} \log \sin u$	= 1,400534
				$\text{cp.} \log \Phi$	= 8,719607
				$\log F$	= 0,115729

$$E = 35^{\circ},0 \quad e = 2^{\circ},0 \quad v = +18^{\circ},5.$$

18 ^h 14' 35",2	17' 25",6	r'	3'',41084	$\log T_0$	= 0,527624
15 9,2	16 51,8	$r'E^2.F(z)$	— 2646	π	= -10° 26'
15 43,6	16 17,6	$r'E^4.F'(z)$	— 42	$\log \cos(\pi+u)$	= 9,995607
		$r'E^6.F''(z)$	— 1	$\text{cp.} \log \sin u$	= 1,397034
				$\text{cp.} \log \Phi$	= 8,719607
				$\log F$	= 0,112248

$$E = 45^{\circ},0 \quad e = 5^{\circ},0 \quad v = +18^{\circ},5.$$

Resultate

für 1830. März 4. 17^h 28'

Breite	= -29° 3' 47"
Länge	= 211° 12' 52"
Inclination	= -45° 26', 17 B.
Ganze Intens.	= 1,30535 A.
	= 1,29494 A.

1830. MAERZ 5. 19^h 45' K.

SUEDLICHE GROSSE OCEAN.

Inclination.

Nadel B. 174.

$$I = -46^{\circ} 5',00 \quad I' = -47^{\circ} 33',50 \quad I'' = -48^{\circ} 29',00 \quad I''' = -47^{\circ} 18',50$$

$$i' = -47^{\circ} 21',50$$

$$+ \frac{F}{2} = + 0,16$$

$$- \frac{H}{2} = - 0,05.$$

Intensität.

Inclinations-Nadel A.

$$19^h 51' 22'',8 \quad 54' 9'',6 \quad \left| \begin{array}{l} r' \quad 3'',33144 \log T_0 \\ r'E^2.F(z) - 2266 \pi \end{array} \right. \begin{array}{l} = 0,517791 \\ = -12^{\circ} 21' \end{array}$$

$$51 \quad 56,8 \quad 53 \quad 36,6 \quad \left| \begin{array}{l} r'E^2.F(z) - 45 \log \cos(\pi+u) \\ r'E^2.F''(z) - 0 \end{array} \right. \begin{array}{l} = 9,993123 \\ \text{cp.} \log \sin u = 1,419628 \end{array}$$

$$\text{cp.} \log \phi = 8,719436$$

$$E = 45^{\circ} \quad e = 3^{\circ},8 \quad v = + 18^{\circ},8. \quad \log F = 0,132187$$

$$19^h 56' 34'',0 \quad 58' 48'',2 \quad \left| \begin{array}{l} r' \quad 3'',34800 \log T_0 \\ r'E^2.F(z) - 2671 \pi \end{array} \right. \begin{array}{l} = 0,519419 \\ = -12^{\circ} 21' \end{array}$$

$$57 \quad 8,4 \quad 58 \quad 14,8 \quad \left| \begin{array}{l} r'E^2.F(z) - 44 \log \cos(\pi+u) \\ r'E^2.F''(z) - -1 \end{array} \right. \begin{array}{l} = 9,993144 \\ \text{cp.} \log \sin u = 1,416372 \end{array}$$

$$\text{cp.} \log \phi = 8,719436$$

$$E = 45^{\circ},0 \quad e = 5^{\circ},0 \quad v = + 18^{\circ},8. \quad \log F = 0,128952$$

$$19^h 59' 52'',2 \quad 64' 17'',6 \quad \left| \begin{array}{l} r' \quad 3'',32133 \log T_0 \\ r'E^2.F(z) - 2190 \pi \end{array} \right. \begin{array}{l} = 0,516563 \\ = -12^{\circ} 21' \end{array}$$

$$60 \quad 25,4 \quad 63 \quad 44,8 \quad \left| \begin{array}{l} r'E^2.F(z) - 34 \log \cos(\pi+u) \\ r'E^2.F''(z) - 1 \end{array} \right. \begin{array}{l} = 9,993106 \\ \text{cp.} \log \sin u = 1,422084 \end{array}$$

$$61 \quad 31,8 \quad 62 \quad 38,4 \quad \left| \begin{array}{l} r'E^2.F''(z) - 1 \end{array} \right. \begin{array}{l} \text{cp.} \log \sin u = 1,422084 \\ \text{cp.} \log \phi = 8,719436 \end{array}$$

$$19^h \quad 62' \quad 5'',2 \quad \left| \begin{array}{l} \text{cp.} \log \phi = 8,719436 \end{array} \right.$$

$$E = 47^{\circ},0 \quad e = 3^{\circ},5 \quad v = + 18^{\circ},8. \quad \log F = 0,134626$$

Resultate

für 1830. März 5. 19^h 11'

$$\text{Breite} = -30^{\circ} 32' 49''$$

$$\text{Länge} = 210^{\circ} 46' 31''$$

$$\text{Inclination} = -47^{\circ} 21',39$$

$$\text{Ganze Intens.} = 1,35577 \text{ A.}$$

$$= 1,34571 \text{ A.}$$

$$= 1,36341 \text{ A.}$$

1830. MAERZ 8. 5^h 30' K.

SUEDLICHE GROSSE OCEAN.

Inclination.

Nadel B. 175.

$$I = -49^{\circ} 8',75 \quad I' = -50^{\circ} 3',75 \quad I'' = -51^{\circ} 15',75 \quad I''' = -49^{\circ} 54',00$$

$$I' = -50^{\circ} 5',56$$

$$+ \frac{F}{2} = + 0,09$$

$$- \frac{H}{2} = - 0,10.$$

Resultate

für 1830. März 8. 5^h 1'

$$\text{Breite} = -32^{\circ} 19' 35''$$

$$\text{Länge} = 211^{\circ} 56' 34''$$

$$\text{Inclination} = -50^{\circ} 5',57 \text{ B.}$$

1830. MAERZ 8. 0^h 10' K.

SUEDLICHE GROSSE OCEAN.

Inclination.

Nadel B. 176.

$$I = -47^{\circ} 57',50 \quad I' = -47^{\circ} 10',50 \quad I'' = -50^{\circ} 48',00 \quad I''' = -48^{\circ} 27',00$$

$$i' = -49^{\circ} 5',75$$

$$+ \frac{F}{2} = + 0,54$$

$$- \frac{H}{2} = - 0,16.$$

Intensität.

Inclinations-Nadel A.

0 ^h 24' 32'',8	27' 18'',0	i'	3'',29943	$\log T_0$	= 0,515076
25 6,8	26 45,4	$r'E^2.F(z) - 1196$	π		= -14° 5'
25 40,2	26 13,2	$r'E^3.F'(z) - 11$	$\log \cos(\pi + u)$		= 9,990492
		$r'E^4.F''(z) - 0$	$\text{cp.} \log \sin u$		= 1,428144
			$\text{cp.} \log \Phi$		= 8,718902
			$\log F$		= 0,137538

$$E = 35^{\circ},0 \quad e = 2^{\circ},0 \quad v = + 18^{\circ},2.$$

Resultate

für 1830. März 8. 23^h 43'

$$\text{Breite} = -32^{\circ} 22' 21''$$

$$\text{Länge} = 212^{\circ} 26' 23''$$

$$\text{Inclination} = -49^{\circ} 5',37 \text{ B.}$$

$$\text{Ganze Intens.} = 1,37258 \text{ A.}$$

1830. MAERZ 10. 23^h 45' K.

SUEDLICHE GROSSE OCEAN.

Inclination.

Nadel B. 177.

$$I = -49^{\circ} 58',50 \quad I' = -51^{\circ} 11',00 \quad I'' = -52^{\circ} 44',50 \quad I''' = -50^{\circ} 59',50$$

$$\begin{aligned} I' &= -51^{\circ} 13',37 \\ + \frac{F}{2} &= -0,14 \\ - \frac{H}{2} &= -0,22. \end{aligned}$$

Intensität.

Inclinations-Nadel A.

0 ^h 0' 23",0	3' 11",0	r'	3'',36057	$\log T_0$	= 0,519661
0 57,2	2 38,0	$r'E^2.F(z)$	- 3858	π	= -16° 14'
1 31,4	2 5,2	$r'E^4.F'(z)$	- 64	$\log \cos(\pi+u)$	= 9,986768
		$r'E^6.F''(z)$	- 1	$\text{cp.} \log \sin u$	= 1,423389
				$\text{cp.} \log \Phi$	= 8,718640
				$\log F$	= 0,128797

$$E = 45^{\circ},0 \quad e = 10^{\circ},0 \quad v = +17^{\circ},0.$$

0 ^h 5' 15",2	10' 48",4	r'	3'',34546	$\log T_0$	= 0,520323
5 46,0	10 14,8	$r'E^2.F(z)$	- 1724	π	= -16° 14'
6 20,4	9 42,0	$r'E^4.F'(z)$	- 24	$\log \cos(\pi+u)$	= 9,986803
6 54,4	9 8,2	$r'E^6.F''(z)$	- 0	$\text{cp.} \log \sin u$	= 1,421665
7 28,0	8 34,4			$\text{cp.} \log \Phi$	= 8,718640
0 ^h 8' 1",6				$\log F$	= 0,127108

$$E = 45^{\circ},0 \quad e = 2^{\circ},5 \quad v = +17^{\circ},0.$$

Resultate

für 1830. März 10. 23^h 26'

Breite	= -34° 22' 41"
Länge	= 214° 18' 32"
Inclination	= -51° 13',73 B.
Ganze Intens.	= 1,34523 A.
	= 1,34001 A.

1830. MAERZ 12. 5^h 5' K.

SUEDLICHE GROSSE OCEAN.

Inclination.

Nadel B. 178.

$$I = -51^{\circ} 15',75 \quad I' = -52^{\circ} 50',25 \quad I'' = -53^{\circ} 11',75 \quad I''' = -52^{\circ} 27',50$$

$$i' = -52^{\circ} 26',31$$

$$+ \frac{F}{2} = + 0,20$$

$$- \frac{H}{2} = - 0,17.$$

Intensität.

Inclinations-Nadel A.

5 ^h 18' 59",2	24' 33",2	i'	3",33273	$\log T_0$	= 0,518031
19 33,4	24 0,0	$i'E^2.F(z) - 2419 \pi$			= -17° 26'
20 7,2	23 26,8	$i'E^4.F'(z) - 35 \log \cos(\pi+u)$			= 9,984323
20 41,2	22 53,6	$i'E^6.F''(z) - 1 \text{ cp.} \log \sin u$			= 1,429401
21 14,6	22 20,6			$\text{cp.} \log \Phi$	= 8,718433
5 ^h 21' 47",6				$\log F$	= 0,132161

$$E = 45^{\circ},0 \quad e = 5^{\circ},0 \quad v = + 16^{\circ},0.$$

Resultate

für 1830. März 12. 4^h 54'

Breite	= -34° 53' 18"
Länge	= 216° 22' 48"
Inclination	= -52° 26',28 B.
Ganze Intens.	= 1,35569 A.

1830. MAERZ 15. 4^h 30' K.

SUEDLICHE GROSSE OCEAN.

Inclination.

Nadel B. 179.

$$I = -48^{\circ} 48',75 \quad I' = -50^{\circ} 33',25 \quad I'' = -52^{\circ} 4',75 \quad I''' = -50^{\circ} 44',00$$

$$i' = -50^{\circ} 33',18$$

$$+ \frac{F}{2} = -0,12$$

$$- \frac{H}{2} = -0,27.$$

Intensität.

Inclinations-Nadel A.

4 ^h 40' 20'',0	43' 4'',0	i'	3'',28000	$\log T_0$	= 0,511305
40 53,4	42 32,0	$i'E^2.F(z) -$	2131	π	= -15° 34'
41 26,8	41 59,0	$i'E^4.F'(z) -$	26	$\log \cos(\pi+u)$	= 9,987868
		$i'E^6.F''(z) -$	0	$\text{cp.} \log \sin u$	= 1,438662
				$\text{cp.} \log \psi$	= 8,717987
				$\log F$	= 0,144517

$$E = 40^{\circ},0 \quad e = 5^{\circ},0 \quad v = +17^{\circ},5.$$

4 ^h 44' 51'',8	47' 35'',6	i'	3'',27486	$\log T_0$	= 0,509443
45 25,6	47 3,6	$i'E^2.F(z) -$	2978	π	= -15° 34'
45 58,4	46 31,6	$i'E^4.F'(z) -$	58	$\log \cos(\pi+u)$	= 9,987836
		$i'E^6.F''(z) -$	2	$\text{cp.} \log \sin u$	= 1,442386
				$\text{cp.} \log \psi$	= 8,717987
				$\log F$	= 0,148209

$$E = 50^{\circ},0 \quad e = 5^{\circ},0 \quad v = +17^{\circ},5.$$

Resultate

für 1830. März 15. 4^h 26'

Breite	= -34° 28' 25''
Länge	= 218° 13' 10''
Inclination	= -50° 33',57 B.
Ganze Intens.	= 1,39482 A.
	= 1,40673 A.

1830. MAERZ 17. 5^h 20' K.

SUEDLICHE GROSSE OCEAN.

Inclination.

Nadel B. 180.

$$I = -51^{\circ} 0',00 \quad I' = -52^{\circ} 19',50 \quad I'' = -53^{\circ} 30',00 \quad I''' = -52^{\circ} 21',75$$

$$i' = -52^{\circ} 17',81$$

$$+ \frac{F}{2} = -0,03$$

$$- \frac{H}{2} = -0,21.$$

Intensität.

Inclinations-Nadel A.

5 ^h 29' 55",6	35' 23",8	i'	3",29382	$\log T_0$	= 0,513908
30 29,6	34 53,6	$i'E^2.F(z) - 1795 \pi$			= -17°18'
31 3,0	34 21,4	$i'E^4.F'(z) - 20 \log \cos(\pi+u)$			= 9,984522
31 36,4	33 49,2	$i'E^6.F''(z) - 0 \text{ cp.} \log \sin u$			= 1,437331
32 9,6	33 15,0			$\text{cp.} \log \phi$	= 8,717659
5 ^h 32' 44",2				$\log F$	= 0,139512

$$E = 40^{\circ},0 \quad e = 4^{\circ},0 \quad v = +14^{\circ},25.$$

Resultate

für 1830. März 17. 5^h 14'

Breite	= -36° 16' 35"
Länge	= 217° 44' 33"
Inclination	= -52° 18',03 B.
Ganze Intens.	= 1,37884 A.

1830. MAERZ 18. 5^h 0' W. Zt.

SUEDLICHE GROSSE OCEAN.

Inclination.

Nadel B. 181.

$$I = -53^{\circ} 15',75 \quad I' = -54^{\circ} 48',97 \quad I'' = -55^{\circ} 0',50 \quad I''' = -54^{\circ} 0',75$$

$$i' = -54^{\circ} 16',49$$

$$+ \frac{F}{2} = + 0,38$$

$$- \frac{H}{2} = - 0,15.$$

Intensität.

Inclinations-Nadel A.

5 ^h 20' 16'',8	24' 34'',4	r'	3'',21667	$\log T_0$	= 0,502733
20 50,0	24 2,8	$r'E^2.F(z) -$	2381	π	= -19°16'
21 22,8	23 31,2	$r'E^3.F'(z) -$	35	$\log \cos(\pi+u)$	= 9,979893
21 55,2	22 59,6	$r'E^4.F''(z) -$	1	$\text{cp.} \log \sin u$	= 1,464607
5 ^h 22' 27'',6				$\text{cp.} \log \Phi$	= 8,717504
				$\log F$	= 0,162004

$$E = 45^{\circ},0 \quad e = 5^{\circ},0 \quad v = + 14^{\circ},0.$$

Resultate

für 1830. März 18. 5^h 8'.

Breite	= - 37° 38' 58"
Länge	= 215° 57' 47"
Inclination	= - 54° 16',26 B.
Ganze Intens.	= 1,45213 A.

1830. MAERZ 20. 4^h 48' K.

SÜEDLICHE GROSSE OCEAN.

Inclination.

Nadel B. 182.

$$I = -57^{\circ} 31',25 \quad I' = -58^{\circ} 30',25 \quad I'' = -60^{\circ} 5',00 \quad I''' = -59^{\circ} 7',00$$

$$i = -58^{\circ} 48',37$$

$$+ \frac{F}{2} = -0,47$$

$$- \frac{H}{2} = -0,48.$$

Intensität.

Inclinations-Nadel A.

5 ^h	0'	41'',6	6'	34'',0	r'	3'',20021	$\log T_0$	$= 0,500828$
1	15,2	6	2,8		$r'E^2.F(z) -$	3217	π	$= -23^{\circ} 49'$
1	46,8	5	31,2		$r'E^4.F'(z) -$	32	$\log \cos(\pi+u)$	$= 9,967385$
2	20,0	4	59,4		$r'E^6.F''(z) -$	1	$\text{cp.} \log \sin u$	$= 1,482040$
2	52,0	4	28,0				$\text{cp.} \log \Phi$	$= 8,717213$
3	24,0	3	56,0				$\log F$	$= 0,166638$

$$E = 45^{\circ},0 \quad e = 5^{\circ},0 \quad v = +11^{\circ},75.$$

Resultate

für 1830. März 20. 4^h 38'

$$\text{Breite} = -42^{\circ} \quad 4' \quad 18''$$

$$\text{Länge} = 216^{\circ} \quad 37' \quad 32''$$

$$\text{Inclination} = -58^{\circ} \quad 49',32 \text{ B.}$$

$$\text{Ganze Intens.} = 1,46770 \quad \text{A.}$$

1830. MAERZ 21. 18^b 40' K.

SUEDLICHE GROSSE OCEAN.

Inclination.

Nadel B. 183.

$$I = -59^{\circ} 54',25 \quad I' = -61^{\circ} 7',75 \quad I'' = -62^{\circ} 0',75 \quad I''' = -61^{\circ} 7',50$$

$$\begin{aligned} i' &= -61^{\circ} 2',56 \\ + \frac{F}{2} &= -0,00 \\ - \frac{H}{2} &= +0,24 \end{aligned}$$

Intensität.

Inclinations-Nadel A.

18 ^b 53' 54'',4	59' 10'',8	r'	3'',15709	$\log T_0$	= 0,495040
54 27,2	58 39,6	$r'E^2.F(z)$	- 2299	π	= -26° 2'
54 59,2	58 8,0	$r'E^4.F'(z)$	- 32	$\log \cos(\pi-u)$	= 9,939963
55 31,0	57 36,8	$r'E^5.F''(z)$	- 1	$\text{cp.} \log \sin u$	= 1,501425
56 2,4	57 5,6			$\text{cp.} \log \Phi$	= 8,716958
18 ^b 56' 34'',0				$\log F$	= 0,178348

$$E = 45^{\circ},0 \quad e = 5^{\circ},0 \quad v = +10^{\circ},5.$$

Resultate

für 1830. März 21. 18^b 42'

Breite	= -44° 24' 24''
Länge	= 219° 52' 58''
Inclination	= -61° 2',32 B.
Ganze Intens.	= 1,50781 A.

1830. MAERZ 23. 4^h 25' K.

SUEDLICHE GROSSE OCEAN.

Inclination.

Nadel B. 184.

$$I = -60^{\circ} 7',00 \quad I' = -62^{\circ} 8',50 \quad I'' = -63^{\circ} 35',75 \quad I''' = -61^{\circ} 57',25$$

$$i' = -61^{\circ} 57',12$$

$$+ \frac{F}{2} = + 0,21$$

$$- \frac{H}{2} = - 0,12.$$

Intensität.

Inclinations-Nadel A.

4 ^h 37' 56",4	40' 33",6	r'	3",14086	$\log T_0$	$= 0,491745$
38 28,4	40 2,3	$r'E^2.F(z) -$	3145	π	$= -26^{\circ} 57'$
39 0,0	39 31,6	$r'E^4.F'(z) -$	51	$\log \cos(\pi + u)$	$= 9,956618$
		$r'E^6.F''(z) -$	1	$\text{cp.} \log \sin \pi$	$= 1,511478$
				$\text{cp.} \log \phi$	$= 8,716742$
				$\log F$	$= 0,184838$

$$E = 45^{\circ},0 \quad e = 8^{\circ},0 \quad v = + 8^{\circ},75.$$

Resultate

für 1830. März 23. 4^h 40'

$$\text{Breite} = -45^{\circ} 6' 12''$$

$$\text{Länge} = 223^{\circ} 5' 43''$$

$$\text{Inclination} = -61^{\circ} 57',03 \text{ B.}$$

$$\text{Ganze Intens.} = 1,53052 \text{ A.}$$

1830. MAERZ 24. 21^h 50' K.

SUEDLICHE GROSSE OCEAN.

Inclination.

Nadel B. 185.

$$I = -60^{\circ} 46',20 \quad I' = -61^{\circ} 57',95 \quad I'' = -62^{\circ} 48',50 \quad I''' = -61^{\circ} 19',00$$

$$i' = -61^{\circ} 42',91$$

$$+ \frac{F}{2} = + 0,41$$

$$- \frac{H}{2} = - 0,39.$$

Um I und I' zu erhalten sind zu den Mitteln der abgelesnen Winkel $+5',55$ addirt worden, weil die Axe der Nadel um $5^{\circ} 2'$ von dem ersten Vertikale entfernt war.

Intensität.

Inclinations-Nadel A.

19 ^h 2' 6'',8	7' 16'',0	r'	3'',09091	$\log T_0$	= 0,486301
2 38,0	6 45,2	$r'E^2.F(z)$	1739	π	= $-26^{\circ} 43'$
3 9,2	6 14,0	$r'E^4.F'(z)$	24	$\log \cos(\pi+u)$	= 9,957309
3 40,0	5 44,0	$r'E^6.F''(z)$	0	$\text{cp.} \log \sin u$	= 1,521075
4 11,2	5 14,0			$\text{cp.} \log \Phi$	= 8,716472
22 ^h 4' 43'',2				$\log F$	= 0,194856

$$E = 45^{\circ},0 \quad e = 3^{\circ},0 \quad v = + 11^{\circ},25.$$

Resultate

für 1830. März 24. 22^h 18'

Breite	= $-45^{\circ} 4' 59''$
Länge	= $226^{\circ} 17' 40''$
Inclination	= $-61^{\circ} 42',89$ B.
Ganze Intens.	= 1,56623 A.

1830. MAERZ 26. 22^h 30' K.

SUEDLICHE GROSSE OCEAN.

Inclination.

Nadel B. 186.

$$I = -62^{\circ} 57',00 \quad I' = -63^{\circ} 42',00 \quad I'' = -64^{\circ} 30',50 \quad I''' = -62^{\circ} 6',75$$

$$i' = -63^{\circ} 19',06$$

$$+ \frac{F}{2} = + 0,64$$

$$- \frac{H}{2} = - 0,39.$$

Intensität.

Inclinations-Nadel A.

Durch ein Versehen beim Einstellen mit $\alpha = 4^{\circ} 40'$. Vergl. [13] S. 44.

$$22^{\text{h}} 40' 19'',6 \quad 42' 56'',4 \quad r' \quad 3'',13028 \quad \log T_0 \quad = 0,491233$$

$$40 \quad 51,6 \quad 42 \quad 25,2 \quad r'E^2.F(z) - 2426 \quad \lg \chi \quad = 1,786200n$$

$$41 \quad 23,2 \quad 41 \quad 54,0 \quad r'E^4.F'(z) - 38 \quad \log(2 \sin \frac{2\chi}{2} \sec \chi) = 1,793296n$$

$$r'E^2.F''(z) - 1 \quad \log \frac{n}{m^2} \quad = 9,677411n$$

$$\text{cp.} \log \Phi \quad = 8,716013$$

$$E = 45^{\circ},0 \quad e = 5^{\circ},0 \quad v = + 9^{\circ},3. \quad \log F \quad = 0,186720$$

Resultate

für 1830. März 26. 23^h 35'

$$\text{Breite} \quad = -47^{\circ} \quad 13' \quad 25''$$

$$\text{Länge} \quad = 235^{\circ} \quad 29' \quad 8''$$

$$\text{Inclination} \quad = -63^{\circ} \quad 18',81 \quad \text{B.}$$

$$\text{Ganze Intens.} \quad = 1,53716 \quad \text{A.}$$

1830. MAERZ 29. 4^h 0' K.

SUEDLICHE GROSSE OCEAN.

Inclination.

Nadel B. 187.

$$I = -61^{\circ} 56',75 \quad I' = -64^{\circ} 17',25 \quad I'' = -65^{\circ} 3',75 \quad I''' = -63^{\circ} 20',75$$

$$i' = -63^{\circ} 39',62$$

$$+\frac{F}{2} = +0,96$$

$$-\frac{H}{2} = -1,05.$$

Intensität.

Inclinations-Nadel A.

4 ^h 9' 35'',2	12' 41'',2	τ'	3'',09429	$\log T_0$	= 0,486493
10 6,4	12 10,0	$\tau'E^2.F(z) -$	2359 π		= -28°40'
10 38,0	11 39,2	$\tau'E^4.F'(z) -$	36	$\log \cos(\pi+u)$	= 9,949992
4 ^h 11' 8'',6		$\tau'E^6.F''(z) -$	1	$\text{cp.} \log \sin u$	= 1,528846
				$\text{cp.} \log \phi$	= 8,715823
				$\log F$	= 0,194661

$$E = 45^{\circ},0 \quad e = 5^{\circ},0 \quad v = +7^{\circ},0.$$

Resultate

für 1830. März 29. 5^h 24'

Breite	= -48° 10' 51"
Länge	= 240° 18' 16"
Inclination	= -63° 39',71 B.
Ganze Intens.	= 1,56552 A.

1830. MAERZ 30. 23^h 30' K.

SUEDLICHE GROSSE OCEAN.

Inclination.

Nadel B. 188.

$$\begin{aligned}
 I &= -62^{\circ} 20',00 & I' &= -64^{\circ} 45',50 & I'' &= -66^{\circ} 14',00 & I''' &= -64^{\circ} 22',50 \\
 & & i' &= -64^{\circ} 25',50 & & & & \\
 & + \frac{F}{2} & = & + 0,50 & & & & \\
 & - \frac{H}{2} & = & - 0,36. & & & &
 \end{aligned}$$

Intensität.

Inclinations-Nadel A.

23 ^h 46' 22",4	47' 24",8	τ'	3'',04000	$\log T_0$	= 0,479542
46 53,2	48 54,4	$\tau'E^2.F(z) -$	1817	π	= -29°25
47 23,2	48 24,8	$\tau'E^4.F'(z) -$	27	$\log \cos(\pi+u)$	= 9,946791
17 ^h 47'	54",8	$\tau'E^6.F''(z) -$	0	$\text{cp. log sin } u$	= 1,545904
				$\text{cp. log } \Phi$	= 8,715530
				$\log F$	= 0,208225

$$E = 45^{\circ},0 \quad e = 3^{\circ},0 \quad v = + 8^{\circ},0.$$

Resultate

für 1830. März 30. 1^h 7'

Breite	= -48° 50' 21"
Länge	= 243° 24' 39"
Inclination	= -64° 25',36 B.
Ganze Intens.	= 1,61520 A.

1830. APRIL 1. 22^h 7' K.

SUEDLICHE GROSSE OCEAN.

Inclination.

Nadel B. 189.

$$I = -64^{\circ} 6',75 \quad I' = -65^{\circ} 53',50 \quad I'' = -67^{\circ} 40',25 \quad I''' = -66^{\circ} 0',25$$

$$i' = -65^{\circ} 53',18$$

$$+ \frac{F}{2} = -0,14$$

$$- \frac{H}{1} = -0,15.$$

Intensität.

Inclinations - Nadel A.

22 ^h 14'	6",0	19'	15",4	i'	3",08382	$\log T_0$	= 0,484733
14	38,4	18	44,0	$i'E^2.F(z)$	2196	π	= -30°55'
15	9,6	18	14,4	$i'E^4.F'(z)$	35	$\log \cos(\pi+u)$	= 9,940669
15	40,8	17	44,0	$i'E^4.F''(z)$	1	$\text{cp.} \log \sin u$	= 1,542125
16	11,6	17	13,6			$\text{cp.} \log \phi$	= 8,714964
22 ^h 16'	42",8					$\log F$	= 0,197758

$$E = 48^{\circ},0 \quad c = 2^{\circ},0 \quad v = +12^{\circ},4.$$

Resultate

für 1830. April 1. 0^h 11'

Breite	= -51° 2' 36"
Länge	= 250° 18' 24"
Inclination	= -65° 53',47 B.
Ganze Intens.	= 0,57672 A.

1830. APRIL 4. 0^h 45' W. Zt.

SUEDLICHE GROSSE OCEAN.

Inclination.

Nadel B. 190.

$$I = -65^{\circ} 17',25 \quad I' = -66^{\circ} 49',75 \quad I'' = -66^{\circ} 49',70 \quad I''' = -65^{\circ} 57',75$$

$$i' = -66^{\circ} 13',61$$

$$+ \frac{F}{2} = -0,06$$

$$- \frac{H}{2} = -0,29$$

Intensität.

Inclinations-Nadel A.

22 ^h 0' 47'',6	3' 53'',8	r'	3'',09929	$\log T_0$	= 0,485624
1 19,2	3 22,8	$r'E^2.F(z)$	- 3519	π	= -31°14'
1 50,4	2 52,4	$r'E^4.F'(z)$	- 58	$\log \cos(\pi+u)$	= 9,939321
22 ^h 2' 21'',6		$r'E^6.F''(z)$	- 1	$\text{cp. log. sin } u$	= 1,541790
				$\text{cp. log } \Phi$	= 8,714917
				$\log F$	= 0,196028

$$E = 45^{\circ},0 \quad c = 10^{\circ},0 \quad v = +6^{\circ},0.$$

Bei sehr hohem Seegang, starkem Rollen und Ost-Kurs, durch welchen die Ebene des Neigungskreises, mit der der Schwankungen des Schiffes zusammenfiel.

Resultate

für 1830. April 4. 0^h 48'

Breite	= -55° 3' 0''
Länge	= 264° 21' 51''
Inclination	= -66° 13',96 B.
Ganze Intens.	= 1,57046 A.

1830. APRIL 7. 5^h 0' K.

SÜEDLICHE GROSSE OCEAN.

Inclination.

Nadel B. 191.

$$I = -62^{\circ} 59',00 \quad I' = -65^{\circ} 30',75 \quad I'' = -66^{\circ} 42',25 \quad I''' = -64^{\circ} 59',25$$

$$\begin{aligned} i' &= -65^{\circ} 2',81 \\ + \frac{F}{2} &= + 0,67 \\ - \frac{H}{2} &= - 1,54. \end{aligned}$$

Intensität.

Inclinations-Nadel A.

Mit $\alpha = 90^{\circ}$; nach [13.] S. 44.

5 ^h 16' 43'',6	20' 1'',0	z'	3'',28643	$\log T_0$	= 0,513200
17 16,8	19 28,0	$z'E^2.F(z) -$	2359	$\lg \chi$	= 1,504961 n
17 49,6	18 55,2	$z'E^4.F'(z) -$	29	$\log(2\sin\frac{\chi}{2}\sec\chi)$	= 1,514240 n
5 ^h 18'	22',4	$z'E^4.F''(z) -$	0	$\log \frac{n}{m^2}$	= 9,955872
				cp. $\log \Phi$	= 8,714402
				$\log F$	= 0,184514

$$E = 40^{\circ},0 \quad e = 6^{\circ},0 \quad v = + 3^{\circ},5.$$

Die Schwingungen wurden im ersten Vertikale beobachtet, weil die Lage und Bewegung des Schiffes so wie bei der vorigen Beobachtung waren.

Resultate

für 1830. April 7. 8^h 41'

Breite	=	- 56^{\circ} 28' 30''
Länge	=	247^{\circ} 34' 31''
Inclination	=	- 65^{\circ} 3',68 B.
Ganze Intens.	=	1,52937 A.

1830. APRIL 10. 17^h 48' K.

SUEDLICHE GROSSE OCEAN.

Inclination.

Nadel B. 192.

$$I = -60^{\circ} 39',75 \quad I' = -63^{\circ} 40',20 \quad I'' = -64^{\circ} 38',61 \quad I''' = -62^{\circ} 26',25$$

$$i' = -61^{\circ} 51',21$$

$$+ \frac{F}{2} = + 1,58$$

$$- \frac{H}{2} = - 1,63.$$

Intensität

Inclinations-Nadel A.

17 ^h 57' 35'',2	61' 7'',4	r'	3'',17429	$\log T_0$	= 0,497847
58 29,2	60 36,0	$r'E^2.F(z)$	- 2242	π	= -27°51'
59 0,8	60 4,2	$r'E^4.F'(z)$	- 28	$\log \cos(\pi+u)$	= 9,953476
17 ^h 59' 32'',4		$r'E^6.F''(z)$	- 0	$\text{cp.} \log \sin u$	= 1,502810
				$\text{cp.} \log \phi$	= 8,713858
				$\log F$	= 0,170144

$$E = 40^{\circ},0 \quad e = 6^{\circ},0 \quad v = + 7^{\circ},0.$$

Resultate

für 1830. April 10. 22^h 1'

Breite	= -56° 5' 8"
Länge	= 282° 36' 26"
Inclination	= -62° 51',26 B.
Ganze Intens.	= 1,47960 A.

1830. APRIL 14. 20^h 10' K.

SUEDLICHE ATLANTISCHE OCEAN.

Inclination.

Nadel B. 193.

$$I = -59^{\circ} 2',50 \quad I' = -62^{\circ} 13',25 \quad I'' = -62^{\circ} 56',50 \quad I''' = -60^{\circ} 58',25$$

$$i' = -61^{\circ} 17',63$$

$$+ \frac{F}{2} = + 1,52$$

$$- \frac{H}{2} = - 1,40.$$

Intensität.

Inclinations-Nadel. A.

20 ^h 20' 54",4	24' 6",4	r'	3",19282	$\log T_0$	$= 0,500147$
21 26,8	23 34,0	$r'E^2.F(z)$	- 2255	π	$= -26^{\circ} 18'$
21 58,8	23 2,4	$r'E^4.F'(z)$	- 28	$\log \cos(\pi+u)$	$= 9,959176$
20 ^h 22' 30",4		$r'E^6.F''(z)$	- 0	$\text{cp. log. sin } u$	$= 1,492204$
				$\text{cp. log } \Phi$	$= 8,713224$
				$\log F$	$= 0,164604$

$$E = 40^{\circ},0 \quad e = 6^{\circ},0 \quad v = + 5^{\circ},0.$$

Resultate

für 1830. April 14. 0^h 43'

$$\text{Breite} = -58^{\circ} 31' 12''$$

$$\text{Länge} = 278^{\circ} 36' 50''$$

$$\text{Inclination} = -61^{\circ} 17',51 \text{ B.}$$

$$\text{Ganze Intens.} = 1,46084 \text{ A.}$$

1830. APRIL 17. 20^h 18' K.

SUEDLICHE ATLANTISCHE OCEAN.

Inclination.

Nadel B. 194.

$$\begin{aligned}
 I &= -58^{\circ} 35',75 & I' &= -60^{\circ} 19',75 & I'' &= -61^{\circ} 38',25 & I''' &= -59^{\circ} 56',25 \\
 i' &= -60^{\circ} 7',50 \\
 + \frac{F}{2} &= & + 1,20 \\
 - \frac{H}{2} &= & - 0,85.
 \end{aligned}$$

Intensität.

Inclinations-Nadel A.

$$\begin{array}{l|ll}
 20^h 31' 46'',0 & 34' 30'',8 & r' & 3'',29372 & \log T_0 & = 0,514459 \\
 32 & 19,6 & 33 & 58,4 & r'E^2.F(z) - 2297 & \pi & = -25^{\circ} 7' \\
 32 & 52,8 & 33 & 25,2 & r'E^4.F'(z) - 36 & \log \cos(\pi+u) & = 9,963618 \\
 & & & & r'E^6.F''(z) - 1 & \text{cp.} \log \sin u & = 1,459262 \\
 & & & & & \text{cp.} \log \Phi & = 8,712760 \\
 & & & & & \log F & = 0,135640
 \end{array}$$

$$E = 45^{\circ},0 \quad e = 4^{\circ},0 \quad v = + 1^{\circ},25.$$

$$\begin{array}{l|ll}
 20^h 36' 22'',4 & 40' 40'',4 & r' & 3'',22367 & \log T_0 & = 0,506085 \\
 36 & 55,6 & 40 & 8,8 & r'E^2.F(z) - 1553 & \pi & = -25^{\circ} 7' \\
 37 & 28,4 & 39 & 37,6 & r'E^4.F'(z) - 22 & \log \cos(\pi+u) & = 9,963374 \\
 38 & 0,8 & 39 & 5,0 & r'E^6.F''(z) - 0 & \text{cp.} \log \sin u & = 1,476010 \\
 20^h & 38' & 33'',2 & & & \text{cp.} \log \Phi & = 8,712760 \\
 & & & & & \log F & = 0,152144
 \end{array}$$

$$E = 45^{\circ},0 \quad e = 2^{\circ},0 \quad v = + 1^{\circ},25.$$

Resultate

für 1830. April 17. 1^h 17'

$$\begin{aligned}
 \text{Breite} &= -57^{\circ} 26' 23'' \\
 \text{Länge} &= 293^{\circ} 58' 51'' \\
 \text{Inclination} &= -60^{\circ} 7',15 \text{ B.} \\
 \text{Ganze Intens.} &= 1,36658 \text{ A.} \\
 &= 1,41954 \text{ A.}
 \end{aligned}$$

1830. APRIL 19. 19^h 25' K.

SÜEDLICHE ATLANTISCHE OCEAN.

Inclination.

Nadel B. 195.

$$I = -56^{\circ} 49',75 \quad I' = -58^{\circ} 32',25 \quad I'' = -60^{\circ} 9',00 \quad I''' = -58^{\circ} 30',25$$

$$i' = -58^{\circ} 30',31$$

$$+ \frac{F}{2} = + 0,03$$

$$- \frac{H}{2} = - 0,75.$$

Intensität.

Inclinations-Nadel A.

19 ^h 33' 57'',6	40' 1'',5	r'	3'',33115	log T ₀	= 0,518806
34 31,6 39 32,4	r'E ² .F (z) - 2423	π			= -23°31'
35 5,6 38 59,0	r'E ⁴ .F' (z) - 34	log cos (π+u)			= 9,968795
35 39,2 38 26,0	r'E ⁶ .F''(z) - 1	cp. log. sin u			= 1,445087
36 12,2 37 52,8		cp. log Φ			= 8,712450
36 45,9 37 19,6		log F			= 0,126332

$$E = 45^{\circ},0 \quad e = 5^{\circ},0 \quad v = + 5^{\circ},75.$$

Resultate

für 1830. April 19. 0^h 38'

Breite	= -56° 2' 27''
Länge	= 297° 37' 10''
Inclination	= -58° 31',03 B.
Ganze Intens.	= 1,33762 A.

1830. APRIL 20. 15^h 10' K.

SUEDLICHE ATLANTISCHE OCEAN.

Inclination.

Nadel B. 196.

$$I = -55^{\circ} 46',25 \quad I' = -57^{\circ} 27',37 \quad I'' = -59^{\circ} 15',37 \quad I''' = -57^{\circ} 22',45$$

$$I' = -57^{\circ} 27',86$$

$$+ \frac{F}{2} = + 0,08$$

$$- \frac{H}{2} = - 0,73.$$

Intensität.

Inclinations-Nadel A.

15 ^h 22'36",0	28' 8",6	r'	3",31891	$\log T_0$	$= 0,516297$
23 10,2	27 35,6	$r'E^2.F(z) - 3188$	π		$= -22^{\circ}29'$
23 44,0	27 2,8	$r'E^2.F'(z) - 48$		$\log \cos(\pi + u)$	$= 9,971770$
24 17,6	26 29,6	$r'E^2.F''(z) - 1$		$\text{cp.} \log \sin u$	$= 1,446780$
24 51,0	25 56,8			$\text{cp.} \log \Phi$	$= 8,712323$
15 ^h 25'	24",0			$\log F$	$= 0,130870$

$$E = 45^{\circ},0 \quad e = 8^{\circ},0 \quad v = + 4^{\circ},A.$$

Resultate

für 1830. April 20. 20^h 33'

$$\text{Breite} = -55^{\circ} 33' 40''$$

$$\text{Länge} = 300^{\circ} 5' 54''$$

$$\text{Inclination} = -57^{\circ} 28',51 \text{ B.}$$

$$\text{Ganze Intens.} = 1,35167 \text{ A.}$$

1830. APRIL 23. 23^h 0' K.

SUEDLICHE ATLANTISCHE OCEAN.

Inclination.

Nadel B. 197.

$$I = -52^{\circ} 4',87 \quad I' = -54^{\circ} 5',23 \quad I'' = -56^{\circ} 37',50 \quad I''' = -53^{\circ} 8',62$$

$$\begin{aligned} i' &= -54^{\circ} 29',06 \\ + \frac{F}{2} &= -1,32 \\ - \frac{H}{2} &= -0,98. \end{aligned}$$

Intensität.

Inclinations-Nadel A.

23 ^h 7' 20'',2	13' 6'',8	r	3'',46200	$\log T_0$	= 0,535654
7 55,6	12 32,4	$r'E^2.F(z)$	— 2521	π	= -19°31'
8 30,8	11 58,0	$r'E^4.F'(z)$	— 36	$\log \cos(\pi+u)$	= 9,980053
9 5,6	11 24,0	$r'E^6.F''(z)$	— 1	$\text{cp.} \log \sin u$	= 1,399432
9 40,0	10 49,6			$\text{cp.} \log \Phi$	= 8,711812
23 ^h 10' 14'',8				$\log F$	= 0,091297

$$E = 45^{\circ},0 \quad c = 5^{\circ},0 \quad v = +4^{\circ},5.$$

Resultate

für 1830. April 23. 4^h 33'

Breite	= -52° 44' 22''
Länge	= 302° 30' 39''
Inclination	= -54° 31',36 B.
Ganze Intens.	= 1,23389 A.

1830. APRIL 24. 21^h 50' K.

SÜEDLICHE ATLANTISCHE OCEAN.

Inclination.

Nadel B. 198.

$$I = -48^{\circ} 3',00 \quad I' = -51^{\circ} 16',63 \quad I'' = -54^{\circ} 4',63 \quad I''' = -51^{\circ} 43',87$$

$$i' = -51^{\circ} 17',03$$

$$+ \frac{F}{2} = -0,74$$

$$- \frac{H}{2} = -1,07.$$

Intensität.

Inclinations-Nadel A.

22 ^h 6' 26",4	12' 16",0	r'	3",49146	$\log T_0$	= 0,539996
7 2,0	11 41,2	$r'E^2.F(z) - 1964$	π		= -16°28'
7 37,6	11 6,4	$r'E^4.F'(z) - 27$	$\log \cos(\pi+u)$	= 9,986722	
8 12,6	10 32,4	$r'E^6.F''(z) - 0$	$\text{cp.} \log \sin u$	= 1,383238	
8 47,4	9 57,2		$\text{cp.} \log \phi$	= 8,711660	
22 ^h 9' 22",0			$\log F$	= 0,081620	

$$E = 45^{\circ},0 \quad e = 3^{\circ},0 \quad v = +5^{\circ},30.$$

Resultate

für 1830. April 24. 3^h 23'

Breite	= -50° 12' 17"
Länge	= 302° 22' 30"
Inclination	= -51° 18',84 B.
Ganze Intens.	= 1,20676 A.

1830. APRIL 25. 15^h 15' K.

SUEDLICHE ATLANTISCHE OCEAN.

Inclination.

Nadel B. 199.

$$I = -46^{\circ} 51',00 \quad I' = -47^{\circ} 58',87 \quad I'' = -50^{\circ} 51',73 \quad I''' = -49^{\circ} 10',87$$

$$i' = -48^{\circ} 40',62$$

$$+ \frac{F}{2} = -1,27$$

$$- \frac{H}{2} = -0,30.$$

Intensität.

Inclinations-Nadel A.

15 ^h 30'	2'',8	33' 36'',0	r'	3'',55857	$\log T_0$	= 0,548183
30	38,0	33 0,4	$r'E^2.F(z) -$	2124	π	= -13°42'
31	13,6	32 25,6	$r'E^4.F'(z) -$	32	$\log \cos(\pi + u)$	= 9,991640
15 ^h 31'	49'',6		$r'E^4.F''(z) -$	1	$\text{cp.} \log \sin u$	= 1,361211
					$\text{cp.} \log \Phi$	= 8,711549
					$\log F$	= 0,064400

$$E = 45^{\circ},0 \quad e = 3^{\circ},0 \quad v = +4^{\circ},5.$$

Resultate

für 1830. April 25. 20^h 55'

Breite	= -47° 10' 42''
Länge	= 304° 26' 0''
Inclination	= -48° 42',19 B.
Ganze Intens.	= 1,15984 A.

1830. APRIL 27. 21^h 25' K.

SUEDLICHE ATLANTISCHE OCEAN.

Inclination.

Nadel B. 200.

$$I = -41^{\circ} 39',26 \quad I' = -44^{\circ} 25',25 \quad I'' = -45^{\circ} 34',00 \quad I''' = -43^{\circ} 45',50$$

$$I' = -43^{\circ} 56',00$$

$$+ \frac{F}{2} = + 0,60$$

$$- \frac{H}{2} = + 0,03.$$

Intensität.

Inclinations-Nadel A.

21 ^h 36'	2'',0	39' 52'',4	r'	3'',84000	$\log T_0$	= 0,581093
36	41,2	39' 15,2	$rE^2.F(z)$	- 2293	π	= - 8° 55'
37	20,4	38' 36,4	$rE^2.F'(z)$	- 35	$\log \cos(\pi + u)$	= 9,997642
21 ^h 37'	58'',4		$rE^2.F''(z)$	- 1	$\text{cp.} \log \sin u$	= 1,288136
					$\text{cp.} \log \Phi$	= 8,711206
					$\log F$	= 9,996984

$$E = 45^{\circ},0 \quad e = 3^{\circ},0 \quad v = + 6^{\circ},0.$$

Bei sehr hoher See unter Reffmarssegel-Wind aus SSO.

Resultate

für 1830. April 27. 3^h 10'

Breite	= - 43° 5' 33''
Länge	= 305° 26' 30''
Inclination	= - 43° 55',35 B.
Ganze Intens.	= 0,99308 A.

1830. APRIL 28. 23^h 0' K.

SÜEDLICHE ATLANTISCHE OCEAN.

Intensität.

Nadel B. 201.

$$\begin{aligned}
 I &= -37^{\circ} 34',75 & I' &= -39^{\circ} 45',25 & I'' &= -41^{\circ} 3',00 & I''' &= -42^{\circ} 43',00 \\
 i' &= -40^{\circ} 16',50 \\
 + \frac{F}{2} &= & -2,73 \\
 - \frac{H}{2} &= & +0,45.
 \end{aligned}$$

Intensität.

Inclinations-Nadel A.

23 ^h	8'	37'',2	14'	30'',0	τ'	3'',92170	$\log T_0$	= 0,588803
9	16,8	13	51,2		$\tau'E^2.F(z) -$	3491	π	= -5° 19'
9	56,4	13	12,4		$\tau'E^4.F'(z) -$	43	$\log \cos(\pi+u)$	= 9,999670
10	35,2	12	33,6		$\tau'E^6.F''(z) -$	1	$\text{cp.} \log \sin u$	= 1,269308
11	14,4	11	54,0				$\text{cp.} \log \Phi$	= 8,711028
							$\log F$	= 9,980006

$$E = 40^{\circ},0 \quad e = 9^{\circ},0 \quad v = +7^{\circ},5.$$

Resultate

für 1830. April 28. 4^h 49'

$$\begin{aligned}
 \text{Breite} &= -39^{\circ} 47' 45'' \\
 \text{Länge} &= 306^{\circ} 37' 16'' \\
 \text{Inclination} &= -40^{\circ} 18',78 \text{ B.} \\
 \text{Ganze Intens.} &= 0,95501 \text{ A.}
 \end{aligned}$$

1830. APRIL 29. 19^h 18' K.

SUEDLICHE ATLANTISCHE OCEAN.

Inclination.

Nadel B. 202.

$$I = -35^{\circ} 53', 25 \quad I' = -37^{\circ} 29', 62 \quad I'' = -40^{\circ} 8', 25 \quad I''' = -37^{\circ} 59', 25$$

$$i' = -37^{\circ} 52', 59$$

$$+ \frac{F}{2} = -0,44$$

$$- \frac{H}{2} = +0,38.$$

Intensität.

Inclinations-Nadel A.

19 ^h 28' 6'', 0	32' 1'', 0	r'	3'', 91500	$\log T_0$	= 0,588896
28 46,0	31 22,4	$r'E^2.F(z)$	- 2337	π	= -2° 53'
29 25,2	30 43,6	$r'E^4.F'(z)$	- 35	$\log \cos(\pi+u)$	= 9,999997
19 ^h 30'	4'', 5	$r'E^6.F''(z)$	- 1	$\text{cp.} \log \sin u$	= 1,267800
				$\text{cp.} \log \phi$	= 8,710928
E = 45°, 0	e = 3°, 0	v = + 12°, 25.		$\log F$	= 0,978725

Cylindrische Nadel.

19 ^h 36' 12'', 4	40' 34'', 9	r'	2'', 62100	$\log T_0$	= 0,407855
36 39,2	40 8,6	$r'E^2.F(z)$	- 5489	$\log A + cd$	= 0,695384
37 5,2	39 43,8	$r'E^4.F'(z)$	- 127	$b f^2 \cdot \text{tg}^2 i$	= 3
37 31,6	39 14,8	$r'E^6.F''(z)$	- 4	$\log f$	= 9,879677
37 57,6	38 48,4				
19 ^h 38'	22'', 4				

$$E = 50^{\circ}, 0 \quad e = 20^{\circ}, 0 \quad v = + 12^{\circ}, 25.$$

Resultate

für 1830. April 29. 1^h 10'

Breite	= -38° 17' 23''
Länge	= 307° 20' 14''
Inclination	= -37° 52', 65 B.
Horiz. Intens.	= 0,75801 C.
Ganze Intens.	= 0,96033 C allein.
	= 0,95219 A.

1830. APRIL 30. 20^h 32' K.

SUEDLICHE ATLANTISCHE OCEAN.

Inclination.

Nadel B. 203.

$$I = -34^{\circ} 23',62 \quad I' = -36^{\circ} 29',25 \quad I'' = -38^{\circ} 58',12 \quad I''' = -36^{\circ} 56',62$$

$$i' = -36^{\circ} 41',90$$

$$+ \frac{F}{2} = -0,05$$

$$- \frac{H}{2} = +0,02.$$

Intensität.

Inclinations-Nadel A.

20 ^h 47'	9'',6	53'	43'',2	r'	3'',92473	$\log T_0$	= 0,590081
47	50,0	53	3,6	$r'E^3.F(z) - 2207$	π		= -1° 42'
48	29,6	52	24,4	$r'E^4.F'(z) - 30$	$\log \cos(\pi+u)$	= 9,999867	
49	8,8	51	45,0	$r'E^5.F''(z) - 1$	$\text{cp.} \log \sin u$	= 1,265065	
49	48,0	51	6,0		$\text{cp.} \log \Phi$	= 8,712444	
20 ^h 50'	27'',2				$\log F$	= 9,977376	

$$E = 45^{\circ},0 \quad c = 3^{\circ},0 \quad v = +12^{\circ},75.$$

Resultate

für 1830. April 30. 2^h 25'

$$\text{Breite} = -37^{\circ} 8' 45''$$

$$\text{Länge} = 307^{\circ} 34' 46''$$

$$\text{Inclination} = -36^{\circ} 41',93 \text{ B.}$$

$$\text{Ganze Intens.} = 0,94924 \text{ A.}$$

1830. APRIL 30. 13^h 16' K.

SÜEDLICHE ATLANTISCHE OCEAN.

Inclination.

Nadel B. 204.

$$I = -32^{\circ} 30',37 \quad I' = -33^{\circ} 53',44 \quad I'' = -36^{\circ} 5',25 \quad I''' = -34^{\circ} 53',62$$

$$I' = -34^{\circ} 20',66$$

$$+ \frac{F}{2} = -1,02$$

$$- \frac{H}{2} = +0,71.$$

Intensität.

Inclinations-Nadel A.

13 ^h 26' 50",4	32' 16",4	r'	4",07733	$\log T_0$	= 0,606642
27 31,6	31 36,4	$r'E^2.F(z) -$	2347	π	= 0° 39'
28 12,8	30 56,0	$r'E^4.F'(z) -$	35	$\log \cos(\pi + u)$	= 9,998939
28 54,0	30 15,6	$r'E^6.F''(z) -$	1	$\text{cp.} \log \sin u$	= 1,232640
13 ^h 29'	34",4			$\text{cp.} \log \phi$	= 8,713270
				$\log F$	= 9,944849

$$E = 45^{\circ},0 \quad e = 3^{\circ},0 \quad v = +12^{\circ},25.$$

Resultate

für 1830. April 30. 19^h 12'

Breite	= -35° 44' 25"
Länge	= 308° 16' 36"
Inclination	= -34° 20',97 B.
Ganze Intens.	= 0,88074 A.

1830. MAI 1. 14^h 50' K.

SUEDLICHE ATLANTISCHE OCEAN.

Inclination.

Nadel B. 205.

$$I = -28^{\circ} 7',25 \quad I' = -29^{\circ} 54',75 \quad I'' = -31^{\circ} 43',87 \quad I''' = -30^{\circ} 26',62$$

$$\begin{aligned} i' &= -30^{\circ} 3',12 \\ + \frac{F}{2} &= -0,58 \\ - \frac{H}{2} &= +0,30. \end{aligned}$$

Intensität.

Inclinations-Nadel A.

15 ^h 9' 47'',2	16' 29'',6	τ'	4'',02419	$\log T_0$	= 0,599343
10 28,4	15 50,2	$\tau E^2.F(z) -$	3714	π	= 4° 57'
11 9,2	15 10,4	$\tau E^4.F'(z) -$	56	$\log \cos(\pi + u)$	= 9,995551
11 50,0	14 31,8	$\tau E^6.F''(z) -$	1	$\text{cp.} \log \sin u$	= 1,247979
12 30,4	13 50,6			$\text{cp.} \log \Phi$	= 8,713354
15 ^h 13'	10'',6			$\log F$	= 9,956884

$$E = 45^{\circ},0 \quad e = 7^{\circ},5 \quad v = +12^{\circ},75.$$

Resultate

für 1830. Mai 1. 20^h 53'

Breite	= -33° 4' 29''
Länge	= 309° 55' 27''
Inclination	= -30° 3',40 B.
Ganze Intens.	= 0,90549 A.

1830. MAI 3. 22^b 40' K.

SUEDLICHE ATLANTISCHE OCEAN.

Inclination.

Nadel B. 206.

$$I = -23^{\circ} 9',00 \quad I' = -24^{\circ} 37',82 \quad I'' = -28^{\circ} 6',00 \quad I''' = -26^{\circ} 19',00$$

$$i' = -25^{\circ} 32',93$$

$$+ \frac{F}{2} = -2,81$$

$$- \frac{H}{2} = +2,88.$$

Intensität.

Inclinations-Nadel A.

23 ^b 2' 46'',0	7' 35'',6	τ'	4'',12811	$\log T_0$	= 0,611597
3 28,4	6 54,4	$\tau' E^2. F(z)$	-2468	π	= 9° 27'
4 10,4	6 13,6	$\tau' E^4. F'(z)$	-36	$\log \cos(\pi+u)$	= 9,989001
4 51,6	5 32,4	$\tau' E^6. F''(z)$	-1	$\text{cp. log sin } u$	= 1,227782
				$\text{cp. log } \phi$	= 8,716190
				$\log F$	= 9,932973

$$E = 45^{\circ},0 \quad e = 3^{\circ},0 \quad v = +15^{\circ},5.$$

Resultate

für 1830. Mai 3. 4^b 45'

Breite	= -29° 53' 2''
Länge	= 311° 23' 25''
Inclination	= -25° 32',88 B.
Ganze Intens.	= 0,85698 A.

1830. MAI 4. 21^h 15' K.

SÜEDLICHE ATLANTISCHE OCEAN.

Inclination.

Nadel B. 207.

$$I = -19^{\circ} 59',25 \quad I' = -20^{\circ} 51',37 \quad I'' = -24^{\circ} 35',25 \quad I''' = -22^{\circ} 40',12$$

$$\begin{aligned} i' &= -22^{\circ} 1',50 \\ + \frac{F}{2} &= -3,95 \\ - \frac{H}{2} &= +4,17. \end{aligned}$$

Intensität.

Inclinations-Nadel A.

21 ^h 28'	29",2	33'	23",2	τ'	4",21119	$\log T_0$	= 0,618312
29	10,6	32	42,4	$\tau'E^2.F(z)$	- 4066	π	= 12° 59'
29	52,0	31	58,4	$\tau'E^4.F'(z)$	- 75	$\log \cos(\pi+u)$	= 9,981875
30	34,2	31	15,4	$\tau'E^6.F''(z)$	- 2	$\text{cp.} \log \sin u$	= 1,219665
						$\text{cp.} \log \Phi$	= 8,717260
						$\log F$	= 9,918800

$$E = 50^{\circ},0 \quad e = 6^{\circ},0 \quad v = +18^{\circ},5.$$

Resultat

für 1830. Mai 4. 3^h 27'

Breite	= -27° 58' 30"
Länge	= 312° 15' 31"
Inclination	= -22° 1',29 B.
Ganze Intens.	= 0,82947 A.

1830. MAI 5. 0^h 15' W. Zt.

SÜEDLICHE ATLANTISCHE OCEAN.

Inclination.

Nadel B. 208.

$$I = -17^{\circ} 37',12 \quad I' = -18^{\circ} 25',50 \quad I'' = -20^{\circ} 55',87 \quad I''' = -22^{\circ} 0',37$$

$$i' = -19^{\circ} 44',69$$

$$+ \frac{F}{2} = -3,88$$

$$- \frac{H}{2} = +3,00.$$

Intensität.

Inclinations-Nadel A.

18 ^h 22' 20'',8	30' 48'',8	r'	$4'',23253 \log T_0$	$= 0,622354$
23 4,8	30 7,4	$r'E^2.F(z) - 2419 \pi$		$= 15^{\circ} 15'$
23 47,6	29 26,0	$r'E^4.F'(z) - 42 \log \cos(\pi+u)$		$= 9,976356$
24 30,0	28 44,6	$r'E^6.F''(z) - 1 \text{ cp. } \log \sin u$		$= 1,215902$
25 12,4	28 2,4	$\text{cp. } \log \varphi$		$= 8,718208$
25 55,6	27 20,4	$\log F$		$= 9,910466$
18 ^h 26'	38'',2			

$$E = 45^{\circ},0 \quad e = 5^{\circ},0 \quad v = +17^{\circ},6.$$

Resultate

für 1830. Mai 5. 0^h 12'

Breite	$= -26^{\circ} 22' 0''$
Länge	$= 313^{\circ} 25' 43''$
Inclination	$= -19^{\circ} 45',57 \text{ B.}$
Ganze Intens.	$= 0,81370 \text{ A.}$

1830. MAI 8. 5^h 40' K.

SUEDLICHE ATLANTISCHE OCEAN.

Inclination.

Nadel B. 209.

$$I = -14^{\circ} 19',87 \quad I' = -14^{\circ} 49',50 \quad I'' = -17^{\circ} 55',50 \quad I''' = -17^{\circ} 0',75$$

$$i' = -16^{\circ} 1',30$$

$$+ \frac{F}{2} = -3,88$$

$$- \frac{H}{2} = +3,70.$$

Intensität.

Inclinations-Nadel A.

5 ^h 56' 25",6	60' 45",2	τ'	$4'',32857 \log T_0$	$= 0,632509$
57 10,2	60 3,6	$\tau E^2.F(z)$	-2585π	$= 18^{\circ} 58'$
57 53,6	59 20,0	$\tau E^4.F'(z)$	$-39 \log \cos(\pi+u)$	$= 9,965508$
5 ^h 58' 36",4		$\tau E^6.F''(z)$	$-1 \text{ cp.} \log \sin u$	$= 1,204267$
			$\text{cp.} \log \Phi$	$= 8,719826$
			$\log F$	$= 9,889601$

$$E = 45^{\circ},0 \quad e = 3^{\circ},0 \quad v = +12^{\circ},2.$$

Resultate

für 1830. Mai 8. 12^h 0'

$$\text{Breite} = -24^{\circ} 12' 12''$$

$$\text{Länge} = 314^{\circ} 15' 10''$$

$$\text{Inclination} = -16^{\circ} 1',58 \text{ B.}$$

$$\text{Ganze Intens.} = 0,77553 \text{ A.}$$

1830. MAI 9. 14^h 20' K.

SUEDLICHE ATLANTISCHE OCEAN.

Inclination.

Nadel B. 210.

$$I = -13^{\circ} 21',75 \quad I' = -14^{\circ} 24',00 \quad I'' = -18^{\circ} 23',25 \quad I''' = -17^{\circ} 2',62$$

$$i' = -15^{\circ} 47',90$$

$$+ \frac{F}{2} = -6,64$$

$$- \frac{H}{2} = +6,86.$$

Resultate

für 1830. Mai 9. 20^h 40'

$$\text{Breite} = -24^{\circ} 24' 12''$$

$$\text{Länge} = 314^{\circ} 9' 2''$$

$$\text{Inclination} = -15^{\circ} 47',68 \text{ B.}$$

1830. MAI 13.

Vor Anker in der Bucht von RIO - JANEIRO *)

Inclination.

Nadel B. 211.

I und I' wurden nicht beobachtet. $I'' = -14^{\circ} 11',62$ $I''' = -13^{\circ} 19',87$
 $I'' = -14^{\circ} 49',87$ $I''' = -13^{\circ} 51',37$

Die Nadel ist zweimal gestrichen, die Lage der Pole aber durch ein Versehen nicht umgekehrt worden.

Mit Hülfe der nächsten Beobachtungen folgt:

$$i' = \frac{I'' + I'''}{2} - 1^{\circ} 30',29 = -13^{\circ} 32',89$$

$$+ \frac{F - H}{2} = +0,04.$$

Resultate

für 1830. Mai 13. 19^h 30'

Breite	= -23° 1' 40"
Länge	= 314° 38' 22"
Inclination	= -13° 32',85

*) Dem Leuchthurm auf Ilha rasa gegenüber. Die Lage des Schiffes ist durch Pellungen von Küstenpunkten bestimmt.

1830. MAI 14.

Vor Anker auf der Rhede von RIO - JANEIRO. *)

Inclination.

Nadel B. 212.

$$I = -12^{\circ} 29',12 \quad I' = -12^{\circ} 39',00 \quad I'' = -15^{\circ} 4',11 \quad I''' = -14^{\circ} 26',25$$

$$i' = -13^{\circ} 39',62$$

$$+ \frac{F}{2} = -2,64$$

$$- \frac{H}{2} = +2,50.$$

Intensität.

Cylindrische Nadel.

$$15^b 15' 43'',6 \quad 19' 48'',8 \quad r' \quad 2'',43400 \quad \log T_o = 0,383005$$

$$16 \quad 10,0 \quad 19 \quad 24,8 \quad r'E^2.F(z) - 818 \quad \log A + cd = 0,695679$$

$$16 \quad 34,6 \quad 19 \quad 0,6 \quad r'E^4.F'(z) - 3 \quad b' f^2. \lg i = 2$$

$$16 \quad 59,4 \quad 18 \quad 36,8 \quad r'E^6.F''(z) - 0 \quad \log f = 9,929671$$

$$17 \quad 23,2 \quad 18 \quad 12,6$$

$$15^b \quad 17' \quad 48'',4$$

$$E = 20^{\circ},0 \quad e = 8^{\circ},0 \quad v = +19^{\circ},0.$$

Prismatische Nadel.

$$15^b 25' 46'',8 \quad 31' 43'',8 \quad r' \quad 3'',56854 \quad \log T_o = 0,544513$$

$$26 \quad 22,6 \quad 31 \quad 8,0 \quad r'E^2.F(z) - 4934 \quad \log A' + c'd = 1,016547$$

$$26 \quad 58,5 \quad 30 \quad 32,5 \quad r'E^4.F'(z) - 66 \quad b' f^2. \lg^2 i = 2$$

$$27 \quad 34,4 \quad 29 \quad 57,2 \quad r'E^6.F''(z) - 1 \quad \log f = 9,927523$$

$$28 \quad 10,4 \quad 29 \quad 21,6$$

$$15^b \quad 28' \quad 45'',8$$

$$E = 35^{\circ},0 \quad e = 20^{\circ},0 \quad v = +19^{\circ},0.$$

Resultate

für 1830. Mai 14. 21^h 40'

$$\text{Breite} = -22^{\circ} 53' 50''$$

$$\text{Länge} = 314^{\circ} 35' 0''$$

$$\text{Inclination} = 13^{\circ} 39',76 \text{ B.}$$

$$\text{Horiz. Intens.} = 0,85049 \quad \text{C.}$$

$$= 0,84630 \quad \text{P.}$$

*) Ila das cobras gegenüber.

1830. MAI 26.

Bei RIO-JANEIRO, auf ila das Cobras.

Inclination.

Nadel B. 213.

$$I = -9^{\circ} 48',62 \quad I' = -10^{\circ} 35',75 \quad I'' = -17^{\circ} 13',00 \quad I''' = -16^{\circ} 21',75$$

$$i' = -13^{\circ} 29',77$$

$$+ \frac{F}{2} = -2,63$$

$$- \frac{H}{2} = +2,50.$$

Intensität.

Cylindrische Nadel.

17 ^h 35' 32",4	39' 35",6	r'	2",42964	$\log T_0$	= 0,382748
35 56,8	39 11,2	$r'E^2.F(z)$	— 575	$\log A + cd$	= 0,693923
36 21,2	38 46,8	$r'E^4.F'(z)$	— 2	$b f^2 \cdot \lg^2 i$	= 2
36 45,6	38 22,5	$r'E^6.F''(z)$	— 0	$\log f$	= 9,930429
37 10,0	37 58,4				
17 ^h 37'	34",2				

$$E = 18^{\circ},0 \quad e = 6^{\circ},0 \quad v = +18^{\circ},1.$$

Prismatische Nadel.

17 ^h 41' 16",0	47' 9",2	r'	3",53018	$\log T_0$	= 0,544660
41 51,6	46 34,0	$r'E^2.F(z)$	— 1123	$\log A' + c'd$	= 1,016360
42 27,2	45 58,8	$r'E^4.F'(z)$	— 4	$b' f^2 \cdot \lg^2 i$	= 2
43 2,4	45 23,6	$r'E^6.F''(z)$	— 0	$\log f$	= 9,927042
43 38,0	44 48,4				
17 ^h 44'	13",2				

$$E = 20^{\circ},0 \quad e = 7^{\circ},5 \quad v = +18^{\circ},0.$$

1830. MAI 26.

Bei RIO - JANEIRO, auf ila das Cobras.

Inclinations-Nadel A.

17 ^h 52' 4'',8	56' 16'',4	r'	4'',19573	$\log T_0$	= 0,618562
52 47,2	55 35,2	$r'E^2.F(z)$	— 2392	π	= 21° 30'
53 29,6	54 53,6	$r'E^4.F'(z)$	— 29	$\log \cos(\pi+u)$	= 9,957963
17 ^h 54' 11'',6		$r'E^6.F''(z)$	— 0	cp. $\log \sin u$	= 1,239240
				cp. $\log \Phi$	= 8,743690
				$\log F$	= 9,940893

$$E = 40^\circ,0 \quad e = 4^\circ,0 \quad v = + 18^\circ,0.$$

Resultate

für 1830. Mai 26. 0^h 5'

Breite	= — 22° 53' 54''
Länge	= 314° 34' 39''
Inclination	= — 13° 29',90 B.
Horiz. Intens.	= 0,85198 C.
	= 0,84536 P.
Ganze Intens.	= 0,87276 C. u. P.
	= 0,87276 A.

1830. JUNI 21. 6^h 30' W. Zt.

SUEDLICHE ATLANTISCHE OCEAN.

Inclination.

Nadel B. 214.

$$I = -13^{\circ} 59',62 \quad I' = -14^{\circ} 31',87 \quad I'' = -18^{\circ} 55',12 \quad I''' = -18^{\circ} 21',75$$

$$i' = -16^{\circ} 27',08$$

$$+ \frac{F}{2} = -15,87$$

$$- \frac{H}{2} = +15,97.$$

Resultate

für 1830. Juni 21. 6^h 31'

Breite = $-23^{\circ} 50' 58''$

Länge = $316^{\circ} 31' 5''$

Inclination = $-16^{\circ} 26',98 \text{ B.}$

1830. JUNI 21. 20^h 22' K.

SÜEDLICHE ATLANTISCHE OCEAN.

Inclination.

Nadel B. 215.

$$I = -13^{\circ} 12', 37 \quad I' = -13^{\circ} 32', 25 \quad I'' = -19^{\circ} 54', 07 \quad I''' = -19^{\circ} 39', 37$$

$$i' = -16^{\circ} 34', 52$$

$$+ \frac{F}{2} = -19,61$$

$$- \frac{H}{2} = +19,29.$$

Intensität.

Inclinations-Nadel A.

$$\begin{array}{llll} 20^h 37' 10'', 0 & 40' 2'', 4 & \tau' & 4'', 30000 \log T_0 = 0,627096 \\ 37 & 52,8 & 39 & 18,0 & \tau'E^2.F(z) - 4214 \pi = 18^{\circ} 25' \\ 20^h & 38' 35'', 6 & \tau'E^4.F'(z) - 58 & \log \cos(\pi+u) = 9,967412 \\ & & \tau'E^6.F''(z) - 1 & \text{cp.} \log \sin u = 1,213683 \\ & & & \text{cp.} \log \phi = 8,739562 \\ & & & \log F = 9,920657 \end{array}$$

$$E = 40^{\circ}, 0 \quad e = 10^{\circ}, 0 \quad v = +21^{\circ}, 0.$$

$$\begin{array}{llll} 20^h 42' 15'', 2 & 46' 31'', 4 & \tau' & 4'', 26928 \log T_0 = 0,625201 \\ 42 & 57,6 & 43 & 48,0 & \tau'E^2.F(z) - 3016 \pi = 18^{\circ} 25' \\ 43 & 40,0 & 45 & 6,0 & \tau'E^4.F'(z) - 37 \log \cos(\pi+u) = 9,967504 \\ 20^h & 44' 22'', 0 & \tau'E^6.F''(z) - 1 & \text{cp.} \log \sin u = 1,217473 \\ & & & \text{cp.} \log \phi = 8,739562 \\ & & & \log F = 9,924539 \end{array}$$

$$E = 40^{\circ}, 0 \quad e = 6^{\circ}, 0 \quad v = +21^{\circ}, 0.$$

Resultate

für 1830. Juni 21. 22^h 48'

$$\text{Breite} = -24^{\circ} 18' 17''$$

$$\text{Länge} = 317^{\circ} 17' 1''$$

$$\text{Inclination} = -16^{\circ} 34', 84 \text{ B.}$$

$$\text{Ganze Intens.} = 0,83302 \text{ A.}$$

$$= 0,84050 \text{ A.}$$

1830. JUNI 22. 0^h 50' K.

SÜEDLICHE ATLANTISCHE OCEAN.

Inclination.

Nadel B. 216.

$$I = -13^{\circ} 26', 25 \quad I' = -14^{\circ} 19', 12 \quad I'' = -22^{\circ} 25', 13 \quad I''' = -19^{\circ} 40', 50$$

$$i' = -17^{\circ} 27', 74$$

$$+ \frac{F}{2} = -21,91$$

$$- \frac{H}{2} = +22,87.$$

Intensität.

Inclinations-Nadel A.

1 ^b	4' 34'',0	8' 7'',2	τ'	4'',26286	$\log T_0$	= 0,622829
5	18,0	7 26,0	$\tau'E^2.F(z)$	- 4628	π	= 17° 33'
6	1,2	6 44,0	$\tau'E^2.F'(z)$	- 91	$\log \cos(\pi+u)$	= 9,970147
			$\tau'E^2.F''(z)$	- 3	cp. $\log \sin u$	= 1,220084
					cp. $\log \Phi$	= 8,739147
					$\log F$	= 9,929378

$$E = 50^{\circ},0 \quad e = 10^{\circ},0 \quad v = +21^{\circ},0.$$

1 ^b	9' 45'',4	16' 9'',6	τ'	4'',26224	$\log T_0$	= 0,621046
10	29,6	15 27,5	$\tau'E^2.F(z)$	- 6240	π	= 17° 33'
11	13,2	14 45,4	$\tau'E^2.F'(z)$	- 141	$\log \cos(\pi+u)$	= 9,970229
11	55,2	14 3,8	$\tau'E^2.F''(z)$	- 5	cp. $\log \sin u$	= 1,223650
12	38,4	13 21,2			cp. $\log \Phi$	= 8,739147
					$\log F$	= 9,933026

$$E = 55^{\circ},0 \quad e = 10^{\circ},0 \quad v = +21^{\circ},0.$$

Resultate

für 1830. Juni 22. 3^b 23'

Breite	= -24° 49' 31"
Länge	= 318° 11' 23"
Inclination	= -17° 26',78 B.
Ganze Intens.	= 0,84992 A.
	= 0,85709 A.

1830. JUNI 25. 22^h 35' K.

SUEDLICHE ATLANTISCHE OCEAN.

Inclination.

Nadel B. 217.

$$\begin{aligned}
 I &= -14^{\circ} 22',75 \quad I' = -14^{\circ} 51',00 \quad I'' = -22^{\circ} 55',12 \quad I''' = -21^{\circ} 51',00 \\
 i' &= -18^{\circ} 29',96 \\
 + \frac{F}{2} &= -25,43 \\
 - \frac{H}{2} &= +20,44.
 \end{aligned}$$

Intensität.

Inclinations-Nadel A.

32 ^h 44' 49'',2	47' 41'',2	r'	$A'',30200$	$\log T_0$	$= 0,628898$
45 32,4	46 58,6	$r'E^2.F(z) -$	2854	π	$= 16^{\circ} 25'$
22 ^h 46'	15,4	$r'E^4.F'(z) -$	36	$\log \cos(\pi+u)$	$= 9,973020$
		$r'E^6.F''(z) -$	1	$\text{cp.} \log \sin u$	$= 1,205318$
				$\text{cp.} \log \phi$	$= 8,738655$
				$\log F$	$= 9,916993$

$$E = 40^{\circ},0 \quad e = 5^{\circ},0 \quad v = +19^{\circ},0.$$

22 ^h 49' 1'',2	56' 13'',4	r'	$A'',31709$	$\log T_0$	$= 0,628956$
49 45,6	55 31,0	$r'E^2.F(z) -$	4234	π	$= 16^{\circ} 25'$
50 28,8	54 47,8	$r'E^4.F'(z) -$	104	$\log \cos(\pi+u)$	$= 9,973017$
51 12,0	54 3,8	$r'E^6.F''(z) -$	4	$\text{cp.} \log \sin u$	$= 1,205202$
51 55,0	53 20,6			$\text{cp.} \log \phi$	$= 8,738655$
22 ^h 52'	38,4			$\log F$	$= 9,916874$

$$E = 55^{\circ},0 \quad e = 5^{\circ},0 \quad v = +19^{\circ},0.$$

Resultate

für 1830. Juni 25. 1^h 24'

Breite	$= -24^{\circ} 53' 26''$
Länge	$= 322^{\circ} 5' 31''$
Inclination	$= -18^{\circ} 34',95 \text{ B.}$
Ganze Intens.	$= 0,82602 \text{ A.}$
	$= 0,82580 \text{ A.}$

1830. JUNI 28. 22^h 0' K.

SUEDLICHE ATLANTISCHE OCEAN.

Inclination.

Nadel B. 218.

$$I = -9^{\circ} 15',60 \quad I' = -9^{\circ} 55',80 \quad I'' = -22^{\circ} 46',80 \quad I''' = -21^{\circ} 30',30$$

$$i' = -15^{\circ} 52',62$$

$$+ \frac{F}{2} = -1 \quad 18,45$$

$$- \frac{H}{2} = +1 \quad 7,53.$$

Intensität.

Inclinations-Nadel A.

22 ^h 13' 20",0	19' 12",4	τ'	4",39733	$\log T_0$	= 0,639235
14 5,2	18 28,0	$\tau'E^2.F(z)$	— 2108	π	= 18° 56'
14 49,6	17 45,6	$\tau'E^2.F'(z)$	— 24	$\log \cos(\pi+u)$	= 9,965217
15 33,8	17 2,2	$\tau'E^6.F''(z)$	— 0	$\text{cp.} \log. \sin u$	= 1,190728
22 ^h 16' 18",0				$\text{cp.} \log. \Phi$	= 8,738338
				$\log F$	= 9,894283

$$E = 409,0 \quad e = 3^{\circ},0 \quad v = +19^{\circ},0.$$

Resultate

für 1830. Juni 28. 0^h 53'

Breite	=	-24° 25' 51"
Länge	=	322° 50' 42"
Inclination	=	-16° 3',54 B.
Ganze Intens.	=	0,78394 A.

1830. JUNI 28. 1^h 28' K.

SUEDLICHE ATLANTISCHE OCEAN.

Inclination.

Nadel B. 219.

$$\begin{aligned}
 I &= -9^{\circ} 34',75 & I' &= -9^{\circ} 41',25 & I'' &= -22^{\circ} 18',75 & I''' &= -22^{\circ} 12',50 \\
 i' &= -15^{\circ} 56',81 \\
 + \frac{F}{2} &= -1 & 19,66 \\
 - \frac{H}{2} &= +1 & 7,66.
 \end{aligned}$$

Intensität.

Inclinations-Nadel A.

1 ^h 32' 23'',2	35' 18'',4	r'	$A'',38400$	$\log T_0$	$= 0,636671$
33 7,2	34 35,2	$r'E^2.F(z) -$	3454	π	$= 18^{\circ} 51'$
1 ^h 33' 51'',2		$r'E^4.F'(z) -$	55	$\log \cos(\pi+u)$	$= 9,965611$
		$r'E^6.F''(z) -$	1	$\text{cp.} \log \sin u$	$= 1,195641$
				$\text{cp.} \log \Phi$	$= 8,738308$
				$\log F$	$= 9,899560$

$$E = 45^{\circ},0 \quad e = 5^{\circ},0 \quad v = +17^{\circ},7.$$

1 ^h 36' 50'',2	42' 2'',0	r'	$A'',44000$	$\log T_0$	$= 0,640421$
37 36,4	41 18,0	$r'E^2.F(z) -$	5189	π	$= 18^{\circ} 51'$
38 22,0	40 33,8	$r'E^4.F'(z) -$	135	$\log \cos(\pi+u)$	$= 9,965411$
39 6,4	39 50,0	$r'E^6.F''(z) -$	6	$\text{cp.} \log \sin u$	$= 1,188140$
				$\text{cp.} \log \Phi$	$= 8,738308$
				$\log F$	$= 9,891859$

$$E = 60^{\circ},0 \quad e = 5^{\circ},0 \quad v = +17^{\circ},7.$$

Resultate

für 1830. Juni 28. 4^h 21'

Breite	$= -24^{\circ} 5' 54''$
Länge	$= 322^{\circ} 53' 7''$
Inclination	$= -16^{\circ} 8',81 \text{ B.}$
Ganze Intens.	$= 0,79352 \text{ A.}$
	$= 0,77958 \text{ A.}$

1830. JULI 1. 5^h 35' W. Zt.

SUEDLICHE ATLANTISCHE OCEAN.

Inclination.

Nadel B. 220.

$$\begin{aligned}
 I &= -3^{\circ} 25',00 & I' &= -3^{\circ} 23',00 & I'' &= -15^{\circ} 55',00 & I''' &= -15^{\circ} 54',25 \\
 i' &= -9^{\circ} 39',31 \\
 + \frac{F}{2} &= -2 & 4,96 \\
 - \frac{H}{2} &= +1 & 57,92.
 \end{aligned}$$

Intensität.

Inclinations-Nadel A.

2 ^h 47' 17",6	50' 57",6	τ	4",39428	$\log T_0$	$= 0,637823$
48 2,4	50 14,0	$\tau E^3.F(z) -$	3185	π	$= 25^{\circ} 14'$
48 46,4	49 29,6	$\tau E^4.F'(z) -$	62	$\log \cos(\pi + u)$	$= 9,942887$
		$\tau E^5.F''(z) -$	2	$\text{cp.} \log \sin u$	$= 1,212949$
				$\text{cp.} \log \Phi$	$= 8,737798$
				$\log F$	$= 9,893634$

$$E = 50^{\circ},0 \quad e = 3^{\circ},0 \quad v = +19^{\circ},0.$$

Resultate

für 1830. Juli 1. 5^h 38'

Breite	$= -20^{\circ} 55' 43''$
Länge	$= 322^{\circ} 21' 50''$
Inclination	$= -9^{\circ} 46',35 \text{ B.}$
Ganze Intens.	$= 0,78277 \text{ A.}$

1830. JULI 2. 0^h 45' K.

SUEDLICHE ATLANTISCHE OCEAN.

Inclination.

Nadel B. 221.

$$I = -1^{\circ} 26',62 \quad I' = -2^{\circ} 0',00 \quad I'' = -14^{\circ} 22',12 \quad I''' = -13^{\circ} 36',75$$

$$i' = -7^{\circ} 51',37$$

$$+ \frac{F}{2} = -2 \quad 26,34$$

$$- \frac{H}{2} = +1 \quad 21,85.$$

Intensität.

Inclinations-Nadel A.

0 ^h 59' 59",6	65' 23",2	i'	$4'',61666 \log T_0$	$= 0,658785$
60 46,0	64 36,4	$i'E^2.F(z) - 4050 \pi$		$= 27^{\circ} 4'$
61 32,2	63 50,4	$i'E^3.F'(z) - 29 \log \cos(\pi + u)$		$= 9,933639$
62 17,8	63 4,0	$i'E^3.F''(z) - 2 \text{ cp.} \log \sin u$		$= 1,177849$
		$\text{cp.} \log \Phi$		$= 8,737482$
		$\log F$		$= 9,848970$

$$E = 50^{\circ},0 \quad e = 5^{\circ},0 \quad v = +17^{\circ},4.$$

Resultate

für 1830. Juli 2. 3^h 36'

Breite	$= -19^{\circ} 59' 47''$
Länge	$= 322^{\circ} 36' 6''$
Inclination	$= -7^{\circ} 55',86 \text{ B.}$
Ganze Intens.	$= 0,70627 \text{ A.}$

1830. JULI 3. 16^h 20' K.

SÜEDLICHE ATLANTISCHE OCEAN.

Inclination.

Nadel B. 222.

$$I = -0^{\circ} 14',25 \quad I' = -0^{\circ} 47',25 \quad I'' = -15^{\circ} 7',12 \quad I''' = -14^{\circ} 9',00$$

$$i' = -7^{\circ} 34',40$$

$$+ \frac{F}{2} = -3 \quad 21,27$$

$$- \frac{H}{2} = +3 \quad 15,57.$$

Intensität.

Inclinations-Nadel A.

16 ^h 30' 14'',8	34' 42'',4	r'	4'',45715	$\log T_0$	= 0,644590
31	0,4 37 58,4	$r'E^2.F(z)$	- 2664	π	= 27° 20'
31	45,2 33 14,4	$r'E^4.F'(z)$	- 50	$\log \cos(\pi + u)$	= 9,933567
16 ^h 32'	29'',6	$r'E^4.F''(z)$	- 2	$\text{cp.} \log \sin u$	= 1,207378
				$\text{cp.} \log \Phi$	= 8,737204
				$\log F$	= 9,878149

$$E = 50^{\circ},0 \quad e = 2^{\circ},0 \quad v = +18^{\circ},7.$$

16 ^h 36' 29'',2	41' 42'',0	r'	4'',46262	$\log T_0$	= 0,644718
37	14,8 40 57,6	$r'E^2.F(z)$	- 3072	π	= 27° 20'
38	0,0 40 13,6	$r'E^4.F'(z)$	- 56	$\log \cos(\pi + u)$	= 9,933553
38	44,0 39 28,2	$r'E^4.F''(z)$	- 2	$\text{cp.} \log \sin u$	= 1,207022
				$\text{cp.} \log \Phi$	= 8,737204
				$\log F$	= 9,877779

$$E = 45^{\circ},0 \quad e = 3^{\circ},0 \quad v = +18^{\circ},7.$$

Resultate

für 1830. Juli 3. 19^h 11'

Breite	= -19° 38' 20''
Länge	= 322° 31' 11''
Inclination	= -7° 40',10 B.
Ganze Intens.	= 0,75535 A.
	= 0,75471 A.

1830. JULI 4. 19^h 14' K.

SÜEDLICHE ATLANTISCHE OCEAN.

Inclination.

Nadel B. 223.

$$I = -0^{\circ} 36',00 \quad I' = -0^{\circ} 31',32 \quad I'' = -14^{\circ} 5',62 \quad I''' = -13^{\circ} 43',87$$

$$i' = -7^{\circ} 19',25$$

$$+ \frac{F}{2} = -3 \quad 1,50$$

$$- \frac{H}{2} = +2 \quad 55,83.$$

Intensität.

Inclinations-Nadel A.

19 ^h 22' 54",0	27' 20",8	r'	$4'',44286 \log T_0$	$= 0,643244$
23 38,8	26 36,0	$r'E^2.F(z) - 2485 \pi$		$= 27^{\circ} 35'$
24 23,2	25 52,4	$r'E^4.F'(z) - 43 \log \cos(\pi + u)$		$= 9,932608$
19 ^h 25' 8",6		$r'E^6.F''(z) - 1 \text{ cp.} \log \sin u$		$= 1,211954$
		$\text{cp.} \log \phi$		$= 8,737019$
		$\log F$		$= 9,881381$

$$E = 48^{\circ},0 \quad e = 2^{\circ},0 \quad v = +20^{\circ},0.$$

Resultate

für 1830. Juli 4. 22^h 7'

Breite	$= -18^{\circ} 57' 33''$
Länge	$= 322^{\circ} 32' 25''$
Inclination	$= -7^{\circ} 24',92 \text{ B.}$
Ganze Intens.	$= 0,76134 \text{ A.}$

1830. JULI 6. 2^h 0'. K.

SUEDLICHE ATLANTISCHE OCEAN.

Inclination.

Nadel B. 224.

$$\begin{aligned}
 I &= 2^\circ 2',62 & I' &= 2^\circ 0',75 & I'' &= -11^\circ 8',25 & I''' &= -10^\circ 58',12 \\
 & & i' &= -4^\circ 30',75 \\
 & + \frac{F-H}{2} & &= -0 & 3,46
 \end{aligned}$$

Intensität.

Inclinations-Nadel A.

2 ^h 11' 10'',4	14' 55'',2	τ'	$4'',49200 \log T_0$	$= 0,646739$
11 56,8	14 11,2	$\tau'E^2.F(z) -$	3781π	$= 30^\circ 26'$
12 42,2	13 27,2	$\tau'E^4.F'(z) -$	$89 \log \cos(\pi+u)$	$= 9,918992$
		$\tau'E^6.F''(z) -$	$4 \text{ cp. log sin } u$	$= 1,215946$
			$\text{cp. log } \Phi$	$= 8,736806$
			$\log F$	$= 9,871744$

$E = 55^\circ,0 \quad e = 3^\circ,0 \quad v = +20^\circ,0.$

Resultate

für 1830. Juli 6. 4^h 50'

Breite	$= -17^\circ 32' 49''$
Länge	$= 323^\circ 28' 53''$
Inclination	$= -4^\circ 34',21 \text{ B.}$
Ganze Intens.	$= 0,74429 \text{ A.}$

1830. JULI 7. 1^h 15' W. Zt.

SUEDLICHE ATLANTISCHE OCEAN.

Inclination.

Nadel B. 225.

$$\begin{aligned}
 I &= 4^{\circ} 20',25 & I' &= 3^{\circ} 48',75 & I'' &= -9^{\circ} 17',25 & I''' &= -8^{\circ} 39',00 \\
 & & i' &= -2^{\circ} 26',81 \\
 & + \frac{F-H}{2} & = + & 0,09
 \end{aligned}$$

Intensität.

Inclinations-Nadel A.

$$\begin{array}{l|l}
 22^h 30' 17'',6 & 34' 0'',8 \\
 31 & 4,0 \quad 33 \quad 18,4 \\
 31 & 49,2 \quad 32 \quad 33,6
 \end{array}
 \begin{array}{l}
 r' \quad 4'',46743 \log T_0 = 0,643749 \\
 r'E^2.F(z) - 4334 \pi = 32^{\circ} 33' \\
 r'E^{\circ}.F'(z) - 122 \log \cos(\pi+u) = 9,908465 \\
 r'E^{\circ}.F''(z) - 6 \text{ cp. log sin } u = 1,231756
 \end{array}$$

$$\begin{array}{l}
 \text{cp. log } \Phi = 8,736665 \\
 \log F = 9,876886 \\
 E = 60^{\circ} \quad e = 3^{\circ},0 \quad v = +20^{\circ},0.
 \end{array}$$

$$\begin{array}{l|l}
 22^h 36' 49'',6 & 40' 33'',8 \\
 37 & 36,8 \quad 39 \quad 49,6 \\
 38 & 21,6 \quad 39 \quad 5,2
 \end{array}
 \begin{array}{l}
 r' \quad 4'',46572 \log T_0 = 0,644486 \\
 r'E^2.F(z) - 3437 \pi = 32^{\circ} 33' \\
 r'E^{\circ}.F'(z) - 107 \log \cos(\pi+u) = 9,908403 \\
 r'E^{\circ}.F''(z) - 6 \text{ cp. log sin } u = 1,230282
 \end{array}$$

$$\begin{array}{l}
 \text{cp. log } \Phi = 8,736665 \\
 \log F = 9,875350 \\
 E = 60^{\circ},0 \quad e = 2^{\circ},0 \quad v = +20^{\circ},0.
 \end{array}$$

Resultate

für 1830. Juli 7. 1^h 19'

$$\begin{array}{ll}
 \text{Breite} & = -16^{\circ} 16' 47'' \\
 \text{Länge} & = 324^{\circ} 4' 16'' \\
 \text{Inclination} & = -2^{\circ} 26',72 \text{ B.} \\
 \text{Ganze Intens.} & = 0,75316 \text{ A.} \\
 & = 0,75050 \text{ A.}
 \end{array}$$

1830. JULI 7. 2^h 40' K.

SUEDLICHE ATLANTISCHE OCEAN.

Inclination.

Nadel B. 226.

$$\begin{aligned}
 I &= 4^{\circ} 37',12 & I' &= 4^{\circ} 15',37 & I'' &= -7^{\circ} 39',75 & I''' &= -7^{\circ} 26',61 \\
 & & i' &= -1^{\circ} 33',47 \\
 + \frac{F-H}{2} &= - & & 0,48
 \end{aligned}$$

Intensität.

Inclinations-Nadel A.

2 ^h 48'	34'',8	52'	14'',8		r'	4'',38743	$\log T_0$	$= 0,636606$
49	20,0	51	30,8		$r'E^2.F(z) -$	3693	π	$= 34^{\circ} 26'$
50	4,0	50	47,2		$r'E^4.F'(z) -$	87	$\log \cos(\pi+u)$	$= 9,898798$
					$r'E^4.F''(z) -$	3	$\text{cp.} \log \sin u$	$= 1,255489$
							$\text{cp.} \log \phi$	$= 8,736632$
							$\log F$	$= 9,890919$

$E = 55^{\circ},0 \quad c = 3^{\circ},0 \quad v = +19^{\circ},0.$

Resultate

für 1830. Juli 7. 5^h 37'

Breite	$= -15^{\circ} 56' 7''$
Länge	$= 324^{\circ} 6' 34''$
Inclination	$= -1^{\circ} 33',95 \text{ B.}$
Ganze Intens.	$= 0,77789 \text{ A.}$

1830. JULI 7. 17^h 45' K.

SUEDLICHE ATLANTISCHE OCEAN.

Inclination.

Nadel B. 227.

$$\begin{aligned}
 I &= 6^{\circ} 49',50 & I' &= 6^{\circ} 31',12 & I'' &= -5^{\circ} 47',63 & I''' &= -5^{\circ} 42',37 \\
 & & i' &= 0^{\circ} 27',63 \\
 + \frac{F-H}{2} &= - & 0,50
 \end{aligned}$$

Intensität.

Inclinations-Nadel A.

17 ^h 56' 2",8	59' 41",2	$\left \begin{array}{l} r' \\ r'E^2.F(z) - \\ r'E^2.F'(z) - \\ r'E^2.F''(z) - \end{array} \right.$	4",35486 log T.	= 0,631714
56 48,4	58 58,2		5238 π	= 35° 27'
57 32,4	58 15,2		145 log cos($\pi+u$)	= 9,893400
			7 cp. log sin u	= 1,270658
			cp. log Φ	= 8,736528
			log F	= 9,900586

$$E = 60^{\circ},0 \quad e = 5^{\circ},0 \quad v = + 19^{\circ},1.$$

Resultate

für 1830. Juli 7. 20^h 43'

Breite	= - 14° 53' 2"
Länge	= 324° 22' 43"
Inclination	= 0° 27',15 B.
Ganze Intens.	= 0,79540 A.

1830. JULI 8. 1^h 45' K.

SUEDLICHE ATLANTISCHE OCEAN.

Inclination.

Nadel B. 228.

$$\begin{aligned}
 I &= 7^{\circ} 36',00 & I' &= 7^{\circ} 23',00 & I'' &= -4^{\circ} 23',40 & I''' &= -4^{\circ} 37',50 \\
 i' &= 1^{\circ} 29',52 \\
 + \frac{F-H}{2} &= + 1,00
 \end{aligned}$$

Intensität.

Inclinations-Nadel A.

1 ^h 53' 7",2	59' 24",8	i'	4",29072	$\log T_0$	= 0,626931
53 50,4	58 41,8	$i'E^2.F(z) -$	3483	π	= 36° 31'
56 34,0	57 59,8	$i'E^4.F'(z) -$	78	$\log \cos(\pi+u)$	= 9,887520
1 ^h 57' 16",8		$i'E^6.F''(z) -$	3	$\text{cp.} \log \sin u$	= 1,286095
				$\text{cp.} \log \phi$	= 8,736480
				$\log F$	= 9,910095

$$E = 55^{\circ},0 \quad e = 3^{\circ},0 \quad v = + 20^{\circ},4.$$

Resultate

für 1830. Juli 8. 4^h 44'

Breite	= -14° 24' 53"
Länge	= 324° 38' 38"
Inclination	= 1° 30',52 B.
Ganze Intens.	= 0,81294 A.

1830. JULI 8. 16^h 50' K.

SUEDLICHE ATLANTISCHE OCEAN.

Inclination.

Nadel B. 229.

$$\begin{aligned}
 I &= 9^{\circ} 7',50 & I' &= 8^{\circ} 57',38 & I'' &= -2^{\circ} 28',82 & I''' &= -2^{\circ} 22',12 \\
 & & i' &= & 3^{\circ} 18',48 \\
 & + \frac{F-H}{2} & = & + 1,93
 \end{aligned}$$

Intensität.

Inclinations-Nadel A.

$$\begin{array}{llll}
 17^h & 4' & 33'',6 & 8' & 13'',6 & \tau' & 4'',39772 \log T_0 & = 0,637826 \\
 5 & 19,2 & 7 & 30,8 & & \tau'E^2.F(z) - 3702 \pi & = 38^{\circ} 20' \\
 6 & 3,2 & 6 & 47,6 & & \tau'E^4.F'(z) - 87 \log \cos(\pi+u) & = 9,875285 \\
 & & & & & \tau'E^6.F''(z) - 4 \text{ cp. log sin } u & = 1,274844 \\
 & & & & & \text{cp. log } \Phi & = 8,736369 \\
 & & & & & \log F & = 9,886498
 \end{array}$$

$$E = 55^{\circ},0 \quad e = 3^{\circ},0 \quad v = +16^{\circ},9.$$

$$\begin{array}{llll}
 17^h & 10' & 43'',0 & 15' & 8'',4 & \tau' & 4'',40964 \log T_0 & = 0,638545 \\
 11 & 28,6 & 14 & 24,0 & & \tau'E^2.F(z) - 4148 \pi & = 38^{\circ} 20' \\
 12 & 13,1 & 13 & 40,8 & & \tau'E^4.F'(z) - 110 \log \cos(\pi+u) & = 9,875219 \\
 17^h & 12' & 57'',6 & & & \tau'E^6.F''(z) - 5 \text{ cp. log sin } u & = 1,273406 \\
 & & & & & \text{cp. log } \Phi & = 8,736369 \\
 & & & & & \log F & = 9,884994
 \end{array}$$

$$E = 60^{\circ},0 \quad e = 3^{\circ},0 \quad v = +16^{\circ},9.$$

Resultate

für 1830. Juli 8. 19^h 51'

$$\begin{aligned}
 \text{Breite} &= -13^{\circ} 18' 31'' \\
 \text{Länge} &= 324^{\circ} 55' 11'' \\
 \text{Inclination} &= 3^{\circ} 20',41 \text{ B.} \\
 \text{Ganze Intens.} &= 0,77002 \text{ A.} \\
 &= 0,76735 \text{ A.}
 \end{aligned}$$

1830. JULI 9. 21^h 15' W. Zt.

SUEDLICHE ATLANTISCHE OCEAN.

Inclination.

Nadel B. 230.

$$\begin{aligned}
 I &= 12^{\circ} 32',25 & I' &= 11^{\circ} 50',62 & I'' &= 0^{\circ} 50',25 & I''' &= 0^{\circ} 31',87 \\
 & & i' &= 6^{\circ} 26',24 \\
 & + \frac{F-H}{2} & = & + 3,63
 \end{aligned}$$

Resultate

für 1830. Juli 9. 21^h 20'

Breite	=	— 11° 31' 12"
Länge	=	325° 21' 28"
Inclination	=	6° 29',87 B.

1830. JULI 10. 18^h 40' K.

SÜEDLICHE ATLANTISCHE OCEAN.

Inclination.

Nadel B. 231.

I und I' wurden nicht beobachtet. $I'' = 4^{\circ} 16',88$ $I''' = 4^{\circ} 1',50$
 $I'' = 4^{\circ} 29',62$ $I''' = 3^{\circ} 25',50$

Durch ein Versehen beim Streichen, wurde die Lage der Pole nicht umgekehrt.

Aus den zwei nächsten Beobachtungen folgt:

$$i' = \frac{I'' + I'''}{2} + 5^{\circ} 26',38 = 9^{\circ} 29',76$$

$$+ \frac{F-H}{2} = + 6,25$$

Intensität.

Inclinations-Nadel A.

18 ^h 26' 15'',2	29' 46'',0	τ'	4'',20914	$\log T_0$	$= 0,617864$
26 59,2	29 4,8	$\tau'E^2.F(z) - 4008 \pi$			$= 44^{\circ} 36'$
27 41,6	28 24,0	$\tau'E^4.F'(z) - 135$	$\log \cos(\pi+u)$	$= 9,832804$	
		$\tau'E^4.F''(z) - 8$	$\text{cp.} \log \sin u$	$= 1,356818$	
			$\text{cp.} \log \Phi$	$= 8,736023$	
			$\log F$	$= 9,925645$	

$$E = 65^{\circ},0 \quad e = 2^{\circ},0 \quad v = + 20^{\circ},9.$$

Resultate

für 1830. Juli 10. 21^h 48'

Breite	$= - 9^{\circ} 41' 38''$
Länge	$= 325^{\circ} 47' 45''$
Inclination	$= 9^{\circ} 36',01 \text{ B.}$
Ganze Intens.	$= 0,84264 \text{ A.}$

1830. JULI 12. 19^h 5' K.

SUEDLICHE ATLANTISCHE OCEAN.

Inclination.

Nadel B. 232.

$$I = 22^{\circ} 46',95 \quad I' = 22^{\circ} 33',70 \quad I'' = 12^{\circ} 13',87 \quad I''' = 12^{\circ} 38',45$$

$$\begin{aligned} i' &= 17^{\circ} 33',74 \\ + \frac{F}{2} &= + 48,04 \\ - \frac{H}{2} &= - 39,36. \end{aligned}$$

Intensität.

Inclinations-Nadel A.

19 ^h 10' 3'',0	12' 30'',3	τ'	4'',13600	$\log T_0$	= 0,606243
10 48,0	12 9,4	$\tau'E^2.F(z) -$	7464	π	= 52° 42'
19 ^h 11'	28,4	$\tau'E^4.F'(z) -$	221	$\log \cos(\pi+u)$	= 9,761468
		$\tau'E^6.F''(z) -$	10	$\text{cp.} \log \sin \pi$	= 1,450088
				$\text{cp.} \log \Phi$	= 8,735884
				$\log F$	= 9,947440

$$E = 60^{\circ},0 \quad e = 2^{\circ},0 \quad v = +22^{\circ},3.$$

Resultate

für 1830. Juli 12. 22^h 13'

Breite	= - 5° 19' 12''
Länge	= 326° 43' 41''
Inclination	= 17° 42',42 B.
Ganze Intens.	= 0,88601 A.

1830. JULI 13. 19^h 0' W. Zt.

SÜEDLICHE ATLANTISCHE OCEAN.

Inclination.

Nadel-B. 233.

$$\begin{aligned}
 I &= 25^{\circ} 56',25 & I' &= 25^{\circ} 30',37 & I'' &= 14^{\circ} 44',25 & I''' &= 14^{\circ} 58',12 \\
 & & I' &= & 20^{\circ} 17',24 & & & \\
 & + \frac{F}{2} & = & + 47,86 & & & & \\
 & - \frac{H}{2} & = & - 36,41. & & & &
 \end{aligned}$$

Intensität.

Inclinations-Nadel A.

$$\begin{aligned}
 16^h 0' 20'',00 & \quad 3' 7'',09 & \tau' & 4'',10489 \log T_0 & = 0,605485 \\
 1 & 2,01 & 4 & 27,58 & \tau'E^2.F(z) - 5308 \pi & = 55^{\circ} 29' \\
 1 & 44,03 & 3 & 47,07 & \tau'E^4.F'(z) - 104 \log \cos(\pi+u) & = 9,731720 \\
 2 & 25,04 & 3 & 6,55 & \tau'E^6.F''(z) - 3 \text{ cp.} \log \sin u & = 1,480760 \\
 & & & & \text{cp.} \log \varphi & = 8,735538 \\
 E = 50^{\circ},0 & \quad e = 10^{\circ},0 & \quad v = + 21^{\circ},0. & \log F & = 9,948018 \\
 16^h 9' 15'',00 & \quad 15' 18'',72 & \tau' & 4'',02648 \log T_0 & = 0,600092 \\
 9 & 58,01 & 14 & 39,31 & \tau'E^2.F(z) - 2466 \pi & = 55^{\circ} 29' \\
 10 & 38,43 & 13 & 58,89 & \tau'E^4.F'(z) - 28 \log \cos(\pi+u) & = 9,732219 \\
 11 & 19,24 & 13 & 19,28 & \tau'E^6.F''(z) - 0 \text{ cp.} \log \sin u & = 1,491546 \\
 11 & 59,25 & 12 & 38,87 & \text{cp.} \log \varphi & = 8,735538 \\
 E = 40^{\circ},0 & \quad e = 5^{\circ},0 & \quad v = + 21^{\circ},0. & \log F & = 9,959303
 \end{aligned}$$

Die Momente der Durchgänge wurden an einer andern Uhr beobachtet und auf den Stand und Gang der Kessel'schen reduziert.

Resultate

für 1830. Juli 13. 19^h 5'

$$\begin{aligned}
 \text{Breite} & = - 3^{\circ} 51' 14'' \\
 \text{Länge} & = 326^{\circ} 50' 3'' \\
 \text{Inclination} & = 20^{\circ} 28',69 \text{ B.} \\
 \text{Ganze Intens.} & = 0,88719 \text{ A.} \\
 & = 0,91055 \text{ A.}
 \end{aligned}$$

1830. JULI 14. 19^h 50' K.

SUEDLICHE ATLANTISCHE OCEAN.

Inclination.

Nadel B. 234.

$$I = 29^{\circ} 12',75 \quad I' = 27^{\circ} 56',47 \quad I'' = 17^{\circ} 14',70 \quad I''' = 18^{\circ} 36',00$$

$$I' = 23^{\circ} 14',98$$

$$+\frac{F}{2} = +40,57$$

$$-\frac{H}{2} = -28,80.$$

Intensität.

Inclinations-Nadel A.

20 ^h 0' 38",0	4' 33",2	r'	3",92000	$\log T_0$	= 0,589089
1 16,8	3 52,8	$r'E^2.F(z)$	— 1903	π	= 58° 27'
1 55,2	3 15,2	$r'E^4.F'(z)$	— 27	$\log \cos(\pi+u)$	= 9,698025
20 ^h 2' 35",2		$r'E^6.F''(z)$	— 1	$\text{cp.} \log \sin u$	= 1,548161
				$\text{cp.} \log \Phi$	= 8,735346

$$E = 44^{\circ},0 \quad e = 2^{\circ},0 \quad v = +21^{\circ},3. \quad \log F = 9,981532$$

20 ^h 7' 28",4	11' 26",0	r'	3",94285	$\log T_0$	= 0,589779
8 8,4	10 45,2	$r'E^2.F(z)$	— 3517	π	= 58° 27'
8 48,4	10 6,0	$r'E^4.F'(z)$	— 66	$\log \cos(\pi+u)$	= 9,697860
20 ^h 9' 27",2		$r'E^6.F''(z)$	— 2	$\text{cp.} \log \sin u$	= 1,546781
				$\text{cp.} \log \Phi$	= 8,735346

$$E = 50^{\circ},0 \quad e = 5^{\circ},0 \quad v = +21^{\circ},3. \quad \log F = 9,979987$$

Resultate

für 1830. Juli 14. 22^h 59'

Breite	=	— 1° 52' 59"
Länge	=	327° 3' 30"
Inclination	=	23° 26',75 B.
Ganze Intens.	=	0,95837 A.
	=	0,95497 A.

1830. JULI 16. 0^h 44' K.

NOERDLICHE ATLANTISCHE OCEAN.

Inclination.

Nadel B. 235.

$$I = 32^{\circ} 16',50 \quad I' = 32^{\circ} 52',50 \quad I'' = 21^{\circ} 9',00 \quad I''' = 21^{\circ} 39',00$$

$$i' = 26^{\circ} 59',25$$

$$+ \frac{F}{2} = + 40,70$$

$$- \frac{H}{2} = - 23,94.$$

Intensität.

Inclinations-Nadel A.

0 ^h 50' 43'',4	54' 37'',2	r'	3'',88357	$\log T_0$	= 0,583845
51 22,3	53 57,2	$rE^2.F(z) -$	3183	π	= 62° 16'
52 1,4	53 17,6	$rE^4.F'(z) -$	57	$\log \cos(\pi + u)$	= 9,646862
0 ^h 52' 39'',2		$rE^6.F''(z) -$	2	$\text{cp.} \log \sin u$	= 1,609566
				$\text{cp.} \log \phi$	= 8,735150
				$\log F$	= 9,991578

$$E = 49^{\circ},0 \quad e = 4^{\circ},5 \quad v = + 18^{\circ},0.$$

Resultate

für 1830. Juli 16. 3^h 54'

$$\text{Breite} = 0^{\circ} 25' 45''$$

$$\text{Länge} = 327^{\circ} 14' 47''$$

$$\text{Inclination} = 27^{\circ} 16',02 \text{ B.}$$

$$\text{Ganze Intens.} = 0,98080 \text{ A.}$$

1830. JULI 17. 23^h 35' K.

NOERDLICHE ATLANTISCHE OCEAN.

Inclination.

Nadel B. 236.

$$I = 33^{\circ} 52',20 \quad I' = 34^{\circ} 37',50 \quad I'' = 25^{\circ} 0',00 \quad I''' = 26^{\circ} 46',50$$

$$i' = 30^{\circ} 34',05$$

$$+ \frac{F}{2} = + 25,65$$

$$- \frac{H}{2} = - 13,05.$$

Intensität.

Inclinations-Nadel A.

25 ^h 36'40",0	41' 45",8	r'	3",82300	$\log T_0$	= 0,576143
37 19,4	41 8,4	$r'E^2.F(z)$	— 3417	π	= 65° 47'
37 57,8	40 31,0	$r'E^4.F'(z)$	— 73	$\log \cos(\pi+u)$	= 9,592248
38 36,0	39 53,2	$r'E^6.F''(z)$	— 3	$\text{cp. log. sin } u$	= 1,679773
23 ^h 39' 14",8				$\text{cp. log. } \Phi$	= 8,734824
				$\log F$	= 0,006845

$$E = 55^{\circ},0 \quad e = 4^{\circ},0 \quad v = + 23^{\circ},5.$$

Resultate

für 1830. Juli 17. 2^h 44'

$$\text{Breite} = 2^{\circ} 30' 18''$$

$$\text{Länge} = 327^{\circ} 1' 1''$$

$$\text{Inclination} = 30^{\circ} 46',65 \text{ B.}$$

$$\text{Ganze Intens.} = 1,01588 \text{ A.}$$

1830. JULI 18. 0^h 30' K.

NOERDLICHE ATLANTISCHE OCEAN.

Inclination.

Nadel B. 237.

$$\begin{aligned}
 I &= 39^{\circ} 9',00 & I' &= 39^{\circ} 4',50 & I'' &= 29^{\circ} 7',50 & I''' &= 29^{\circ} 28',50 \\
 & & i' &= 34^{\circ} 12',37 \\
 & & + \frac{F}{2} &= + 27,22 \\
 & & - \frac{H}{2} &= - 10,02.
 \end{aligned}$$

Intensität.

Inclinations-Nadel A.

$$\begin{array}{rcll}
 0^h 29' 58'',6 & 33' 47'',6 & r' & 3'',80070 \log T_0 = 0,575915 \\
 30 38,0 & 33 9,2 & r'E^2.F(z) - 1895 & \pi = 69^{\circ} 30' \\
 31 16,8 & 32 31,6 & r'E^2.F'(z) - 23 & \log \cos(\pi+u) = 9,523035 \\
 0^h 31' 54'',0 & & r'E^2.F''(z) - 0 & \text{cp.} \log \sin u = 1,748887 \\
 & & & \text{cp.} \log \Phi = 8,734815 \\
 & & & \log F = 0,006737
 \end{array}$$

$$E = 40^{\circ},0 \quad e = 3^{\circ},0 \quad v = + 18^{\circ},2.$$

$$\begin{array}{rcll}
 0^h 35' 40'',4 & 39' 28'',0 & r' & 3'',79000 \log T_0 = 0,573318 \\
 36 18,0 & 38 49,2 & r'E^2.F(z) - 3040 & \pi = 69^{\circ} 30' \\
 36 56,4 & 38 12,4 & r'E^2.F'(z) - 57 & \log \cos(\pi+u) = 9,523299 \\
 0^h 37' 34'',8 & & r'E^2.F''(z) - 1 & \text{cp.} \log \sin u = 1,754081 \\
 & & & \text{cp.} \log \Phi = 8,734815 \\
 & & & \log F = 0,012195
 \end{array}$$

$$E = 50^{\circ},0 \quad e = 4^{\circ},0 \quad v = + 18^{\circ},2.$$

1830. JULI 18. 0^h 30' K.

NOERDLICHE ATLANTISCHE OCEAN.

0 ^h 41' 43'',6	46' 46'',8	r'	3'',78133	$\log T_0$	= 0,574128
42 23,6	46 8,8	$r'E^2.F(z)$	— 1513	π	= 69° 30'
43 0,8	45 31,2	$r'E^4.F'(z)$	— 17	$\log \cos(\pi+u)$	= 9,523210
43 38,0	44 53,6	$r'E^4.F''(z)$	— 0	$\text{cp.} \log \sin u$	= 1,752461
0 ^h 44' 16'',4				$\text{cp.} \log \Phi$	= 8,734815
				$\log F$	= 0,010486

$$E = 40^\circ,0 \quad e = 2^\circ,0 \quad v = + 18^\circ,2.$$

Resultate

für 1830. Juli 18. 3^h 41'

Breite	=	4° 26' 7''
Länge	=	327° 25' 28''
Inclination	=	34° 29',57 B.
Ganze Intens.	=	1,01563 A.
	=	1,02848 A.
	=	1,02445 A.

1830. JULI 19. 4^h 30' W. Zt.

NOERDLICHE ATLANTISCHE OCEAN.

Inclination.

Nadel B. 238.

$$I = 39^{\circ} 48',75 \quad I' = 38^{\circ} 56',25 \quad I'' = 30^{\circ} 41',25 \quad I''' = 31^{\circ} 13',42$$

$$i' = 35^{\circ} 9',91$$

$$+ \frac{F}{2} = + 22,19$$

$$- \frac{H}{2} = - 7,48.$$

Intensität.

Inclinations-Nadel. A.

1 ^h 32' 23'',2	36' 10'',8	r'	3'',79000	$\log T_0$	= 0,571988
33 2,4	35 34,0	$r'E^2.F(z) -$	4161	π	= 70° 25'
33 40,8	34 56,0	$r'E^4.F'(z) -$	92	$\log \cos(\pi+u)$	= 9,504207
1 ^h 34' 18'',8		$r'E^6.F''(z) -$	3	$\text{cp.} \log \sin u$	= 1,760483
				$\text{cp.} \log \Phi$	= 8,734646
				$\log F$	= 9,999336

$$E = 54^{\circ},0 \quad e = 6^{\circ},0 \quad v = + 18^{\circ},0.$$

Resultate

für 1830. Juli 19. 4^h 36'

Breite	=	5° 44' 54''
Länge	=	328° 49' 41''
Inclination	=	35° 24',62 B.
Ganze Intens.	=	0,99847 A.

1830. JULI 20. 1^h 45' K.

NOERDLICHE ATLANTISCHE OCEAN.

Intensität.

Nadel B. 239.

$$I = 41^{\circ} 56',25 \quad I' = 40^{\circ} 20',62 \quad I'' = 31^{\circ} 11',25 \quad I''' = 32^{\circ} 45',00$$

$$i' = 36^{\circ} 33',27$$

$$+ \frac{F}{2} = + 22,43$$

$$- \frac{H}{2} = - 4,37.$$

Intensität.

Inclinations-Nadel A.

1 ^h 52' 55'',4	56' 42'',4	τ'	3'',77020	$\log T_0$	= 0,571344
53 35,2	56 5,4	$\tau'E^2.F(z) -$	2657	π	= 71° 51'
54 13,2	55 28,0	$\tau'E^4.F'(z) -$	49	$\log \cos(\pi+u)$	= 9,472339
1 ^h 54' 50'',2		$\tau'E^6.F''(z) -$	1	$\text{cp.} \log \sin u$	= 1,808888
				$\text{cp.} \log \phi$	= 8,734479
				$\log F$	= 0,015706

$$E = 50^{\circ},0 \quad e = 3^{\circ},0 \quad v = + 19^{\circ},5.$$

Resultate

für 1830. Juli 20. 5^h 7'

Breite	=	7° 25' 31''
Länge	=	330° 15' 50''
Inclination	=	36° 51',33 B.
Ganze Intens.	=	1,03682 A.

1830. JULI 21. 1^h 30' K.

NOERDLICHE ATLANTISCHE OCEAN.

Inclination.

Nadel B. 240.

$$I = 43^{\circ} 57',00 \quad I' = 42^{\circ} 19',50 \quad I'' = 33^{\circ} 54',00 \quad I''' = 35^{\circ} 45',00$$

$$i' = 38^{\circ} 58',87$$

$$+ \frac{F}{2} = + 17,31$$

$$- \frac{H}{2} = - 3,98.$$

Intensität.

Inclinations-Nadel A.

1 ^h 39' 30'',8	43' 13'',2	r'	3'',71000	$\log T_0$	$= 0,564158$
40 8,8	42 37,6	$r'E^2.F(z)$	- 2615	π	$= 74^{\circ} 12'$
40 46,4	42 0,4	$r'E^4.F'(z)$	- 49	$\log \cos(\pi+u)$	$= 9,414342$
1 ^h 41' 23'',6		$r'E^6.F''(z)$	- 2	$\text{cp. log sin } u$	$= 1,881710$
				$\text{cp. log } \Phi$	$= 8,734316$

$$E = 50^{\circ},0 \quad e = 3^{\circ},0 \quad v = + 21^{\circ},5. \quad \log F = 0,030368$$

1 ^h 45' 52'',0	48' 58'',8	r'	3'',73486	$\log T_0$	$= 0,567441$
46 30,4	48 22,4	$r'E^2.F(z)$	- 2312	π	$= 74^{\circ} 12'$
47 8,4	47 45,6	$r'E^4.F'(z)$	- 46	$\log \cos(\pi+u)$	$= 9,414018$
		$r'E^6.F''(z)$	- 1	$\text{cp. log sin } u$	$= 1,875144$
				$\text{cp. log } \Phi$	$= 8,734316$
				$\log F$	$= 0,023478$

$$E = 50^{\circ},0 \quad e = 2^{\circ},0 \quad v = + 21^{\circ},5.$$

Resultate

für 1830. Juli 21. 4^h 51'

$$\text{Breite} = 9^{\circ} 36' 13''$$

$$\text{Länge} = 331^{\circ} 1' 13''$$

$$\text{Inclination} = 39^{\circ} 12',20$$

$$\text{Ganze Intens.} = 1,07244 \text{ A.}$$

$$= 1,03554 \text{ A.}$$

1830. JULI 22. 0^h 45' K.

NOERDLICHE ATLANTISCHE OCEAN.

Inclination.

Nadel B. 241.

$$I = 43^{\circ} 1',50 \quad I' = 44^{\circ} 42',00 \quad I'' = 35^{\circ} 51',00 \quad I''' = 36^{\circ} 31',50$$

$$i' = 40^{\circ} 31',50$$

$$+ \frac{F}{2} = + 19,95$$

$$- \frac{H}{2} = - 2,50.$$

Intensität.

Inclinations-Nadel A.

0 ^h 52' 12'',4	53' 58'',0	r'	3'',75760	$\log T_0$	= 0,570062
52 50,8	53 21,2	$r'E^2.F(z) -$	2250	π	= 75° 49'
53 28,8	54 43,6	$r'E^4.F'(z) -$	43	$\log \cos (\pi+u)$	= 9,367796
0 ^h 54' 6'',4		$r'E^6.F''(z) -$	1	$\text{cp.} \log \sin u$	= 1,915707

$$E = 50^{\circ},0 \quad e = 2^{\circ},0 \quad v = + 22^{\circ},6.$$

0 ^h 57' 42'',4	61' 26'',4	r'	3'',72858	$\log T_0$	= 0,565439
58 20,8	60 49,6	$r'E^2.F(z) -$	3275	π	= 75° 49'
58 58,4	60 12,8	$r'E^4.F'(z) -$	69	$\log \cos (\pi+u)$	= 9,368259
0 ^h 59' 35'',6		$r'E^6.F''(z) -$	2	$\text{cp.} \log \sin u$	= 1,924959

$$E = 53^{\circ},0 \quad e = 4^{\circ},0 \quad v = + 22^{\circ},6. \quad \log F = 0,017644$$

Resultate

für 1830. Juli 22. 4^h 10'

Breite	=	10° 24' 28''
Länge	=	331° 2' 28''
Inclination	=	40° 48',95 B.
Ganze Intens.	=	1,04148 A.
	=	1,06302 A.

1830. JULI 23. 23^h 55' K.

NOERDLICHE ATLANTISCHE OCEAN.

Inclination.

Nadel B. 242.

$$\begin{aligned}
 I &= 46^{\circ} 49',50 & I' &= 44^{\circ} 46',50 & I'' &= 36^{\circ} 37',50 & I''' &= 38^{\circ} 22',50 \\
 & & i' &= 41^{\circ} 39',00 \\
 & + \frac{F}{2} &= & + 17,23 \\
 & - \frac{H}{2} &= & - 2,22.
 \end{aligned}$$

Intensität.

Inclinations-Nadel A.

0 ^h 8' 52",4	13' 6",4	r'	$3'',62333 \log T_0$	$= 0,554249$
9 30,0	12 31,2	$r'E^2.F(z) - 2111 \pi$		$= 76^{\circ} 54'$
10 6,8	11 54,8	$r'E^4.F'(z) - 38 \log \cos(\pi+u)$		$= 9,335407$
10 43,6	11 19,2	$r'E^4.F''(z) - 1 \text{ cp. log sin } u$		$= 1,981186$
			$\text{cp. log } \Phi$	$= 8,733824$
			$\log F$	$= 0,050417$

$$E = 50^{\circ},0 \quad c = 2^{\circ},0 \quad v = + 23^{\circ},5.$$

Resultate

für 1830. Juli 23. 3^h 16'

Breite	=	11° 2' 34"
Länge	=	330° 4' 42"
Inclination	=	41° 54',01 B.
Ganze Intens.	=	1,12310 A.

1830. JULI 24. 2^h 35' K.

NOERDLICHE ATLANTISCHE OCEAN.

Inclination.

Nadel B. 243.

$$I = 48^{\circ} 40',50 \quad I' = 46^{\circ} 22',50 \quad I'' = 39^{\circ} 33',00 \quad I''' = 40^{\circ} 46',50$$

$$i' = 43^{\circ} 50',62$$

$$+ \frac{F}{2} = + 13,43$$

$$- \frac{H}{2} = - 0,61.$$

Intensität.

Inclinations-Nadel A.

2 ^h 51' 0'',0	54' 0'',6	r	3'',60514	$\log T_0$	= 0,552561
51 36,8	53 24,4	$rE^2.F(z)$	— 1771	π	= 79° 3'
52 12,8	52 48,8	$rE^4.F(z)$	— 36	$\log \cos(\pi+u)$	= 9,258686
		$rE^6.F(z)$	— 1	$\text{cp. log. sin } u$	= 2,061273
				$\text{cp. log } \psi$	= 8,773802
				$\log F$	= 0,053763

$$E = 50^{\circ},0 \quad e = 1^{\circ},0 \quad v = + 22^{\circ},5.$$

Resultate

für 1830. Juli 24. 5^h 53'

Breite	=	12° 35' 51''
Länge	=	329° 8' 20''
Inclination	=	44° 3',44 B.
Ganze Intens.	=	1,13180 A.

1830. JULI 26. 1^h 0' K.

NOERDLICHE ATLANTISCHE OCEAN.

Inclination.

Nadel B. 244.

$$I = 50^{\circ} 48',00 \quad I' = 49^{\circ} 19',50 \quad I'' = 41^{\circ} 9',00 \quad I''' = 43^{\circ} 51',00$$

$$i' = 46^{\circ} 16',87$$

$$+ \frac{F}{2} = + 13,89$$

$$- \frac{H}{2} = + 0,71.$$

Intensität.

Inclinations-Nadel A.

1 ^h 16' 38'',4	20' 14'',8	r'	3'',61212	$\log T_0$	= 0,551215
17 13,6	19 39,2	$r'E^2.F(z) -$	3724	π	= 81° 31'
17 52,0	19 3,0	$r'E^4.F'(z) -$	85	$\log \cos(\pi+u)$	= 9,148879
1 ^h 18' 28'',0		$r'E^6.F''(z) -$	4	$\text{cp.} \log \sin u$	= 2,173756
				$\text{cp.} \log \Phi$	= 8,733490
				$\log F$	= 0,056125

$$E = 55^{\circ},0 \quad e = 5^{\circ},0 \quad v = + 20^{\circ},0.$$

1 ^h 22' 57'',2	26' 32'',2	r'	3'',58642	$\log T_0$	= 0,550064
23 34,0	25 57,6	$r'E^2.F(z) -$	2147	π	= 81° 31'
24 10,0	25 22,0	$r'E^4.F'(z) -$	40	$\log \cos(\pi+u)$	= 9,148985
1 ^h 24' 46'',0		$r'E^6.F''(z) -$	1	$\text{cp.} \log \sin u$	= 1,176058
				$\text{cp.} \log \Phi$	= 8,733490
				$\log F$	= 0,058533

$$E = 50^{\circ},0 \quad e = 2^{\circ},0 \quad v = + 20^{\circ},0.$$

Resultate

für 1830. Juli 26. 4^h 15'

Breite	=	14° 35' 40''
Länge	=	328° 23' 16''
Inclination	=	46° 31',47 B.
Ganze Intens.	=	1,13795 A.
	=	1,14429 A.

1830. JULI 27. 2^h 20' K.

NOERDLICHE ATLANTISCHE OCEAN.

Inclination.

Nadel B. 245.

$$I = 52^{\circ} 3',00 \quad I' = 50^{\circ} 43',50 \quad I'' = 43^{\circ} 54',00 \quad I''' = 45^{\circ} 30',00$$

$$i' = 48^{\circ} 2',62$$

$$+ \frac{F}{2} = + 11,23$$

$$- \frac{H}{2} = + 1,31.$$

Intensität.

Inclinations-Nadel A.

2 ^h 27' 47'',2	31' 52'',6	τ'	3'',50286	$\log T_0$	<u>= 0,538188</u>
28 23,2	31 18,4	$\tau E^2.F(z) -$	3382	π	<u>= 83° 15'</u>
28 58,8	30 43,4	$\tau E^4.F'(z) -$	63	$\log \cos(\pi+u)$	= 9,051303
29 34,0	30 8,8	$\tau E^6.F''(z) -$	2	$\text{cp.} \log \sin u$	= 2,298490
				$\text{cp.} \log \phi$	= 8,733302
				$\log F$	= 0,083095

$$E = 50^{\circ},0 \quad e = 6^{\circ},0 \quad v = + 20^{\circ},0.$$

2 ^h 34' 4'',8	39' 21'',2	τ'	3'',50497	$\log T_0$	<u>= 0,538350</u>
34 41,6	38 46,8	$\tau E^2.F(z) -$	3452	π	<u>= 83° 15'</u>
35 17,2	38 11,2	$\tau E^4.F'(z) -$	74	$\log \cos(\pi+u)$	= 9,051300
35 52,4	37 37,2	$\tau E^6.F''(z) -$	3	$\text{cp.} \log \sin u$	= 2,298166
36 27,6	37 2,4			$\text{cp.} \log \phi$	= 8,773302
				$\log F$	= 0,082768

$$E = 55^{\circ},0 \quad e = 5^{\circ},0 \quad v = + 20^{\circ},0.$$

Resultate

für 1830. Juli 27. 5^h 28'

Breite	=	15° 52' 52"
Länge	=	326° 50' 53"
Inclination	=	48° 15',16 B.
Ganze Intens.	=	1,21086 A.
	=	1,20995 A.

1830. JULI 28. 0^h 0' K.

NOERDLICHE ATLANTISCHE OCEAN.

Inclination.

Nadel B. 246.

$$I = 53^{\circ} 48',00 \quad I' = 52^{\circ} 6',00 \quad I'' = 45^{\circ} 48',70 \quad I''' = 46^{\circ} 43',64$$

$$i' = 49^{\circ} 36',59$$

$$+ \frac{F}{2} = + 11,46$$

$$- \frac{H}{2} = + 1,96.$$

Die unmittelbar beobachteten Werthe für I'' und I''' waren respective um 17',30 und 17',26 gröfser als die hier angegebenen, weil von den vier Ablesungen zu ihrer Bestimmung, zwei mit $\alpha = 11^{\circ} 30'$, (Vergl. dieses Bandes St. 24.), erhalten wurden.

Intensität.

Inclinations-Nadel A.

0 ^h 11' 8'',0	17' 2'',4	τ'	3'',54309	$\log T_0$	= 0,544541
11 44,8	16 27,6	$\tau E^2.F(z) -$	2274	π	= 84° 50'
12 20,2	15 53,2	$\tau E^4.F'(z) -$	47	$\log \cos(\pi+u)$	= 9,935006
12 56,4	15 18,4	$\tau E^6.F''(z) -$	2	cp. $\log \sin u$	= 2,401461
13 32,0	14 43,2			cp. $\log \Phi$	= 8,733158
0 ^h 14' 7'',6				$\log F$	= 0,069625

$$E = 53^{\circ},0 \quad e = 2^{\circ},0 \quad v = + 20^{\circ},5.$$

Resultate

für 1830. Juli 28. 3^h 6'

Breite	=	16° 40' 54''
Länge	=	326° 12' 31''
Inclination	=	49° 50',01 B.
Ganze Intens.	=	1,17388 A.

1830. JULI 30. 19^h 15' K.

NOERDLICHE ATLANTISCHE OCEAN.

Inclination.

Nadel B. 247.

$$I = 56^{\circ} 0',00 \quad I' = 54^{\circ} 28',50 \quad I'' = 49^{\circ} 15',00 \quad I''' = 50^{\circ} 36',00$$

$$i' = 52^{\circ} 34',87$$

$$+ \frac{F}{2} = + 5,34$$

$$- \frac{H}{2} = + 1,44.$$

Intensität.

Inclinations-Nadel A.

19 ^h 26' 52",0	31' 30",4	r'	3'',45600	$\log T_0$	= 0,533563
27	28,0	30	54,0	$r'E^2.F(z) - 2300 \pi$	= 87° 42'
28	3,2	30	20,0	$r'E^4.F'(z) - 49 \log \cos (\pi+u)$	= 8,584913
28	37,6	29	46,0	$r'E^6.F''(z) - 2 \text{ cp. log sin } u$	= 2,774427
19 ^h	29' 12",0			$\text{cp. log } \Phi$	= 8,732853
				$\log F$	= 0,992193

$$E = 53^{\circ},0 \quad e = 2^{\circ},0 \quad v = + 21^{\circ},2.$$

19 ^h 22' 3",6	24' 57",6	r'	3'',47200	$\log T_0$	= 0,530745
22	38,8	24	22,4	$r'E^2.F(z) - 6038 \pi$	= 87° 42'
23	14,0	23	48,4	$r'E^4.F'(z) - 131 \log \cos (\pi+u)$	= 8,583162
				$r'E^6.F''(z) - 4 \text{ cp. log sin } u$	= 2,780063
				$\text{cp. log } \Phi$	= 8,732853
				$\log F$	= 0,098078

$$E = 50^{\circ},0 \quad e = 15^{\circ},0 \quad v = + 21^{\circ},2.$$

Resultate

für 1830. Juli 30. 22^h - 12'

Breite	=	19° 5' 1"
Länge	=	324° 5' 1"
Inclination	=	52° 41',65 B.
Ganze Intens.	=	1,23649 A.
	=	1,25334 A.

1830. JULI 31. 0^h 45' K.

NOERDLICHE ATLANTISCHE OCEAN.

Inclination.

Nadel B. 248.

$$\begin{aligned}
 I &= 57^{\circ} 37',50 & I' &= 56^{\circ} 50',40 & I'' &= 51^{\circ} 3',00 & I''' &= 52^{\circ} 42',00 \\
 & & i' &= & 54^{\circ} 33',22 \\
 & & + \frac{F}{2} &= & + 7,54 \\
 & & - \frac{H}{2} &= & + 2,73.
 \end{aligned}$$

Intensität.

Inclinations-Nadel A.

$$\begin{array}{lcl}
 0^h 50' 36'',8 & 52' 54'',0 & \begin{array}{l} r' \quad 3'',42800 \quad \log T_o = 0,528508 \\ r'E^2.F(z) - 3627 \quad \pi = 89^{\circ} 43' \\ r'E^4.F'(z) - 46 \quad \log \cos(\pi+u) = 7,675930 \\ r'E^6.F''(z) - 1 \quad \text{cp. log sin } u = 3,693853 \\ \text{cp. log } \Phi = 8,732648 \\ \log F = 0,102431 \end{array} \\
 51 \quad 11,6 & 52 \quad 20,0 & \\
 0^h 51' 46'',0 & & \\
 E = 35^{\circ},0 & e = 16^{\circ},0 & v = + 19^{\circ},2. \\
 0^h 55' 29'',2 & 60' 4'',4 & \begin{array}{l} r' \quad 3'',43733 \quad \log T_o = 0,530947 \\ r'E^2.F(z) - 2628 \quad \pi = 89^{\circ} 43' \\ r'E^4.F'(z) - 67 \quad \log \cos(\pi+u) = 7,675804 \\ r'E^6.F''(z) - 3 \quad \text{cp. log sin } u = 3,688975 \\ \text{cp. log } \Phi = 8,732648 \\ \log F = 0,097427 \end{array} \\
 56 \quad 4,4 & 59 \quad 30,4 & \\
 56 \quad 39,2 & 48 \quad 56,4 & \\
 57 \quad 13,6 & 58 \quad 22,8 & \\
 0^h 57' 48'',4 & & \\
 E = 60^{\circ},0 & e = 2^{\circ},0 & v = + 19^{\circ},2.
 \end{array}$$

Resultate

für 1830. Juli 31. 3^h 36'

$$\begin{aligned}
 \text{Breite} &= 21^{\circ} 1' 30'' \\
 \text{Länge} &= 322^{\circ} 29' 44'' \\
 \text{Inclination} &= 54^{\circ} 43',49 \text{ B.} \\
 \text{Ganze Intens.} &= 1,26600 \text{ A.} \\
 &= 1,25149 \text{ A.}
 \end{aligned}$$

1830. AUGUST 1. 19^h 40' K.

NOERDLICHE ATLANTISCHE OCEAN.

Inclination.

Nadel B. 249.

$$I = 61^{\circ} 30',00 \quad I' = 59^{\circ} 18',00 \quad I'' = 55^{\circ} 6',00 \quad I''' = 56^{\circ} 43',50$$

$$\begin{aligned} i' &= 58^{\circ} 9',37 \\ + \frac{F}{2} &= + 8,55 \\ - \frac{H}{2} &= + 4,00. \end{aligned}$$

Intensität.

Inclinations-Nadel A.

19 ^h 51'34'',8	56' 2'',8	r'	3'',35133	$\log T_0$	= 0,520218
52 9,6	53 30,4	$r'E^2.F(z) - 2230$	π		= 93° 22'
52 44,0	54 58,8	$r'E^4.F'(z) - 48$	$\log \cos(\pi+u)$	= 8,751404n	
53 18,0	54 25,6	$r'E^4.F''(z) - 2$	$\text{cp.} \log \sin u$	= 2,635778n	
19 ^h 53'	51'',6		$\text{cp.} \log \phi$	= 8,732353	
			$\log F$	= 0,119535	

$$E = 55^{\circ},0 \quad e = 2^{\circ},0 \quad v = + 21^{\circ},0.$$

Resultate

für 1830. August 1. 22^h 23'

$$\begin{aligned} \text{Breite} &= 23^{\circ} 59' 44'' \\ \text{Länge} &= 320^{\circ} 31' 26'' \\ \text{Inclination} &= 58^{\circ} 21',92 \text{ B.} \\ \text{Ganze Intens.} &= 1,31682 \text{ A.} \end{aligned}$$

1830. AUGUST 3. 4^h 5' K.

NOERDLICHE ATLANTISCHE OCEAN.

Inclination.

Nadel B. 250.

$$I = 63^{\circ} 31',50 \quad I' = 62^{\circ} 1',50 \quad I'' = 57^{\circ} 46',50 \quad I''' = 59^{\circ} 24',00$$

$$i' = 60^{\circ} 40',87$$

$$+ \frac{F}{2} = + 4,62$$

$$- \frac{H}{2} = + 3,18.$$

Intensität.

Inclinations-Nadel A.

4 ^h 13' 8'',4	15' 53'',6	τ'	3'',30856	$\log T_0$	= 0,509861
13 42,4	15 22,0	$\tau'E^2.F(z)$	— 5928	π	= 95° 49'
14 16,0	14 49,2	$\tau'E^4.F'(z)$	— 150	$\log \cos(\pi+u)$	= 8,989273n
		$\tau'E^4.F''(z)$	— 5	cp. $\log \sin u$	= 2,419515n
				cp. $\log \Phi$	= 8,731926
				$\log F$	= 0,140714

$$E = 55^{\circ},0 \quad e = 13^{\circ},0 \quad v = + 19^{\circ},2.$$

4 ^h 17' 49'',2	22' 46'',4	τ'	3'',29624	$\log T_0$	= 0,512183
18 23,6	22 14,0	$\tau'E^2.F(z)$	— 2915	π	= 95° 49'
18 57,2	21 41,6	$\tau'E^4.F'(z)$	— 92	$\log \cos(\pi+u)$	= 8,989077n
19 30,0	21 8,8	$\tau'E^4.F''(z)$	— 3	cp. $\log \sin u$	= 2,414871n
20 3,2	20 36,0			cp. $\log \Phi$	= 8,731926
				$\log F$	= 0,135874

$$E = 60^{\circ},0 \quad e = 3^{\circ},0 \quad v = + 19^{\circ},2.$$

Resultate

für 1830. August 3. 6^h 44'

Breite	=	26° 25' 49''
Länge	=	319° 31' 36''
Inclination	=	60° 48',67 B.
Ganze Intens.	=	1,38266 A.
	=	1,36733 A.

1830. AUGUST 4. 1^h 5' K.

NOERDLICHE ATLANTISCHE OCEAN.

Inclination.

Nadel B. 251.

$$\begin{aligned}
I &= 64^{\circ} 48',00 & I' &= 63^{\circ} 18',31 & I'' &= 58^{\circ} 51',90 & I''' &= 59^{\circ} 57',00 \\
& & & & \dot{I}' &= 61^{\circ} 43',80 \\
& & + \frac{F}{2} &= & + 5,20 \\
& & - \frac{H}{2} &= & + 3,08.
\end{aligned}$$

Intensität.

Inclinations-Nadel A.

1 ^h 19' 20",0	23' 44",8	r'	3",31067	$\log T_0$	= 0,513500
19 54,0	23 12,8	$r'E^2.F(z) -$	3315	π	= 96° 52'
20 27,6	22 40,0	$r'E^4.F'(z) -$	77	$\log \cos(\pi+u)$	= 9,060788n
21 1,2	22 7,2	$r'E^6.F''(z) -$	3	$\text{cp.} \log \sin u$	= 2,340459n
1 ^h 21' 34",4				$\text{cp.} \log \Phi$	= 8,731976
				$\log F$	= 0,133223

$$E = 55^{\circ},0 \quad e = 1^{\circ},0 \quad v = + 20^{\circ},0.$$

Resultate

für 1830. August 4. 3^h 42'

Breite	=	28° 2' 24"
Länge	=	318° 58' 31"
Inclination	=	61° 52',08 B.
Ganze Intens.	=	1,35901 A.

1830. AUGUST 5. 2^h 20' K.

NOERDLICHE ATLANTISCHE OCEAN.

Inclination.

Nadel B. 252.

$$\begin{aligned}
 I &= 66^{\circ} 1',50 & I' &= 64^{\circ} 9',00 & I'' &= 60^{\circ} 21',00 & I''' &= 61^{\circ} 40',50 \\
 & & i' &= 63^{\circ} 3',00 \\
 & & + \frac{F}{2} &= + 4,54 \\
 & & - \frac{II}{2} &= + 3,74.
 \end{aligned}$$

Intensität.

Inclinations-Nadel A.

$$\begin{array}{rcl}
 2^h \ 29' \ 25'',2 & 33' \ 13'',6 & r' \quad 3'',29047 \log T_0 = 0,509824 \\
 29 \ 58,8 & 32 \ 43,2 & r'E^2.F(z) - 4666 \pi = 98^{\circ} 11' \\
 30 \ 32,0 & 32 \ 10,8 & r'E^4.F'(z) - 105 \log \cos(\pi+u) = 9,136869n \\
 31 \ 5,2 & 31 \ 38,0 & r'E^6.F''(z) - 3 \text{ cp.} \log \sin u = 2,272064n \\
 & & \text{cp.} \log \phi = 8,731806 \\
 & & \log F = 0,140739
 \end{array}$$

$$E = 54^{\circ},0 \quad e = 6^{\circ},0 \quad v = + 21^{\circ},5.$$

$$\begin{array}{rcl}
 2^h \ 35' \ 18'',8 & 39' \ 8'',8 & r' \quad 3'',28452 \log T_0 = 0,510729 \\
 35 \ 52,2 & 38 \ 36,4 & r'E^2.F(z) - 2710 \pi = 98^{\circ} 11' \\
 36 \ 25,6 & 38 \ 4,0 & r'E^4.F'(z) - 46 \log \cos(\pi+u) = 9,136806n \\
 36 \ 58,8 & 37 \ 31,6 & r'E^6.F''(z) - 1 \text{ cp.} \log \sin u = 2,270254n \\
 & & \text{cp.} \log \phi = 8,731806 \\
 & & \log F = 0,138866
 \end{array}$$

$$E = 48^{\circ},0 \quad e = 5^{\circ},0 \quad v = + 21^{\circ},5.$$

Resultate

für 1830. August 5. 4^h 53'

$$\begin{aligned}
 \text{Breite} &= 29^{\circ} 33' 38'' \\
 \text{Länge} &= 317^{\circ} 50' 44'' \\
 \text{Inclination} &= 63^{\circ} 11',28 \text{ B.} \\
 \text{Ganze Intens.} &= 1,38273 \text{ A.} \\
 &= 1,37678 \text{ A.}
 \end{aligned}$$

1830. AUGUST 6. 1^h 40' K.

NOERDLICHE ATLANTISCHE OCEAN.

Inclination.

Nadel B. 253.

$$\begin{aligned}
 I &= 66^{\circ} 53',50 & I' &= 65^{\circ} 16',50 & I'' &= 61^{\circ} 22',50 & I''' &= 62^{\circ} 58',50 \\
 & & i' &= & 64^{\circ} 8',25 \\
 & + \frac{F}{2} & = & + 4,26 \\
 & - \frac{H}{2} & = & + 3,73.
 \end{aligned}$$

Intensität.

Inclinations-Nadel A.

1 ^h 48' 46",0	55' 12",8	r'	3",22000	$\log T_0$	$= 0,502499$
49 19,2	54 41,2	$r'E^2.F(z) - 2100 \pi$			$= 99^{\circ} 16'$
49 52,0	54 9,8	$r'E^4.F'(z) - 35 \log \cos(\pi+u)$			$= 9,191049n$
50 25,2	53 38,0	$r'E^6.F''(z) - 1 \text{ cp.} \log \sin u$			$= 2,233138n$
50 57,6	53 5,6			$\text{cp.} \log \Phi$	$= 8,731646$
51 29,6	52 33,6			$\log F$	$= 0,155833$
1 ^h 52' 2",0					

$E = 50^{\circ},0 \quad e = 3^{\circ},0 \quad v = + 25^{\circ},5.$

Resultate

für 1830. August 6. 4^h 9'

Breite	$= 30^{\circ} 29' 58''$
Länge	$= 317^{\circ} 4' 55''$
Inclination	$= 64^{\circ} 16',24 \text{ B.}$
Ganze Intens.	$= 1,43167 \text{ A.}$

1830. AUGUST 7. 4^h 15' K.

NOERDLICHE ATLANTISCHE OCEAN.

Inclination.

Nadel B. 254.

$$I = 67^{\circ} 46',50 \quad I' = 65^{\circ} 45',00 \quad I'' = 61^{\circ} 12',00 \quad I''' = 62^{\circ} 22',50$$

$$\begin{aligned} i' &= 64^{\circ} 16',51 \\ + \frac{F}{2} &= + 7,43 \\ - \frac{H}{2} &= + 5,70. \end{aligned}$$

Intensität.

Inclinations-Nadel A.

4 ^h 24' 39",2	28' 58",0	i'	$3'',23467 \log T_0$	$= 0,505104$
25 12,4	28 26,8	$i'E^2, F(z) - 2027 \pi$		$= 99^{\circ} 30'$
25 45,6	27 54,4	$i'E^2, F'(z) -$	$41 \log \cos(\pi + u) = 9,201569n$	
26 18,0	27 22,8	$i'E^2, F''(z) -$	$1 \text{ cp. log. sin } u = 2,217225n$	
4 ^h 26' 50",4			$\text{cp. log. } \Phi = 8,731460$	
			$\log F = 0,150254$	

$$E = 53^{\circ},0 \quad e = 2^{\circ},0 \quad v = + 20^{\circ},0.$$

Resultate

für 1830. August 7. 6^h 47'

$$\begin{aligned} \text{Breite} &= 31^{\circ} 10' 42'' \\ \text{Länge} &= 317^{\circ} 48' 32'' \\ \text{Inclination} &= 64^{\circ} 29',64 \text{ B.} \\ \text{Ganze Intens.} &= 1,41339 \text{ A.} \end{aligned}$$

1830. AUGUST 9. 19^h 28' K.

NOERDLICHE ATLANTISCHE OCEAN.

Inclination.

Nadel B. 255.

$$\begin{aligned}
 I &= 67^{\circ} 40',80 & I' &= 66^{\circ} 31',50 & I'' &= 62^{\circ} 14',10 & I''' &= 64^{\circ} 28',50 \\
 & & i' &= & 65^{\circ} 13',72 \\
 & + \frac{F}{2} & = & + 3,84 \\
 & - \frac{H}{2} & = & + 3,32.
 \end{aligned}$$

Intensität.

Inclinations-Nadel A.

19 ^h 35' 43'',6	41' 6'',4	r'	$3'',22509 \log T_0$	$= 0,304134$
36 16,8	40 34,8	$r'E^2.F(z) - 1663 \pi$		$= 100^{\circ} 21'$
36 49,6	40 2,8	$r'E^4.F'(z) - 23 \log \cos(\pi+u)$	$= 9,238329n$	
37 22,2	39 30,8	$r'E^6.F''(z) - 0 \text{ cp. } \log \sin u$	$= 2,182321n$	
37 54,4	38 59,2		$\text{cp. } \log \Phi$	$= 8,731922$
19 ^h 38' 26'',8			$\log F$	$= 0,152772$

$E = 43^{\circ},0 \quad e = 2^{\circ},5 \quad v = +22^{\circ},0.$

Resultate

für 1830. August 9. 21^h 55'

Breite	$= 32^{\circ} 54' 42''$
Länge	$= 316^{\circ} 36' 5''$
Inclination	$= 65^{\circ} 20',88 \text{ B.}$
Ganze Intens.	$= 1,42158 \text{ A.}$

1830. AUGUST 11. 22^h 10' K.

NOERDLICHE ATLANTISCHE OCEAN.

Inclination.

Nadel B. 256.

$$\begin{aligned}
 I &= 68^{\circ} 15',00 & I' &= 66^{\circ} 58',87 & I'' &= 63^{\circ} 26',25 & I''' &= 63^{\circ} 19',50 \\
 & & i' &= 65^{\circ} 59',91 \\
 & & + \frac{F}{2} &= & + 2,81 \\
 & & - \frac{H}{2} &= & + 3,05.
 \end{aligned}$$

Intensität.

Inclinations-Nadel A.

22 ^h 21' 31",6	26' 52",8	r'	3",21318	$\log T_0$	$= 0,500153$
22 4,8	26 22,0	$r'E^{\circ}.F(z)$	-3429	π	$= 101^{\circ} 6'$
22 37,6	25 50,5	$r'E^{\circ}.F'(z)$	$-$	$62 \log \cos(\pi - u)$	$= 9,268890n$
23 10,2	25 18,6	$r'E^{\circ}.F''(z)$	$-$	$2 \text{ cp.} \log \sin u$	$= 2,160256n$
23 42,4	24 46,6			$\text{cp.} \log \Phi$	$= 8,730836$
22 ^h 24' 14",4				$\log F$	$= 0,159982$

$E = 50^{\circ},0 \quad e = 7^{\circ},5 \quad v = + 22^{\circ},0.$

Resultate

für 1830. August 11. 0^h 36'

Breite	$=$	33° 44' 41"
Länge	$=$	316° 9' 10"
Inclination	$=$	66° 5',77 B.
Ganze Intens.	$=$	1,44538 A.

1830. AUGUST 11. 23^h 40' W. Zt.

NOERDLICHE ATLANTISCHE OCEAN.

Inclination.

Nadel B. 257.

I und I' wurden nicht beobachtet. $I'' = 63^{\circ} 42',75$ $I''' = 63^{\circ} 26',25$

Nach der ersten Hälfte der Beobachtung mußte der Kurs geändert werden.

Nach den zwei nächsten Beobachtungen:

$$i' = \frac{I'' + I'''}{2} + 1^{\circ} 56',68 = 66^{\circ} 31',18$$

$$+ \frac{F - H}{2} = + 9,34.$$

Resultate

für 1830. August 11. 23^h 45'

Breite	=	33° 49' 16"
Länge	=	315° 50' 33"
Inclination	=	66° 40',52 B.

1830. AUGUST 13. 3^h 0' K.

NOERDLICHE ATLANTISCHE OCEAN.

Inclination.

Nadel B. 258.

$$\begin{aligned}
 I &= 70^{\circ} 42',75 & I' &= 68^{\circ} 16',87 & I'' &= 65^{\circ} 34',50 & I''' &= 64^{\circ} 19',87 \\
 & & \dot{I}' &= 67^{\circ} 13',50 \\
 & & + \frac{F}{2} &= & + 7,44 \\
 & & - \frac{H}{2} &= & + 5,39.
 \end{aligned}$$

Intensität

Inclinations-Nadel A.

3 ^h 19'	35'',2	24'	54'',8	r'	3'',18809	$\log T_0$	$= 0,499668$
20	8,8	24	23,6	$r'E^2.F(z) - 1321 \pi$			$= 102^{\circ} 26'$
20	40,8	23	51,6	$r'E^4.F'(z) - 18 \log \cos(\pi+u)$			$= 9,317570n$
21	13,2	23	20,2	$r'E^6.F''(z) - 0$		$\text{cp.} \log \sin u$	$= 2,112655n$
21	45,1	22	48,4			$\text{cp.} \log \phi$	$= 8,731472$
3 ^h 22'	16'',8					$\log F$	$= 0,161697$

$$E = 45^{\circ},0 \quad e = 1^{\circ},5 \quad v = + 21^{\circ},0.$$

Resultate

für 1830. August 13. 5^h 24'

$$\begin{aligned}
 \text{Breite} &= 34^{\circ} 29' 10'' \\
 \text{Länge} &= 315^{\circ} 50' 42'' \\
 \text{Inclination} &= 67^{\circ} 26',33 \text{ B.} \\
 \text{Ganze Intens.} &= 1,45110 \text{ A.}
 \end{aligned}$$

1830. AUGUST 13. 20^h 0' K.

NOERDLICHE ATLANTISCHE OCEAN.

Inclination.

Nadel B. 259.

$$\begin{aligned}
 I &= 69^{\circ} 56',62 & I' &= 68^{\circ} 22',50 & I'' &= 64^{\circ} 51',75 & I''' &= 66^{\circ} 13',87 \\
 & & i' &= 67^{\circ} 21',18 \\
 + \frac{F}{2} &= & + 4,32 \\
 - \frac{H}{2} &= & + 4,03.
 \end{aligned}$$

Intensität.

Inclinations-Nadel A.

20 ^h 14' 34",0	20' 27",2	r	3",21021	$\log T_0$	$= 0,500730$
15 7,2	19 56,0	$r'E^2.F(z) -$	2646	π	$= 102^{\circ} 30'$
15 40,0	19 24,4	$r'E^4.F'(z) -$	42	$\log \cos(\pi+u)$	$= 9,319782n$
16 12,2	18 32,4	$r'E^4.F''(z) -$	1	$\text{cp.} \log \sin u$	$= 2,108245n$
16 44,4	18 20,6			$\text{cp.} \log \psi$	$= 8,730351$
17 10,4	17 48,4			$\log F$	$= 0,158378$

$$E = 48^{\circ},0 \quad e = 6^{\circ},5 \quad v = + 22^{\circ},2.$$

Resultate

für 1830. August 13. 22^h 25'

$$\begin{aligned}
 \text{Breite} &= 35^{\circ} 0' 0'' \\
 \text{Länge} &= 316^{\circ} 5' 44'' \\
 \text{Inclination} &= 67^{\circ} 29',53 \text{ B.} \\
 \text{Ganze Intens.} &= 1,44005 \text{ A.}
 \end{aligned}$$

1830. AUGUST 15. 3^h 45' K.

NOERDLICHE ATLANTISCHE OCEAN.

Inclination.

Nadel B. 260.

$$I = 71^{\circ} 3',73 \quad I' = 68^{\circ} 56',62 \quad I'' = 65^{\circ} 49',50 \quad I''' = 66^{\circ} 43',12$$

$$i' = 68^{\circ} 8',25$$

$$+ \frac{F}{2} = + 4,38$$

$$- \frac{H}{2} = + 4,42.$$

Intensität.

Inclinations-Nadel A.

3 ^h 57' 20'',4	62' 7'',2	i'	3'',18157	$\log T_0$	= 0,497783
57 52,4	61 35,2	$i' E^2 \cdot F(z)$	-2073	π	= 103° 17'
58 24,8	61 3,2	$i' E^4 \cdot F'(z)$	-29	$\log \cos(\pi + u)$	= 9,345991n
58 56,6	60 31,6	$i' E^6 \cdot F''(z)$	-1	$\text{cp.} \log \sin u$	= 2,088189n
59 28,4	60 0,2			$\text{cp.} \log \phi$	= 8,730135
				$\log F$	= 0,164315

$$E = 45^{\circ},0 \quad e = 4^{\circ},0 \quad v = + 20^{\circ},4.$$

Resultate

für 1830. August 15. 6^h 16'

Breite	= 36° 15' 32''
Länge	= 317° 29' 23''
Inclination	= 68° 17',03 B.
Ganze Intens.	= 1,43987 A.

1830. AUGUST 16. 3^h 40' K.

NOERDLICHE ATLANTISCHE OCEAN.

Inclination.

Nadel B. 261.

$$\begin{aligned}
 I &= 70^{\circ} 29',25 & I' &= 69^{\circ} 21',00 & I'' &= 65^{\circ} 56',62 & I''' &= 67^{\circ} 21',00 \\
 i' &= 68^{\circ} 16',96 \\
 + \frac{F}{2} &= & + 3,46 \\
 - \frac{H}{2} &= & + 3,42.
 \end{aligned}$$

Intensität.

Inclinations-Nadel A.

3 ^h 45' 47'',2	51' 6'',4	r'	3'',18800	$\log T_0$	= 0,494585
46 20,0	50 35,8	$r'E^2.F(z) -$	4638	π	= 103° 24'
46 52,4	50 3,6	$r'E^4.F'(z) -$	104	$\log \cos(\pi+u)$	= 9,349955n
47 25,2	49 32,0	$r'E^6.F''(z) -$	3	$\text{cp.} \log \sin u$	= 2,090856n
47 56,8	49 0,4			$\text{cp.} \log \varphi$	= 8,729967
3 ^h 48' 28'',8				$\log F$	= 0,170778
$E = 55^{\circ},0 \quad e = 10^{\circ},0 \quad v = + 25^{\circ},0.$					
3 ^h 53' 51'',2	59' 9'',0	r'	3'',17800	$\log T_0$	= 0,494488
54 24,0	58 38,4	$r'E^2.F(z) -$	3732	π	= 103° 24'
54 56,4	58 6,8	$r'E^4.F'(z) -$	80	$\log \cos(\pi+u)$	= 9,349956n
55 28,0	57 35,2	$r'E^6.F''(z) -$	3	$\text{cp.} \log \sin u$	= 2,091050n
56 0,0	57 3,6			$\text{cp.} \log \varphi$	= 8,729967
3 ^h 56' 32'',0				$\log F$	= 0,170973
$E = 55^{\circ},0 \quad e = 7^{\circ},0 \quad v = + 25^{\circ},0.$					

Resultate

für 1830. August 16. 6^h 17'

$$\begin{aligned}
 \text{Breite} &= 37^{\circ} 26' 12'' \\
 \text{Länge} &= 318^{\circ} 55' 2'' \\
 \text{Inclination} &= 68^{\circ} 23',84 \text{ B.} \\
 \text{Ganze Intens.} &= 1,48176 \text{ A.} \\
 &= 1,48242 \text{ A.}
 \end{aligned}$$

1830. AUGUST 17. 4^h 0' K.

NOERDLICHE ATLANTISCHE OCEAN.

Inclination.

Nadel B. 262.

$$I = 71^{\circ} 6',30 \quad I' = 69^{\circ} 48',60 \quad I'' = 67^{\circ} 22',50 \quad I''' = 67^{\circ} 53',40$$

$$i' = 69^{\circ} 2',70$$

$$+ \frac{F}{2} = + 2,81$$

$$- \frac{II}{2} = + 2,57.$$

Intensität.

Inclinations-Nadel A.

4 ^h 15' 23'',6	20' 42'',8	τ'	3'',18618	$\log T_0$	$= 0,498059$
15 56,4	20 11,2	$\tau'E^2.F(z) - 2201$	π		$= 104^{\circ} 8'$
16 29,2	19 39,6	$\tau'E^4.F'(z) - 35$	$\log \cos(\pi+u)$	$= 9,372448n$	
17 1,2	19 8,8	$\tau'E^6.F''(z) - 1$	$\text{cp.} \log \sin u$	$= 2,061215n$	
17 33,2	18 36,4		$\text{cp.} \log \phi$	$= 8,729797$	
4 ^h 18' 4'',8			$\log F$	$= 0,163460$	

$$E = 48^{\circ},0 \quad e = 4^{\circ},0 \quad v = + 22^{\circ},2.$$

Resultat

für 1830. August 17. 6^h 43'

$$\text{Breite} = 38^{\circ} 24' 31''$$

$$\text{Länge} = 320^{\circ} 30' 15''$$

$$\text{Inclination} = 69^{\circ} 8',08 \text{ B.}$$

$$\text{Ganze Intens.} = 1,45700 \text{ A.}$$

1830. AUGUST 19. 3^h 45' K.

NOERDLICHE ATLANTISCHE OCEAN.

Inclination.

Nadel B. 263.

$$I = 71^{\circ} 40',80 \quad I' = 70^{\circ} 10',50 \quad I'' = 67^{\circ} 3',60 \quad I''' = 68^{\circ} 47',10$$

$$i' = 69^{\circ} 25',50$$

$$+ \frac{F}{2} = + 2,27$$

$$- \frac{H}{2} = + 2,83.$$

Intensität.

Inclinations-Nadel A.

4 ^h 0' 31'',6	5' 50'',4	r'	3'',18982	$\log T_0$	= 0,498280
1 4,0	5 20,0	$r'E^2.F(z)$	— 2709	π	= 104° 31'
1 37,2	4 48,4	$r'E^4.F(z)$	— 47	$\log \cos(\pi+u)$	= 9,383881n
2 9,6	4 16,4	$r'E^6.F''(z)$	— 1	$\text{cp.} \log. \sin u$	= 2,049392n
2 41,6	3 45,2			$\text{cp.} \log. \Phi$	= 8,729483
4 ^h 3' 13'',4				$\log F$	= 0,162756

$$E = 50^{\circ},0 \quad e = 5^{\circ},0 \quad v = + 17^{\circ},7.$$

Resultate

für 1830. August 19. 6^h 38'

$$\text{Breite} = 40^{\circ} 9' 15''$$

$$\text{Länge} = 322^{\circ} 53' 2''$$

$$\text{Inclination} = 69^{\circ} 30',60 \text{ B.}$$

$$\text{Ganze Intens.} = 1,45465 \text{ A.}$$

1830. AUGUST 20. 2^h 40' K.

NOERDLICHE ATLANTISCHE OCEAN.

Inclination.

Nadel B. 264.

$$I = 72^{\circ} 22',80 \quad I' = 70^{\circ} 54',60 \quad I'' = 67^{\circ} 43',50 \quad I''' = 69^{\circ} 14',40$$

$$I' = 70^{\circ} 3',82$$

$$+ \frac{F}{2} = + 3,17$$

$$- \frac{H}{2} = + 3,85.$$

Intensität.

Inclinations-Nadel A.

2 ^h 55' 27'',6	60' 49'',2	r'	$3'',21873 \log T_0$	$= 0,501967$
56 0,4	60 18,4	$r'E^2.F(z) - 2904 \pi$		$= 105^{\circ} 11'$
56 33,2	59 46,6	$r'E^2.F'(z) - 55$	$\log \cos(\pi+u)$	$= 9,402677n$
57 5,8	59 14,0	$r'E^2.F''(z) - 1$	$\text{cp.} \log \sin u$	$= 2,022938n$
57 38,0	58 42,0		$\text{cp.} \log \psi$	$= 8,729307$
2 ^h 58' 10'',4			$\log F$	$= 0,154942$

$E = 52^{\circ},0 \quad e = 5^{\circ},0 \quad v = + 17^{\circ},6.$

Resultate

für 1830. August 20. 5^h 41'

Breite	$= 41^{\circ} 27' 24''$
Länge	$= 324^{\circ} 58' 8''$
Inclination	$= 70^{\circ} 10',84 \text{ B.}$
Ganze Intens.	$= 1,42870 \text{ A.}$

1830. AUGUST 21. 0^h 15' K.

NOERDLICHE ATLANTISCHE OCEAN.

Inclination.

Nadel B. 265.

$$\begin{aligned}
 I &= 71^{\circ} 46',20 & I' &= 70^{\circ} 21',30 & I'' &= 67^{\circ} 36',60 & I''' &= 69^{\circ} 2',70 \\
 & & i' &= 69^{\circ} 41',70 \\
 & & + \frac{F}{2} &= & + 2,19 \\
 & & - \frac{H}{2} &= & + 2,90.
 \end{aligned}$$

Intensität.

Inclinations-Nadel A.

0 ^h 30'	29",8	35' 14",8	r'	3",16109	$\log T_0$	$= 0,494873$
31	2,4	34 43,6	$r'E^2.F(z) - 2299$	π		$= 104^{\circ} 47''$
31	34,8	34 12,4	$r'E^4.F'(z) -$	33	$\log \cos(\pi + u)$	$= 9,391827n$
32	6,8	33 41,2	$r'E^6.F''(z) -$	1	$\text{cp.} \log \sin \pi$	$= 2,048476h$
32	38,4	33 9,6			$\text{cp.} \log \psi$	$= 8,729112$
					$\log F$	$= 0,169415$

$$E = 45^{\circ},0 \quad e = 5^{\circ},0 \quad v = + 18^{\circ},0.$$

Resultate

für 1830. August 21. 3^a 21'

$$\begin{aligned}
 \text{Breite} &= 42^{\circ} 29' 20'' \\
 \text{Länge} &= 326^{\circ} 13' 0'' \\
 \text{Inclination} &= 69^{\circ} 46',79 \text{ B.} \\
 \text{Ganze Intens.} &= 1,47372 \text{ A.}
 \end{aligned}$$

1830. AUGUST 22. 1^h 30' K.

NOERDLICHE ATLANTISCHE OCEAN.

Inclination.

Nadel B. 266.

$$I = 73^{\circ} 7',75 \quad I' = 72^{\circ} 26',65 \quad I'' = 69^{\circ} 4',25 \quad I''' = 69^{\circ} 54',62$$

$$i' = 71^{\circ} 8',31$$

$$+ \frac{F}{2} = + 4,40$$

$$- \frac{H}{2} = + 3,88.$$

Intensität.

Inclinations-Nadel A.

1 ^h 41' 32'',4	47' 56'',8	i'	$3'',20638 \log T_0$	$= 0,495678$
42 4,2	47 25,2	$i'E^2.F(z) - 6223 \pi$		$= 106^{\circ} 17'$
42 36,0	46 52,6	$i'E^4.F'(z) - 163 \log \cos(\pi+u)$		$= 9,433267n$
43 8,4	46 21,0	$i'E^6.F''(z) - 6 \text{ cp.} \log \sin u$		$= 2,005927n$
43 41,2	45 49,2		$\text{cp.} \log \phi$	$= 8,728981$
44 13,2	45 17,2		$\log F$	$= 0,168175$
1 ^h 44' 45'',2				

$$E = 58^{\circ},0 \quad e = 14^{\circ},0 \quad v = + 16^{\circ},4.$$

Resultate

für 1830. August 22. 4^h 45'

$$\text{Breite} = 44^{\circ} 21' 40''$$

$$\text{Länge} = 328^{\circ} 34' 30''$$

$$\text{Inclination} = 71^{\circ} 16',59 \text{ B.}$$

$$\text{Ganze Intens.} = 1,47290 \text{ A.}$$

1830. AUGUST 22. 18^h 45' W. Zt.

NOERDLICHE ATLANTISCHE OCEAN.

Inclination.

Nadel B. 267.

$$I = 72^{\circ} 24',00 \quad I' = 71^{\circ} 19',50 \quad I'' = 69^{\circ} 15',30 \quad I''' = 69^{\circ} 53',10$$

$$i' = 70^{\circ} 42',97$$

$$+ \frac{F}{2} = + 1,90$$

$$- \frac{H}{2} = + 1,96.$$

Resultate

für 1830. August 22. 18^h 48'

$$\text{Breite} = 45^{\circ} 35' 7''$$

$$\text{Länge} = 330^{\circ} 5' 0''$$

$$\text{Inclination} = 70^{\circ} 46',83 \text{ B.}$$

1830. AUGUST 23. 16^h 55' K.

NOERDLICHE ATLANTISCHE OCEAN.

Inclination.

Nadel B. 268.

$$\begin{aligned}
 I &= 71^{\circ} 54',60 & I' &= 70^{\circ} 20',40 & I'' &= 67^{\circ} 59',10 & I''' &= 70^{\circ} 1',20 \\
 i' &= 70^{\circ} 3',83 \\
 + \frac{F}{2} &= + 0,51 \\
 - \frac{H}{2} &= + 2,47.
 \end{aligned}$$

Intensität.

Inclinations-Nadel A.

17 ^h 6' 41'',4	13' 9'',2	i'	3'',22791	$\log T_0$	$= 0,502429$
7 14,4	12 37,2	$i'E^2.F(z) - 3518 \pi$			$= 105^{\circ} 7'$
7 47,6	12 5,6	$i'E^4.F'(z) - 60 \log \cos(\pi+u)$			$= 9,400773$
8 20,0	11 33,2	$i'E^6.F''(z) - 2 \text{ cp.} \log \sin u$			$= 2,023901$
8 52,6	11 1,8			$\text{cp.} \log \Phi$	$= 8,728708$
9 25,2	10 29,2			$\log F$	$= 0,153382$
17 ^h 9' 57'',2					

$$E = 48^{\circ},0 \quad e = 6^{\circ},0 \quad v = + 17^{\circ},0.$$

17 ^h 16' 35'',8	22' 1'',6	i'	3'',25309	$\log T_0$	$= 0,500815$
17 9,2	21 29,6	$i'E^2.F(z) - 7090 \pi$			$= 105^{\circ} 7'$
17 42,6	20 57,2	$i'E^4.F'(z) - 184 \log \cos(\pi+u)$			$= 9,400889$
18 15,3	20 25,2	$i'E^6.F''(z) - 6 \text{ cp.} \log \sin u$			$= 2,027129$
18 48,4	19 52,6			$\text{cp.} \log \Phi$	$= 8,728708$
17 ^h 19' 20'',4				$\log F$	$= 0,156726$

$$E = 55^{\circ},0 \quad e = 18^{\circ},0 \quad v = + 17^{\circ},0.$$

Resultate

für 1830. August 23. 20^h 29'Breite $= 46^{\circ} 46' 18''$ Länge $= 333^{\circ} 21' 12''$ Inclination $= 70^{\circ} 6',81 \text{ B.}$ Ganze Intens. $= 1,42358 \text{ A.}$ $= 1,43458 \text{ A.}$

1830. AUGUST 25. 19^h 50' K.

NOERDLICHE ATLANTISCHE OCEAN.

Inclination.

Nadel B. 269.

$$\begin{aligned}
 I &= 72^{\circ} 56',70 & I' &= 70^{\circ} 44',40 & I'' &= 66^{\circ} 57',90 & I''' &= 68^{\circ} 53',80 \\
 & & i' &= 69^{\circ} 53',70 \\
 & + \frac{F}{2} &= & + 4,39 \\
 & - \frac{H}{2} &= & + 6,04.
 \end{aligned}$$

Intensität.

Inclinations-Nadel A.

20 ^h 4'	1",2	9' 31",2	r'	3",28745	$\log T_0$	$= 0,510352$
4	35,2	8 58,0	$r'E^2.F(z) - 3747 \pi$			$= 105^{\circ} 4'$
5	8,6	8 24,8	$r'E^4.F'(z) -$	85	$\log \cos(\pi + u)$	$= 9,398775n$
5	41,8	7 52,4	$r'E^6.F''(z) -$	3	$\text{cp.} \log \sin u$	$= 2,009460n$
6	14,6	7 19,8			$\text{cp.} \log \Phi$	$= 8,728354$
20 ^h 6'	47",2				$\log F$	$= 0,136569$

$$E = 57^{\circ},0 \quad e = 6^{\circ},0 \quad v = + 14^{\circ},5.$$

Resultate

für 1830. August 25. 23^h 57'

$$\begin{aligned}
 \text{Breite} &= 47^{\circ} 46' 54'' \\
 \text{Länge} &= 341^{\circ} 37' 0'' \\
 \text{Inclination} &= 70^{\circ} 4',13 \text{ B.} \\
 \text{Ganze Intens.} &= 1,36959 \text{ A.}
 \end{aligned}$$

1830. AUGUST 26. 23^h 35' K.

NOERDLICHE ATLANTISCHE OCEAN.

Inclination.

Nadel B. 270.

$$I = 72^{\circ} 8',10 \quad I' = 70^{\circ} 54',00 \quad I'' = 67^{\circ} 18',00 \quad I''' = 69^{\circ} 36',30$$

$$i' = 69^{\circ} 59',10$$

$$+ \frac{F}{2} = + 3,21$$

$$- \frac{H}{2} = + 4,91.$$

Intensität.

Inclinations-Nadel A.

23 ^h 50' 31",6	56' 1",2	r'	$3'',28764 \log T_0$	$= 0,509716$
51 5,8	55 28,4	$r'E^2.F(z) - 4081 \pi$		$= 105^{\circ} 7'$
51 40,0	54 56,4	$r'E^{\circ}.F'(z) - 97$	$\log \cos(\pi + u)$	$= 9,399891n$
52 12,4	54 24,0	$r'E^{\circ}.F''(z) - 3$	$\text{cp.} \log \sin u$	$= 2,009327n$
52 46,0	53 51,6		$\text{cp.} \log \phi$	$= 8,728193$
23 ^h 53' 18",4			$\log F$	$= 0,137411$

$$E = 58^{\circ},0 \quad e = 6^{\circ},7 \quad v = + 16^{\circ},6.$$

Resultate

für 1830. August 26. 3^h 44'

Breite	=	47° 45' 8"
Länge	=	342° 4' 0"
Inclination	=	70° 7',22 B.
Ganze Intens.	=	1,37219 A.

1830. AUGUST 26. 17^h 45' K.

NOERDLICHE ATLANTISCHE OCEAN.

Inclination.

Nadel B. 271.

$$\begin{aligned}
 I &= 72^{\circ} 4',80 & I' &= 70^{\circ} 21',00 & I'' &= 66^{\circ} 45',30 & I''' &= 68^{\circ} 10',20 \\
 & & I' &= 69^{\circ} 20',32 \\
 & + \frac{F}{2} &= & + 4,60 \\
 & - \frac{H}{2} &= & + 4,93.
 \end{aligned}$$

Intensität.

Inclinations - Nadel A.

17 ^h 59' 25'',2	64' 55'',2	r'	3'',29382	$\log T_0$	$= 0,510542$
59	59,6	64	23,2	$r'E^2.F(z) - 4180 \pi$	$= 104^{\circ} 30'$
60	33,6	63	50,8	$r'E^4.F'(z) - 76 \log \cos(\pi + u)$	$= 9,382441n$
61	6,8	63	17,8	$r'E^4.F''(z) - 3 \text{ cp.} \log \sin u$	$= 2,025338n$
61	40,0	62	45,2	$\text{cp.} \log \Phi$	$= 8,728036$
17 ^h	62'	12'',8		$\log F$	$= 0,135835$

$E = 55^{\circ},0 \quad e = 8^{\circ},0 \quad v = + 15^{\circ},5.$

Resultate

für 1830. August 26. 22^h 5'

$$\begin{aligned}
 \text{Breite} &= 48^{\circ} 13' 22'' \\
 \text{Länge} &= 344^{\circ} 46' 54'' \\
 \text{Inclination} &= 69^{\circ} 29',85 \text{ B.} \\
 \text{Ganze Intens.} &= .1,36720 \text{ A.}
 \end{aligned}$$

1830. AUGUST 28. 22^h 40' K.

NOERDLICHE ATLANTISCHE OCEAN.

Inclination.

Nadel B. 272.

$$I = 72^{\circ} 9',00 \quad I' = 70^{\circ} 9',00 \quad I'' = 65^{\circ} 49',80 \quad I''' = 68^{\circ} 4',80$$

$$i' = 69^{\circ} 3',15$$

$$+ \frac{F}{2} = + 5,13$$

$$- \frac{H}{2} = + 6,46.$$

Intensität.

Inclinations-Nadel A.

22 ^h 54' 11",2	60' 13",6	r'	3'',29175	$\log T_0$	= 0,508925
54 45,6	59 42,0	$r'E^2.F(z) -$	4853	π	= 104° 15'
55 19,2	59 9,2	$r'E^4.F'(z) -$	114	$\log \cos(\pi+u)$	= 9,375153n
55 52,4	58 36,8	$r'E^6.F''(z) -$	4	$\text{cp.} \log \sin u$	= 2,035986n
56 25,6	58 4,0			$\text{cp.} \log \Phi$	= 8,727846
56 58,4	57 31,6			$\log F$	= 0,138985

$$E = 57^{\circ},0 \quad e = 9^{\circ},5 \quad v = + 19^{\circ},5.$$

Resultate

für 1830. August 28. 3^h 19'

$$\text{Breite} = 49^{\circ} 15' 50''$$

$$\text{Länge} = 349^{\circ} 37' 18''$$

$$\text{Inclination} = 69^{\circ} 14',74 \text{ B.}$$

$$\text{Ganze Intens.} = 1,37718 \text{ A.}$$

1830. AUGUST 31.

Vor Anker auf MOTHERBANK bei PORTSMOUTH.

Inclination.

Nadel B. 273.

$$\begin{aligned}
 I &= 71^{\circ} 22',00 & I' &= 69^{\circ} 28',60 & I'' &= 65^{\circ} 17',60 & I''' &= 67^{\circ} 19',10 \\
 & & i' &= 68^{\circ} 21',82 \\
 + \frac{F}{2} &= + 5,02 \\
 - \frac{H}{2} &= + 5,81.
 \end{aligned}$$

Intensität.

Inclinations-Nadel A.

23 ^b 53' 36",0	61' 8",7	r'	3",31718	$\log T_0$	= 0,315849
56 10,4	60 35,2	$r'E^2.F(z)$	- 2538	π	= 103° 33'
56 44,0	60 2,4	$r'E^4.F'(z)$	- 52	$\log \cos(\pi+u)$	= 9,353126n
57 17,6	59 30,0	$r'E^4.F''(z)$	- 2	$\text{cp.} \log \sin u$	= 2,043587n
57 50,6	58 56,8			$\text{cp.} \log \Phi$	= 8,727201
23 ^b 58' 24",0				$\log F$	= 0,123914

$E = 53^{\circ},0 \quad e = 3^{\circ},0 \quad v = + 13^{\circ},6.$

Cylindrische Nadel.

0 ^b 3' 0",4	8' 21",6	r'	3",21027	$\log T_0$	= 0,503632
3 32,4	7 49,4	$r'E^2.F(z)$	- 1025	$\log A+cd$	= 0,697808
4 4,2	7 17,2	$r'E^4.F'(z)$	- 4	$b f^2 \cdot \text{tg}^2 i$	= 13
4 36,8	6 45,2	$r'E^4.F''(z)$	- 0	$\log f$	= 9,690557
5 9,2	6 13,2				
0 ^b 5' 41",2					

$E = 20^{\circ},0 \quad e = 7^{\circ},5 \quad v = + 15^{\circ},6.$

1830. AUGUST 31.

Vor Anker auf MOTHERBANK bei PORTSMOUTH.

Prismatische Nadel.

0 ^b 10' 56",4	18' 44",4	τ'	4",67091	$\log T_0$	= 0,665542
11 44,0	17 58,2	$\tau'E^2.F(z)$	— 2495	$\log A' + c'd$	= 1,014797
12 30,8	17 9,2	$\tau'E^4.F'(z)$	— 18	$b' f^2 \cdot \lg^2 i$	= 12
13 17,6	16 24,0	$\tau'E^6.F''(z)$	— 0	$\log f$	= 9,683725
14 4,4	15 37,6				
0 ^b 14' 51",2					

$E = 30^\circ,0$ $e = 7^\circ,5$ $v = + 15^\circ,6$.

Resultate

für 1830. August 31. 5^b 12'

Breite	=	50° 44' 20"
Länge	=	356° 32' 30"
Inclination	=	68° 32',65 B.
Horiz. Intens.	=	0,49041 C.
	=	0,48275 P.
Ganze Intens..	=	1,33019 A.
	=	1,33019 C. und P.

1830. SEPTEMBER 4. 6^h 30' W. Zt.

NORDSEE.

Inclination.

Nadel B. 274.

$$I = 71^{\circ} 37',50 \quad I' = 69^{\circ} 27',60 \quad I'' = 65^{\circ} 46',20 \quad I''' = 67^{\circ} 58',20$$

$$I' = 68^{\circ} 42',38$$

$$+ \frac{F}{2} = + 3,38$$

$$- \frac{H}{1} = + 5,20.$$

Resultat

für 1830. September 4. 6^h 29'

$$\text{Breite} = 51^{\circ} 17' 10''$$

$$\text{Länge} = 359^{\circ} 21' 30''$$

$$\text{Inclination} = 68^{\circ} 50',96 \text{ B.}$$

1830. SEPTEMBER 5. 22^h 40' K.

NORDSEE.

Inclination.

Nadel B. 275.

$$I = 72^{\circ} 5',10 \quad I' = 69^{\circ} 21',60 \quad I'' = 65^{\circ} 50',70 \quad I''' = 67^{\circ} 35',70$$

$$i' = 67^{\circ} 43',27$$

$$+ \frac{F}{2} = + 3,34$$

$$- \frac{H}{2} = + 5,99.$$

Resultat

für 1830. September 5. 4^h 3'

$$\text{Breite} = 51^{\circ} 56' 12''$$

$$\text{Länge} = 0^{\circ} 34' 18''$$

$$\text{Inclination} = 68^{\circ} 53',60 \text{ B.}$$

1830. SEPTEMBER 6. 20^h 50' W. Zt.

NORDSEE.

Inclination.

Nadel B. 276.

$$I = 72^{\circ} 44',40 \quad I' = 70^{\circ} 46',20 \quad I'' = 67^{\circ} 6',90 \quad I''' = 68^{\circ} 52',20$$

$$i' = 69^{\circ} 52',42$$

$$+ \frac{F}{2} = + 4,36$$

$$- \frac{H}{2} = + 5,45.$$

Resultat

für 1830. September 6. 2^h 18'

$$\text{Breite} = 54^{\circ} 27' 41''$$

$$\text{Länge} = 1^{\circ} 52' 42''$$

$$\text{Inclination} = 70^{\circ} 2',23 \text{ B.}$$

1830. SEPTEMBER 8. 4^h 25' K.

NORDSEE.

Inclination.

Nadel B. 277.

$$I = 74^{\circ} 24',30 \quad I' = 72^{\circ} 18',60 \quad I'' = 69^{\circ} 49',20 \quad I''' = 70^{\circ} 38',10$$

$$i' = 71^{\circ} 47',35$$

$$+ \frac{F}{2} = + 2,69$$

$$- \frac{H}{2} = + 4,04$$

Resultat

für 1830. September 8. 9^h 47'

$$\text{Breite} = 56^{\circ} 46' 36''$$

$$\text{Länge} = 0^{\circ} 28' 36''$$

$$\text{Inclination} = 71^{\circ} 54',28 \text{ B.}$$

1830. SEPTEMBER 10. 0^h 0' K.

NORDSEE,

Inclination.

Nadel B. 278.

$$I = 74^{\circ} 13',50 \quad I' = 72^{\circ} 26',70 \quad I'' = 67^{\circ} 54',30 \quad I''' = 70^{\circ} 16',80$$

$$i' = 71^{\circ} 12',80$$

$$+ \frac{F}{2} = + 5,87$$

$$- \frac{H}{2} = + 7,59.$$

Resultat,

für 1830. September 10. 5^h 39'

Breite	=	57° 19' 54"
Länge	=	4° 28' 18"
Inclination	=	71° 26',26 B.

1830. SEPTEMBER 22. 20^h 0' W. Zt.

IM SUND vor KOPENHAGEN.

Inclination.

Nadel B. 279.

$$I = 72^{\circ} 37',50 \quad I' = 70^{\circ} 48',60 \quad I'' = 67^{\circ} 9',00 \quad I''' = 68^{\circ} 54',00$$

$$i' = 69^{\circ} 52',27$$

$$+ \frac{F}{2} = + 4,22$$

$$- \frac{H}{2} = + 5,17.$$

Resultat

für 1830. September 22. 19^h 53'

$$\text{Breite} = 55^{\circ} 43'$$

$$\text{Länge} = 10^{\circ} 14' 50''$$

$$\text{Inclination} = 70^{\circ} 1',66 \text{ B.}$$

1830. SEPTEMBER 25. 16^h 25' K.

OSTSEE.

Inclination.

Nadel B. 280.

$$I = 72^{\circ} 56',25 \quad I' = 71^{\circ} 6',75 \quad I'' = 67^{\circ} 35',64 \quad I''' = 69^{\circ} 46',88$$

$$i' = 70^{\circ} 21',38$$

$$+ \frac{F}{2} = + 2,94$$

$$- \frac{H}{2} = + 4,85.$$

Resultat

für 1830. September 25. 22^h 56'

$$\text{Breite} = 58^{\circ} 2' 23''$$

$$\text{Länge} = 17^{\circ} 34' 16''$$

$$\text{Inclination} = 70^{\circ} 29',17 \text{ B.}$$

1830. SEPTEMBER 28. 6^h 45' K.

FINNISCHE MEERBUSEN.

Inclination.

Nadel B. 281.

$$I = 73^{\circ} 25',87 \quad I' = 71^{\circ} 19',50 \quad I'' = 68^{\circ} 3',75 \quad I''' = 70^{\circ} 0',00$$

$$i' = 70^{\circ} 42',27$$

$$+ \frac{F}{2} = + 2,99$$

$$- \frac{H}{2} = + 5,01.$$

Resultat

für 1830. September 28. 13^h 49'

$$\text{Breite} = 60^{\circ} 4' 54''$$

$$\text{Länge} = 25^{\circ} 47' 23''$$

$$\text{Inclination} = 70^{\circ} 50',27 \text{ B.}$$

1830. SEPTEMBER 29.

Vor Anker auf der KLEINEN KRONSTADTER RHEDE.

Inclination.

Nadel B. 282.

$$I = 72^{\circ} 44',00 \quad I' = 71^{\circ} 26',00 \quad I'' = 67^{\circ} 40',75 \quad I''' = 69^{\circ} 53',05$$

$$i' = 70^{\circ} 25',95$$

$$+ \frac{F}{2} = + 3,25$$

$$- \frac{H}{2} = + 4,49.$$

Intensität.

Cylindrische Nadel.

18 ^h 56' 26",0	62' 3",6	r'	3",37200	$\log T_0$	= 0,521070
57	0,4	61	30,0	$r'E^2.F(z) - 4313$	$\log A + cd = 0,698372$
57	34,4	60	56,4	$r'E^4.F'(z) - 61$	$b f^2.tg^2 i = 16$
58	8,2	60	23,2	$r'E^6.F''(z) - 1$	$\log f = 9,656248$
58	42,0	59	48,8		

$$18^h \ 59' \ 15'',6$$

$$E = 40^{\circ},0 \quad e = 15^{\circ},0 \quad v = + 11^{\circ},8.$$

Resultate

für 1830. September 29. 1^h 56'

$$\text{Breite} = 59^{\circ} 58' 40''$$

$$\text{Länge} = 27^{\circ} 26' 0''$$

$$\text{Inclination} = 70^{\circ} 33',69 \text{ B.}$$

$$\text{Horiz. Intens.} = 0,45316 \text{ C.}$$

1830. OCTOBER 8.

PETERSBURG, WASILJEWSKJI OSTROW.

Inclination.

Nadel B. 283.

$$I = 72^{\circ} 56',50 \quad I' = 71^{\circ} 29',37 \quad I'' = 68^{\circ} 30',25 \quad I''' = 70^{\circ} 13',25$$

$$i' = 70^{\circ} 47',34$$

$$+ \frac{F}{2} = + 2,37$$

$$- \frac{H}{2} = + 3,51.$$

Intensität.

Cylindrische Nadel.

19 ^h 31' 42'',4	37' 15'',2	r'	3'',33109	$\log T_o$	= 0,518383
32 16,0	36 42,8	$r'E^2.F(z)$	— 2371	$\log A+cd$	= 0,698548
32 49,2	36 9,6	$r'E^4.F'(z)$	— 21	$b f^2.tg^2 i$	= 16
33 22,8	35 36,4	$r'E^6.F''(z)$	— 0	$\log f$	= 9,661794
33 56,4	35 2,8				
19 ^h 34'	30'',0				

$$E = 32^{\circ},0 \quad e = 10^{\circ},0 \quad v = + 11^{\circ},0.$$

Prismatische Nadel.

19 ^h 51' 5'',6	59' 4'',4	r'	4'',78736	$\log T_o$	= 0,676730
51 53,6	58 16,4	$r'E^2.F(z)$	— 2557	$\log A+cd$	= 1,014186
52 42,0	57 29,2	$r'E^4.F'(z)$	— 18	$b f^2.tg^2 i$	= 13
53 30,0	56 41,6	$r'E^6.F''(z)$	— 0	$\log f$	= 9,660739
54 18,0	55 54,1				
19 ^h 55'	6'',0				

$$E = 30^{\circ},0 \quad e = 7^{\circ},5 \quad v = + 10^{\circ},5.$$

Resultate

für 1830. October 8. 2^h 33'

Breite = 59° 56' 29''

Länge = 27° 57' 28''

Inclination = 70° 53',22 B.

Horiz. Intens. = 0,45898 C.

= 0,45786 P.

1830. OCTOBER 9.

PETERSBURG.

Inclination.

Nadel B. 284.

$$I = 73^{\circ} 31',87 \quad I' = 71^{\circ} 51',12 \quad I'' = 68^{\circ} 34',00 \quad I''' = 69^{\circ} 55',62$$

$$i' = 70^{\circ} 58',15$$

$$+ \frac{F}{2} = + 4,06$$

$$- \frac{H}{2} = + 4,74.$$

Intensität.

Cylindrische Nadel.

14 ^h 5'	39",8	11' 15",2	τ'	3",35282	$\log T_0$	= 0,522010
6	13,6	10 41,8	$\tau'E^2.F(z)$	— 2080	$\log A + cd$	= 0,698567
6	47,3	10 8,4	$\tau'E^4.F'(z)$	— 16	$b f^2. \lg^2 i$	= 16
7	21,2	9 35,2	$\tau'E^6.F''(z)$	— 0	$\log f$	= 9,654563
7	54,6	9 1,6				
14 ^h	8'	28",4				

$$E = 30^{\circ},0 \quad e = 9^{\circ},25 \quad v = + 6^{\circ},9.$$

Prismatische Nadel.

14 ^h 15'	2",8	23' 3",8	τ'	4",80873	$\log T_0$	= 0,680248
13	51,2	22 13,6	$\tau'E^2.F(z)$	— 1235	$\log A' + c'd$	= 1,014170
16	39,6	21 28,4	$\tau'E^4.F'(z)$	— 4	$b'.f^2 \lg^2 i$	= 13
17	27,8	20 40,0	$\tau'E^6.F''(z)$	— 0	$\log f$	= 9,653674
18	16,0	19 52,2				
14 ^h	19'	4",0				

$$E = 21^{\circ},0 \quad e = 5^{\circ},0 \quad v = + 6^{\circ},9.$$

Resultate

für 1830. October 9. 21^h 10'

Breite = 59° 57' 0"

Länge = 27° 58' 30"

Inclination = 71° 6',95 B.

Horiz. Intens. = 0,43140 C.

= 0,45048 P.

**Absolute Messungen der Horizontalcomponente
des Erdmagnetismus
in Petersburg, San Francisco und Rio-Janeiro.**

Absolute Intensitätsmessungen.

Erst kurz vor meiner Abreise von Berlin lernte ich durch einen Aufsatz in der *Connoissance des temps pour l'an 1828. pag. 322 u. f. °)* die Methode kennen, welche Poisson erfunden und empfohlen hatte um die Intensität des Erdmagnetismus an einem beliebigen Orte und für einen beliebigen Augenblick, in absolutem Maasse auszudrücken d. h. auf eine von der Beschaffenheit der dabei angewendeten Nadeln gänzlich unabhängige Weise. Diese Methode hat vor der bisher erwähnten, durch Vergleichung der Schwingungsdauern für einerlei Nadel, einen ganz unersetzbaren Vorzug, wenn man über die Veränderungen entscheiden will welche die erdmagnetische Kraft, an einem oder auch an mehreren Punkten, nach einem langen Zeitraume, erleidet. Sie erschien aber auch noch außerdem höchst wichtig um den näher gleichzeitigen Intensitätsbe-

*) Solution d'un problème relatif au magnétisme terrestre par Mr. Poisson. (lu à l'Académie des sciences le 28 Novembre 1823.)

stimmungen durch Vergleichung, eine größere Sicherheit zu verleihen, und zwar namentlich dann wenn sich dieselben über so große Räume erstrecken wie diejenigen welche ich auf den vorhergehenden Seiten bekannt gemacht habe. Man muß nämlich bei solchen von vorne herein erwarten daß der eigne Magnetismus der angewendeten Vergleichungsnadeln, von der Abreise bis zur Rückkehr dergleichen Aenderungen erleiden werde, wie die Beobachtungen in Petersburg im April 1828 und im October 1830 für die meinigen wirklich nachgewiesen haben. (Seite 47). Die alsdann nöthige Voraussetzung daß diese Aenderungen der Zeit proportional erfolgt seien, übt auf alle während der Reise gemachten Intensitätsbestimmungen einen Einfluß, welcher eine entscheidende Prüfung derselben wünschenswerth macht, und zu einer solchen konnte nun die Anwendung des Poisson'schen Verfahrens an mehreren Punkten des zurückgelegten Weges verhelfen, indem es eine Vergleichung zwischen den Resultaten der unerwiesenen Voraussetzung, deren Fehler im Allgemeinen nicht zufällig, sondern der Zeit proportional zu erachten sind, und den, nur zufälligen Fehlern unterworfenen, absoluten Messungen darböte. Der Vortheil von einer solchen Anwendung ist demjenigen ähnlich den man bei Längenbestimmungen erlangt, wenn man den Chronometer-Ständen die man an einer längern Reihe von Orten gemessen hat, noch Mondsbeobachtungen an einigen derselben hinzufügt.

Zu diesem letzteren Zwecke — einer Prüfung der gemachten Voraussetzung über die Veränderlichkeit meiner Nadeln — hatte ich mich mit einem Apparate zu absoluten Intensitätsmessungen versehen, dessen Anwendungen in Petersburg, in San Francisco und in Rio-Janeiro hier dargestellt werden sollen. Damit man aber bei deren Beurtheilung einen richtigen Maafsstab anwende, muß ich zuerst erwähnen daß mir zur Vorbereitung jenes Apparates und zu einigen vorläufigen Versuchen mit demselben nur wenige Wochen vor meiner Abreise übrig blieben — und sodann noch ausdrücklich erinnern, daß die wichtigen Abänderungen welche die Poisson'sche Methode durch Herrn Hofrath Gauss erfahren hat, so wie die Einführung derselben in die Praxis durch dessen vollendete Messung der Intensität des

Erdmagnetismus in Göttingen *), damals noch nicht vorhanden waren.

Zur Benutzung der hier zu erwähnenden Versuche werden von der Theorie der absoluten Intensitätsmessungen folgende Hauptzüge genügen:

Der freie Magnetismus welcher sich in den zur Betrachtung kommenden Nadeln befindet, möge gemessen werden durch eine ihm gleichartige Quantität (magnetische Einheit), welche für nördlichen Magnetismus das positive, für südlichen das negative Vorzeichen erhalte. Diese magnetischen Einheiten seien so beschaffen daß zwei derselben, wenn sie sich von einander um 1 Millimeter entfernt befinden, auf einander die Einheit der bewegenden Kraft ausüben^{**)}. Für diese letztere werde aber eine Kraft angenommen, durch welche ein Milligramm in einer Secunde mittlerer Zeit einen Weg von ein Millimeter beschreibt.

Die Zahl ϕ , welche die Versuche an einem gegebenen Orte und in einem gegebenen Augenblicke für die Intensität der Horizontalcomponente des Erdmagnetismus ergeben werden, soll dann ausdrücken: wie viele solcher, in der Entfernung eines Millimeters von einem magnetischen Elemente befindlichen magnetischen Einheiten, der Wirkung jener genannten Kraft auf dasselbe aequivaliren oder auch mit andern Worten wie viele von den genannten Einheiten der bewegenden Kraft jene Horizontalcomponente ausübt, indem sie auf eine magnetische Einheit wirkt.

Die Bestimmung von ϕ ist nun mittelst zweier Horizontalnadeln, die ich A und B nennen will, zu leisten, und zwar dadurch

*) *Intensitas vis magneticae terrestris ad mensuram absolutam revocata. Auctore C. F. Gauss. Gottingae 1833.*

**) Diese bewegende Kraft wird, wie bei allen magnetischen Untersuchungen, eine Abstossung oder eine Anziehung sein, je nachdem die sie bewirkenden Quantitäten Magnetismus von gleicher oder von entgegengesetzter Art, oder deren algebraische Bezeichnungen mit gleichen oder entgegengesetzten Vorzeichen versehen sind.

dafs man zuerst die unter alleiniger Einwirkung des Erdmagnetismus statt findende

Schwingungsdauer für $A = t$ Sekunden M. Zt.

und Schwingungsdauer für $B = t'$ Sekunden M. Zt.

bestimme, sodann aber die Schwingungsdauern für A , während die Nadel B so befestigt ist dafs ihre Axe im magnetischen Meridiane und zugleich in der Verlängerung der Axe von A , die einander zunächst gelegenen Punkte beider zwei sich anziehende, ihre Schwerpunkte aber nach einander um rr , und r'' , Millimeter von einander entfernt seien. Ich werde unter θ , θ , und θ'' , respective die drei zuletzt definirten Schwingungsdauern für die Nadel A — und unter θ' , θ' , und θ'' , diejenigen verstehen, welche man für die Nadel B beobachtet, während A vor derselben genau ebenso festgelegt ist, wie es im Vorhergehenden von B vor A erwähnt wurde. — Alle diese Schwingungsdauern seien auf unendlich kleine Bogen reduzirt, in Sekunden mittlerer Zeit ausgedrückt, und, wenn sie zu einerlei Versuch gehören, bei einerlei Temperatur beobachtet worden.

Nach den obigen allgemeinen Bemerkungen über die Schwingungsdauern für Magnetnadeln, erhält man dann zunächst:

$$t = \pi \sqrt{\frac{m}{\Phi h}}$$

$$t' = \pi \sqrt{\frac{m'}{\Phi k}}$$

wenn man unter m und m' die Trägheitsmomente der Nadel A und B versteht *) und:

$$h = \int \mu x dx \quad k = \int \mu' x' dx'$$

setzt, nachdem zuvor mit μdx die Anzahl magnetischer Einheiten

*) Indem hier die oben definirte Einheit der bewegenden Kräfte als Maafs für diejenigen welche die Schwingungen bewirken dienen soll, nicht aber, so wie früher (Seite 4), die Wirkung der Schwere auf die Masseneinheit, so werden:

$$m = pl^2 \quad m' = p'l'^2$$

wenn p und p' die Gewichte der Nadeln, l^2 und l'^2 die von ihren Dimensionen abhängigen Faktoren der Trägheitsmomente bezeichnen: der früher hinzugefügte Divisor: $\pi^2 A$ fällt aber fort. —

bezeichnet worden ist, welche eine auf deren Axe der Figur senkrechte Schicht der Nadel A deren Dicke dx und deren Abstand vom Schwerpunkte x sei, enthält. Mit μ' , dx' und x' aber in Bezug auf Nadel B das Analoge der für A gültigen Größen μ , dx und x . Aus beiden vorstehenden Gleichungen folgt dann:

$$\Phi \sqrt{hk} = \frac{\pi^2 \cdot \sqrt{m \cdot m'}}{t \cdot t'}$$

Befindet sich ferner A unter denjenigen oben genannten Umständen, bei denen ihre reducirte Schwingungsdauer $= \theta$ ist, und zwar um einen sehr kleinen Winkel α von der Gleichgewichtslage abgelenkt, so wird die Anziehung welche B auf sie ausübt ausgedrückt durch:

$$\sin \alpha \iint \frac{\mu \mu' \cdot x \cdot dx \cdot dx'}{(r+x-x')^2} = \sin \alpha \cdot qq$$

in sofern man den über die ganze Länge beider Nadeln erstreckten Werth des Doppelintegrals mit qq bezeichnet. Da aber die Schwingung von der Dauer θ , durch gleichzeitige Wirkung der Horizontalkraft der Erde und der eben genannten Anziehung erfolgt, so erhält man:

$$\theta = \pi \sqrt{\frac{m}{\Phi h + q q}}$$

so wie auch:

$$\theta' = \pi \sqrt{\frac{m}{\Phi k + q' q'}}$$

wenn q' aus q , durch Vertauschung der Veränderlichen x und x' entsteht. Es ergeben sich noch sowohl

$$\theta, \text{ und } \theta_{,,} \text{ aus } \theta$$

als auch

$$\theta', \text{ und } \theta_{,,}' \text{ aus } \theta'$$

wenn man für die erstern in q für die andern in q' , das r nacheinander durch r , und $r_{,,}$ ersetzt.

Entwickelt man aber die durch qq und $q'q'$ bezeichneten Integrale nach negativen Potenzen von r , so verschwindet zunächst das erste Glied eines jeden derselben, weil in jedem magnetischen

Körper die Summe alles freien Magnetismus gleich Null ist, welcher Umstand für die Nadeln A und B durch:

$$\int \mu dx = 0 \text{ und } \int \mu' dx' = 0$$

ausgedrückt wird. — Ebenso verschwinden auch, insofern nur beide Magnetismen in den genannten Nadeln symmetrisch zu beiden Seiten ihres Schwerpunktes vertheilt oder dieselben symmetrisch gestrichen sind, die Integrale:

$$\int \mu x^2 dx, \int \mu' x'^2 dx', \int \mu x^4 dx, \int \mu' x'^4 dx' \text{ u. s. w.}$$

und eben dadurch alle durch grade Potenzen von r dividirten Glieder der in Rede stehenden Entwicklungen.

Für meine Nadeln schien ihre Kleinheit dieser Voraussetzung günstig, auch wurde sie später durch die hinlängliche Uebereinstimmung der, unter Annahme derselben, aus den einzelnen Hälften eines Versuches gezogenen Resultate bestätigt. — Fügt man zu den zwei frühern Bezeichnungen:

$$\int \mu x dx = h \quad \int \mu' x' dx' = k$$

noch die folgenden:

$$\begin{array}{ll} \int \mu x^3 dx = h' & \int \mu' x'^3 dx' = k' \\ \int \mu x^5 dx = h'' & \int \mu' x'^5 dx' = k'' \\ \text{u. s. w.} & \text{u. s. w.} \end{array}$$

so werden:

$$qq = \frac{2hk}{r^3} + \frac{4(3h'k + hk')}{r^5} + \frac{6(5h''k + 10h'k' + hk'')}{r^7} + \dots$$

$$q'q' = \frac{2hk}{r^3} + \frac{4(3bk' + h'k)}{r^5} + \frac{6(5hk'' + 10h'k' + h''k)}{r^7} + \dots$$

welche, da nur hk einer explíciten Bestimmung unterliegt, durch die kürzeren Ausdrücke:

$$qq = 2 \left\{ \frac{hk}{r^3} + \frac{a}{r^5} + \frac{b}{r^7} + \dots \right\}$$

$$q'q' = 2 \left\{ \frac{hk}{r^3} + \frac{a'}{r^5} + \frac{b}{r^7} + \dots \right\}$$

zu ersetzen sind. Sie werden um so schneller convergiren je größer r gegen die Dimensionen der Nadeln ist.

Mit Hilfe dieser Entwicklung so wie der früheren Ausdrücke für t t' θ θ' u. s. w. ergibt sich nun unmittelbar folgende Vorschrift zur Berechnung von Φ aus den nöthigen Beobachtungen mit zweien Nadeln, für welche ich noch, wie es bei den meiningen der Fall war:

$$m = m' = pl^2$$

annehme.

Aus den durch das Obige gerechtfertigten Gleichungen:

$$\left\{ \begin{aligned} \frac{r^3}{2} \left(\frac{1}{\theta^2} - \frac{1}{t^2} \right) &= \frac{1}{\pi^2 m} \left(hk + \frac{a}{r^2} + \frac{b}{r^4} \right) \\ \frac{r_i^3}{2} \left(\frac{1}{\theta_i^2} - \frac{1}{t_i^2} \right) &= \frac{1}{\pi^2 m} \left(hk + \frac{a}{r_i^2} + \frac{b}{r_i^4} \right) \\ \frac{r_{ii}^3}{2} \left(\frac{1}{\theta_{ii}^2} - \frac{1}{t_{ii}^2} \right) &= \frac{1}{\pi^2 m} \left(hk + \frac{a}{r_{ii}^2} + \frac{b}{r_{ii}^4} \right) \\ \frac{r^3}{2} \left(\frac{1}{\theta'^2} - \frac{1}{t'^2} \right) &= \frac{1}{\pi^2 m} \left(hk + \frac{a'}{r^2} + \frac{b'}{r^4} \right) \\ \frac{r_i^3}{2} \left(\frac{1}{\theta_i'^2} - \frac{1}{t_i'^2} \right) &= \frac{1}{\pi^2 m} \left(hk + \frac{a'}{r_i^2} + \frac{b'}{r_i^4} \right) \\ \frac{r_{ii}^3}{2} \left(\frac{1}{\theta_{ii}'^2} - \frac{1}{t_{ii}'^2} \right) &= \frac{1}{\pi^2 m} \left(hk + \frac{a'}{r_{ii}^2} + \frac{b''}{r_{ii}^4} \right) \end{aligned} \right.$$

berechne man zuerst die Gröfse:

$$\frac{hk}{\pi^2 m} = q^2$$

alsdann aber, durch Verbindung mit $\Phi \sqrt{hk} = \frac{\pi^2 m}{t t'}$, das gesuchte absolute Maafs der Horizontalkomponente:

$$\Phi = \frac{\pi \sqrt{m}}{t t' q}$$

Der Apparat den ich zu diesen Messungen angewendet habe, bestand zunächst aus zweien, mit torsionslosen und gleich langen Fäden versehenen, cylindrischen Horizontal - Nadeln, über deren

Dimensionen und Gewichte weiter unten das Nähere anzugeben ist; sodann aber aus einem Brette, über welchem, mittelst zweier darauf befestigten Ständer, eine prismatische Latte horizontal gelegt wurde. An der unteren Fläche dieser Latte befanden sich, in genau gemessenen Entfernungen, kleine Oesen von welchen aus eine jede der Nadeln, mittelst eines Hakens an dem Ende ihres Fadens, frei herabhängen konnte.

Zu Anfang des Versuches liefs ich beide Nadeln auf diese Weise von zwei willkürlichen Punkten der Latte in zwei zuvor auf das Brett gestellte cylindrische Glasgefäße hängen, welche darauf von oben so bedeckt wurden, daß sie die Fäden frei hindurchliefsen, die Nadeln aber gegen Luftströmungen schützten. In die äußere Fläche eines jeden dieser cylindrischen Gläser war eine Kreistheilung geätzt, auf der man die Schwingungsbogen der Nadeln ablas. Das Brett, und mit ihm alle Theile des Apparates, wurde dann gedreht, bis daß ein in der Verticalebene durch beide Fäden befindliches Auge, eine jede der in kleine Schwingungen versetzten Nadeln, gleiche Bogen zu beiden Seiten dieser Ebene beschreiben sah.

Sobald hierdurch die verlangte Aufstellung erhalten war bestimmte man, bei unveränderter Lage des Brettes, t und t' indem eine der Nadeln aufgehängt blieb, während man die andere gänzlich entfernte. — Die Werthe der verschiedenen θ aber, nachdem successive zwei um r , r , und r , entfernte Oesen zur Aufhängung der beiden Nadeln gewählt, und die eine derselben dadurch auf die nöthige Weise befestigt worden war, daß man den sie umgebenden Glascylinder verrückte, bis beide Spitzen dieser Nadel dessen innere Wände eben berührten. Brachte man, nachdem dieses geschehen, das Auge noch einmal in die Vertikalebene durch die Axe der freien Nadel und durch deren Faden, so überzeugte man sich ob auch keine Verrückung, weder der befestigten Nadel aus dem magnetischen Meridiane noch des Fadens derselben aus der vertikalen Richtung, statt gefunden hatte, und konnte im entgegengesetzten Falle, durch kleine Aenderungen in der Stellung des Glases, jene Bedingungen vollständig erfüllen.

Die Nadeln mit denen ich die folgenden Beobachtungen ange-

stellt habe, waren zwei gleiche Stücke eines Stahlcylinders, und ich habe für eine jede derselben:

die Länge zu 67,00 Millimeter

den Halbmesser des Querschnittes zu 1,46

und das Gewicht $p = 3459,75$ Milligramme bestimmt.

Es ergibt sich hieraus das Trägheitsmoment einer jeden derselben

$$m = m' = pl^2 = 1296136$$

$$\text{und } \log \pi \sqrt{m} = 3,553475$$

Um die Entfernungen ($r, r, r_{//}$) der Schwerpunkte der Nadeln, welche bei den Versuchen in Pariser Linien abgelesen wurden, in Millimetern auszudrücken, habe ich

$$1'' \text{ Pariser} = 2,2558333^{\text{mm}}$$

gesetzt. —

Ich lasse nun die beobachteten Zahlen und die Hauptmomente der Berechnung ihrer Resultate folgen, welche durch Beibehaltung der eben erklärten Bezeichnungen hinlänglich erläutert sein werden. Jede Schwingungsdauer ist auch hier wieder aus einer Reihe von Durchgangsmomenten der Nadeln durch ihre Gleichgewichtslage nach je 10 Schwingungen geschlossen. Die Reduktion wegen des Schwingungsbogens geschah nach der früher gebrauchten Tafel (Seite 57 u. f.) indem ebenfalls wie früher mit E und e die Schwingungsbogen am Anfange und am Ende der beobachteten Reihe von Durchgängen bezeichnet sind. Zur Verwandlung der Uhrzeit nach dem Chronometer Kessels 1253, in Mittlere Zeit, dienten die Angaben auf Seite 59.

the first of these is the fact that the
the second is the fact that the
the third is the fact that the
the fourth is the fact that the
the fifth is the fact that the
the sixth is the fact that the
the seventh is the fact that the
the eighth is the fact that the
the ninth is the fact that the
the tenth is the fact that the

3. Juni 3.

im botanischen Garten.

log setzt:

allein.

= A

$$\frac{b}{\pi^2 r^4 m} = B$$

$$4^h \quad 3' \quad 10'', 0 = A'$$

$$\frac{b'}{\pi^2 r^4 m} = B'$$

$$3 \quad 43,6$$

$$4 \quad 16,2 \quad 40,5 = \varrho^2 + A + B$$

$$4 \quad 49,6 \quad 58,0 = \varrho^2 + \left(\frac{1}{2}\right) \cdot A + \left(\frac{1}{2}\right)^2 \cdot B$$

$$5 \quad 22,4 \quad 87,0 = \varrho^2 + \left(\frac{1}{3}\right) \cdot A + \left(\frac{1}{3}\right)^2 \cdot B$$

$$5 \quad 55,2 \quad 88,5 = \varrho^2 + A' + B'$$

$$E = 24^\circ, 5 \quad e = 13^\circ, 46,5 = \varrho^2 + \left(\frac{1}{2}\right) \cdot A' + \left(\frac{1}{2}\right)^2 \cdot B'$$

$$\log t = 0,516006 \quad 49,0 = \varrho^2 + \left(\frac{1}{3}\right) \cdot A' + \left(\frac{1}{3}\right)^2 \cdot B'$$

ungen von:

Nadel B.

$$\varrho^2 = 47841,2$$

allein.

5

$$\log \pi \sqrt{m} = 3,553475$$

4

$$\text{cp.} \log t = 9,483994$$

$$5^h \quad 3' \quad 9'', 28$$

$$\text{cp.} \log t' = 9,501688$$

$$3 \quad 40,81$$

$$\text{cp.} \log \varrho = 7,660099$$

$$4 \quad 12,48$$

$$\log \Phi = 0,199256$$

$$4 \quad 44,6$$

$$5 \quad 16,2$$

$$5 \quad 47,9$$

gen von Nadel A: $\Phi = 1,5944$ - - - B: $\Phi = 1,5822$ Im Mittel : $\Phi = 1,5883$

$$E = 33^\circ, 0 \quad e = 12^\circ$$

$$\log t' = 0,498312$$

B, mit

$$= 2,38$$

$$9' \quad 52''$$

$$10 \quad 20$$

$$0 \quad 48$$

$$1 \quad 15$$

$$1 \quad 42$$

$$2 \quad 10$$

$$2 \quad 37$$

$$0 \quad e =$$

$$= 0,43$$

A, mit

$$= 3,38$$

$$1' \quad 17''$$

$$9 \quad 44$$

$$0 \quad 10$$

$$0 \quad 37$$

$$1 \quad 3$$

$$1 \quad 20$$

$$1 \quad 53$$

$$0 \quad e =$$

$$= 0,41$$

t:

5731

,0

,0

,0

,6

,8

,0

,6

= 27°

2622

t:

5731

,6

,4

,8

,2

,2

,2

,2

= 15°

4978

Um nun die eben erhaltenen Resultate (Φ) zur Prüfung derjenigen anzuwenden welche die Vergleichungsnadeln ergeben haben (f) werde ich, aus den Bestimmungen an den einzelnen Orten, den Quotienten $\frac{\Phi}{f}$ d. i. den Werth ableiten welchen sie der Horizontalcomponente in absolutem Maafse an denjenigen Punkten der Erde anweisen an welchen dieselbe der Hansteenschen relativen Einheit gleich ist.

Es wurde gefunden:

	log Φ	log f nach:		
		der cylindri- schen Nadel.	der prismati- schen Nadel.	beiden Na- deln.
1828. Juni 3. Peters- burg.....	0,200933	9,659592	9,659592	9,659592
1829. Decbr. 14. San Francisco....	0,396931	9,857657	9,854815	9,856238
1830. Juni 17. Rio- Janeiro.....	0,477526	9,930429	9,927042	9,928740

und hieraus:

	log $\frac{\Phi}{f}$ nach:		
	der cylindri- schen Nadel.	der prismati- schen Nadel.	beiden Na- deln.
1828. Juni 3.....	0,541341	0,541341	0,541341
1829. Decbr. 14.....	0,539274	0,542116	0,540693
1830. Juni 17.....	0,547097	0,550484	0,548786

Wenn meine absoluten Intensitätsmessungen völlig sicher wären, so würde man wohl aus diesen Resultaten zu schliessen geneigt sein, dafs durch die beiden Vergleichungsnadeln bis zur Ankunft in San Francisco oder bis December 1829, höchst nahe richtige Werthe der Intensitäten, später aber, und namentlich gegen Juni 1830, um etwas zu kleine erhalten worden sind. Ich wage indess um so weniger diese Ansicht für begründet zu halten,

und daher gegen das Ende der Reise die bisher angewendete Hypothese über die eigenen Intensitäts-Veränderungen der Vergleichungsnadeln durch irgend eine andere zu ersetzen, als vielmehr die vollendeten Intensitätsmessungen in Göttingen jene gebrauchte Voraussetzung in soweit zu bestätigen scheinen, als es die Umstände meiner Versuche nur irgend zulassen.

Nach den Angaben von Herrn Hofrath Gauß *) erhält man nämlich für Göttingen:

$$\begin{array}{c|c|c} \log \Phi & \log f & \log \frac{\Phi}{f} \\ \hline 0,250493 & 9,707407 & 0,543086 \end{array}$$

und dieser letztere Werth liegt dem arithmetischen Mittel derjenigen welche meine Beobachtungen in Petersburg, San Francisco und Rio-Janeiro für dasselbe Element ergeben haben sehr nahe. Auch entfernt er sich von jeder einzelnen dieser Bestimmungen nur um Größen die man wohl sicher den zufälligen Fehlern der absoluten Intensitätsmessungen mit einem unvollkommenen Apparate zuschreiben wird, ohne wegen derselben gegen die Resultate durch die Vergleichungsnadeln Zweifel zu erheben.

*) Nämlich für Φ oder die Horizontalcomponente in absolutem Maasse und mit den oben erwähnten Einheiten, die Zahl 1,7803 im Mittel aus 10 zwischen 1,7625 und 1,7965 variirenden Versuchen von Mai bis October 1832 (Intensitas vis magneticæ etc. pag. 41.) und für f die Angaben: 1,357 für die ganze Intensität und $67^{\circ} 56'$ für die Inclination in Göttingen (Resultate aus den Beob. des magnet. Vereins im J. 1838. Leipzig 1839. pag. 37).

Nachdem nun in dem ersten Bande der physikalischen Abtheilung dieses Berichtes meine Declinationsbeobachtungen auf dem Lande, und in dem gegenwärtigen zweiten Bande derselben alle Inclinations- und Intensitätsbestimmungen mitgetheilt worden sind, bleiben mir von Resultaten dieser Reise welche sich auf den Erdmagnetismus beziehen noch alle Messungen der Declination auf der See und sodann Beobachtungen über die periodischen Veränderungen derselben an einigen Punkten meines Weges zu erwähnen. Ich gehe jetzt zu den ersteren über.

THE
LIFE OF
JOHN
BUTLER
BY
JAMES
BUTLER
1847

Declinationsbeobachtungen auf der See.

THE HISTORY OF THE UNITED STATES

Declinationsbeobachtungen auf der See.

Es ist zu diesen Messungen bei der Ueberfahrt von Ochozk nach Kamtschatka ein sogenannter Peilcompas gebraucht worden, den ich auf dem, zur Ochozker Eskadre gehörigen, Transportschiffe Jekaterina vorfand, und während der spätern See-reise von Petro Pauls Hafen bis Portsmouth ein ähnlicher, welcher der Corvette Krotkoi von Kronstadt aus mitgegeben worden war. — Diese beiden Instrumente gehörten zwar, was die Beweglichkeit der Nadeln, die Theilung und die Anordnung der Dioptern und Aufhängungsringe anlangt, zu den besten ihrer Art. Die Resultate welche sie geliefert haben werden aber dennoch meist mit stärkeren zufälligen Fehlern behaftet sein als die Declinationen die ich auf dem Lande, mit dem Passageinstrumente und der dazu gehörigen Boussole, gemessen habe. (Abth. II. Bd 1. St. 18 u. f.) einmal weil die Einstellung der Collimationslinie in den Vertikal eines Gestirnes mittelst der Dioptern dieser Compase nur unvollkommener als mit dem kräftigen Fernrohre des Passageinstrumentes ausgeführt werden konnte, sodann aber und vorzüglich, weil die Suspension derselben nicht hinreichte um den Schwankungen des Schiffes jeden Einfluß auf die Lage der Ebne durch die Dioptern gegen die Theilung des Instrumentes, zu benehmen.

Man wird indessen für die meisten dieser Declinationsbestimmungen die Stärke ihrer zufälligen Fehler bedeutend vermindern und unschädlicher machen können, durch diejenigen Verbindungen

zwischen je mehreren von ihnen, zu denen ihre große Zahl und die geringen gegenseitigen Entfernungen der Punkte an denen sie erhalten wurden, veranlaßt. Es ist daher hier zu erwähnen daß man eine so vortheilhafte Anordnung derselben nur allein dem Commandeur des Krotkoi, dem verewigten Capitain v. Hagemeister, zu verdanken hat. — Schon bei seinen früheren Reisen in beiden Oceanen hatte dieser verdienstvolle Officier mit besonderer Vorliebe Declinationsbeobachtungen angestellt, welche ich in einem Anhange zu diesem Bande mittheilen werde, sodann aber während meines Aufenthaltes auf seinem Schiffe alle meine magnetischen Arbeiten mit regester Theilnahme unterstützt. So geschah es daß, nachdem wir Californien mit der Absicht verlassen hatten an der Küste von Chili noch einmal zu landen, die unerwarteten Resultate meiner Inclinationsbeobachtungen unter dem Aequator in $229^{\circ},5$ Länge, Herrn v. Hagemeister bewegten seinen Reiseplan wesentlich zu ändern, indem wir nun den magnetischen Aequator westwärts bis 218° Länge, und dann die zu kleinen Inclinationen gehörigen isoklinischen Linien bis 208° oder den Meridian von Otaeiti verfolgten. — Derselbe wissenschaftliche Eifer vermochte ihn dann auch, längs unseres ganzen Weges von Petro Pauls Hafen bis Portsmouth, weit mehr als die übliche Zahl von Declinationsbestimmungen herbeizuführen, und die möglichste Genauigkeit derselben, theils durch Leitung der einzelnen Beobachtungen, theils durch eigne Ausführung derselben, zu bewirken.

Alle diese Declinationsbestimmungen geschahen übrigens durch direkte Beobachtung des magnetischen Azimut des Sonnenmittelpunktes, und Vergleichung desselben mit dessen wahren Azimute, welches aus der gleichzeitig ermittelten Sonnenhöhe, mit Hülfe des anderweitig bekannten Ortes des Schiffes, berechnet wurde. Sie unterscheiden sich nur in sofern als bei den einen die mit dem magnetischen Azimute gleichzeitige Sonnenhöhe durch Messung mit dem Spiegelsextanten bestimmt wurde, während man bei den übrigen die Absehenslinie des Compas in demjenigen Augenblicke auf den Sonnenmittelpunkt richtete, in welchem man dessen wahre Höhe $= 0$ und mithin sein wahres Azimut seiner sogenannten Amplitude für den Ort und die Zeit der Beobachtung

gleich hielt. Zur Erreichung dieser Absicht wurden die magnetischen Ablesungen gemacht während der scheinbare Abstand des untern Sonnenrandes vom Seehorizonte zwischen 1 und $\frac{1}{2}$ des scheinbaren vertikalen Sonnendurchmessers abnahm, für den mittleren Augenblick also $= 0,75 d$ war, wenn d jenen, durch Refraktion verkleinerten, vertikalen Durchmesser bezeichnet. Bei näherer Untersuchung zeigt sich nun dafs man, von unserm Schiffe von welchem aus der scheinbare Horizont um $3' 42''$ unter dem wahren lag, und bei derjenigen astronomischen Strahlenbrechung welche einem Barometerstand von $29^{\circ},6$ E. und der Temperatur von $48^{\circ},7$ F. entspricht, an die Stelle jenes angewandten Werthes, respective zur Zeit der gröfsten und kleinsten Entfernung der Sonne von der Erde:

$0,7512 d$

und $0,7107 d$

hätte annehmen sollen. Der Sonnenmittelpunkt hätte daher, je nachdem die Beobachtungen um die Mitte des Juni oder des December gemacht wurden, um $2''$ unter oder um $65''$ über dem wahren Horizonte gelegen in welchem man ihn bei Ableitung der Resultate vorausgesetzt hat. So leicht es aber auch wäre den Declinationsbestimmungen durch die Amplitude eine, stets kleine, Correction wegen dieses von der Jahreszeit abhängigen Umstandes hinzuzufügen, so schien eine solche doch ohne Werth, weil einige andere, nicht in Rechnung zu bringende, Umstände, stärkere Einflüsse ähnlicher Art auf jene Beobachtungen ausübten. Die Depression des Seehorizontes die ich im Mittel zu $3' 42''$ angenommen habe, änderte sich nämlich durch diejenigen, zur Zeit noch nicht mefsbaren, Umstände von welchen die irdische Strahlenbrechung abhängt, um $\pm 16''$ und durch die zufälligen Wechsel in der Höhe des Auges über dem Wasser welches die Horizontlinie ausmacht um $\pm 24''$.) Fügt man aber zu diesen noch die Veränderungen

*) Bei der Darstellung meiner Beobachtungen auf dem Ochozker Meere (Berghaus Annalen der Erdkunde. III. Reihe, 3. Band, St. 338. u. f.) habe ich den Einfluß der irdischen Strahlenbrechung auf die Depression des Horizontes näher angegeben. Die zufälligen Wechsel derselben durch Veränderungen der Höhe des Auges über dem Wasser welches die Horizontlinie ausmacht, sind oben dem, im eben ange-

der astronomischen Strahlenbrechung welche jene kleinen scheinbaren Höhen um $\pm 100''$ vermehrten, so läßt sich im Allgemeinen nur aussagen dafs, bei völlig gelungener Schätzung des Verhältnisses zwischen dem vertikalen Durchmesser der Sonne und dem Abstände ihres unteren Randes vom Seehorizonte, die wahre Sonnenhöhe in den ungünstigsten Fällen anstatt $= 0$ zu sein, $\pm 3'$ betragen konnte. Bezeichnet man nun die Polhöhe des Ortes mit φ , und mit E , h und δ die Amplitude, die scheinbare Höhe und die Declination der Sonne so wird:

$$dE = dh \cdot \frac{\sin \varphi}{\{\cos(\varphi - \delta) \cos(\varphi + \delta)\}^{\frac{1}{2}}}$$

wonach ein Höhenfehler das Maximum seines Einflusses auf die Amplitude zur Zeit der Solstitien erreicht. Man erhält aber namentlich für diese ungünstigste Jahreszeit mit $dh = 3'$ folgende Fehler der berechnenden Amplitude:

φ	dE
0°	$0' \ 0''$
30	1 57
40	2 57
50	4 34
60°	8 37''

Es kann demnach aus dieser Quelle nur bei der geringen Anzahl von Declinationen welche wir zwischen 50° und 60° Breite durch die Amplitude beobachtet haben, (denn in diesen größern Breiten wurde fast immer die Sonnenhöhe gemessen) aus jenem Grunde ein Fehler von 5' bis 8' entstanden sein; bei allen übrigen aber, selbst im ungünstigsten Fall, nur eine, gegen die unvermeidlichen Fehler der Einstellung und Ablesung, ganz unbedeutende, und ihrer Natur nach zum größern Theil zufällige Unsicherheit.

Die übrigen Declinationen bei denen die zum beobachteten magnetischen Azimut der Sonne gehörige Höhe derselben mit

führten Aufsatz abgeleiteten, mittlern Fehler welcher in einer Reihe auf der See gemessener Sonnenhöhen zurückbleibt, gleich gesetzt. Sie werden also eher kleiner als größer sein, wie jene Angabe.

dem Spiegelsextanten gemessen wurde, sind von der eben erwähnten Art des zufälligen Fehlers fast völlig frei. Sie könnten dagegen mit einer andern, nicht näher nachzuweisenden, Unsicherheit behaftet sein, wenn etwa bei größerer Sonnenhöhe der Collimationsfehler der gebrauchten Compase d. h. der Winkel zwischen der Vertikalebene durch ihre Absehenslinie, und zwischen der Null-Linie ihrer Theilung, nicht völlig derselbe war wie bei kleinen. Für Objekte welche dem Horizonte nahe waren, habe ich mich übrigens, durch wiederholte Vergleichen der zwei genannten Instrumente mit meiner früher erwähnten Boussole, überzeugt, daß die Summe ihres Collimationsfehlers mit dem ihrer Nadeln oder die früher mit: $c + c'$ bezeichnete Größe (Abth. II. Bd. 1. St. 35.) entweder völlig verschwindend oder doch so klein war, daß sie durch die vorhandenen Ablesungsmittel nicht näher bestimmt werden konnte.

Die nächstfolgenden Zahlen mögen als Beispiel, für die bei allen unsern Declinationsbeobachtungen auf dem Meere, gebrauchte Anordnung und Rechnung dienen.

1829. JULI 31. 21^h 16' W. Zt.

OCHOZKER MEER. Brigg JEKATERINA.

Bei Breite = 58° 14' 39"
 Länge = 148° 9' 6" wurden beobachtet:

Der Sonne	
Unterer Rand.	Mittelpunkt.
Abstand vom Horizont.	Magnetisches Azimut.
39° 40' 15"	124° 40'
39 47 50	125 0
39 55 30	125 25

Die Sonnenhöhen sind für den Fehler des Sextanten corrigirt. Nach Reduktion derselben wegen Depression des Horizontes welche auf dem genannten Schiffe 3' 28" betrug, und wegen Refraktion, Parallaxe und Halbmesser der Sonne, wird die Höhe des Sonnenmittelpunktes für einen mittlern Augenblick:

$$h = 39^{\circ} 59' 9''$$

und mit der Polardistanz der Sonne:

$$d = 71^{\circ} 48' 56''$$

folgt nach:

$$\sigma = \frac{\varphi + h + d}{2}$$

$$\cos \frac{e}{2} = \left(\frac{\cos \sigma \cdot \cos (\sigma - d)}{\cos \varphi \cdot \cos h} \right)^{\frac{1}{2}}$$

in welchem e das von Norden an rechts herum gezählte Azimut des Sonnenmittelpunktes, φ die Polhöhe bedeutet:

$$e = 135^{\circ} 31',64$$

$$\text{Magnet. Azim.} = 125 \quad 1,66$$

$$\text{Declination} = 0^{\circ} 29',98 \text{ O.}$$

1829. AUGUST 1. 2^{te} 44' W. Zt.

OCHOZKER MEER. Brigg JEKATERINA.)

Bei Breite = $58^{\circ} 14' 39''$ wurden beobachtet:
 Länge = $148^{\circ} 21' 38''$

Der Sonne

Unterer Rand.	Mittelpunkt.
Abstand vom Horizont.	Magnetisches Azimut.
$39^{\circ} 40' 15''$	$234^{\circ} 0'$
$39 47 50$	$233 40$
$39 55 30$	$233 20$

und hieraus: $h = 39^{\circ} 59' 9''$ $d = 71^{\circ} 52' 20''$ $e = 234^{\circ} 18' 50''$ Magnet. Azim. = $233^{\circ} 40' 00''$ Declination = $0^{\circ} 38' 50''$ O.

1829. AUGUST 1. 21^h 33' W. Zt.

OCHOZKER MEER. Brigg JEKATERINA.

Bei Breite = $58^{\circ} 15' 26''$ wurden beobachtet:
 Länge = $149^{\circ} 33' 5''$

Der Sonne

Unterer Rand.	Mittelpunkt.
Abstand vom Horizont.	Magnetisches Azimut.
$40^{\circ} 58' 11''$	$126^{\circ} 30' 00''$
$41 \quad 18 \quad 11$	$127 \quad 0 \quad 0$
$41 \quad 18 \quad 11$	$127 \quad 30 \quad 0$
$41 \quad 28 \quad 11$	$128 \quad 0 \quad 0$
$41 \quad 39 \quad 31$	$128 \quad 30 \quad 0$

und hieraus: $h = 41^{\circ} 29' 49''$ $d = 72^{\circ} 4' 9''$ $e = 130^{\circ} 26' 46''$ Magnet. Azim. = $127^{\circ} 30' 00''$ Declination = $2^{\circ} 56' 46''$ O.

1829. AUGUST 13 22^h 31^m W. Zt.

OCHOZKER MEER. Brigg JEKATERINA.

Bei Breite = $58^{\circ} 14' 45''$ wurden beobachtet:
 Länge = $149^{\circ} 34' 10''$

Der Sonne

Unterer Rand.	Mittelpunkt.
Abstand vom Horizont.	Magnetisches Azimut.
$46^{\circ} 47' 41''$	$148^{\circ} 0' 00''$
$46 \quad 58 \quad 11$	$148 \quad 55 \quad 00$

und hieraus: $h = 47^{\circ} 4' 28''$ $d = 72^{\circ} 4' 52''$ $e = 151^{\circ} 29,83$ Magnet. Azim. = $148^{\circ} 27,5$ Declination = $3^{\circ} 2,33$ O.

1829. AUGUST 2. 1829. U. W. Zeit

OCHOZKER MEER. Brigg JEKATERINA.

Bei der Beobachtung wurden beobachtet:
 Breite = $58^{\circ} 16' 43''$ = beobachtet
 Länge = $149^{\circ} 37' 16''$ = beobachtet

Der Sonne

Unterer Rand. Mittelpunkt.

Abstand vom Horizont.	Magnetisches Azimut.
$46^{\circ} 47' 41''$	$206^{\circ} 0' 00''$
$46^{\circ} 38' 11''$	$205^{\circ} 20' 00''$

und hiervon: $h = 47^{\circ} 4' 28''$
 $d = 72^{\circ} 6' 32''$

$e = 208^{\circ} 10' 48''$

Magnet. Azim. = $205^{\circ} 30' 0''$

Declination = $2^{\circ} 40' 48'' 0$.

Auf der Corvette Krotkoi wo die Depression des Horizonts
3' 42" betrug, wurde unter andern beobachtet:

1829. OCTOBER 28. 21^h 3' W. Zt.

NOERDLICHE GROSSE OCEAN.

Bei Breite = $50^{\circ} 21'$
Länge = $196^{\circ} 44'$

Der Sonne

Unterer Rand. | Mittelpunkt.

Abstand | Magnetisches
vom Horizont. | Azimut.

$15^{\circ} 22' 57''$ | $113^{\circ} 57'$

und hieraus: $h = 15^{\circ} 32' 4''$

$d = 103^{\circ} 14' 37''$

$e = 135^{\circ} 4', 56$

Magnet. Azim. = $113^{\circ} 57'$

Declination = $21^{\circ} 7', 56$ O.

1830. JANUAR 13. 19^h 13^m W. Zt.

NOERDLICHE GROSSE OCEAN.

Bei Breite = $11^{\circ} 28'$

Bei Länge = $233^{\circ} 46'$

Der Sonne

Unterer Rand. | Mittelpunkt.

Abstand vom Horizont.	Magnetisches Azimut.
$9^{\circ} 20' 50''$	$109^{\circ} 15'$

und hieraus: $h = 9^{\circ} 27' 56''$

$d = 111^{\circ} 29' 27''$

$e = 114^{\circ} 22' 8''$

Magnet. Azim. = $109^{\circ} 15'$

Declination = $5^{\circ} 7' 8''$ O.

Declination = $51^{\circ} 17' 39''$ O.

1830. APRIL 11. 20^h 1' W. Zt.

SÜEDLICHE GROSSE OCEAN.

Bei Breite = — 56° 39'
 Länge = 284° 12'

Der Sonne

Unterer Rand.	Mittelpunkt.
Abstand vom Horizont.	Magnetisches Azimut.
8° 44' 4"	34° 30'

und hieraus: $h = 8^{\circ} 50' 30''$ $d = 81^{\circ} 45' 9''$ $c = 59^{\circ} 58',26$

Magnet. Azim. = 34 30

Declination = 25° 28',26 O.

Ferner durch Vergleichung der Amplitude mit dem magnetischen Azimut der Sonne, unter andern:

1829. DECEMBER 24. 4^h 43' W. Zt.

NOERDLICHE GROSSE OCEAN.

Bei Breite = 37° 42'
 Länge = 234° 55'

Des Sonnenmittel-
 punkts

Wahre Höhe.	Magnetisches Azimut.
0° 0' 0"	225° 0'

und hieraus: $d = 113^\circ 26' 35''$

und mit $\cos E = -\cos d \cdot \sec \varphi$

$E = 239^\circ 48',8$

Magnet. Azim. = 225° 0'

Declination = 14° 48',8 O.

1830. MAERZ 27. 5^h 50' W. Zt.

SÜEDLICHE GROSSE OCEAN.

Bei Breite $\equiv 47^{\circ} 30'$
 Länge $\equiv 236^{\circ} 35'$

Des Sonnenmittel-
punkts

Wahre Höhe.	Magnetisches Azimut.
-------------	-------------------------

0° 0' 0"	264° 25'
----------	----------

und hieraus $d \equiv -87^{\circ} 38' 54''$ $E \equiv 273^{\circ} 28',6$ Magnet. Azim. $\equiv 264^{\circ} 25'$ Declination $\equiv 9^{\circ} 3',6$

1830. JUNI 25. 18^h 47' W. Zt.

SUEDLICHE ATLANTISCHE OCEAN.

Bei Breite = — 24° 56'
Länge = 322° 41'

Des Sonnenmittel-
punkts

Wahre Höhe.	Magnetisches Azimut.
0° 0' 0"	66° 30'

und hieraus: $d = 66^{\circ} 34' 50''$

$E = 64^{\circ} 0',2$

Magnet. Azim. = 66° 30'

Declination = 2° 29,8 W.

1830. AUGUST 29. 17^h 11' W. Zt.

NOERDLICHE ATLANTISCHE OCEAN.

Bei Breite = $50^{\circ} 40'$
 Länge = $356^{\circ} 5'$

Des Sonnenmittel-
punkts

Wahre Höhe.	Magnetisches Azimut.
$0^{\circ} 0' 0''$	$101^{\circ} 0'$

und hieraus: $d = 80^{\circ} 25' 42''$ $E = 74^{\circ} 48',5$ Magnet. Azim. = $101^{\circ} 0'$ Declination = $26^{\circ} 11',5$ W.

In dem nun folgenden Verzeichnisse von Resultaten der Declinationsbeobachtungen auf der See, ist neben jedem, aufser der Länge und Breite bei welcher es erhalten wurde, die Mittlere Zeit des Ortes in Decimaltheilen des Tages angegeben und durch Hinzufügung eines der Buchstaben h oder a bezeichnet worden, ob die Bestimmung bei einer gemessenen Höhe der Sonne, oder im Augenblicke der Amplitude geschehen ist.

Die den Declinationen beigefügten Buchstaben O. und W. bedeuten, wie früher, respektive eine Oestliche und eine Westliche Declination des nach Norden gerichteten Endes der Horizontalnadeln.

Declinationen auf der See,
in den Jahren 1829 und 1830.

Mittlere Zeit der Beobachtung.	Art	Länge, Ost von Paris.	Breite.	Declination.
-----------------------------------	-----	--------------------------	---------	--------------

Ochozker Meer.

1829. Juli	31,89	h	148° 9',10	58° 14',65	0° 30' O.
— August	1,12	h	148° 21',63	58° 14',65	0° 38' O.
— —	1,90	h	149° 33',08	58° 15',43	2° 56' O.
— —	1,95	h	149° 34',17	58° 14',75	3° 2' O.
— —	2,05	h	149° 37',26	58° 16',72	2° 40' O.

Nördliche große Ocean.

1829. October	20,17	h	168° 49'	48° 15'	10° 23' O.
— —	22,15	h	174° 16'	47° 4'	13° 1' O.
— —	25,82	h	184° 27'	47° 58'	13° 10' O.
— —	28,24	h	195° 14'	49° 54'	21° 1' O.
— —	28,86	h	196° 44'	50° 21'	21° 8' O.
— —	29,14	h	198° 18'	50° 28'	24° 28' O.
— —	29,82	h	200° 52'	50° 59'	25° 40' O.
— —	30,81	h	205° 4'	51° 46'	24° 8' O.
1829. October	31,88	h	207° 44'	53° 0'	25° 36' O.

Mittlere Zeit der Beobachtung.	Art	Länge, Ost von Paris,	Breite.	Declination.
-----------------------------------	-----	--------------------------	---------	--------------

Nördliche große Ocean.

1829. November	26,12	h	223° 35'	48° 27'	21° 56' O.
—	30,75	h	230° 48'	40° 17'	17° 8' O.
— December	1,15	h	231° 21'	39° 48'	16° 13' O.
—	3,87	h	233° 27'	38° 16'	13° 10' O.
—	24,20	a	234° 55'	37° 42'	14° 49' O.
—	24,80	a	233° 55'	37° 5'	14° 54' O.
—	27,83	h	230° 52'	35° 31'	11° 56' O.
—	28,21	a	231° 8'	34° 50'	12° 10' O.
—	29,83	h	231° 53'	31° 48'	11° 41' O.
—	30,21	a	232° 11'	31° 25'	11° 52' O.
—	30,84	h	233° 22'	30° 34'	10° 26' O.
1830. Januar	1,88	h	236° 1'	29° 11'	8° 22' O.
—	2,22	a	236° 3'	28° 55'	9° 30' O.
—	2,79	h	236° 36'	28° 39'	9° 8' O.
—	3,84	h	236° 46'	28° 19'	8° 10' O.
—	4,22	a	236° 42'	28° 4'	11° 57' O.
—	4,78	a	236° 43'	27° 48'	11° 55' O.
—	4,82	h	236° 43'	27° 48'	12° 2' O.
—	5,22	a	236° 44'	27° 28'	11° 53' O.
—	5,78	a	236° 38'	26° 56'	11° 34' O.
—	5,85	h	236° 37'	26° 54'	11° 44' O.
—	8,81	h	235° 55'	23° 43'	8° 8' O.
—	9,22	a	235° 43'	22° 58'	8° 10' O.
—	9,80	h	235° 29'	21° 10'	7° 34' O.
—	12,19	h	234° 26'	15° 15'	5° 30' O.
—	13,24	a	234° 3'	12° 52'	5° 30' O.
—	13,80	h	233° 46'	11° 28'	5° 8' O.
—	16,24	a	233° 52'	8° 3'	5° 4' O.
1830. Januar	16,76	a	233° 56'	7° 42'	5° 19' O.

Mittlere Zeit der Beobachtung.	Art	Länge, Ost von Paris.	Breite.	Declinatio.
-----------------------------------	-----	--------------------------	---------	-------------

Nördliche grofse Ocean.

1830.	Januar	19,24	a	234° 10'	6° 26'	4° 54' O.
—	—	19,78	h	234° 9'	5° 58'	3° 17' O.
—	—	20,24	a	233° 59'	5° 30'	4° 53' O.
—	—	20,76	a	233° 22'	4° 50'	4° 13' O.
—	—	20,77	h	233° 21'	4° 46'	4° 35' O.
—	—	21,24	a	232° 56'	4° 10'	4° 24' O.
—	—	21,77	h	231° 31'	2° 47'	3° 44' O.
—	—	22,24	a	231° 10'	1° 42'	4° 31' O.
—	—	22,75	a	230° 7'	0° 27'	4° 12' O.
—	—	22,76	h	230° 5'	0° 25'	4° 22' O.

Südliche grofse Ocean.

1830.	Januar	23,29	h	229° 6'	— 0° 10'	4° 44' O.
-------	--------	-------	---	---------	----------	-----------

Nördliche grofse Ocean.

1830.	Januar	23,75	a	228° 1'	0° 6'	4° 8' O.
—	—	24,25	a	227° 7'	0° 3'	4° 0' O.

Südliche grofse Ocean.

1830.	Januar	25,25	a	225° 42'	— 0° 53'	4° 29' O.
—	—	25,75	a	225° 17'	— 1° 29'	3° 19' O.
—	—	26,25	a	224° 7'	— 1° 54'	3° 38' O.
—	—	26,75	a	222° 57'	— 1° 48'	3° 43' O.
—	—	27,25	a	221° 44'	— 1° 40'	4° 34' O.
—	—	27,77	h	220° 28'	— 1° 28'	4° 16' O.
—	—	28,26	a	219° 46'	— 1° 38'	4° 12' O.
—	—	28,79	h	218° 46'	— 2° 14'	4° 12' O.
—	—	29,26	a	217° 57'	— 1° 52'	4° 26' O.
—	—	29,74	a	217° 25'	— 2° 53'	4° 17' O.
—	—	30,76	h	216° 26'	— 4° 3'	4° 8' O.
1830.	Januar	31,26	a	216° 5'	— 5° 14'	4° 24' O.

Mittlere Zeit der Beobachtung.	Art	Länge, Ost von Paris.	Breite.	Declination.
-----------------------------------	-----	--------------------------	---------	--------------

Südliche große Ocean.

1830.	Januar	31,74	a	215° 2'	— 6° 30'	4° 40' O.
—	—	31,76	h	214° 17'	— 7° 35'	4° 42' O.
—	Februar	1,27	a	213° 46'	— 8° 37'	4° 32' O.
—	—	1,73	a	213° 15'	— 9° 36'	4° 59' O.
—	—	2,73	a	212° 28'	— 10° 47'	5° 14' O.
—	—	2,77	h	212° 22'	— 11° 32'	5° 4' O.
—	—	4,27	a	212° 0'	— 13° 16'	5° 48' O.
—	—	4,73	a	211° 56'	— 13° 37'	5° 43' O.
—	—	5,79	h	211° 57'	— 14° 23'	6° 30' O.
—	—	6,73	a	211° 27'	— 14° 43'	6° 10' O.
—	—	7,27	a	211° 3'	— 15° 12'	6° 58' O.
—	—	8,27	a	210° 14'	— 14° 46'	6° 47' O.
—	—	8,73	a	210° 12'	— 14° 44'	5° 50' O.
—	—	9,73	a	209° 44'	— 14° 42'	6° 10' O.
—	—	10,73	a	209° 35'	— 14° 50'	6° 10' O.
—	—	11,27	a	209° 27'	— 14° 47'	7° 9' O.
—	—	11,73	h	209° 1'	— 14° 41'	6° 26' O.
—	—	12,73	a	208° 31'	— 15° 34'	6° 44' O.
—	—	13,74	a	208° 10'	— 16° 19'	7° 19' O.
—	—	23,74	a	207° 12'	— 18° 24'	6° 22' O.
—	—	24,28	a	207° 32'	— 19° 28'	7° 25' O.
—	—	24,74	a	207° 31'	— 20° 11'	7° 25' O.
—	—	26,28	a	207° 25'	— 23° 17'	7° 19' O.
—	—	27,28	a	207° 50'	— 25° 14'	8° 4' O.
—	—	27,74	a	208° 7'	— 26° 1'	7° 17' O.
—	—	28,81	h	207° 44'	— 26° 46'	8° 19' O.
—	März	1,28	a	207° 35'	— 27° 7'	8° 56' O.
—	—	2,74	a	208° 37'	— 28° 26'	8° 13' O.
1830.	März	3,28	a	208° 48'	— 29° 0'	7° 58' O.

Mittlere Zeit der Beobachtung.		Art	Länge, Ost von Paris.	Breite.	Declination.	
Südliche große Ocean.						
1830.	März	3,74	a	210° 25'	— 29° 6'	7° 51' O.
—	—	4,28	a	211° 22'	— 28° 37'	9° 32' O.
—	—	4,74	a	211° 9'	— 29° 5'	7° 58' O.
—	—	5,28	a	211° 13'	— 29° 36'	9° 19' O.
—	—	5,74	a	211° 8'	— 30° 14'	8° 21' O.
—	—	9,27	a	212° 42'	— 32° 41'	8° 30' O.
—	—	11,27	a	214° 38'	— 34° 47'	7° 44' O.
—	—	12,26	h	216° 21'	— 35° 9'	7° 31' O.
—	—	14,27	a	217° 41'	— 34° 22'	6° 40' O.
—	—	14,75	a	218° 7'	— 34° 15'	6° 5' O.
—	—	16,23	h	218° 1'	— 35° 21'	8° 16' O.
—	—	17,81	h	215° 53'	— 37° 8'	7° 30' O.
—	—	21,23	h	218° 48'	— 43° 35'	8° 3' O.
—	—	24,25	h	225° 36'	— 45° 3'	8° 50' O.
—	—	26,77	h	230° 54'	— 46° 7'	7° 30' O.
—	—	27,25	a	236° 35'	— 47° 30'	9° 4' O.
—	—	29,19	h	240° 18'	— 48° 10'	11° 15' O.
—	—	29,76	a	242° 39'	— 48° 40'	10° 48' O.
—	—	30,84	h	245° 34'	— 49° 28'	11° 22' O.
—	—	31,24	h	246° 57'	— 49° 50'	11° 38' O.
—	—	31,24	a	247° 3'	— 49° 52'	12° 33' O.
—	April	1,23	h	251° 22'	— 51° 23'	11° 30' O.
—	—	3,76	a	261° 0'	— 54° 11'	15° 9' O.
—	—	3,85	h	263° 46'	— 54° 53'	21° 42' O.
—	—	7,77	a	274° 33'	— 56° 24'	20° 20' O.
—	—	8,82	h	279° 12'	— 55° 58'	23° 29' O.
—	—	9,22	a	279° 34'	— 56° 0'	25° 6' O.
—	—	9,84	h	280° 8'	— 55° 56'	23° 58' O.
1830.	April	10,22	a	280° 51'	— 55° 51'	24° 41' O.

Mittlere Zeit der Beobachtung.	Art	Länge, Ost von Paris.	Breite.	Declination.
-----------------------------------	-----	--------------------------	---------	--------------

Südliche große Ocean.

1830.	April	10,86	h	282° 26'	— 56° 3'	24° 6' O.
—	—	11,78	a	284° 8'	— 56° 43'	26° 9' O.
—	—	11,83	h	284° 12'	— 56° 39'	25° 28' O.

Südliche atlantische Ocean.

1830.	April	19,20	a	297° 56'	— 55° 58'	19° 41' O.
—	—	21,83	h	300° 57'	— 55° 13'	18° 14' O.
—	—	22,20	a	301° 8'	— 54° 57'	19° 42' O.
—	—	26,82	h	305° 5'	— 44° 4'	13° 40' O.
—	—	28,20	h	306° 33'	— 39° 49'	11° 44' O.
—	—	28,81	h	307° 11'	— 38° 29'	11° 16' O.
—	—	29,22	a	307° 25'	— 38° 13'	10° 10' O.
—	—	29,78	a	307° 41'	— 37° 36'	9° 15' O.
—	—	30,22	a	307° 40'	— 36° 54'	9° 34' O.
—	—	30,78	a	308° 13'	— 35° 47'	8° 19' O.
—	—	31,22	a	308° 35'	— 34° 49'	8° 8' O.
—	—	31,81	h	309° 51'	— 33° 18'	7° 16' O.
—	Mai	2,22	a	310° 23'	— 32° 18'	7° 17' O.
—	—	2,77	a	311° 2'	— 30° 51'	5° 13' O.
—	—	3,77	a	312° 15'	— 28° 40'	4° 12' O.
—	—	4,23	a	312° 50'	— 27° 50'	4° 9' O.
—	—	4,77	a	313° 24'	— 26° 38'	3° 31' O.
—	—	5,23	a	312° 52'	— 25° 59'	3° 32' O.
—	—	5,77	a	314° 21'	— 25° 2'	2° 38' O.
—	—	7,23	a	314° 33'	— 24° 24'	2° 45' O.
—	—	8,23	a	314° 29'	— 24° 15'	3° 1' O.
—	—	8,77	a	314° 4'	— 24° 8'	1° 20' O.
—	—	9,77	a	314° 14'	— 24° 13'	1° 0' O.
—	—	11,23	a	314° 44'	— 23° 16'	2° 59' O.
1830.	Juni	19,23	a	315° 2'	— 23° 7'	1° 36' O.

Mittlere Zeit der Beobachtung.	Art	Länge, Ost von Paris.	Breite.	Declination.
-----------------------------------	-----	--------------------------	---------	--------------

Südliche atlantische Ocean.

1830.	Juni	19,77	a	314° 52'	— 23° 10'	1° 42' O.
—	—	20,23	a	315° 21'	— 23° 12'	1° 39' O.
—	—	21,23	a	316° 25'	— 23° 49'	0° 27' O.
—	—	21,77	a	317° 15'	— 24° 13'	0° 51' W.
—	—	22,84	h	318° 52'	— 24° 43'	1° 16' W.
—	—	23,84	h	320° 26'	— 24° 58'	1° 22' W.
—	—	24,23	a	321° 1'	— 24° 51'	2° 0' W.
—	—	24,77	a	321° 54'	— 24° 50'	2° 59' W.
—	—	25,23	a	322° 14'	— 24° 53'	2° 59' W.
—	—	25,77	a	322° 41'	— 24° 56'	2° 30' W.
—	—	26,23	a	323° 11'	— 25° 5'	3° 0' W.
—	—	26,81	h	322° 35'	— 23° 59'	3° 40' W.
—	—	27,23	a	323° 2'	— 24° 7'	2° 54' W.
—	—	27,77	a	322° 50'	— 24° 44'	3° 5' W.
—	—	29,23	a	322° 55'	— 23° 21'	3° 12' W.
—	—	29,77	a	322° 32'	— 22° 42'	3° 21' W.
—	—	30,23	a	322° 31'	— 22° 15'	3° 45' W.
—	Juli	1,23	a	322° 22'	— 20° 56'	3° 45' W.
—	—	1,82	h	322° 27'	— 20° 19'	3° 19' W.
—	—	2,25	h	322° 39'	— 19° 57'	3° 14' W.
—	—	2,77	a	322° 21'	— 19° 33'	3° 35' W.
—	—	3,23	a	322° 38'	— 19° 32'	3° 48' W.
—	—	3,80	h	322° 40'	— 19° 38'	4° 24' W.
—	—	4,77	a	321° 31'	— 19° 0'	4° 39' W.
—	—	5,24	a	322° 36'	— 18° 54'	4° 4' W.
—	—	5,76	a	323° 1'	— 18° 7'	4° 51' W.
—	—	6,24	a	323° 32'	— 17° 31'	4° 31' W.
—	—	6,76	a	323° 42'	— 16° 45'	5° 19' W.
1830.	Juli	7,76	a	324° 16'	— 15° 5'	6° 50' W.

Mittlere Zeit der Beobachtung.	Art	Länge, Ost von Paris.	Breite.	Declination.
-----------------------------------	-----	--------------------------	---------	--------------

Südliche atlantische Ocean.

1830.	Juli	8,24	a	324° 42'	— 14° 22'	6° 8' W.
—	—	8,76	a	324° 54'	— 13° 24'	6° 43' W.
—	—	9,24	a	325° 16'	— 12° 38'	7° 16' W.
—	—	9,76	a	325° 19'	— 11° 44'	7° 25' W.
—	—	10,24	a	325° 32'	— 10° 58'	7° 11' W.
—	—	10,76	a	325° 41'	— 9° 40'	8° 39' W.
—	—	11,24	a	326° 2'	— 7° 47'	9° 7' W.
—	—	11,76	a	326° 19'	— 8° 7'	8° 55' W.
—	—	12,25	a	326° 37'	— 6° 59'	8° 23' W.
—	—	12,77	h	326° 37'	— 5° 42'	9° 22' W.
—	—	13,75	a	326° 42'	— 3° 50'	8° 58' W.
—	—	14,25	a	327° 11'	— 2° 56'	9° 37' W.
—	—	15,25	a	327° 19'	— 1° 21'	9° 19' W.
—	—	15,75	h	327° 11'	— 0° 35'	10° 14' W.
—	—	16,25	a	327° 34'	— 0° 36'	9° 28' W.

Nördliche atlantische Ocean.

1830.	Juli	16,75	a	327° 4'	1° 40'	10° 28' W.
—	—	17,24	h	327° 29'	2° 48'	9° 57' W.
—	—	17,79	h	327° 22'	4° 1'	11° 8' W.
—	—	20,80	h	330° 56'	8° 33'	11° 42' W.
—	—	21,26	a	331° 7'	9° 42'	13° 0' W.
—	—	21,80	h	331° 12'	10° 8'	13° 10' W.
—	—	22,23	h	331° 2'	10° 27'	13° 2' W.
—	—	22,79	h	330° 24'	10° 43'	14° 19' W.
—	—	23,27	a	330° 4'	11° 9'	13° 42' W.
—	—	23,80	h	329° 23'	11° 53'	12° 56' W.
—	—	24,27	a	329° 10'	12° 36'	12° 23' W.
—	—	24,73	a	329° 12'	13° 6'	13° 30' W.
1830.	Juli	25,25	h	329° 16'	13° 30'	12° 32' W.

Mittlere Zeit der Beobachtung.	Art	Länge, Ost von Paris.	Breite.	Declination.
-----------------------------------	-----	--------------------------	---------	--------------

Nördliche atlantische Ocean.

1830.	Juli	26,25	h	328° 26'	14° 33'	12° 48' W.
—	—	26,79	h	327° 36'	15° 13'	13° 8' W.
—	—	27,80	h	326° 32'	16° 20'	12° 36' W.
—	—	29,77	h	327° 16'	18° 47'	13° 2' W.
—	—	31,27	a	322° 25'	21° 14'	12° 25' W.
—	—	31,80	h	322° 0'	22° 6'	11° 30' W.
—	August	1,22	h	319° 31'	22° 52'	12° 12' W.
—	—	2,27	a	320° 16'	24° 31'	11° 28' W.
—	—	3,28	a	319° 31'	26° 23'	13° 7' W.
—	—	3,72	a	318° 48'	28° 12'	14° 33' W.
—	—	5,72	a	317° 12'	30° 20'	14° 56' W.
—	—	6,72	a	317° 38'	30° 44'	15° 11' W.
—	—	7,28	a	317° 45'	31° 4'	15° 55' W.
—	—	8,72	a	316° 46'	32° 31'	15° 25' W.
—	—	9,28	a	316° 37'	32° 58'	16° 5' W.
—	—	9,74	h	316° 38'	32° 48'	16° 50' W.
—	—	10,72	a	316° 16'	33° 33'	16° 28' W.
—	—	11,28	a	316° 9'	33° 46'	17° 34' W.
—	—	11,72	a	315° 47'	33° 43'	17° 8' W.
—	—	12,28	a	315° 47'	34° 2'	16° 50' W.
—	—	13,28	a	315° 53'	34° 31'	16° 46' W.
—	—	13,72	a	315° 53'	34° 57'	17° 21' W.
—	—	14,72	a	316° 49'	35° 42'	17° 28' W.
—	—	15,28	a	317° 35'	36° 16'	18° 36' W.
—	—	16,28	a	318° 45'	37° 12'	18° 31' W.
—	—	16,72	a	319° 25'	37° 39'	19° 40' W.
—	—	17,26	h	320° 28'	38° 19'	21° 26' W.
—	—	17,75	h	321° 21'	39° 7'	22° 1' W.
1830.	August	18,75	h	322° 16'	39° 15'	23° 6' W.

Mittlere Zeit der Beobachtung.	Art	Länge, Ost von Paris.	Breite.	Declination.
-----------------------------------	-----	--------------------------	---------	--------------

Nördliche atlantische Ocean.

1830. August	19,73	h	323° 48'	40° 55'	24° 48' W.
—	20,75	h	324° 59'	41° 39'	25° 16' W.
—	21,72	a	327° 7'	43° 26'	26° 35' W.
—	22,28	a	328° 37'	44° 35'	27° 36' W.
—	22,77	h	330° 2'	45° 31'	28° 16' W.
—	23,28	a	331° 12'	45° 52'	27° 59' W.
—	23,77	h	332° 45'	46° 20'	28° 18' W.
—	24,72	a	336° 47'	47° 3'	27° 51' W.
—	26,28	a	342° 43'	47° 56'	26° 19' W.
—	27,25	h	346° 12'	48° 27'	26° 7' W.
—	27,75	h	348° 8'	48° 57'	25° 54' W.
1830. August	29,72	a	356° 5'	50° 40'	26° 12' W.

Ueber die periodischen Veränderungen der Declination.

THE UNIVERSITY OF CHICAGO
LIBRARY

Ueber Beobachtungen der periodischen Declinations-
Veränderungen in Petersburg, Moskau, Jekata-
rinburg, Tobolsk, Irkuzk, Jakuzk, Ochozk,
Sitcha, San Francisco und Rio-Janeiro, und
deren Anwendung zur Reduktion einmaliger
Declinationsmessungen.

Beobachtungen über Veränderungen der Declination habe ich an allen denjenigen Punkten meines Weges um die Erde angestellt, an denen sie vermöge eines etwas längeren Aufenthaltes erfolgreich werden konnten.

Es wurde dabei die Auffindung der nöthigen Elemente beabsichtigt um, auch für die dazwischen liegenden Punkte, aus einmaligen Declinationsmessungen die mittlere jährliche Declination ableiten zu können. Es leuchtet aber ein daß diesem Hauptzwecke nur in sofern genügt werden konnte, als dieselben Beobachtungen zugleich unsere bisherige Kenntniß der Gesetze für jene periodischen Veränderungen beträchtlich vermehrt hätten. Es mußte namentlich entschieden werden in wiefern oder mit welchen Modificationen die, aus mehrjährigen Beobachtungsreihen gezogenen Folgerungen über dieses Phänomen im nördlichen Europa, auch auf ganz andere Gegenden der Erde anwendbar

seien. Da man aber von vorne herein die Bewegungen einer Horizontalnadel während eines Sonnentages aufser von der Länge der Sonne an demselben, auch noch von der Länge des Beobachtungsortes, von seiner Breite, so wie von der dort statt findenden mittleren Richtung und Intensität der magnetischen Kraft abhängig halten mußte, und zwar selbst dann wenn man von den sogenannten zufälligen d. h. nicht periodischen Störungen ganz ab sah, so hätte es leicht geschehen können daß die Versuche bei einer nur dreijährigen Reise um die Erde nicht einmal eine entfernte Annäherung an die Lösung einer, dann so überaus verwickelten, Aufgabe gewährt hätten. Der wirkliche Erfolg scheint indessen merklich günstiger gewesen zu sein, denn, wenn er auch noch durchaus nicht in einer erschöpfenden Kenntniß der Gesetze für die Declinationsveränderungen an jedem Punkte der Erde besteht, so glaube ich ihn doch als eine mit Sicherheit ausführbare bedeutende Verkleinerung des Einflusses jener periodischen Erscheinungen auf einzelne Declinationsmessungen bezeichnen zu können. Namentlich für alle diejenigen Gegenden in denen dieser Einfluß am größten ist. Es sind aber die hier folgenden und demnächst zu rechtfertigenden Grundsätze durch welche man wie ich glaube zu einer solchen angenäherten Elimination gelangt.

1) Sowohl die Länge des Beobachtungsorts als auch die mittlere Declination sind ohne wesentlichen Einfluß auf die periodischen Declinationsveränderungen oder Variationen.

2) Die Breite der Orte und die Intensität der magnetischen Horizontalcomponente an denselben, wirken nur in der Art daß man überall zwischen etwa 65° und 25° nördlicher Breite, die bei gleicher Sonnenlänge und bei gleichen Tagesstunden statt findenden Variationen, einander gleich annehmen kann, mit der Aussicht den Einfluß derselben auf einzelne Messungen auf weniger als auf die Hälfte jener ursprünglichen GröÙe herab zu setzen. — Die für diese Zone gültigen Variationen gelten auch für die entsprechende Zone in der Südhalbkugel (25° bis 65° südlicher Breite), wenn man ihre Vorzeichen umkehrt, und sie dann in Jahreszeiten anwendet die um 6 Monate nach denjenigen in denen sie in der Nordhalbkugel beobachtet wurden eintreffen.

3) Der Umfang der Variationen an einerlei Ort wird nicht nach Verlauf eines Jahres, sondern erst nach einer, wie es scheint nahe 19jährigen, Periode wiederum derselbe. Man müßte daher wohl, zur Reduktion von Declinationsmessungen welche außer Europa in irgend welchem Jahre gemacht sind, von den Europäischen Beobachtungen einen in jener Periode ähnlich gelegenen Jahrgang anwenden.

Ehe ich zu der Rechtfertigung dieser Grundsätze, welche zum mindesten eine wünschenswerthe Annäherung an die bisher beobachteten Thatsachen gewähren, und zu deren Anwendung auf die Correktion meiner einzelnen Declinationsmessungen übergehe, werde ich meine eigenen Beobachtungen über die periodischen Veränderungen so vollständig mittheilen, daß sie auch bei späteren gründlicheren Untersuchungen über die Gesetze dieser verwickelten Erscheinungen mit angewendet werden können.

Ich habe zu denselben eine der vortreflichen und mehrmals beschriebenen Variationsboussolen von Gambey gebraucht.*) Durch Unterlegung eines gut getheilten Maafsstabes unter die Mikroskope derselben fand ich:

den Abstand der Brennpunkte beider Mikroskope:

metre
0,459

Eine Theilung auf der Bahn der beweglichen Mikroskope:

metre
0,00001

und mithin den, in der Mitte zwischen beiden Brennpunkten gemessenen, Bogen t , welcher einer solchen Theilung entspricht:

$$t = 8,988.$$

Die Ablesung der jedesmaligen Richtung des aufgehängten Magnetstabes geschah indessen nicht unmittelbar an der genannten Bahn für die Mikroskope, sondern vielmehr mittelst der getheilten Elfenbeinplatten welche an den Enden jenes Stabes befestigt sind.

*) Die von Becquerel (*traité de l'électricité etc.* Paris 1840. tome VI. pag. 22. seqq.) gegebene Beschreibung und Zeichnung eines solchen Instrumentes, stimmt in allen Punkten mit dem von mir angewendeten überein.

Eine jede dieser Platten ist mit 11 gleich weit von einander abstehenden und der Axe des Stabes parallelen Strichen versehen, von denen ich den, an der Mitte zwischen beiden Mikroskopen gemessenen, gegenseitigen Abstand zu:

$$36,0075 \times t = 323,764$$

gefunden habe *). Die Stellung des Brennpunktes eines der Mikroskope gegen diese Theilung wurde stets durch Ablesung beider Endpunkte einer Schwingung des Stabes mit einer Sicherheit von etwa $\frac{1}{16}$ der oben genannten Einheit, geschätzt und, zur Beseitigung des Einflusses einer excentrischen Aufhängung der Nadel, sogleich an dem zweiten Mikroskope wiederholt.

Eine jede der Zahlen welche ich hier als einzelne Beobachtungen anführen werde, ist demnächst ohne Ausnahme das arithmetische Mittel von zweien solchen zusammengehörigen Ablesungen an beiden Mikroskopen, und daher mit einem wahrscheinlichen Fehler von 5'' bis 6'' behaftet.

Die einfachen Coconfäden an denen der Magnetstab gehängt wurde konnten zuvor, mittelst der dem Instrumente beigegebenen und hinlänglich bekannten Hilfsmittel zu diesem Zwecke — eines an die Stelle des Stabes aufzuhängenden Kupferstückes von demselben Gewichte, und einer Kreistheilung an der drehbaren Scheibe welche das Ober-ende des Fadens trägt — so angeordnet werden daß sie bei der mittleren Stellung des Stabes, völlig ungewunden waren. Die Spuren von Torsionskraft welche sie dann bei den größten Ausweichungen des Stabes und zwar stets zur Verminderung derselben ausübten, habe ich nicht weiter in Rechnung gebracht. Sie haben aber selbst bei einer Ausweichung des Stabes von 30' sicher nicht über 10' betragen.

In dem folgenden Verzeichniß meiner Beobachtungen findet man die innerhalb gleicher Stunden verschiedener Tage gemachten Ablesungen, in einerlei Horizontalreihe neben ein-

*) Der Künstler hat wahrscheinlich beabsichtigt den oben genannten Bogen um $\frac{1}{100}$ größer und dadurch dem zehnten Theile eines Centesimalgrades oder 324'' gleich zu machen. Ich habe indessen meiner Messung den Vorzug vor der Annahme gegeben daß er diesen Zweck vollständig erreicht habe.

ander. Da aber dieselben an verschiedenen Tagen nicht völlig gleichzeitig geschahen, so ist einer jeden auch noch die Minute der, zu Anfang der Zeile angegebenen, Stunde in welcher sie erhalten wurde, beigesetzt. Ich habe diese Beobachtungsmomente in Wahrer Zeit des jedesmaligen Beobachtungsortes ausgedrückt.

Es kann nun im Allgemeinen jede Ablesung welche an einer Variationsboussole zu einer mit h bezeichneten Tagesstunde, am d ten Tage nach einem beliebigen und nur mäßig entfernten Anfangspunkte der Zeitrechnung geschieht, unter der Form:

$$m + \alpha \cdot d + F(h) + u$$

gedacht werden, wenn

m die der mittleren Declination zur Zeit 0 entsprechende,

Ablesung an dem gebrauchten Instrumente,

α die tägliche Veränderung der mittleren Declination,

$F(h)$ den der Stunde h entsprechenden Werth der periodischen Funktion welche die täglichen Variationen ausdrückt, und

u diejenigen zufälligen Wechsell bedeuten, welche Nordlichter und andere Ursachen, an allen Punkten der Erde gleichzeitig, hervorbringen.

Wäre nun an jedem der n Tage während deren an einem Orte beobachtet sein möge, eine jede Stunde eingehalten worden, so würde das, von dem Einflusse von u möglichst frei zu haltende, arithmetische Mittel einer beliebigen Horizontalreihe oder die Gröfse:

$$m + \alpha \frac{\sum d}{n} + F(h)$$

stets ein und dasselbe von α abhängige Glied enthalten. Die Zusammenstellung dieser arithmetischen Mittel aus den einzelnen Vertikalreihen würde dann unmittelbar den gesuchten Verlauf der täglichen Veränderungen zeigen. — Bei meinen Beobachtungen in Tobolsk, in Irkuzk, in Jakuzk, in Ochozk und bei Rio-Janeiro sind aber, wegen unregelmäßiger Vertheilung der Beobachtungsmomente durch die verschiedenen Tage, die Werthe von

$\frac{\sum d}{n}$ so verschieden ausgefallen, daß der Einfluß von α oder der

progressiven Declinationsveränderung, auf die Mittel aus den Stundenreihen nicht vernachlässigt werden durfte. Ich habe deshalb für diese Orte den Werth von α dadurch bestimmt und in Rechnung gebracht, daß das Mittel einer jeden Horizontalreihe von den einzelnen Angaben in derselben abgezogen, und dadurch eine der Anzahl der Ablesungen gleiche Anzahl Gleichungen von der Form:

$$\alpha \left(d - \frac{\sum d}{n} \right) - v = u$$

$$\alpha \left(d' - \frac{\sum d}{n} \right) - v' = u'$$

in denen $v, v' \dots$ bekannte Zahlen sind, gebildet wurden.

Der wahrscheinlichste Werth von α welcher sich nach der Methode der kleinsten Quadrate ergab, indem man die zufälligen Einflüsse $u, u' \dots$ wie zufällige Beobachtungsfehler betrachtete, wurde dann gebraucht um aus jedem Mittel von der Form:

$$m + \alpha \frac{\sum(d)}{n} + F(h)$$

das gesuchte $m + F(h)$ abzuleiten, welches sich, wiederum mit Angabe der Minute zu der es gehört, am Schlusse der Stundenreihe befindet aus der es entstanden ist.

Zu bequemerer Anwendung habe ich dann noch einer jeden solchen Reihe von Werthen der Function $m + F(h)$, durch graphische Interpolation, eine ihr möglichst nahe kommende aber für die vollen Stunden wahrer Sonnenzeit gültige hinzugefügt.

Date		Time		Place		Remarks	
1	1	1	1	1	1	1	1
2	2	2	2	2	2	2	2
3	3	3	3	3	3	3	3
4	4	4	4	4	4	4	4
5	5	5	5	5	5	5	5
6	6	6	6	6	6	6	6
7	7	7	7	7	7	7	7
8	8	8	8	8	8	8	8
9	9	9	9	9	9	9	9
10	10	10	10	10	10	10	10
11	11	11	11	11	11	11	11
12	12	12	12	12	12	12	12
13	13	13	13	13	13	13	13
14	14	14	14	14	14	14	14
15	15	15	15	15	15	15	15
16	16	16	16	16	16	16	16
17	17	17	17	17	17	17	17
18	18	18	18	18	18	18	18
19	19	19	19	19	19	19	19
20	20	20	20	20	20	20	20
21	21	21	21	21	21	21	21
22	22	22	22	22	22	22	22
23	23	23	23	23	23	23	23
24	24	24	24	24	24	24	24
25	25	25	25	25	25	25	25
26	26	26	26	26	26	26	26
27	27	27	27	27	27	27	27
28	28	28	28	28	28	28	28
29	29	29	29	29	29	29	29
30	30	30	30	30	30	30	30
31	31	31	31	31	31	31	31
32	32	32	32	32	32	32	32
33	33	33	33	33	33	33	33
34	34	34	34	34	34	34	34
35	35	35	35	35	35	35	35
36	36	36	36	36	36	36	36
37	37	37	37	37	37	37	37
38	38	38	38	38	38	38	38
39	39	39	39	39	39	39	39
40	40	40	40	40	40	40	40
41	41	41	41	41	41	41	41
42	42	42	42	42	42	42	42
43	43	43	43	43	43	43	43
44	44	44	44	44	44	44	44
45	45	45	45	45	45	45	45
46	46	46	46	46	46	46	46
47	47	47	47	47	47	47	47
48	48	48	48	48	48	48	48
49	49	49	49	49	49	49	49
50	50	50	50	50	50	50	50
51	51	51	51	51	51	51	51
52	52	52	52	52	52	52	52
53	53	53	53	53	53	53	53
54	54	54	54	54	54	54	54
55	55	55	55	55	55	55	55
56	56	56	56	56	56	56	56
57	57	57	57	57	57	57	57
58	58	58	58	58	58	58	58
59	59	59	59	59	59	59	59
60	60	60	60	60	60	60	60
61	61	61	61	61	61	61	61
62	62	62	62	62	62	62	62
63	63	63	63	63	63	63	63
64	64	64	64	64	64	64	64
65	65	65	65	65	65	65	65
66	66	66	66	66	66	66	66
67	67	67	67	67	67	67	67
68	68	68	68	68	68	68	68
69	69	69	69	69	69	69	69
70	70	70	70	70	70	70	70
71	71	71	71	71	71	71	71
72	72	72	72	72	72	72	72
73	73	73	73	73	73	73	73
74	74	74	74	74	74	74	74
75	75	75	75	75	75	75	75
76	76	76	76	76	76	76	76
77	77	77	77	77	77	77	77
78	78	78	78	78	78	78	78
79	79	79	79	79	79	79	79
80	80	80	80	80	80	80	80
81	81	81	81	81	81	81	81
82	82	82	82	82	82	82	82
83	83	83	83	83	83	83	83
84	84	84	84	84	84	84	84
85	85	85	85	85	85	85	85
86	86	86	86	86	86	86	86
87	87	87	87	87	87	87	87
88	88	88	88	88	88	88	88
89	89	89	89	89	89	89	89
90	90	90	90	90	90	90	90
91	91	91	91	91	91	91	91
92	92	92	92	92	92	92	92
93	93	93	93	93	93	93	93
94	94	94	94	94	94	94	94
95	95	95	95	95	95	95	95
96	96	96	96	96	96	96	96
97	97	97	97	97	97	97	97
98	98	98	98	98	98	98	98
99	99	99	99	99	99	99	99
100	100	100	100	100	100	100	100

1828. Juni

Wahre Zeit.	Juni 12.		Juni 13.		Juni 14.	
0 ^h	37'	+ 7' 23''	37'	+ 7' 23''
1	37	+ 7 23	37	+ 9 33
2	37	+ 9 8	41	+ 9 57
3	37	+ 7 17
4	37	+ 5 13
5	20	+ 2 56
	38	+ 4 4
6	34	+ 0 20
7	36	— 0 43
8	36	— 0 51
9	41	+ 0 30
10	34	— 1 16
11	35	— 4 30	38'	— 2' 9''
12	37	— 3 54	37	— 1 23
13	37	+ 1 59	55	— 3 14
14	35	— 1 0	36	— 3 5
15	35	— 1 56	36	— 2 25
16	38	— 2 53	36	— 3 30
17	36	— 5 0
	8	— 6 8	40	— 8 8
18	35	— 6 56	34	— 7 9
19	34	— 8 1	34	— 5 7
20	39	— 8 33	35	— 2 9
21	36	— 6 50	35	— 1 28
22	42	— 0 43	37	— 0 45
23	37	+ 4 8		

12 bis 15.

Juni 15.		Mittel für Juni 12 — 15.		Wahre Zeit. Juni 12 — 15.	
38'	+ 4' 20"	37'	+ 5' 51"	0 ^h 0'	+ 3' 16"
36	+ 7 58	37	+ 8 13	1 0	+ 7 4
34	+ 5 33	37	+ 7 33	2 0	+ 8 20
...	...	37	+ 7 17	3 0	+ 7 24
...	...	37	+ 5 13	4 0	+ 6 55
...	...	29	+ 3 30	5 0	+ 4 28
...	...	34	+ 0 20	6 0	+ 2 0
...	...	36	— 0 43	7 0	— 0 16
...	...	36	— 0 51	8 0	— 0 49
...	...	41	+ 0 30	9 0	— 0 29
...	...	34	— 0 6	10 0	+ 0 29
...	...	37	— 3 20	11 0	— 1 30
...	...	37	— 2 38	12 0	— 3 26
...	...	46	— 0 38	13 0	— 1 39
...	...	35	— 2 2	14 0	— 0 50
...	...	35	— 2 10	15 0	— 2 17
...	...	37	— 3 11	16 0	— 2 5
...	...	36	— 5 0	17 0	— 2 32
...	...	31	— 7 20	18 0	— 6 11
...	...	34	— 7 35	19 0	— 7 39
...	...	39	— 6 50	20 0	— 7 22
...	...	36	— 4 30	21 0	— 6 0
...	...	38	— 1 5	22 0	— 3 9
...	...	37	+ 1 41	23 0	0 0

1828. Juli

Wahre Zeit.	Juli 25.		Juli 26.		Juli 27.	
0 ^h	51'	+ 5' 35"
1	46'	+ 5' 7"	49	+ 9 33
2	56	+ 4 28		
3	6	+ 2 5		
4				
5				
6				
7				
8				
9			21	+ 2 0
10			16	- 3 0
11	6	- 2 36	40	- 2 11
12				
13				
14				
15				
16				
17				
18				
19	54	- 9 29		
20	36	- 6 6	56	- 3 36
21	50	- 1 39	56	+ 0 6
22	56'	+ 2' 33"	54	+ 2 8		
23	56	+ 3 29	18	+ 2 49		

25 bis 28.

Juli 28.		Mittel für Juli 25 — 28.		Wahre Zeit. Juli 25 — 28.	
...	...	51'	+ 5' 35"	0 ^h 0'	+ 3' 43"
8'	+ 7' 8"	36	+ 7 9	1 0	+ 6 8
...	2 0	+ 7 13
3	+ 7 0	4	+ 4 32	3 0	+ 4 47
6	+ 3 13	6	+ 3 13	4 0	+ 3 17
...	5 0	+ 2 23
36	+ 0 47	36	+ 0 47	6 0	+ 1 28
...	7 0	+ 0 17
...	8 0	+ 0 32
...	...	21	+ 2 0	9 0	+ 2 20
...	...	28	— 2 35	10 0	— 1 55
...	...	6	— 2 36	11 0	— 2 36
...
...
...
...
...
...
...
...	...	54	— 9 29	19 0	— 9 28
...	...	46	— 4 51	20 0	— 9 5
...	...	53	— 0 46	21 0	— 3 7
...	...	55	+ 2 21	22 0	— 0 23
...	...	37	+ 3 9	23 0	+ 2 40

1828. August 31

Wahre Zeit.	August 31.	September 1.	Septem
0 ^h +	0 0	18'	+ 2' 50"
1 +	0 0	4	+ 3' 38"
2 +	0 0	52	+ 5' 24"
3 +	0 0	56	+ 5' 24"
4 +	0 0		16'
5 +	0 0		49
6 +	0 0		26
7 +	0 0	44	+ 1' 53"
8 +	0 0		
9 +	0 0	39	+ 1' 53"
10	0 0		
11	0 0		
12	0 0		
13	0 0		
14	0 0		
15	0 0		
16	0 0		
17	0 0		
18	0 0		
19	0 0		
20	0 0	4	- 5' 40"
21	0 0	15	- 3' 23"
22	0 0	59	- 1' 37"
23	49'	+ 0' 19"	
0 ^h +	0 0	0 0	

Table of the ...

0 1 +	0 1	0 2 +	0 1
0 2 +	0 2	0 3 +	0 2
0 3 +	0 3	0 4 +	0 3
0 4 +	0 4	0 5 +	0 4
0 5 +	0 5	0 6 +	0 5
0 6 +	0 6	0 7 +	0 6
0 7 +	0 7	0 8 +	0 7
0 8 +	0 8	0 9 +	0 8
0 9 +	0 9	0 10 +	0 9
0 10 +	0 10	0 11 +	0 10
0 11 +	0 11	0 12 +	0 11
0 12 +	0 12	0 13 +	0 12
0 13 +	0 13	0 14 +	0 13
0 14 +	0 14	0 15 +	0 14
0 15 +	0 15	0 16 +	0 15
0 16 +	0 16	0 17 +	0 16
0 17 +	0 17	0 18 +	0 17
0 18 +	0 18	0 19 +	0 18
0 19 +	0 19	0 20 +	0 19
0 20 +	0 20	0 21 +	0 20
0 21 +	0 21	0 22 +	0 21
0 22 +	0 22	0 23 +	0 22
0 23 +	0 23	0 24 +	0 23
0 24 +	0 24	0 25 +	0 24
0 25 +	0 25	0 26 +	0 25
0 26 +	0 26	0 27 +	0 26
0 27 +	0 27	0 28 +	0 27
0 28 +	0 28	0 29 +	0 28
0 29 +	0 29	0 30 +	0 29
0 30 +	0 30	0 31 +	0 30
0 31 +	0 31	0 32 +	0 31
0 32 +	0 32	0 33 +	0 32
0 33 +	0 33	0 34 +	0 33
0 34 +	0 34	0 35 +	0 34
0 35 +	0 35	0 36 +	0 35
0 36 +	0 36	0 37 +	0 36
0 37 +	0 37	0 38 +	0 37
0 38 +	0 38	0 39 +	0 38
0 39 +	0 39	0 40 +	0 39
0 40 +	0 40	0 41 +	0 40
0 41 +	0 41	0 42 +	0 41
0 42 +	0 42	0 43 +	0 42
0 43 +	0 43	0 44 +	0 43
0 44 +	0 44	0 45 +	0 44
0 45 +	0 45	0 46 +	0 45
0 46 +	0 46	0 47 +	0 46
0 47 +	0 47	0 48 +	0 47
0 48 +	0 48	0 49 +	0 48
0 49 +	0 49	0 50 +	0 49
0 50 +	0 50	0 51 +	0 50
0 51 +	0 51	0 52 +	0 51
0 52 +	0 52	0 53 +	0 52
0 53 +	0 53	0 54 +	0 53
0 54 +	0 54	0 55 +	0 54
0 55 +	0 55	0 56 +	0 55
0 56 +	0 56	0 57 +	0 56
0 57 +	0 57	0 58 +	0 57
0 58 +	0 58	0 59 +	0 58
0 59 +	0 59	0 60 +	0 59
0 60 +	0 60	0 61 +	0 60
0 61 +	0 61	0 62 +	0 61
0 62 +	0 62	0 63 +	0 62
0 63 +	0 63	0 64 +	0 63
0 64 +	0 64	0 65 +	0 64
0 65 +	0 65	0 66 +	0 65
0 66 +	0 66	0 67 +	0 66
0 67 +	0 67	0 68 +	0 67
0 68 +	0 68	0 69 +	0 68
0 69 +	0 69	0 70 +	0 69
0 70 +	0 70	0 71 +	0 70
0 71 +	0 71	0 72 +	0 71
0 72 +	0 72	0 73 +	0 72
0 73 +	0 73	0 74 +	0 73
0 74 +	0 74	0 75 +	0 74
0 75 +	0 75	0 76 +	0 75
0 76 +	0 76	0 77 +	0 76
0 77 +	0 77	0 78 +	0 77
0 78 +	0 78	0 79 +	0 78
0 79 +	0 79	0 80 +	0 79
0 80 +	0 80	0 81 +	0 80
0 81 +	0 81	0 82 +	0 81
0 82 +	0 82	0 83 +	0 82
0 83 +	0 83	0 84 +	0 83
0 84 +	0 84	0 85 +	0 84
0 85 +	0 85	0 86 +	0 85
0 86 +	0 86	0 87 +	0 86
0 87 +	0 87	0 88 +	0 87
0 88 +	0 88	0 89 +	0 88
0 89 +	0 89	0 90 +	0 89
0 90 +	0 90	0 91 +	0 90
0 91 +	0 91	0 92 +	0 91
0 92 +	0 92	0 93 +	0 92
0 93 +	0 93	0 94 +	0 93
0 94 +	0 94	0 95 +	0 94
0 95 +	0 95	0 96 +	0 95
0 96 +	0 96	0 97 +	0 96
0 97 +	0 97	0 98 +	0 97
0 98 +	0 98	0 99 +	0 98
0 99 +	0 99	0 100 +	0 99

Ich habe nun zunächst noch eine jede der vorstehenden Zahlenreihen die sich als Resultate aus den Variationsbeobachtungen an einem einzelnen Orte ergeben hatte, durch eine der folgenden Sinus-Functionen ausgedrückt, und namentlich für Moskau und Jekatarinburg, wo an den wenigen Beobachtungstagen mehrere Stunden ausgefallen waren, nur 4 Glieder, für die übrigen Orte aber deren 12 bestimmt. Man wird sich leicht überzeugen, dass diese Ausdrücke den durch sie darzustellenden Größen meistens sehr nahe kommen. Der Stundenwinkel der Sonne in dem Augenblicke für welchen der beobachtete Stand der Nadel berechnet werden soll, ist in denselben durch x bezeichnet, und es ergibt sich somit:

Für Petersburg 1828. Juni 12 bis Juni 15.

$$-15''.8 + 128''.8 \cos x + 272''.7 \sin x + 84''.0 \cos 2x + 195''.8 \sin 2x \\ + 44''.0 \cos 3x + 51''.5 \sin 3x - 23''.8 \cos 4x - 25''.0 \sin 4x \\ + 12''.7 \cos 5x - 11''.8 \sin 5x - 20''.8 \cos 6x + 27''.5 \sin 6x$$

Für Moskau. 1828. Juli 25 bis Juli 28.

$$-159''.3 + 276''.8 \cos x + 429''.2 \sin x + 139''.8 \cos 2x - 44''.9 \sin 2x.$$

Für Jekatarinburg. 1828. August 31 bis September 2.

$$-56''.5 + 39''.5 \cos x + 258''.5 \sin x + 92''.6 \cos 2x + 48''.6 \sin 2x.$$

Für Tobolsk. 1828. November 5 bis November 18.

$$+ 14''.7 + 53''.9 \cos x + 9''.9 \sin x - 15''.7 \cos 2x + 82''.8 \sin 2x \\ + 20''.8 \cos 3x + 11''.7 \sin 3x + 0''.2 \cos 4x + 12''.6 \sin 4x \\ + 3''.0 \cos 5x - 9''.6 \sin 5x + 4''.8 \cos 6x + 6''.7 \sin 6x.$$

Für Irkuzk. 1829. Februar 27 bis März 11.

$$+ 1''.5 - 1''.6 \cos x + 78''.1 \sin x - 6''.6 \cos 2x + 84''.1 \sin 2x \\ + 17''.3 \cos 3x + 54''.2 \sin 3x + 10''.0 \cos 4x + 18''.2 \sin 4x \\ + 5''.0 \cos 5x - 11''.0 \sin 5x - 10''.6 \cos 6x + 3''.8 \sin 6x.$$

Für Jakuzk. 1829. April 8 bis April 10.

$$+ 47''.4 + 35''.4 \cos x + 248''.9 \sin x - 7''.3 \cos 2x + 230''.0 \sin 2x \\ + 7''.2 \cos 3x + 145''.7 \sin 3x - 4''.0 \cos 4x + 56''.5 \sin 4x \\ + 24''.3 \cos 5x + 4''.3 \sin 5x + 8''.2 \cos 6x - 26''.3 \sin 6x.$$

Für Ochozk. 1829. Mai 21 bis Juni 21.

$$-31''.2 + 49''.0 \cos x + 167''.9 \sin x + 138''.8 \cos 2x + 128''.3 \sin 2x \\ + 47''.8 \cos 3x + 20''.2 \sin 3x - 51''.5 \cos 4x - 6''.7 \sin 4x \\ - 28''.4 \cos 5x + 23''.0 \sin 5x - 2''.7 \cos 6x - 21''.9 \sin 6x.$$

Für Sitcha. 1829. November 9 bis November 11.

$$\begin{aligned} & -12'',8 + 239'',1 \cdot \cos x + 26'',1 \cdot \sin x + 65'',6 \cdot \cos 2x + 46'',0 \cdot \sin 2x \\ & + 205'',9 \cdot \cos 3x + 136'',7 \cdot \sin 3x - 23'',2 \cdot \cos 4x - 28'',9 \cdot \sin 4x \\ & + 16'',9 \cdot \cos 5x + 176'',3 \cdot \sin 5x + 20'',1 \cdot \cos 6x - 11'',8 \cdot \sin 6x. \end{aligned}$$

Für San Francisco. 1829. December 20 bis December 21.

$$\begin{aligned} & -44'',3 + 17'',0 \cdot \cos x + 80'',6 \cdot \sin x - 10'',1 \cdot \cos 2x + 55'',6 \cdot \sin 2x \\ & - 17'',0 \cdot \cos 3x + 59'',0 \cdot \sin 3x - 0'',2 \cdot \cos 4x + 43'',2 \cdot \sin 4x \\ & - 20'',1 \cdot \cos 5x - 18'',3 \cdot \sin 5x - 16'',7 \cdot \cos 6x + 14'',8 \cdot \sin 6x. \end{aligned}$$

Für Rio - Janeiro. 1830. Mai 24 bis Juni 14.

$$\begin{aligned} & - 0'',3 - 23'',4 \cdot \cos x + 18'',9 \cdot \sin x - 0'',7 \cdot \cos 2x - 18'',9 \cdot \sin 2x \\ & + 9'',7 \cdot \cos 3x - 33'',1 \cdot \sin 3x + 11'',0 \cdot \cos 4x - 23'',4 \cdot \sin 4x \\ & - 3'',9 \cdot \cos 5x - 25'',9 \cdot \sin 5x - 8'',6 \cdot \cos 6x + 6'',7 \cdot \sin 6x. \end{aligned}$$

Vergleichungen mit den Resultaten ähnlicher Beobachtungen an andern Orten dürften vielleicht durch diese Ausdrücke für die meinigen erleichtert werden; die folgenden Angaben sind indessen nicht auf denselben begründet, sondern theils unmittelbar auf den vorstehenden Zahlenreihen (Seite 496 bis 510.) theils auf einer bloß graphischen Interpolation dieser letzteren.

Zur Bestimmung des mittleren Werthes der zufälligen Declinationsveränderungen an den einzelnen Orten, (u, Seite 493.) habe ich von jeder oben angegebenen Beobachtung über den Stand der Gambey'schen Nadel, denjenigen Werth, $m + F(h)$, abgezogen welchen die Zahlenreihe mit der Ueberschrift: Mittel, für denselben Augenblick ergibt, nachdem ihr, allgemein zu reden, noch die mit ad bezeichnete Correction wegen der progressiven Declinationsänderung hinzugefügt worden war. — Wenn n solcher Unterschiede an einem Orte bestimmt waren habe ich dann $U = \sqrt{\frac{\sum u^2}{n}}$ für den mittleren Werth der zufälligen Declinationsveränderung an denselben angenommen, das von der Anzahl und der Vertheilung der Beobachtungen abhängige Gewicht dieser Bestimmung aber nicht weiter berücksichtigt.

In diesem Sinne war nun:

in Petersburg. 1828. Juni 12 bis Juni 15.

$$U = 1',5 \text{ bei } n = 33.$$

Die größten Werthe waren

Juni 12 13^h $u = + 2',6$

Juni 14 13^h $u = - 2',6$.

Es darf aber, wie sich von selbst versteht nicht angenommen werden, weder in diesem noch in den hier nächst zu nennenden ähnlichen Fällen, daß an nur zwei Tagen alle Umstände wirklich vorgekommen seien welche, für den Ort und die Jahreszeit der Beobachtung, die größten Unregelmäßigkeiten hervorbringen. — Uebrigens war

von Juni 12 0^h bis Juni 13 2^h heller Himmel.
und von Juni 14 11^h bis Juni 15 2^h ganz trübes
Wetter.

In Moskau 1828. Juli 25 bis Juli 28.

$U = 1',4$ bei $n = 13$.

Der größte Werth war:

Juli 26 1^h $u = - 2',5$

während der Beobachtungen war durchgängig heller Himmel.

In Jekatarinburg 1828. August 31. bis September 2.

$U = 2',4$ bei $n = 4$

da für die Stunden in denen nur einmal beobachtet worden, natürlich nicht verglichen wurde.

Der größte Werth war

September 2 2^h $u = - 3',6$.

An den drei Beobachtungstagen war: heller Himmel.

In Tobolsk 1828. November 5 bis November 18 *).

$U = 1',6$ bei $n = 87$.

*) Diese Beobachtungen stehen auf Seite 505 und 506. anstatt unmittelbar auf die in Jekatarinburg zu folgen, weil durch ein Versehen beim Drucke, die Beobachtungen bei Rio Janeiro mit pag. 503 und 504. bezeichnet worden sind.

Die größten Werthe waren:

November 11 10^h $u = -5,8$

wobei ein Nordlichtsbogen gesehen wurde, der seinen Scheitel fast in dem magnetischen Ost-Punkte hatte, wegen nebliger Luft aber nur schwach schien. (Vergl. diesen Berichtes Abth. I. Bd. I. pag. 524.)

November 11 22^h $u = -7,1$

November 9 7^h $u = -5,6$.

Um 6^h 50' war auch die Nadel ohne bekannte Ursache, in starke Schwingung gerathen; 15' später, als sich der bis dahin bedeckte Himmel aufhellte, war nichts Nordlicht-artiges zu sehen.

An allen andren Tagen waren die Unterschiede (u) ihrem angegebenen mittleren Werthe (U) ziemlich nahe.

In Irkuzk 1829. Februar 27 bis März 11.

$U = 1,7$ bei $n = 101$.

Der größte Werth war:

März 10. 21^h $u = -3,9$.

März 7. um 16^h 28' W. Zt. war in Irkuzk ein Erdbeben ohne dafs, weder 2 Stunden später noch auch im Laufe des vorhergehenden und des folgenden Tages, die Werthe von u merklich stärker als der mittlere wurden. (Vergl. diesen Ber. Abth. I. Bd. 2. pag. 179.) Während der ganzen Dauer der Beobachtungen war der Himmel meist hell und die wärmende Wirkung der Sonne durch Trockenheit der Luft auffallend begünstigt.

Von Februar 27 bis März 1. 7^h befanden sich Magnete in der Nähe der Nadel, von denen einige um Februar 28. 22^h, die übrigen um März 1. 7^h entfernt wurden. Die Ablenkung gegen Osten welche das Nord-Ende der Nadel respektive von allen und von den zuletzt entfernten erfahren hatte, habe ich mit x und y bezeichnet und die Werthe dieser Gröfsen zugleich mit

dem von α (oben Seite 494) bestimmt. Namentlich fand sich:

$$x = + 8' 6'', 7.$$

$$y = - 4' 36'', 7.$$

In Jakuzk 1829. April 8 bis April 19.

$$U = 3,5 \text{ bei } n = 88.$$

Die grössten Werthe waren:

$$\text{April 15. } 18^h u = + 12,0$$

$$\text{April 10. } 22^h u = - 9,8$$

$$\text{April 18. } 22^h u = + 9,0.$$

Es war bewölkter Himmel von April 8. 12^h bis April 9. 0^h ; und von April 12. 20^h bis April 14. 6^h , und heller Himmel während der übrigen Beobachtungszeit.

Des Nachts verminderte sich die Lufttemperatur gewöhnlich bis zu -17° R. und wuchs meistens am Tage (zwischen 2^h und 3^h) bis zu $+1^\circ,5$.

In Ochozk 1829. Mai 21 bis Juni 21.

$$U = 2,6 \text{ bei } n = 138$$

Die grössten Werthe waren:

$$\text{Mai 31. } 4^h u = + 8,7$$

$$\text{Juni 20. } 5^h u = + 10,0.$$

Der Himmel war abwechselnd: hell bei westlichen, oder bewölkt und neblig, bei östlichen Winden. Die Lufttemperatur änderte sich zwischen den Gränzen -1° und $+11^\circ$ R. Von Nordlichtern wurde nichts bemerkt.

Auf Sitcha 1829. November 9 bis November 11.

Ogleich die Werthe von u wegen der geringen Dauer der Beobachtungen nicht bestimmt werden können, so

ist doch sehr wahrscheinlich daß sie außerordentlich groß gewesen sind, indem auch während der Nacht (Novbr. 9. 14^b bis 16^b) Declinationsveränderungen von mehr als 20° vorkamen.

Ein Nordlicht von welchem, trotz nebliger Luft, die aufflammenden Säulen sehr hell leuchteten habe ich auf Sitcha sogleich nach den Beobachtungen über Declinationsveränderungen: November 12 um 10^b 30' und in den folgenden Stunden, gesehen *).

Erst November 21. 24. und 25. hat Capitain Ross in 69° 67' Breite und 43° 4' östlich von Sitcha, andre ausgezeichnet helle Nordlichter, jedoch auch schon November 13 und 14. nordlichtähnliche Trübungen der Atmosphäre beobachtet, von denen man wohl einen Zusammenhang mit dem vorgenannten vermüthen und dadurch die unregelmäßigen Bewegungen der Horizontalnadel auf Sitcha während unseres dortigen Aufenthaltes analoger finden dürfte. — Auch ist es bemerkenswerth daß ich sowohl 1828 bei Tobolsk als auch 1829 in Nordamerika, Nordlichte und auffallende magnetische Unregelmäßigkeiten gerade an den Tagen von November 9 bis 15 beobachtete, von welchen man seitdem erfahren hat, daß sie durch die Erscheinungen der periodischen Sternschnuppen ausgezeichnet sind. Dieses Zusammentreffen hat man um so mehr zu beachten, als auch in spätern Jahren in Europa schon mehrmals starke Nordlichter, theils gleichzeitig mit den periodischen Sternschnuppen, theils anstatt derselben, in den Stunden wo man sie erwartete, gesehen worden sind.

*) Der Einfluß desselben auf die Inclination und Intensität der magnetischen Kraft scheint nach den früher mitgetheilten Zahlen (oben Seite 208 und 209) äußerst gering und demnach ganz verschieden gewesen zu sein von dem des Nordlichts das ich in Bérésow beobachtete und durch welches sich

die Inclination um 6,92 vermehrt und die Horizontal-Intensität um 0,00492 bis 0,00364 vermindert fand. (oben Seite 137 und 138).

Bei San Francisco 1829. December 20 bis December 22.

Der Himmel war dicht bewölkt, während der ganzen Dauer der Beobachtungen.

Bei Rio - Janeiro 1830. Mai 24 bis Juni 14. *)

$$U = 1,0 \text{ bei } n = 125.$$

Die größten Werthe waren:

$$\text{Mai } 31 \text{ } 20^h \text{ } u = + 2,1$$

$$\text{Juni } 10 \text{ } 21^h \text{ } u = - 2,9.$$

Von Mai 27 bis Juni 2 war das Wetter trübe mit zum Theil sehr reichlichen Regenschauern, in der übrigen Zeit war meist ganz unbewölkter Himmel.

**) Die Beobachtungen stehen unter pag. 503 und 504 (siehe die Anmerkung zu Seite 515.)

Durch Interpolation derjenigen unter den vorstehenden Zahlenreihen welche die mittleren oder periodischen Declinationsveränderungen an einzelnen Orten darstellen, (Seite 496 bis 510) ergeben sich ferner die folgenden Resultate über den jedesmaligen Betrag dieser periodischen Veränderungen und über die Tageszeiten für die östlichste und die westlichste Lage des magnetischen Meridianes.

		Betrag der perio- dischen Declina- tionsver- änderun- gen.	Wahre Zeit	Mittlere Zeit für die	Wahre Zeit	Mittlere Zeit		
			östlichste		westlichste			
			Lage des magnetischen Meridianes.					
1828.	Juni 13. . .	16' 2"	19 ^h 12'	19 ^h 12'	2 ^h 7'	2 ^h 7'	Petersburg.	
—	Juli 26. . .	16 53	19 15	19 21	1 55	2 1	Moskau.	
—	Septbr. 1. .	11 22	19 40	19 40	1 55	1 55	Jekatarin- burg.	
—	Novbr. 12..	5 28	10 0 20 44	9 44 20 28	1 38	1 42	Tobolsk.	
1829.	März 5. . .	8 36	20 58	21 10	2 27	2 39	Irkuzk.	
—	April 13. . .	19 30	21 12	12 13	2 50	2 51	Jakuzk.	
—	Juni 6. . .	14 6	(19 5	19 3)	2 14	2 12	Ochozk.	
—	Novbr. 10. .	(15 30)	(19 18	19 2)	(1 50	1 34)	Sitcha.	
—	Decbr. 20. .	6 28	(21 48	21 46)	2 50	2 48	San Fran- cisco.	
1830.	Juni 4. . . .	3 11	2 10	2 8	(22 50	22 48)	Rio-Janeiro.	

Ich habe hier durch () diejenigen Angaben ausgezeichnet welche vermöge der Vertheilung der Beobachtungen aus denen sie hervorgehen, beträchtlich geringere Sicherheit als die übrigen besitzen. Man sieht aber nach den übrigen daß in der Nordhalbkugel der Erde

eine zwischen $19^h 12'$ und $21^h 12'$ gelegene Stunde überall eine
östlichste, und

$1^h 55'$. $2^h 50'$ gelegene Stunde überall eine
westlichste

Lage des magnetischen Meridians herbeigeführt hat.

Ein zweites östliches Maximum welches sich noch außer dem genannten, in fast allen Beobachtungsreihen zeigt, ist bei der im Winter (November) in Tobolsk erhaltenen, von stärkerem Betrage als jenes erstere.

In der Südhalbkugel der Erde (bei Rio - Janeiro) war die Bedeutung der Stunden $20^h - 23^h$ und $2^h 12'$ die umgekehrte von der ihnen bei nördlicher Breite zukommenden, indem die erstere die westlichste, die zweite die östlichste Lage des Nordendes der Horizontalnadel herbeiführte.

Der Betrag der von mir beobachteten Declinationsveränderungen ist, zu Folge der hinlänglich sicheren Reihen, im April am stärksten gewesen (Jakuzk), und im November am schwächsten (Tobolsk) wobei aber zu bemerken ist dafs von December nur die, nicht lange genug fortgesetzten, Beobachtungen in San Francisco vorkommen.

Herr Professor Hansteen hatte aus den Beobachtungen über periodische Declinationsveränderungen welche bis zum Jahre 1819 in Stockholm, in London und in Paris angestellt worden waren, geschlossen, dafs deren Resultate sowohl in Ansehung des, in den einzelnen Monaten verschiedenen Betrages der Oscillationen, als auch der Zeit des täglichen Maximum und Minimum der Westdeclination sehr nahe übereinstimmten, indem sie für die erstere etwa $2''$ für die andere etwa $20''$ angäben*). — Er bemerkte aber dafs man alle diese Europäischen Beobachtungen, hinsichtlich der Gröfse der ganzen Erdoberfläche, fast als an demselben Punkte angestellt zu betrachten habe, und dafs es um so nothwendiger sei die Gröfse und Beschaffenheit der periodischen Declinationsveränderungen an weiter von einander entfernten Orten zu untersuchen, als unter den damals vorhandenen Wahrnehmungen von Reisenden mehrere anzudeuten schienen dafs, sowohl

*) Hansteen, Magnetismus der Erde u. s. w. Christiania 1819. Ato. Thl. I. pag. 451, 460. —

die GröÙe dieser Oscilationen als auch und vorzüglich die Zeiten der Maxima, auÙerhalb Europa ganz verschieden seien von den für Europa gültigen. — Es ist demnach nicht unwichtig, daÙ wir nun an Orten der nördlichen Halbkugel, welche respektive um etwa $27^{\circ},95$ $35^{\circ},25$ $58^{\circ},23$ $65^{\circ},92$ $101^{\circ},99$ $127^{\circ},41$ $140^{\circ},85$ $222^{\circ},24$ und $235^{\circ},25$ östlich von Paris liegen, die Tageszeiten für das Maximum und Minimum der Westabweichung, innerhalb der Unsicherheit ihrer Bestimmungen, ganz ebenso wie sie für Europa bekannt waren und an einem um $314^{\circ},58$ O. von Paris in der südlichen Halbkugel gelegenen Punkte, für dieselben Tageszeiten eine, nur ihrem Vorzeichen nach verschiedene Bedeutung, gefunden haben. —

Mehrere neuere Bestätigungen dieser zwei Thatsachen wird man aus den Beobachtungen über periodische Declinationsveränderungen während der Reisen der Capitaine Duperrey und Freycinet, welche in Becquerel traité de l'électricité, tome VI. abgedruckt sind, leicht entnehmen können. Ich werde aber hier zu vollständigerer Vergleichung des Ganges dieser periodischen Erscheinungen unter verschiedenen Meridianen und bei sehr verschiedenen Werthen der magnetischen Horizontalintensität, die Resultate aus den obigen Zahlenreihen mit denjenigen zusammenstellen welche ich aus den vortrefflichen Beobachtungen Russischer Bergwerks-Ingenieure, über Declinationsveränderungen in Petersburg und in Jekatarinburg während der Jahre 1837 und 1838 und in Barnaul während des Jahres 1838, gezogen habe.

Zu diesem Zwecke habe ich aus den auf die gewöhnliche Kreistheilung reduzierten Angaben welche das: *Annuaire magnet. et météorol. du corps des ingen. des mines de Russie etc. années 1837 et 1838. 4^e Petersburg 1839 und 1840.*, über die Declinationen enthält welche an den genannten Orten täglich zwischen 20^h und 10^h von 2 zu 2 Stunden statt fanden, zuerst, für einen jeden derselben und für eine jede Beobachtungsstunde, ein monatliches Mittel gebildet, sodann aber, um diese Resultate für die verschiedenen Orte vergleichbar zu machen, von einer jeden dieser Zahlen das zu demselben Jahrgange und Orte gehörige Mittel aller Beobachtungen abgezogen. Es wurde auf diese Weise die Ab-

weichung von der mittleren jährlichen Declination (die ich westlich, positiv nehme) wenn man unter h die ganzen Zahlen 0 1... 5 so wie 10 und 11, und unter m die ganzen Zahlen 1 bis 12 versteht, allgemein für jede 2^{te} Tagesstunde und jeden mten Monat aus je 28 bis 31 Beobachtungen erhalten, und zwar eine jede für:

Petersburg 1837

1838

Jekaterinburg 1837

1838

Barnaul . . . 1838.

Diese fünf Werthe zeigten sich aber, in sofern sie zu gleichen Momenten gehörten, meist so übereinstimmend dafs es mir genügend schien hier anstatt der einzelnen nur die Mittel aus denselben zu benutzen. Ist nun: z_m^{2h} eine der auf diese Weise erhaltenen Zahlen, und, wie früher, $f(2h)$ eine aus meinen obigen Zahlenreihen entnommene, so habe ich, um beide von übereinstimmenden Anfangspunkten an zu zählen, anstatt der ersteren die Gröfse:

$$z_m^{2h} - \frac{1}{4} \Sigma z_m^{2h} = z_m^{2h} - s_m$$

und anstatt der anderen

$$f(2h) - \frac{1}{4} \Sigma f(2h)$$

angesetzt, wobei in beiden Fällen die angedeutete Summation nur nach h und zwar mit h nach einander = 0, 1... 5, 10, 11, ausgeführt wurde. — In der folgenden Tafel, welche die auf diese Weise erhaltenen Abweichungen der einzelnen Declinationen von dem jedesmaligen Tagesmittel für die Jahreszeit der Beobachtung d. h. von s_m angiebt, habe ich auch die Werthe dieser Tagesmittel selbst oder die Gröfse s_m hinzugefügt. Man erhält daher die jedesmalige Abweichung von der mittleren jährlichen Declination wenn man zu einer Angabe der Tafel, den mit ihr in gleicher Reihe stehenden Werth von s_m hinzugefügt. Unter Russ. Beob. ist im Folgenden immer ein auf diese Weise erhaltenes Resultat aus dem *annuaire magn. et météorol.* verstanden, während die aus meinen oben abgedruckten Beob. gefolgerten, durch Angabe des Ortes und des Jah-

res für welches sie gelten, kenntlich sind. Es ist daher nur noch zu bemerken das ich, weil die Russ. Beob. für Mittlere meine oben abgedruckten als für Wahre Zeit des Beobachtungsortes gelten, die letzteren, für Monate in denen die Zeitgleichung einen wahrnehmbaren Einfluss haben konnte, durch graphische Interpolation, von 0^h 2^h u. s. w. W. Zt. auf gleich benannte Mittlere Zeiten reduzirt habe, und das die in Klammern eingeschlossenen Zahlen für die Stunden 12^h bis 18^h für die Russ. Beob. nicht direkt wahrgenommen, sondern zu Folge meiner, für gleiche Stunden gefundenen, Resultate ergänzt sind.

Abweichung der einzelnen Declinationen von dem jedesmaligen Tagesmittel oder von s_m
(vestlich positiv.)

Mittl. Zeit.	0 ^h	2 ^h	4 ^h	6 ^h	8 ^h	10 ^h	12 ^h	14 ^h	16 ^h	18 ^h	20 ^h	22 ^h	s_m	
Jan. 15.	+0'33"	+2'5"	+1'33"	+0'50"	-1'9"	-2'11"	(-1'18"	+0'2"	+0'27"	+0'15"	-0'28"	-1'13"	+1'45"	Russ. Beob.
Febr. 14.	+0'33	+2'34	+1'35	+0'59	-0'28	-2'46	(-2'7	0 0	+0'10	+0'10	-2'11	-1'33	+0'18	Russ. Beob.
März 5.	+0'13	+4'9	+0'53	+0'24	+0'34	-0'30	0 9	-0'4	-0'4	+0'6	-2'46	-2'48	Irkutsk 1829.
März 15.	+1'25	+5'37	+3'45	+1'2	-0'36	-1'59	(-0'49	-0'24	-0'41	-0'50	-4'59	-4'13	+0'19	Russ. Beob.
April 8.	0 4	+7'20	+6'33	+1'0	+0'8	-0'34	-2'22	-1'12	-2'9	-3'6	-5'42	-8'42	Jakutsk 1829.
April 15.	+0'34	+6'51	+5'25	+1'34	-0'12	-0'49	(-3'0	-1'20	-2'40	-4'14	-6'50	-6'35	-0'27	Russ. Beob.
Mai 15.	+1'58	+6'22	+5'14	+0'46	-0'51	-1'10	(-3'49	-1'41	-2'58	-6'31	-7'25	-4'53	-0'7	Russ. Beob.
Juni 7.	+2'16	+5'38	+2'7	-1'48	-1'8	+0'35	-1'3	+0'8	-1'22	-6'58	-5'50	-2'2	Ochozk 1829.
Juni 12.	+2'4	+7'8	+5'43	+0'48	-2'1	-0'43	-4'38	-2'2	-3'17	-7'23	-8'34	-4'21	Petersburg 1828.
Juni 15.	+2'16	+6'25	+5'10	+0'58	-0'37	-0'38	(-4'38	-2'2	-3'17	-7'23	-8'34	-5'1	+1'25	Russ. Beob.
Juli 15.	+3'7	+6'37	+2'41	+0'52	0 4	-2'31	-9'41	-0'59	Moskau 1828.
Juli 26.	+2'13	+6'1	+4'41	+0'58	-0'20	+0'6	(-3'59	-1'35	-2'23	-7'8	-8'24	-4'40	+1'32	Russ. Beob.
Aug. 15.	+2'35	+6'30	+4'13	+0'2	-0'22	-0'58	(-3'20	-1'8	-1'27	-5'37	-6'58	-5'1	+1'1	Russ. Beob.
Sept. 1.	+0'15	+3'47	+1'45	+0'35	-0'21	-1'1	-7'27	-3'27	Jekatarinb. 1828.
Sept. 15.	+2'30	+5'21	+2'52	+0'14	-1'7	-1'49	(-2'41	-0'41	-0'32	-3'37	-5'4	-2'59	+0'32	Russ. Beob.
Oct. 15.	+1'25	+3'56	+2'11	+0'58	-1'42	-2'27	(-2'1	-0'14	+0'25	-1'20	-2'33	-2'28	-0'14	Russ. Beob.
Nov. 15.	+1'29	+2'30	+1'42	+0'13	-1'4	-2'42	(-1'8	+0'16	+1'1	+0'39	-1'0	-0'56	Tobolsk 1828.
Nov. 15.	+1'17	+2'2	+4'5	+0'8	-1'0	-2'37	(-1'15	+0'12	+0'57	+0'30	-0'33	-0'21	-2'5	Russ. Beob.
Dec. 15.	+1'1	+2'0	+0'55	+0'9	-1'16	-3'2	(-1'56	+0'5	+0'42	+0'20	+0'2	+0'10	-2'10	Russ. Beob.

Die Abweichungen von der mittleren jährlichen Declination ergeben sich wenn man zu den Zahlen der vorstehenden Tafel den jedesmaligen Werth von s_m addirt.

Es ist vorzüglich die genügende Continuität der Zahlen, in den Vertikalreihen dieser Zusammenstellung von Beobachtungen an sehr verschiedenen Orten, sodann aber auch die Vergleichung derselben mit den zuvor erwähnten älteren europäischen Beobachtungen von Celsius, Wilke, Canton, Cassini und v. Humboldt, so wie der neuesten der Capitaine Duperrey und Freycinet, die mich veranlaßt haben, bei der Reduction meiner einzelnen Declinationsbeobachtungen auf mittlere Declinationen, die oben (Seite 490) genannten Grundsätze als der Wirklichkeit hinlänglich angenähert zu betrachten. Bis jetzt scheinen mir solche Vergleichungen namentlich auch der oben unter 3) erwähnten Ansicht von Herrn Professor Hansteen*) nicht ungünstig, nach welcher der Betrag der täglichen Variationen zwar zunächst von dem Stundenwinkel und von der Länge der Sonne, sodann aber noch von der Länge der Mondsknoten abhängen und daher an eine etwa 19jährige Periode gebunden sein würde. Von den Jahren 1829 und 1838 hätte man indessen, auch wenn dieses statt fände, einen nahe gleich starken und namentlich etwa mittleren Betrag der Declinationsvariationen zu erwarten, und dürfte daher auch dann noch, die Resultate der Russischen Beobachtungen für 1838, zur Reduction einzelner Declinationsmessungen aus den Jahren 1828 bis 1830 anwenden. Ich habe demnach auch, grade auf diese ebengenannte Weise, aus meinen Declinationsmessungen mittlere jährliche Declinationen abgeleitet, jedoch mit Ausnahme der zwischen $+23^{\circ},5$ und $-23^{\circ},5$ Breite beobachteten, welche auch in der folgenden Zusammenstellung von Resultaten, ohne jede Reduction aufgenommen sind. Die bis jetzt vorhandenen Wahrnehmungen über Declinationsvariationen zwischen den Wendekreisen scheinen nämlich nur zu beweisen, daß dieselben dort kaum über halb so groß sind als außerhalb der Tropen; da aber die Abhängigkeit des Betrages der Declinationsvariationen von den Jahreszeiten für diese Zone noch nicht genugsam bekannt ist, so schien mir vorläufig die Auslassung ihres Einflusses kaum weniger zweckmäßig, als irgend eine willkürliche Annahme über denselben. — Ueber die Reduction aller meiner

*) Hansteen, Magnetismus der Erde u. s. w. pag. 457.

übrigen Declinationsmessungen auf mittlere jährliche Werthe habe ich daher nur noch zu bemerken, dass die als Russische Beobachtungen bezeichneten Zahlen der vorstehenden Tafel dabei so angewendet worden sind, dass man jeder zu einerlei Monat gehörigen Reihe derselben, eine Interpolationsformel von der Form:

$m + \alpha \cos x + \beta \sin x + \gamma \cos 2x + \delta \sin 2x + \epsilon \cos 3x + \zeta \sin 3x$ möglichst nahe anschloß, und dann aus dieser die zu den einzelnen Stunden M. Zt. gehörigen Werthe der Declinationsvariationen berechnete. Die zu den Momenten meiner Beobachtungen gehörigen Reductionen sind endlich aus dieser vollständigeren Tafel entnommen worden, indem dabei für Orte in der südlichen Halbkugel die oben (Seite 490) angegebene Aenderung des Argumentes und des Vorzeichens der Reduction gebraucht wurden. Die Constanten $m, \alpha, \beta \dots$ haben sich aber namentlich folgendermaßen ergeben:

	m	α	β	γ	δ	ϵ	ζ
Januar ..	+ 102"	+ 54"	+ 15"	- 27"	+ 70"	+ 1"	+ 5"
Februar ..	+ 4	+ 61	+ 46	- 28	+ 104	+ 33	+ 42
März ...	+ 5	+ 54	+ 135	+ 11	+ 173	+ 22	+ 62
April ...	- 83	+ 64	+ 256	+ 14	+ 199	+ 21	+ 82
Mai.....	- 83	+ 104	+ 264	+ 65	+ 182	+ 42	+ 42
Juni	- 2	+ 107	+ 290	+ 71	+ 184	+ 64	+ 45
Juli.....	+ 40	+ 82	+ 275	+ 76	+ 175	+ 72	+ 43
August..	+ 3	+ 85	+ 221	+ 79	+ 187	+ 69	+ 60
Septbr. .	- 6	+ 91	+ 139	+ 51	+ 156	+ 57	+ 34
October..	- 35	+ 75	+ 69	+ 2	+ 137	+ 29	+ 9
Novbr...	- 123	+ 64	- 10	- 12	+ 76	+ 36	- 1
Decbr...	- 134	+ 82	- 18	- 20	+ 68	+ 14	- 11

In der nun folgenden Tafel von magnetischen Resultaten für die Jahre 1828 bis 1830 findet man alle diejenigen vereinigt welche sich aus meinen, in dem gegenwärtigen und in dem Isten Bande der physikal. Abtheilung, meines Reiseberichtes abgedruckten, Beobachtungen ergeben, und zwar in derjenigen Form, welche ihre Vergleichung mit der Theorie des Erdmagnetismus möglichst erleichtert. Es ist deshalb an allen Orten, für welche meine Beobachtungen dazu hinreichten, sowohl die Horizontalcomponente der erdmagnetischen Kraft als auch die ganze Intensität derselben angesetzt worden. — Die Zerlegung der Horizontalintensität in eine Oestliche und eine Nördliche Componente hätte nur für eine verhältnißmäßig kleine Anzahl von Orten ausgeführt werden können, ohne zuvor aus den Declinationen für mehrere einander nahe gelegene Punkte die für einen anderen ihnen nahen zu interpoliren. Dieses würde zwar jetzt, wenn man die schon so bedeutend angenäherten Constanten der Gaufs'schen Theorie des Erdmagnetismus anwendete, ohne beträchtlichen Verlust an Wahrscheinlichkeit der Resultates geschehen können. Ich habe aber dennoch den unmittelbaren Ergebnissen meiner Beobachtungen dergleichen interpolirte Werthe um so weniger hinzufügen wollen, als man dergleichen, wenn man sie bei künftigen Anwendungen der folgenden Zahlen gebrauchen sollte, mit Leichtigkeit aus ihnen ableiten wird.

Resultate über den Magnetismus der Erde,
nach A. Erman's Beobachtungen in den Jahren 1828 bis 1830.

Ergebnisse über den Hingebens der Erde,
nach A. Grimms Beobachtungen in den Jahren 1802 bis 1810.

Magnetische Resultate für die Jahre 1828 bis 1830.

Resultate für 1828 bis 1830.

529

Mittlere Zeit des Orts.	Orte.	Länge östlich von Paris.	Breite.	Mittlere Declination.	Inclination.	Horizontal- Ganze Intensität.
1828.						
April 7 10 ^h 44'	Potsdam	10° 45' 0"	52° 23' 14"	17° 30 ¹ / ₄ W.
April 7 23 54	dasselbst	10 45 0	52 23 14	17 35,9 W.
April 8 2 15	dasselbst	10 45 0	52 23 14	68° 30' 36 A. 68 32,68 B.
April 24 22 0	Berlin	11 4 4	52 32 5
April 30 5 54	Königsberg	18 9 42	54 42 59	13 21,0 W.
Mai 19 10 32	Petersburg	27 57 28	59 56 29	6 47,1 W.
Mai 20 12 11	dasselbst	27 57 28	59 56 29	6 48,4 W.
Mai 28 13 49	dasselbst	27 57 28	59 56 29	6 44,9 W.
Mai 29 2 10	dasselbst	27 57 28	59 56 29	6 48,1 W.
Mai 31 13 8	dasselbst	27 57 28	59 56 29	6 47,0 W.

33.

Mittlere Zeit des Orts.	Orte.	Länge östlich von Paris.	Breite.	Mittlere Declination.	Inclination.	Horizontal-Intensität.	Ganze Intensität.
1828.							
Juni 2 2 ^h 22 ^m	Petersburg.	27° 37' 28"	59° 56' 29"	6° 49,7 W.	.	.	.
Juni 2 23	dasselbst	27 37 28	59 56 29	.	71° 4,48 A.	0,46015 C. 0,46052 C.	1,41873 1,41989
Juni 3 1 32	dasselbst	28 0 58	59 58 31	6 53,3 W.	.	.	.
Juni 3 4 52	dasselbst	28 0 58	59 58 31	.	71 8,15 A.	0,45666 C.	1,41238
Juni 3 13 31	dasselbst	28 0 58	59 58 31	6 48,4 W.	.	.	.
Juli 2 7 48	dasselbst	27 57 33	59 56 23	.	.	0,46044 C. 0,46022 P.	.
Juli 11 4 38	Tosna.	28 23	59 31	.	.	0,45805 C. 0,45537 C.	.
Juli 11 20 0	Pomorania	28 56	59 20	.	71 0,58 B.	0,46457 C.	1,42763
Juli 12 20 30	Novgorod	28 58 38	58 31 4	.	70 26,10 B.	0,47322 C.	1,41013
Juli 13 0 37	dasselbst	28 58 38	58 31 4	6 20,8 W.	.	.	.
Juli 13 2 8	dasselbst	28 58 38	58 31 4	6 21,9 W.	.	.	.
Juli 13 17 1	Saizowa	29 43	58 21	.	.	0,46168 C.	.

Juli 14 17 39	Waldai	30 33	37 36	69 38,32 A..	0,48612 C..	1,41942
Juli 15 17 34	Wuischnji Wolotschok.	32 20	37 37	69 31,62 A..	0,49014 C..	1,42353
Juli 16 20 36	Torjok	32 42 15	37 2 9	0,50419 C..	1,42078
Juli 17 19 17	Twer	33 36 21	36 31 44	68 31,45 B..	0,51382 C..	1,40347
Juli 21 0 14	Moskwa	35 15 22	35 46 31	2 32,1 W.
Juli 22 22 47	dasselbst	35 17 34	35 45 13	3 5,1 W.
Juli 23 1 48	dasselbst	33 17 34	35 45 13	68 55,83 A..	0,50576 C..	1,40944
Juli 23 9 48	dasselbst	33 17 34	35 45 13	2 58,9 W.	68 60,70 B..
Juli 29 5 39	Nowaja Derewnja . .	33 36	35 46	0,50965 C..
Juli 29 17 59	Bogorodsk	36 3 13	35 46 36	3 24,9 W.
Juli 30 2 56	Platowa	36 23	35 47	68 25,34 A..	0,51232 C..	1,39361
Juli 31 18 0	Dmitrevsk	37 43	36 0	68 8,96 B..	0,54569 C..	1,46617
Aug. 1 23 0	10 Werst nach Sudogda	38 31 23	35 37 0	1 22,7 W.
Aug. 2 21 43	Murom	39 16	35 34	0,53907 C..
Aug. 3 11 28	Osablikowo	40 6 4	35 34 30	0 15,4 W.
Aug. 3 18 30	dasselbst	40 6 4	35 34 30	68 15,34 B..

Mittlere Zeit des Orts.	Orte.	Länge östlich von Paris.	Breite.	Mittlere Declination.	Inclination.	Horizontal-Intensität.	Ganze Intensität.
1828.							
Aug. 4 7 ^h 11'	Aleschnowo	40° 50'	56° 4'	0,52333 C..
Aug. 4 21 34	Doskino	41 14 12"	56 9 15"	0° 23,4 O.
Aug. 4 21 57	daselbst	41 14 12	56 9 15	68° 38',73 A..	0,51765 C..	1,44308
Aug. 8 1 20	Nijnei Nowgorod	41 36 40	56 19 20	68 41,08 A..	0,52398 C..	1,44148
Aug. 8 1 41	daselbst	41 36 40	56 19 20	0 52,6 O.
Aug. 9 21 31	Poljana	42 23	56 2	0,51241 C..
Aug. 10 11 49	Tschugunul.	43 19 48	56 6 24	1 27,0 O.	0,51335 C..
Aug. 10 19 7	daselbst	43 19 48	56 6 24	68 38,90 B..	0,52947 C..	1,43422
Aug. 11 4 25	Emingasch	44 6	56 11	0,52186 C..
Aug. 11 23 22	Tscheboksar	44 58	56 10	0,52112 C..
Aug. 12 11 21	Angikowa	45 49	53 44	1 37,4 O.
Aug. 12 20 33	daselbst	45 49	53 44	68 33,20 B..	0,53011 C..	1,43198
Aug. 13 10 25	Kasan	46 47	53 47 50	2 21,6 O.

Aug. 15	22	8	Kasan	46	47	9	35	47	50	68	21,39 A.	0,33147 C.	1,44096
Aug. 20	19	10	Mitjeschka	47	33	40	36	13	0	2 43,2 O.
Aug. 20	20	43	dasselbst	47	33	40	36	13	0	68	45,57 B.	0,32984 C.	1,46250
Aug. 21	20	5	Milet	48	18	36	40	68	41,61 A.	0,33411 C.	1,46993
Aug. 22	19	34	Koñil	49	5	37	12	68	48,49 B.	0,32669 C.	1,42465
Aug. 23	20	10	Suri	50	44	37	33	70	20,37 A.	0,49677 C.	1,47633
Aug. 24	9	34	Dubrowa	52	10	37	42	6 0,2 O.
Aug. 24	20	11	dasselbst	52	10	37	42	69	52,42 B.	0,31191 C.	1,48770
Aug. 25	13	39	Perm.	53	53	32	38	1	14	6° 19',9 O.
Aug. 26	14	11	dasselbst	53	53	32	38	1	14	6 21,4 O.
Aug. 27	6	40	dasselbst	53	53	32	38	1	14	70	1,88 B.	0,30893 C.	1,49020
Aug. 28	19	44	Kruilassowo	54	17	14	37	33	45	70	0,59 A.	0,32222 C.	1,52758
Aug. 28	20	21	dasselbst	54	17	14	37	33	45	6 10,2 O.
Aug. 29	16	58	Slatoustowo	54	37	37	1	0,32824 C.
Aug. 29	10	7	Bulkowa.	55	6	56	53	7 11,2 O.
Aug. 29	19	27	dasselbst	55	6	56	53	69	50,18 B.	0,32253 C.	1,51588
Aug. 30	9	34	Kirgischansk	56	45	50	56	50	30	6 40,5 O.

Mittlere Zeit des Orts.	Orte.	Länge östlich von Paris.	Breite.	Mittlere Declination.	Inclination.	Horizontal-Intensität.	Ganze Intensität.
1828.							
Aug. 30 19 ^h 2'	Kirgischansk	56° 43' 50"	56° 50' 30"	69° 47' 52 A..	0,32904 C..	1,53154
Aug. 31 10 11	Jekaterinburg	58 13 49	56 50 38	7° 22', 5 O.
Sept. 1 9 19	dasselbst	58 13 49	56 50 38	7 24,1 O.
Sept. 3 6 57	dasselbst	58 13 49	56 50 38	69 23,37 B..	0,53128 C..	1,51160
Sept. 25 5 45	dasselbst	58 13 49	56 50 38	69 22,65 B..	0,54020 C..	1,53374
Sept. 3 21 32	Newjansk auf einem Serpentinfels	57 50	57 24	66 37,39 B..	0,60998 C..	1,53734
Sept. 8 8 55	Kuschwa	57 22 28	58 17 5	7 45,8 O.
Sept. 8 23 13	Magnetberg Blagodät	57 26 38	58 16 58	68 1,7 O.
Sept. 11 9 44	Warchotura	58 25 41	58 52 19	8 47,6 O.
Sept. 12 4 59	dasselbst	58 25 41	58 52 19	70 57,71 A..	0,50191 C..	1,53868
Sept. 15 6 1	Bogoslowsk	57 39	59 44 36	71 24,49 A..	0,48648 C..	1,52584
Sept. 17 2 10	Latinsker Gold- und Platin-Vyäsche	57 49	59 20	0,50232 C..

Sept. 19	21	13	Kuscha	57	22	28	38	17	5	70	50,90 B..	0,49314 C..	1,50316
Oct. 1	20	43	Bjelaika	59	33		36	49		69	29,38 A..	0,52797 C..	1,50687
Oct. 2	1	39	Kamischlow	60	17		36	50		0,52762 C..
Oct. 2	10	31	Sugazk	61	23	47	36	59	48	7 54,1 O.
Oct. 2	20	10	dasselbst	61	23	47	36	59	48	69	33,30 B..	0,52341 C..	1,50073
Oct. 3	21	28	Tjumes	63	6	50	37	9	35	69	44,79 A..	0,51970 C..	1,50129
Oct. 3	22	4	dasselbst	63	6	50	37	9	35	9 8,9 O.
Oct. 5	1	31	Sornowsk	63	41		37	13		0,52243 C..
Oct. 5	12	7	Jyjakowo	64	45	59	37	31	50	9 13,8 O.
Oct. 5	20	5	dasselbst	64	45	59	37	31	50	70	29,16 B..	0,52187 C..	1,56332
Oct. 7	0	12	Chutarbika	65	38		37	58		70	14,76 A..	0,51623 C..	1,53332
Oct. 8	0	14	Tobolsk, untere Stadt .	65	55	41	58	11	24	71	6,64 B..	0,50588 C..	1,56261
Oct. 15	7	9	dasselbst - - - - .	65	55	41	58	11	24	9 36,6 O.
Oct. 19	0	50	dasselbst - - - - .	65	55	41	58	11	24	9 40,6 O.
Oct. 20	10	18	dasselbst - - - - .	65	55	41	58	11	24	9 36,2 O.
Oct. 24	0	54	dasselbst, obere Stadt .	65	55	41	58	11	40	9 46,5 O.
Nov. 4	6	41	dasselbst, deutscher Kirchhof.	65	56	18	58	12	15	9 54,8 O.

Mittlere Zeit des Orts.	Orte.	Länge östlich von Paris.	Breite.	Mittlere Declination.	Inclination.	Horizontal-Intensität.	Ganze Intensität.
1828.							
Nov. 22 21 ^h 57	Uwark	66° 25'	39° 3'	71° 12' 48 A..	0,50413 C..	1,56500
Nov. 23 21	Tugolowsk	67 35	59 45	72 26,23 B..	0,47407 C..	1,57107
Nov. 24 5 24	Denikowo	67 35 19"	59 37 48"	10° 46,8 O.
Nov. 24 6 11	dasselbst	67 35 19	59 57 48	10 36,5 O.
Nov. 24 21 17	Sawodinsk	67 14	60 13	72 45,18 A..	0,46585 C..	1,57122
Nov. 25 21 24	Samarowo	66 22	60 45	73 6,78 B..	0,45891 C..	1,57981
Nov. 26 10 23	Jelissarowo	66 1 10	61 15 0	11 39,1 O.
Nov. 26 22 14	Kewaschinsk	65 25	61 37	73 26,21 A..	0,45047 C..	1,58019
Nov. 27 23 9	Kondinsk	64 8	62 24	73 41,86 B..	0,44597 C..	1,58875
Nov. 28 7 44	Schorkal	63 13 44	62 44 20	11 11,9 O.
Nov. 29 23 11	Kundawansk	62 46	63 17	74 3,31 A..	0,43419 C..	1,58035
Dec. 1 8 4	Beresow, bei Nordlicht	62 43 36	63 55 59	11 31,4 O.
Dec. 1 9 56	dasselbst ebenso	62 43 36	63 55 59	0,40641 C..

Dec. 1	22	10	daselbst ebenso . .	62	43	36	63	55	59	75	0,82 B.	0,40770 C.	1,57652
Dec. 2	21	33	daselbst	62	43	36	63	55	59	74	53,90 A.	0,41133 C.	1,57882
Dec. 19 ^a)	11	10	daselbst	62	43	36	63	55	59	11 46,5 O.
Dec. 4	1	0	Katschegatsk	62	39		65	3		75	15,32 B.	0,39818 C.	1,56449
Dec. 6	19	32	Schuruschkarsk . . .	62	32		66	13		0,38396 C.
Dec. 7	1	15	Wandiask	63	19		66	30		75	58,60 A.	0,38756 C.	1,59937
Dec. 8	4	32	Obdorsk.	64	21	31	66	31	7	14 38,5 O.
Dec. 10	23	46	daselbst	64	21	31	66	31	7	76	6,85 B.	0,37851 C.	1,57719
Dec. 11	5	56	daselbst	64	21	31	66	31	7	14 28,0 O.
1829.														
Jan. 5	23	22	Kotofschikowe . . .	68	25		56	39		70	21,10 A.	0,52363 C.	1,53729
Jan. 6	9	12	Ajewskji Wolok . . .	69	29		56	34	50	9 15,4 O.
Jan. 13	5	58	Tara	71	44		56	54	0	70	27,85 B.	0,52491 C.	1,56973
Jan. 13	11	3	daselbst	71	44		56	54	0	9 35,8 O.
Jan. 16	0	0	Pokrowsk	73	8		55	42		69	38,79 A.	0,55847 C.	1,60864
Jan. 17	18	49	Tschulim	78	54		55	5	41	8 58,9 O.

*) In diesen Berichtes Abth. II. Bd. I. pag. 411. ist das zu Decbr. 1. gehörige Notenzeichen, fälschlich zu Decbr. 19 gesetzt.

Mittlere Zeit des Orta.	Orte.	Länge östlich von Paris.	Breite.	Mittlere Declination.	Inclination.	Horizontal-Intensität.	Ganze Intensität.
1829.							
Jan. 17 21 ^a 24'	Tschuluim	78° 54'	53° 3' 41"	69° 32' 63 B..	0,54638 C..	1,56393
Jan. 18 21 4	Koluivan	80 43	55 20	70 6,32 B..	0,54961 C..	1,61509
Jan. 19 10 42	Ojash	81 40	55 37 15	8° 9,4 O.
Jan. 20 22 37	Tomsk	82 48 36"	56 29 39	70 58,80 B..	0,52596 C..	1,61388
Jan. 21 1 17	dasselbst	82 48 36	56 29 39	8 45,3 O.
Jan. 22 1 37	dasselbst	82 48 36	56 29 39	8 41,0 O.
Jan. 22 7 22	dasselbst	82 48 36	56 29 39	8 31,2 O.
Jan. 23 23 30	Podjelnik	85 42	56 23	71 12,33 A..	0,52458 C..	1,62826
Jan. 25 9 50	Kasulka	89 26	56 1 30	7 9,7 O.
Jan. 27 5 40	Krasnojarsk	90 36 55	56 1 0	70 53,11 B..	0,53841 C..	1,64419
Jan. 27 9 10	dasselbst	90 36 55	56 1 0	6 41,1 O.
Jan. 29 7 15	dasselbst	90 36 55	56 1 0	6 32,8 O.
Febr. 1 1 14	Kanskji Ostrog	93 46	55 48	71 29,66 A..	0,52465 C..	1,65299

Mittlere Zeit des Orts.	Orte.	Länge östlich von Paris.	Breite.	Mittlere De- clination.	Inclination.	Horizontal- Intensität.	Ganze
1829.							
Febr. 26 19 ^a 52	Kadilnaja	102° 39'	51° 39'	67° 33', 94 B..	0,61983 C..	1,62423
März 19 21 16	Olsonsk	102 39	53 2	68 43,99 B..	0,60221 C..	1,66030
März 20 8 36	Mansursk	103 21	53 23	1° 17', 50.
März 20 23 26	Tjumenowsk	102 59	54 13	70 11,99 A..	0,56048 C..	1,63463
März 21 23 5	Botowsk.	103 2	55 9 58"	1 24,9 O.
März 21 23 8	daselbst	103 2	55 9 58	71 14,33 A..	0,53087 C..	1,71278
März 22 21 40	Bojarsk	103 37	56 16	71 33,38 A..	0,53031 C..	1,67621
März 23 10 10	Uskuzk	103 37	56 46 3	2 13,6 O.
März 24 21 54	Potapowsk	105 18	57 23	72 20,06 A..	0,51099 C..	1,68386
März 25 10 2	Kirensk	105 44	57 47 18	0 57,6 O.
März 25 22 21	daselbst	105 44	57 47 18	73 3,17 B..	0,48782 C..	1,67350
März 27 1 21	Ischora	107 15	58 30	73 16,89 A..	0,48890 C..	1,70438
März 27 9 44	Iwanowsk	108 14	58 37 44	0 59,0 O.	0,49030 C..	1,69034

März 28 53	37	Perschinsk	109 11	59 57	12	3	73 53,84 A..	0,47916 C..	1,72737
März 28 9	1	daselbst	109 11	59 57	12	0 34,6 O.
März 29 22	30	Kantinsk	111 45	59 54	74 31,76 A..	0,45782 C..	1,71632
März 30 21	17	Jerbinsk	113 55	60 28	1	1 48,1 W.
März 30 29	14	daselbst	113 55	60 28	1	..	74 16,85 B..	0,45720 C..	1,68737
März 31 21	29	Berssewskij Ostrow	115 31	59 44	74 4,98 A..	0,47786 C..	1,74247
April 1 11	2	Nelensk	116 8	60 0	0	1 47,2 W.
April 2 21	6	Olekna	117 13	60 22	24	..	74 8,68 B..	0,46254 C..	1,69299
April 3 0	48	daselbst	117 13	60 22	24	2 24,7 W.
April 4 21	40	Sanaajachtask	121 14	60 53	73 40,37 A..	0,47771 C..	1,69963
April 5 9	56	Issik	123 38	60 47	6	2 30,9 W.
April 6 21	40	Tojon-Aruin	125 26	61 40	73 54,14 B..	0,46397 C..	1,67331
April 9 9	6	Jakuzk	127 24 35	62 1 29	..	5 54,7 W.
April 10 9	47	daselbst	127 24 35	62 1 29	..	5 49,1 W.
April 13 6	36	daselbst	127 24 35	62 1 29	74 18,43 B..	0,45908 C..	1,69634
April 15 10	15	daselbst	127 24 35	62 1 29	..	5 56,1 W.	74 17,58 A..	0,45716 P..	1,68912
April 20 11	11	daselbst	127 24 35	62 1 29	..	5 48,3 W.

Mittlere Zeit des Orts.	Orte.	Länge östlich von Paris.	Breite.	Mittlere Declination.	Inclination.	Horizontal- Intensität.	Ganze Intensität.
1829.							
April 24 2 ^h 19'	Porotowsk	129° 29' 28"	62° 1' 10"	4° 40', 1 W.
April 24 3 19	dasselbst	129 29 28	62 1 10	..	73° 39', 62 B.	0,46958 C.	1,70297
April 25 1 30	Lebegine	131 21 41	62 11 18	2 13,0 W.
April 25 2 30	dasselbst	131 21 41	62 11 18	..	73 56,17 B.	0,46444 C.	1,67848
April 26 20 4	Nochinsk	132 36 29	61 56 45	2 18,2 W.
April 26 21 18	dasselbst	132 36 29	61 56 45	..	73 36,84 A.	0,47635 C.	1,68835
April 27 10 43	Aldanskij Perewos	133 13 43	61 53 22	3 9,3 W.
April 28 19 55	3 Werst oberhalb Bjelskij Perewos	133 13 43	61 53 22	..	73 20,73 B.	0,47597 C.	1,66074
April 29 20 57	Tschernoljes	134 2 32	61 31 13	3 37,2 W.
April 29 21 52	dasselbst	134 2 32	61 31 13	..	73 8,00 B.	0,48352 C.	1,67338
..	0,49550 P.	1,70776
Mai 1 0 20	Garnastach	134 39 48	61 29 36	..	73 11,85 A.	0,48283 C.	1,67028
Mai 1 21 35	dasselbst	134 39 48	61 29 36	3 49,6 W.	..	0,49376 P.	1,70847

Mai 6 4 44	Allachjuna	135 30	61 9	72 35,00 R..	0,49207 C. 0,49471 P.	1,64397 1,63278
Mai 7 11 21	Antscha	136 19 26	61 0 39	2 41,3 W.
Mai 11 20 34	Judomskeja Stanzia .	138 15	60 54 11	72 9,55 B..	0,51079 C. 0,51283 P.	1,66722 1,67389
Mai 12 6 9	Ketanda	138 57 0	60 40 12	2 34,3 W.
Mai 15 22 44	Arki	140 0	60 6	71 18,34 A..	0,51767 C. 0,52498 P.	1,61510 1,63789
Mai 20 12 31	Ochozk	140 51 10	59 21 29	2 25,2 W.
Mai 22 10 22	daselbst	140 51 10	59 21 29	2 24,5 W.
Mai 23 11 2	daselbst	140 51 10	59 21 29	2 20,9 W.
Mai 25 12 20	daselbst	140 51 10	59 21 29	2 18,4 W.
Mai 31 12 13	daselbst	140 51 10	59 21 29	2 18,9 W.
Juni 3 13 51	daselbst	140 51 10	59 21 29	2 17,5 W.
Juni 9 11 20	daselbst	140 51 10	59 21 29	2 15,4 W.
22 Juni 16 4 9	daselbst	140 51 10	59 21 29	70 41,13 B..	0,52676 C. 0,53498 P.	1,59262 1,61745
Juni 16 12 44	daselbst	140 51 10	59 21 29	2 20,0 W.
Juli 18 23 51	Bei Ochozk am rechten Ufer d. Kachtui . .	140 52 30	59 22	0,52961 C. 0,53236 P.	1,60567 Cn.P. 1,59510 A.

Abth. II. Bd. 2.

Mittlere Zeit des Orts.	Orte.	Länge östlich von Paris.	Breite.	Mittlere Declination.	Inclination.	Horizontal- Intensität.	Ganze Intensität.
1829.							
Juli 22 1 ^h 48'	Am Bord der Jekatarina	140° 50' 50"	59° 22'	70° 36' 24" B..	0,52758 C.	1,58804 C. 1,60369 A.
Juli 29 21 50	Ochozker Meer . . .	143 45 17	58 45 0"	69 22,77 B..	0,58379 0,58374	1,65772 A. 1,65755 A.
Juli 31 21,4	—	148 9 6	58 14 39	0° 26' O.
Juli 31 23 45	—	148 14 13	58 14 45	69 8,28 B..
Aug. 1 2,9	—	148 21 38	58 14 39	0 45 O.
Aug. 1 20 28	—	149 28 41	58 16 17	69 3,59 B..	0,56612	1,58403 A.
Aug. 1 21,6	—	149 33 5	58 15 26	2 52 O.
Aug. 1 22,8	—	149 34 10	58 14 45	3 2 O.
Aug. 2 1,2	—	149 37 16	58 16 43	2 46 O.
Aug. 7 4 57	—	154 51 35	58 15 54	68 12,19 B..	0,58684	1,58042 A.
Aug. 13 1 6	Magasinskij Padj, Mündung des Tigil . . .	155 54 19	58 1 25	4 11,9 O.

Aug. 13	1	35	daselbst	135	34	19	58	1	25	.	.	.	68	27,44 B..	0,56706 C.	1,56090 C.u.P.
Aug. 17	10	30	Tigilsk	136	16	0	57	45	55	4	0,6 O.	.	68	28,83 B..	0,57930 P.	1,56090 A.
Aug. 28	22	44	Jelowka	138	34	20	56	53	53	.	.	.	67	53,11 A..	0,57627 P.	1,52817
Aug. 29	4	23	daselbst	138	34	20	56	53	53	6	25,2 O.	.	67	49,43 B..	0,57606 C.	1,52872
Sept. 5	10	13	daselbst	138	34	20	56	53	53	6	14,4 O.
Sept. 7	6	52	Chartschinsk	138	23	1	56	31	6	.	.	.	68	11,14 A..	0,57228 C.	1,54004
Sept. 7	9	36	daselbst	138	23	1	56	31	6	6	25,4 O.
Sept. 9	8	38	Kluntschewsk	138	21	53	56	19	55	6	24,8 O.
Sept. 15	23	5	Kosnirewsk	137	13	48	55	52	5	.	.	.	66	52,57 B..	0,59628 C.	1,51833
Sept. 16	0	39	daselbst	137	13	48	55	52	5	5	23,0 O.
Sept. 19	3	31	Maschura	136	34	58	55	4	21	.	.	.	66	9,37 B..	0,61368 C.	1,51808
Sept. 19	4	15	daselbst	136	34	58	55	4	21	3	42,9 O.
Sept. 27	11	21	Natschika	135	5	14	53	6	30	4	0,0 O.
Sept. 27	19	41	daselbst	135	55	14	53	6	30	.	.	.	64	5,42 B..	0,64877 C.	1,48475
Sept. 30	8	35	Petropaulshafen	156	19	48	53	0	27	4	4,3 O.

Mittlere Zeit des Orts.	Orte.	Länge östlich von Paris.	Breite.	Mittlere Declination.	Inclination.	Horizontal-Intensität.	Ganze Intensität.
1829.							
Oct. 13 0 ^h 44'	Petropaulshafen . . .	156° 19' 48"	53° 0' 27"	63° 49' 37" B..	0,64640 C. 0,63380 P.	1,47370 C.u.P. 1,47370 A.
Oct. 20 4,1	Nördliche grofse Ocean.	168 49	48 15	10° 25' O.
Oct. 22 3,6	—	174 16	47 4	13 3 O.
Oct. 25 19,7	—	184 27	47 58	13 7 O.
Oct. 28 5,8	—	195 14	49 54	21 1 O.
Oct. 28 20,6	—	196 44	50 21	21 5 O.
Oct. 29 3,4	—	198 18	50 28	24 29 O.
Oct. 29 19,7	—	200 52	50 59	25 37 O.
Oct. 29 5,3 12	—	201 3 36	51 2 47	67 16,57 B..	0,59307	1,53530 A.
Oct. 30 19,4	—	205 4	51 46	24 5 O.
Oct. 31 21,1	—	207 44	53 0	25 33 O.
Nov. 1 21 34	—	211 4 59	53 34 37	71 5,66 B..	0,51973	1,60408 A.
Nov. 3 20 43	—	218 24 57	55 33 15	75 33,37 B..	0,40985	1,64314 A.

Nov. 4 22 5	—	—	—	221 14 47	56 54 10	76 58,88 B..	0,36866	1,63654 A.
Nov. 9 18 39	Bei Sitcha vor Anker .			222 13 10	57 2 0	75 51,02 B..	0,41005	1,67737 A.
Nov. 11 12 25	Neu-Archangelsk auf Sitcha			222 14 20	57 2 44	28 16,0 O.
Nov. 12 10 30	dasselbst während ei- nes Nordlichts. . .			222 14 20	57 2 44	1,71932 A.
Nov. 12 10 47	dasselbst während ei- nes Nordlichts. . .			222 14 20	57 2 44	0,42170 C.
Nov. 12 21 29	dasselbst			222 14 20	57 2 44	0,42137 C. 0,41944 P.	1,71882 Cu.P. 1,71882 A.
Nov. 20 21 24	Nördlichegrofse Ocean.			218 40 54	54 26 41	73 36,26 B..	0,46920	1,66223 A.
Nov. 26 2,9	—	—	—	223 35	48 27	21 55 O.
Nov. 29 1 16	—	—	—	227 44 42	43 18 29	66 39,95 B..	0,62134	1,56867 A.
Nov. 30 18,0	—	—	—	230 48	40 17	17 6 O.
Nov. 30 23 29	—	—	—	231 0 14	40 3 25	63 57,07 B..	0,67430 0,67258	1,53550 A. 1,53160 A.
Dec. 1 3,6	—	—	—	231 21	39 48	16 12 O.
Dec. 1 22 31	—	—	—	232 49 19	39 12 9	63 46,70 B..	0,66574 0,66836	1,50673 A. 1,51266 A.
Dec. 2 17 22	—	—	—	233 5 12	38 0 13	63 41,69 B..	0,69587	1,57027 A.

Mittlere Zeit des Orts.	Orte.	Länge östlich von Paris.	Breite.	Mittlere Declination.	Inclination.	Horizontal- Ganze Intensität.
1829.						
Dec. 3 20 ^h 9	Nördliche grofse Ocean.	233° 27'	38° 16'	13° 8 O.
Dec. 6 8 36'	San Francisco. . . .	223 15 0"	37 48 44"	14 51' 2 O.
Dec. 11 23 30	daselbst	235 15 0	37 48 44	62° 37', 88 B..	0,72045 C. 0,71584 P. 1,56237 Cu.P. 1,56082 A.
Dec. 13 22 40	daselbst	235 15 0	37 48 44	0,71534 C. 0,71845 P. 1,53926 Cu.P.
Dec. 24 4,8	Nördliche grofse Ocean.	234 55	37 42	14 49 O.
Dec. 24 19,2	— — —	233 55	37 5	14 53 O.
Dec. 27 19,9	— — —	230 52	35 31	11 55 O.
Dec. 28 5,0	— — —	231 8	34 50	12 10 O.
Dec. 29 19,2	— — —	231 54 32	31 50 34	56 15, 34 B..	0,78565 0,77878 1,41434 A. 1,40198 A.
Dec. 29 19,9	— — —	231 53	31 48	11 40 O.
Dec. 30 5,0	— — —	232 11	31 25	11 53 O.
Dec. 30 20,2	— — —	233 22	30 34	10 26 O.

Dec. 30 21 38	233	17 36	30 31 20	55	2,58 B..	0,78367	1,36773 A.
1830.							
Jan. 1 20 49	—	—	—	—	—	—	—
Jan. 1 21,1	—	—	—	—	—	—	—
Jan. 2 5,3	—	—	—	—	—	—	—
Jan. 2 18 36	—	—	—	—	—	—	—
Jan. 2 19,0	—	—	—	—	—	—	—
Jan. 2 21 0	—	—	—	—	—	—	—
Jan. 3 20,2	—	—	—	—	—	—	—
Jan. 4 3 56	—	—	—	—	—	—	—
Jan. 4 5,3	—	—	—	—	—	—	—
Jan. 4 18,7	—	—	—	—	—	—	—
Jan. 4 19,7	—	—	—	—	—	—	—
Jan. 5 5,3	—	—	—	—	—	—	—
Jan. 5 18,7	—	—	—	—	—	—	—
Jan. 5 20,4	—	—	—	—	—	—	—
	236	37	26 54	11 44 O.			
	236	38	26 56	11 34 O.			
	236	44	27 28	11 54 O.			
	236	43	27 48	12 2 O.			
	236	43	27 48	11 55 O.			
	236	42	28 4	11 58 O.			
	236	42 52	28 4 9		52 8,75 B..	0,81557	1,32905 A.
	236	46	28 19	8 10 O.			
	236	39 25	28 35 8				1,35969 A.
	236	36	28 39	9 8 O.			1,36738 A.
	236	34 45	28 40 58			0,82535	1,37081 A.
	236	3	28 55	9 31 O.			
	236	1	29 11	8 21 O.			
	235	58 39	29 3 53		53 28,98 B..	0,80674	1,35373 A.

Mittlere Zeit des Orts.	Orte.	Länge östlich von Paris.	Breite.	Mittlere Declination.	Inclination.	Horizontal- Ganze Intensität.
1830.						
Jan. 5 21 ^h 47'	Nördliche grofse Ocean.	236° 42' 12"	26° 36' 25"	50° 13' 80 B..	0,83186 1,32888 A.
Jan. 6 21,1	—	236 28 12	25 59 43	49 17,55 B..	0,83216 1,27593 A.
Jan. 7 21 38	—	236 11 26	25 21 27	48 21,31 B..	0,87085 1,31052 A. 1,30779 A.
Jan. 8 19,7	—	235 55	23 43	8° 7' O.
Jan. 9 1 3	—	235 49 9	23 12 26	55 19,42 B..	0,88342 1,25647 A. 1,26383 A.
Jan. 9 5,3	—	235 43	22 58	8 10 O.
Jan. 9 6 33	—	235 45 7	22 59 58	44 16,55 B..	0,88247 1,23252 A. 1,24854 A.
Jan. 9 19,2	—	235 29	21 10	7 34 O.
Jan. 9 21 27	—	235 29 35	21 3 37	42 15,24 B..	0,90649 1,22470 A.
Jan. 10 10 46	—	235 17 49	19 39 31	40 14,83 B..	0,91269 1,20152 A.
Jan. 10 20 51	—	235 7 0	18 36 21	39 2,89 B..	0,91517 1,17842 A. 1,17708 A.

Jan. 11 12 45	234	46	2	16	55	51	35	34,13 B..	0,93900	1,15438 A.
	—	—	—	—	—	—	—	—	—	—	—	—	0,94201	1,15808 A.
Jan. 12 3 18	234	27	34	15	15	9	—	—	—	—	32	27,30 B..	0,93116	1,14473 A.
	—	—	—	—	—	—	—	—	—	—	—	—	0,95684	1,13400 A.
Jan. 12 4,6	234	26	—	15	15	—	—	—	—	—	—	—	0,96250	1,14071 A.
	—	—	—	—	—	—	—	—	—	—	—	—	0,96615	1,14503 A.
Jan. 12 21 27	234	8	13	13	37	28	—	—	—	—	29	45,24 B..	0,96381	1,11017 A.
	—	—	—	—	—	—	—	—	—	—	—	—	0,96339	1,11198 A.
Jan. 13 5,8	234	3	—	12	52	—	—	—	—	—	—	—	—	—
	—	—	—	—	—	—	—	—	—	—	—	—	—	—
Jan. 13 12 21	233	59	49	12	17	34	—	—	—	—	27	14,81 B..	0,96466	1,08305 A.
	—	—	—	—	—	—	—	—	—	—	—	—	—	—
Jan. 13 19,2	233	46	—	11	28	—	—	—	—	—	—	—	—	—
	—	—	—	—	—	—	—	—	—	—	—	—	—	—
Jan. 13 22 55	233	54	4	11	17	56	—	—	—	—	25	45,46 B..	0,98149	1,08977 A.
	—	—	—	—	—	—	—	—	—	—	—	—	0,99260	1,10211 A.
	—	—	—	—	—	—	—	—	—	—	—	—	0,98306	1,09374 A.
	—	—	—	—	—	—	—	—	—	—	—	—	0,98858 C.	1,09704
Jan. 14 19 49	233	29	5	9	42	38	—	—	—	—	23	6,28 B..	0,98417	1,06999 A.
	—	—	—	—	—	—	—	—	—	—	—	—	0,96395	1,03446 A.
Jan. 15 12 54	233	28	30	8	55	29	—	—	—	—	20	58,13 B..	0,97116	1,04003 A.
	—	—	—	—	—	—	—	—	—	—	—	—	0,97357	1,04262 A.
Jan. 16 3 40	233	34	29	8	10	27	—	—	—	—	19	31,94 B..	—	—
	—	—	—	—	—	—	—	—	—	—	—	—	—	—
Jan. 16 5,8	233	52	—	8	3	—	—	—	—	—	5	4 O.	—	—

Mittlere Zeit des Orts.	Orte.	Länge östlich von Paris.	Breite.	Mittlere Declination.	Inclination.	Horizontal- Ganze Intensität.
1830.						
Jan. 16 18,2	Nördliche grofse Ocean.	233° 56'	7° 42'	3° 19' O.		
Jan. 18 4 41'	—	233 56 39"	7 15 28"	17° 30', 57 B..	1,02953 A. 1,01003 A.
Jan. 19 3 42	—	234 12 20	6 27 14	17 5,75 B..	1,00939 A. 1,01708 A. 1,01396 A.
Jan. 19 5,8	—	234 10	6 26	4 54 O.
Jan. 19 18,7	—	234 9	5 58	3 17 O.
Jan. 19 21 57	—	234 7 44	5 49 1	15 31,66 B..	1,01719 A.
Jan. 20 5,8	—	233 59	5 30	4 53 O.
Jan. 20 18,2	—	233 22	4 50	4 13 O.
Jan. 20 18,5	—	233 21	4 46	4 35 O.
Jan. 20 22 10'	—	233 16 43	4 35 0	13 2,66 B..	0,99909 A. 1,00772 A.

Jan. 21 5,8	232 56	4 10	4 24	O.	9 19,00 B..	0,97051 0,98133	0,98349 A. 0,99443 A.
Jan. 21 18 2	231 45 39	2 41 46			
Jan. 21 18,5	231 31	2 47	3 44	O.			
Jan. 22 5,8	231 10	1 42	4 31	O.			
Jan. 22 6 59	230 57 31	1 33 6	7 21,14 B..	0,97047 0,97799	0,97852 A. 0,98610 A.
Jan. 22 14 43	230 22 48	0 45 51	3 13,57 B..	0,93381	0,95779 A.
Jan. 22 18,0	230 7	0 27	4 12	O.			
Jan. 22 18,2	230 5	0 25	4 22	O.			
Jan. 22 20 26	229 55 33	0 8 59	3 28,46 B..	(0,92679)	(0,92849) A.
Jan. 23 0 38	229 37 10	— 0 12 1	3 8,90 B..	0,96414 0,98467	0,96560 A. 0,96613 A.
Jan. 23 4 16	229 11 13	— 0 6 31	3 2,26 B..	0,95746	0,95881 A.
Jan. 23 5 41	229 8 10	— 0 5 5	3 11,00 B..		
Jan. 23 7,0	229 6	— 0 10	4 44	O.			
Jan. 23 7 27	228 58 19	— 0 2 56	3 20,07 B..		
Jan. 23 10 42	228 39 22	0 1 17	3 22,17 B..		
Jan. 23 16 31	228 8 32	0 6 52	3 45,66 B..	0,97713	0,97924 A.

Südliche große Ocean.

Nördliche große Ocean.

Mittlere Zeit des Orts.	Orte.	Länge östlich von Paris.	Breite.	Mittlere Declination.	Inclination.	Horizontal- Ganze Intensität.
1830.						
Jan. 23 18 ^h 0	Nördliche große Ocean.	228° 1'	0° 6'	4° 8' O.		
Jan. 23 21 42	—	227 44 10"	0 12 1"	4° 14, 34 B..
Jan. 23 22 12	—	227 41 37	0 11 45	4 3, 87 B..
Jan. 24 1 4	—	227 44 1	0 10 10	3 46, 33 B..	0,93216 0,91937
Jan. 24 4 48	—	227 11 56	0 8 10	4 20, 12 B..	0,958612
Jan. 24 6,0	—	227 7	0 3	4 0 O.	0,95886 A.
Jan. 24 11 9	—	226 49 32	0 0 28	3 52, 69 B..	0,96459 0,99218
Jan. 24 17 29	Südliche große Ocean.	226 24 51	— 0 15 0	3 12, 72 B..
Jan. 24 21 19	—	226 8 29	— 0 29 16	2 38, 72 B..	0,94485
Jan. 25 0 48	—	225 57 18	— 0 40 31	2 15, 84 B..	0,94138
Jan. 25 5 7	—	225 43 32	— 0 52 55	2 10, 96 B..	0,96331
Jan. 25 6,0	—	225 42	— 0 53	4 29 O.	0,96000 A.

Jan. 25 11 21	—	—	—	225 27 31	—1 6 43	3 19 O.	1 30,99 B..	0,90742	0,99776 A.
Jan. 25 18,0	—	—	—	225 17	—1 29				
Jan. 25 18 43	—	—	—	225 3 4	—1 30 18		1 6,36 B..		
Jan. 25 21 58	—	—	—	224 45 22	—1 47 31		0 13,32 B..	0,98880	0,98881 A.
Jan. 25 23 28	—	—	—	224 41 42	—1 51 14		0 5,06 B..		
Jan. 25 23 43	—	—	—	224 40 34	—1 52 18		—0 10,10 B..		
Jan. 26 0 13	—	—	—	224 38 27	—1 54 25		—0 12,62 B..		
Jan. 26 4 28	—	—	—	224 17 27	—1 53 22		—0 4,18 B..		
Jan. 26 6,0	—	—	—	224 7	—1 54	3 38 O.			
Jan. 26 7 32	—	—	—	223 55 0	—1 52 0		0 17,66 B..	0,97124	0,97125 A.
Jan. 26 11 38	—	—	—	223 35 43	—1 54 40		—0 1,37 B..		
Jan. 26 17 18	—	—	—	222 59 27	—1 52 38		—0 21,50 B..	0,94665	0,94667 A.
Jan. 26 18,0	—	—	—	222 57	—1 48	3 43 O.			
Jan. 26 19 1	—	—	—	221 47 39	—1 52 24		0 5,22 B..		
Jan. 26 21 55	—	—	—	222 29 47	—1 51 50		0 0,86 B..	0,93294	0,93294 A.
Jan. 27 0 13	—	—	—	222 18 26	—1 51 14		0 20,39 B..		
Jan. 27 4 28	—	—	—	221 41 7	—1 48 30		0 33,94 B..		

Mittlere Zeit des Orts.	Orte.	Länge östlich von Paris.	Breite.	Mittlere Declination.	Inclination.	Horizontal- Inclination.	Ganze Inclination.
1830.	Südliche große Océan.	221° 44'	— 1° 40'	4° 34' O.
Jan. 27 6 ^h ,0	—	221 12 39"	— 1 29 38"	...	0° 37', 33 B..	0,97300	0,97303 A.
Jan. 27 12 18'	—	220 28	— 1 28	4 16 O.
Jan. 27 18,5	—	220 23 13	— 1 27 51	...	1 3,02 B..	0,97724	0,97740 A.
Jan. 27 19 50	—	220 5 38	— 1 26 29	...	1 10,47 B..
Jan. 28 0 28	—	219 38 39	— 1 37 10	...	1 0,17 B..	0,95454	0,95468 A.
Jan. 28 5 54	—	219 46	— 1 38	4 12 O.
Jan. 28 6,2	—	219 31 45	— 1 40 37	...	0 14,12 B..
Jan. 28 8 43	—	219 16 2	— 1 48 25	...	— 0 3,75 B..	0,97567	0,97567 A.
Jan. 28 11 48	—	218 46	— 2 14	4 12 O.
Juni 28 19,0	—	218 39 5	— 2 11 10	...	— 0 19,75 B..	0,97374	0,97375 A.
Juni 28 20 18	—	218 32 51	— 2 0 54	...	— 0 1,87 B..
Juni 28 23 3	—	218 30 5	— 1 58 37	0,97333 A. 0,96702 A.
Jan. 29 23 38	—						

Jan. 29 0 13	—	—	—	218	27 28	—1 36 27	..	0 2,52 B..
Jan. 29 5 28	—	—	—	218	2 45	—1 53 16	..	0 15,18 B..
Jan. 29 6,2	—	—	—	217	57	—1 52	4 26 O.
Jan. 29 11 27	—	—	—	217	42 1	—2 19 28	..	—0 31,20 B..	0,94955	0,94959 A.
Jan. 29 17,8	—	—	—	217	25	—2 53	4 17 O.
Jan. 29 20 43	—	—	—	216	53 36	—3 12 13	..	—1 45,23 B..	0,97562	0,97607 A.
Jan. 30 0 43	—	—	—	216	41 8	—3 31 25	..	—3 2,02 B..	0,97014	0,97130 A.
Jan. 30 9 46	—	—	—	216	8 11	—4 29 49	..	—5 3,25 B..	0,98353	0,98737 A.
Jan. 30 18,2	—	—	—	216	26	—4 3	4 8 O.
Jan. 30 21 10	—	—	—	215	29 51	—5 33 31	..	—7 30,73 B..	0,98660	0,99514 A.
Jan. 31 0 14	—	—	—	215	19 57	—5 31 7	..	—8 8,33 B..
Jan. 31 6,2	—	—	—	216	5	—5 14	4 24 O.
Jan. 31 11 17	—	—	—	214	39 21	—7 2 37	..	—10 6,83 B..	0,98786	1,00345 A.
Jan. 31 17,8	—	—	—	215	2	—6 30	4 40 O.
Jan. 31 18,2	—	—	—	214	17	—7 35	4 42 O.
Jan. 31 19 21	—	—	—	214	18 31	—7 45 3	..	—11 27,06 B..	0,96359	0,98316 A.
Febr. 1 0 21	—	—	—	214	6 14	—8 5 39	..	—12 53,69 B..	0,97376	0,99836 A.

Mittlere Zeit des Orts.	Orte.	Länge östlich von Paris.	Breite.	Mittlere Declination.	Inclination.	Horizontal Ganze Intensität.
1830.						
Febr. 1 6 ^h 5	Südliche große Ocean.	213° 46'	— 8° 37'	4° 32' O.
Febr. 1 12 37"	—	213 23 8"	— 9 21 36"	—13° 18', 37 B..	1,01134 A. 1,03227 A.
Febr. 1 17,5	—	213 13	— 9 36	4 39 O.
Febr. 2 0 14	—	212 43 47	— 10 22 23	—17 16,72 B..	1,01403 A.
Febr. 2 11 38	—	212 23 49	— 11 13 4	—18 17,90 B..	1,03602 A.
Febr. 2 17,5	—	212 28	— 10 47	5 14 O.
Febr. 2 18,5	—	212 22	— 11 32	5 4 O.
Febr. 2 21 13	—	212 17 7	— 11 54 10	—19 10,34 B..	1,03510 A.
Febr. 3 0 28	—	212 1 38	— 12 2 10	—19 35,34 B..	1,03029 A.
Febr. 3 20 0	—	212 1 33	— 12 36 24	—21 19,61 B..	1,01634 A.
Febr. 4 0 42	—	212 1 6	— 13 6 39	—21 17,63 B..	1,02708 A.
Febr. 4 6,5	—	212 0	— 13 16	5 48 O.
Febr. 4 17,5	—	211 56	— 13 37	5 43 O.

Febr. 4 19 42	—	—	—	212 5 0	—13 43 59	...	—22 24,05 B.	0,99114	1,07203 A.
Febr. 5 0 41	—	—	—	211 54 23	—14 1 14	...	—23 28,90 B.	1,00054	1,09088 A.
Febr. 5 19,0	—	—	—	211 57	—14 23	6 30 O.
Febr. 6 17,5	—	—	—	211 27	—14 43	6 10 O.
Febr. 6 19 44	—	—	—	211 22 55	—14 54 43	...	—24 54,39 B.	0,99608	1,09825 A.
Febr. 7 6,5	—	—	—	211 3	—15 12	6 38 O.
Febr. 8 6,5	—	—	—	210 14	—14 46	6 47 O.
Febr. 8 17,5	—	—	—	210 12	—14 44	5 50 O.
Febr. 9 1 22	—	—	—	209 48 29	—14 42 51	...	—24 23,28 B.	0,96785	1,06267 A.
Febr. 9 17,5	—	—	—	209 44	—14 42	6 10 O.
Febr. 10 17,5	—	—	—	209 35	—14 50	6 10 O.
Febr. 11 6,5	—	—	—	209 27	—14 47	7 9 O.
Febr. 11 18,0	—	—	—	209 1	—14 41	6 26 O.
Febr. 12 17,5	—	—	—	208 31	—15 34	6 44 O.
Febr. 13 5 6	—	—	—	208 6 10	—16 27 25	...	—27 5,15 B.	0,99630	1,11903 A.
Febr. 13 17,8	—	—	—	208 10	—16 19	7 19 O.

33

Mittlere Zeit des Orts.	Orte.	Länge östlich von Paris.	Breite.	Mittlere Declination.	Inclination.	Horizontal-Intensität.	Ganze Intensität.
1830.							
Febr. 18 3 ^h 6'	Point Venus auf Otaciti	208° 9' 30"	— 17° 29' 17"	— 30° 25' 03 B.	0,99249 C. 0,98460 P.	1,14632 Cu. P. 1,14364 A. 1,14469 A.
Febr. 20 2 45	dieselbst	208 9 30	— 17 29 17	— 30 26,77 B.	0,99671 C. 0,98779 P.	1,15095 Cu. P. 1,15331 A.
Febr. 23 1 29	Südliche grofse Ozean.	207 53 10	— 17 25 15	— 29 15,99 B.
Febr. 23 17,8	— — — — —	207 12	— 18 24	6° 22' O.
Febr. 24 0 58	— — — — —	207 32 31	— 19 6 18	— 31 59,15 B.	1,03940	1,22545 A.
Febr. 24 6,7	— — — — —	207 32	— 19 28	7 25 O.
Febr. 24 17,8	— — — — —	207 31	— 20 11	7 25 O.
Febr. 25 18 27	— — — — —	207 12 53	— 22 17 9	— 36 33,35 B.	0,93808	1,16782 A.
Febr. 26 6,7	— — — — —	207 25	— 23 17	7 19 O.
Febr. 26 23 54	— — — — —	207 43 53	— 24 50 52	— 40 19,55 B.	0,94683	1,24194 A.
Febr. 27 6,7	— — — — —	207 50	— 25 14	8 3 O.
Febr. 27 17,8	— — — — —	208 7	— 26 1	7 21 O.

Febr. 28 19,4	—	—	—	—	207 44	—26 46	8 24 O.	—43 5,53 B.	0,95706 0,97388	1,31056 A. 1,33362 A.
Febr. 28 23 24	—	—	—	—	207 40 1	—26 56 4	—	—	—	—
März 1 6,7	—	—	—	—	207 35	—27 7	8 35 O.	—	—	—
März 2 5 39	—	—	—	—	207 43 31	—27 42 30	—	—44 3,46 B.	0,93287	1,29812 A.
März 2 17,8	—	—	—	—	208 37	—28 26	8 16 O.	—	—	—
März 3 6,7	—	—	—	—	208 48	—29 0	7 37 O.	—	—	—
März 3 17,8	—	—	—	—	210 25	—29 6	7 34 O.	—	—	—
März 4 5 42	—	—	—	—	210 55 24	—28 47 48	—	—45 23,26 B.	0,87194 0,86515	1,24153 A. 1,23187 A.
März 4 6,7	—	—	—	—	211 22	—28 37	9 31 O.	—	—	—
März 4 17 28	—	—	—	—	211 12 52	—29 3 47	—	—45 26,17 B.	0,91597 0,90866	1,30535 A. 1,29494 A.
März 4 17,8	—	—	—	—	211 9	—29 5	8 1 O.	—	—	—
März 5 6,7	—	—	—	—	211 13	—29 36	9 19 O.	—	—	—
23. März 5 17,8	—	—	—	—	211 8	—30 14	8 24 O.	—	—	—
März 5 19 11	—	—	—	—	210 46 31	—30 32 49	—	—47 21,39 B.	0,91845 0,91163 0,92362	1,32577 A. 1,34571 A. 1,36341 A.
März 8 5 1	—	—	—	—	211 56 34	—32 19 35	—	—50 5,37 B.	—	—

Mittlere Zeit des Orts.	Orte.	Länge östlich von Paris.	Breite.	Mittlere Declination.	Inclination.	Horizontal-Intensität.	Ganze Intensität.
1830.							
März 8 23 ^h 43'	Südliche große Ocean	212° 26' 23"	— 32° 22' 21"	— 49° 5', 37 B.	0,89887	1,37258 A.
März 9 6,5	—	212 42	— 32 41	8° 29 O.
März 10 23 26	—	214 18 32	— 34 22 41	— 51 13,73 B.	0,84240 0,83913	1,34523 A. 1,34001 A.
März 11 6,5	—	214 38	— 34 47	7 44 O.
März 12 4 54	—	216 22 48	— 34 55 18	— 52 26,28 B.	0,82646	1,35569 A.
März 12 6,2	—	216 21	— 35 9	7 30 O.
März 14 6,5	—	217 41	— 34 22	6 40 O.
März 14 18,0	—	218 7	— 34 15	6 8 O.
März 15 4 26	—	218 13 10	— 34 28 25	— 50 33,57 B.	0,88609 0,89366	1,39482 A. 1,40673 A.
März 16 5,5	—	218 1	— 35 21	8 15 O.
März 17 5 14	—	217 44 33	— 36 16 35	— 52 18,05 B.	0,84318	1,37884 A.
März 17 19,4	—	215 53	— 37 8	7 34 O.

März 18 5 8	—	—	—	—	215 57 47	—37 38 58	—54 16,26 B.	0,84797	1,48213 A.
März 20 4 38	—	—	—	—	216 37 32	—42 4 18	—58 49,32 B.	0,75983	1,46770 A.
März 21 5,5	—	—	—	—	218 48	—43 35	8 2 O.
März 21 18 42	—	—	—	—	219 52 58	—44 24 24	—61 2,32 B.	0,73012	1,30781 A.
März 23 4 40	—	—	—	—	223 5 43	—45 6 12	—61 57,03 B.	0,71970	1,33052 A.
März 24 6,0	—	—	—	—	225 36	—45 3	8 49 O.
März 24 22 18	—	—	—	—	226 17 40	—45 4 39	—61 42,89 B.	0,74218	1,36623 A.
März 26 18,5	—	—	—	—	230 54	—46 7	7 33 O.
März 26 23 35	—	—	—	—	235 29 8	—47 13 25	—63 18,81 B.	0,69035	1,33716 A.
März 27 6,0	—	—	—	—	236 35	—47 30	9 3 O.
März 29 4,6	—	—	—	—	240 18	—48 10	11 13 O.
März 29 5 44	—	—	—	—	240 18 16	—48 10 51	—63 39,71 B.	0,69458	1,36552 A.
März 29 18,2	—	—	—	—	242 39	—48 40	10 51 O.
März 30 1 4	—	—	—	—	243 24 39	—48 50 21	—64 25,36 B.	0,69733	1,61520 A.
März 30 20,2	—	—	—	—	245 34	—49 28	11 26 O.
März 31 5,7	—	—	—	—	246 57	—49 50	11 37 O.
März 31 5,9	—	—	—	—	247 3	—49 52	12 32 O.

Mittlere Zeit des Orts.	Orte.	Länge östlich von Paris.	Breite.	Mittlere Declination.	Inclination.	Horizontal- Intensität.
1830.						
April 1 0 ^h 11'	Südliche große Ocean.	230° 18' 24"	— 51° 2' 36"	— 63° 33', 47 B.	1,57672 A.
April 1 5 3	—	251 22	— 51 23	11° 29' O.
April 3 18,2	—	261 0	— 54 11	15 11 O.
April 3 20,4	—	263 46	— 54 53	21 45 O.
April 4 0 48	—	264 21 51	— 53 3 0	— 66 13,96 B.	1,57046 A.
April 7 8 41	—	274 34 31	— 56 28 30	— 63 3,68 B.	1,52937 A.
April 7 18,5	+	274 33	— 56 24	20 22 O.
April 8 19,7	—	279 12	— 55 58	23 32 O.
April 9 5,3	—	279 34	— 56 0	25 5 O.
April 9 20,2	—	280 8	— 55 56	24 1 O.
April 10 5,3	—	280 51	— 55 51	24 40 O.
April 10 20,6	—	282 26	— 56 3	24 9 O.
April 10 22 1	—	282 36 26	— 56 5 8	— 62 51,26 B.	1,47960 A.

[illegible]

Mittlere Zeit des Orts.	Orte.	Länge östlich von Paris.	Breite.	Mittlere Declination.	Inclination.	Horizontal- Ganze Intensität.
1830.						
April 29 1 ^h 10'	Südliche atlant. Ocean	307° 20' 14"	— 38° 17' 23"	— 37° 32' 65 B.	0,75801 C. 0,98219 A.
April 29 5,3	—	307 25	— 38 13	10° 10' O.
April 29 18,7	—	307 41	— 37 36	9 17 O.
April 30 2 25	—	307 34 46	— 37 8 45	— 36 41,93 B.	0,94924 A.
April 30 5,3	—	307 40	— 36 54	9 34 O.
April 30 18,7	—	308 13	— 35 47	8 21 O.
April 30 19 12	—	308 16 36	— 35 44 25	— 34 20,97 B.	0,73715 0,88074 A.
Mai 1 5,3	—	308 35	— 34 49	8 8 O.
Mai 1 19,4	—	309 51	— 33 18	7 18 O.
Mai 1 20 53	—	309 55 27	— 33 4 29	— 30 3,40 B.	0,78373 0,90349 A.
Mai 2 5,3	—	310 23	— 32 18	7 17 O.
Mai 2 18,5	—	311 2	— 30 51	5 15 O.
Mai 3 4 45	—	311 23 25	— 29 53 2	— 25 32,88 B.	0,77319 0,85698 A.

Mai 3 18,5	—	—	—	312 15	—28 40	4 14 O.	—22 1,29 B.	0,76895	0,82947 A.
Mai 4 3 27	—	—	—	312 15 31	—27 58 30	—	—	—	—
Mai 4 5,5	—	—	—	312 50	—27 50	4 10 O.	—	—	—
Mai 4 18,5	—	—	—	313 24	—26 38	3 33 O.	—	—	—
Mai 5 0 12	—	—	—	313 25 43	—26 22 0	—	—19 45,57 B.	0,76579	0,81370 A.
Mai 5 5,5	—	—	—	312 52	—25 50	3 33 O.	—	—	—
Mai 5 18,5	—	—	—	314 21	—25 2	2 40 O.	—	—	—
Mai 7 5,5	—	—	—	314 33	—24 24	2 46 O.	—	—	—
Mai 8 5,5	—	—	—	314 29	—24 15	3 2 O.	—	—	—
Mai 8 12 0	—	—	—	314 15 10	—24 12 12	—	—16 1,58 B.	0,74339	0,77553 A.
Mai 8 18,5	—	—	—	314 4	—24 8	1 22 O.	—	—	—
Mai 9 18,5	—	—	—	314 14	—24 13	1 2 O.	—	—	—
Mai 9 20 40	—	—	—	314 9 2	—24 24 12	—	—15 47,68 B.	—	—
Mai 11 5,5	—	—	—	314 44	—23 16	2 59 O.	—	—	—
Mai 13 19 30	In der Bucht von Rio-Janeiro.			314 38 22	—23 1 40	—	—13 32,85 B.	—	—
Mai 14 21 40	Auf der Rhede von Rio-Janeiro.			314 35 0	—22 53 30	—	—13 39,76 B.	0,85049 C. 0,84630 P.	0,87526 0,87094

Mittlere Zeit des Orts.	Orte.	Länge östlich von Paris.	Breite.	Mittlere Declination.	Inclination.	Horizontal- Ganze Intensität.
1830.						
Mai 23 1 ^h 42'	Rio - Janeiro . . .	314° 34' 39"	— 22° 53' 54"	2° 3,1 O.
Mai 25 9 7	— . . .	314 34 39	— 22 53 54	2 8,0 O.
Mai 26 0 5	— . . .	314 34 39	— 22 53 54	. . .	— 13° 29' 90 B.	0,85198 C. 0,84536 P.
Mai 26 10 5	— . . .	314 34 39	— 22 53 54	2 12,6 O.
Juni 2 10 21	— . . .	314 34 39	— 22 53 54	2 4,7 O.
Juni 5 7 21	— . . .	314 34 39	— 22 53 54	2 17,6 O.
Juni 5 11 56	— . . .	314 34 39	— 22 53 54	2 3,9 O.
Juni 13 0 18	— . . .	314 34 39	— 22 53 54	2 8,9 O.
Juni 19 5,5	Südliche atlant. Ocean	315 2	— 23 7	1 36 O.
Juni 19 18,5	— . . .	314 52	— 23 10	1 42 O.
Juni 20 5,5	— . . .	315 21	— 23 12	1 39 O.
Juni 21 5,5	— . . .	316 25	— 23 49	0 28 O.
Juni 21 6 51	— . . .	316 31 5	— 23 50 58	. . .	— 16 26,98 B.	. . .

Juni 21 18,5	317 15	—24 13	0 30 W.	—16 34,84 B.	0,79838 0,80335	0,83302 A. 0,84930 A.
Juni 21 22 48	317 17 1	—24 18 17	—17 26,78 B.	0,81082 0,81766	0,84992 A. 0,85709 A.
Juni 22 3 23	318 11 23	—24 49 31
Juni 22 20,2	318 32	—24 43	1 13 W.
Juni 23 20,2	320 26	—24 38	1 21 W.
Juni 24 3,5	321 1	—24 51	2 0 W.
Juni 24 18,5	321 34	—24 30	2 38 W.
Juni 25 1 24	322 5 31	—24 53 26	—18 34,93 B.	0,78296 0,78275	0,82602 A. 0,82580 A.
Juni 25 5,5	322 14	—24 53	2 59 W.
Juni 25 18,5	322 41	—24 56	2 29 W.
Juni 26 5,5	323 11	—25 5	3 0 W.
Juni 26 19,4	322 35	—23 59	3 39 W.
Juni 27 6,0	323 2	—24 7	2 54 W.
Juni 27 18,5	322 50	—24 44	3 5 W.
Juni 28 0 53	322 50 42	—24 25 31	—16 3,54 B.	0,73335	0,78394 A.

Mittlere Zeit des Orts.	Orte.	Länge östlich von Paris.	Breite.	Mittlere Declination.	Inclination.	Horizontal-Intensität.	Ganze Intensität.
1830.							
Juni 28 4 ^h 21'	Südliche atlant. Ocean	322° 53' 7"	— 24° 5' 54"	— 16° 8' 81 B.	0,76222 0,74882	0,79332 A. 0,77938 A.
Juni 29 5,5	—	322 55	— 23 21	3° 12' W.
Juni 29 18,5	—	322 32	— 22 42	3 21 W.
Juni 30 5,5	—	322 31	— 22 15	3 45 W.
Juli 1 5,5	—	322 22	— 20 56	3 45 W.
Juli 1 5 38	—	322 21 50	— 20 55 43	— 9 46,35 B.	0,77141	0,78277 A.
Juli 1 19,7	—	322 27	— 20 19	3 19 W.
Juli 2 3 36	—	322 36 6	— 19 59 47	— 7 55,86 B.	0,69951	0,70627 A.
Juli 2 6,0	—	322 39	— 19 57	3 14 W.
Juli 2 18,5	—	322 21	— 19 33	3 35 W.
Juli 3 5,5	—	322 58	— 19 32	3 48 W.
Juli 3 19 11	—	322 31 11	— 19 38 20	— 7 40,10 B.	0,74859 0,74796	0,75535 A. 0,75471 A.

Mittlere Zeit des Orts.	Orte.	Länge östlich von Paris.	Breite.	Mittlere Declination.	Inclination.	Horizontal-Intensität.	Ganze Intensität.
1830.							
Juli 8 19 ^h 51'	Südliche atlant. Ocean	324° 53' 11"	— 13° 18' 31"	3° 20', 41 B.	0,76871 0,76605	0,77002 A. 0,76735 A.
Juli 9 5,8	—	325 16'	— 12 38	7° 16 W.
Juli 9 18,2	—	325 19	— 11 44	7 25 W.
Juli 9 21 20	—	325 21 28	— 11 31 12	6 29,87 B.
Juli 10 5,8	—	325 32'	— 10 58	7 11 W.
Juli 10 18,2	—	325 41	— 9 40	8 39 W.
Juli 10 21 48	—	325 47 45	— 9 41 38	9 36,01 B.	0,83085	0,84264 A.
Juli 11 5,8	—	326 2	— 7 47	9 7 W.
Juli 11 18,2	—	326 19	— 8 7	8 55 W.
Juli 12 6,0	—	326 37	— 6 59	8 23 W.
Juli 12 18,5	—	326 37	— 5 42	9 22 W.
Juli 12 22 13	—	326 43 41	— 5 19 12	17 42,42 B.	0,84404	0,88601 A.
Juli 13 18,0	—	326 42	— 3 50	8 58 W.

Juli 13 19 5	—	—	—	—	326 50 3	— 3 51 14	20 28,69 B.	0,83113 0,83301	0,88719 A. 0,91055 A.
Juli 14 6,0	—	—	—	—	327 11	— 2 56	9 37 W.
Juli 14 22 59	—	—	—	—	327 3 30	— 1 52 59	23 26,75 B.	0,87924 0,87612	0,95837 A. 0,95497 A.
Juli 15 6,0	—	—	—	—	327 19	— 1 21	9 19 W.
Juli 15 18,0	—	—	—	—	327 11	— 0 35	10 14 W.
Juli 16 3 54	Nördliche atlant. Ocean	—	—	—	327 14 47	0 25 45	27 16,02 B.	0,87181	0,98080 A.
Juli 16 6,0	Südliche atlant. Ocean	—	—	—	327 34	— 0 36	9 28 W.
Juli 16 18,0	Nördliche atlant. Ocean	—	—	—	327 4	1 40	10 28 W.
Juli 17 2 44	—	—	—	—	327 1 1	2 30 18	30 46,65 B.	0,87281	1,01388 A.
Juli 17 5,8	—	—	—	—	327 29	2 48	9 57 W.
Juli 17 19,0	—	—	—	—	327 22	4 1	11 8 W.
Juli 18 3 41	—	—	—	—	327 25 28	4 26 7	34 29,57 B.	0,83708 0,84767 0,84434	1,01563 A. 1,02848 A. 1,02445 A.
Juli 19 4 36	—	—	—	—	328 49 41	5 44 54	35 24,62 B.	0,81378	0,90847 A.
Juli 20 5 7	—	—	—	—	330 15 50	7 25 31	36 51,33 B.	0,82962	1,03682 A.
Juli 20 19,2	—	—	—	—	330 56	8 33	11 42 W.

Mittlere Zeit des Orts.	Orte.	Länge östlich von Paris.	Breite.	Mittlere Declination.	Inclination.	Horizontal- Ganze Intensität.
1830.						
Juli 21 4 ^h 31'	Nördliche atlant. Ocean	331° 1' 13"	9° 36' 13"	39° 12', 20 B.	0,83103 1,07244 A. 1,03334 A.
Juli 21 6,2	—	331 7	9 42	13° 0' W.
Juli 21 19,2	—	331 12	10 8	13 10 W.
Juli 22 4 10	—	331 2 28	10 24 28	40 48,95 B.	0,78819 0,80603 1,04148 A. 1,06302 A.
Juli 22 5,5	—	331 2	10 27	13 2 W.
Juli 22 19,0	—	330 24	10 43	14 19 W.
Juli 23 3 16	—	330 4 42	11 2 34	41 54,01 B.	0,83593 1,12310 A.
Juli 23 6,5	—	330 4	11 9	13 42 W.
Juli 23 19,2	—	329 23	11 53	12 56 W.
Juli 24 5 53	—	329 8 20	12 35 51	44 3,44 B.	0,81335 1,13180 A.
Juli 24 6,5	—	329 10	12 36	12 23 W.
Juli 24 17,5	—	329 12	13 6	13 30 W.

Juli 25 6,0	—	—	—	—	329 16	13 30	12 32 W.
Juli 26 4 15	—	—	—	—	328 23 16	14 35 40	..	46 31,47 B.	0,78296 0,78732	1,13796 A. 1,14429 A.
Juli 26 6,0	—	—	—	—	328 26	14 33	12 48 W.
Juli 26 19,0	—	—	—	—	327 36	15 13	13 8 W.
Juli 27 5 28	—	—	—	—	326 50 55	15 52 52	..	48 15,16 B.	0,80625 0,80564	1,21086 A. 1,20995 A.
Juli 27 19,2	—	—	—	—	326 32	16 20	12 36 W.
Juli 28 3 6	—	—	—	—	326 12 31	16 40 54	..	49 50,01 B.	0,75717	1,17388 A.
Juli 29 18,5	—	—	—	—	327 16	18 47	13 2 W.
Juli 30 22 12	—	—	—	—	324 5 1	19 5 1	..	52 41,65 B.	0,74940 0,75963	1,23649 A. 1,25334 A.
Juli 31 3 46	—	—	—	—	322 29 44	21 1 30	..	54 43,49 B.	0,73112 0,72274	1,26600 A. 1,25149 A.
Juli 31 6,5	—	—	—	—	322 25	21 14	12 25 W.
Juli 31 19,2	—	—	—	—	322 0	22 6	11 30 W.
Aug. 1 5,3	—	—	—	—	319 31	22 52	12 12 W.
Aug. 1 22 23	—	—	—	—	320 31 26	23 59 44	..	58 21,92 B.	0,69068	1,31682 A.
Aug. 2 6,5	—	—	—	—	320 16	24 31	11 26 W.

Abb. II. Bd. 2.

36

Mittlere Zeit des Orts.	Orte.	Länge östlich von Paris.	Breite.	Mittlere Declination.	Inclination.	Horizontal Intensität.	Ganze Intensität.
1830.	Nördliche atlant. Ocean	319° 31'	26° 23'	13° 5' W.
Aug. 3 6 ^h ,	—	319 31 36"	26 25 49"	...	60° 48' 67 B.	0,07431 0,66683	1,38266 A. 1,36733 A.
Aug. 3 6 44	—	318 48	28 12	14 36 W.
Aug. 3 17,3	—	318 58 31	28 2 24	...	61 52,08 B.	0,64078	1,35901 A.
Aug. 4 3 42	—	317 50 44	29 33 38	...	63 11,28 B.	0,62370 0,62102	1,38273 A. 1,37678 A.
Aug. 5 4 53	—	317 12	30 20	14 59 W.
Aug. 5 17,3	—	317 4 55	30 29 58	...	64 16,24 B.	0,62151	1,43167 A.
Aug. 6 4 9	—	317 38	30 44	15 14 W.
Aug. 6 17,3	—	317 45	31 4	15 54 W.
Aug. 7 6,7	—	317 48 32	31 10 42	...	64 29,64 B.	0,60861	1,41339 A.
Aug. 7 6 47	—	316 46	32 31	15 28 W.
Aug. 8 17,3	—	316 37	32 58	16 4 W.
Aug. 9 6,7	—

Aug. 9 17,8	—	—	—	—	316 38	32 48	16 54 W.	65 20,88 B.	0,39297	1,42158 A.
Aug. 9 21 55	—	—	—	—	316 36 5	32 54 42	16 31 W.	66 5,77 B.	0,58567	1,44538 A.
Aug. 10 17,3	—	—	—	—	316 16	33 33	17 33 W.	67 26,33 B.	0,55674	1,45110 A.
Aug. 11 0 36	—	—	—	—	316 9 10	33 44 41	17 11 W.	68 17,05 B.	0,34016	1,45987 A.
Aug. 11 6,7	—	—	—	—	316 9	33 46	18 35 W.	68 23,84 B.	0,34554	1,48176 A.
Aug. 11 17,3	—	—	—	—	315 47	33 43	18 30 W.	68 23,84 B.	0,34578	1,48242 A.
Aug. 11 23 40	—	—	—	—	315 50 33	33 49 16	18 30 W.	68 23,84 B.	0,34578	1,48242 A.
Aug. 12 6,7	—	—	—	—	315 47	34 2	18 30 W.	68 23,84 B.	0,34578	1,48242 A.
Aug. 13 5 24	—	—	—	—	315 50 42	34 29 10	18 30 W.	68 23,84 B.	0,34578	1,48242 A.
Aug. 13 6,7	—	—	—	—	315 53	34 31	18 30 W.	68 23,84 B.	0,34578	1,48242 A.
Aug. 13 17,3	—	—	—	—	315 53	34 57	18 30 W.	68 23,84 B.	0,34578	1,48242 A.
Aug. 13 22 25	—	—	—	—	316 5 44	35 0 0	18 30 W.	68 23,84 B.	0,34578	1,48242 A.
Aug. 14 17,3	—	—	—	—	316 49	35 42	18 30 W.	68 23,84 B.	0,34578	1,48242 A.
Aug. 15 6 16	—	—	—	—	317 29 23	36 15 32	18 30 W.	68 23,84 B.	0,34578	1,48242 A.
Aug. 15 6,7	—	—	—	—	317 35	36 16	18 30 W.	68 23,84 B.	0,34578	1,48242 A.
Aug. 16 6 17	—	—	—	—	318 55 2	37 26 2	18 30 W.	68 23,84 B.	0,34578	1,48242 A.
Aug. 16 6,7	—	—	—	—	318 45	37 12	18 30 W.	68 23,84 B.	0,34578	1,48242 A.

Mittlere Zeit des Orts.	Orte.	Länge östlich von Paris.	Breite.	Mittlere Declination.	Inclination.	Horizontal- Ganze Intensität.
1830.						
Aug. 16 17,3	Nördliche atlant. Ocean	319° 25'	37° 39'	19° 43' W.		
Aug. 17 6,2	—	320 28	38 19	21 25 W.		
Aug. 17 6 43'	—	320 30 15"	38 24 31"	69° 8',08 B.	1,43700 A.
Aug. 17 18,0	—	321 21	39 7	22 6 W.		
Aug. 18 18,0	—	322 16	39 15	23 11 W.		
Aug. 19 6 38	—	322 53	40 9 15	69 30,60 B.	1,45465 A.
Aug. 19 17,5	—	323 48	40 55	24 51 W.		
Aug. 20 5 41	—	324 58	41 27 24	70 10,84 B.	1,42870 A.
Aug. 20 18,0	—	324 59	41 39	25 20 W.		
Aug. 21 3 21	—	326 13	42 29 20	69 46,79 B.	1,47712 A.
Aug. 21 17,3	—	327 7	43 26	26 38 W.		
Aug. 22 4 45	—	328 34 30	44 21 40	71 16,59 B.	1,47290 A.
Aug. 22 6,7	—	328 37	44 25	27 35 W.		

Aug. 22 18,5	—	—	—	330	2	45	31	28	21 W.	70	46,83 B.	1,42358 A.
Aug. 22 18 48	—	—	—	330	5	0	35	7				1,43458 A.
Aug. 23 6,7	—	—	—	331	12	45	52	27	58 W.			
Aug. 23 18,5	—	—	—	332	45	46	20	28	23 W.			
Aug. 23 20 29	—	—	—	333	21	12	46	46	18	70	6,81 B.	0,48424 A.
Aug. 24 17,3	—	—	—	336	47	47	3	27	54 W.			0,48798 A.
Aug. 25 23 57	—	—	—	341	37	0	47	46	54	70	4,13 B.	0,46588 A.
Aug. 26 3 44	—	—	—	342	4	0	47	45	8	70	7,22 B.	0,46661 A.
Aug. 26 6,7	—	—	—	342	43	47	56	26	18 W.			
Aug. 26 22 5	—	—	—	344	46	54	48	13	22	69	29,85 B.	0,47886 A.
Aug. 27 6,0	—	—	—	346	12	48	27	26	6 W.			
Aug. 27 18,0	—	—	—	348	8	48	57	25	58 W.			
Aug. 28 3 19	—	—	—	349	37	18	49	15	50	69	14,74 B.	0,48802 A.
Aug. 29 17,3	Englische Canal.			356	5	50	40	26	15 W.			
Aug. 31 5 12	Motherbank bei Ports-			356	32	30	50	44	20	68	32,65 B.	0,49041 C.
	mouth											0,48275 P.
												1,33019 A.
												1,33019

Mittlere Zeit des Orts.	Orte.	Länge östlich von Paris.	Breite.	Mittlere Declination.	Inclination.	Horizontal-Intensität.	Ganze Intensität.
1830.							
Sept. 4 6 ^h 29'	Nordsee	359° 21' 30"	51° 17' 10"	68° 30', 96 B.
Sept. 5 4 3	—	0 34 18	51 56 12	68 53,60 B.
Sept. 6 2 18	—	1 52 42	54 27 41	70 2,23 B.
Sept. 8 9 47	—	0 28 36	56 46 36	71 54,28 B.
Sept. 10 5 39	—	4 28 18	57 19 54	71 26,26 B.
Sept. 22 19 53	Im Sund vor Kopenhagen	10 14 50	55 43	70 1,66 B.
Sept. 25 22 56	Ostsee	17 34 16	58 2 23	70 29,17 B.
Sept. 28 6 45	Finnische Meerbusen	25 47 23	60 4 54	70 50,27 B.
Sept. 29 1 56	Vor Anker auf der kleinen Kronstadter Rhede	27 26 0	59 58 40	70 33,69 B.	0,45316 C.	1,36167

Oct. 8	2	33	Petersburg, Wasiljewski Ostrow	27	57	28	59	56	29	70	53,22	B.	0,43898 C. 0,45786 P.	1,40175 1,39835
Oct. 9	21	10	Petersburg	27	58	30	59	57	0	71	6,95	B.	0,45140 C. 0,45048 P.	1,39468 1,39185

A n h a n g.

Declinationsbeobachtungen

von

Capitain L. v. Hagemeister,

in den Jahren 1809 bis 1810 und 1816 bis 1817.

THE UNIVERSITY OF CHICAGO

LIBRARY

500 EAST 57TH STREET

Die folgenden zwei Reihen von Declinationsbestimmungen hat Herr Capitain von Hagemeister, respektive während einer Fahrt von der Insel Kadjak nach den Sandwichsinseln und von dort nach Petro-Pauls-Hafen, und während einer andren von Kronstadt nach Callao, ausgeführt. — Es ist dabei ganz ebenso verfahren worden wie ich oben (Seite 459 bis 476) für unsre Declinationsmessungen auf der Corvette Krotkoi erwähnt habe, auch bezeichnen wiederum die den einzelnen Resultaten hinzugefügten Buchstaben h und a, ob dieselben durch Messung einer Sonnenhöhe oder durch Beobachtung im Augenblicke der Sonnen-Amplitude erhalten sind. — Bei der ersten dieser Reihen zeigen die Zahlen I. und II., mit welchem von zweien auf dem Schiffe befindlichen Peil-Compasen, beobachtet wurde, das Zeichen °, neben den Buchstaben h oder a, aber eine Erschwerung der Beobachtungen durch starkes Rollen des Schiffes oder durch Bewölkung. — Die Declinationen selbst sind, (ebenfalls so wie die unsrigen auf Seite 477 bis 486) ohne Reduction wegen periodischer Variationen angesetzt, und daher für die daneben stehende Mittlere Zeit der Beobachtung gültig.

Declinationen auf der See,

in den Jahren 1808 und 1809.

Mittlere Zeit der Beobachtung.	Art	Länge, Ost von Paris.	Breite.	Declination.	Compass, Nummer.
-----------------------------------	-----	--------------------------	---------	--------------	---------------------

Nördliche große Ocean.

1808. Dec. 18,10	h *	206° 15'	49° 22'	22° 40' O.	II.
— — 18,13	h	206 15	49 18	21 41 O.	I.
— — 18,92	h	205 49	48 5	20 8 O.	I.
— — 19,12	h *	205 47	47 42	20 14 O.	I.
— — 19,87	h *	205 22	46 2	19 36 O.	I.
— — 19,90	h *	205 26	45 58	20 50 O.	II.
— — 21,90	h	204 1	42 21	19 7 O.	I.
— — 21,91	h	204 1	42 21	20 1 O.	II.
— — 24,90	h	204 11	39 43	15 55 O.	I.
— — 24,91	h	204 11	39 43	16 21 O.	II.
— — 25,14	h	204 28	39 25	13 25 O.	I.
— — 29,10	h	204 5	37 8	15 31 O.	I.
— — 29,10	h	204 5	37 8	16 49 O.	II.
— — 30,12	h	205 15	36 29	14 30 O.	II.
1808. Dec. 30,12	h	205 15	36 29	14 22 O.	I.

Mittlere Zeit der Beobachtung.	Art	Länge, Ost von Paris.	Breite.	Declination.	Compass, Nummer.
-----------------------------------	-----	--------------------------	---------	--------------	---------------------

Nördliche grofse Ocean.

1809. Jan.	4,84	h	205° 53'	33° 22'	14° 56' O.	I.	
—	—	4,84	h	205 53	33 22	15 6 O.	II.
—	—	6,13	h	206 17	32 40	14 47 O.	I.
—	—	6,16	h	206 19	32 39	12 34 O.	II.
—	—	6,16	h	206 19	32 39	12 58 O.	I.
—	—	8,84	h	209 44	31 35	14 17 O.	II.
—	—	8,84	h	209 44	31 35	13 30 O.	I.
—	—	8,84	h	209 44	31 35	13 57 O.	II.
—	—	10,15	h	210 24	29 46	9 45 O.	I.
—	—	10,17	h	210 24	29 45	9 11 O.	I.
—	—	10,18	h	210 24	29 45	10 31 O.	II.
—	—	10,83	h	210 47	28 54	10 58 O.	I.
—	—	10,84	h	210 47	28 54	11 24 O.	I.
—	—	11,17	h	211 0	28 37	10 49 O.	II.
—	—	11,17	h	211 0	28 37	10 17 O.	II.
—	—	11,17	h	211 0	28 37	10 25 O.	I.
—	—	11,18	h	211 0	28 37	10 2 O.	II.
—	—	11,83	h	210 47	28 17	12 56 O.	II.
—	—	11,83	h	210 47	28 17	12 15 O.	I.
—	—	12,19	h	210 10	27 56	10 30 O.	II.
—	—	12,82	h	209 18	27 19	10 56 O.	II.
—	—	12,83	h	209 18	27 18	10 6 O.	II.
—	—	13,83	h	207 45	26 13	9 42 O.	I.
—	—	13,84	h	207 44	26 12	11 44 O.	I.
—	—	14,19	h	207 10	25 32	9 20 O.	I.
—	—	15,19	h	204 55	23 22	8 58 O.	I.
—	—	15,81	h	203 32	23 8	9 49 O.	I.
1809. Jan.	15,81	h	203 32	22 8	10 28 O.	I.	

Mittlere Zeit der Beobachtung.	Art	Länge, Ost von Paris.	Breite.	Declination.	Compass, Nummer.
-----------------------------------	-----	--------------------------	---------	--------------	---------------------

Nördliche große Ocean.

1809. Jan. 15,85	h	203° 30'	22° 4'	8° 27' O.	I.
— April 3,23	h	198 18	21 55	8 25 O.	I.
— — 3,23	h	198 18	21 55	9 15 O.	II.
— — 7,25	h	194 25	22 39	10 18 O.	II.
— — 9,22	h	189 1	22 52	9 34 O.	I.
— — 9,22	h	189 1	22 52	9 40 O.	II.
— — 9,22	h	189 1	22 52	10 57 O.	I.
— — 9,22	h	189 1	22 52	11 4 O.	II.
— — 9,76	h	187 37	22 53	12 20 O.	II.
— — 11,81	h	182 59	22 20	10 46 O.	II.
— — 11,89	h	182 45	22 20	13 0 O.	II.
— — 12,26	a	181 50	22 14	11 41 O.	II.
— — 12,76	h	181 24	22 22	13 35 O.	II.
— — 12,78	h	181 21	22 22	11 53 O.	II.
— — 13,21	h	180 11	22 34	11 43 O.	II.
— — 13,22	h	180 10	22 34	11 23 O.	I.
— — 13,80	h	178 52	23 11	11 24 O.	II.
— — 13,81	h	178 50	23 12	11 8 O.	I.
— — 14,80	h	177 8	23 36	12 3 O.	II.
— — 14,80	h	177 7	23 36	11 57 O.	I.
— — 15,22	h	176 25	23 36	11 23 O.	II.
— — 15,22	h	176 24	23 36	11 20 O.	I.
— — 15,80	h	175 23	23 37	12 9 O.	I.
— — 15,81	h	175 22	23 37	12 0 O.	II.
— — 16,23	h	174 30	23 37	12 0 O.	II.
— — 16,23	h	174 30	23 37	12 0 O.	I.
— — 16,76	h	173 21	23 42	11 55 O.	I.
1809. April 17,23	h	172 34	23 44	12 21 O.	II.

Mittlere Zeit der Beobachtung.	Art	Länge, Ost von Paris.	Breite.	Declination.	Compass- Nummer.
-----------------------------------	-----	--------------------------	---------	--------------	---------------------

Nördliche große Ocean.

1809. April 17,76	h	171° 32'	23° 45'	11° 53' O.	II.
— — 17,81	h	171 29	23 45	11 31 O.	II.
— — 17,82	h	171 29	23 45	11 37 O.	I.
— — 18,23	h	170 40	23 45	11 39 O.	II.
— — 18,26	a	170 37	23 45	12 0 O.	I.
— — 18,26	a	170 37	23 45	11 45 O.	II.
— — 18,74	a	169 24	23 48	11 7 O.	II.
— — 18,76	h	169 20	23 48	11 7 O.	I.
— — 18,77	h	169 19	23 48	11 28 O.	II.
— — 19,23	h	168 7	23 50	12 17 O.	I.
— — 19,23	h	168 7	23 50	12 28 O.	II.
— — 19,26	a	168 5	23 50	12 20 O.	I.
— — 19,26	a	168 5	23 50	12 5 O.	II.
— — 20,76	h	164 23	23 53	9 51 O.	II.
— — 21,23	h*	163 0	23 54	10 59 O.	II.
— — 21,74	a	161 44	23 54	9 58 O.	II.
— — 21,78	h	161 38	23 54	9 52 O.	II.
— — 22,78	h	159 36	23 42	7 21 O.	II.
— — 23,23	h	158 27	23 42	10 39 O.	II.
— — 23,76	h	157 8	23 38	8 38 O.	II.
— — 24,26	h	155 58	23 38	9 40 O.	II.
— — 24,73	a	155 6	23 34	7 48 O.	II.
— — 24,77	h	155 0	23 34	7 24 O.	I.
— — 25,77	h	152 50	23 36	6 28 O.	II.
— — 25,78	h	152 49	23 36	7 13 O.	I.
— — 25,78	h	152 48	23 36	7 14 O.	I.
— — 25,79	h	152 48	23 36	7 8 O.	I.
1809. April 26,21	hr	151 36	23 38	6 50 O.	II.

Mittlere Zeit der Beobachtung.	Art	Länge, Ost von Paris.	Breite.	Declination.	Compass- Nummer.
-----------------------------------	-----	--------------------------	---------	--------------	---------------------

Nördliche grofse Ocean.

1809. April 26,22	h	151° 36'	23° 38'	7° 47' O.	II.
— 26,80	h	150 45	23 45	5 54 O.	II.
— 27,75	h	149 5	23 51	4 58 O.	II.
— 27,75	h	149 5	23 51	5 35 O.	II.
— 28,76	h	147 30	23 50	3 48 O.	II.
— 28,77	h	147 30	23 50	4 28 O.	I.
— 29,23	h	146 51	23 52	6 5 O.	II.
— 29,76	h	146 2	23 57	6 0 O.	II.
— 29,77	h	146 2	23 57	5 18 O.	I.
— 30,24	h	145 0	24 27	5 19 O.	II.
— 30,25	h	145 0	24 27	5 18 O.	I.
— 30,76	h	144 37	25 9	3 40 O.	II.
— Mai 1,76	h	142 51	25 10	1 50 O.	II.
— 1,76	h	142 51	25 10	1 40 O.	I.
— 2,26	h	141 54	25 12	3 34 O.	II.
— 2,26	h	141 54	25 12	3 20 O.	I.
— 2,76	h	142 23	25 45	5 7 O.	II.
— 2,76	h	142 23	25 45	4 50 O.	I.
— 3,23	h	142 56	26 16	4 16 O.	II.
— 3,23	h	142 56	26 16	4 12 O.	II.
— 3,23	h	142 56	26 16	5 16 O.	I.
— 3,27	a	142 58	26 18	3 55 O.	II.
— 3,75	h	142 45	27 0	3 1 O.	II.
— 3,75	h	142 45	27 0	3 25 O.	I.
— 4,23	h	144 20	27 29	6 3 O.	I.
— 4,25	h	144 20	27 30	6 15 O.	I.
— 4,75	h	145 18	28 9	3 12 O.	II.
1809. Mai 4,75	h	145 18	28 9	2 59 O.	I.

Mittlere Zeit der Beobachtung.	Art	Länge, Ost von Paris.	Breite.	Declination.	Compass- Numer.
-----------------------------------	-----	--------------------------	---------	--------------	--------------------

Nördliche große Ocean.

1809. Mai	4,76	h	145° 19'	28° 10'	3° 13' O.	I.
—	5,23	h	146 8	28 50	5 37 O.	II.
—	5,26	h	146 10	28 50	5 30 O.	II.
—	12,22	h	153 41	34 35	8 19 O.	II.
—	12,23	h	153 41	34 35	9 28 O.	I.
—	15,21	h	156 54	36 7	8 58 O.	II.
—	15,21	h	156 54	36 7	10 21 O.	I.
—	17,22	h	158 9	35 58	9 40 O.	II.
—	17,23	h	158 9	35 58	11 24 O.	I.
—	17,78	h	158 19	35 39	9 34 O.	II.
—	18,27	h	159 29	34 52	9 13 O.	II.
—	18,75	h	160 7	34 45	8 26 O.	II.
—	18,76	h	160 7	34 45	9 50 O.	I.
—	18,78	h	160 8	34 45	8 12 O.	II.
—	18,78	h	160 8	34 45	7 23 O.	I.
—	19,78	h	161 19	34 50	8 31 O.	II.
—	19,78	h	161 19	34 50	9 40 O.	I.
—	23,23	h	167 46	36 5	12 27 O.	II.
—	25,25	h	168 45	37 5	14 47 O.	II.
—	25,25	h	168 45	37 5	15 37 O.	I.
—	27,26	h	171 30	36 19	13 40 O.	II.
—	28,26	h	172 7	36 11	13 38 O.	II.
—	28,27	h	172 7	36 11	15 7 O.	I.
—	29,25	h	172 42	37 16	13 20 O.	II.
— Juni	2,23	h	177 3	40 56	12 38 O.	II.
—	2,23	h	177 3	40 56	13 10 O.	I.
—	12,22	h	166 42	44 56	11 3 O.	II.
1809. Juni	12,22	h	166 42	44 56	11 14 O.	I.

Mittlere Zeit. der Beobachtung.	Art	Länge, Ost von Paris.	Breite.	Declination.	Compass- Nummer.
------------------------------------	-----	--------------------------	---------	--------------	---------------------

Nördliche. große Ocean.

1809. Juni 13,23	h	165° 24'	45° 9'	10° 4' O.	II.
— — 13,23	h	165 24	45 9	11 40 O.	I.
— — 14,23	h	164 40	46 35	8 33 O.	II.
Juni 23 bis Juli 23	h	156° 19' 48"	53° 0' 27"	7 26 O.	II.
				7 16 O.	I.

Declinationen auf der See,

in den Jahren 1816 und 1817.

Mittlere Zeit der Beobachtung.			Art	Länge, Ost von Paris.	Breite.	Declination.
Nördliche atlantische Ocean.						
1816.	Oct.	26,14	h	341° 4'	57° 28'	33° 32' W.
—	—	26,87	h	341 0	55 22	31 0 W.
—	—	30,87	h	334 10	44 47	30 35 W.
—	Novbr.	1,83	h	331 25	42 10	24 40 W.
—	—	5,81	h	329 5	33 40	20 34 W.
—	—	6,83	h	329 44	31 20	17 52 W.
—	—	9,85	h	332 15	23 42	12 52 W.
—	—	12,85	h	333 52	19 54	13 26 W.
—	—	26,83	h	334 32	9 36	14 50 W.
—	—	27,83	h	334 42	7 43	12 52 W.
—	—	28,28	a	334 39	7 20	14 30 W.
—	—	30,83	h	334 35	6 4	11 27 W.
—	Decbr.	2,81	h	334 28	5 37	13 40 W.
—	—	6,18	h	331 30	0 0	11 19 W.
—	—	6,23	a	332 25	1 40	12 5 W.
1816.	Decbr.	6,74	a	333 1	2 31	12 30 W.

Mittlere Zeit der Beobachtung.	Art	Länge, Ost von Paris.	Breite.	Declination.
Südliche atlantische Ocean.				
1816. December 7,83	h	330° 40'	— 1° 15'	10° 52' W.
— — 7,74	a	330 43	— 1 6	10 45 W.
— — 8,24	a	330 27	— 1 47	10 47 W.
— — 8,74	a	329 48	— 3 0	9 24 W.
— — 8,75	h	329 48	— 3 0	9 44 W.
— — 9,24	a	329 22	— 3 45	9 54 W.
— — 9,79	h	329 3	— 5 8	8 10 W.
— — 9,74	a	329 4	— 5 2	8 4 W.
— — 10,24	h	329 43	— 7 49	7 19 W.
— — 11,18	h	328 40	— 8 52	8 32 W.
— — 12,26	a	327 50	— 11 46	5 36 W.
— — 12,73	a	327 6	— 13 0	5 42 W.
— — 13,80	h	324 58	— 15 22	4 8 W.
— — 14,73	a	323 36	— 17 20	3 3 W.
— — 14,80	h	323 33	— 17 32	2 48 W.
— — 15,27	a	322 48	— 18 20	1 49 W.
— — 15,72	a	322 18	— 19 6	1 37 W.
— — 16,27	a	321 40	— 20 0	1 30 W.
— — 17,27	a	320 10	— 20 41	0 27 W.
— — 18,24	h	318 4	— 21 11	2 28 O.
— — 19,27	a	317 40	— 22 50	4 40 O.
1817. Januar 25,29	a	306 40	— 35 50	6 55 O.
— — 28,71	a	305 30	— 38 40	11 30 O.
— — 29,79	a	305 47	— 39 19	11 57 O.
— Februar 3,79	h	305 2	— 44 52	14 10 O.
— — 3,81	h	305 2	— 45 6	16 39 O.
— — 6,73	h	300 54	— 47 32	19 51 O.
1817. Februar 7,29	a	299 10	— 48 24	22 2 O.

Mittlere Zeit der Beobachtung.	Art	Länge, Ost von Paris.	Breite.	Declination.
-----------------------------------	-----	--------------------------	---------	--------------

Südliche atlantische Ocean.

1817. Februar	7,31	h	299° 5'	— 48° 27'	22° 8' O.
—	8,31	a	296 36	— 49 8	22 10 O.
—	9,31	a	294 10	— 49 50	24 7 O.
—	11,86	h	291 27	— 51 32	24 52 O.
—	12,86	h	291 30	— 51 46	20 10 O.
—	13,85	h	291 17	— 52 9	22 38 O.
—	14,85	h	292 55	— 53 48	25 47 O.
—	19,18	h	300 56	— 59 23	20 26 O.
—	20,30	h	299 33	— 60 12	22 30 O.
—	21,22	h	299 43	— 60 31	24 35 O.
—	21,32	a	299 37	— 60 33	23 56 O.
—	21,86	h	299 23	— 60 37	25 39 O.
—	22,32	a	297 30	— 60 30	24 53 O.
—	23,73	h	294 20	— 60 27	24 20 O.
—	24,86	a	290 2	— 60 32	25 9 O.
—	26,85	h	289 43	— 59 42	26 3 O.

Südliche große Ocean.

—	—	28,84	h	283 13	—59 56	29 14 O.
—	März	1,84	h	280 30	—59 14	28 40 O.
—	—	2,85	h	277 24	—57 22	26 33 O.
—	—	7,24	h	275 12	—50 35	21 40 O.
—	—	7,28	a	275 10	—50 33	22 58 O.
—	—	7,86	h	275 12	—50 3	19 48 O.
—	—	8,86	h	276 10	—48 1	18 44 O.
—	—	9,86	h	276 48	—45 22	18 27 O.
—	—	9,86	h	276 50	—45 16	18 22 O.
1817.	März	10,85	h	276 42	—43 38	16 59 O.

Mittlere Zeit der Beobachtung.	Art	Länge, Ost von Paris.	Breite.	Declination.
-----------------------------------	-----	--------------------------	---------	--------------

Südliche große Ocean.

1817. März	11,27	a	276° 45'	— 43° 4'	19° 50' O.
— —	11,75	a	276 23	— 41 30	18 27 O.
— —	11,85	h	276 22	— 41 33	17 7 O.
— —	14,86	h	276 52	— 36 17	17 10 O.
— —	14,86	h	277 37	— 34 27	15 7 O.
1817. März	15,22	h	277 40	— 33 32	14 43 O.

Verbesserungen.

Seite	Zeile	anstatt:	lies:
14	4	v. o. sin	cos.
14	16	v. o. von $\frac{a+a'}{2} - A$	von cos. $\frac{a+a'}{2} - A$.
16	6	v. u. $I''' + P$	$I''' - P$.
21	10	v. u. $-\sin(I''' - I'')$	$-\sin(I''' - I')$.
21	3	v. u. $+\sin(I'' - I')$	$+\sin(I'' + I')$.
43	1	v. u. $T =$	$F =$.
104	3	v. u. 7' 9"	47' 9".
109	5	v. u. August 23	August 24.
134	5	v. u. November 23	November 26.
163	2	v. o. } März 21.	März 20.
163	5	v. u. }	
191	11	v. o. Cylindrische Nadel	Inclinations - Nadel A.
199	3	v. u. 69°	64°.
199	1	v. u. 298	287.
211	1	v. u. 876	867.
224	2	v. u. 101	163.
224	1	v. u. 826	888.
226	1	v. u. 719	779.
232	2	v. u. 815	808.
239	3	v. u. 422	446.
301	1	v. u. 353	362.
307	1	v. u. 292	267.
336	1	v. u. 0,57...	1,57..
338	3	v. u. 247°	274°.
349	17	v. u. $\log F = 0,9..$	$\log F = 9,9..$
369	9	v. o. $+ 1^\circ$	$+ 2^\circ$.
376	1	v. u. 294	300.
414	1	v. u. 372	712.
191	1	v. u. }	
203	1	v. u. }	
203	3	v. u. } Horiz. Intens.	Ganze Intensität.
223	1	v. u. }	
250	1	v. u. }	

Verbesserungen zu diesen Berichtes Abth. II. Band 1.

Seite	Zeile	anstatt:	lies:
14	31	v. o. Durchmesser	Halbmesser.
38	3	v. o. $\cos \delta. \cos t$	$\cos \delta. \sin t$
68	17	v. o. wenn die	wenn μ die
70	18	v. o. 13°	11°
79	7	v. o. 8^h	9^h , bei 23 Berenices.
144	12	v. o. $9. 59^h 56'$	$9. 19^h 56'$
148	10	v. o. $189^\circ 3',00$	$189^\circ 0',00$
162	11	v. u. 139°	119°
227	19	v. o. $1^h 25' K$	$1^h 5' K$
231	14	v. o. $\Delta a = -6'',939$	$\Delta a = +6'',939$
256	35	v. o. $42^\circ 33',00$	$42^\circ 38',00$
284	34	v. o. (10) — (10)	(10) — (20).
381	14	v. o. $41',5$	$142',5$
386	16	v. o. 301,69	289,69.
386	16	v. o. 408	574.
386	17	v. o. 350	516.
386	18	v. o. 306,83	294,33.
386	19	v. o. 306,53	294,53.
413	2	v. u. O	W.
413	1	v. u. O	W.
415	1	v. u. 2448	3444.
416	1	v. o. 2100	3096.
419	1	v. o. 55°	56° .

inationsveränderungen zu San Francisco.

829. December 20 bis December 21.

r. 20.	Decbr. 21.	Mittel für Dec. 20-21.	Wahre Zeit.	Dec. 20-21.
-1' 45"	31' +0' 24"	1' -1' 45"	0 ^h 0'	-1' 53"
-0' 8	56 +1' 21	40 +0' 38		
-1' 53	41 +2' 10	46 +2' 1	1 0	+1' 37
	21 +3' 39	21 +3' 39	2 0	+2' 0
-2' 58	1 +2' 58	3 0	+3' 0
-0' 57	1 +0' 57	4 0	+1' 0
-0' 24	51 -0' 24		
-0' 8	51 +0' 8	5 0	-0' 28
	6 0	+0' 10
-0' 24	31 -0' 9	7 0	-0' 16
-0' 5			
-0' 24	51 -0' 24	8 0	+0' 7
-0' 32	51 -0' 32	9 0	-0' 26
-1' 5	5 -1' 5	10 0	-0' 37
	11 0	-1' 16
-1' 5	1 -1' 5	12 0	-1' 5
-0' 16	21 +0' 16	13 0	-0' 10
-2' 42	31 -2' 42	14 0	-0' 50
	15 0	-2' 56
-2' 42	1 -2' 42	16 0	-2' 44
-0' 49	51 -0' 49		
	17 0	-0' 37
-1' 5	51 -1' 5	18 0	-0' 38
-1' 53	51 -1' 53	19 0	-1' 16
-2' 18	51 -2' 18	20 0	-1' 58
-3' 14	41 -3' 14	21 0	-2' 26
	22 0	-3' 18
-2' 42	1 -2' 42	23 0	-2' 44

RETURN TO the circulation desk of any
University of California Library
or to the
NORTHERN REGIONAL LIBRARY FACILITY
Bldg. 400, Richmond Field Station
University of California
Richmond, CA 94804-4698

ALL BOOKS MAY BE RECALLED AFTER 7 DAYS

- 2-month loans may be renewed by calling (510) 642-6753
 - 1-year loans may be recharged by bringing books to NRLF
 - Renewals and recharges may be made 4 days prior to due date.
-

DUE AS STAMPED BELOW



Erman, G.A.

..Reise um die erde
durch Nord-Asien.

E7
v.2:2

July 6th 1842

621624

Q 400
512
UNIVERSITY OF CALIFORNIA LIBRARY

